B.3 Fundatierapport hoekmast

ZUID-WEST 380 KV OOST VERBINDINGEN

Definitief ontwerp fundaties hoekmasten hoogspanningslijn RLL-TLB

TenneT TSO B.V.

Rapport nr.: 21-1250, Rev. 3
Meridian doc.nr.: 002.678.00 0950632
Datum: 2022-07-07

DATUM:	13-07-2022
STATUS TENNET:	DEFINITIEF
REVISIE TENNET:	1.0

Projectnaam:	Zuid-West 380 kV Oost Verbindingen	Energy Systems
Rapport titel:	Definitief ontwerp fundaties hoekmasten hoogspanningslijn RLL-TLB	DNV Netherlands B.V. Utrechtseweg 310-B50
Klant:	TenneT TSO B.V.	6812 AR Arnhem
Contactpersoon klant:	[redacted]	
Datum uitgave:	2022-07-07	
Project nr.:	10124719	Tel: 026 356 9111
Organisatie unit:	TDT	Handelsregister Arnhem 09006404
Meridian doc.nr..:	002.678.00 0950632	
Rapport nr.:	21-1250, Rev. 3	

[redacted]

Copyright © DNV 2021. All rights reserved. Unless otherwise agreed in writing: (i) This publication or parts thereof may not be copied, reproduced or transmitted in any form, or by any means, whether digitally or otherwise; (ii) The content of this publication shall be kept confidential by the customer; (iii) No third party may rely on its contents; and (iv) DNV undertakes no duty of care toward any third party. Reference to part of this publication which may lead to misinterpretation is prohibited.

DNV Distributie:

☒ Open

☐ Intern

☐ Commercieel vertrouwelijk

☐ Vertrouwelijk

☐ Geheim

*Specificatie distributie: --

Trefwoorden:

-

Rev.	Datum	Reden van uitgave	Auteur	Beoordelaar	Goedkeuder
0	2021-10-15	Eerste uitgave	[redacted]		
1	2021-11-12	RFA-commentaar verwerkt			
2	2021-12-17	Maaiveldhoogtes aangepast			
3	2022-07-07	Mastenlijst VKA 2.0.1 verwerkt			

Inhoudsopgave

1 INLEIDING 1

2 UITGANGSPUNTEN EN RANDVOORWAARDEN 2
2.1 Normen 2
2.2 TenneT-specificaties 2
2.3 Relaties 2
2.4 Materialen 3
2.5 Software 3
2.6 Sonderingen 3
2.7 Beschrijving grondopbouw 4
2.8 Uitgangspunten geotechniek 7
2.9 Vermoeiing 9
2.10 Omgeving 9
2.11 Aarding 10
2.12 Sterkte-coördinatie 10
2.13 Bijzondere ontwerpsituatie door ontgronding 10

3 FUNDERINGSONTWERP 11
3.1 Inleiding 11
3.2 Paaltypes 11
3.3 Poertypes 11

4 AANPAK 14
4.1 Inleiding 14
4.2 Belasting 14
4.3 Draagvermogen 14
4.4 Horizontale krachtafdracht 15
4.5 Wapening 16

5 RESULTATEN 17
5.1 Verticaal draagvermogen 17
5.2 Horizontale krachtsafdracht 17
5.3 Hoeveelheden 17

Appendix A Fundatiebelastingen
Appendix B Fundatiegegevens
Appendix C Resultaten
Appendix D Uitvoer TS paalfunderingen
Appendix E Berekening horizontale afdracht

1 INLEIDING

In het basisontwerp van de verbinding RLL-TLB380 in het project Zuid-West 380 kV-Oost zijn voor het vaststellen van de haalbaarheid constructieve berekeningen uitgevoerd aan de masten en fundaties. In de Definitief Ontwerpfase, moeten berekeningen verder worden uitgewerkt om te kunnen dienen voor de benodigde vergunningsdocumentatie, voor de aanbesteding en als voorbereiding voor de uitvoeringsfase. Het DO omvat het ontwerp van de mastconstructies, de fundaties en de opstijgpunten in de verbinding.

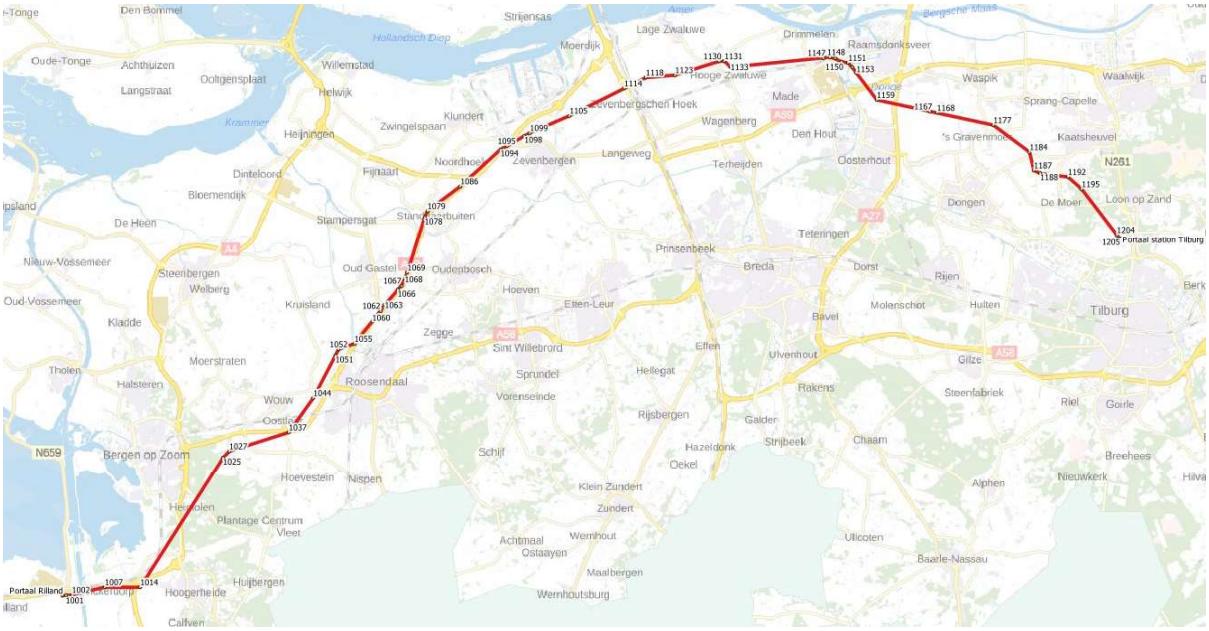

Figuur 1 Globale ligging tracé met hoekmastnummers

Het definitieve tracé van de hoogspanningslijn is nog niet vastgesteld. Daardoor zijn sonderingen op de precieze mastlocaties nog niet in uitvoering. Dit heeft tot gevolg dat voor het ontwerp van de fundaties nog geen sonderingen beschikbaar zijn. Om toch een ontwerp op te kunnen stellen is door TenneT een geotechnisch lengteprofiel opgesteld uitgaande van sonderingen in de nabijheid van het tracé. Dit lengteprofiel vormt het uitgangspunt voor de berekeningen.

De uitvoeringsfase van de fundaties zal in de vorm van een UAV GC contractvorm plaatsvinden. Dat houdt in dat in de uitvoeringsfase de sonderingen door de opdrachtnemer worden uitgevoerd. Vervolgens kan de opdrachtnemer het definitieve fundatieontwerp opstellen. De voorliggende rapportage is bedoeld om richting te geven aan het ontwerp op basis van de nu beschikbare gegevens. Het is een indicatie wat verwacht wordt in de uitvoeringsfase.

In het project worden voor mastfundaties enkelpaalsfunderingen en meerpaalsfunderingen toegepast afhankelijk van de bodemgesteldheid, het masttype en de belasting.

Deze rapportage bevat de beschrijving van het constructieve ontwerp van de fundaties voor de hoekmasten (hier vallen ook wisselmasten, eindmasten en speciale masten met een stijgpunt onder) en de toetsing aan de eisen uit de geotechnische normen en TenneT-specificaties. De toetsing richt zich op de 4-paalsfundering voor het zwaarste type hoekmast in het project, HC+0/c. Het aardingsontwerp wordt in een aparte rapportage behandeld.

In hoofdstuk 2 zijn de uitgangspunten en randvoorwaarden vanuit de van toepassing zijnde normen en TenneT-specificaties opgenomen. Hoofdstuk 3 beschrijft het ontwerp van de fundatie. De gevolgde aanpak van de berekening is hoofdstuk 4 opgenomen. Hoofdstuk 5 bevat de toetsing.

2 UITGANGSPUNTEN EN RANDVOORWAARDEN

2.1 Normen

Er is gebruik gemaakt van de normen volgens Tabel 1.

Tabel 1 Gebruikgemaakte normen, voorschriften en richtlijnen

Norm	Titel
NEN-EN 50341-1:2013	“Overhead electrical lines exceeding AC 1 kV - Part 1: General requirements – Common”
NEN-EN 50341-2-15:2019	“Overhead electrical lines exceeding AC 1 kV Part 2 National Normative Aspects (NNA) for THE NETHERLANDS”
NEN-EN 1990+A1+A1/C2:2019/NB:2019nl	“Grondslagen van het ontwerp”
NEN-EN 1991-1-4+A1+C2:2011/NB:2019+C1:2020	“Deel 1-4: Windbelasting op constructies”
NEN-EN 1992-1-1+C2:2011/NB:2016+A1:2020	“Eurocode 2: Ontwerp en berekening van betonconstructies, deel 1-1: algemene regels en regels voor gebouwen”
NEN-EN 1993-1-1+C2+A1:2016 nl	“Eurocode 3: Ontwerp en berekening van staalconstructies, deel 1-1: algemene regels en regels voor gebouwen”
NEN-EN 1993-1-8+C2:2011/NB:2011 nl	“Ontwerp en berekening van staalconstructies, deel 1-8: ontwerp en berekening van verbindingen”
NEN-EN 1997-1+C1+A1:2016/NB:2019	“Geotechnisch – Algemeen”
CUR 2001-4	“Ontwerpregels voor trekpalen”

2.2 TenneT-specificaties

In Tabel 2 zijn de documenten opgenomen die relevant zijn voor de berekeningen en toetsingen die binnen dit project in de mastrapportage uitgevoerd zullen worden.

Tabel 2 Relevante documenten t.b.v. mechanische rapportages

Nummer	Onderwerp
PVE.05.000 v3.2	PvE Lijnen
sPVE.05.001	sPvE Lijnen
SPE 04.009	paalfunderingen

2.3 Relaties

In Tabel 3 is de lijst opgenomen met documenten die gerelateerd zijn aan deze ontwerprapportage van de fundaties. De belastingen in deze rapportage zijn ontleend aan de berekeningen van de mastconstructie zoals beschreven in de volgende rapportages. Daarbij zijn de reacties op de fundatie zoals berekend met PLS-TOWER gebruikt.

Tabel 3 Gerelateerde documenten

Titel	DNV-nummer	Meridiannummer
Uitgangspunten definitief ontwerp Moldaumast	21-0036	002.678.00 0876917
Verificatierapport DO Moldau	21-1246	002.678.00 0950632
Mastrapportage HA/s	21-0788	002.678.00 0930038
Mastrapportage HA/c	21-0773	002.678.00 0928551
Mastrapportage HB/c	21-0816	002.678.00 0928552
Mastrapportage HC+0/c	21-0817	002.678.00 0928553
Mastrapportage HB/s	21-0818	002.678.00 0928554
Mastrapportage HC+0/s	21-0819	002.678.00 0928555
Mastrapportage WA+0/s	21-0820	002.678.00 0928556

Mastrapportage WA/c	21-0821	002.678.00 0928557
Mastrapportage WB+0/c	21-0822	002.678.00 0928559
Mastrapportage EA-3/co	21-0823	002.678.00 0928560
Mastrapportage HA+0/ci	21-0824	002.678.00 0928561
Mastrapportage EA-3/so	21-0825	002.678.00 0928562
Mastrapportage EB/s	21-0826	002.678.00 0928563
Mastrapportage HA+3/ca	21-0827	002.678.00 0928564

2.4 Materialen

Voor het ontwerp van de mastconstructies en fundaties wordt uitgegaan van de eigenschappen volgens Tabel 4.

Tabel 4 Materialen aangepaste constructie

Staalsoort	S355J0 (t≤16 mm) S355J2 (16<t≤40 mm)
Boutkwaliteit	8.8 gerolde draad
Betonkwaliteit	C30/37
Wapeningsstaal	B500

2.5 Software

De gebruikte software wordt benoemd in Tabel 5.

Tabel 5 Toegepaste software

Software		Versie
Mastontwerp	PLS-CADD	16.65
Mastberekeningen	PLS-TOWER	16.65
Paalberekening	Technosoft Paalfunderingen	V6
Constructieve analyse	AxisVM	X6 1I

Het ontwerp van de fundaties is gebaseerd op de uitgangspunten volgens Tabel 6.

Tabel 6 Algemene uitgangspunten

Gevolgklasse	CC2
Geotechnische categorie[1]	GC2
Ontwerplevensduur fundaties[2]	100 jaar
Milieuklasse[3]	XC4/XF3
Uitvoeringsklasse betonconstructies	klasse 3 conform NEN-EN 13670

2.6 Sonderingen

Bij het opstellen van deze rapportage zijn nog geen sonderingen beschikbaar aangezien de mastlocaties nog niet definitief zijn vastgesteld. Om te komen tot een ontwerp is door TenneT een geotechnisch lengteprofiel samengesteld. In dit profiel zijn over de lengte van het tracé de hoogtegegevens van het maaiveld weergegeven vanuit de Algemene Hoogtekaart Nederland 3. De vanuit openbare bron (Dino-loket) beschikbare sonderingen in de nabijheid van het tracé zijn weergegeven. Dit betreft elektrische sonderingen in digitaal formaat. Van de mechanische sonderingen die

[1] In AM-Req 3260 van TenneT wordt GC3 voorgeschreven, vanwege de bouw van de hoogspanningslijn in een gebied zonder risico voor aardbevingen en het ontbreken van specifieke aanvullende eisen in GC3 aan mastfundaties wordt uitgegaan van GC2.

[2] Belastingen vanuit de mastconstructie zijn gebaseerd op referentieperiode 50 jaar.

[3] Dit is een minimum milieuklasse, bij bijzondere omstandigheden zoals verontreinigde grond kan een zwaardere milieuklasse van toepassing zijn.

beschikbaar zijn uit de asset-gegevens vanuit de hoogspanningslijnen in de nabijheid van het nieuwe tracé is geen gebruik gemaakt.

De sonderingen bevinden zich doorgaans in de directe nabijheid van het tracé (< 500 m afstand). Voor het verkrijgen van een indicatie is dit voldoende nauwkeurig. Lokaal kunnen echter grote verschillen optreden.

Indien uit nog uit te voeren veld- en bodemonderzoeken naar voren komt dat de sonderingen te veel verschillen (30%) dan is de CUR 114 (toezicht op realisatie van paalfunderingen) van toepassing door opdrachtnemer.

2.7 Beschrijving grondopbouw

In onderstaande voorbeelden (zie Tabel 3) is de bodemopbouw opgenomen. Voor het beschrijven van de grondopbouw maken we gebruik van de sonderingen die beschikbaar zijn gesteld.

De sonderingen laten over de lengte verschillen zien in ondergrond. Westelijk van Geertruidenberg en dat betekent over circa twee derde van de lengte van het tracé is er een wisselend beeld van zandlagen en cohesieve lagen. Noemenswaardig is hierbij dat de slappere lagen ook op vrij grote diepte voorkomen met een dikte van meerdere meters. De pakking van de zandlagen is over het algemeen tussen los en matig. Maar er zijn ook locaties met dicht gepakte lagen. Ondiep gelegen slappere lagen komen vooral voor tussen Standdaarbuiten en Moerdijk. Voor afdracht van de horizontale belastingen is dat ongunstig.

Globaal bevindt zich oostelijk van Geertruidenberg over de gehele diepte van de sondering een draagkrachtig zandpakket. Aandachtspunt zijn hier de dieper gelegen kleilagen, die voor de weerstand van de paalpunt op druk nadelige invloed hebben.

Tabel 7 Overzicht voorbeeldsonderingen

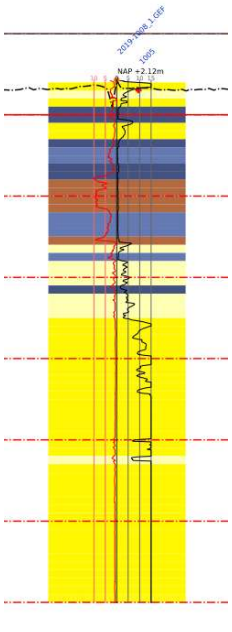	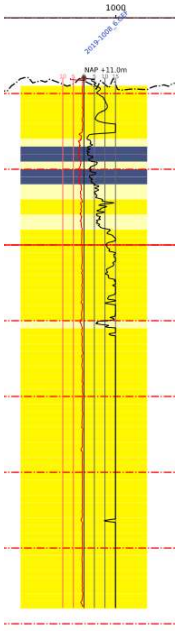	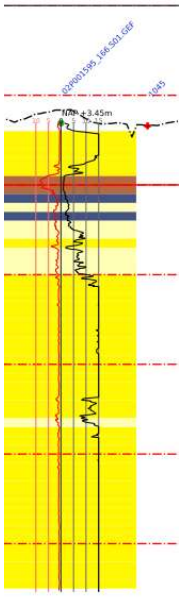
Mast 1005 (omgeving Völckerdorp)	Voor mast 1025, Bergen op Zoom	Mast 1045, knooppunt De Stok

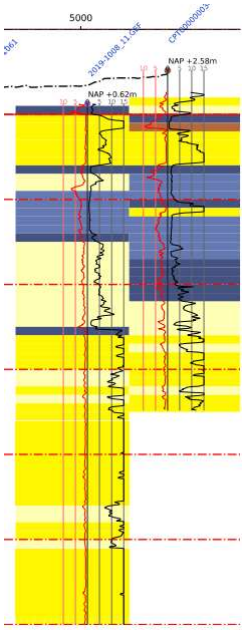	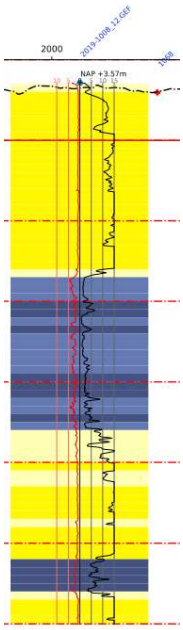	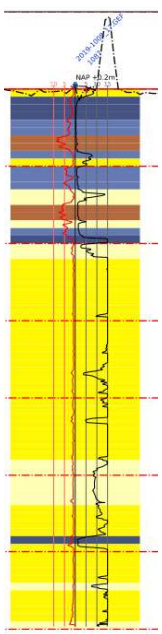
Mast 1061, Borchwerf	Tussen mast 1067 en 1068, Oud-Gastel	Mast 1087, Knooppunt Noordhoek
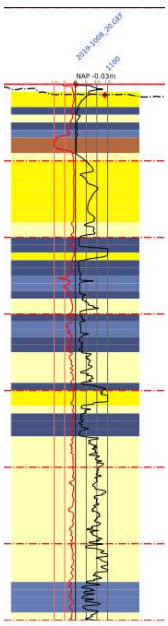	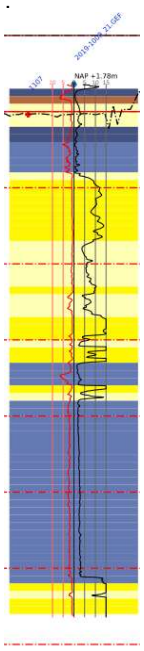	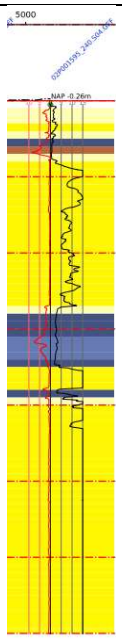
Mast 1100, Zevenbergen	Mast 1107, Moerdijk	Mast 1117, Zevenbergschen Hoek

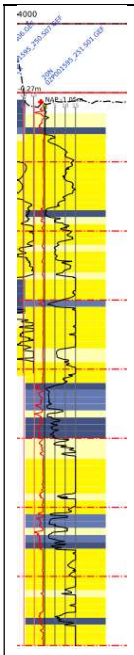

Mast 1128, Lage Zwaluwe

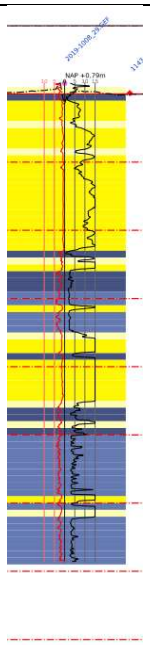

Mast 1143, Drimmelen

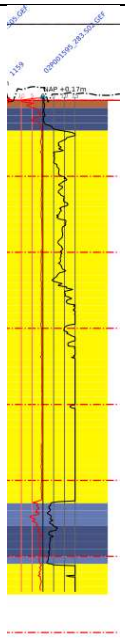

Mast 1159, Raamsdonksveer

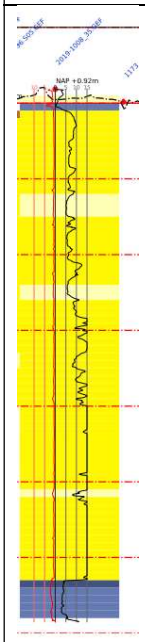

Mast 1173, Raamsdonk

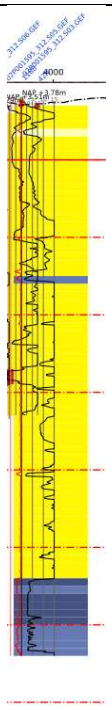

Mast 1188, 's Gravenmoer

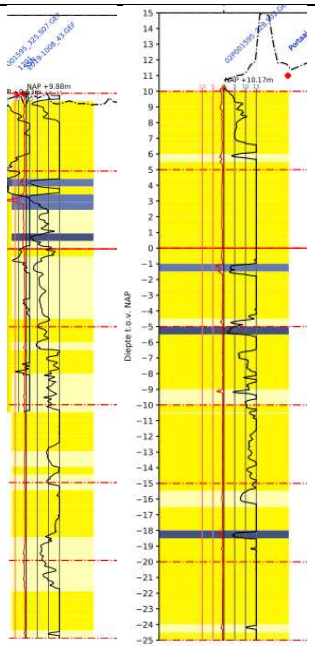

Mast 1201 en 1205, Loon op Zand

2.8 Uitgangspunten geotechniek

2.8.1 Paalklassefactoren paaltypes

In tabel 8 en Tabel 8 zijn de paalklassefactoren op basis van NEN-EN 1997-1 samengevat waarmee de berekeningen worden uitgevoerd.

Tabel 8 Paalklassefactoren meerpaalsfunderingen geschroefde systemen

	SI Ø508/670	SI Ø610/850	FGI Ø540/660
Paaltype	Schroefinjectiepaal	Schroefinjectiepaal	Schroefinjectiepaal met hulpbuis
Diameter stalen buis (m)	0,508	0,61	0,54
Diameter in berekening (m) [4]	0,590	0,73	0,60
Factor α_s	0,009	0,009	0,009
Factor α_t	0,009	0,009	0,009
Factor α_p	0,63	0,63	0,63
Factor β	1,0	1,0	1,0

Tabel 9 Paalklassefactoren meerpaalsfunderingen geheide systemen

	Vibro Ø559/610	MV Ø914/1074	MV Ø1016/1176
Paaltype	In grond gevormde betonpaal geheid met stalen hulpbuis	MV-paal	MV-paal
Diameter stalen buis (m)	0,559	0,914	1,016
Diameter in berekening (m)	0,61	0,994	1,096
Factor α_s	0,012	0,014	0,014
Factor α_t	0,010	0,012	0,012
Factor α_p	0,7	0,7	0,7
Factor β	1,0	1,0	1,0

2.8.2 Kleef cohesieve lagen

In de berekeningen wordt de weerstand van de cohesieve lagen boven de draagkrachtige zandlaag meegenomen. Volgens opmerking (b) van 7.6.3.3 (8) van NEN-EN 1997-1 is de schachtwrijving tot 50% gereduceerd. Negatieve kleef is gerekend over de hoogte van de cohesieve laag en de grondlagen daarboven.

2.8.3 Correlatiefactoren

De correlatiefactoren ksi3 en ksi4 worden toegepast bij de bepaling van de karakteristieke weerstand van een paal. De waarden zijn afhankelijk van de aard van de constructie en het aantal beschikbare sonderingen. De correlatiefactoren zijn ontleend aan NEN-EN 1997-1:2016, bijlage A, tabel 10.

Fundaties met één paal per hoekpunt vallen onder “niet-stijf” met factoren volgens Tabel 9. Het aantal sonderingen dat wordt gebruikt hangt af van het dekkingsbereik van de sonderingen voor een van de vier hoekpunten Voor het DO, waarin nog geen volledig grondonderzoek beschikbaar is, wordt uitgegaan van een dekkingsbereik per hoekpunt van één sondering: zowel 1,39 voor ksi 3 als ksi4.

Tabel 10 Correlatiefactoren niet-stijf bouwwerk

Aantal sonderingen	1	2
ksi3	1,39	1,32
ksi4	1,39	1,32

[4] uitgangspunt voor de palen met groutomhulling is in de berekening de halve dikte van de groutschil

Fundaties met meer dan twee palen per hoekpunt in een blokpoer worden als “stijf bouwwerk” beschouwd, met correlatiefactoren volgens Tabel 10. Ook hier wordt uitgegaan van één sondering, dus 1,26 voor zowel ksi3 als ksi4.

Tabel 11 Correlatiefactoren stijf bouwwerk

Aantal sonderingen	1	2	3	4
ksi3	1,26	1,20	1,18	1,17
ksi4	1,26	0,96	0,94	0,93

2.8.4 Materiaalfactor $\gamma_{m,var,qc}$

De parameter die de berekende draagkracht reduceert is de partiele factor $\gamma_{m,var,qc}$. volgens NEN-EN 1997-1 artikel 7.6.3.3 (8) opmerking (d). Voor een paal die een wisselende belasting ondergaat tussen trek- en druk treedt een vermindering op van de schuifweerstand. Afhankelijk van de verhouding tussen uiterste trek- en drukkracht in de SLS is de $\gamma_{m,var,qc}$ tussen de 1,0 en 1,5.

$$\gamma_{m;var;q_c} = 1 + 0{,}25 \cdot \frac{F_{t;max;rep} - F_{t;min;rep}}{F_{t;max;rep}} \text{ en } \gamma_{m;var;q_c} \leq 1{,}5$$

Voor hoekmasten is volgens het uitgangspuntenrapport een waarde van 1,25 van toepassing.

2.8.5 Staaldikte funderingspalen

Voor het dimensioneren van stalen palen dient volgens TenneT-specificatie 04.009 rekening te worden gehouden met afname van staaldikte op basis van NEN 1993-5. Dit komt overeen met de CUR-aanbeveling 166 voor damwanden. Op dit moment is nog geen milieukundig onderzoek beschikbaar waaruit de agressiviteit of zuurtegraad van het grondwater (pH-waarde) kan worden afgeleid. De invloed van het zoutgehalte in het grondwater is gering[5]. Er moet uitgegaan worden van 100 jaar ontwerplevensduur.

Tabel 9.2. Aantasting (mm) van damwanden in bodem en ophogingen met of zonder grondwater (per blootgestelde zijde) *).

Beoogde levensduur (jaar)	5 ***)	25 ***)	50	75	100
Ongeroerde, schone bodem	0,00	0,30	0,60	0,90	1,20
Verontreinigde bodem, geroerde grond	0,15	0,75	1,50	2,25	3,00
Zure bodem (veen, moeras)	0,20	1,00	1,75	2,50	3,25
Onverdichte grond (klei, zand) **)	0,18	0,70	1,20	1,70	2,20
Onverdicht, agressief ophoogmateriaal (bodemas, slakken, sintels)	0,50	2,00	3,25	4,50	5,75

Figuur 2 Tabel 9.2 uit CUR 166

Voor het DO wordt uitgegaan van zure grond en minimaal 12,5 mm dikte. Met de gereduceerde dikte van 12,5-3,25=9,25 mm is gerekend.

De aanwezigheid van zwerfstromen betekent een risico op snellere corrosie. In de nabijheid van stations is dit risico het grootst. Als mitigerende maatregel kan de buispaal geheel met gewapend beton worden gevuld zodat ook na corrosie van de stalen paal voldoende sterkte aanwezig blijft.

2.8.6 Horizontale bedding

De beddingwaardes worden gebaseerd op ontwerprichtlijn CUR228. Waarden in Tabel 11 zijn hieruit afgeleid en gelden als gemiddelde waarden. De breedte van de grond die wordt gemobiliseerd door een paal ten opzichte van de breedte van de paal wordt uitgedrukt in de schelpfactor. Empirische waarden voor de schelpfactor worden gebruikt volgens Tabel 11.

[5] Deltares, rapport 1209030, Corrosie van stalen damwandplanken in de grond;

Tabel 12 Aan te houden waarden voor grondbeddingen en schelpfactoren

Grond	k_h	schelpfactor	passieve druk
	[kN/m^3]	[-]	[-]
Klei	3000	1,3	2
Veen	1500	1,2	2
Zand	15000	2,0	3

Volgens NEN-EN 50341-2-15:2019 art. 8.2. NL.4 moet het effect van variatie van bedding op de krachtsverdeling worden beschouwd. De berekeningen worden uitgevoerd voor een beddingwaarde die √2 lager is en √2 hoger is dan de tabelwaarde.

De reactie van de paalbedding is gelimiteerd tot de grenswaarde van de maximale passieve gronddruk die zich kan ontwikkelen afhankelijk van de diepte.

In Appendix E wordt verder ingegaan op de gehanteerde waarden in de berekening.

2.8.7 Verticale bedding

Bij de berekening van de meerpaalspoer heeft de verticale bedding van de paalpunt invloed op de krachtsverdeling. In de berekening is de invloed meegenomen van de verticale stijfheid. Er is gebruikt gemaakt van empirische waarde k = EA/l. Waarbij EA de rekstijfheid van de stalen buispaal is.

2.8.8 Paalgroepeffect

De trekcapaciteit van de palen in een groep wordt negatief beïnvloed door hun onderlinge afstand. De reductie met de factoren f1 en f2 via artikel 7.6.3.3 (e) en (f) van NEN-EN 1997-1 wordt toegepast. Voor de bepaling van de invloedsoppervlakte A wordt de rekenmethode van CUR 2001-4 in 3.2.2 gevolgd.

De controle op het kluitgewicht volgens art. 7.6.3.3 (g) van NEN-EN 1997-1 wordt toegepast. Hieruit volgt de minimale paallengte voor de te mobiliseren grondmassa.

2.9 Vermoeiing

De fundaties worden belast door vakwerkmasten. Deze zijn vanwege de aard van de constructie niet gevoelig voor vortex shedding of andere opslingeringen door wind. De wisselende belasting van wind is een quasi-statische belasting. Dit is op basis van art. 7.3.10 van NEN-EN 50341-1:2013. Toetsing op vermoeiing door galloping, voor zover al relevant voor fundaties, is voor bestaande constructies niet vereist op basis NEN 8701.

2.10 Omgeving

De fundaties hebben een raakvlak met de omgeving. Als eerste vereisen de betonpoeren ruimte buiten de huidige mastvoeten; deze ruimte moet beschikbaar zijn. Daarnaast kunnen er vanuit de omgeving omstandigheden zijn waardoor aanvullende eisen van toepassing zijn aan het ontwerp, bijvoorbeeld de mogelijkheid van hoog water of de nabijheid van een dijklichaam of talud.

Een gedetailleerde studie naar eventuele obstakels direct naast de fundatie valt buiten de scope van deze rapportage. Uit een analyse van TenneT is gebleken dat diverse masten in een zone staan waar hoogwater kan optreden of waarbij de mastvoet nabij een zandwinning staat. Uit een analyse van TenneT is gebleken dat het gaat om de volgende locaties:

Mastnummer	Gemeente	Masttype	Omgeving	Oplossingsvoorstel
1053	Roosendaal	WA+0_s	Overloopgebied	Verhoogde fundatie
1055	Roosendaal	HB+0_s	Nabij waterkering	Nader te bepalen
1159	Raamsdonksveer	HC+0_c	Nabij waterkering	Nader te bepalen
1187	's Gravenmoer	HC+0_c	Zandwinning	Afstand houden tot eventueel talud

Op het moment van schrijven is nog niet definitief bekend welke eisen er gelden. Het ontwerp van de fundatie voor deze locaties zal in een later stadium worden bepaald.

2.11 Aarding

Uitwerking van aardingsvoorzieningen vallen buiten de scope van deze rapportage. In de UO-fase dient de aarding in de betonpoeren te worden ontworpen op basis van de van toepassing zijnde TenneT-specificaties.

2.12 Sterkte-coördinatie

TenneT stelt in PVE-lijnen 05.000 eisen aan sterkte-coördinatie tussen mast en fundatie. Dit is gebaseerd op IEC 60826. De daarin opgenomen eisen zijn toegelicht in de CIGRE brochure 178 “Probabilistic design of overhead lines”. De ontwerpfilosofie moet zijn dat de fundering met voldoende zekerheid niet mag falen voordat de mastconstructie faalt. In de benadering met faalkansen wordt uitgegaan van gemiddelde sterktes en de 5% onderschrijdingskans. Voor fundaties geldt dat er een grote spreiding is in de sterkte als gevolg van het materiaal “grond”. Om voldoende betrouwbaarheid te verkrijgen zijn fundatie daarom voor een gegeven vereiste sterkte ruim gedimensioneerd. Daardoor zal de gemiddelde sterkte van een fundatie ruimschoots de gemiddelde sterkte van de mastconstructie overstijgen, die een veel kleinere “extra” sterkte heeft. Bij een calamiteit is de kans op bezwijken van de fundatie voordat de mast bezwijkt dus gering.

Voor dit DO wordt ervan uitgegaan dat om te voldoen aan de eisen ten aanzien van sterkte-coördinatie een normale dimensionering van de fundatie voldoet, dat wil zeggen zonder overdimensionering. Vanwege de onvolledig beschikbare geotechnische gegevens wordt in het DO een maximale unity-check van 0,9 aangehouden.

2.13 Bijzondere ontwerpsituatie door ontgronding

In de rapportage uit het BO, rapport 19-0507 Advies knelpunten VKA 1.0, Meridiannummer 002.678.00 0678995, is bij een aantal mastlocaties sprake van de mogelijkheid van het ontstaan van een krater door het barsten van een ondergrondse hogedrukleiding. De stabiliteit van de fundatie kan hierdoor worden aangetast en de grond kan ontspannen als gevolg van de afgenomen belasting van de bovenste grondlagen op de diepere lagen waaraan draagkracht wordt ontleend.

In de rapportage 21-0507 is beschreven dat behalve in het bijzondere geval van een exploderende gasleiding de invloed van de ontgronding op de capaciteit zodanig klein is dat dit valt binnen de normale ontwerpmarges. De ontgronding valt onder de bijzondere belastingen met partiële factoren gelijk aan één en er is geen gelijktijdigheid van extreme windbelasting en tegelijk ontgronding. De stabiliteit van de paal is gezien de verhouding tussen diameter (ca. 0,6 m) en diepte van de krater (circa 3 m) niet in het geding.

3 FUNDERINGSONTWERP

3.1 Inleiding

Het uitgangspunt van het DO is dat de hoekmasten worden gefundeerd op meerpaalsfunderingen. De fundatie is uitgevoerd als een ronde funderingspoer met drie of vier palen per hoekpunt, afhankelijk van belasting of grondgesteldheid. Voor het paaltype wordt in dit DO uitgegaan van de schroefinjectiepaal. Als alternatief kan ook de geheide MV-paal als enkelpaalsfundering worden toegepast. In het geval van de meerpaalspoer zijn ook andere paaltypes als de vibro-paal en de FGI (fundex)-paal mogelijk. Deze paaltypes moeten als mogelijkheid in de UO-fase worden onderzocht, waarbij ook het effect van heitrillingen en geluidsproductie op de omgeving moet worden meegenomen.

3.2 Paaltypes

3.2.1 Schroefinjectiepaal

De paal is grondverdringend en wordt schroevend op diepte gebracht. De ruimte tussen schroefpunt en stalen buis wordt tijdens het inbrengen opgevuld met grout. De buispaal is zowel geschikt voor een enkelpaalsfundering als voor het opnemen in een meerpaalsfundering. Vanwege de grote belasting is het paaltype niet toegepast als enkelpaalsfundering voor hoekmasten. Voor de maximale paallengte van de schroefinjectiepaal wordt op basis referentieprojecten uitgegaan van 25 meter. De buispaal wordt over het in de poer opgenomen deel voorzien van een betonvulling. Onder het beton komt een zandvulling. Ingeval van bijzondere gevallen of agressieve gronden dient de betonvulling tot de paalpunt door te lopen.

3.2.2 FGI-paal

De paal is vergelijkbaar met de schroefinjectiepaal, een stalen buis wordt grondverdringend en schroevend op diepte gebracht. De stalen buis wordt echter teruggewonnen, waarna een gewapend betonnen paal achterblijft. De paal kan worden opgenomen in de meerpaalsfundering.

3.2.3 Vibro-paal

De Vibropaal is een gewapend betonnen paal die met een stalen hulpbuis heiend wordt aangebracht. Na terugtrillen van de hulpbuis en het onder druk inbrengen van beton ontstaat een in de grond gevormde betonpaal. De wapening wordt in de hulpbuis ingebracht. Als het heien mogelijk is, kan dit paaltype worden toegepast in de meerpaalsfundering. Voor de maximale paallengte moet in het UO een heibaarheidsanalyse worden uitgevoerd.

3.2.4 MV-paal

De MV-paal is een geheide stalen buispaal met open punt. Met dit paaltype is een zeer hoog draagvermogen haalbaar, waardoor het paaltype ook bij hoekmasten toepasbaar is als enkelpaalsfundering. Voorwaarde is dat de bovenste lagen van de grond voldoende horizontale steun aan de paal kunnen leveren voor het geval van torsiebelasting vanuit de mastconstructie. De detaillering van de paalkop is gelijk aan dat van de schroefinjectiepaal. Gebaseerd op de studie in de BO-fase wordt voor de mogelijk toe te passen diameter uitgegaan van 914 mm en van 1016 mm. Beide diameters gaan uit van een groutschil van 80 mm. Voor de maximale paallengte moet in het UO een heibaarheidsanalyse worden uitgevoerd.

3.3 Poertypes

Bij de hoekmasten wordt uitgegaan van 3-paalspoeren en 4-paalspoeren. De masttypes EB/s, EA/so, EA/co, HA+0/ci, HA+3/ca worden standaard van een 4-paalspoer voorzien. Bij de overige types is als eerste onderzocht of een 3-paalspoer mogelijk is. Voor beide poertypes gelden onderstaande kenmerken:

- de poer heeft een cilindrische vorm en herbergt de funderingspalen of stekwapening en de randstijl

- de funderingspalen worden schoor geheid, hun oriëntatie in de plattegrond varieert t.b.v. spreiding in de grond
- diameter funderingspalen bedraagt in principe 508 mm, eventueel is 610 mm inpasbaar
- de bovenkant van de fundatie bevindt zich op 0,5 m+ maaiveld
- de buispaal wordt over de lengte dat deze in de betonpoer steekt, beginnend 150 mm vanaf onderzijde voorzien van gelaste blokdeuvels voor de krachtsoverdracht
- om de ingestorte randstijl wordt een spiraalwapening geplaatst tegen splijten
- de randstijl wordt voor de aarding galvanisch verbonden met de wand van de paal via aangelaste strippen.

3.3.1 3-paalspoer

In Figuur 3 is het principe van de 3-paalspoer weergegeven. In de poer worden drie palen opgenomen, een centrale paal in de diagonale as van de mast, en twee palen aan weerszijden daarvan. De funderingspalen worden schoor geheid, hun oriëntatie in de plattegrond varieert t.b.v. spreiding in de grond en de opname van horizontale belastingen. In het hier gepresenteerde ontwerp, dat is afgeleid van de 4-paalspoer, is een schoorstand in het verticale vlak genomen van 1:3,33 en een spreiding van 1:3 en 1:1 in de plattegrond. De afmeting is bepaald op 3,0x3,0x2,25 m. Hierin is rekening gehouden met een paalmisstand van 0,1 m.

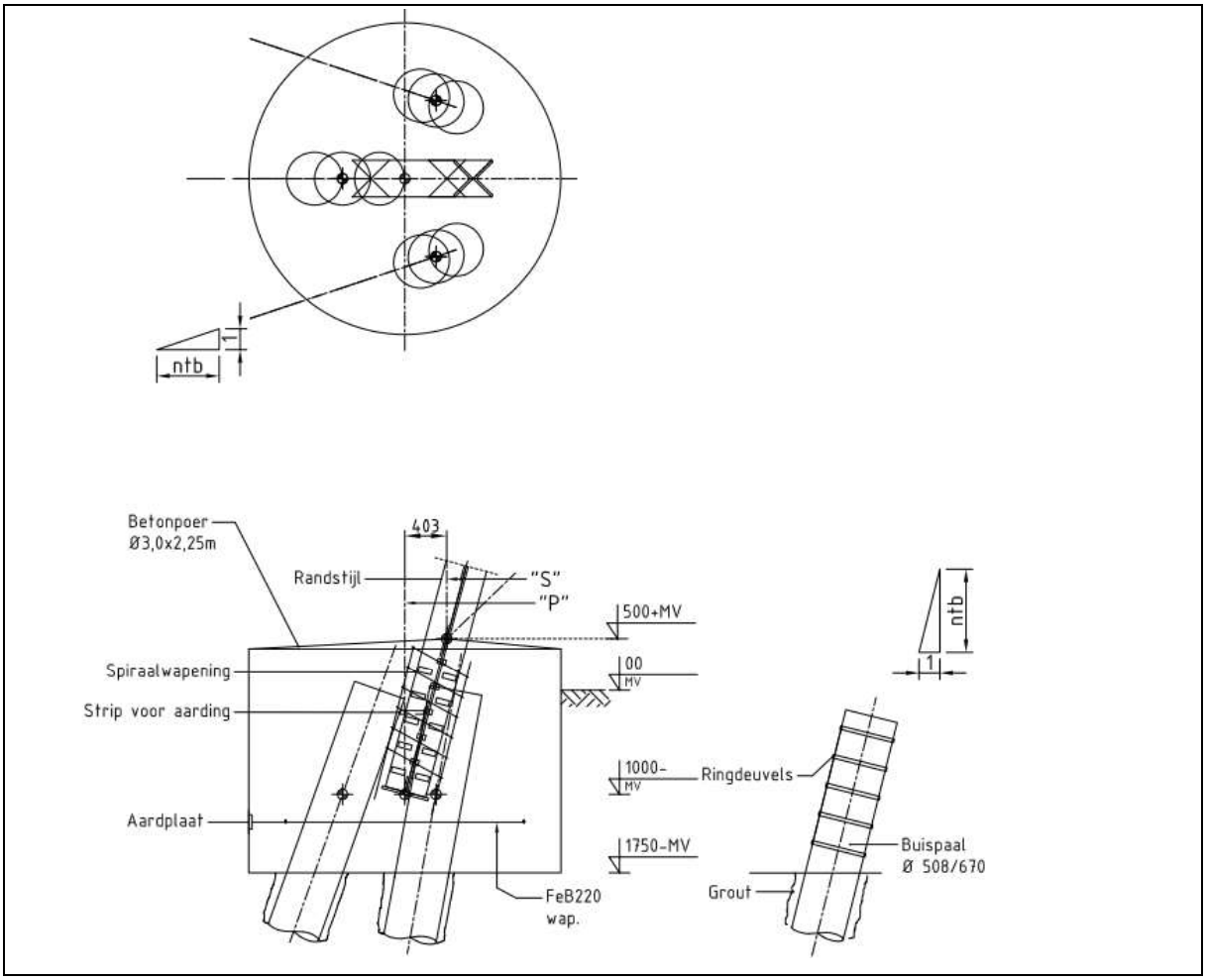

Figuur 3 Principe van de 3-paalsfundering

3.3.2 4-paalspoer

In Figuur 4 is het principe van de 4-paalspoer weergegeven. In de poer worden vier palen opgenomen, twee palen zijn in de hoofdrichtingen van de mast geplaatst, en twee palen met een minder diagonale richting. De funderingspalen worden schoor geheid, hun oriëntatie in de plattegrond varieert t.b.v. spreiding in de grond en de opname van horizontale belastingen. In het hier geanalyseerde ontwerp is een schoorstand in het verticale vlak genomen van 1:3,33 en een spreiding van 1:3 en 1:1 in de plattegrond. De afmeting is bepaald op 3,5x3,5x2,25 m. Hierin is rekening gehouden met een paalmisstand van 0,1 m.

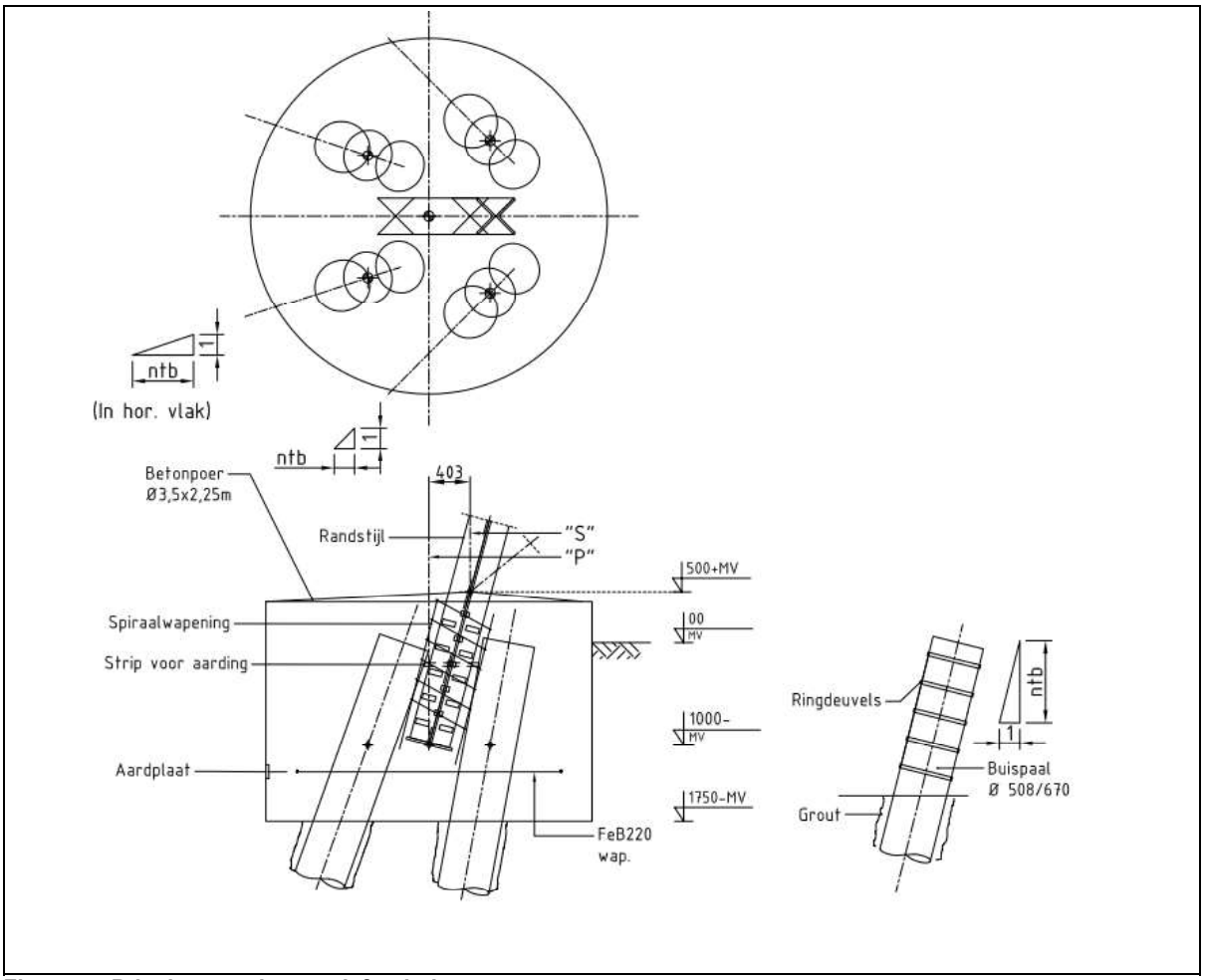

Figuur 4 Principe van de 4-paalsfundering

4 AANPAK

4.1 Inleiding

Voor alle mastlocaties in het tracé zal uitgaande van de beschikbare sonderingsgegevens het poertype en de paallengte indicatief worden bepaald. De berekening wordt uitgevoerd met de software TS/paalfunderingen. De toetsing vindt plaats ten aanzien van trek- en drukbelasting.

Voor het DO zal de meest zware fundatie (4-paalspoer) van het meest zwaar belaste masttype nader worden uitgewerkt, masttype HC+0_c. Er zal worden uitgegaan van het slechtste bodemprofiel over de lengte van het tracé. De nadere uitwerking richt zich op de afdracht in horizontale richting. Uit de berekening volgt of de gekozen oriëntatie en schoorstand van de palen voldoet.

4.2 Belasting

De fundatiebelastingen van de mastconstructies zijn opgenomen in Appendix A. Deze zijn ontleend aan de uitvoer vanuit PLS-TOWER. Dit wijkt af van de uitvoer van de oplegreacties van de mastrapporten. Daarin is gebruik gemaakt van de uitvoer van het programma Geleiderbelastingen. Er is gekozen voor gebruik van de reacties vanuit het 3D-model van PLS-TOWER omdat hierin de werkelijke afdracht van horizontale belastingen gevonden wordt.

Voor de toetsing met TS/paalfunderingen wordt gebruik gemaakt van de belasting in de richting van de randstijl (lokale richting) voor trek- en drukbelasting.

De belastingcombinaties die in het DO voor de controle van de poerconstructie worden gehanteerd bestaat uit de volgende belastingen, alle voor de uiterste grenstoestand. De belastingen gelden voor één van de vier hoekpunten.

- maximale drukbelasting, in deze combinatie belast de randstijl de fundatie met een neerwaartse kracht en een horizontale kracht naar buiten
- maximale trekbelasting, in deze combinatie belast de randstijl de fundatie met een opwaarts gerichte kracht en een horizontale kracht naar binnen
- maximale torsiebelasting, hierbij wordt de fundatie haaks op de diagonale richting van het grondvlak belast. De positieve en negatieve horizontale richting wordt onderzocht. De verticale belasting kan van ondergeschikte grootte zijn
- maximale combinatie van trekbelasting en torsie. Bij een meerpaalspoer leidt de horizontale kracht door torsie tot een vergroting van de trekkracht. In combinatie met een eveneens significante trekkracht vanuit de mast kan dit maatgevend zijn voor een van de palen in de fundatie. Zie hiervoor de toelichting in Appendix E.

4.3 Draagvermogen

Vanuit het geotechnisch lengteprofiel is een representatieve selectie gemaakt waarmee berekeningen zijn uitgevoerd. Bovendien is zoveel mogelijk gebruik gemaakt van sonderingen met een diepte van meer dan 30 meter, omdat paallengtes tot 25 m oplopen. Het lengteprofiel is verdeeld in 15 deeltrajecten. Per deeltrajecten is één sondering gekozen. In tabel zijn de in de berekening gebruikte sonderingen gegeven. De berekeningen zijn voor alle paaltypes bij iedere sondering uitgevoerd.

Tabel 13 Sonderingen

CPT bestand	type	RD_x_sond	RD_y_sond	RD_m_sond	sondeerlengte	gemeente
2019-1008_1.GEF	GEF	75341,2	382565,9	2,12	34,824	Reimerswaal
2019-1008_6.GEF	GEF	81608,3	388586,3	11	34,928	Bergen op Zoom
02P001595_166.S01.GEF	GEF	87819,8	393422,8	3,45	26,107	Roosendaal
2019-1008_11.GEF	GEF	90949,4	398218,9	0,62	34,898	Halderberge

2019-1008_12.GEF	GEF	92691,7	399690,8	3,57	35,066	Halderberge
2019-1008_17.GEF	GEF	96097,9	405288,6	0,2	34,998	Moerdijk
2019-1008_20.GEF	GEF	99890,2	408354,7	-0,03	35,203	Moerdijk
2019-1008_21.GEF	GEF	102678,6	409201,9	1,78	34,974	Moerdijk
02P001595_251.S01.GEF	GEF	109537,3	411798	-1,05	39,831	Drimmelen
2019-1008_29.GEF	GEF	114349,2	411937,4	0,79	35,076	Drimmelen
02P001595_283.S02.GEF	GEF	119023,6	409980,1	0,17	32,463	Geertruidenberg
2019-1008_35.GEF	GEF	123777,2	408715	0,92	35,167	Dongen
02P001595_312.S03.GEF	GEF	127922,2	405557,3	3,78	35,751	Loon op Zand
2019-1008_43.GEF	GEF	131482,8	403215,2	9,88	35,044	Loon op Zand
02P001595_328.S02.GEF	GEF	132052,7	402297,2	10,171	39,063	Tilburg

De sonderingen zijn in digitaal formaat (gef-bestand) ingelezen in het programma Technosoft Paalfunderingen. Aan de hand van de sonderingen en de beschikbare boringen is een grondprofiel geconstrueerd. De gebieden waarin negatieve en positieve schachtwrijving optreedt worden ingesteld per sondering.

Bij de invoer in het programma is rekening gehouden met de situatie dat de berekeningen niet voor één locatie worden uitgevoerd, maar voor een geheel van locaties. Omdat er grote verschillen in maaiveldniveau zijn tussen de sonderingen zijn deze in drie groepen verdeeld; sonderingen waarbij de paalkop zich bevindt op 0.0+, 3.6+ en 10.5+ N.A.P. Met deze onderverdeling wordt bereikt dat de juiste positieve en negatieve kleef wordt berekend, in het programma wordt geen kleef toegekend aan het deel van de paal dat uitsteekt boven het (fictieve) maaiveld. Daarnaast is per mast de werkelijke maaiveldhoogte aldaar gebruikt om de limiet van 25 m paallengte zo veel mogelijk niet te overschrijden, hooguit op een paar decimeter na.

Aanvullend op de berekening in Technosoft is een controle op het kluitgewicht uitgevoerd volgens art. 7.6.3.3 (g) van NEN-EN 1997-1, waaruit de minimale lengte voor voldoende te mobiliseren grondmassa volgt.

Geotechnische berekeningen zijn opgenomen in Appendix D. In de uitvoer zijn van toepassing zijnde paalpuntniveau's omkaderd.

4.4 Horizontale krachtafdracht

4.4.1 Krachtsverdeling

Voor het funderingstype is met een staafwerkmodel in het programma AxisVM de horizontale krachtsafdracht berekend. De palen zijn als elastisch ondersteunde liggers ingevoerd. Er wordt geen steun uit de grond tussen maaiveld en 1 m onder maaiveld of tegen de poeren gerekend, alsof de fundaties grenzen aan een waterloop.

De berekening voor de horizontale krachtsafdracht is uitgevoerd uitgaande van het meest ongunstige bodemprofiel over de lengte van het tracé. Dat wil zeggen voor één van de sonderingen. Als maatgevend is het bodemprofiel van sondering 2019-1008-017 gehanteerd. Hierbij zijn vanaf maaiveld tot circa 10 m diepte kleilagen aanwezig die minder steun verlenen dan zandlagen.

Het doel van de berekening is om de verdeling van de belasting over de palen in de poer te bepalen. Binnen de poer zal onder een gegeven belasting uit de mastconstructie een van de palen relatief zwaarder worden belast dan op basis van een gelijkmatige spreiding. Dit is meegenomen in de controle van de palen op trek- en drukbelasting via de factor "efficiëntie", zie de tabel in Appendix C.

De berekening van de horizontale afdracht verschaft daarnaast informatie over de combinatie van axiale krachten en buiging in de paalschacht. De aldus gevonden spanningen worden gebruikt in de toetsing van de doorsnede van de buispaal. De berekening is opgenomen in Appendix E.

4.4.2 Horizontale verplaatsing

De TenneT-specificatie “Paalfunderingen” stelt eisen aan de maximale onderlinge verplaatsing van de fundatie bij de randstijl. Deze mag niet meer bedragen dan 1/400 b. Verplaatsingseisen worden gesteld voor de karakteristieke belastingen, zonder belastingfactoren. In Appendix E is verdere invulling gegeven aan deze eis.

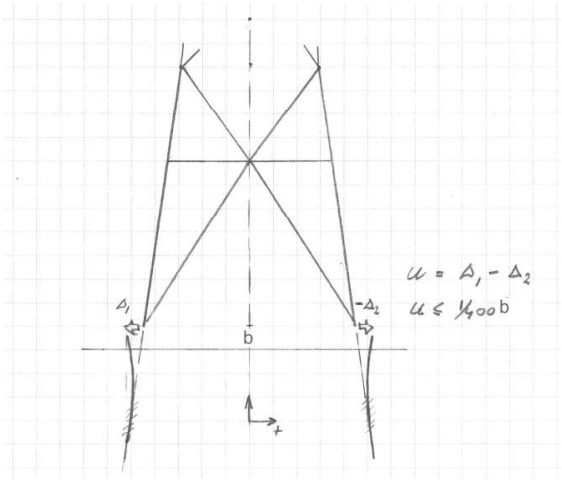

Figuur 5 Eis aan de horizontale verplaatsing

4.5 Wapening

Het detailleren van de wapening van de poer valt buiten de scope van dit rapport. De benodigde wapening is in de UO-fase door opdrachtnemer te bepalen.

In de berekening van de poerwapening moet gebruik worden gemaakt van staafwerkmodellen vanwege de gedrongen constructie. In Appendix E is hiervoor een model opgenomen, waaruit de hoogte van de poer is bepaald.

5 RESULTATEN

5.1 Verticaal draagvermogen

De resultaten van de berekeningen zijn samengevat in Appendix D. Voor alle van toepassing zijnde locaties is de toetsing uitgedrukt in de Unity-Check. De toetsing voor trek en druk is opgenomen. Er is rekening gehouden met ongelijke spreiding van belasting over de palen in de fundatie. Alle Unity-checks op één na (die is 0,91) zijn kleiner dan 0,9, dus voldoen de fundaties aan het gestelde uitgangspunt. De paallengte is groter dan de minimale lengte benodigd voor het kluitgewicht.

In Tabel 13 is per sondering weergegeven met welke basis de lengte van de schroefinjectiepalen bepaald is. Bij sonderingen was met de paaldiameter van 508 mm de drie- of vierpaalsfundering haalbaar. Bij één sondering was de drukbelasting maatgevend.

Tabel 14 Resultaat per sondering

CPT bestand	Gemeente	Bijzonderheden
2019-1008_1.GEF	Reimerswaal	Trek maatgevend, driepaals en vierpaals poeren toegepast.
2019-1008_6.GEF	Bergen op Zoom	Trek maatgevend, driepaals en vierpaals poeren toegepast.
02P001595_166.S01.GEF	Roosendaal	Trek maatgevend, driepaals en vierpaals poeren toegepast.
2019-1008_11.GEF	Halderberge	Trek maatgevend, driepaals en vierpaals poeren toegepast.
2019-1008_12.GEF	Halderberge	Trek maatgevend, driepaals en vierpaals poeren toegepast.
2019-1008_17.GEF	Moerdijk	Trek maatgevend, driepaals poeren toegepast.
2019-1008_20.GEF	Moerdijk	Trek maatgevend, vierpaals poeren toegepast.
2019-1008_21.GEF	Moerdijk	Trek en druk maatgevend, vierpaals poeren toegepast.
02P001595_251.S01.GEF	Drimmelen	Trek maatgevend, driepaals en vierpaals poeren toegepast.
2019-1008_29.GEF	Drimmelen	Trek maatgevend, driepaals en vierpaals poeren toegepast.
02P001595_283.S02.GEF	Geertruidenberg	Trek maatgevend, driepaals en vierpaals poeren toegepast.
2019-1008_35.GEF	Dongen	Trek maatgevend, vierpaals poeren toegepast.
02P001595_312.S03.GEF	Loon op Zand	Trek maatgevend, driepaals en vierpaals poeren toegepast.
2019-1008_43.GEF	Loon op Zand	Trek maatgevend, driepaals en vierpaals poeren toegepast.
02P001595_328.S02.GEF	Tilburg	Trek maatgevend, vierpaals poeren toegepast.

5.2 Horizontale krachtsafdracht

In Appendix E is het resultaat beschreven van de horizontale krachtsafdracht. Uit Tabel 14 blijkt dat de toetsing voldoet.

Tabel 15 Toetsing horizontale krachtsafdracht

	Berekend	Toelaatbaar		Unity-check	
Spanningscheck buispaal	154	355	N/mm^2	0,43	OK
Verplaatsing max. druk/trek	14,4	19,8	mm	0,73	OK
Verplaatsing bij torsie	18,0	29,4	mm	0,61	OK

5.3 Hoeveelheden

In Tabel 15 is als samenvatting het aantal palen, de lengte en maximale lengte opgenomen. Dit is gebaseerd op de resultaten per locatie.

Tabel 16 Hoeveelheden 3-paalspoer

Paaltype	Aantal locaties	Aantal palen	Gem. paallengte (m)	Max. paallengte (m)
SI Ø508/670	36	432	21,5	25
SI Ø610/850	0	nvt	nvt	nvt

Tabel 17 Hoeveelheden 4-paalspoer

Paaltype	Aantal locaties	Aantal palen	Gem. paallengte (m)	Max. paallengte (m)
SI Ø508/670	24	384	19,4	25,3
SI Ø610/850	0	nvt	nvt	nvt

APPENDIX A
Fundatiebelastingen

De reacties van de mastconstructie op de fundering worden in deze appendix gepresenteerd. Het gaat om de maatgevende waarden per masttype van de druk-, trek- en horizontale reacties. Vanwege de oriëntatie van de funderingspaal, zijn de waarden beschreven in de X-, Y-, en Z-coördinaat van het globale assenstelsel en in het lokale assenstelsel van de randstijl ("leg direction"). De gegeven waarden zijn een samenvatting over alle berekende belastingcombinaties en zijn gebaseerd op de grootste waarden van elk van de vier fundatiepunten van de mast. De reacties zijn ontleend aan de berekening van PLS-TOWER, dit wijkt af van de mastrapportages waarin uitvoer vanuit het programma "geleiderbelastingen" is opgenomen.

De twee belangrijkste waarden van de funderingsreacties worden gevormd door de trek- en de drukkracht vanuit de randstijl. In geval van een drukkracht zal gezien in het *globale* assenstelsel bij een hellende randstijl een naar buiten gerichte horizontale kracht werken, zie Figuur 6. In geval van een trekkracht in de randstijl is de horizontale component naar binnen gericht.

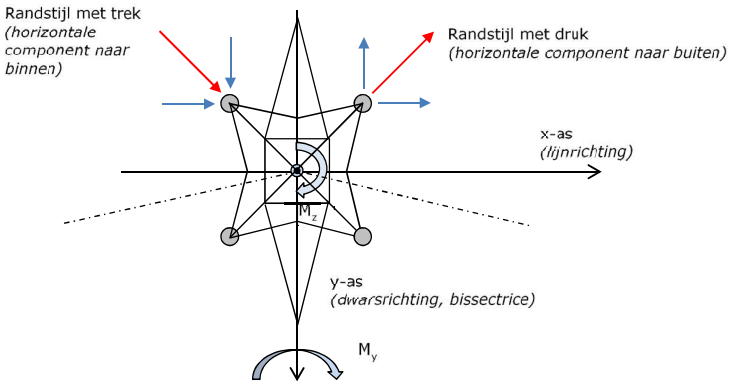

Figuur 6 Belasting bij maximale trek- of drukbelasting vanuit de mast

In het geval van torsiebelasting op de mast, bij steunmasten is dat onder de combinatie 5a (geleiderbreuk), bij hoekmasten door de afwezigheid van geleiders aan één zijde van de mast (special limit state), werkt er een significante horizontale kracht op de fundering *haaks* op de richting van de randstijl. Voor de berekening van de horizontale krachtsafdracht van de fundering moet met de belasting door torsie rekening worden gehouden.

In tegenstelling tot de horizontaalkracht bij maximale verticale druk- of trekkracht, is de horizontale belasting door torsie niet gerelateerd aan de trek- of drukkracht in de randstijl. Op de bladzijde "max. trekbelasting en torsie" zijn de combinaties opgezocht waarbij zowel een grote trekkracht optreedt als een horizontale kracht door torsie.

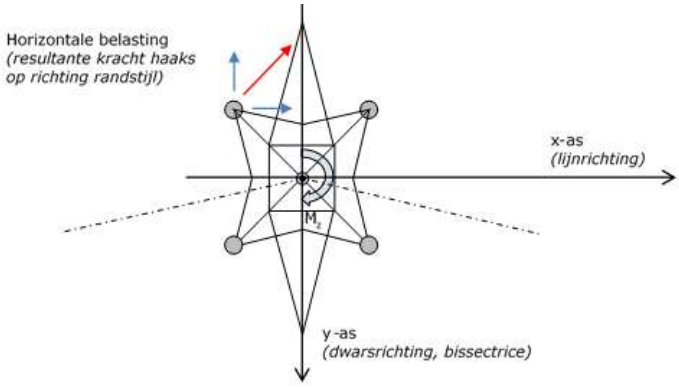

Figuur 7 Belasting bij torsiebelasting vanuit de mast

Belastingen op de fundatie in het lokale coördinatenstelsel zijn uitgedrukt in de radiale en tangentiële richting eta en xi, zie Figuur 8.

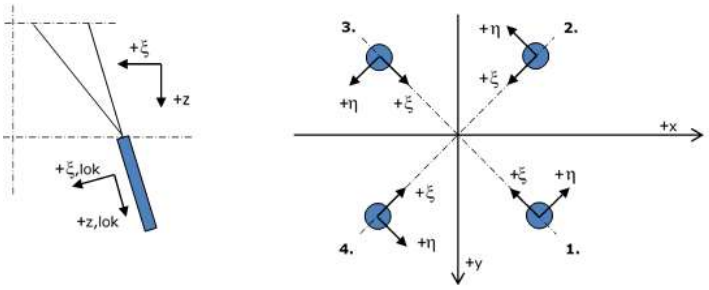

Figuur 8 Lokaal assenstelsel

Project: **RLL-TLB**
Uitgangspunt: **Nieuwbouw**
Datum: **15-10-2021**

Betreft **Trekbelasting**
Richting **Globale assenstelsel**

Mastnummer	Masttype	Verticaal trek [kN]	X-richting [kN]	Y-richting [kN]	Betrouwbaarheidsniveau	Bijbehorende loadcase
1007	HA+0_s	2722,0	422,7	-497,6	Nieuwbouw CC2	SPLS 3_0,9_90 Ah All Cts
1063	HA+3_s	2503,7	390,3	-452,2	Nieuwbouw CC2	SPLS 3_0,9_90 Ah All Cts
1055	HB+6_s	2675,5	437,5	-476,0	Nieuwbouw CC2	SPLS 3_0,9_70 Ah All Cts_140gr
1150	WA+0_s	2577,1	399,5	-466,4	Nieuwbouw CC2	SPLS 3_0,9_90 Ah All Cts
1151	HB+19_s	3014,6	-612,9	-478,7	Nieuwbouw CC2	ULS 1a_0,9_110_140gr
1052	HC+0_s	3132,9	573,7	-486,5	Nieuwbouw CC2	ULS 1a_0,9_60_120gr
1001-gen	EB-3_s	3398,4	-594,3	-594,0	Nieuwbouw CC2	ULS 1a_0,9_110
1205-gen.	EB+0_s	3349,1	566,6	-567,6	Nieuwbouw CC2	ULS 1a_0,9_70
1014	EA-3_so	3386,5	-561,3	-648,7	Nieuwbouw CC2	ULS 1a_0,9_75
1188	HA+0_c	3572,9	565,0	-642,9	Nieuwbouw CC2	SPLS 3_0,9_90 Ah All Cts
1014	EA-3_so	3386,5	-561,3	-648,7	Nieuwbouw CC2	ULS 1a_0,9_75
1094	HA+3_c	3501,6	562,9	-645,0	Nieuwbouw CC2	SPLS 3_0,9_90 Ah All Cts
1114	HA+3_ca	3529,2	557,8	-632,9	Nieuwbouw CC2	SPLS 3_0,9_90 Ah All Cts
1044	WA+0_c	3649,6	574,4	-659,4	Nieuwbouw CC2	SPLS 3_0.9_90 Ah All Cts
1078	WA+6_c	3493,2	562,9	-664,5	Nieuwbouw CC2	SPLS 3_0,9_90 Ah All Cts
1067	HA+6_c	3501,6	562,9	-645,0	Nieuwbouw CC2	SPLS 3_0,9_90 Ah All Cts
1184	HB+0_c	3629,0	570,5	-654,8	Nieuwbouw CC2	SPLS 3_0,9_90 Ah All Cts_160gr
1079	HB+6_c	3825,0	635,7	-682,3	Nieuwbouw CC2	SPLS 3_0,9_70 Ah All Cts_140gr
1192	WB+0_c	3974,8	649,8	-693,7	Nieuwbouw CC2	SPLS 3_0.9_70 Ah All Cts_140gr
1025	EA-3_co	4188,5	699,6	-788,4	Nieuwbouw CC2	ULS 1a_0,9_105
1187	HC+0_c	4465,4	813,6	-700,9	Nieuwbouw CC2	ULS 1a_0,9_60_120gr
1150	WA+0_s	2577,1	399,5	-466,4	Nieuwbouw CC2	SPLS 3_0,9_90 Ah All Cts
1078	WA+6_c	3493,2	562,9	-664,5	Nieuwbouw CC2	SPLS 3_0,9_90 Ah All Cts
1192	WB+0_c	3974,8	649,8	-693,7	Nieuwbouw CC2	SPLS 3_0.9_70 Ah All Cts_140gr

Project: **RLL-TLB**
Uitgangspunt: **Nieuwbouw**
Datum: **15-10-2021**

Betreft **Drukbelasting**
Richting **Globale assenstelsel**

Mastnummer	Masttype	Verticaal druk [kN]	X-richting [kN]	Y-richting [kN]	Betrouwbaarheidsniveau	Bijbehorende loadcase
1007	HA+0_s	-3139,4	496,1	-585,6	Nieuwbouw CC2	SPLS 3_90 Ah All Cts
1063	HA+3_s	-2947,3	475,6	-549,7	Nieuwbouw CC2	SPLS 3_90 Ah All Cts
1055	HB+6_s	-3154,7	521,8	-586,8	Nieuwbouw CC2	SPLS 3_70 Ah All Cts_140gr
1150	WA+0_s	-3054,0	484,0	-568,4	Nieuwbouw CC2	SPLS 3_90 Ah All Cts
1014	EA-3_so	-3890,8	-646,4	-748,7	Nieuwbouw CC2	ULS 1a_90
1052	HC+0_s	-3648,9	652,9	-606,7	Nieuwbouw CC2	ULS 1a_60_120gr
1001-gen	EB-3_s	-3858,7	-657,7	-705,6	Nieuwbouw CC2	ULS 1a_110
1205-gen.	EB+0_s	-3824,9	635,7	-678,7	Nieuwbouw CC2	ULS 1a_70
1014	EA-3_so	-3890,8	-646,4	-748,7	Nieuwbouw CC2	ULS 1a_90
1188	HA+0_c	-4258,1	698,7	-798,5	Nieuwbouw CC2	SPLS 3_90 Ah All Cts
1014	EA-3_so	-3890,8	-646,4	-748,7	Nieuwbouw CC2	ULS 1a_90
1094	HA+3_c	-4231,8	704,4	-805,8	Nieuwbouw CC2	SPLS 3_90 Ah All Cts
1114	HA+3_ca	-4316,8	706,3	-811,5	Nieuwbouw CC2	SPLS 3_90 Ah All Cts
1044	WA+0_c	-4326,7	691,5	-807,4	Nieuwbouw CC2	SPLS 3_90 Ah All Cts
1078	WA+6_c	-4255,5	709,1	-837,4	Nieuwbouw CC2	SPLS 3_90 Ah All Cts
1067	HA+6_c	-4231,8	704,4	-805,8	Nieuwbouw CC2	SPLS 3_90 Ah All Cts
1184	HB+0_c	-4289,1	686,8	-796,0	Nieuwbouw CC2	SPLS 3_90 Ah All Cts_160gr
1079	HB+6_c	-4558,7	764,0	-855,5	Nieuwbouw CC2	SPLS 3_70 Ah All Cts_140gr
1192	WB+0_c	-4656,4	750,6	-858,8	Nieuwbouw CC2	SPLS 3_70 Ah All Cts_140gr
1025	EA-3_co	-4834,5	814,8	-920,5	Nieuwbouw CC2	ULS 1a_105
1187	HC+0_c	-5205,5	922,9	-875,5	Nieuwbouw CC2	ULS 1a_60_120gr
1150	WA+0_s	-3054,0	484,0	-568,4	Nieuwbouw CC2	SPLS 3_90 Ah All Cts
1078	WA+6_c	-4255,5	709,1	-837,4	Nieuwbouw CC2	SPLS 3_90 Ah All Cts
1192	WB+0_c	3150,5	730,6	296,7	Nieuwbouw CC2	SPLS 3_0.9_90 Ah Ct1_140gr

Project: **RLL-TLB**
Uitgangspunt: **Nieuwbouw**
Datum: **15-10-2021**

Betreft **Trekbelasting**
Richting **Lokale assenstelsel**

Mastnummer	Masttype	Verticaal trek [kN]	Xi-richting [kN]	Eta-richting [kN]	Betrouwbaarheidsniveau	Bijbehorende loadcase
1007	HA+0_s	2797,6	80,6	-53,0	Nieuwbouw CC2	SPLS 3_0,9_90 Ah All Cts
1063	HA+3_s	2572,6	77,0	-43,7	Nieuwbouw CC2	SPLS 3_0,9_90 Ah All Cts
1055	HB+6_s	2751,5	73,0	-27,2	Nieuwbouw CC2	SPLS 3_0,9_70 Ah All Cts_140gr
1150	WA+0_s	2648,0	68,2	-47,3	Nieuwbouw CC2	SPLS 3_0,9_90 Ah All Cts
1014	EA-3_so	3492,5	54,4	61,8	Nieuwbouw CC2	ULS 1a_0,9_75
1052	HC+0_s	3220,1	92,1	61,7	Nieuwbouw CC2	ULS 1a_0,9_60_120gr
1001-gen	EB-3_s	3500,1	72,9	-0,2	Nieuwbouw CC2	ULS 1a_0,9_110
1205-gen.	EB+0_s	3442,4	98,0	-0,7	Nieuwbouw CC2	ULS 1a_0,9_70
1014	EA-3_so	3492,5	54,4	61,8	Nieuwbouw CC2	ULS 1a_0,9_75
1188	HA+0_c	3672,2	105,9	-55,1	Nieuwbouw CC2	SPLS 3_0,9_90 Ah All Cts
1014	EA-3_so	3492,5	54,4	61,8	Nieuwbouw CC2	ULS 1a_0,9_75
1094	HA+3_c	3603,3	86,8	-58,1	Nieuwbouw CC2	SPLS 3_0,9_90 Ah All Cts
1114	HA+3_ca	3626,8	106,3	-53,1	Nieuwbouw CC2	SPLS 3_0,9_90 Ah All Cts
1044	WA+0_c	3750,9	108,2	-60,1	Nieuwbouw CC2	SPLS 3_0.9_90 Ah All Cts
1078	WA+6_c	3598,8	70,7	-71,8	Nieuwbouw CC2	SPLS 3_0,9_90 Ah All Cts
1067	HA+6_c	3603,3	86,8	-58,1	Nieuwbouw CC2	SPLS 3_0,9_90 Ah All Cts
1184	HB+0_c	3729,5	108,7	-59,6	Nieuwbouw CC2	SPLS 3_0,9_90 Ah All Cts_160gr
1079	HB+6_c	3935,8	95,8	-32,9	Nieuwbouw CC2	SPLS 3_0,9_70 Ah All Cts_140gr
1192	WB+0_c	4085,2	118,1	-31,0	Nieuwbouw CC2	SPLS 3_0.9_70 Ah All Cts_140gr
1025	EA-3_co	4318,0	73,3	-62,8	Nieuwbouw CC2	ULS 1a_0,9_105
1187	HC+0_c	4590,4	129,0	79,6	Nieuwbouw CC2	ULS 1a_0,9_60_120gr
1150	WA+0_s	2648,0	68,2	-47,3	Nieuwbouw CC2	SPLS 3_0,9_90 Ah All Cts
1078	WA+6_c	3598,8	70,7	-71,8	Nieuwbouw CC2	SPLS 3_0,9_90 Ah All Cts
1192	WB+0_c	3150,5	93,2	296,7	Nieuwbouw CC2	SPLS 3_0.9_90 Ah Ct1_140gr

Project: **RLL-TLB**
Uitgangspunt: **Nieuwbouw**
Datum: **15-10-2021**

Betreft **Drukbelasting**
Richting **Lokale assenstelsel**

Mastnummer	Masttype	Verticaal druk [kN]	Xi-richting [kN]	Eta-richting [kN]	Betrouwbaarheidsniveau	Bijbehorende loadcase
1007	HA+0_s	-3230,3	-78,7	63,3	Nieuwbouw CC2	SPLS 3_90 Ah All Cts
1063	HA+3_s	-3034,4	-67,0	52,4	Nieuwbouw CC2	SPLS 3_90 Ah All Cts
1055	HB+6_s	-3250,1	-63,8	45,9	Nieuwbouw CC2	SPLS 3_70 Ah All Cts_140gr
1150	WA+0_s	-3142,8	-62,2	59,7	Nieuwbouw CC2	SPLS 3_90 Ah All Cts
1014	EA-3_so	-4013,5	-59,0	-72,3	Nieuwbouw CC2	ULS 1a_90
1052	HC+0_s	-3755,0	-89,8	-32,7	Nieuwbouw CC2	ULS 1a_60_120gr
1001-gen	EB-3_s	-3976,7	-72,9	-33,9	Nieuwbouw CC2	ULS 1a_110
1205-gen.	EB+0_s	-3935,1	-98,3	30,4	Nieuwbouw CC2	ULS 1a_70
1014	EA-3_so	-4013,5	-59,0	-72,3	Nieuwbouw CC2	ULS 1a_90
1188	HA+0_c	-4387,0	-85,5	70,6	Nieuwbouw CC2	SPLS 3_90 Ah All Cts
1014	EA-3_so	-4013,5	-59,0	-72,3	Nieuwbouw CC2	ULS 1a_90
1094	HA+3_c	-4364,0	-69,2	71,7	Nieuwbouw CC2	SPLS 3_90 Ah All Cts
1114	HA+3_ca	-4447,4	-86,7	74,3	Nieuwbouw CC2	SPLS 3_90 Ah All Cts
1044	WA+0_c	-4453,5	-102,7	81,9	Nieuwbouw CC2	SPLS 3_90 Ah All Cts
1078	WA+6_c	-4393,5	-50,0	90,7	Nieuwbouw CC2	SPLS 3_90 Ah All Cts
1067	HA+6_c	-4364,0	-69,2	71,7	Nieuwbouw CC2	SPLS 3_90 Ah All Cts
1184	HB+0_c	-4414,2	-104,0	77,3	Nieuwbouw CC2	SPLS 3_90 Ah All Cts_160gr
1079	HB+6_c	-4699,7	-79,7	64,7	Nieuwbouw CC2	SPLS 3_70 Ah All Cts_140gr
1192	WB+0_c	-4792,2	-113,2	76,5	Nieuwbouw CC2	SPLS 3_70 Ah All Cts_140gr
1025	EA-3_co	-4987,3	-72,0	74,8	Nieuwbouw CC2	ULS 1a_105
1187	HC+0_c	-5357,1	-127,1	-33,5	Nieuwbouw CC2	ULS 1a_60_120gr
1150	WA+0_s	-3142,8	-62,2	59,7	Nieuwbouw CC2	SPLS 3_90 Ah All Cts
1078	WA+6_c	-4393,5	-50,0	90,7	Nieuwbouw CC2	SPLS 3_90 Ah All Cts
1192	WB+0_c	3150,5	93,2	296,7	Nieuwbouw CC2	SPLS 3_0.9_90 Ah Ct1_140gr

Project: **RLL-TLB**
Uitgangspunt: **Nieuwbouw**
Datum: **15-10-2021**

Betreft **Torsiebelasting positief**
Richting **Lokale assenstelsel**

Mastnummer	Masttype	Verticaal [kN]	Xi-richting [kN]	Eta-richting [kN]	Betrouwbaarheidsniveau	Bijbehorende loadcase
1007	HA+0_s	18,2	18,3	241,8	Nieuwbouw CC2	SPLS 3_90 Ah Ct1
1063	HA+3_s	-3,4	21,6	206,2	Nieuwbouw CC2	SPLS 3_90 Ah Ct1
1055	HB+6_s	-644,9	5,7	210,2	Nieuwbouw CC2	SPLS 3_90 Ah Ct1_140gr
1150	WA+0_s	-35,4	15,6	254,4	Nieuwbouw CC2	SPLS 3_90 Ah Ct1
1014	EA-3_so	-1225,5	-19,1	219,6	Nieuwbouw CC2	SPLS 3_90 Ah Ct1
1052	HC+0_s	-631,6	-0,7	283,4	Nieuwbouw CC2	SPLS 3_90 Ah Ct1_140gr
1001-gen	EB-3_s	64,2	8,0	222,3	Nieuwbouw CC2	SPLS 3_110 Ah Ct1
1205-gen.	EB+0_s	349,8	29,4	230,3	Nieuwbouw CC2	SPLS 3_0,9_70 Ah All Cts_bouwfase
1014	EA-3_so	-1225,5	-19,1	219,6	Nieuwbouw CC2	SPLS 3_90 Ah Ct1
1188	HA+0_c	-16,1	33,6	332,2	Nieuwbouw CC2	SPLS 3_90 Ah Ct1
1014	EA-3_so	-1225,5	-19,1	219,6	Nieuwbouw CC2	SPLS 3_90 Ah Ct1
1094	HA+3_c	-50,2	30,6	311,8	Nieuwbouw CC2	SPLS 3_90 Ah Ct1
1114	HA+3_ca	-71,5	34,0	363,5	Nieuwbouw CC2	SPLS 3_90 Ah Ct1
1044	WA+0_c	-9,7	22,2	363,7	Nieuwbouw CC2	SPLS 3_90 Ah Ct1
1078	WA+6_c	-89,1	22,5	316,7	Nieuwbouw CC2	SPLS 3_90 Ah Ct1
1067	HA+6_c	-50,2	30,6	311,8	Nieuwbouw CC2	SPLS 3_90 Ah Ct1
1184	HB+0_c	29,8	25,5	375,0	Nieuwbouw CC2	SPLS 3_90 Ah Ct1_160gr
1079	HB+6_c	-925,6	11,4	322,6	Nieuwbouw CC2	SPLS 3_90 Ah Ct1_140gr
1192	WB+0_c	-914,2	1,5	377,5	Nieuwbouw CC2	SPLS 3_90 Ah Ct1_140gr
1025	EA-3_co	-2055,2	-22,9	348,1	Nieuwbouw CC2	SPLS 3_90 Ba Ct2
1187	HC+0_c	-868,2	0,9	392,2	Nieuwbouw CC2	SPLS 3_90 Ah Ct1_140gr
1150	WA+0_s	-35,4	15,6	254,4	Nieuwbouw CC2	SPLS 3_90 Ah Ct1
1078	WA+6_c	-89,1	22,5	316,7	Nieuwbouw CC2	SPLS 3_90 Ah Ct1
1192	WB+0_c	3150,5	93,2	296,7	Nieuwbouw CC2	SPLS 3_0,9_90 Ah Ct1_140gr

Project: **RLL-TLB**
Uitgangspunt: **Nieuwbouw**
Datum: **15-10-2021**

Betreft **Torsiebelasting negatief**
Richting **Lokale assenstelsel**

Mastnummer	Masttype	Verticaal [kN]	Xi-richting [kN]	Eta-richting [kN]	Betrouwbaarheidsniveau	Bijbehorende loadcase
1007	HA+0_s	-34,5	16,9	-242,9	Nieuwbouw CC2	SPLS 3_90 Ba Ct1
1063	HA+3_s	-30,7	20,9	-206,8	Nieuwbouw CC2	SPLS 3_90 Ba Ct1
1055	HB+6_s	-657,4	5,5	-210,6	Nieuwbouw CC2	SPLS 3_90 Ba Ct1_140gr
1150	WA+0_s	-54,2	13,2	-253,6	Nieuwbouw CC2	SPLS 3_90 Ba Ct1
1014	EA-3_so	-1774,6	-21,5	-264,9	Nieuwbouw CC2	ULS 3_90_Bouwfase
1052	HC+0_s	-659,6	-1,4	-284,5	Nieuwbouw CC2	SPLS 3_90 Ba Ct1_140gr
1001-gen	EB-3_s	339,6	26,3	-235,9	Nieuwbouw CC2	SPLS 3_0,9_110 Ba All Cts_bouwfase
1205-gen.	EB+0_s	53,7	10,9	-215,5	Nieuwbouw CC2	SPLS 3_70 Ba Ct1
1014	EA-3_so	-1774,6	-21,5	-264,9	Nieuwbouw CC2	ULS 3_90_Bouwfase
1188	HA+0_c	-55,2	32,6	-333,4	Nieuwbouw CC2	SPLS 3_90 Ba Ct1
1014	EA-3_so	-1774,6	-21,5	-264,9	Nieuwbouw CC2	ULS 3_90_Bouwfase
1094	HA+3_c	-76,7	29,6	-312,6	Nieuwbouw CC2	SPLS 3_90 Ba Ct1
1114	HA+3_ca	-127,7	30,1	-366,5	Nieuwbouw CC2	SPLS 3_90 Ba Ct1
1044	WA+0_c	-61,1	21,0	-363,0	Nieuwbouw CC2	SPLS 3_90 Ba Ct1
1078	WA+6_c	-140,6	21,2	-318,1	Nieuwbouw CC2	SPLS 3_90 Ba Ct1
1067	HA+6_c	-76,7	29,6	-312,6	Nieuwbouw CC2	SPLS 3_90 Ba Ct1
1184	HB+0_c	-24,7	24,0	-376,8	Nieuwbouw CC2	SPLS 3_90 Ba Ct1_160gr
1079	HB+6_c	-944,0	11,0	-323,1	Nieuwbouw CC2	SPLS 3_90 Ba Ct1_140gr
1192	WB+0_c	-944,6	2,3	-378,8	Nieuwbouw CC2	SPLS 3_90 Ba Ct1_140gr
1025	EA-3_co	-1719,6	-25,9	-340,9	Nieuwbouw CC2	SPLS 3_90 Ba Ct1
1187	HC+0_c	-908,3	-0,2	-393,6	Nieuwbouw CC2	SPLS 3_90 Ba Ct1_140gr
1150	WA+0_s	-54,2	13,2	-253,6	Nieuwbouw CC2	SPLS 3_90 Ba Ct1
1078	WA+6_c	-140,6	21,2	-318,1	Nieuwbouw CC2	SPLS 3_90 Ba Ct1
1192	WB+0_c	3150,5	93,2	296,7	Nieuwbouw CC2	SPLS 3_0,9_90 Ah Ct1_140gr

Project: **RLL-TLB**
Uitgangspunt: **Nieuwbouw**
Datum: **15-10-2021**

Betreft **Max. trekbelasting + torsie**
Richting **Lokale assenstelsel**

Mastnummer	Masttype	Verticaal [kN]	Xi-richting [kN]	Eta-richting [kN]	Betrouwbaarheidsniveau	Bijbehorende loadcase
1007	HA+0_s	1850,5	53,8	-192,3	Nieuwbouw CC2	SPLS 3_0,9_90 Ah Ct2
1063	HA+3_s	1676,8	52,0	-168,4	Nieuwbouw CC2	SPLS 3_0,9_90 Ah Ct2
1055	HB+6_s	2122,2	57,7	157,3	Nieuwbouw CC2	SPLS 3_0,9_90 Ah Ct1_140gr
1150	WA+0_s	1740,7	47,5	-202,0	Nieuwbouw CC2	SPLS 3_0,9_90 Ah Ct2
1014	EA-3_so	3492,5	54,4	61,8	Nieuwbouw CC2	ULS 1a_0,9_75
1052	HC+0_s	2636,1	84,0	204,3	Nieuwbouw CC2	SPLS 3_0,9_60 Ah Ct1_120gr
1001-gen	EB-3_s	1328,0	29,0	-182,9	Nieuwbouw CC2	SPLS 3_0,9_110 Ba All Cts_bouwfase
1205-gen.	EB+0_s	1336,0	40,5	167,4	Nieuwbouw CC2	SPLS 3_0,9_70 Ah All Cts_bouwfase
1014	EA-3_so	3492,5	54,4	61,8	Nieuwbouw CC2	ULS 1a_0,9_75
1188	HA+0_c	2382,1	73,7	-278,4	Nieuwbouw CC2	SPLS 3_0,9_90 Ah Ct2
1014	EA-3_so	3492,5	54,4	61,8	Nieuwbouw CC2	ULS 1a_0,9_75
1094	HA+3_c	2323,6	60,1	-259,7	Nieuwbouw CC2	SPLS 3_0,9_90 Ah Ct2
1114	HA+3_ca	2334,5	73,9	-307,4	Nieuwbouw CC2	SPLS 3_0,9_90 Ah Ct2
1044	WA+0_c	2440,2	74,1	-301,7	Nieuwbouw CC2	SPLS 3_0,9_90 Ah Ct2
1078	WA+6_c	2325,9	52,2	-263,0	Nieuwbouw CC2	SPLS 3_0,9_90 Ah Ct2
1067	HA+6_c	2323,6	60,1	-259,7	Nieuwbouw CC2	SPLS 3_0,9_90 Ah Ct2
1184	HB+0_c	2425,5	73,5	-314,6	Nieuwbouw CC2	SPLS 3_0,9_90 Ah Ct2_160gr
1079	HB+6_c	3014,0	76,0	249,5	Nieuwbouw CC2	SPLS 3_0,9_90 Ah Ct1_140gr
1192	WB+0_c	3150,5	93,2	296,7	Nieuwbouw CC2	SPLS 3_0,9_90 Ah Ct1_140gr
1025	EA-3_co	1484,1	44,9	-337,6	Nieuwbouw CC2	SPLS 3_0,9_90 Ba Ct1
1187	HC+0_c	3773,6	116,1	290,2	Nieuwbouw CC2	SPLS 3_0,9_60 Ah Ct1_120gr
1150	WA+0_s	1740,7	47,5	-202,0	Nieuwbouw CC2	SPLS 3_0,9_90 Ah Ct2
1078	WA+6_c	2325,9	52,2	-263,0	Nieuwbouw CC2	SPLS 3_0,9_90 Ah Ct2
1192	WB+0_c	3150,5	93,2	296,7	Nieuwbouw CC2	SPLS 3_0,9_90 Ah Ct1_140gr

APPENDIX B
Fundatiegegevens

Paalgegevens

Mastnr.	Masttype	Aantal palen	Paaltype	Paallengte [m]	Paal boven maaiveld [m]	Paalpuntniveau t.o.v. MV [m]	Maaiveld t.o.v. NAP [m]	Bovenkant fundatie t.o.v. NAP [m]	Paal tov. bk. fundatie [m]	Paalpuntniveau t.o.v. NAP [m]
1001 gen	EB-3_s	4	SI Ø508/670	20,84	0,00	-20,84	0,84	1,34	0,50	-20,00
1002	HA+0_s	3	SI Ø508/670	22,23	0,00	-22,23	1,23	1,73	0,50	-21,00
1005	HA+0_s	3	SI Ø508/670	22,87	0,00	-22,87	1,87	2,37	0,50	-21,00
1007	HA+0_s	3	SI Ø610/850	22,53	0,00	-22,53	1,53	2,03	0,50	-21,00
1014	EA-3_so	4	SI Ø508/670	21,46	0,00	-21,46	1,46	1,96	0,50	-20,00
1025	EA-3_co	4	SI Ø508/670	16,36	0,00	-16,36	7,86	8,36	0,50	-8,50
1027	HB+0_c	3	SI Ø508/670	19,59	0,00	-19,59	8,09	8,59	0,50	-11,50
1037	HB+0_c	3	SI Ø508/670	24,50	0,00	-24,50	7,00	7,50	0,50	-17,50
1051	HA+0_ci	4	SI Ø762/950	21,49	0,00	-21,49	1,99	2,49	0,50	-19,50
1052	HC+0_s	3	SI Ø762/950	23,01	0,00	-23,01	1,01	1,51	0,50	-22,00
1055	HB+6_s	3	SI Ø508/670	21,24	0,00	-21,24	1,24	1,74	0,50	-20,00
1060	HA+0_s	3	SI Ø610/850	21,95	0,00	-21,95	1,95	2,45	0,50	-20,00
1062	HA+3_s	3	SI Ø508/670	13,80	0,00	-13,80	2,30	2,80	0,50	-11,50
1063	HA+3_s	3	SI Ø508/670	12,81	0,00	-12,81	1,31	1,81	0,50	-11,50
1066	HA+0_ci	4	SI Ø508/670	15,61	0,00	-15,61	4,11	4,61	0,50	-11,50
1067	HA+6_c	3	SI Ø508/670	22,99	0,00	-22,99	2,99	3,49	0,50	-20,00
1068	HA+6_c	3	SI Ø508/670	22,93	0,00	-22,93	2,93	3,43	0,50	-20,00
1069	HA+6_c	3	SI Ø508/670	22,40	0,00	-22,40	2,40	2,90	0,50	-20,00
1079	HB+6_c	3	SI Ø508/670	24,99	0,00	-24,99	0,29	0,79	0,50	-24,70
1086	HA+0_c	3	SI Ø610/850	23,31	0,00	-23,31	-0,19	0,31	0,50	-23,50
1094	HA+3_c	4	SI Ø508/670	22,40	0,00	-22,40	-0,60	-0,10	0,50	-23,00
1095	HA+3_c	4	SI Ø508/670	22,90	0,00	-22,90	-0,10	0,40	0,50	-23,00
1098	HA+0_ci	4	SI Ø508/670	23,73	0,00	-23,73	0,23	0,73	0,50	-23,50
1099	HA+0_ci	4	SI Ø508/670	25,28	0,00	-25,28	2,28	2,78	0,50	-23,00
1114	HA+3_ca	4	SI Ø508/670	18,24	0,00	-18,24	-0,26	0,24	0,50	-18,50
1123	HA+0_c	3	SI Ø508/670	23,84	0,00	-23,84	-0,66	-0,16	0,50	-24,50
1130	HA+0_c	3	SI Ø508/670	23,80	0,00	-23,80	-0,70	-0,20	0,50	-24,50
1131	HC+0_c	4	SI Ø508/670	19,64	0,00	-19,64	-1,36	-0,86	0,50	-21,00
1133	HC+0_c	4	SI Ø508/670	19,84	0,00	-19,84	-1,17	-0,67	0,50	-21,00
1147	HA+0_ci	4	SI Ø508/670	16,43	0,00	-16,43	0,43	0,93	0,50	-16,00
1148	HB+19_s	3	SI Ø508/670	19,63	0,00	-19,63	0,13	0,63	0,50	-19,50
1151	HB+19_s	3	SI Ø508/670	19,95	0,00	-19,95	0,45	0,95	0,50	-19,50
1152	HB+19_s	3	SI Ø508/670	20,01	0,00	-20,01	0,51	1,01	0,50	-19,50
1153	HA+0_ci	4	SI Ø508/670	18,66	0,00	-18,66	1,16	1,66	0,50	-17,50
1159	HC+0_c	4	SI Ø508/670	20,24	0,00	-20,24	0,24	0,74	0,50	-20,00
1167	HA+0_ci	4	SI Ø508/670	18,02	0,00	-18,02	-0,48	0,02	0,50	-18,50
1168	HA+0_ci	4	SI Ø508/670	17,88	0,00	-17,88	-0,62	-0,12	0,50	-18,50
1184	HB+0_c	3	SI Ø508/670	20,55	0,00	-20,55	1,55	2,05	0,50	-19,00
1187	HC+0_c	4	SI Ø508/670	19,00	0,00	-19,00	3,00	3,50	0,50	-16,00
1188	HB+0_c	3	SI Ø508/670	22,04	0,00	-22,04	3,54	4,04	0,50	-18,50
1194	HA+6_c	3	SI Ø508/670	18,36	0,00	-18,36	5,86	6,36	0,50	-12,50
1196	HA+0_c	3	SI Ø508/670	19,94	0,00	-19,94	7,44	7,94	0,50	-12,50
1199	HA+0_c	3	SI Ø508/670	22,21	0,00	-22,21	9,71	10,21	0,50	-12,50
1204	HA+0_ci	4	SI Ø508/670	17,68	0,00	-17,68	10,68	11,18	0,50	-7,00
1205	EB+0_s	4	SI Ø508/670	13,50	0,00	-13,50	11,00	11,50	0,50	-2,50

Poergegevens

Mastnr.	Masttype	Poertype	L [m]	b [m]2	h [m]	Bovenkant poer tov. NAP [m]	Bovenkant poer tov MV [m] (1)	Onderkant poer tov. MV [m]	Volume. onder GWS [m]	Volume poer [m^3]	EG_{poer} [kN]
1001 gen	EB-3_s	4-paalspoer	3,50	3,50	2,25	1,34	0,50	-1,75	16,84	21,65	541
1002	HA+0_s	3-paalspoer	3,00	3,00	2,25	1,73	0,50	-1,75	12,37	15,90	398
1005	HA+0_s	3-paalspoer	3,00	3,00	2,25	2,37	0,50	-1,75	12,37	15,90	398
1007	HA+0_s	3-paalspoer	3,00	3,00	2,25	2,03	0,50	-1,75	12,37	15,90	398
1014	EA-3_so	4-paalspoer	3,50	3,50	2,25	1,96	0,50	-1,75	16,84	21,65	541
1025	EA-3_co	4-paalspoer	3,50	3,50	2,25	8,36	0,50	-1,75	16,84	21,65	541
1027	HB+0_c	3-paalspoer	3,00	3,00	2,25	8,59	0,50	-1,75	12,37	15,90	398
1037	HB+0_c	3-paalspoer	3,00	3,00	2,25	7,50	0,50	-1,75	12,37	15,90	398
1051	HA+0_ci	4-paalspoer	3,50	3,50	2,25	2,49	0,50	-1,75	16,84	21,65	541
1052	HC+0_s	3-paalspoer	3,00	3,00	2,25	1,51	0,50	-1,75	12,37	15,90	398
1055	HB+6_s	3-paalspoer	3,00	3,00	2,25	1,74	0,50	-1,75	12,37	15,90	398
1060	HA+0_s	3-paalspoer	3,00	3,00	2,25	2,45	0,50	-1,75	12,37	15,90	398
1062	HA+3_s	3-paalspoer	3,00	3,00	2,25	2,80	0,50	-1,75	12,37	15,90	398
1063	HA+3_s	3-paalspoer	3,00	3,00	2,25	1,81	0,50	-1,75	12,37	15,90	398
1066	HA+0_ci	4-paalspoer	3,50	3,50	2,25	4,61	0,50	-1,75	16,84	21,65	541
1067	HA+6_c	3-paalspoer	3,00	3,00	2,25	3,49	0,50	-1,75	12,37	15,90	398
1068	HA+6_c	3-paalspoer	3,00	3,00	2,25	3,43	0,50	-1,75	12,37	15,90	398
1069	HA+6_c	3-paalspoer	3,00	3,00	2,25	2,90	0,50	-1,75	12,37	15,90	398
1079	HB+6_c	3-paalspoer	3,00	3,00	2,25	0,79	0,50	-1,75	12,37	15,90	398
1086	HA+0_c	3-paalspoer	3,00	3,00	2,25	0,31	0,50	-1,75	12,37	15,90	398
1094	HA+3_c	4-paalspoer	3,50	3,50	2,25	-0,10	0,50	-1,75	16,84	21,65	541
1095	HA+3_c	4-paalspoer	3,50	3,50	2,25	0,40	0,50	-1,75	16,84	21,65	541
1098	HA+0_ci	4-paalspoer	3,50	3,50	2,25	0,73	0,50	-1,75	16,84	21,65	541
1099	HA+0_ci	4-paalspoer	3,50	3,50	2,25	2,78	0,50	-1,75	16,84	21,65	541
1114	HA+3_ca	4-paalspoer	3,50	3,50	2,25	0,24	0,50	-1,75	16,84	21,65	541
1123	HA+0_c	3-paalspoer	3,00	3,00	2,25	-0,16	0,50	-1,75	12,37	15,90	398
1130	HA+0_c	3-paalspoer	3,00	3,00	2,25	-0,20	0,50	-1,75	12,37	15,90	398
1131	HC+0_c	4-paalspoer	3,50	3,50	2,25	-0,86	0,50	-1,75	16,84	21,65	541
1133	HC+0_c	4-paalspoer	3,50	3,50	2,25	-0,67	0,50	-1,75	16,84	21,65	541
1147	HA+0_ci	4-paalspoer	3,50	3,50	2,25	0,93	0,50	-1,75	16,84	21,65	541
1148	HB+19_s	3-paalspoer	3,00	3,00	2,25	0,63	0,50	-1,75	12,37	15,90	398
1151	HB+19_s	3-paalspoer	3,00	3,00	2,25	0,95	0,50	-1,75	12,37	15,90	398
1152	HB+19_s	3-paalspoer	3,00	3,00	2,25	1,01	0,50	-1,75	12,37	15,90	398
1153	HA+0_ci	4-paalspoer	3,50	3,50	2,25	1,66	0,50	-1,75	16,84	21,65	541
1159	HC+0_c	4-paalspoer	3,50	3,50	2,25	0,74	0,50	-1,75	16,84	21,65	541
1167	HA+0_ci	4-paalspoer	3,50	3,50	2,25	0,02	0,50	-1,75	16,84	21,65	541
1168	HA+0_ci	4-paalspoer	3,50	3,50	2,25	-0,12	0,50	-1,75	16,84	21,65	541
1184	HB+0_c	3-paalspoer	3,00	3,00	2,25	2,05	0,50	-1,75	12,37	15,90	398
1187	HC+0_c	4-paalspoer	3,50	3,50	2,25	3,50	0,50	-1,75	16,84	21,65	541
1188	HB+0_c	3-paalspoer	3,00	3,00	2,25	4,04	0,50	-1,75	12,37	15,90	398
1194	HA+6_c	3-paalspoer	3,00	3,00	2,25	6,36	0,50	-1,75	12,37	15,90	398
1196	HA+0_c	3-paalspoer	3,00	3,00	2,25	7,94	0,50	-1,75	12,37	15,90	398
1199	HA+0_c	3-paalspoer	3,00	3,00	2,25	10,21	0,50	-1,75	12,37	15,90	398
1204	HA+0_ci	4-paalspoer	3,50	3,50	2,25	11,18	0,50	-1,75	16,84	21,65	541
1205	EB+0_s	4-paalspoer	3,50	3,50	2,25	11,50	0,50	-1,75	16,84	21,65	541

APPENDIX C
Resultaten

Controle op trek en drukbelasting

Toetsing funderingen op trekbelasting

Mast	Masttype	Sondering	Poertype	Paaltype	PP niveau [m-NAP]	$F_{Ed,mast}$ [kN]	Aantal palen per randstijl	Effectiviteit palen	$F_{poer,d}$ [kN]	$F_{Ed,paal}$ [kN]	$F_{R,d,trek}$ [kN]	U.C.
1001 gen	EB-3_s	2019-1008_1.GEF	4-paalspoer	SI Ø508/670	-20,0	-3500	4	90%	319	884	978	0,90
1002	HA+0_s	2019-1008_1.GEF	3-paalspoer	SI Ø508/670	-21,0	-2798	3	85%	234	1005	1136	0,88
1005	HA+0_s	2019-1008_1.GEF	3-paalspoer	SI Ø508/670	-21,0	-2798	3	85%	234	1005	1136	0,88
1007	HA+0 s	2019-1008 1.GEF	3-paalspoer	SI Ø610/850	-21,0	-2798	3	85%	234	1005	1136	0,88
1014	EA-3_so	2019-1008_1.GEF	4-paalspoer	SI Ø508/670	-20,0	-3493	4	90%	319	882	978	0,90
1025	EA-3 co	2019-1008 6.GEF	4-paalspoer	SI Ø508/670	-8,5	-4318	4	90%	319	1111	1268	0,88
1027	HB+0_c	2019-1008_6.GEF	3-paalspoer	SI Ø508/670	-11,5	-3730	3	85%	234	1371	1558	0,88
1037	HB+0_c	02P001595_166.S01.GEF	3-paalspoer	SI Ø508/670	-17,5	-3730	3	85%	234	1371	1542	0,89
1051	HA+0_ci	2019-1008_11.GEF	4-paalspoer	SI Ø762/950	-19,5	-3656	4	90%	319	927	1065	0,87
1052	HC+0 s	2019-1008 11.GEF	3-paalspoer	SI Ø762/950	-22,0	-3220	3	85%	234	1171	1314	0,89
1055	HB+6_s	2019-1008_11.GEF	3-paalspoer	SI Ø508/670	-20,0	-2751	3	85%	234	987	1116	0,88
1060	HA+0_s	2019-1008_11.GEF	3-paalspoer	SI Ø610/850	-20,0	-2798	3	85%	234	1005	1116	0,90
1062	HA+3_s	2019-1008_12.GEF	3-paalspoer	SI Ø508/670	-11,5	-2573	3	85%	234	917	1029	0,89
1063	HA+3_s	2019-1008_12.GEF	3-paalspoer	SI Ø508/670	-11,5	-2573	3	85%	234	917	1029	0,89
1066	HA+0_ci	2019-1008_12.GEF	4-paalspoer	SI Ø508/670	-11,5	-3656	4	90%	319	927	1029	0,90
1067	HA+6 c	2019-1008 12.GEF	3-paalspoer	SI Ø508/670	-20,0	-3603	3	85%	234	1321	1469	0,90
1068	HA+6_c	2019-1008_12.GEF	3-paalspoer	SI Ø508/670	-20,0	-3603	3	85%	234	1321	1469	0,90
1069	HA+6 c	2019-1008 12.GEF	3-paalspoer	SI Ø508/670	-20,0	-3603	3	85%	234	1321	1469	0,90
1079	HB+6_c	2019-1008_17.GEF	3-paalspoer	SI Ø508/670	-24,7	-3936	3	85%	234	1452	1618	0,90
1086	HA+0_c	2019-1008_17.GEF	3-paalspoer	SI Ø610/850	-23,5	-3672	3	85%	234	1348	1524	0,88
1094	HA+3_c	2019-1008_20.GEF	4-paalspoer	SI Ø508/670	-23,0	-3603	4	90%	319	912	1015	0,90
1095	HA+3 c	2019-1008 20.GEF	4-paalspoer	SI Ø508/670	-23,0	-3603	4	90%	319	912	1015	0,90
1098	HA+0_ci	2019-1008_20.GEF	4-paalspoer	SI Ø508/670	-23,5	-3656	4	90%	319	927	1044	0,89
1099	HA+0 ci	2019-1008 20.GEF	4-paalspoer	SI Ø508/670	-23,0	-3656	4	90%	319	927	1015	0,91
1114	HA+3_ca	2019-1008_21.GEF	4-paalspoer	SI Ø508/670	-18,5	-3627	4	0,9	319	919	1054	0,87
1123	HA+0_c	02P001595_251.S01.GEF	3-paalspoer	SI Ø508/670	-24,5	-3672	3	85%	234	1348	1551	0,87
1130	HA+0_c	02P001595_251.S01.GEF	3-paalspoer	SI Ø508/670	-24,5	-3672	3	85%	234	1348	1551	0,87
1131	HC+0 c	02P001595 251.S01.GEF	4-paalspoer	SI Ø508/670	-21,0	-4590	4	0,9	319	1187	1386	0,86
1133	HC+0_c	02P001595_251.S01.GEF	4-paalspoer	SI Ø508/670	-21,0	-4590	4	0,9	319	1187	1386	0,86
1147	HA+0_ci	2019-1008_29.GEF	4-paalspoer	SI Ø508/670	-16,0	-3656	4	90%	319	927	1026	0,90
1148	HB+19_s	2019-1008_29.GEF	3-paalspoer	SI Ø508/670	-19,5	-3112	3	85%	234	1128	1262	0,89
1151	HB+19_s	02P001595_283.S02.GEF	3-paalspoer	SI Ø508/670	-19,5	-3112	3	85%	234	1128	1268	0,89
1152	HB+19_s	02P001595_283.S02.GEF	3-paalspoer	SI Ø508/670	-19,5	-3112	3	85%	234	1128	1268	0,89
1153	HA+0_ci	02P001595_283.S02.GEF	4-paalspoer	SI Ø508/670	-17,5	-3656	4	90%	319	927	1078	0,86
1159	HC+0_c	02P001595_283.S02.GEF	4-paalspoer	SI Ø508/670	-20,0	-4590	4	0,9	319	1187	1315	0,90
1167	HA+0 ci	2019-1008 35.GEF	4-paalspoer	SI Ø508/670	-18,5	-3656	4	90%	319	927	1057	0,88
1168	HA+0_ci	2019-1008_35.GEF	4-paalspoer	SI Ø508/670	-18,5	-3656	4	90%	319	927	1057	0,88
1184	HB+0_c	02P001595_312.S03.GEF	3-paalspoer	SI Ø508/670	-19,0	-3730	3	85%	234	1371	1552	0,88
1187	HC+0_c	02P001595_312.S03.GEF	4-paalspoer	SI Ø508/670	-16,0	-4590	4	0,9	319	1187	1344	0,88
1188	HB+0 c	02P001595 312.S03.GEF	3-paalspoer	SI Ø508/670	-18,5	-3730	3	85%	234	1371	1513	0,91
1194	HA+6_c	2019-1008_43.GEF	3-paalspoer	SI Ø508/670	-12,5	-3603	3	85%	234	1321	1490	0,89
1196	HA+0 c	2019-1008 43.GEF	3-paalspoer	SI Ø508/670	-12,5	-3672	3	85%	234	1348	1490	0,90
1199	HA+0_c	2019-1008_43.GEF	3-paalspoer	SI Ø508/670	-12,5	-3672	3	85%	234	1348	1490	0,90
1204	HA+0_ci	2019-1008_43.GEF	4-paalspoer	SI Ø508/670	-7,0	-3656	4	0,9	319	927	1030	0,90
1205	EB+0_s	02P001595_328.S02.GEF	4-paalspoer	SI Ø508/670	-2,5	-3442	4	0,9	319	868	981	0,88

Toetsing funderingen op drukbelasting

Mast	Masttype	Sondering	Poertype	Paaltype	PP niveau [m-NAP]	$F_{Ed,mast}$ [kN]	Aantal palen per randstijl	Effectiviteit palen	$F_{poer,d}$ [kN]	$F_{Ed,paal}$ [kN]	$F_{R,d,druk}$ [kN]	U.C.
1001 gen	EB-3_s	2019-1008_1.GEF	4-paalspoer	SI Ø508/670	-20,0	3977	4	90%	649	1285	2306	0,56
1002	HA+0_s	2019-1008_1.GEF	3-paalspoer	SI Ø508/670	-21,0	3230	3	85%	477	1454	2446	0,59
1005	HA+0_s	2019-1008_1.GEF	3-paalspoer	SI Ø508/670	-21,0	3230	3	85%	477	1454	2446	0,59
1007	HA+0_s	2019-1008_1.GEF	3-paalspoer	SI Ø610/850	-21,0	3230	3	85%	477	1454	2446	0,59
1014	EA-3_so	2019-1008_1.GEF	4-paalspoer	SI Ø508/670	-20,0	4014	4	90%	649	1295	2306	0,56
1025	EA-3 co	2019-1008 6.GEF	4-paalspoer	SI Ø508/670	-8,5	4987	4	90%	649	1566	3850	0,41
1027	HB+0_c	2019-1008_6.GEF	3-paalspoer	SI Ø508/670	-11,5	4414	3	85%	477	1918	4752	0,40
1037	HB+0_c	02P001595_166.S01.GEF	3-paalspoer	SI Ø508/670	-17,5	4414	3	85%	477	1918	3971	0,48
1051	HA+0_ci	2019-1008_11.GEF	4-paalspoer	SI Ø762/950	-19,5	4385	4	90%	649	1399	2866	0,49
1052	HC+0 s	2019-1008 11.GEF	3-paalspoer	SI Ø762/950	-22,0	3755	3	85%	477	1660	2648	0,63
1055	HB+6_s	2019-1008_11.GEF	3-paalspoer	SI Ø508/670	-20,0	3250	3	85%	477	1462	3124	0,47
1060	HA+0 s	2019-1008 11.GEF	3-paalspoer	SI Ø610/850	-20,0	3230	3	85%	477	1454	3124	0,47
1062	HA+3_s	2019-1008_12.GEF	3-paalspoer	SI Ø508/670	-11,5	3034	3	85%	477	1377	1813	0,76
1063	HA+3_s	2019-1008_12.GEF	3-paalspoer	SI Ø508/670	-11,5	3034	3	85%	477	1377	1813	0,76
1066	HA+0_ci	2019-1008_12.GEF	4-paalspoer	SI Ø508/670	-11,5	4385	4	90%	649	1399	1813	0,77
1067	HA+6 c	2019-1008 12.GEF	3-paalspoer	SI Ø508/670	-20,0	4364	3	85%	477	1898	3257	0,58
1068	HA+6_c	2019-1008_12.GEF	3-paalspoer	SI Ø508/670	-20,0	4364	3	85%	477	1898	3257	0,58
1069	HA+6 c	2019-1008 12.GEF	3-paalspoer	SI Ø508/670	-20,0	4364	3	85%	477	1898	3257	0,58
1079	HB+6_c	2019-1008_17.GEF	3-paalspoer	SI Ø508/670	-24,7	4700	3	85%	477	2030	2879	0,71
1086	HA+0_c	2019-1008_17.GEF	3-paalspoer	SI Ø610/850	-23,5	4387	3	85%	477	1907	2782	0,69
1094	HA+3_c	2019-1008_20.GEF	4-paalspoer	SI Ø508/670	-23,0	4364	4	90%	649	1393	1799	0,77
1095	HA+3_c	2019-1008_20.GEF	4-paalspoer	SI Ø508/670	-23,0	4364	4	90%	649	1393	1799	0,77
1098	HA+0_ci	2019-1008_20.GEF	4-paalspoer	SI Ø508/670	-23,5	4385	4	90%	649	1399	1930	0,72
1099	HA+0 ci	2019-1008 20.GEF	4-paalspoer	SI Ø508/670	-23,0	4385	4	90%	649	1399	1799	0,78
1114	HA+3_ca	2019-1008_21.GEF	4-paalspoer	SI Ø508/670	-18,5	4447	4	90%	649	1416	1536	0,92
1123	HA+0_c	02P001595_251.S01.GEF	3-paalspoer	SI Ø508/670	-24,5	4387	3	85%	477	1907	2617	0,73
1130	HA+0_c	02P001595_251.S01.GEF	3-paalspoer	SI Ø508/670	-24,5	4387	3	85%	477	1907	2617	0,73
1131	HC+0 c	02P001595 251.S01.GEF	4-paalspoer	SI Ø508/670	-21,0	5357	4	90%	649	1668	2257	0,74
1133	HC+0_c	02P001595_251.S01.GEF	4-paalspoer	SI Ø508/670	-21,0	5357	4	90%	649	1668	2257	0,74
1147	HA+0 ci	2019-1008 29.GEF	4-paalspoer	SI Ø508/670	-16,0	4385	4	90%	649	1399	1790	0,78
1148	HB+19_s	2019-1008_29.GEF	3-paalspoer	SI Ø508/670	-19,5	3776	3	85%	477	1668	3373	0,49
1151	HB+19_s	02P001595_283.S02.GEF	3-paalspoer	SI Ø508/670	-19,5	3776	3	85%	477	1668	3682	0,45
1152	HB+19_s	02P001595_283.S02.GEF	3-paalspoer	SI Ø508/670	-19,5	3776	3	85%	477	1668	3682	0,45
1153	HA+0_ci	02P001595_283.S02.GEF	4-paalspoer	SI Ø508/670	-17,5	4385	4	90%	649	1399	3370	0,41
1159	HC+0_c	02P001595_283.S02.GEF	4-paalspoer	SI Ø508/670	-20,0	5357	4	90%	649	1668	3668	0,45
1167	HA+0 ci	2019-1008 35.GEF	4-paalspoer	SI Ø508/670	-18,5	4385	4	90%	649	1399	2786	0,50
1168	HA+0_ci	2019-1008_35.GEF	4-paalspoer	SI Ø508/670	-18,5	4385	4	90%	649	1399	2786	0,50
1184	HB+0_c	02P001595_312.S03.GEF	3-paalspoer	SI Ø508/670	-19,0	4414	3	85%	477	1918	3180	0,60
1187	HC+0_c	02P001595_312.S03.GEF	4-paalspoer	SI Ø508/670	-16,0	5357	4	90%	649	1668	3278	0,51
1188	HB+0_c	02P001595_312.S03.GEF	3-paalspoer	SI Ø508/670	-18,5	4414	3	85%	477	1918	3116	0,62
1194	HA+6_c	2019-1008_43.GEF	3-paalspoer	SI Ø508/670	-12,5	4364	3	85%	477	1898	3498	0,54
1196	HA+0 c	2019-1008 43.GEF	3-paalspoer	SI Ø508/670	-12,5	4387	3	85%	477	1907	3498	0,55
1199	HA+0_c	2019-1008_43.GEF	3-paalspoer	SI Ø508/670	-12,5	4387	3	85%	477	1907	3498	0,55
1204	HA+0_ci	2019-1008_43.GEF	4-paalspoer	SI Ø508/670	-7,0	4385	4	90%	649	1399	2539	0,55
1205	EB+0_s	02P001595_328.S02.GEF	4-paalspoer	SI Ø508/670	-2,5	3935	4	90%	649	1273	2368	0,54

Controle kluitgewicht

De minimaal benodigde lengte van de paal op basis van het kluitgewicht is onderzocht. Het kluitgewicht is het gewicht van de kluit grond die zich door wrijving verzet tegen het uittrekken van de paal met die kluit uit de grond. Zolang dit gewicht groter is dan de trekkracht zal de paal met de kluit grond niet uit de grond getrokken worden.

Kluitgewicht kan een issue zijn voor korte palen die op trek worden belast, waarvan de kleef de trekkracht wel kan weerstaan. Als voorbeeld betreft het zandgronden zonder veel slappe lagen.

De minimale paallengtes op basis van de sonderingen zijn 12,8 m respectievelijk 13,5 m voor de driepaalsfundering en de vierpaalsfundering. De bijbehorende belastingen zijn 2751 kN voor de driepaalsfundering en 3472 kN voor de vierpaalsfundering. Voor de driepaalsfundering is de bijbehorende belasting namelijk 3 x 917 = 2751 kN. Voor de vierpaalsfundering is de bijbehorende belasting namelijk 4 x 868 = 3472 kN.

In deze berekening wordt bepaald wat de minimaal benodigde paallengte is voor voldoende kluitgewicht voor de driepaalsfundering belast door 2751 kN en de vierpaalsfundering belast door 3472 kN. Indien de lengte onvoldoende is, dan zal de paal met kluit uit de grond getrokken worden. Zie hieronder.

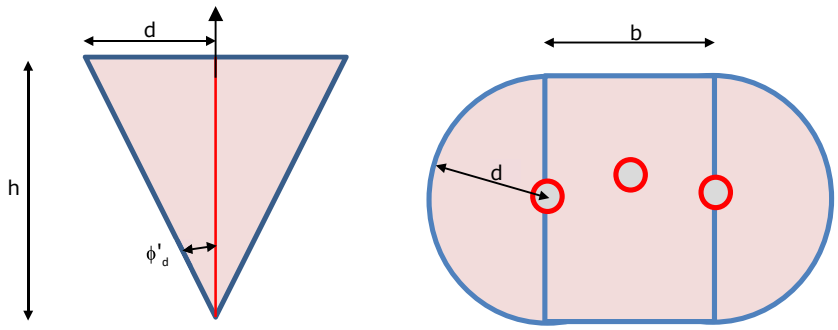

Zijaanzicht (links) en bovenaanzicht (rechts) van de kluit grond

Algemene gegevens			
Volumiek gewicht grond		18	kN/m^3
Volumiek gewicht water		10	kN/m^3
Veiligheidsfactor	γ_g =	0,9	-
Hoek van inwendige wrijving	ϕ'	27,5	°
Veiligheidsfactor	$\gamma_{\phi'}$ =	1,25	-

Berekening kluitgewicht voor 3 palen			
Diepte minimaal	h =	10,537	m
Tussenafstand paalpunten	b =	5	m
Radius kegel op mv.	d = L x (tanα / γ) =	4,39	m
Grondoppervlak kegel	$G_1 = \pi\ d^2$ =	60,5	m^2
Tussenoppervlak wig	G_2 = b x 2d =	43,9	m^2
Inhoud kegel	$I_{kluit} = 1/3G_1h+1/2G_2h$	443,7	m^3
Gewicht grond	F_{gr} =	7986	kN
Opwaartse kracht water	F_w =	4437	kN
Rekenwaarde	$F_{r,d} = 0,9F_{gr} - F_w$ =	**2751**	kN

Uit de berekening van het kluitgewicht bij de driepaalsfundering blijkt dat de lengte van de paal niet onder de 10,5 m mag komen bij de belasting van 2751 kN.

Berekening kluitgewicht voor 4 palen			
Diepte minimaal	h =	11,57	m

Tussenafstand paalpunten	b =	5	m
Radius kegel op mv.	d = L x (tanα / γ) =	4,82	m
Grondoppervlak kegel	$G_1 = \pi\ d^2$ =	72,9	m^2
Tussenoppervlak wig	G_2 = b x 2d =	48,2	m^2
Inhoud kegel	$I_{kluit} = 1/3G_1h+1/2G_2h$	560,0	m^3
Gewicht grond	F_{gr} =	10081	kN
Opwaartse kracht water	F_w =	5600	kN
Rekenwaarde	$F_{r,d} = 0,9F_{gr} - F_w$ =	**3472**	kN

Uit de berekening van het kluitgewicht bij de vierpaalsfundering blijkt dat de lengte van de paal niet onder de 11,6 m mag komen bij de belasting van 3472 kN. Hier is conservatief de vierpaalspoer als een driepaalspoer beschouwd, het grotere deel van het tussenoppervlak van de wig is verwaarloosd.

De minimale paallengtes op basis van de sonderingen zijn 12,8 m respectievelijk 13,5 m voor de driepaalsfundering en de vierpaalsfundering. Er is voldoende kluitgewicht. In het UO mag bij eventuele optimalisatie de lengte van de paal niet kleiner worden dan de hierboven berekende minimale paallengtes, tenzij de belasting kleiner is dan de aangehouden waarden van 2751 kN respectievelijk 3472 kN.

Onze maximale belasting voor driepaalsfundering is echter nooit meer dan 3 palen x 1510 = 4530 kN (met paallengte 20,6 m op basis van sondering en een daarbij gemobiliseerd gewicht 15322 kN > 4530). Deze lengte (bij die specifieke belasting) mag nooit korter worden dan 12,9 m want dan wordt de trekbelasting 4530 kN meer dan het kluitgewicht.

Onze maximale belasting voor vierpaalsfundering is echter nooit meer dan 4 palen x 1187 = 4748 kN (met paallengte 19 m op basis van sondering en een daarbij gemobiliseerd gewicht 12384 kN > 4748). Deze lengte (bij die specifieke belasting) mag nooit kleiner worden dan 13,1 m want dan wordt de trekbelasting 4748 kN meer dan het kluitgewicht.

Palen die een lage belasting hebben en dus een korte paaldiepte L1 hebben op basis van analyse sondering (en een nog lagere minimum paallengte L2 op basis van analyse kluitgewicht) hoeven we niet te verlengen tot minimale paaldiepte L4 (met L4 > L1) op basis van analyse kluitgewicht bij palen die een hoge belasting hebben (en een nog hogere paallengte L3 op basis van analyse sondering). In het uitvoeringsontwerp (UO) moet kluitgewicht worden gecontroleerd indien op basis van sonderingen wordt besloten de paallengte uit het definitief ontwerp (DO) te verlagen. Hierbij moet ook worden gelet op de minimale paallengte van 7 m of 13,5 m de middellijn volgens 7.6.3.3. van NEN-EN 1997-1.

APPENDIX D
Uitvoer TS paalfunderingen

Project : ZWO380 Funderingen
Onderdeel : RLL-TBG380

ALGEMENE GEGEVENS

Project : ZWO380 Funderingen
Onderdeel : RLL-TBG380
Datum : 27-03-2021
Bestand : P:\EANL_Projects\10124719 - TenneT Engineering ZW380 kV Oost\2 Content\007 DO vakwerkmasten\TS Paalfunderingen\ZWO380 hoekmast DO.pvw
Berekeningstype : Verticaal belaste paal
Alle niveaus/hoogtes/peilmaten zijn t.o.v.: N.A.P.

Toegepaste normen volgens Eurocode met Nederlandse NB

Geotechniek	EN 1997-1:2004	AC:2009	
	NEN-EN 1997-1:2005	C1+A1:2013	NB:2016
	NEN 9997-1:2016	C2:2017	

BODEMPROFIELGEGEVENS: 19-1008_1

Alle niveaus/hoogtes/peilmaten zijn t.o.v.: N.A.P.
d50-reductie is meegenomen overeenkomstig NEN-EN 9997 art. 7.6.2.3 (i)
Hoogte maaiveld [m] : 2.12 Grondwaterstand [m] : 1.12

Laag	Van [m]	Tot [m]	Omschrijving	OCR	Aandeel pos. kleef [%]	α_s	d_{50} [mm]
1	2.12	0.47	Zand - Schoon - Los	1.0	100.0		
2	0.47	-0.23	Klei - Zwak zandig - Matig	1.0	50.0		
3	-0.23	-1.33	Zand - Schoon - Los	1.0	100.0		
4	-1.33	-7.83	Klei - Organisch - Matig	1.0	50.0		
5	-7.83	-12.63	Klei - Zwak zandig - Matig	1.0	50.0		
6	-12.63	-17.12	Zand - Sterk siltig - Kleiig	1.0	100.0		
7	-17.12	-19.80	Zand - Zwak siltig - Kleiig	1.0	100.0		
8	-19.80	-21.20	Klei - Zwak zandig - Matig	1.0	50.0		
9	-21.20	-32.70	Zand - Schoon - Vast	1.0	100.0		

BODEMPROFIELGEGEVENS: 19-1008_6

Alle niveaus/hoogtes/peilmaten zijn t.o.v.: N.A.P.
d50-reductie is meegenomen overeenkomstig NEN-EN 9997 art. 7.6.2.3 (i)
Hoogte maaiveld [m] : 11.00 Grondwaterstand [m] : 10.00

Laag	Van [m]	Tot [m]	Omschrijving	OCR	Aandeel pos. kleef [%]	α_s	d_{50} [mm]
1	11.00	8.25	Zand - Schoon - Matig	1.0	100.0		
2	8.25	7.45	Zand - Schoon - Vast	1.0	100.0		
3	7.45	3.15	Zand - Zwak siltig - Kleiig	1.0	100.0		
4	3.15	1.15	Zand - Sterk siltig - Kleiig	1.0	100.0		
5	1.15	-3.95	Zand - Zwak siltig - Kleiig	1.0	100.0		
6	-3.95	-4.25	Zand - Schoon - Vast	1.0	100.0		
7	-4.25	-5.35	Zand - Sterk siltig - Kleiig	1.0	100.0		
8	-5.35	-13.16	Zand - Schoon - Matig	1.0	100.0		
9	-13.16	-16.89	Zand - Schoon - Vast	1.0	100.0		
10	-16.89	-18.28	Zand - Schoon - Los	1.0	100.0		
11	-18.28	-23.93	Zand - Schoon - Vast	1.0	100.0		

BODEMPROFIELGEGEVENS: 166.S01

Alle niveaus/hoogtes/peilmaten zijn t.o.v.: N.A.P.
d50-reductie is meegenomen overeenkomstig NEN-EN 9997 art. 7.6.2.3 (i)
Hoogte maaiveld [m] : 3.45 Grondwaterstand [m] : 2.45

Laag	Van [m]	Tot [m]	Omschrijving	OCR	Aandeel pos. kleef [%]	α_s	d_{50} [mm]
1	3.45	1.40	Zand - Schoon - Vast	1.0	100.0		
2	1.40	0.60	Zand - Zwak siltig - Kleiig	1.0	100.0		
3	0.60	-1.60	Klei - Zwak zandig - Vast	1.0	50.0		
4	-1.60	-3.40	Zand - Sterk siltig - Kleiig	1.0	100.0		
5	-3.40	-3.60	Klei - Zwak zandig - Vast	1.0	50.0		
6	-3.60	-4.90	Zand - Sterk siltig - Kleiig	1.0	100.0		
7	-4.90	-11.10	Zand - Schoon - Matig	1.0	100.0		
8	-11.10	-11.70	Zand - Schoon - Vast	1.0	100.0		
9	-11.70	-13.21	Zand - Schoon - Los	1.0	100.0		
10	-13.21	-21.31	Zand - Schoon - Matig	1.0	100.0		
11	-21.31	-22.66	Zand - Schoon - Vast	1.0	100.0		

BODEMPROFIELGEGEVENS: 19-1008_11

Alle niveaus/hoogtes/peilmaten zijn t.o.v.: N.A.P.
d50-reductie is meegenomen overeenkomstig NEN-EN 9997 art. 7.6.2.3 (i)
Hoogte maaiveld [m] : 0.62 Grondwaterstand [m] : -0.38

Laag	Van [m]	Tot [m]	Omschrijving	OCR	Aandeel pos. kleef [%]	α_s	d_{50} [mm]
1	0.62	-0.83	Zand - Schoon - Matig	1.0	100.0		
2	-0.83	-2.83	Zand - Sterk siltig - Kleiig	1.0	100.0		
3	-2.83	-4.13	Klei - Schoon - Vast	1.0	50.0		
4	-4.13	-7.43	Klei - Zwak zandig - Vast	1.0	50.0		
5	-7.43	-11.82	Zand - Sterk siltig - Kleiig	1.0	100.0		
6	-11.82	-12.64	Klei - Schoon - Matig	1.0	50.0		
7	-12.64	-17.92	Zand - Zwak siltig - Kleiig	1.0	100.0		
8	-17.92	-22.71	Zand - Schoon - Matig	1.0	100.0		
9	-22.71	-25.46	Zand - Schoon - Los	1.0	100.0		
10	-25.46	-29.39	Zand - Schoon - Matig	1.0	100.0		
11	-29.39	-32.78	Zand - Schoon - Vast	1.0	100.0		
12	-32.78	-33.83	Zand - Schoon - Matig	1.0	100.0		
13	-33.83	-34.28	Zand - Schoon - Los	1.0	100.0		

Project : ZWO380 Funderingen
Onderdeel : RLL-TBG380

BODEMPROFIELGEGEVENS: 19-1008_12

Alle niveaus/hoogtes/peilmaten zijn t.o.v.: N.A.P.
d50-reductie is meegenomen overeenkomstig NEN-EN 9997 art. 7.6.2.3 (i)
Hoogte maaiveld [m] : 3.57 Grondwaterstand [m] : 2.57

Laag	Van [m]	Tot [m]	Omschrijving	OCR	Aandeel pos. kleef [%]	α_s	d_{50} [mm]
1	3.57	1.12	Zand - Schoon - Matig	1.0	100.0		
2	1.12	0.72	Zand - Schoon - Los	1.0	100.0		
3	0.72	-3.28	Zand - Zwak siltig - Kleiig	1.0	100.0		
4	-3.28	-3.68	Zand - Schoon - Vast	1.0	100.0		
5	-3.68	-6.38	Zand - Schoon - Los	1.0	100.0		
6	-6.38	-7.58	Zand - Schoon - Vast	1.0	100.0		
7	-7.58	-8.48	Zand - Schoon - Los	1.0	100.0		
8	-8.48	-19.19	Klei - Zwak zandig - Matig	1.0	50.0		
9	-19.19	-25.26	Zand - Schoon - Matig	1.0	100.0		
10	-25.26	-27.97	Klei - Zwak zandig - Vast	1.0	50.0		
11	-27.97	-30.88	Zand - Schoon - Matig	1.0	100.0		
12	-30.88	-31.50	Zand - Schoon - Los	1.0	100.0		

BODEMPROFIELGEGEVENS: 19-1008_17

Alle niveaus/hoogtes/peilmaten zijn t.o.v.: N.A.P.
d50-reductie is meegenomen overeenkomstig NEN-EN 9997 art. 7.6.2.3 (i)
Hoogte maaiveld [m] : 0.20 Grondwaterstand [m] : -0.80

Laag	Van [m]	Tot [m]	Omschrijving	OCR	Aandeel pos. kleef [%]	α_s	d_{50} [mm]
1	0.20	-0.85	Zand - Schoon - Matig	1.0	100.0		
2	-0.85	-2.95	Klei - Schoon - Matig	1.0	50.0		
3	-2.95	-4.05	Klei - Schoon - Vast	1.0	50.0		
4	-4.05	-4.95	Zand - Sterk siltig - Kleiig	1.0	100.0		
5	-4.95	-5.15	Klei - Zwak zandig - Vast	1.0	50.0		
6	-5.15	-6.65	Klei - Zwak zandig - Matig	1.0	50.0		
7	-6.65	-7.25	Zand - Schoon - Matig	1.0	100.0		
8	-7.25	-9.65	Klei - Schoon - Matig	1.0	50.0		
9	-9.65	-10.05	Zand - Zwak siltig - Kleiig	1.0	100.0		
10	-10.05	-10.25	Klei - Zwak zandig - Vast	1.0	50.0		
11	-10.25	-11.55	Zand - Schoon - Matig	1.0	100.0		
12	-11.55	-12.85	Zand - Schoon - Vast	1.0	100.0		
13	-12.85	-14.75	Zand - Schoon - Los	1.0	100.0		
14	-14.75	-17.25	Zand - Schoon - Matig	1.0	100.0		
15	-17.25	-18.55	Leem - Zwak zandig - Vast	1.0	50.0		
16	-18.55	-20.64	Zand - Sterk siltig - Kleiig	1.0	100.0		
17	-20.64	-21.14	Zand - Schoon - Matig	1.0	100.0		
18	-21.14	-21.54	Klei - Zwak zandig - Vast	1.0	50.0		
19	-21.54	-24.23	Zand - Schoon - Matig	1.0	100.0		
20	-24.23	-28.91	Zand - Schoon - Los	1.0	100.0		
21	-28.91	-29.73	Klei - Organisch - Matig	1.0	50.0		
22	-29.73	-30.67	Zand - Schoon - Vast	1.0	100.0		
23	-30.67	-34.80	Zand - Zwak siltig - Kleiig	1.0	100.0		

BODEMPROFIELGEGEVENS: 19-1008_20

Alle niveaus/hoogtes/peilmaten zijn t.o.v.: N.A.P.
d50-reductie is meegenomen overeenkomstig NEN-EN 9997 art. 7.6.2.3 (i)
Hoogte maaiveld [m] : -0.03 Grondwaterstand [m] : -1.03

Laag	Van [m]	Tot [m]	Omschrijving	OCR	Aandeel pos. kleef [%]	α_s	d_{50} [mm]
1	-0.03	-1.28	Zand - Schoon - Matig	1.0	100.0		
2	-1.28	-3.18	Klei - Zwak zandig - Slap	1.0	50.0		
3	-3.18	-4.88	Klei - Schoon - Matig	1.0	50.0		
4	-4.88	-9.78	Zand - Sterk siltig - Kleiig	1.0	100.0		
5	-9.78	-10.68	Klei - Zwak zandig - Matig	1.0	50.0		
6	-10.68	-11.38	Zand - Zwak siltig - Kleiig	1.0	100.0		
7	-11.38	-13.58	Klei - Zwak zandig - Matig	1.0	50.0		
8	-13.58	-14.38	Leem - Zwak zandig - Vast	1.0	50.0		
9	-14.38	-17.38	Klei - Zwak zandig - Matig	1.0	50.0		
10	-17.38	-19.68	Leem - Zwak zandig - Vast	1.0	50.0		
11	-19.68	-20.48	Zand - Schoon - Matig	1.0	100.0		
12	-20.48	-23.07	Klei - Zwak zandig - Vast	1.0	50.0		
13	-23.07	-30.25	Zand - Schoon - Los	1.0	100.0		
14	-30.25	-31.84	Zand - Zwak siltig - Kleiig	1.0	100.0		
15	-31.84	-32.83	Leem - Zwak zandig - Vast	1.0	50.0		
16	-32.83	-34.29	Klei - Schoon - Vast	1.0	50.0		
17	-34.29	-35.23	Klei - Schoon - Vast	1.0	50.0		

BODEMPROFIELGEGEVENS: 19-1008_21

Alle niveaus/hoogtes/peilmaten zijn t.o.v.: N.A.P.
d50-reductie is meegenomen overeenkomstig NEN-EN 9997 art. 7.6.2.3 (i)
Hoogte maaiveld [m] : 1.78 Grondwaterstand [m] : 0.78

Laag	Van [m]	Tot [m]	Omschrijving	OCR	Aandeel pos. kleef [%]	α_s	d_{50} [mm]
1	1.78	-1.17	Leem - Zwak zandig - Vast	1.0	50.0		
2	-1.17	-4.17	Klei - Schoon - Matig	1.0	50.0		
3	-4.17	-8.26	Zand - Zwak siltig - Kleiig	1.0	100.0		
4	-8.26	-12.28	Zand - Schoon - Los	1.0	100.0		
5	-12.28	-12.98	Leem - Zwak zandig - Vast	1.0	50.0		
6	-12.98	-14.68	Zand - Sterk siltig - Kleiig	1.0	100.0		
7	-14.68	-16.58	Leem - Zwak zandig - Vast	1.0	50.0		
8	-16.58	-17.88	Klei - Schoon - Matig	1.0	50.0		
9	-17.88	-18.88	Klei - Zwak zandig - Vast	1.0	50.0		
10	-18.88	-30.48	Klei - Schoon - Matig	1.0	50.0		
11	-30.48	-33.19	Zand - Zwak siltig - Kleiig	1.0	100.0		

Project : ZWO380 Funderingen
Onderdeel : RLL-TBG380

BODEMPROFIELGEGEVENS: 251.S01

Alle niveaus/hoogtes/peilmaten zijn t.o.v.: N.A.P.
d50-reductie is meegenomen overeenkomstig NEN-EN 9997 art. 7.6.2.3 (i)
Hoogte maaiveld [m] : -1.05 Grondwaterstand [m] : -2.05

Laag	Van [m]	Tot [m]	Omschrijving	OCR	Aandeel pos. kleef [%]	α_s	d_{50} [mm]
1	-1.05	-3.60	Klei - Schoon - Matig	1.0	50.0		
2	-3.60	-7.80	Zand - Zwak siltig - Kleiig	1.0	100.0		
3	-7.80	-9.10	Klei - Organisch - Matig	1.0	50.0		
4	-9.10	-14.80	Zand - Sterk siltig - Kleiig	1.0	100.0		
5	-14.80	-15.40	Klei - Schoon - Matig	1.0	50.0		
6	-15.40	-18.31	Zand - Schoon - Matig	1.0	100.0		
7	-18.31	-19.21	Leem - Zwak zandig - Vast	1.0	50.0		
8	-19.21	-20.23	Zand - Sterk siltig - Kleiig	1.0	100.0		
9	-20.23	-26.29	Klei - Zwak zandig - Vast	1.0	50.0		
10	-26.29	-28.61	Zand - Schoon - Vast	1.0	100.0		
11	-28.61	-30.30	Zand - Schoon - Los	1.0	100.0		
12	-30.30	-33.03	Klei - Zwak zandig - Matig	1.0	50.0		
13	-33.03	-37.54	Zand - Sterk siltig - Kleiig	1.0	100.0		
14	-37.54	-38.23	Klei - Schoon - Vast	1.0	50.0		
15	-38.23	-40.24	Zand - Sterk siltig - Kleiig	1.0	100.0		
16	-40.24	-40.88	Zand - Schoon - Los	1.0	100.0		

BODEMPROFIELGEGEVENS: 19-1008_29

Alle niveaus/hoogtes/peilmaten zijn t.o.v.: N.A.P.
d50-reductie is meegenomen overeenkomstig NEN-EN 9997 art. 7.6.2.3 (i)
Hoogte maaiveld [m] : 0.79 Grondwaterstand [m] : -0.21

Laag	Van [m]	Tot [m]	Omschrijving	OCR	Aandeel pos. kleef [%]	α_s	d_{50} [mm]
1	0.79	-2.26	Zand - Sterk siltig - Kleiig	1.0	100.0		
2	-2.26	-11.15	Zand - Zwak siltig - Kleiig	1.0	100.0		
3	-11.15	-12.15	Klei - Organisch - Matig	1.0	50.0		
4	-12.15	-12.85	Zand - Schoon - Matig	1.0	100.0		
5	-12.85	-15.55	Klei - Zwak zandig - Matig	1.0	50.0		
6	-15.55	-15.75	Zand - Schoon - Vast	1.0	100.0		
7	-15.75	-17.65	Klei - Zwak zandig - Matig	1.0	50.0		
8	-17.65	-18.98	Zand - Schoon - Matig	1.0	100.0		
9	-18.98	-19.38	Leem - Zwak zandig - Vast	1.0	50.0		
10	-19.38	-22.38	Zand - Schoon - Matig	1.0	100.0		
11	-22.38	-23.98	Klei - Zwak zandig - Matig	1.0	50.0		
12	-23.98	-24.18	Zand - Sterk siltig - Kleiig	1.0	100.0		
13	-24.18	-29.47	Klei - Zwak zandig - Matig	1.0	50.0		
14	-29.47	-30.99	Zand - Sterk siltig - Kleiig	1.0	100.0		
15	-30.99	-34.29	Leem - Zwak zandig - Vast	1.0	50.0		

BODEMPROFIELGEGEVENS: 283.S02

Alle niveaus/hoogtes/peilmaten zijn t.o.v.: N.A.P.
d50-reductie is meegenomen overeenkomstig NEN-EN 9997 art. 7.6.2.3 (i)
Hoogte maaiveld [m] : 0.17 Grondwaterstand [m] : -0.83

Laag	Van [m]	Tot [m]	Omschrijving	OCR	Aandeel pos. kleef [%]	α_s	d_{50} [mm]
1	0.17	-1.58	Klei - Zwak zandig - Slap	1.0	0.0		
2	-1.58	-15.18	Zand - Schoon - Los	1.0	100.0		
3	-15.18	-26.29	Zand - Schoon - Matig	1.0	100.0		
4	-26.29	-28.61	Klei - Schoon - Vast	1.0	50.0		
5	-28.61	-30.60	Klei - Schoon - Matig	1.0	50.0		
6	-30.60	-32.29	Zand - Schoon - Matig	1.0	100.0		

BODEMPROFIELGEGEVENS: 19-1008_35

Alle niveaus/hoogtes/peilmaten zijn t.o.v.: N.A.P.
d50-reductie is meegenomen overeenkomstig NEN-EN 9997 art. 7.6.2.3 (i)
Hoogte maaiveld [m] : 0.92 Grondwaterstand [m] : -0.08

Laag	Van [m]	Tot [m]	Omschrijving	OCR	Aandeel pos. kleef [%]	α_s	d_{50} [mm]
1	0.92	-0.23	Klei - Zwak zandig - Matig	1.0	50.0		
2	-0.23	-19.34	Zand - Schoon - Los	1.0	100.0		
3	-19.34	-25.33	Zand - Schoon - Matig	1.0	100.0		
4	-25.33	-25.93	Leem - Zwak zandig - Vast	1.0	50.0		
5	-25.93	-28.72	Zand - Schoon - Matig	1.0	100.0		
6	-28.72	-30.64	Zand - Schoon - Vast	1.0	100.0		
7	-30.64	-34.25	Klei - Schoon - Matig	1.0	50.0		

BODEMPROFIELGEGEVENS: 312.S03

Alle niveaus/hoogtes/peilmaten zijn t.o.v.: N.A.P.
d50-reductie is meegenomen overeenkomstig NEN-EN 9997 art. 7.6.2.3 (i)
Hoogte maaiveld [m] : 3.78 Grondwaterstand [m] : 2.78

Laag	Van [m]	Tot [m]	Omschrijving	OCR	Aandeel pos. kleef [%]	α_s	d_{50} [mm]
1	3.78	-3.57	Zand - Schoon - Los	1.0	100.0		
2	-3.57	-4.86	Zand - Schoon - Matig	1.0	100.0		
3	-4.86	-6.86	Zand - Schoon - Los	1.0	100.0		
4	-6.86	-7.85	Klei - Zwak zandig - Vast	1.0	50.0		
5	-7.85	-20.13	Zand - Zwak siltig - Kleiig	1.0	100.0		
6	-20.13	-20.47	Klei - Organisch - Slap	1.0	50.0		
7	-20.47	-27.08	Zand - Zwak siltig - Kleiig	1.0	100.0		
8	-27.08	-31.92	Klei - Zwak zandig - Matig	1.0	50.0		
9	-31.92	-31.97	Zand - Schoon - Vast	1.0	100.0		

Project : ZWO380 Funderingen
Onderdeel : RLL-TBG380

BODEMPROFIELGEGEVENS: 19-1008_43

Alle niveaus/hoogtes/peilmaten zijn t.o.v.: N.A.P.
d50-reductie is meegenomen overeenkomstig NEN-EN 9997 art. 7.6.2.3 (i)
Hoogte maaiveld [m] : 9.88 Grondwaterstand [m] : 8.88

Laag	Van [m]	Tot [m]	Omschrijving	OCR	Aandeel pos. kleef [%]	α_s	d_{50} [mm]
1	9.88	4.60	Zand - Schoon - Vast	1.0	100.0		
2	4.60	4.00	Klei - Zwak zandig - Matig	1.0	50.0		
3	4.00	3.40	Zand - Sterk siltig - Kleiig	1.0	100.0		
4	3.40	3.00	Klei - Zwak zandig - Vast	1.0	50.0		
5	3.00	-6.39	Zand - Sterk siltig - Kleiig	1.0	100.0		
6	-6.39	-10.29	Zand - Zwak siltig - Kleiig	1.0	100.0		
7	-10.29	-12.28	Zand - Schoon - Matig	1.0	100.0		
8	-12.28	-14.98	Zand - Schoon - Los	1.0	100.0		
9	-14.98	-16.30	Zand - Schoon - Matig	1.0	100.0		
10	-16.30	-18.73	Zand - Schoon - Los	1.0	100.0		
11	-18.73	-21.25	Leem - Zwak zandig - Vast	1.0	50.0		
12	-21.25	-25.16	Zand - Schoon - Matig	1.0	100.0		

BODEMPROFIELGEGEVENS: 328.S02

Alle niveaus/hoogtes/peilmaten zijn t.o.v.: N.A.P.
d50-reductie is meegenomen overeenkomstig NEN-EN 9997 art. 7.6.2.3 (i)
Hoogte maaiveld [m] : 10.17 Grondwaterstand [m] : 9.17

Laag	Van [m]	Tot [m]	Omschrijving	OCR	Aandeel pos. kleef [%]	α_s	d_{50} [mm]
1	10.17	5.82	Zand - Zwak siltig - Kleiig	1.0	100.0		
2	5.82	-0.06	Zand - Schoon - Vast	1.0	100.0		
3	-0.06	-1.16	Zand - Schoon - Los	1.0	100.0		
4	-1.16	-1.56	Klei - Zwak zandig - Vast	1.0	50.0		
5	-1.56	-4.56	Zand - Schoon - Matig	1.0	100.0		
6	-4.56	-5.39	Klei - Zwak zandig - Matig	1.0	50.0		
7	-5.39	-15.50	Zand - Sterk siltig - Kleiig	1.0	100.0		
8	-15.50	-16.08	Leem - Zwak zandig - Vast	1.0	50.0		
9	-16.08	-17.81	Zand - Schoon - Matig	1.0	100.0		
10	-17.81	-18.39	Leem - Zwak zandig - Vast	1.0	50.0		
11	-18.39	-27.62	Zand - Zwak siltig - Kleiig	1.0	100.0		
12	-27.62	-28.07	Zand - Schoon - Los	1.0	100.0		
13	-28.07	-28.89	Zand - Sterk siltig - Kleiig	1.0	100.0		

SONDERINGSGEGEVENS ALGEMEEN: 19-1008_1

Alle niveaus/hoogtes/peilmaten zijn t.o.v.: N.A.P.
Hoogte maaiveld [m] : 2.12 Bodemprofiel: 19-1008_1
Traject negatieve kleef : 2.12 tot -4.90 [m]
Traject positieve kleef : -7.30 tot -32.70 [m]

Project : ZWO380 Funderingen
Onderdeel : RLL-TBG380

SONDERINGSGEGEVENS GRAFIEK: 19-1008_1

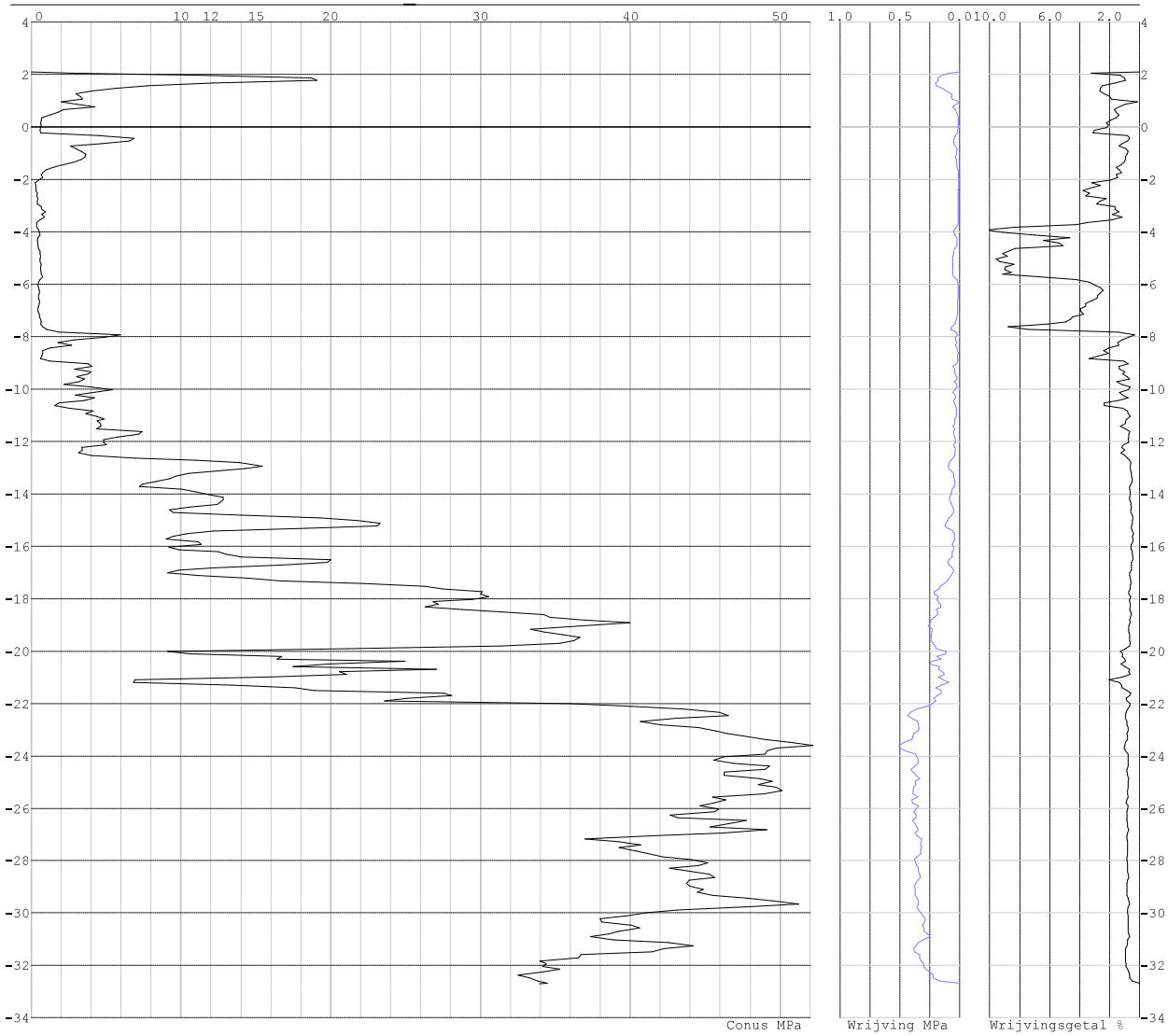

Project : ZWO380 Funderingen
Onderdeel : RLL-TBG380

SONDERINGSGEGEVENS ALGEMEEN: 19-1008_6

Alle niveaus/hoogtes/peilmaten zijn t.o.v.: N.A.P.
Hoogte maaiveld [m] : 11.00 Bodemprofiel: 19-1008_6
Traject negatieve kleef : 11.00 tot 6.90 [m]
Traject positieve kleef : 4.20 tot -23.93 [m]

SONDERINGSGEGEVENS GRAFIEK: 19-1008_6

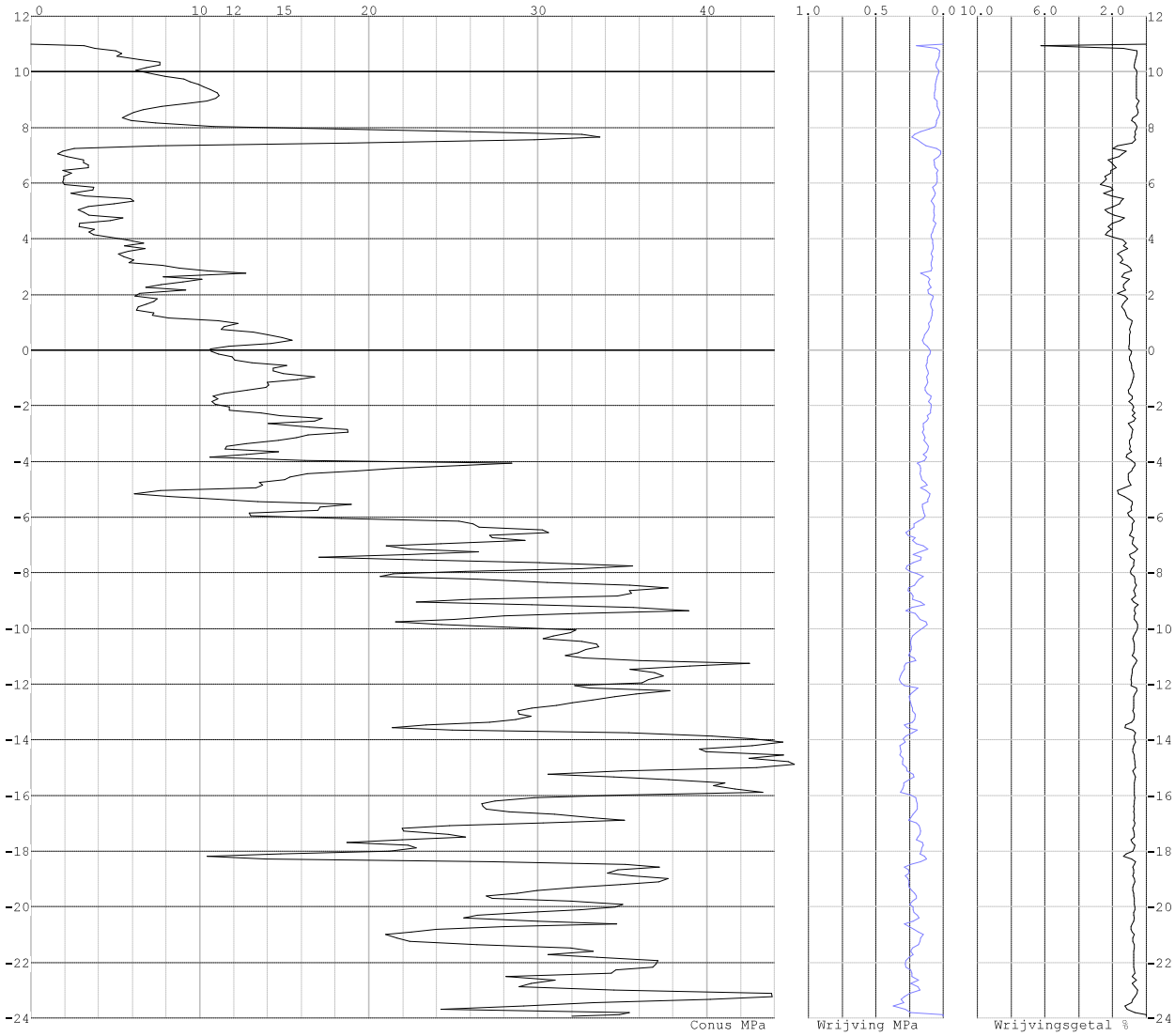

Project : ZWO380 Funderingen
Onderdeel : RLL-TBG380

SONDERINGSGEGEVENS ALGEMEEN: 166.S01

Alle niveaus/hoogtes/peilmaten zijn t.o.v.: N.A.P.
Hoogte maaiveld [m] : 3.45 Bodemprofiel: 166.S01
Traject negatieve kleef : 3.45 tot -0.30 [m]
Traject positieve kleef : -1.30 tot -22.66 [m]

SONDERINGSGEGEVENS GRAFIEK: 166.S01

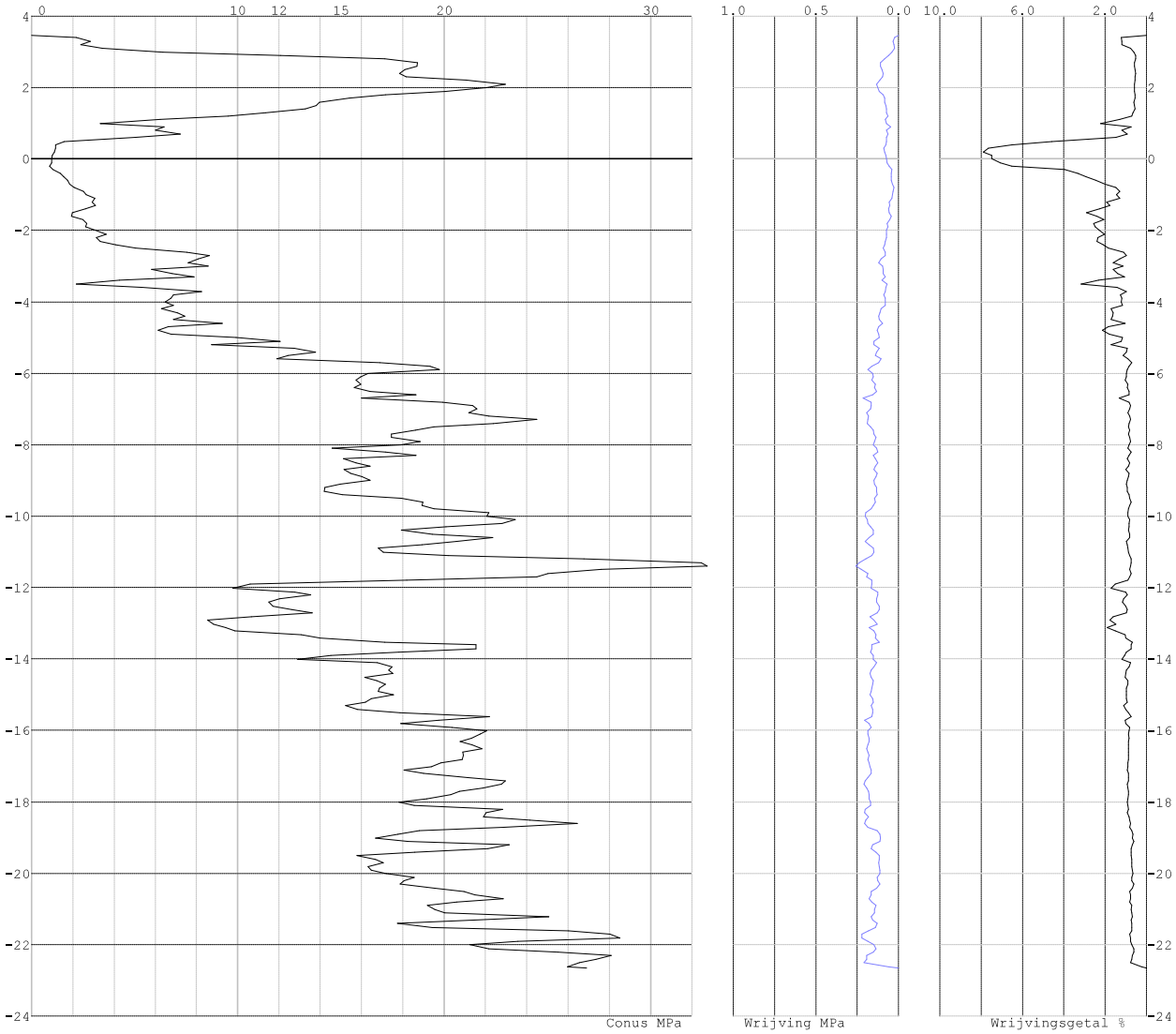

Project : ZWO380 Funderingen
Onderdeel : RLL-TBG380

SONDERINGSGEGEVENS ALGEMEEN: 19-1008_11

Alle niveaus/hoogtes/peilmaten zijn t.o.v.: N.A.P.
Hoogte maaiveld [m] : 0.62 Bodemprofiel: 19-1008_11
Traject negatieve kleef : 0.62 tot -5.20 [m]
Traject positieve kleef : -6.80 tot -34.28 [m]

SONDERINGSGEGEVENS GRAFIEK: 19-1008_11

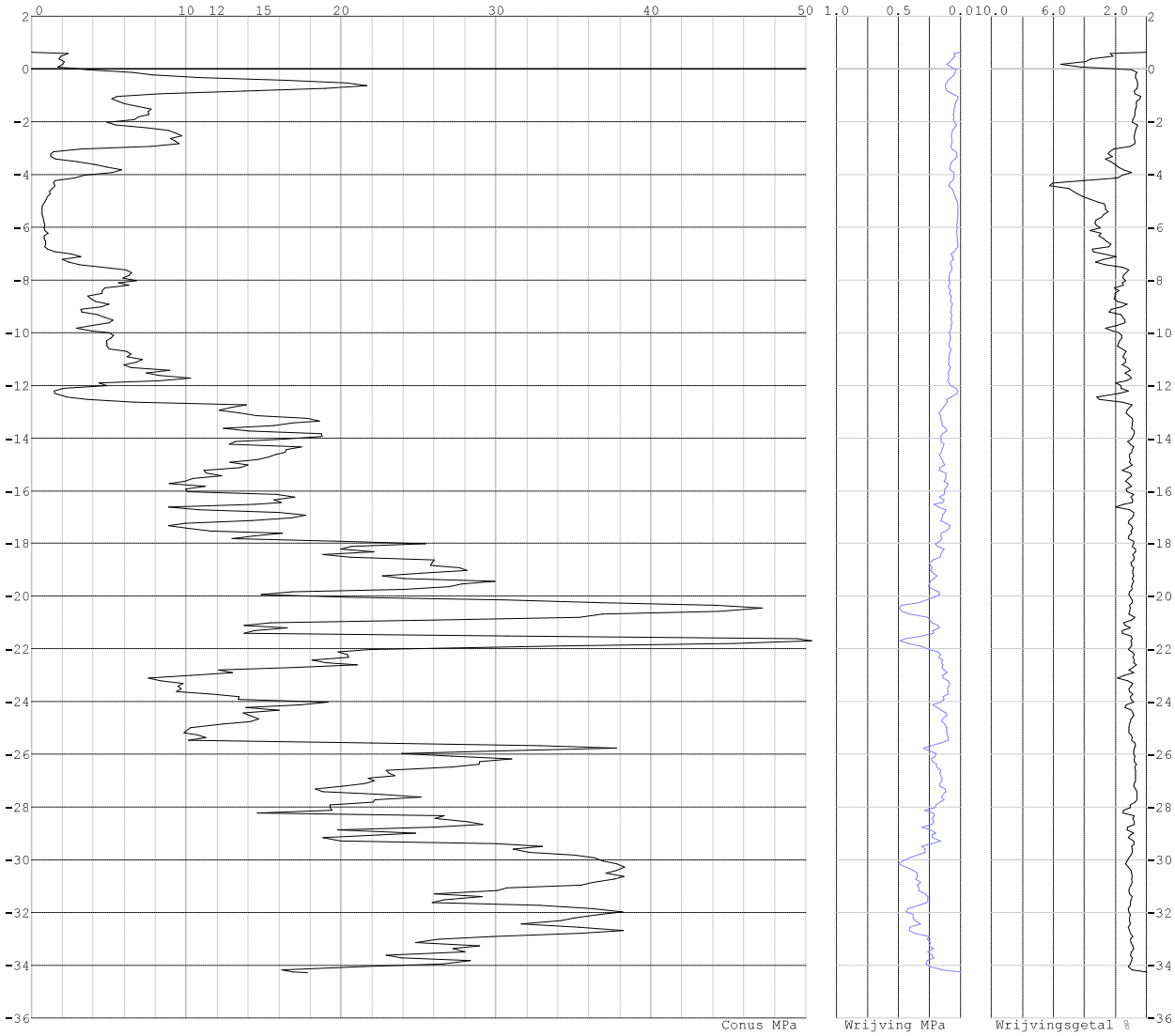

Project : ZWO380 Funderingen
Onderdeel : RLL-TBG380

SONDERINGSGEGEVENS ALGEMEEN: 19-1008_12

Alle niveaus/hoogtes/peilmaten zijn t.o.v.: N.A.P.
Hoogte maaiveld [m] : 3.57 Bodemprofiel: 19-1008_12
Traject negatieve kleef : 3.57 tot 3.00 [m]
Traject positieve kleef : 2.80 tot -31.50 [m]

SONDERINGSGEGEVENS GRAFIEK: 19-1008_12

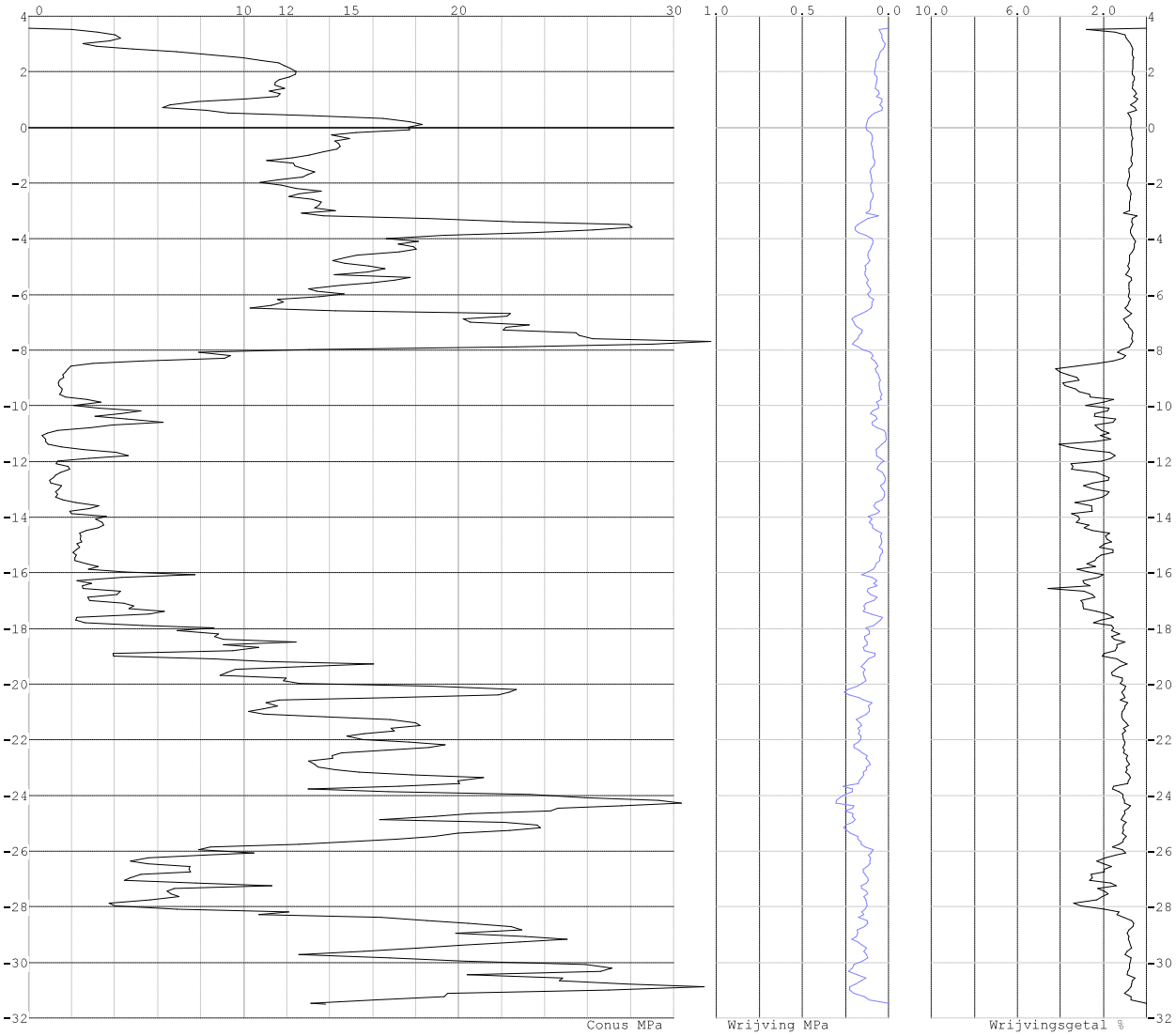

Project : ZWO380 Funderingen
Onderdeel : RLL-TBG380

SONDERINGSGEGEVENS ALGEMEEN: 19-1008_17

Alle niveaus/hoogtes/peilmaten zijn t.o.v.: N.A.P.
Hoogte maaiveld [m] : 0.20 Bodemprofiel: 19-1008_17
Traject negatieve kleef : 0.20 tot -7.50 [m]
Traject positieve kleef : -10.30 tot -34.80 [m]

SONDERINGSGEGEVENS GRAFIEK: 19-1008_17

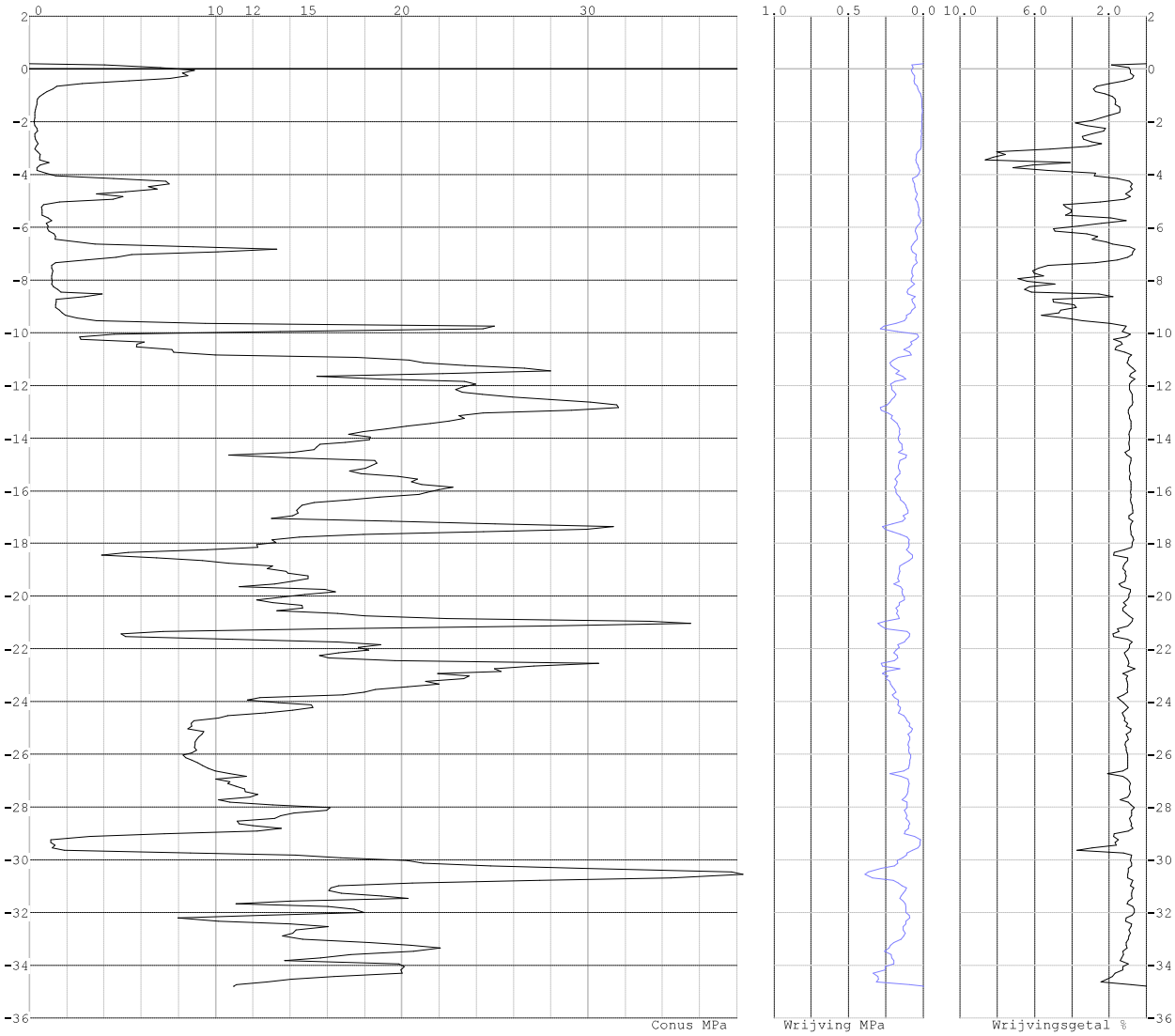

Project : ZWO380 Funderingen
Onderdeel : RLL-TBG380

SONDERINGSGEGEVENS ALGEMEEN: 19-1008_20

Alle niveaus/hoogtes/peilmaten zijn t.o.v.: N.A.P.
Hoogte maaiveld [m] : -0.03 Bodemprofiel: 19-1008_20
Traject negatieve kleef : -0.03 tot -3.20 [m]
Traject positieve kleef : -4.50 tot -35.23 [m]

SONDERINGSGEGEVENS GRAFIEK: 19-1008_20

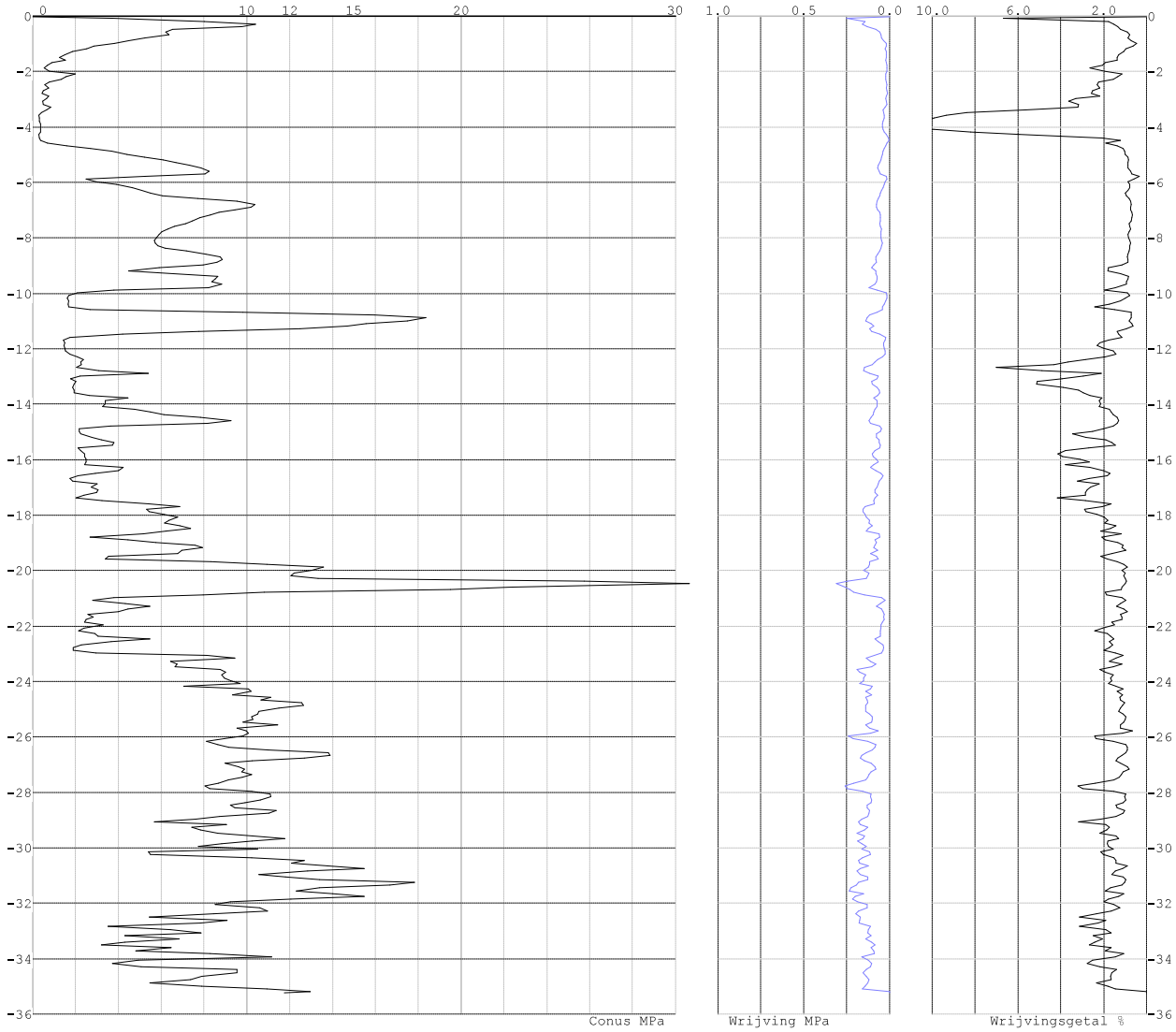

Project : ZWO380 Funderingen
Onderdeel : RLL-TBG380

SONDERINGSGEGEVENS ALGEMEEN: 19-1008_21

Alle niveaus/hoogtes/peilmaten zijn t.o.v.: N.A.P.
Hoogte maaiveld [m] : 1.78 Bodemprofiel: 19-1008_21
Traject negatieve kleef : 1.78 tot -4.10 [m]
Traject positieve kleef : -4.50 tot -33.19 [m]

SONDERINGSGEGEVENS GRAFIEK: 19-1008_21

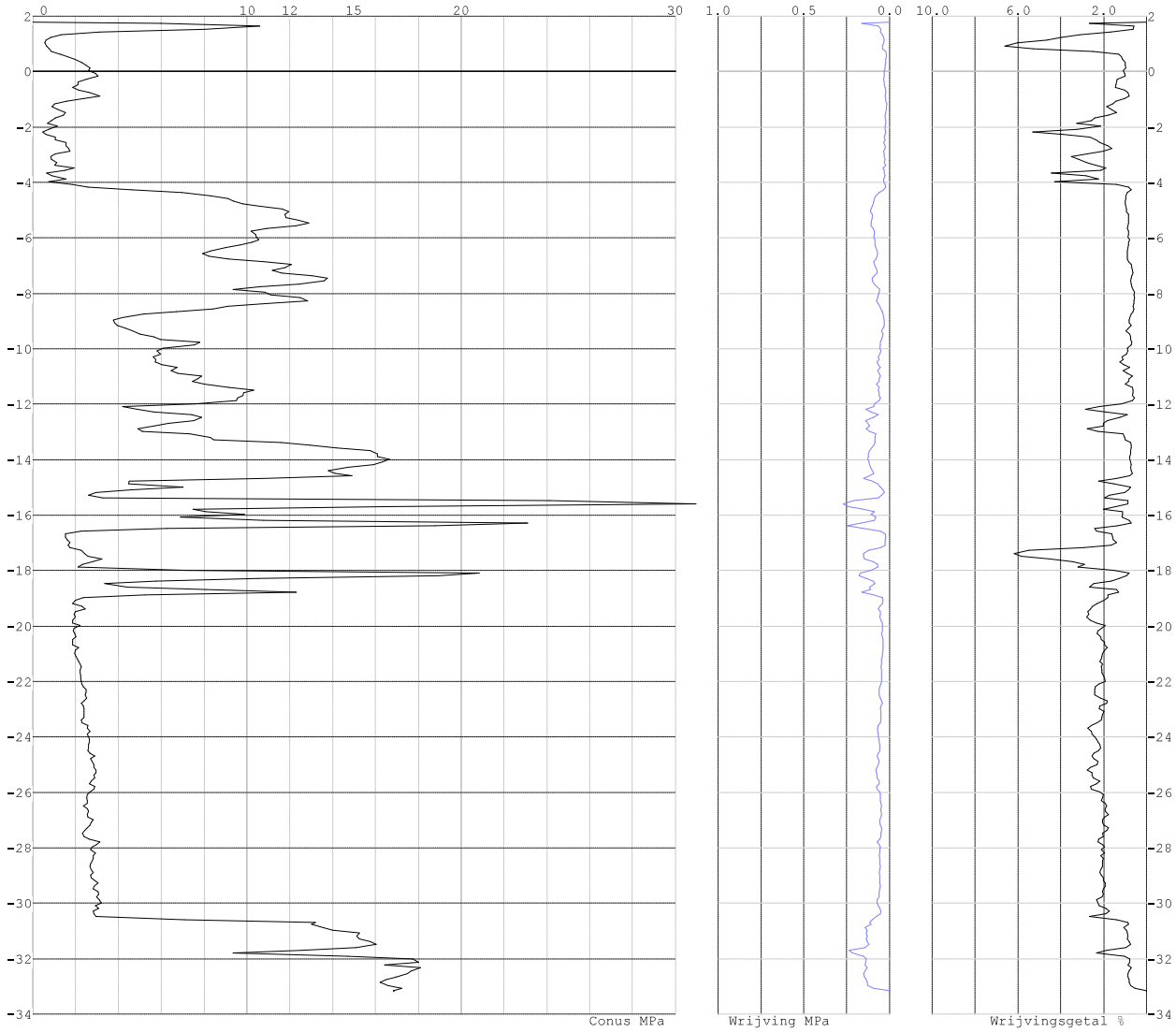

Project : ZWO380 Funderingen
Onderdeel : RLL-TBG380

SONDERINGSGEGEVENS ALGEMEEN: 251.S01

Alle niveaus/hoogtes/peilmaten zijn t.o.v.: N.A.P.
Hoogte maaiveld [m] : -1.05 Bodemprofiel: 251.S01
Traject negatieve kleef : -1.05 tot -2.80 [m]
Traject positieve kleef : -3.30 tot -40.88 [m]

SONDERINGSGEGEVENS GRAFIEK: 251.S01

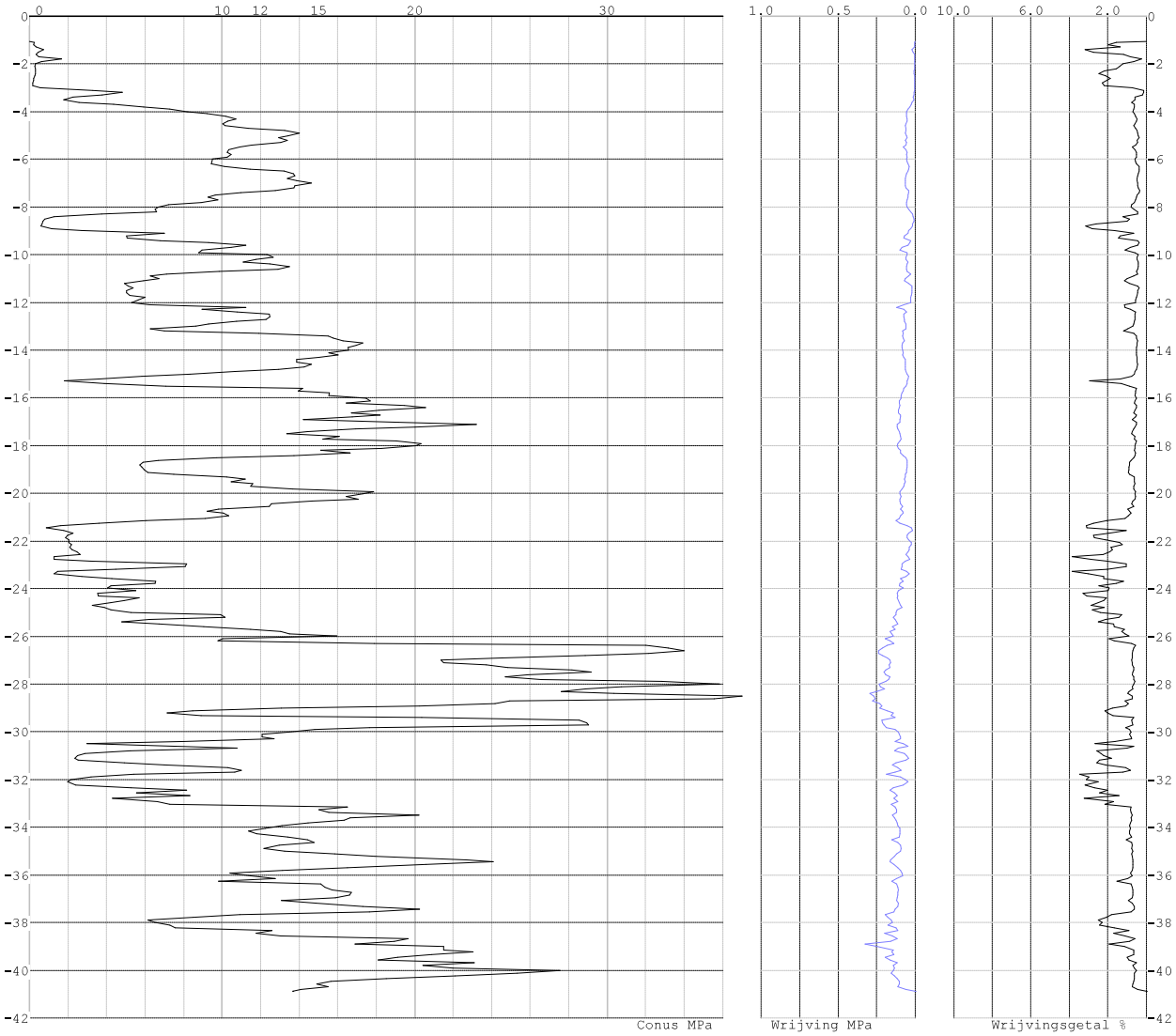

Project : ZWO380 Funderingen
Onderdeel : RLL-TBG380

SONDERINGSGEGEVENS ALGEMEEN: 19-1008_29

Alle niveaus/hoogtes/peilmaten zijn t.o.v.: N.A.P.
Hoogte maaiveld [m] : 0.79 Bodemprofiel: 19-1008_29
Traject negatieve kleef : 0.79 tot -0.50 [m]
Traject positieve kleef : -0.70 tot -34.29 [m]

SONDERINGSGEGEVENS GRAFIEK: 19-1008_29

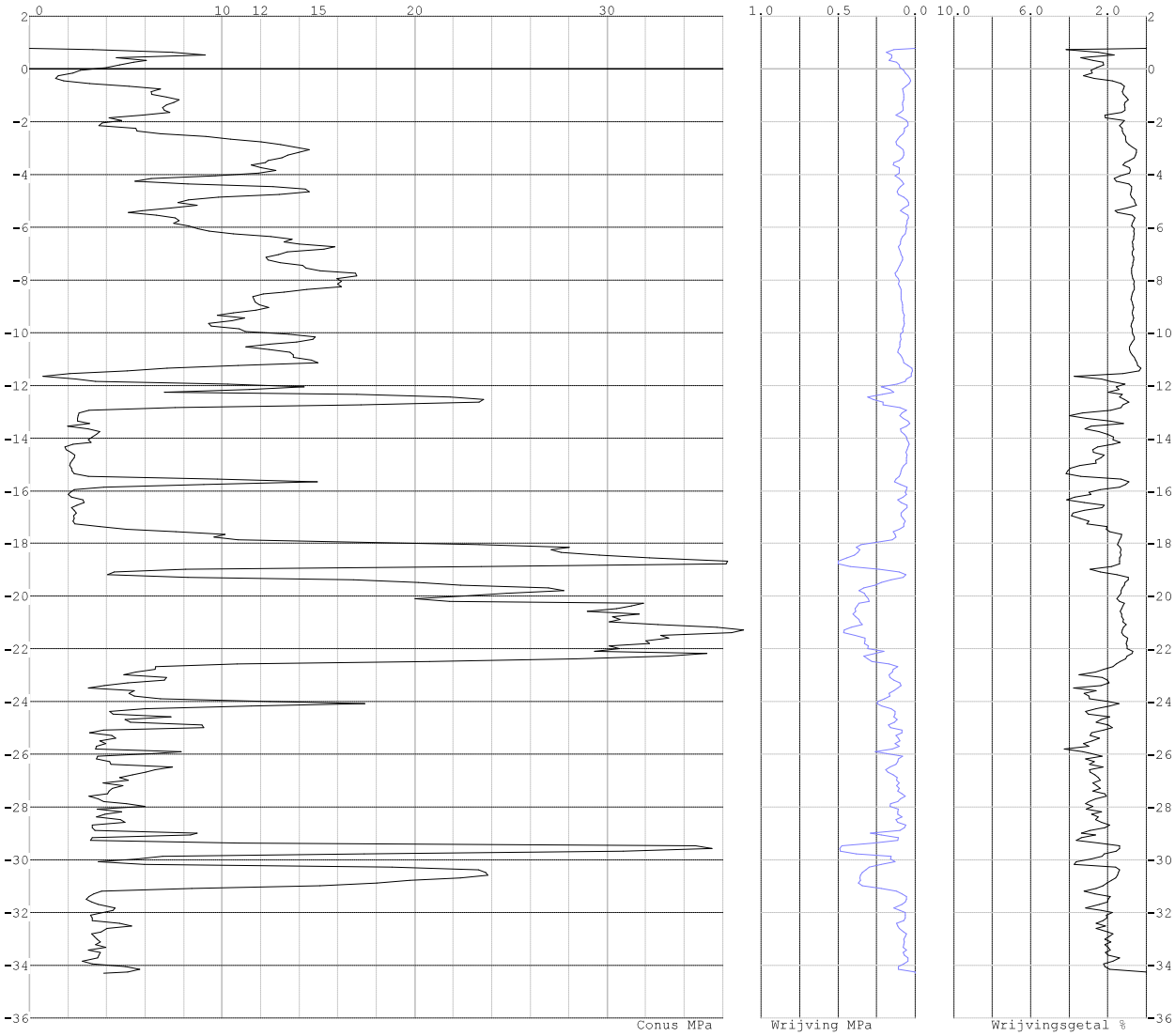

Project : ZWO380 Funderingen
Onderdeel : RLL-TBG380

SONDERINGSGEGEVENS ALGEMEEN: 283.S02

Alle niveaus/hoogtes/peilmaten zijn t.o.v.: N.A.P.
Hoogte maaiveld [m] : 0.17 Bodemprofiel: 283.S02
Traject negatieve kleef : 0.17 tot -1.60 [m]
Traject positieve kleef : -1.70 tot -32.29 [m]

SONDERINGSGEGEVENS GRAFIEK: 283.S02

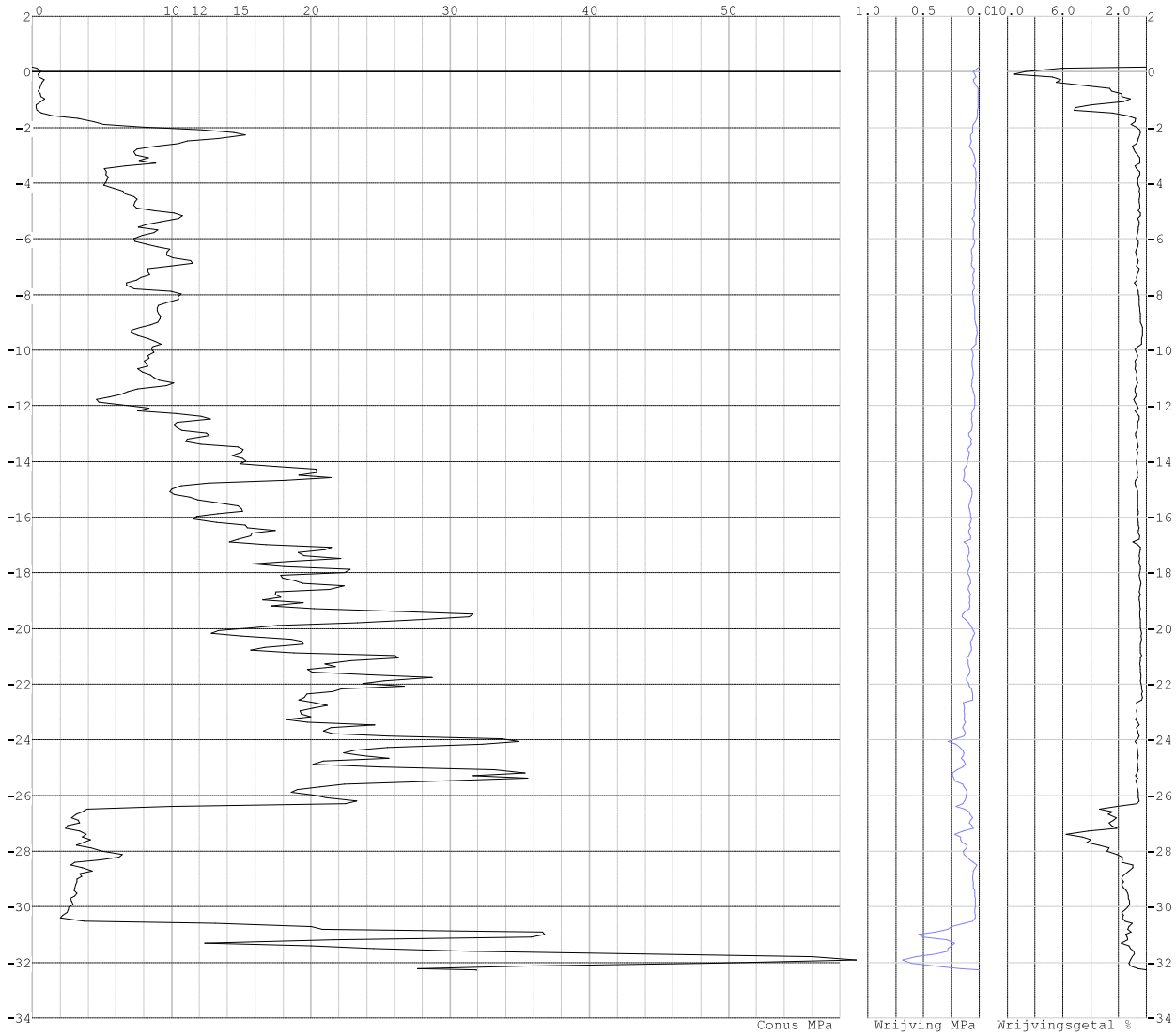

Project : ZWO380 Funderingen
Onderdeel : RLL-TBG380

SONDERINGSGEGEVENS ALGEMEEN: 19-1008_35

Alle niveaus/hoogtes/peilmaten zijn t.o.v.: N.A.P.
Hoogte maaiveld [m] : 0.92 Bodemprofiel: 19-1008_35
Traject negatieve kleef : 0.92 tot -0.60 [m]
Traject positieve kleef : -0.80 tot -34.25 [m]

SONDERINGSGEGEVENS GRAFIEK: 19-1008_35

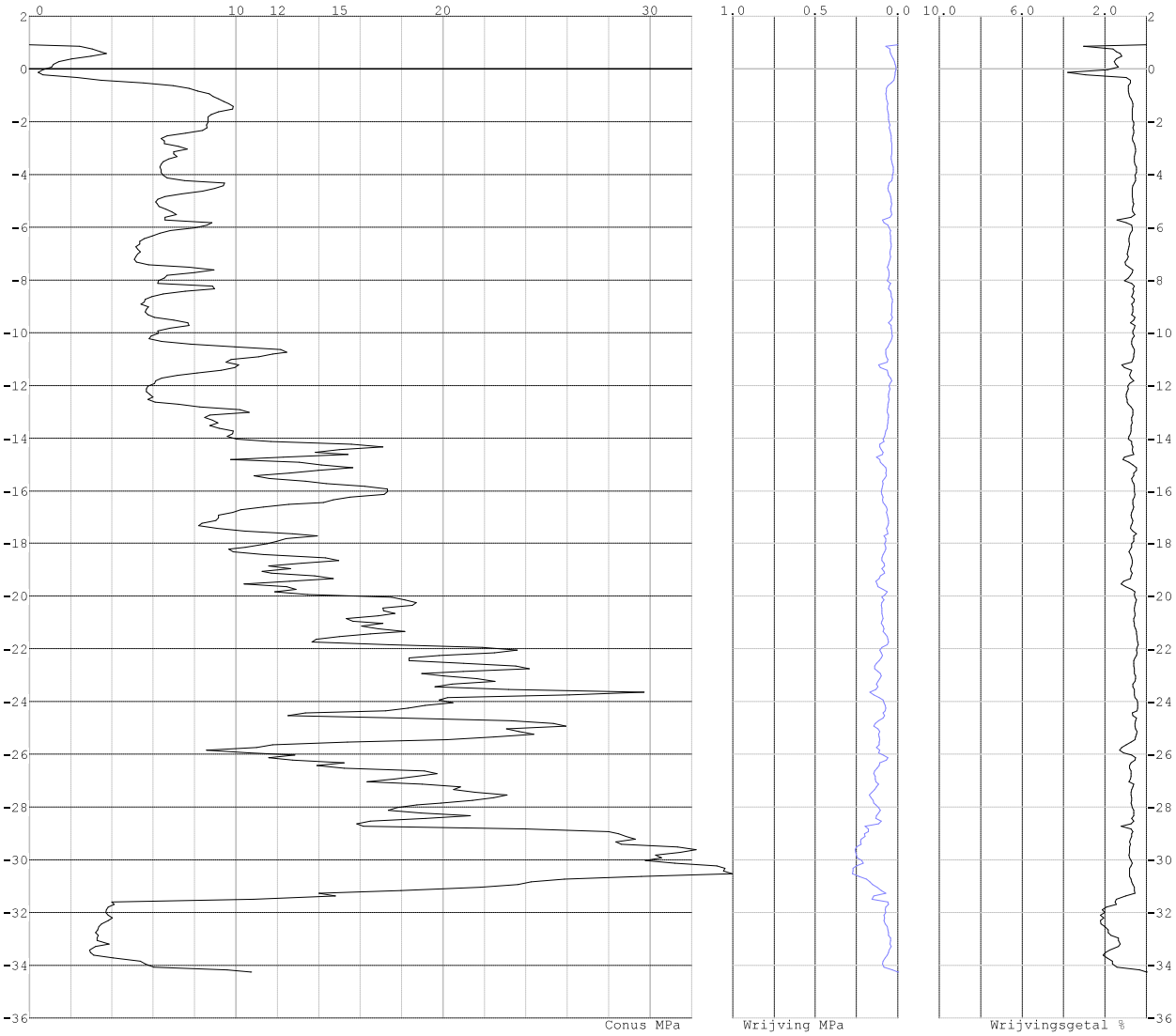

Project : ZWO380 Funderingen
Onderdeel : RLL-TBG380

SONDERINGSGEGEVENS ALGEMEEN: 312.S03

Alle niveaus/hoogtes/peilmaten zijn t.o.v.: N.A.P.
Hoogte maaiveld [m] : 3.78 Bodemprofiel: 312.S03
Traject negatieve kleef : 3.78 tot 3.30 [m]
Traject positieve kleef : 3.10 tot -31.97 [m]

SONDERINGSGEGEVENS GRAFIEK: 312.S03

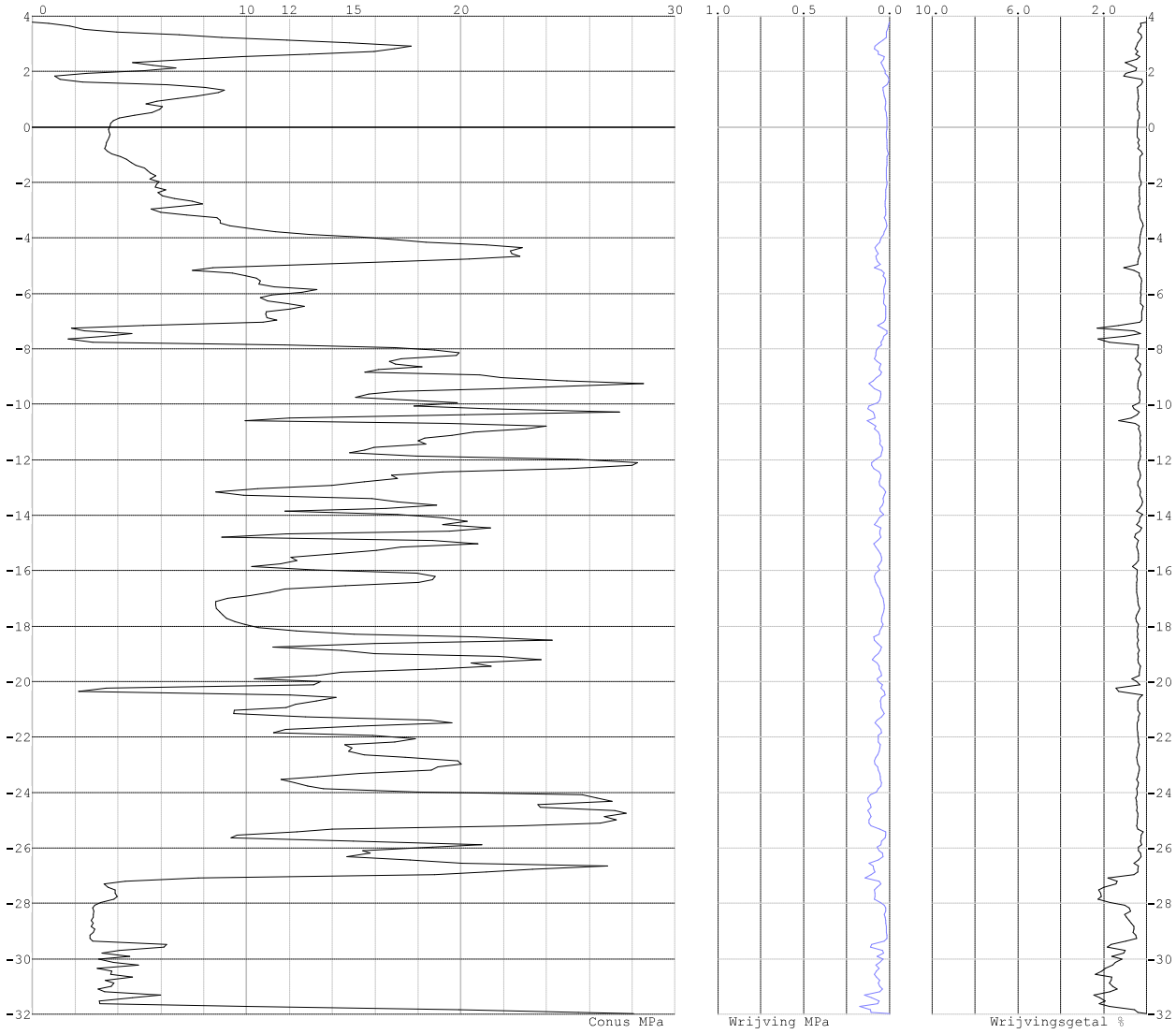

Project : ZWO380 Funderingen
Onderdeel : RLL-TBG380

SONDERINGSGEGEVENS ALGEMEEN: 19-1008_43

Alle niveaus/hoogtes/peilmaten zijn t.o.v.: N.A.P.
Hoogte maaiveld [m] : 9.88 Bodemprofiel: 19-1008_43
Traject negatieve kleef : 9.88 tot 9.40 [m]
Traject positieve kleef : 9.20 tot -25.16 [m]

SONDERINGSGEGEVENS GRAFIEK: 19-1008_43

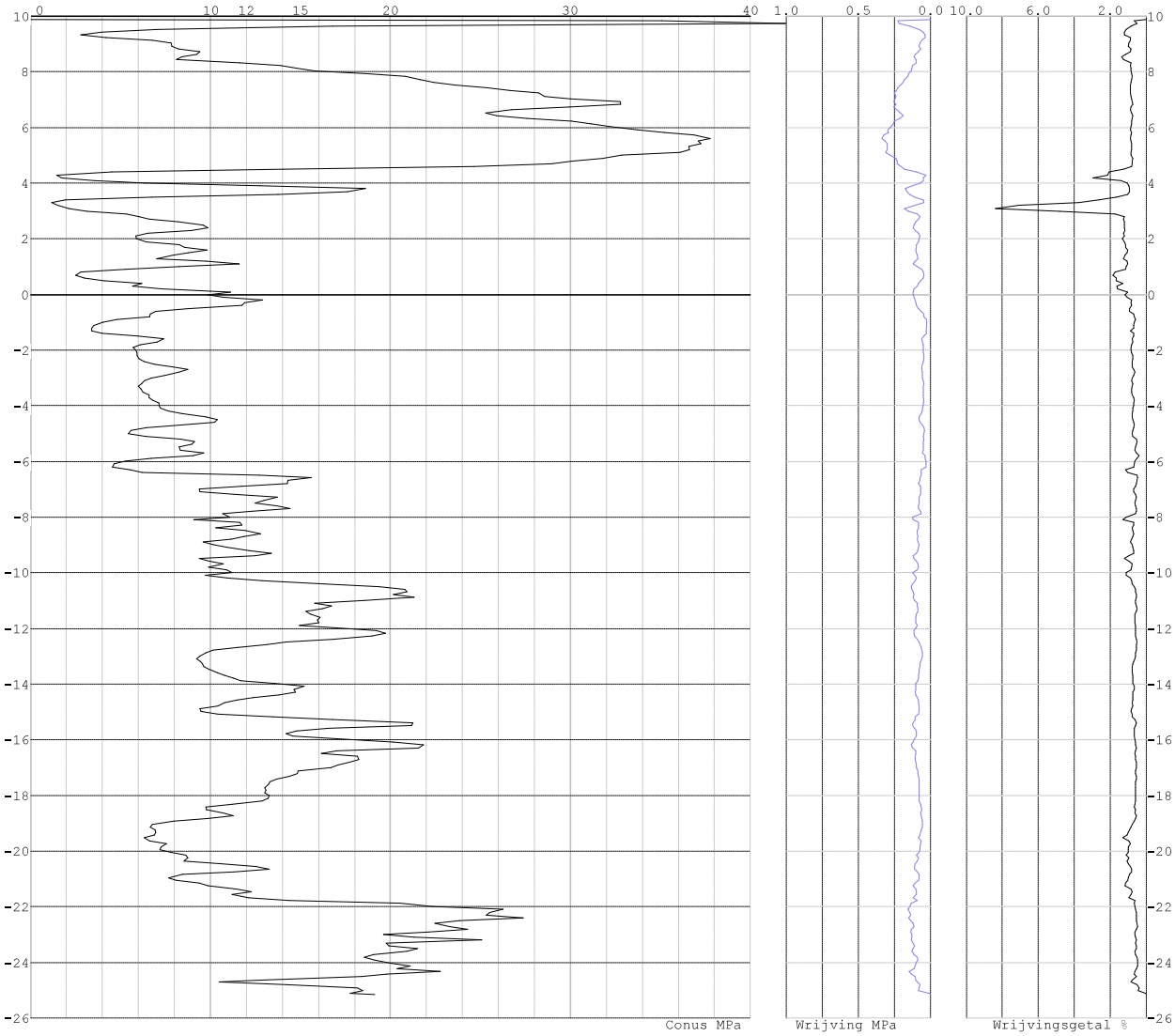

Project : ZWO380 Funderingen
Onderdeel : RLL-TBG380

SONDERINGSGEGEVENS ALGEMEEN: 328.S02

Alle niveaus/hoogtes/peilmaten zijn t.o.v.: N.A.P.
Hoogte maaiveld [m] : 10.17 Bodemprofiel: 328.S02
Traject negatieve kleef : 10.17 tot 9.90 [m]
Traject positieve kleef : 9.80 tot -28.89 [m]

SONDERINGSGEGEVENS GRAFIEK: 328.S02

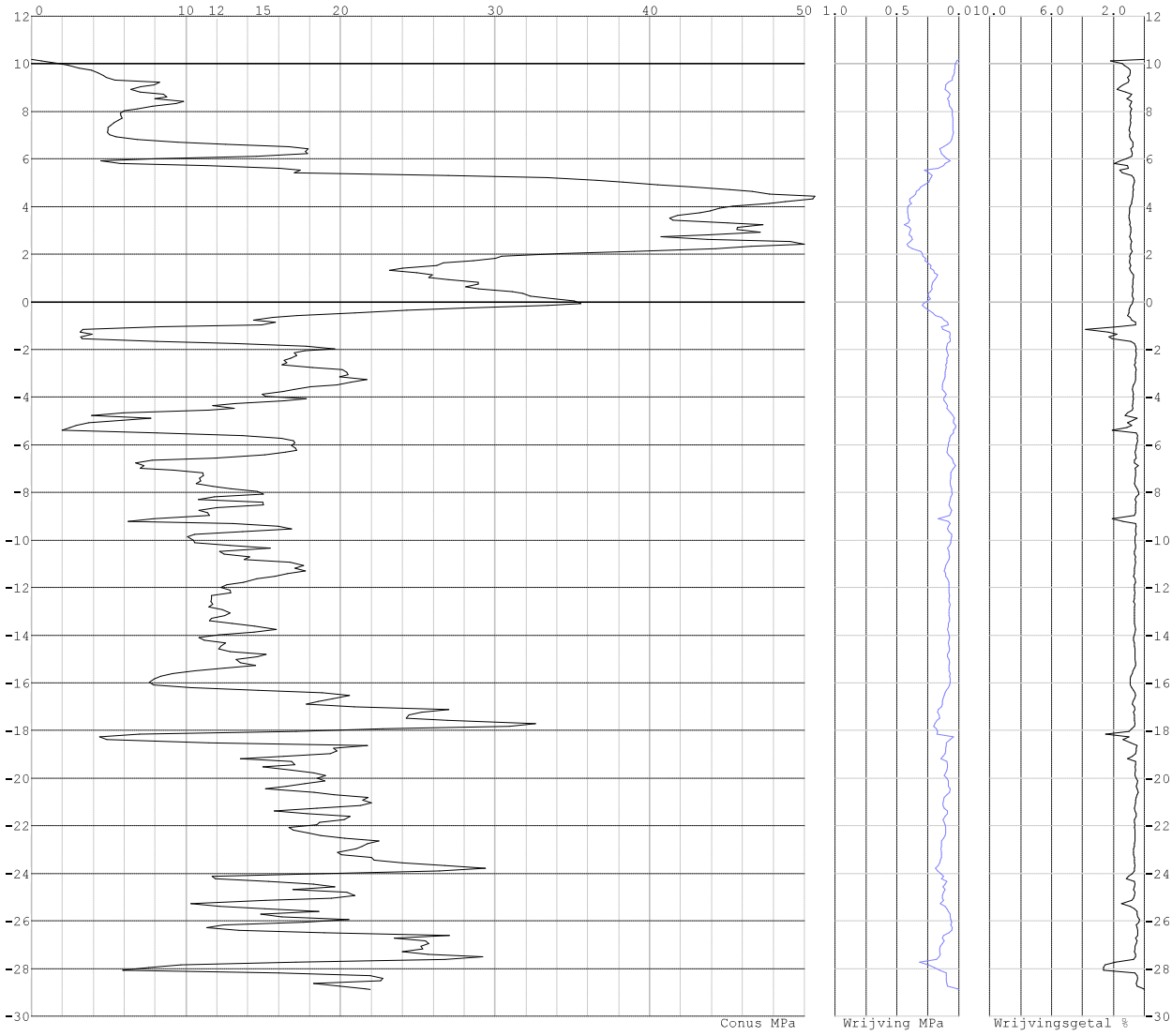

REKENGEGEVENS SI Ø508/670 druk

Berekening : Ontwerpend
Rekenmethode : Drukpalen volgens NEN-EN 1997-1, art. 7.6.2
Sondering(en) : 19-1008_1, 19-1008_6, 166.S01, 19-1008_11, 19-1008_12
: 19-1008_17, 19-1008_20, 19-1008_21, 251.S01, 19-1008_29
: 283.S02, 19-1008_35, 312.S03, 19-1008_43, 328.S02

Stijf bouwwerk : JA
Paalgroep : NEE
Aantal sonderingen : 15
Factor $\xi_{3\ (n=1)}$: 1.26 (handmatig)
Factor $\xi_{3\ (gem)}$: 1.26 (handmatig)
Factor $\xi_{4\ (min)}$: 1.26 (handmatig)
Weerstandsfactor γ_R : 1.20
$\gamma_{f;nk}$: 1.0
$R_{s;cal;max;i}$ begrenzen op 0.75 * $R_{b;cal;max;i}$: NEE
UGT draagvermogen zonder negatieve kleef : NEE

Paal : SI Ø508/670
Niveau paalkop [m] : N.A.P. 0.00
Bovenbel. [kN/m²] : 0.00

Project : ZWO380 Funderingen
Onderdeel : RLL-TBG380

PAALPUNTNIVEAUS SI Ø508/670

Alle niveaus/hoogtes/peilmaten zijn t.o.v. : N.A.P.

Nr	Beginniveau [m]	Eindniveau [m]	Stapgrootte [m]
1	-6.00	-30.00	0.50

RESULTATEN SI Ø508/670 druk (n=1)

Alle niveaus/hoogtes/peilmaten zijn t.o.v.: N.A.P.

Sondering	19-1008_1	19-1008_6	166.S01	19-1008_11	19-1008_12	19-1008_17
Niveau [m]	$F_{netto;d}$ [kN]	$F_{netto;d}$ [kN]	$F_{netto;d}$ [kN]	$F_{netto;d}$ [kN]	$F_{netto;d}$ [kN]	$F_{netto;d}$ [kN]
-6.00	-66	**2443**	1585	-45	1939	-33
-6.50	-65	**2584**	1788	-38	1566	15
-7.00	-60	**2661**	1900	49	1519	-38
-7.50	-15	**3053**	2020	165	1475	-78
-8.00	-1	**3305**	2157	203	1425	-66
-8.50	-6	**3540**	2290	237	1416	-36
-9.00	106	**3663**	2407	273	1393	-32
-9.50	144	**3736**	2695	311	1413	264
-10.00	180	**4204**	2477	311	1428	118
-10.50	231	**4287**	2467	340	1446	390
-11.00	347	**4370**	2395	377	1435	1117
-11.50	407	**4442**	2396	396	1480	1296
-12.00	451	**4513**	2404	368	1494	1450
-12.50	791	**4546**	2455	811	1502	1344
-13.00	883	**4578**	2579	1129	1524	1419
-13.50	973	**4784**	2918	1137	1588	1504
-14.00	1177	**4866**	3040	1236	1626	1598
-14.50	1357	**4949**	3162	1326	1656	1790
-15.00	1468	**5032**	3275	1409	1683	2007
-15.50	1455	**4849**	3585	1498	1738	2128
-16.00	1646	**4089**	3741	1680	1796	1618
-16.50	1770	**4153**	3873	1770	1839	1571
-17.00	2000	**4162**	3968	1855	1889	1668
-17.50	2894	**4172**	4032	2144	1929	1641
-18.00	2559	**4309**	4147	2550	2156	1636
-18.50	2620	**5082**	4240	2688	2242	1900
-19.00	2304	**5091**	4303	2793	2526	2077
-19.50	2307	**5204**	4346	2866	2674	2094
-20.00	2307	**5325**	4532	3124	2924	2194
-20.50	2423	**5435**	0	3046	2925	2338
-21.00	2446	**5580**	0	2697	3237	2315
-21.50	3334	**6064**	0	2719	3376	2541
-22.00	4321	0	0	2649	3519	2812
-22.50	4404	0	0	2662	3613	2748
-23.00	4487	0	0	2654	3849	2753
-23.50	4569	0	0	2860	3771	2782
-24.00	4652	0	0	2949	3481	2823
-24.50	4735	0	0	2999	3441	2880
-25.00	4818	0	0	3044	3423	2947
-25.50	4900	0	0	3780	3368	3013
-26.00	**4983**	0	0	3730	3440	3092
-26.50	**5066**	0	0	3808	3505	3242
-27.00	**5148**	0	0	3913	3561	2651
-27.50	**5231**	0	0	4046	3605	2677
-28.00	**5314**	0	0	4266	3995	2721
-28.50	**5397**	0	0	4500	4432	2725
-29.00	**5479**	0	0	4666	4554	2669
-29.50	**5562**	0	0	5278	0	3022
-30.00	**5645**	0	0	5456	0	3484

Project : ZWO380 Funderingen
Onderdeel : RLL-TBG380

RESULTATEN SI Ø508/670 druk (n=1)

Alle niveaus/hoogtes/peilmaten zijn t.o.v.: N.A.P.

Sondering	19-1008_20	19-1008_21	251.S01	19-1008_29	283.S02	19-1008_35
Niveau	$F_{netto;d}$	$F_{netto;d}$	$F_{netto;d}$	$F_{netto;d}$	$F_{netto;d}$	$F_{netto;d}$
[m]	[kN]	[kN]	[kN]	[kN]	[kN]	[kN]
-6.00	364	750	710	1377	1117	1028
-6.50	529	675	605	1625	1194	1051
-7.00	557	693	638	1646	1229	1081
-7.50	618	753	635	1708	1301	1164
-8.00	507	807	640	1787	1383	1198
-8.50	527	821	622	1859	1434	1223
-9.00	557	846	894	1819	1474	1262
-9.50	575	971	1041	1346	1327	1328
-10.00	551	1005	1105	1391	1371	1367
-10.50	682	1054	1160	1427	1408	1453
-11.00	679	1088	1196	1443	1445	1490
-11.50	664	1132	1261	1407	1443	1517
-12.00	692	1162	1475	1584	1712	1545
-12.50	723	1210	1573	1594	1864	1660
-13.00	737	1247	1437	1583	2020	1810
-13.50	808	1300	1507	1615	2183	1910
-14.00	844	1332	1553	1645	2286	2119
-14.50	856	1320	1560	1671	2348	2193
-15.00	892	1311	1517	1701	2391	2198
-15.50	918	1351	2163	1774	2598	2273
-16.00	946	1371	2409	1790	2766	2336
-16.50	965	1349	2189	1818	2952	2355
-17.00	1000	1375	2244	1866	3253	2401
-17.50	1137	1419	2329	2304	3370	2584
-18.00	1190	1509	2354	2636	3371	2631
-18.50	1221	1536	2342	2661	3481	2786
-19.00	1325	1571	2244	2465	3591	2857
-19.50	1448	1586	2198	3374	3683	2957
-20.00	1449	1600	2201	3774	3669	3236
-20.50	1412	1617	2207	3274	3896	3338
-21.00	1436	1640	2257	3151	4172	3448
-21.50	1465	1666	2281	2989	4281	3586
-22.00	1492	1692	2296	2955	4369	3911
-22.50	1512	1715	2337	2878	4461	3851
-23.00	1799	1738	2406	2914	4579	3942
-23.50	1931	1773	2510	3015	**4891**	3708
-24.00	2058	1804	2565	3043	4651	3765
-24.50	2173	1827	2618	3079	3674	3833
-25.00	2259	1855	2812	3112	3599	3883
-25.50	2346	1880	3156	3165	3510	3806
-26.00	2427	1906	3626	3209	3508	4054
-26.50	2542	1931	4307	3245	3476	4395
-27.00	2457	1954	3881	3285	3518	4545
-27.50	2532	1992	4001	3337	3563	4665
-28.00	2557	2020	4029	3367	3555	4759
-28.50	2608	2047	3673	3408	3579	5016
-29.00	2654	2082	3587	3594	3606	5187
-29.50	2708	2116	3600	3765	3631	4378
-30.00	2772	2145	3509	3720	0	4290

Project : ZWO380 Funderingen
Onderdeel : RLL-TBG380

RESULTATEN SI Ø508/670 druk (n=1)

Alle niveaus/hoogtes/peilmaten zijn t.o.v.: N.A.P.

Sondering	312.S03	19-1008_43	328.S02
Niveau	$F_{netto;d}$	$F_{netto;d}$	$F_{netto;d}$
[m]	[kN]	[kN]	[kN]
-6.00	930	1031	1529
-6.50	950	1390	1490
-7.00	944	1469	1631
-7.50	1115	1550	1725
-8.00	1848	1639	1811
-8.50	1860	1725	1874
-9.00	2008	1815	2013
-9.50	2085	1893	2204
-10.00	2242	2095	2383
-10.50	2476	2265	2505
-11.00	2399	2284	2598
-11.50	2523	2347	2678
-12.00	2646	2412	2749
-12.50	2641	2428	2846
-13.00	2681	2467	2949
-13.50	2865	2598	2801
-14.00	2942	2666	2829
-14.50	2968	2679	2891
-15.00	2963	3013	2933
-15.50	3015	3103	2938
-16.00	3055	3081	3050
-16.50	3061	3060	3173
-17.00	3081	2856	3284
-17.50	3160	2862	3329
-18.00	2828	2914	3059
-18.50	2893	2947	3647
-19.00	2957	2973	3746
-19.50	2927	3048	3951
-20.00	2894	3193	4099
-20.50	3273	3303	4323
-21.00	3474	3428	4469
-21.50	3607	3766	4627
-22.00	3812	4253	**4565**
-22.50	3943	4039	**4705**
-23.00	4047	0	**4650**
-23.50	4144	0	4739
-24.00	4364	0	**4751**
-24.50	4465	0	**4834**
-25.00	3953	0	**4823**
-25.50	3940	0	**4959**
-26.00	3894	0	4735
-26.50	3889	0	4856
-27.00	3845	0	0
-27.50	3874	0	0
-28.00	3902	0	0
-28.50	3927	0	0
-29.00	3957	0	0
-29.50	4027	0	0
-30.00	0	0	0

Project : ZWO380 Funderingen
Onderdeel : RLL-TBG380

SAMENVATTINGSTABEL SI Ø508/670 druk (n=1)

Uitgangspunten
- paal : SI Ø508/670
- paaltype : In de grond gevormde geschroefde paal; groutinjectie
- schachtafmeting : 590 mm

Paalklassefactor α_p : 0.63
Factor α_s (tabel 7.c EC 7.1) : 0.009 (zandlagen; voor kleilagen zie tabel 7.d)
Correlatiefactor $\xi_{3(n=1)}$: 1.26

Alle niveaus/hoogtes/peilmaten zijn t.o.v.: N.A.P.

	maaiveld	paalpunt	Bezwijkdraagvermogen			Rekenwaarden		
sondering	niveau	niveau	$R_{b;cal}$ [kN]	$R_{s;cal}$ [kN]	$R_{c;cal}$ [kN]	$R_{c;d}$ [kN]	$F_{nk;d}$ [kN]	$R_{c;netto;d}$ [kN]
19-1008_1	2.12	-6.00	74.1	0.0	74.1	49.0	-115.4	-66.3
		-6.50	75.9	0.0	75.9	50.2	-115.4	-65.2
		-7.00	83.0	0.0	83.0	54.9	-115.4	-60.4
		-7.50	148.9	2.4	151.2	100.0	-115.4	-15.3
		-8.00	142.3	30.1	172.3	114.0	-115.4	-1.4
		-8.50	103.4	61.3	164.7	108.9	-115.4	-6.4
		-9.00	263.4	70.8	334.1	221.0	-115.4	105.6
		-9.50	270.2	122.6	392.8	259.8	-115.4	144.4
		-10.00	277.8	168.6	446.4	295.3	-115.4	179.9
		-10.50	301.0	222.6	523.6	346.3	-115.4	230.9
		-11.00	440.3	259.3	699.5	462.7	-115.4	347.3
		-11.50	467.1	322.9	790.0	522.5	-115.4	407.1
		-12.00	451.3	404.9	856.2	566.3	-115.4	450.9
		-12.50	911.7	459.3	1371.0	906.7	-115.4	791.4
		-13.00	962.1	547.0	1509.0	998.0	-115.4	882.7
		-13.50	1010.3	634.6	1644.9	1087.9	-115.4	972.5
		-14.00	1243.4	710.1	1953.4	1291.9	-115.4	1176.6
		-14.50	1417.3	809.6	2226.8	1472.8	-115.4	1357.4
		-15.00	1494.3	900.2	2394.5	1583.6	-115.4	1468.3
		-15.50	1374.5	999.5	2374.0	1570.1	-115.4	1454.8
		-16.00	1578.4	1084.5	2663.0	1761.2	-115.4	1645.9
		-16.50	1672.8	1178.2	2851.0	1885.6	-115.4	1770.2
		-17.00	1925.2	1273.5	3198.7	2115.5	-115.4	2000.2
		-17.50	3165.4	1384.9	4550.4	3009.5	-115.4	2894.1
		-18.00	2533.5	1510.0	4043.5	2674.3	-115.4	2558.9
		-18.50	2500.1	1635.1	4135.2	2734.9	-115.4	2619.6
		-19.00	1897.8	1760.3	3658.1	2419.4	-115.4	2304.0
		-19.50	1777.5	1885.4	3662.9	2422.5	-115.4	2307.2
		-20.00	1622.6	2039.8	3662.4	2422.2	-115.4	2306.9
		-20.50	1637.4	2200.1	3837.5	2538.0	-115.4	2422.6
		-21.00	1506.1	2366.9	3873.0	2561.5	-115.4	2446.1
		-21.50	2734.1	2481.7	5215.9	3449.6	-115.4	3334.3
		-22.00	4101.0	2606.9	6707.8	4436.4	-115.4	4321.0
		-22.50	4101.0	2732.0	6832.9	4519.1	-115.4	4403.8
		-23.00	4101.0	2857.1	6958.0	4601.9	-115.4	4486.5
		-23.50	4101.0	2982.2	7083.2	4684.6	-115.4	4569.3
		-24.00	4101.0	3107.3	7208.3	4767.4	-115.4	4652.0
		-24.50	4101.0	3232.4	7333.4	4850.1	-115.4	4734.8
		-25.00	4101.0	3357.5	7458.5	4932.9	-115.4	4817.5
		-25.50	4101.0	3482.7	7583.6	5015.6	-115.4	4900.3
		-26.00	4101.0	3607.8	7708.7	5098.4	-115.4	4983.0
		-26.50	4101.0	3732.9	7833.8	5181.1	-115.4	5065.7
		-27.00	4101.0	3858.0	7959.0	5263.9	-115.4	5148.5
		-27.50	4101.0	3983.1	8084.1	5346.6	-115.4	5231.2
		-28.00	4101.0	4108.2	8209.2	5429.4	-115.4	5314.0
		-28.50	4101.0	4233.3	8334.3	5512.1	-115.4	5396.7
		-29.00	4101.0	4358.5	8459.4	5594.8	-115.4	5479.5
		-29.50	4101.0	4483.6	8584.5	5677.6	-115.4	5562.2
		-30.00	4101.0	4608.7	8709.6	5760.3	-115.4	5645.0
19-1008_6	11.00	-6.00	2439.0	1255.0	3694.0	2443.1	0.0	2443.1
		-6.50	2526.9	1380.1	3907.0	2584.0	0.0	2584.0
		-7.00	2518.9	1505.2	4024.1	2661.5	0.0	2661.5
		-7.50	2986.5	1630.3	4616.8	3053.4	0.0	3053.4
		-8.00	3241.8	1755.4	4997.3	3305.1	0.0	3305.1
		-8.50	3472.2	1880.6	5352.8	3540.2	0.0	3540.2
		-9.00	3533.5	2005.7	5539.2	3663.5	0.0	3663.5
		-9.50	3518.5	2130.8	5649.3	3736.3	0.0	3736.3
		-10.00	4101.0	2255.9	6356.9	4204.3	0.0	4204.3
		-10.50	4101.0	2381.0	6482.0	4287.0	0.0	4287.0
		-11.00	4101.0	2506.1	6607.1	4369.8	0.0	4369.8
		-11.50	4085.8	2631.2	6717.0	4442.5	0.0	4442.5
		-12.00	4067.7	2756.4	6824.0	4513.2	0.0	4513.2
		-12.50	3992.6	2881.5	6874.1	4546.4	0.0	4546.4
		-13.00	3914.8	3006.6	6921.4	4577.6	0.0	4577.6
		-13.50	4101.0	3131.7	7232.7	4783.5	0.0	4783.5
		-14.00	4101.0	3256.8	7357.8	4866.2	0.0	4866.2
		-14.50	4101.0	3381.9	7482.9	4949.0	0.0	4949.0
		-15.00	4101.0	3507.0	7608.0	5031.7	0.0	5031.7
		-15.50	3699.8	3632.2	7331.9	4849.2	0.0	4849.2
		-16.00	2425.7	3757.3	6183.0	4089.3	0.0	4089.3
		-16.50	2397.0	3882.4	6279.4	4153.0	0.0	4153.0
		-17.00	2285.4	4007.5	6292.9	4162.0	0.0	4162.0
		-17.50	2174.9	4132.6	6307.5	4171.6	0.0	4171.6
		-18.00	2256.8	4257.7	6514.5	4308.5	0.0	4308.5
		-18.50	3308.9	4374.5	7683.3	5081.6	0.0	5081.6
		-19.00	3198.2	4499.6	7697.8	5091.2	0.0	5091.2
		-19.50	3243.5	4624.7	7868.2	5203.8	0.0	5203.8
		-20.00	3301.1	4749.8	8050.9	5324.7	0.0	5324.7
		-20.50	3342.6	4874.9	8217.5	5434.9	0.0	5434.9
		-21.00	3436.2	5000.0	8436.3	5579.5	0.0	5579.5
		-21.50	4044.3	5125.1	9169.5	6064.5	0.0	6064.5
166.S01	3.45	-6.00	1838.5	571.4	2410.0	1593.9	-8.9	1585.0
		-6.50	2019.9	696.6	2716.4	1796.6	-8.9	1787.7
		-7.00	2063.9	821.7	2885.6	1908.5	-8.9	1899.6

Project : ZWO380 Funderingen
Onderdeel : RLL-TBG380

Alle niveaus/hoogtes/peilmaten zijn t.o.v.: N.A.P.

sondering	maaiveld niveau	paalpunt niveau	Bezwijkdraagvermogen $R_{c;cal}$ [kN]	$R_{s;cal}$ [kN]	$R_{c;cal}$ [kN]	Rekenwaarden $R_{c;d}$ [kN]	$F_{nk;d}$ [kN]	$R_{c;netto;d}$ [kN]
166.S01	3.45	-7.50	2120.6	946.8	3067.4	2028.7	-8.9	2019.8
		-8.00	2202.7	1071.9	3274.6	2165.7	-8.9	2156.9
		-8.50	2280.3	1196.1	3476.4	2299.2	-8.9	2290.3
		-9.00	2333.3	1320.1	3653.3	2416.2	-8.9	2407.4
		-9.50	2646.1	1442.3	4088.4	2704.0	-8.9	2695.1
		-10.00	2191.9	1567.4	3759.4	2486.3	-8.9	2477.5
		-10.50	2050.8	1692.5	3743.3	2475.8	-8.9	2466.9
		-11.00	1817.1	1817.6	3634.8	2403.9	-8.9	2395.1
		-11.50	1694.2	1942.8	3636.9	2405.4	-8.9	2396.5
		-12.00	1591.2	2057.7	3648.9	2413.3	-8.9	2404.4
		-12.50	1571.1	2154.9	3726.0	2464.3	-8.9	2455.4
		-13.00	1666.9	2245.8	3912.7	2587.7	-8.9	2578.9
		-13.50	2087.6	2338.1	4425.7	2927.0	-8.9	2918.2
		-14.00	2163.8	2445.5	4609.3	3048.5	-8.9	3039.6
		-14.50	2224.6	2569.3	4794.0	3170.6	-8.9	3161.7
		-15.00	2271.1	2694.4	4965.5	3284.1	-8.9	3275.2
		-15.50	2614.1	2819.5	5433.6	3593.7	-8.9	3584.8
		-16.00	2725.3	2944.7	5670.0	3750.0	-8.9	3741.1
		-16.50	2800.2	3069.8	5870.0	3882.3	-8.9	3873.4
		-17.00	2818.7	3194.9	6013.6	3977.2	-8.9	3968.4
		-17.50	2789.5	3320.0	6109.5	4040.7	-8.9	4031.8
		-18.00	2838.7	3445.1	6283.9	4156.0	-8.9	4147.1
		-18.50	2854.2	3570.2	6424.4	4249.0	-8.9	4240.1
		-19.00	2824.6	3695.3	6519.9	4312.1	-8.9	4303.2
		-19.50	2764.1	3820.5	6584.6	4354.9	-8.9	4346.0
		-20.00	2920.5	3945.6	6866.1	4541.1	-8.9	4532.2
19-1008_11	0.62	-6.00	136.3	0.0	136.3	90.2	-135.0	-44.9
		-6.50	146.6	0.0	146.6	97.0	-135.0	-38.1
		-7.00	273.2	5.5	278.7	184.3	-135.0	49.3
		-7.50	413.9	39.6	453.5	300.0	-135.0	164.9
		-8.00	421.6	89.8	511.4	338.2	-135.0	203.2
		-8.50	426.6	135.6	562.2	371.8	-135.0	236.8
		-9.00	445.6	171.0	616.7	407.8	-135.0	272.8
		-9.50	469.4	204.8	674.2	445.9	-135.0	310.8
		-10.00	434.6	239.8	674.4	446.0	-135.0	311.0
		-10.50	436.3	281.8	718.1	475.0	-135.0	339.9
		-11.00	442.9	330.8	773.7	511.7	-135.0	376.7
		-11.50	413.4	389.8	803.1	531.2	-135.0	396.1
		-12.00	296.8	464.1	760.9	503.2	-135.0	368.2
		-12.50	937.8	491.9	1429.7	945.6	-135.0	810.5
		-13.00	1332.2	579.6	1911.8	1264.4	-135.0	1129.4
		-13.50	1240.8	683.1	1923.9	1272.4	-135.0	1137.4
		-14.00	1284.1	788.6	2072.7	1370.8	-135.0	1235.8
		-14.50	1314.6	895.2	2209.8	1461.5	-135.0	1326.5
		-15.00	1333.3	1001.8	2335.1	1544.4	-135.0	1409.4
		-15.50	1367.1	1101.6	2468.7	1632.8	-135.0	1497.7
		-16.00	1559.2	1185.9	2745.0	1815.5	-135.0	1680.5
		-16.50	1596.3	1284.4	2880.7	1905.2	-135.0	1770.2
		-17.00	1629.7	1379.2	3008.9	1990.0	-135.0	1855.0
		-17.50	1977.8	1468.7	3446.5	2279.4	-135.0	2144.4
		-18.00	2477.9	1581.5	4059.4	2684.8	-135.0	2549.8
		-18.50	2562.5	1706.6	4269.1	2823.5	-135.0	2688.4
		-19.00	2596.0	1831.7	4427.7	2928.4	-135.0	2793.3
		-19.50	2580.8	1956.8	4537.6	3001.1	-135.0	2866.0
		-20.00	2846.1	2081.9	4928.0	3259.3	-135.0	3124.2
		-20.50	2603.4	2207.0	4810.4	3181.5	-135.0	3046.5
		-21.00	1949.5	2332.2	4281.6	2831.8	-135.0	2696.7
		-21.50	1865.2	2450.1	4315.3	2854.0	-135.0	2719.0
		-22.00	1633.6	2575.2	4208.8	2783.6	-135.0	2648.6
		-22.50	1528.9	2700.3	4229.2	2797.1	-135.0	2662.0
		-23.00	1403.5	2813.7	4217.2	2789.1	-135.0	2654.1
		-23.50	1638.9	2889.1	4528.0	2994.7	-135.0	2859.7
		-24.00	1676.1	2986.2	4662.3	3083.6	-135.0	2948.5
		-24.50	1642.1	3096.4	4738.5	3133.9	-135.0	2998.9
		-25.00	1604.9	3201.2	4806.0	3178.6	-135.0	3043.5
		-25.50	2630.1	3289.6	5919.7	3915.1	-135.0	3780.1
		-26.00	2428.7	3414.7	5843.4	3864.7	-135.0	3729.7
		-26.50	2422.6	3539.8	5962.4	3943.4	-135.0	3808.4
		-27.00	2456.2	3664.9	6121.1	4048.4	-135.0	3913.3
		-27.50	2531.2	3790.0	6321.3	4180.7	-135.0	4045.7
		-28.00	2738.8	3915.2	6654.0	4400.8	-135.0	4265.7
		-28.50	2967.6	4040.2	7007.8	4634.8	-135.0	4499.8
		-29.00	3093.1	4165.3	7258.4	4800.6	-135.0	4665.5
		-29.50	3894.2	4290.5	8184.6	5413.1	-135.0	5278.1
		-30.00	4037.8	4415.6	8453.4	5590.9	-135.0	5455.8
19-1008_12	3.57	-6.00	1574.5	1357.6	2932.1	1939.2	0.0	1939.2
		-6.50	912.3	1456.0	2368.3	1566.3	0.0	1566.3
		-7.00	718.5	1578.0	2296.5	1518.8	0.0	1518.8
		-7.50	526.5	1703.1	2229.6	1474.6	0.0	1474.6
		-8.00	326.8	1827.0	2153.9	1424.5	0.0	1424.5
		-8.50	250.5	1890.8	2141.2	1416.2	0.0	1416.2
		-9.00	197.1	1909.4	2106.5	1393.2	0.0	1393.2
		-9.50	213.2	1923.0	2136.2	1412.8	0.0	1412.8
		-10.00	209.1	1950.1	2159.2	1428.1	0.0	1428.1
		-10.50	180.8	2005.2	2186.0	1445.8	0.0	1445.8
		-11.00	122.7	2047.7	2170.3	1435.4	0.0	1435.4
		-11.50	181.9	2056.0	2237.8	1480.0	0.0	1480.0
		-12.00	163.7	2095.7	2259.4	1494.3	0.0	1494.3
		-12.50	160.4	2110.1	2270.6	1501.7	0.0	1501.7
		-13.00	183.3	2121.4	2304.7	1524.2	0.0	1524.2
		-13.50	266.3	2135.4	2401.6	1588.4	0.0	1588.4
		-14.00	288.4	2169.8	2458.2	1625.8	0.0	1625.8
		-14.50	288.5	2214.7	2503.2	1655.5	0.0	1655.5
		-15.00	298.3	2246.2	2544.5	1682.9	0.0	1682.9

Project : ZWO380 Funderingen
Onderdeel : RLL-TBG380

Alle niveaus/hoogtes/peilmaten zijn t.o.v.: N.A.P.

sondering	maaiveld niveau	paalpunt niveau	Bezwijkdraagvermogen $R_{c;cal}$ [kN]	$R_{s;cal}$ [kN]	$R_{c;cal}$ [kN]	Rekenwaarden $R_{c;d}$ [kN]	$F_{nk;d}$ [kN]	$R_{c;netto;d}$ [kN]
19-1008_12	3.57	-15.50	356.6	2271.0	2627.6	1737.8	0.0	1737.8
		-16.00	404.1	2311.7	2715.7	1796.1	0.0	1796.1
		-16.50	412.6	2367.3	2779.9	1838.6	0.0	1838.6
		-17.00	443.0	2413.4	2856.4	1889.2	0.0	1889.2
		-17.50	434.0	2482.3	2916.3	1928.8	0.0	1928.8
		-18.00	723.7	2535.5	3259.2	2155.6	0.0	2155.6
		-18.50	730.9	2658.7	3389.6	2241.8	0.0	2241.8
		-19.00	1048.0	2771.4	3819.3	2526.0	0.0	2526.0
		-19.50	1169.2	2874.4	4043.6	2674.4	0.0	2674.4
		-20.00	1457.3	2963.3	4420.5	2923.6	0.0	2923.6
		-20.50	1360.0	3063.3	4423.3	2925.5	0.0	2925.5
		-21.00	1736.6	3157.0	4893.7	3236.6	0.0	3236.6
		-21.50	1834.3	3270.7	5104.9	3376.3	0.0	3376.3
		-22.00	1926.9	3394.0	5320.9	3519.1	0.0	3519.1
		-22.50	1945.3	3517.2	5462.6	3612.8	0.0	3612.8
		-23.00	2189.4	3630.1	5819.5	3848.9	0.0	3848.9
		-23.50	1962.8	3738.8	5701.6	3770.9	0.0	3770.9
		-24.00	1409.7	3854.2	5263.9	3481.4	0.0	3481.4
		-24.50	1223.6	3979.3	5202.8	3441.0	0.0	3441.0
		-25.00	1071.3	4104.4	5175.7	3423.1	0.0	3423.1
		-25.50	822.7	4269.5	5092.2	3367.9	0.0	3367.9
		-26.00	765.4	4435.6	5200.9	3439.8	0.0	3439.8
		-26.50	767.9	4531.2	5299.1	3504.7	0.0	3504.7
		-27.00	763.3	4620.6	5383.8	3560.7	0.0	3560.7
		-27.50	727.5	4723.1	5450.6	3604.9	0.0	3604.9
		-28.00	1243.1	4797.1	6040.2	3994.8	0.0	3994.8
		-28.50	1808.9	4892.2	6701.1	4431.9	0.0	4431.9
		-29.00	1868.1	5017.3	6885.4	4553.8	0.0	4553.8
19-1008_17	0.20	-6.00	143.4	0.0	143.4	94.8	-127.5	-32.6
		-6.50	241.3	0.0	241.3	159.6	-144.6	15.0
		-7.00	194.5	0.0	194.5	128.6	-166.5	-37.9
		-7.50	167.9	0.0	167.9	111.0	-188.6	-77.5
		-8.00	185.8	0.0	185.8	122.9	-188.6	-65.7
		-8.50	230.2	0.0	230.2	152.3	-188.6	-36.3
		-9.00	236.1	0.0	236.1	156.2	-188.6	-32.4
		-9.50	684.9	0.0	684.9	453.0	-188.6	264.4
		-10.00	463.1	0.0	463.1	306.3	-188.6	117.7
		-10.50	856.2	19.2	875.4	579.0	-188.6	390.4
		-11.00	1875.8	97.6	1973.5	1305.2	-188.6	1116.6
		-11.50	2022.6	222.8	2245.3	1485.0	-188.6	1296.4
		-12.00	2130.2	347.9	2478.1	1638.9	-188.6	1450.4
		-12.50	1845.0	473.0	2317.9	1533.0	-188.6	1344.5
		-13.00	1832.0	598.1	2430.1	1607.2	-188.6	1418.6
		-13.50	1836.1	723.2	2559.3	1692.7	-188.6	1504.1
		-14.00	1853.6	848.3	2701.9	1787.0	-188.6	1598.4
		-14.50	2019.0	973.4	2992.3	1979.1	-188.6	1790.5
		-15.00	2230.5	1089.0	3319.5	2195.4	-188.6	2006.8
		-15.50	2288.0	1214.1	3502.1	2316.2	-188.6	2127.6
		-16.00	1392.2	1339.2	2731.4	1806.5	-188.6	1617.9
		-16.50	1196.2	1464.3	2660.5	1759.6	-188.6	1571.0
		-17.00	1222.3	1584.3	2806.6	1856.2	-188.6	1667.6
		-17.50	1051.8	1713.8	2765.6	1829.1	-188.6	1640.6
		-18.00	894.3	1864.1	2758.4	1824.4	-188.6	1635.8
		-18.50	1193.2	1964.6	3157.8	2088.5	-188.6	1899.9
		-19.00	1374.9	2051.3	3426.2	2266.0	-188.6	2077.4
		-19.50	1300.2	2151.4	3451.6	2282.8	-188.6	2094.2
		-20.00	1350.8	2252.3	3603.1	2383.0	-188.6	2194.5
		-20.50	1460.7	2359.5	3820.2	2526.6	-188.6	2338.0
		-21.00	1315.9	2470.1	3786.0	2504.0	-188.6	2315.4
		-21.50	1533.7	2594.0	4127.7	2730.0	-188.6	2541.4
		-22.00	1836.4	2700.7	4537.0	3000.7	-188.6	2812.1
		-22.50	1614.4	2825.8	4440.2	2936.7	-188.6	2748.1
		-23.00	1496.0	2950.9	4446.9	2941.1	-188.6	2752.5
		-23.50	1415.7	3076.0	4491.7	2970.7	-188.6	2782.1
		-24.00	1362.8	3191.4	4554.2	3012.0	-188.6	2823.5
		-24.50	1347.8	3291.2	4639.0	3068.1	-188.6	2879.5
		-25.00	1371.3	3369.1	4740.4	3135.2	-188.6	2946.6
		-25.50	1396.6	3444.6	4841.2	3201.8	-188.6	3013.3
		-26.00	1441.9	3518.3	4960.2	3280.6	-188.6	3092.0
		-26.50	1595.4	3591.8	5187.2	3430.7	-188.6	3242.1
		-27.00	614.4	3679.1	4293.5	2839.6	-188.6	2651.0
		-27.50	559.6	3772.6	4332.2	2865.2	-188.6	2676.6
		-28.00	531.0	3867.9	4398.9	2909.3	-188.6	2720.7
		-28.50	436.8	3967.9	4404.7	2913.2	-188.6	2724.6
		-29.00	248.0	4072.8	4320.9	2857.7	-188.6	2669.2
		-29.50	752.0	4102.5	4854.4	3210.6	-188.6	3022.0
		-30.00	1370.2	4182.1	5552.3	3672.2	-188.6	3483.6
19-1008_20	-0.03	-6.00	478.7	125.8	604.5	399.8	-35.5	364.3
		-6.50	686.9	166.4	853.3	564.4	-35.5	528.8
		-7.00	652.0	243.5	895.5	592.3	-35.5	556.7
		-7.50	678.1	310.5	988.6	653.8	-35.5	618.3
		-8.00	457.8	362.3	820.1	542.4	-35.5	506.8
		-8.50	437.1	412.7	849.9	562.1	-35.5	526.5
		-9.00	413.6	482.7	896.4	592.8	-35.5	557.3
		-9.50	384.4	539.4	923.7	610.9	-35.5	575.4
		-10.00	282.1	604.8	886.9	586.6	-35.5	551.1
		-10.50	464.3	620.5	1084.8	717.4	-35.5	681.9
		-11.00	374.9	705.4	1080.3	714.5	-35.5	678.9
		-11.50	260.2	797.1	1057.3	699.2	-35.5	663.7
		-12.00	285.6	814.9	1100.5	727.9	-35.5	692.3
		-12.50	311.3	835.4	1146.7	758.4	-35.5	722.9
		-13.00	293.0	874.9	1167.9	772.4	-35.5	736.9
		-13.50	383.5	892.7	1276.1	844.0	-35.5	808.5
		-14.00	402.7	927.5	1330.2	879.8	-35.5	844.2

Project : ZWO380 Funderingen
Onderdeel : RLL-TBG380

Alle niveaus/hoogtes/peilmaten zijn t.o.v.: N.A.P.

sondering	maaiveld niveau	paalpunt niveau	Bezwijkdraagvermogen $R_{c;cal}$ [kN]	$R_{s;cal}$ [kN]	$R_{c;cal}$ [kN]	Rekenwaarden $R_{c;d}$ [kN]	$F_{nk;d}$ [kN]	$R_{c;netto;d}$ [kN]
19-1008_20	-0.03	-14.50	355.8	992.1	1347.9	891.4	-35.5	855.9
		-15.00	336.3	1065.9	1402.2	927.4	-35.5	891.8
		-15.50	334.7	1107.3	1442.1	953.7	-35.5	918.2
		-16.00	346.3	1138.4	1484.7	981.9	-35.5	946.4
		-16.50	331.0	1182.5	1513.6	1001.0	-35.5	965.5
		-17.00	354.0	1211.0	1565.1	1035.1	-35.5	999.6
		-17.50	526.9	1246.0	1772.9	1172.6	-35.5	1137.0
		-18.00	542.0	1311.6	1853.7	1226.0	-35.5	1190.4
		-18.50	511.6	1388.4	1900.0	1256.6	-35.5	1221.1
		-19.00	611.3	1445.8	2057.1	1360.5	-35.5	1325.0
		-19.50	720.2	1523.2	2243.4	1483.7	-35.5	1448.2
		-20.00	642.1	1603.0	2245.1	1484.8	-35.5	1449.3
		-20.50	483.7	1705.7	2189.4	1448.0	-35.5	1412.5
		-21.00	380.9	1843.3	2224.3	1471.1	-35.5	1435.5
		-21.50	367.4	1901.7	2269.1	1500.7	-35.5	1465.2
		-22.00	369.7	1940.1	2309.8	1527.6	-35.5	1492.1
		-22.50	358.2	1982.1	2340.3	1547.8	-35.5	1512.3
		-23.00	758.0	2015.9	2773.9	1834.6	-35.5	1799.1
		-23.50	891.0	2081.8	2972.8	1966.2	-35.5	1930.6
		-24.00	1010.4	2155.6	3166.1	2094.0	-35.5	2058.4
		-24.50	1106.5	2233.0	3339.5	2208.6	-35.5	2173.1
		-25.00	1140.6	2328.1	3468.8	2294.2	-35.5	2258.6
		-25.50	1186.4	2414.6	3601.1	2381.6	-35.5	2346.1
		-26.00	1224.2	2499.2	3723.4	2462.6	-35.5	2427.1
		-26.50	1321.2	2575.7	3896.9	2577.3	-35.5	2541.7
		-27.00	1100.5	2668.9	3769.4	2493.0	-35.5	2457.4
		-27.50	1132.0	2750.8	3882.8	2568.0	-35.5	2532.5
		-28.00	1094.5	2824.9	3919.4	2592.2	-35.5	2556.7
		-28.50	1085.8	2911.7	3997.6	2643.9	-35.5	2608.4
		-29.00	1074.2	2992.2	4066.4	2689.4	-35.5	2653.9
		-29.50	1090.8	3056.9	4147.7	2743.2	-35.5	2707.7
		-30.00	1105.7	3138.6	4244.3	2807.1	-35.5	2771.6
19-1008_21	1.78	-6.00	1028.7	273.3	1302.1	861.1	-110.9	750.2
		-6.50	835.6	353.4	1189.0	786.4	-110.9	675.5
		-7.00	781.9	433.1	1214.9	803.5	-110.9	692.6
		-7.50	775.3	531.1	1306.4	864.0	-110.9	753.1
		-8.00	765.4	622.9	1388.4	918.2	-110.9	807.3
		-8.50	692.8	715.6	1408.4	931.5	-110.9	820.6
		-9.00	682.9	763.6	1446.5	956.7	-110.9	845.8
		-9.50	836.9	799.7	1636.6	1082.4	-110.9	971.5
		-10.00	831.9	854.7	1686.7	1115.5	-110.9	1004.6
		-10.50	859.1	903.0	1762.1	1165.4	-110.9	1054.5
		-11.00	854.9	958.4	1813.3	1199.3	-110.9	1088.4
		-11.50	851.4	1028.3	1879.7	1243.2	-110.9	1132.3
		-12.00	818.0	1106.8	1924.8	1273.0	-110.9	1162.1
		-12.50	829.7	1167.1	1996.8	1320.6	-110.9	1209.7
		-13.00	816.0	1236.8	2052.7	1357.6	-110.9	1246.7
		-13.50	819.6	1313.9	2133.5	1411.0	-110.9	1300.1
		-14.00	752.8	1428.6	2181.4	1442.7	-110.9	1331.8
		-14.50	619.8	1543.5	2163.4	1430.8	-110.9	1319.9
		-15.00	521.5	1627.6	2149.2	1421.4	-110.9	1310.5
		-15.50	521.4	1689.0	2210.3	1461.9	-110.9	1351.0
		-16.00	433.7	1807.5	2241.2	1482.3	-110.9	1371.4
		-16.50	280.8	1925.9	2206.7	1459.5	-110.9	1348.5
		-17.00	300.0	1946.0	2246.1	1485.5	-110.9	1374.6
		-17.50	343.9	1969.5	2313.4	1530.0	-110.9	1419.1
		-18.00	435.6	2014.4	2450.0	1620.4	-110.9	1509.5
		-18.50	346.4	2144.2	2490.6	1647.2	-110.9	1536.3
		-19.00	307.6	2234.8	2542.4	1681.5	-110.9	1570.5
		-19.50	307.1	2257.8	2565.0	1696.4	-110.9	1585.5
		-20.00	311.0	2276.2	2587.2	1711.1	-110.9	1600.2
		-20.50	317.7	2294.3	2612.0	1727.5	-110.9	1616.6
		-21.00	335.4	2312.6	2648.0	1751.3	-110.9	1640.4
		-21.50	352.1	2334.7	2686.8	1777.0	-110.9	1666.1
		-22.00	366.2	2360.3	2726.5	1803.2	-110.9	1692.3
		-22.50	369.7	2391.6	2761.3	1826.2	-110.9	1715.3
		-23.00	372.9	2422.6	2795.5	1848.9	-110.9	1738.0
		-23.50	395.6	2452.4	2848.0	1883.6	-110.9	1772.7
		-24.00	407.2	2487.8	2895.0	1914.7	-110.9	1803.8
		-24.50	405.3	2524.1	2929.5	1937.5	-110.9	1826.6
		-25.00	409.4	2562.4	2971.8	1965.4	-110.9	1854.5
		-25.50	407.9	2602.6	3010.4	1991.0	-110.9	1880.1
		-26.00	408.7	2641.0	3049.8	2017.1	-110.9	1906.1
		-26.50	411.0	2675.9	3086.8	2041.5	-110.9	1930.6
		-27.00	411.3	2711.6	3122.9	2065.4	-110.9	1954.5
		-27.50	433.1	2746.6	3179.8	2103.0	-110.9	1992.1
		-28.00	437.8	2784.5	3222.3	2131.1	-110.9	2020.2
		-28.50	439.6	2823.5	3263.2	2158.2	-110.9	2047.3
		-29.00	453.9	2861.4	3315.3	2192.7	-110.9	2081.8
		-29.50	465.7	2901.2	3367.0	2226.8	-110.9	2115.9
		-30.00	467.8	2943.8	3411.6	2256.3	-110.9	2145.4
251.S01	-1.05	-6.00	673.9	417.3	1091.2	721.7	-12.2	709.5
		-6.50	430.4	503.1	933.5	617.4	-12.2	605.2
		-7.00	379.8	603.2	983.0	650.1	-12.2	637.9
		-7.50	278.9	700.0	978.9	647.4	-12.2	635.2
		-8.00	196.5	788.9	985.4	651.7	-12.2	639.6
		-8.50	110.3	848.8	959.1	634.3	-12.2	622.2
		-9.00	512.4	857.8	1370.2	906.2	-12.2	894.1
		-9.50	679.2	913.1	1592.3	1053.1	-12.2	1041.0
		-10.00	691.9	997.0	1688.9	1117.0	-12.2	1104.8
		-10.50	676.5	1095.6	1772.1	1172.0	-12.2	1159.8
		-11.00	657.0	1170.4	1827.4	1208.6	-12.2	1196.4
		-11.50	709.0	1215.9	1924.9	1273.1	-12.2	1260.9
		-12.00	988.0	1261.1	2249.1	1487.5	-12.2	1475.3

Project : ZWO380 Funderingen
Onderdeel : RLL-TBG380

Alle niveaus/hoogtes/peilmaten zijn t.o.v.: N.A.P.

sondering	maaiveld niveau	paalpunt niveau	Bezwijkdraagvermogen $R_{c;cal}$ [kN]	$R_{s;cal}$ [kN]	$R_{c;cal}$ [kN]	Rekenwaarden $R_{c;d}$ [kN]	$F_{nk;d}$ [kN]	$R_{c;netto;d}$ [kN]
251.S01	-1.05	-12.50	1058.4	1338.0	2396.4	1584.9	-12.2	1572.7
		-13.00	761.7	1428.8	2190.5	1448.7	-12.2	1436.5
		-13.50	782.8	1514.4	2297.2	1519.3	-12.2	1507.1
		-14.00	733.8	1633.4	2367.2	1565.6	-12.2	1553.4
		-14.50	624.8	1751.7	2376.5	1571.8	-12.2	1559.6
		-15.00	432.6	1879.7	2312.3	1529.3	-12.2	1517.1
		-15.50	1352.0	1937.0	3289.0	2175.3	-12.2	2163.1
		-16.00	1607.9	2052.5	3660.4	2420.9	-12.2	2408.7
		-16.50	1149.9	2177.6	3327.5	2200.7	-12.2	2188.5
		-17.00	1109.8	2301.3	3411.2	2256.1	-12.2	2243.9
		-17.50	1119.7	2419.4	3539.2	2340.7	-12.2	2328.5
		-18.00	1046.1	2531.0	3577.1	2365.8	-12.2	2353.6
		-18.50	903.9	2655.9	3559.8	2354.4	-12.2	2342.2
		-19.00	680.4	2731.0	3411.4	2256.2	-12.2	2244.0
		-19.50	529.9	2811.2	3341.1	2209.7	-12.2	2197.6
		-20.00	438.1	2908.5	3346.6	2213.3	-12.2	2201.2
		-20.50	310.4	3044.6	3355.0	2218.9	-12.2	2206.7
		-21.00	243.3	3187.9	3431.2	2269.3	-12.2	2257.1
		-21.50	220.6	3247.4	3468.0	2293.6	-12.2	2281.5
		-22.00	223.6	3266.0	3489.6	2307.9	-12.2	2295.7
		-22.50	261.7	3290.6	3552.3	2349.4	-12.2	2337.2
		-23.00	326.4	3330.0	3656.4	2418.3	-12.2	2406.1
		-23.50	432.2	3381.6	3813.8	2522.4	-12.2	2510.2
		-24.00	444.7	3451.4	3896.1	2576.8	-12.2	2564.6
		-24.50	461.6	3515.0	3976.6	2630.0	-12.2	2617.8
		-25.00	698.0	3572.7	4270.7	2824.5	-12.2	2812.4
		-25.50	1114.2	3676.3	4790.4	3168.3	-12.2	3156.1
		-26.00	1673.3	3828.1	5501.4	3638.5	-12.2	3626.3
		-26.50	2555.8	3974.3	6530.2	4318.9	-12.2	4306.7
		-27.00	1787.8	4099.5	5887.2	3893.7	-12.2	3881.5
		-27.50	1843.6	4224.6	6068.1	4013.3	-12.2	4001.1
		-28.00	1760.1	4349.7	6109.8	4040.8	-12.2	4028.7
		-28.50	1097.7	4474.8	5572.5	3685.5	-12.2	3673.3
		-29.00	841.7	4599.7	5441.4	3598.8	-12.2	3586.7
		-29.50	778.6	4683.7	5462.3	3612.6	-12.2	3600.5
		-30.00	539.7	4783.8	5323.5	3520.8	-12.2	3508.6
19-1008_29	0.79	-6.00	1333.7	757.2	2090.9	1382.9	-5.9	1377.0
		-6.50	1620.2	846.0	2466.2	1631.1	-5.9	1625.2
		-7.00	1549.9	948.4	2498.3	1652.3	-5.9	1646.4
		-7.50	1536.4	1054.8	2591.2	1713.8	-5.9	1707.9
		-8.00	1542.4	1169.2	2711.5	1793.3	-5.9	1787.4
		-8.50	1537.2	1282.7	2819.9	1865.0	-5.9	1859.1
		-9.00	1377.8	1381.5	2759.3	1825.0	-5.9	1819.1
		-9.50	571.1	1473.7	2044.8	1352.4	-5.9	1346.5
		-10.00	551.7	1559.9	2111.6	1396.6	-5.9	1390.7
		-10.50	506.4	1660.0	2166.4	1432.8	-5.9	1426.9
		-11.00	431.8	1759.3	2191.1	1449.2	-5.9	1443.3
		-11.50	266.0	1870.2	2136.2	1412.9	-5.9	1407.0
		-12.00	481.0	1922.4	2403.3	1589.5	-5.9	1583.6
		-12.50	383.7	2035.6	2419.3	1600.1	-5.9	1594.2
		-13.00	280.2	2122.8	2403.0	1589.3	-5.9	1583.4
		-13.50	290.8	2159.3	2450.2	1620.5	-5.9	1614.6
		-14.00	294.2	2202.4	2496.6	1651.2	-5.9	1645.3
		-14.50	303.8	2232.3	2536.1	1677.3	-5.9	1671.4
		-15.00	323.7	2257.8	2581.5	1707.3	-5.9	1701.4
		-15.50	403.0	2288.6	2691.6	1780.1	-5.9	1774.2
		-16.00	348.9	2367.0	2715.8	1796.2	-5.9	1790.3
		-16.50	362.4	2396.0	2758.3	1824.3	-5.9	1818.4
		-17.00	405.0	2425.2	2830.2	1871.8	-5.9	1865.9
		-17.50	1025.3	2467.5	3492.8	2310.0	-5.9	2304.1
		-18.00	1424.0	2570.8	3994.8	2642.1	-5.9	2636.2
		-18.50	1337.0	2695.9	4032.9	2667.3	-5.9	2661.4
		-19.00	918.3	2817.0	3735.3	2470.4	-5.9	2464.5
		-19.50	2199.8	2910.6	5110.3	3379.8	-5.9	3373.9
		-20.00	2679.2	3035.7	5714.9	3779.7	-5.9	3773.8
		-20.50	1797.9	3160.8	4958.7	3279.5	-5.9	3273.6
		-21.00	1486.7	3285.9	4772.6	3156.5	-5.9	3150.6
		-21.50	1117.6	3411.0	4528.6	2995.1	-5.9	2989.2
		-22.00	940.5	3536.1	4476.6	2960.7	-5.9	2954.8
		-22.50	679.3	3681.3	4360.6	2884.0	-5.9	2878.1
		-23.00	625.9	3788.5	4414.4	2919.6	-5.9	2913.7
		-23.50	704.9	3862.7	4567.6	3020.9	-5.9	3015.0
		-24.00	660.0	3950.1	4610.1	3049.0	-5.9	3043.1
		-24.50	625.6	4038.9	4664.5	3085.0	-5.9	3079.1
		-25.00	581.1	4133.3	4714.4	3118.0	-5.9	3112.1
		-25.50	601.9	4191.9	4793.8	3170.5	-5.9	3164.6
		-26.00	601.4	4259.3	4860.7	3214.8	-5.9	3208.9
		-26.50	593.5	4322.1	4915.7	3251.1	-5.9	3245.2
		-27.00	574.7	4401.0	4975.7	3290.8	-5.9	3284.9
		-27.50	594.5	4460.6	5055.2	3343.4	-5.9	3337.5
		-28.00	581.1	4518.8	5099.8	3372.9	-5.9	3367.0
		-28.50	584.6	4576.5	5161.1	3413.4	-5.9	3407.5
		-29.00	803.1	4640.1	5443.2	3600.0	-5.9	3594.1
		-29.50	961.0	4740.5	5701.6	3770.9	-5.9	3765.0
		-30.00	807.4	4825.6	5633.1	3725.6	-5.9	3719.7
283.S02	0.17	-6.00	1139.4	567.0	1706.4	1128.6	-11.9	1116.7
		-6.50	1184.4	639.1	1823.5	1206.0	-11.9	1194.1
		-7.00	1149.0	726.6	1875.7	1240.5	-11.9	1228.6
		-7.50	1190.8	795.0	1985.8	1313.4	-11.9	1301.5
		-8.00	1246.8	862.6	2109.4	1395.1	-11.9	1383.2
		-8.50	1241.4	944.8	2186.2	1445.9	-11.9	1434.0
		-9.00	1225.9	1020.5	2246.3	1485.7	-11.9	1473.8
		-9.50	939.5	1084.6	2024.2	1338.7	-11.9	1326.9
		-10.00	934.9	1156.8	2091.7	1383.4	-11.9	1371.5

Project : ZWO380 Funderingen
Onderdeel : RLL-TBG380

Alle niveaus/hoogtes/peilmaten zijn t.o.v.: N.A.P.

sondering	maaiveld niveau	paalpunt niveau	Bezwijkdraagvermogen $R_{c;cal}$ [kN]	$R_{s;cal}$ [kN]	$R_{c;cal}$ [kN]	Rekenwaarden $R_{c;d}$ [kN]	$F_{nk;d}$ [kN]	$R_{c;netto;d}$ [kN]
283.S02	0.17	-10.50	921.1	1226.4	2147.4	1420.3	-11.9	1408.4
		-11.00	908.8	1294.4	2203.3	1457.2	-11.9	1445.3
		-11.50	831.7	1367.5	2199.1	1454.5	-11.9	1442.6
		-12.00	1191.8	1414.3	2606.0	1723.6	-11.9	1711.7
		-12.50	1341.2	1495.5	2836.7	1876.1	-11.9	1864.2
		-13.00	1486.9	1585.8	3072.7	2032.2	-11.9	2020.3
		-13.50	1632.9	1686.4	3319.3	2195.3	-11.9	2183.4
		-14.00	1668.6	1805.8	3474.4	2297.9	-11.9	2286.0
		-14.50	1643.0	1925.2	3568.2	2359.9	-11.9	2348.0
		-15.00	1600.7	2031.8	3632.5	2402.4	-11.9	2390.6
		-15.50	1823.4	2123.0	3946.4	2610.1	-11.9	2598.2
		-16.00	1977.7	2223.0	4200.7	2778.3	-11.9	2766.4
		-16.50	2147.5	2334.4	4481.9	2964.2	-11.9	2952.3
		-17.00	2482.4	2453.7	4936.2	3264.7	-11.9	3252.8
		-17.50	2534.8	2578.8	5113.6	3382.0	-11.9	3370.1
		-18.00	2411.3	2703.9	5115.2	3383.1	-11.9	3371.2
		-18.50	2452.7	2829.0	5281.8	3493.2	-11.9	3481.3
		-19.00	2493.9	2954.2	5448.1	3603.2	-11.9	3591.4
		-19.50	2506.7	3079.3	5586.0	3694.5	-11.9	3682.6
		-20.00	2361.0	3204.4	5565.4	3680.8	-11.9	3668.9
		-20.50	2585.0	3323.9	5908.9	3908.0	-11.9	3896.1
		-21.00	2877.2	3449.0	6326.2	4184.0	-11.9	4172.1
		-21.50	2917.2	3574.1	6491.3	4293.2	-11.9	4281.3
		-22.00	2924.8	3699.3	6624.0	4381.0	-11.9	4369.1
		-22.50	2938.1	3824.4	6762.5	4472.5	-11.9	4460.7
		-23.00	2991.4	3949.5	6940.9	4590.5	-11.9	4578.6
		-23.50	3339.1	4074.6	7413.7	4903.2	-11.9	4891.3
		-24.00	2850.0	4199.7	7049.7	4662.5	-11.9	4650.6
		-24.50	1247.6	4324.8	5572.5	3685.5	-11.9	3673.6
		-25.00	1009.8	4449.9	5459.8	3611.0	-11.9	3599.1
		-25.50	749.8	4575.1	5324.9	3521.7	-11.9	3509.9
		-26.00	622.3	4700.2	5322.5	3520.2	-11.9	3508.3
		-26.50	441.6	4831.9	5273.5	3487.7	-11.9	3475.9
		-27.00	459.1	4877.6	5336.7	3529.6	-11.9	3517.7
		-27.50	484.7	4920.9	5405.6	3575.1	-11.9	3563.3
		-28.00	418.2	4975.4	5393.6	3567.2	-11.9	3555.3
		-28.50	385.3	5044.5	5429.8	3591.1	-11.9	3579.2
		-29.00	377.2	5093.8	5471.0	3618.4	-11.9	3606.5
		-29.50	370.4	5137.1	5507.5	3642.5	-11.9	3630.7
19-1008_35	0.92	-6.00	901.7	663.9	1565.6	1035.5	-7.3	1028.2
		-6.50	881.9	717.6	1599.5	1057.8	-7.3	1050.5
		-7.00	884.1	761.6	1645.7	1088.4	-7.3	1081.1
		-7.50	963.8	806.7	1770.5	1171.0	-7.3	1163.6
		-8.00	953.5	869.3	1822.8	1205.5	-7.3	1198.2
		-8.50	927.8	932.4	1860.2	1230.3	-7.3	1223.0
		-9.00	938.6	980.6	1919.2	1269.3	-7.3	1262.0
		-9.50	990.2	1029.2	2019.4	1335.6	-7.3	1328.3
		-10.00	990.6	1087.9	2078.5	1374.7	-7.3	1367.4
		-10.50	1064.6	1142.9	2207.5	1460.0	-7.3	1452.7
		-11.00	1027.1	1237.6	2264.6	1497.8	-7.3	1490.5
		-11.50	986.2	1318.1	2304.3	1524.0	-7.3	1516.7
		-12.00	973.2	1373.9	2347.1	1552.3	-7.3	1545.0
		-12.50	1098.4	1422.0	2520.5	1667.0	-7.3	1659.7
		-13.00	1260.8	1486.3	2747.0	1816.8	-7.3	1809.5
		-13.50	1337.6	1562.0	2899.7	1917.8	-7.3	1910.5
		-14.00	1573.3	1641.2	3214.4	2126.0	-7.3	2118.7
		-14.50	1588.8	1738.3	3327.1	2200.4	-7.3	2193.1
		-15.00	1499.0	1835.4	3334.4	2205.3	-7.3	2198.0
		-15.50	1514.4	1933.9	3448.2	2280.6	-7.3	2273.3
		-16.00	1508.9	2034.7	3543.7	2343.7	-7.3	2336.4
		-16.50	1435.2	2136.1	3571.3	2362.0	-7.3	2354.7
		-17.00	1418.0	2223.1	3641.1	2408.2	-7.3	2400.9
		-17.50	1621.1	2297.0	3918.1	2591.3	-7.3	2584.0
		-18.00	1593.3	2395.2	3988.4	2637.8	-7.3	2630.5
		-18.50	1740.2	2483.8	4223.9	2793.6	-7.3	2786.3
		-19.00	1747.1	2583.6	4330.7	2864.2	-7.3	2856.9
		-19.50	1800.4	2682.3	4482.7	2964.7	-7.3	2957.4
		-20.00	2120.2	2784.1	4904.3	3243.6	-7.3	3236.3
		-20.50	2149.0	2909.2	5058.2	3345.4	-7.3	3338.1
		-21.00	2189.8	3034.3	5224.1	3455.1	-7.3	3447.8
		-21.50	2274.2	3159.4	5433.6	3593.7	-7.3	3586.4
		-22.00	2642.9	3281.1	5924.0	3918.0	-7.3	3910.7
		-22.50	2427.0	3406.3	5833.3	3858.0	-7.3	3850.7
		-23.00	2440.1	3531.4	5971.5	3949.4	-7.3	3942.1
		-23.50	1961.0	3656.5	5617.4	3715.2	-7.3	3707.9
		-24.00	1922.6	3781.6	5704.2	3772.6	-7.3	3765.3
		-24.50	1902.3	3903.9	5806.2	3840.1	-7.3	3832.8
		-25.00	1860.3	4021.4	5881.8	3890.1	-7.3	3882.7
		-25.50	1609.6	4155.9	5765.5	3813.2	-7.3	3805.9
		-26.00	1858.7	4281.5	6140.2	4061.0	-7.3	4053.7
		-26.50	2265.9	4390.3	6656.2	4402.3	-7.3	4395.0
		-27.00	2367.7	4515.4	6883.1	4552.3	-7.3	4545.0
		-27.50	2424.7	4640.5	7065.2	4672.8	-7.3	4665.4
		-28.00	2440.4	4765.7	7206.1	4765.9	-7.3	4758.6
		-28.50	2704.0	4890.8	7594.8	5023.0	-7.3	5015.7
		-29.00	2838.3	5015.9	7854.2	5194.6	-7.3	5187.3
		-29.50	1489.9	5141.0	6630.9	4385.5	-7.3	4378.2
		-30.00	1230.7	5266.1	6496.8	4296.9	-7.3	4289.6
312.S03	3.78	-6.00	583.8	822.7	1406.5	930.2	0.0	930.2
		-6.50	518.6	917.6	1436.3	949.9	0.0	949.9
		-7.00	398.1	1028.8	1426.9	943.7	0.0	943.7
		-7.50	589.7	1096.3	1686.0	1115.1	0.0	1115.1
		-8.00	1623.7	1169.8	2793.5	1847.6	0.0	1847.6
		-8.50	1517.1	1294.9	2812.0	1859.8	0.0	1859.8

Project : ZWO380 Funderingen
Onderdeel : RLL-TBG380

Alle niveaus/hoogtes/peilmaten zijn t.o.v.: N.A.P.

sondering	maaiveld niveau	paalpunt niveau	Bezwijkdraagvermogen $R_{c;cal}$ [kN]	$R_{s;cal}$ [kN]	$R_{c;cal}$ [kN]	Rekenwaarden $R_{c;d}$ [kN]	$F_{nk;d}$ [kN]	$R_{c;netto;d}$ [kN]
312.S03	3.78	-9.00	1615.5	1420.0	3035.5	2007.6	0.0	2007.6
		-9.50	1607.8	1545.1	3153.0	2085.3	0.0	2085.3
		-10.00	1720.3	1670.3	3390.6	2242.4	0.0	2242.4
		-10.50	1950.1	1793.9	3744.0	2476.2	0.0	2476.2
		-11.00	1717.0	1910.5	3627.5	2399.1	0.0	2399.1
		-11.50	1778.5	2035.6	3814.2	2522.6	0.0	2522.6
		-12.00	1840.2	2160.7	4000.8	2646.1	0.0	2646.1
		-12.50	1707.0	2285.8	3992.8	2640.7	0.0	2640.7
		-13.00	1645.8	2407.3	4053.0	2680.6	0.0	2680.6
		-13.50	1836.1	2495.5	4331.6	2864.8	0.0	2864.8
		-14.00	1852.4	2595.6	4448.0	2941.8	0.0	2941.8
		-14.50	1792.2	2695.7	4487.8	2968.1	0.0	2968.1
		-15.00	1688.2	2791.4	4479.6	2962.7	0.0	2962.7
		-15.50	1667.9	2891.5	4559.4	3015.5	0.0	3015.5
		-16.00	1630.2	2988.3	4618.5	3054.6	0.0	3054.6
		-16.50	1539.2	3088.4	4627.6	3060.6	0.0	3060.6
		-17.00	1477.9	3180.9	4658.8	3081.2	0.0	3081.2
		-17.50	1525.2	3253.2	4778.4	3160.3	0.0	3160.3
		-18.00	945.4	3330.8	4276.2	2828.2	0.0	2828.2
		-18.50	945.7	3428.2	4374.0	2892.8	0.0	2892.8
		-19.00	940.6	3530.6	4471.2	2957.1	0.0	2957.1
		-19.50	788.6	3636.8	4425.5	2926.9	0.0	2926.9
		-20.00	636.3	3739.1	4375.3	2893.7	0.0	2893.7
		-20.50	1120.5	3828.6	4949.1	3273.2	0.0	3273.2
		-21.00	1325.4	3927.5	5252.9	3474.1	0.0	3474.1
		-21.50	1433.6	4019.4	5453.1	3606.5	0.0	3606.5
		-22.00	1640.1	4123.3	5763.3	3811.7	0.0	3811.7
		-22.50	1716.0	4245.3	5961.3	3942.7	0.0	3942.7
		-23.00	1750.6	4368.2	6118.8	4046.8	0.0	4046.8
		-23.50	1778.2	4487.4	6265.6	4143.9	0.0	4143.9
		-24.00	2001.0	4596.6	6597.6	4363.5	0.0	4363.5
		-24.50	2029.3	4721.8	6751.1	4465.0	0.0	4465.0
		-25.00	1130.0	4846.9	5976.9	3953.0	0.0	3953.0
		-25.50	993.6	4964.4	5958.0	3940.5	0.0	3940.5
		-26.00	818.5	5069.4	5887.8	3894.1	0.0	3894.1
		-26.50	687.8	5191.8	5879.6	3888.6	0.0	3888.6
		-27.00	500.1	5314.2	5814.2	3845.4	0.0	3845.4
		-27.50	478.1	5379.8	5857.8	3874.2	0.0	3874.2
		-28.00	467.4	5431.8	5899.2	3901.6	0.0	3901.6
		-28.50	466.1	5471.7	5937.8	3927.1	0.0	3927.1
		-29.00	471.9	5510.9	5982.8	3956.9	0.0	3956.9
		-29.50	532.8	5556.5	6089.3	4027.3	0.0	4027.3
19-1008_43	9.88	-6.00	835.3	723.2	1558.5	1030.7	0.0	1030.7
		-6.50	1326.8	774.2	2101.1	1389.6	0.0	1389.6
		-7.00	1350.2	871.4	2221.6	1469.3	0.0	1469.3
		-7.50	1378.9	964.7	2343.7	1550.1	0.0	1550.1
		-8.00	1415.6	1061.9	2477.5	1638.5	0.0	1638.5
		-8.50	1455.9	1152.5	2608.4	1725.1	0.0	1725.1
		-9.00	1498.9	1245.2	2744.1	1814.9	0.0	1814.9
		-9.50	1522.3	1340.0	2862.4	1893.1	0.0	1893.1
		-10.00	1741.3	1426.5	3167.8	2095.1	0.0	2095.1
		-10.50	1894.4	1530.6	3425.0	2265.2	0.0	2265.2
		-11.00	1798.3	1655.7	3454.0	2284.4	0.0	2284.4
		-11.50	1767.6	1780.8	3548.5	2346.9	0.0	2346.9
		-12.00	1741.4	1905.8	3647.3	2412.2	0.0	2412.2
		-12.50	1641.5	2029.9	3671.4	2428.2	0.0	2428.2
		-13.00	1607.4	2122.3	3729.6	2466.7	0.0	2466.7
		-13.50	1726.0	2201.7	3927.7	2597.7	0.0	2597.7
		-14.00	1736.1	2294.4	4030.5	2665.7	0.0	2665.7
		-14.50	1656.3	2394.5	4050.8	2679.1	0.0	2679.1
		-15.00	2074.2	2482.0	4556.3	3013.4	0.0	3013.4
		-15.50	2100.7	2591.0	4691.7	3103.0	0.0	3103.0
		-16.00	1947.2	2711.3	4658.5	3081.0	0.0	3081.0
		-16.50	1790.2	2836.4	4626.6	3059.9	0.0	3059.9
		-17.00	1356.4	2961.5	4317.9	2855.7	0.0	2855.7
		-17.50	1245.2	3082.0	4327.2	2861.9	0.0	2861.9
		-18.00	1214.4	3191.1	4405.5	2913.7	0.0	2913.7
		-18.50	1167.2	3288.7	4455.9	2947.1	0.0	2947.1
		-19.00	1108.6	3386.5	4495.1	2973.0	0.0	2973.0
		-19.50	1143.7	3465.6	4609.3	3048.5	0.0	3048.5
		-20.00	1280.4	3547.2	4827.6	3192.8	0.0	3192.8
		-20.50	1343.2	3650.3	4993.5	3302.6	0.0	3302.6
		-21.00	1413.0	3769.9	5182.9	3427.8	0.0	3427.8
		-21.50	1825.8	3868.8	5694.6	3766.3	0.0	3766.3
		-22.00	2449.7	3980.9	6430.6	4253.0	0.0	4253.0
		-22.50	2000.5	4106.0	6106.5	4038.7	0.0	4038.7
328.S02	10.17	-6.00	1077.5	1234.9	2312.4	1529.4	0.0	1529.4
		-6.50	917.3	1335.0	2252.3	1489.6	0.0	1489.6
		-7.00	1062.7	1403.7	2466.4	1631.2	0.0	1631.2
		-7.50	1116.7	1490.8	2607.5	1724.5	0.0	1724.5
		-8.00	1151.6	1586.8	2738.4	1811.1	0.0	1811.1
		-8.50	1147.5	1685.3	2832.8	1873.6	0.0	1873.6
		-9.00	1262.1	1781.4	3043.5	2012.9	0.0	2012.9
		-9.50	1468.4	1863.6	3332.0	2203.7	0.0	2203.7
		-10.00	1647.2	1956.4	3603.6	2383.3	0.0	2383.3
		-10.50	1733.7	2053.8	3787.5	2505.0	0.0	2505.0
		-11.00	1762.6	2165.7	3928.3	2598.1	0.0	2598.1
		-11.50	1768.9	2280.7	4049.6	2678.3	0.0	2678.3
		-12.00	1765.2	2391.8	4157.0	2749.4	0.0	2749.4
		-12.50	1810.6	2492.2	4302.8	2845.8	0.0	2845.8
		-13.00	1868.4	2590.1	4458.6	2948.8	0.0	2948.8
		-13.50	1546.7	2689.2	4235.9	2801.5	0.0	2801.5
		-14.00	1487.6	2789.2	4276.9	2828.6	0.0	2828.6
		-14.50	1485.4	2886.4	4371.8	2891.4	0.0	2891.4

Project : ZWO380 Funderingen
Onderdeel : RLL-TBG380

Alle niveaus/hoogtes/peilmaten zijn t.o.v.: N.A.P.

sondering	maaiveld niveau	paalpunt niveau	Bezwijkdraagvermogen $R_{b;cal}$ [kN]	$R_{s;cal}$ [kN]	$R_{c;cal}$ [kN]	Rekenwaarden $R_{c;d}$ [kN]	$F_{nk;d}$ [kN]	$R_{c;netto;d}$ [kN]
328.S02	10.17	-15.00	1446.8	2987.5	4434.3	2932.8	0.0	2932.8
		-15.50	1354.8	3087.4	4442.3	2938.0	0.0	2938.0
		-16.00	1425.7	3186.6	4612.3	3050.4	0.0	3050.4
		-16.50	1507.8	3290.3	4798.1	3173.4	0.0	3173.4
		-17.00	1550.0	3415.5	4965.4	3284.0	0.0	3284.0
		-17.50	1493.0	3540.6	5033.6	3329.1	0.0	3329.1
		-18.00	941.5	3684.2	4625.7	3059.3	0.0	3059.3
		-18.50	1740.9	3773.2	5514.1	3646.9	0.0	3646.9
		-19.00	1778.9	3885.2	5664.2	3746.1	0.0	3746.1
		-19.50	1968.5	4004.7	5973.2	3950.6	0.0	3950.6
		-20.00	2067.5	4129.8	6197.3	4098.8	0.0	4098.8
		-20.50	2282.0	4254.9	6536.9	4323.3	0.0	4323.3
		-21.00	2376.8	4380.0	6756.8	4468.8	0.0	4468.8
		-21.50	2490.7	4505.1	6995.9	4626.9	0.0	4626.9
		-22.00	2271.8	4630.3	6902.0	4564.8	0.0	4564.8
		-22.50	2358.9	4755.4	7114.3	4705.2	0.0	4705.2
		-23.00	2150.6	4880.5	7031.1	4650.2	0.0	4650.2
		-23.50	2159.3	5005.6	7164.9	4738.7	0.0	4738.7
		-24.00	2052.2	5130.7	7182.9	4750.6	0.0	4750.6
		-24.50	2073.8	5235.0	7308.8	4833.9	0.0	4833.9
		-25.00	1957.7	5335.1	7292.8	4823.3	0.0	4823.3
		-25.50	2064.4	5433.2	7497.6	4958.7	0.0	4958.7
		-26.00	1625.6	5533.3	7158.9	4734.7	0.0	4734.7
		-26.50	1703.8	5638.9	7342.7	4856.3	0.0	4856.3

REKENGEGEVENS SI Ø610/850 druk

Berekening : Ontwerpend
Rekenmethode : Drukpalen volgens NEN-EN 1997-1, art. 7.6.2
Sondering(en) : 19-1008_1, 19-1008_6, 166.S01, 19-1008_11, 19-1008_12
: 19-1008_17, 19-1008_20, 19-1008_21, 251.S01, 19-1008_29
: 283.S02, 19-1008_35, 312.S03, 19-1008_43, 328.S02

Stijf bouwwerk : JA
Paalgroep : NEE
Aantal sonderingen : 15
Factor $\xi_{3\ (n-1)}$: 1.26 (handmatig)
Factor $\xi_{3\ (gem)}$: 1.26 (handmatig)
Factor $\xi_{4\ (min)}$: 1.26 (handmatig)
Weerstandsfactor γ_R : 1.20
$\gamma_{f;nk}$: 1.0
$R_{s;cal;max;i}$ begrenzen op 0.75 * $R_{b;cal;max;i}$: NEE
UGT draagvermogen zonder negatieve kleef : NEE

Paal : SI Ø610/850
Niveau paalkop [m] : N.A.P. 0.00
Bovenbel. [kN/m²] : 0.00

PAALPUNTNIVEAUS SI Ø610/850

Alle niveaus/hoogtes/peilmaten zijn t.o.v. : N.A.P.

Nr	Beginniveau [m]	Eindniveau [m]	Stapgrootte [m]
1	-7.00	-30.00	0.50

Project : ZWO380 Funderingen
Onderdeel : RLL-TBG380

RESULTATEN SI Ø610/850 druk (n=1)

Alle niveaus/hoogtes/peilmaten zijn t.o.v.: N.A.P.

Sondering	19-1008_1	19-1008_6	166.S01	19-1008_11	19-1008_12	19-1008_17
Niveau [m]	$F_{netto;d}$ [kN]	$F_{netto;d}$ [kN]	$F_{netto;d}$ [kN]	$F_{netto;d}$ [kN]	$F_{netto;d}$ [kN]	$F_{netto;d}$ [kN]
-7.00	-59	**3720**	2652	134	1936	-16
-7.50	6	**4282**	2791	281	1900	-72
-8.00	24	**4657**	2955	325	1796	-41
-8.50	34	**4926**	3130	364	1740	-10
-9.00	179	**5063**	3186	408	1762	13
-9.50	224	**5201**	3301	410	1789	451
-10.00	271	**5996**	3171	459	1791	252
-10.50	358	**6079**	3228	495	1822	788
-11.00	504	**6070**	3329	541	1811	1716
-11.50	579	**6210**	3294	560	1866	1898
-12.00	624	**6306**	3284	519	1880	1802
-12.50	1133	**6345**	3343	1232	1891	1961
-13.00	1246	**6397**	3589	1498	1932	2021
-13.50	1403	**6715**	4011	1620	2023	2113
-14.00	1646	**6817**	4169	1740	2062	2219
-14.50	1925	**6920**	4320	1846	2096	2557
-15.00	2040	**6658**	4477	1939	2129	2785
-15.50	1989	**5552**	4915	2042	2231	2072
-16.00	2266	**5537**	5099	2293	2285	2083
-16.50	2440	**5604**	5202	2398	2339	2176
-17.00	2928	**5593**	5274	2501	2408	2301
-17.50	3434	**5584**	5428	3074	2529	2234
-18.00	3532	**6065**	5579	3582	2790	2180
-18.50	3212	**6766**	5722	3804	2891	2625
-19.00	3232	**6893**	5830	3930	3316	2725
-19.50	3200	**7023**	5900	4006	3556	2840
-20.00	3169	**7165**	0	4166	3867	2972
-20.50	3315	**7291**	0	3639	3836	3169
-21.00	3450	**7601**	0	3715	4294	3111
-21.50	4763	0	0	3736	4455	3504
-22.00	**6143**	0	0	3594	4631	3539
-22.50	**6245**	0	0	3591	4733	3605
-23.00	**6347**	0	0	3571	4766	3617
-23.50	**6450**	0	0	3873	4465	3637
-24.00	**6552**	0	0	3968	4471	3727
-24.50	**6655**	0	0	4019	4402	3790
-25.00	**6757**	0	0	4089	4291	3872
-25.50	**6859**	0	0	4949	4318	3953
-26.00	**6962**	0	0	5055	4405	4065
-26.50	**7064**	0	0	5139	4485	3330
-27.00	**7166**	0	0	5263	4554	3357
-27.50	**7269**	0	0	5429	4593	3420
-28.00	**7371**	0	0	5831	5306	3469
-28.50	**7474**	0	0	6068	5823	3456
-29.00	**7576**	0	0	6467	0	3351
-29.50	**7678**	0	0	7193	0	4057
-30.00	0	0	0	**7415**	0	4562

Project : ZWO380 Funderingen
Onderdeel : RLL-TBG380

RESULTATEN SI Ø610/850 druk (n=1)

Alle niveaus/hoogtes/peilmaten zijn t.o.v.: N.A.P.

Sondering	19-1008_20	19-1008_21	251.S01	19-1008_29	283.S02	19-1008_35
Niveau [m]	$F_{netto;d}$ [kN]	$F_{netto;d}$ [kN]	$F_{netto;d}$ [kN]	$F_{netto;d}$ [kN]	$F_{netto;d}$ [kN]	$F_{netto;d}$ [kN]
-7.00	715	967	859	2243	1692	1530
-7.50	645	1034	834	2377	1847	1629
-8.00	669	1113	825	2477	1928	1667
-8.50	718	1102	813	2284	1990	1692
-9.00	749	1150	1255	1679	1773	1753
-9.50	768	1327	1401	1754	1826	1833
-10.00	729	1402	1485	1828	1878	1919
-10.50	897	1469	1543	1864	1921	1999
-11.00	908	1510	1577	1870	1965	2038
-11.50	872	1562	1659	1929	1969	2061
-12.00	918	1631	1970	2007	2390	2093
-12.50	954	1604	1812	2020	2586	2313
-13.00	968	1701	1907	2008	2814	2476
-13.50	1080	1768	1997	2047	2976	2616
-14.00	1085	1719	2051	2083	3116	2881
-14.50	1122	1753	2047	2116	3179	2888
-15.00	1166	1863	2006	2188	3252	2988
-15.50	1197	1771	2985	2257	3503	3083
-16.00	1234	1781	2797	2264	3774	3154
-16.50	1262	1723	2865	2301	4004	3158
-17.00	1313	1769	2993	2421	4416	3226
-17.50	1506	1893	3069	3189	4450	3473
-18.00	1576	1925	3079	3530	4612	3576
-18.50	1633	1960	2748	3540	4753	3777
-19.00	1752	2001	2796	3406	4892	3864
-19.50	1846	2019	2769	4573	5002	4037
-20.00	1842	2037	2764	4179	5024	4395
-20.50	1834	2058	2791	4028	5414	4517
-21.00	1848	2092	2840	3919	5692	4651
-21.50	1882	2125	2866	3846	**5836**	4945
-22.00	1917	2159	2883	3784	5945	5055
-22.50	1956	2190	2979	3686	6051	5187
-23.00	2374	2220	3033	3725	6269	4866
-23.50	2553	2267	3187	3824	5469	4938
-24.00	2731	2299	3252	3904	4727	5032
-24.50	2876	2332	3338	3931	4587	5112
-25.00	2977	2364	3601	3963	4552	5165
-25.50	3083	2399	4097	4032	4450	5042
-26.00	3212	2432	5052	4078	4423	5397
-26.50	3113	2465	4945	4130	4386	5869
-27.00	3200	2496	5098	4175	4452	6062
-27.50	3248	2547	5086	4231	4423	6209
-28.00	3333	2583	4694	4278	4464	6314
-28.50	3422	2617	4561	4397	4503	6627
-29.00	3492	2662	4531	4801	4536	5623
-29.50	3562	2706	4488	4764	0	5510
-30.00	3467	2746	4445	4713	0	5367

Project : ZWO380 Funderingen
Onderdeel : RLL-TBG380

RESULTATEN SI Ø610/850 druk (n=1)

Alle niveaus/hoogtes/peilmaten zijn t.o.v.: N.A.P.

Sondering	312.S03	19-1008_43	328.S02
Niveau	$F_{netto;d}$	$F_{netto;d}$	$F_{netto;d}$
[m]	[kN]	[kN]	[kN]
-7.00	1245	2055	2201
-7.50	1691	2165	2319
-8.00	2402	2276	2426
-8.50	2574	2383	2494
-9.00	2763	2493	2768
-9.50	2842	2586	2947
-10.00	3044	2933	3169
-10.50	3077	3004	3352
-11.00	3223	3082	3509
-11.50	3366	3202	3587
-12.00	3528	3307	3702
-12.50	3486	3321	3822
-13.00	3674	3369	3627
-13.50	3896	3548	3695
-14.00	3974	3635	3766
-14.50	3923	3634	3854
-15.00	3960	4117	3908
-15.50	4014	4037	3882
-16.00	4096	3921	4051
-16.50	4086	3735	4219
-17.00	4101	3717	4364
-17.50	3572	3784	4409
-18.00	3683	3841	4007
-18.50	3763	3873	4849
-19.00	3841	3894	4963
-19.50	3775	3999	5235
-20.00	3798	4222	5414
-20.50	4265	4344	5719
-21.00	4540	4546	5900
-21.50	4765	5135	5825
-22.00	4988	5270	5997
-22.50	5148	0	5941
-23.00	5267	0	6089
-23.50	5454	0	6167
-24.00	5711	0	6253
-24.50	5045	0	6384
-25.00	4987	0	6296
-25.50	4908	0	6069
-26.00	4903	0	0
-26.50	4894	0	0
-27.00	4855	0	0
-27.50	4886	0	0
-28.00	4918	0	0
-28.50	4949	0	0
-29.00	5033	0	0
-29.50	0	0	0
-30.00	0	0	0

Project : ZWO380 Funderingen
Onderdeel : RLL-TBG380

SAMENVATTINGSTABEL SI Ø610/850 druk (n=1)

Uitgangspunten
- paal : SI Ø610/850
- paaltype : In de grond gevormde geschroefde paal; grouitinjectie
- schachtafmeting : 730 mm

Paalklassefactor α_p : 0.63
Factor α_s (tabel 7.c EC 7.1) : 0.009 (zandlagen; voor kleilagen zie tabel 7.d)
Correlatiefactor $\xi_{3(n=1)}$: 1.26

Alle niveaus/hoogtes/peilmaten zijn t.o.v.: N.A.P.

sondering	maaiveld niveau	paalpunt niveau	Bezwijkdraagvermogen $R_{b;cal}$ [kN]	$R_{s;cal}$ [kN]	$R_{c;cal}$ [kN]	Rekenwaarden $R_{c;d}$ [kN]	$F_{nk;d}$ [kN]	$R_{c;netto;d}$ [kN]
19-1008_1	2.12	-7.00	126.5	0.0	126.5	83.6	-142.7	-59.1
		-7.50	221.6	2.9	224.5	148.5	-142.7	5.7
		-8.00	215.1	37.2	252.2	166.8	-142.7	24.1
		-8.50	190.7	75.9	266.6	176.3	-142.7	33.6
		-9.00	399.3	87.6	486.9	322.0	-142.7	179.3
		-9.50	403.0	151.7	554.7	366.9	-142.7	224.1
		-10.00	416.9	208.7	625.6	413.7	-142.7	271.0
		-10.50	481.1	275.4	756.5	500.3	-142.7	357.6
		-11.00	657.5	320.8	978.2	647.0	-142.7	504.2
		-11.50	691.3	399.6	1090.9	721.5	-142.7	578.7
		-12.00	658.8	501.0	1159.8	767.1	-142.7	624.3
		-12.50	1360.0	568.3	1928.3	1275.3	-142.7	1132.6
		-13.00	1422.5	676.8	2099.3	1388.4	-142.7	1245.7
		-13.50	1552.7	785.2	2337.9	1546.2	-142.7	1403.5
		-14.00	1825.6	878.6	2704.1	1788.4	-142.7	1645.7
		-14.50	2124.2	1001.7	3125.8	2067.3	-142.7	1924.6
		-15.00	2186.3	1113.8	3300.1	2182.6	-142.7	2039.9
		-15.50	1986.3	1236.7	3223.0	2131.6	-142.7	1988.9
		-16.00	2300.4	1341.9	3642.3	2408.9	-142.7	2266.2
		-16.50	2446.6	1457.8	3904.4	2582.3	-142.7	2439.5
		-17.00	3066.9	1575.6	4642.6	3070.5	-142.7	2927.7
		-17.50	3693.9	1713.5	5407.4	3576.3	-142.7	3433.6
		-18.00	3688.4	1868.3	5556.8	3675.1	-142.7	3532.4
		-18.50	3048.8	2023.2	5072.0	3354.5	-142.7	3211.7
		-19.00	2925.1	2178.0	5103.0	3375.0	-142.7	3232.3
		-19.50	2721.1	2332.8	5053.9	3342.5	-142.7	3199.8
		-20.00	2484.0	2523.8	5007.9	3312.1	-142.7	3169.3
		-20.50	2506.7	2722.1	5228.8	3458.2	-142.7	3315.4
		-21.00	2503.8	2928.5	5432.3	3592.8	-142.7	3450.1
		-21.50	4346.4	3070.6	7417.0	4905.4	-142.7	4762.7
		-22.00	6278.1	3225.4	9503.5	6285.4	-142.7	6142.7
		-22.50	6278.1	3380.2	9658.3	6387.8	-142.7	6245.0
		-23.00	6278.1	3535.0	9813.1	6490.2	-142.7	6347.4
		-23.50	6278.1	3689.8	9967.9	6592.5	-142.7	6449.8
		-24.00	6278.1	3844.6	10122.7	6694.9	-142.7	6552.2
		-24.50	6278.1	3999.4	10277.5	6797.3	-142.7	6654.6
		-25.00	6278.1	4154.2	10432.3	6899.7	-142.7	6757.0
		-25.50	6278.1	4309.1	10587.1	7002.1	-142.7	6859.3
		-26.00	6278.1	4463.9	10741.9	7104.5	-142.7	6961.7
		-26.50	6278.1	4618.7	10896.7	7206.8	-142.7	7064.1
		-27.00	6278.1	4773.5	11051.5	7309.2	-142.7	7166.5
		-27.50	6278.1	4928.3	11206.3	7411.6	-142.7	7268.9
		-28.00	6278.1	5083.1	11361.1	7514.0	-142.7	7371.2
		-28.50	6278.1	5237.9	11515.9	7616.4	-142.7	7473.6
		-29.00	6278.1	5392.7	11670.7	7718.7	-142.7	7576.0
		-29.50	6278.1	5547.5	11825.5	7821.1	-142.7	7678.4
19-1008_6	11.00	-7.00	3761.5	1862.4	5623.9	3719.5	0.0	3719.5
		-7.50	4457.9	2017.2	6475.0	4282.4	0.0	4282.4
		-8.00	4868.9	2172.0	7040.8	4656.6	0.0	4656.6
		-8.50	5122.0	2326.8	7448.8	4926.5	0.0	4926.5
		-9.00	5174.4	2481.6	7656.0	5063.5	0.0	5063.5
		-9.50	5227.2	2636.4	7863.6	5200.8	0.0	5200.8
		-10.00	6275.5	2791.2	9066.7	5996.5	0.0	5996.5
		-10.50	6245.8	2946.0	9191.8	6079.2	0.0	6079.2
		-11.00	6076.5	3100.8	9177.3	6069.6	0.0	6069.6
		-11.50	6133.6	3255.6	9389.2	6209.8	0.0	6209.8
		-12.00	6124.0	3410.4	9534.4	6305.8	0.0	6305.8
		-12.50	6028.9	3565.2	9594.1	6345.3	0.0	6345.3
		-13.00	5951.5	3720.0	9671.5	6396.5	0.0	6396.5
		-13.50	6278.1	3874.8	10152.9	6714.9	0.0	6714.9
		-14.00	6278.1	4029.6	10307.7	6817.3	0.0	6817.3
		-14.50	6278.1	4184.4	10462.5	6919.6	0.0	6919.6
		-15.00	5727.2	4339.2	10066.4	6657.7	0.0	6657.7
		-15.50	3900.7	4494.0	8394.7	5552.0	0.0	5552.0
		-16.00	3722.5	4648.8	8371.4	5536.6	0.0	5536.6
		-16.50	3669.6	4803.6	8473.2	5604.0	0.0	5604.0
		-17.00	3498.7	4958.4	8457.1	5593.3	0.0	5593.3
		-17.50	3329.5	5113.2	8442.8	5583.8	0.0	5583.8
		-18.00	3901.9	5268.0	9170.0	6064.8	0.0	6064.8
		-18.50	4817.8	5412.5	10230.3	6766.1	0.0	6766.1
		-19.00	4854.7	5567.3	10421.9	6892.8	0.0	6892.8
		-19.50	4896.6	5722.1	10618.7	7022.9	0.0	7022.9
		-20.00	4956.5	5876.9	10833.3	7164.9	0.0	7164.9
		-20.50	4991.8	6031.7	11023.4	7290.6	0.0	7290.6
		-21.00	5305.8	6186.5	11492.2	7600.7	0.0	7600.7
166.S01	3.45	-7.00	3009.4	1016.6	4026.0	2662.7	-11.0	2651.7
		-7.50	3065.5	1171.5	4236.9	2802.2	-11.0	2791.2
		-8.00	3159.0	1326.3	4485.2	2966.4	-11.0	2955.5
		-8.50	3269.8	1479.9	4749.6	3141.3	-11.0	3130.3
		-9.00	3201.1	1633.3	4834.4	3197.3	-11.0	3186.4
		-9.50	3223.6	1784.5	5008.1	3312.3	-11.0	3301.3
		-10.00	2871.6	1939.3	4811.0	3181.9	-11.0	3170.9
		-10.50	2802.8	2094.1	4896.9	3238.7	-11.0	3227.7
		-11.00	2801.0	2248.9	5049.9	3339.9	-11.0	3328.9

Project : ZWO380 Funderingen
Onderdeel : RLL-TBG380

Alle niveaus/hoogtes/peilmaten zijn t.o.v.: N.A.P.

sondering	maaiveld niveau	paalpunt niveau	Bezwijkdraagvermogen $R_{c;cal}$ [kN]	$R_{s;cal}$ [kN]	$R_{c;cal}$ [kN]	Rekenwaarden $R_{c;d}$ [kN]	$F_{nk;d}$ [kN]	$R_{c;netto;d}$ [kN]
166.S01	3.45	-11.50	2593.6	2403.7	4997.3	3305.1	-11.0	3294.1
		-12.00	2435.9	2546.0	4982.0	3294.9	-11.0	3284.0
		-12.50	2405.1	2666.2	5071.3	3354.1	-11.0	3343.1
		-13.00	2665.1	2778.6	5443.7	3600.3	-11.0	3589.4
		-13.50	3188.4	2892.9	6081.2	4022.0	-11.0	4011.0
		-14.00	3294.0	3025.8	6319.9	4179.8	-11.0	4168.8
		-14.50	3369.8	3179.0	6548.8	4331.2	-11.0	4320.2
		-15.00	3452.1	3333.8	6785.9	4488.0	-11.0	4477.0
		-15.50	3959.9	3488.6	7448.5	4926.2	-11.0	4915.3
		-16.00	4082.4	3643.4	7725.8	5109.6	-11.0	5098.7
		-16.50	4083.2	3798.2	7881.4	5212.6	-11.0	5201.6
		-17.00	4037.8	3953.0	7990.8	5284.9	-11.0	5273.9
		-17.50	4116.0	4107.8	8223.8	5439.0	-11.0	5428.1
		-18.00	4189.8	4262.6	8452.4	5590.2	-11.0	5579.2
		-18.50	4250.9	4417.4	8668.3	5733.0	-11.0	5722.0
		-19.00	4260.0	4572.2	8832.2	5841.4	-11.0	5830.4
		-19.50	4210.2	4727.0	8937.2	5910.8	-11.0	5899.9
19-1008_11	0.62	-7.00	448.0	6.8	454.8	300.8	-167.1	133.7
		-7.50	629.1	49.1	678.2	448.5	-167.1	281.5
		-8.00	633.3	111.2	744.4	492.3	-167.1	325.2
		-8.50	635.1	167.7	802.8	530.9	-167.1	363.9
		-9.00	658.3	211.6	869.9	575.3	-167.1	408.3
		-9.50	619.0	253.4	872.4	577.0	-167.1	409.9
		-10.00	650.6	296.7	947.3	626.5	-167.1	459.4
		-10.50	651.7	348.7	1000.3	661.6	-167.1	494.5
		-11.00	661.7	409.3	1071.0	708.3	-167.1	541.2
		-11.50	616.5	482.3	1098.7	726.7	-167.1	559.6
		-12.00	463.6	574.3	1037.9	686.4	-167.1	519.3
		-12.50	1506.7	608.6	2115.3	1399.0	-167.1	1231.9
		-13.00	1800.6	717.2	2517.8	1665.2	-167.1	1498.2
		-13.50	1857.0	845.2	2702.3	1787.2	-167.1	1620.1
		-14.00	1907.3	975.7	2883.0	1906.7	-167.1	1739.6
		-14.50	1936.0	1107.6	3043.7	2013.0	-167.1	1845.9
		-15.00	1944.8	1239.6	3184.4	2106.1	-167.1	1939.0
		-15.50	1976.7	1363.0	3339.8	2208.8	-167.1	2041.8
		-16.00	2252.0	1467.2	3719.2	2459.8	-167.1	2292.7
		-16.50	2289.1	1589.2	3878.3	2565.0	-167.1	2398.0
		-17.00	2327.0	1706.4	4033.4	2667.6	-167.1	2500.5
		-17.50	3083.0	1817.1	4900.2	3240.9	-167.1	3073.8
		-18.00	3712.4	1956.8	5669.2	3749.5	-167.1	3582.4
		-18.50	3893.1	2111.6	6004.6	3971.3	-167.1	3804.2
		-19.00	3928.3	2266.4	6194.6	4097.0	-167.1	3929.9
		-19.50	3889.0	2421.2	6310.1	4173.4	-167.1	4006.3
		-20.00	3976.1	2576.0	6552.1	4333.4	-167.1	4166.3
		-20.50	3024.6	2730.8	5755.3	3806.4	-167.1	3639.4
		-21.00	2984.4	2885.6	5870.0	3882.3	-167.1	3715.2
		-21.50	2870.2	3031.4	5901.6	3903.2	-167.1	3736.1
		-22.00	2500.9	3186.2	5687.1	3761.3	-167.1	3594.2
		-22.50	2340.6	3341.0	5681.6	3757.7	-167.1	3590.6
		-23.00	2170.4	3481.4	5651.8	3738.0	-167.1	3570.9
		-23.50	2534.1	3574.6	6108.7	4040.2	-167.1	3873.1
		-24.00	2557.2	3694.8	6252.0	4134.9	-167.1	3967.8
		-24.50	2499.0	3831.1	6330.1	4186.6	-167.1	4019.5
		-25.00	2474.2	3960.8	6435.0	4255.9	-167.1	4088.9
		-25.50	3664.9	4070.2	7735.1	5115.8	-167.1	4948.7
		-26.00	3671.2	4225.0	7896.1	5222.3	-167.1	5055.2
		-26.50	3643.0	4379.8	8022.8	5306.1	-167.1	5139.0
		-27.00	3675.7	4534.6	8210.2	5430.1	-167.1	5263.0
		-27.50	3771.8	4689.4	8461.2	5596.0	-167.1	5428.9
		-28.00	4225.4	4844.2	9069.6	5998.4	-167.1	5831.3
		-28.50	4428.0	4998.9	9426.9	6234.7	-167.1	6067.6
		-29.00	4877.6	5153.7	10031.3	6634.4	-167.1	6467.4
		-29.50	5819.9	5308.5	11128.5	7360.1	-167.1	7193.0
		-30.00	6001.2	5463.3	11464.6	7582.4	-167.1	7415.3
19-1008_12	3.57	-7.00	974.4	1952.4	2926.8	1935.7	0.0	1935.7
		-7.50	765.6	2107.2	2872.8	1900.0	0.0	1900.0
		-8.00	454.5	2260.6	2715.1	1795.7	0.0	1795.7
		-8.50	291.3	2339.4	2630.8	1739.9	0.0	1739.9
		-9.00	301.8	2362.5	2664.3	1762.1	0.0	1762.1
		-9.50	326.4	2379.3	2705.7	1789.5	0.0	1789.5
		-10.00	295.8	2412.8	2708.6	1791.4	0.0	1791.4
		-10.50	274.2	2481.0	2755.2	1822.2	0.0	1822.2
		-11.00	204.6	2533.5	2738.1	1810.9	0.0	1810.9
		-11.50	278.0	2543.8	2821.8	1866.3	0.0	1866.3
		-12.00	249.3	2593.0	2842.3	1879.9	0.0	1879.9
		-12.50	248.8	2610.8	2859.7	1891.3	0.0	1891.3
		-13.00	296.1	2624.8	2920.8	1931.8	0.0	1931.8
		-13.50	416.0	2642.1	3058.1	2022.6	0.0	2022.6
		-14.00	432.5	2684.6	3117.2	2061.6	0.0	2061.6
		-14.50	428.7	2740.3	3169.0	2095.9	0.0	2095.9
		-15.00	440.0	2779.1	3219.2	2129.1	0.0	2129.1
		-15.50	562.6	2809.9	3372.6	2230.5	0.0	2230.5
		-16.00	594.4	2860.2	3454.6	2284.8	0.0	2284.8
		-16.50	606.9	2929.0	3535.9	2338.6	0.0	2338.6
		-17.00	654.5	2986.1	3640.6	2407.8	0.0	2407.8
		-17.50	752.4	3071.3	3823.6	2528.9	0.0	2528.9
		-18.00	1080.6	3137.2	4217.8	2789.6	0.0	2789.6
		-18.50	1082.0	3289.6	4371.6	2891.3	0.0	2891.3
		-19.00	1585.3	3429.0	5014.3	3316.3	0.0	3316.3
		-19.50	1820.5	3556.5	5377.0	3556.2	0.0	3556.2
		-20.00	2180.0	3666.4	5846.4	3866.7	0.0	3866.7
		-20.50	2010.5	3790.2	5800.8	3836.5	0.0	3836.5
		-21.00	2586.1	3906.2	6492.2	4293.8	0.0	4293.8
		-21.50	2689.3	4046.7	6736.0	4455.0	0.0	4455.0

Project : ZWO380 Funderingen
Onderdeel : RLL-TBG380

Alle niveaus/hoogtes/peilmaten zijn t.o.v.: N.A.P.

sondering	maaiveld niveau	paalpunt niveau	Bezwijkdraagvermogen $R_{c;cal}$ [kN]	$R_{s;cal}$ [kN]	$R_{c;cal}$ [kN]	Rekenwaarden $R_{c;d}$ [kN]	$F_{nk;d}$ [kN]	$R_{c;netto;d}$ [kN]
19-1008_12	3.57	-22.00	2801.9	4199.4	7001.4	4630.5	0.0	4630.5
		-22.50	2804.1	4351.8	7155.9	4732.8	0.0	4732.8
		-23.00	2714.1	4491.5	7205.7	4765.7	0.0	4765.7
		-23.50	2124.5	4626.0	6750.5	4464.6	0.0	4464.6
		-24.00	1991.2	4768.7	6759.9	4470.8	0.0	4470.8
		-24.50	1732.9	4923.5	6656.4	4402.4	0.0	4402.4
		-25.00	1409.9	5078.3	6488.2	4291.1	0.0	4291.1
		-25.50	1246.4	5282.6	6529.0	4318.1	0.0	4318.1
		-26.00	1171.7	5488.1	6659.7	4404.6	0.0	4404.6
		-26.50	1175.6	5606.4	6782.0	4485.4	0.0	4485.4
		-27.00	1168.5	5717.0	6885.5	4553.9	0.0	4553.9
		-27.50	1100.3	5843.8	6944.1	4592.7	0.0	4592.7
		-28.00	2086.8	5935.4	8022.3	5305.7	0.0	5305.7
		-28.50	2751.2	6053.0	8804.2	5822.9	0.0	5822.9
19-1008_17	0.20	-7.00	287.1	0.0	287.1	189.9	-206.0	-16.2
		-7.50	244.4	0.0	244.4	161.7	-233.3	-71.6
		-8.00	290.5	0.0	290.5	192.1	-233.3	-41.2
		-8.50	337.5	0.0	337.5	223.2	-233.3	-10.1
		-9.00	372.8	0.0	372.8	246.5	-233.3	13.2
		-9.50	1034.2	0.0	1034.2	684.0	-233.3	450.7
		-10.00	733.7	0.0	733.7	485.3	-233.3	251.9
		-10.50	1520.5	23.8	1544.3	1021.4	-233.3	788.1
		-11.00	2827.2	120.8	2948.0	1949.7	-233.3	1716.4
		-11.50	2946.9	275.6	3222.5	2131.3	-233.3	1897.9
		-12.00	2646.9	430.4	3077.3	2035.3	-233.3	1801.9
		-12.50	2732.2	585.2	3317.4	2194.0	-233.3	1960.7
		-13.00	2668.8	740.0	3408.8	2254.5	-233.3	2021.2
		-13.50	2652.8	894.8	3547.6	2346.3	-233.3	2113.0
		-14.00	2658.5	1049.6	3708.1	2452.5	-233.3	2219.1
		-14.50	3014.4	1204.3	4218.7	2790.2	-233.3	2556.9
		-15.00	3215.9	1347.4	4563.3	3018.0	-233.3	2784.7
		-15.50	1984.2	1502.2	3486.4	2305.8	-233.3	2072.5
		-16.00	1845.2	1657.0	3502.2	2316.2	-233.3	2082.9
		-16.50	1831.2	1811.8	3643.0	2409.4	-233.3	2176.1
		-17.00	1871.2	1960.2	3831.4	2534.0	-233.3	2300.7
		-17.50	1610.2	2120.5	3730.7	2467.4	-233.3	2234.1
		-18.00	1341.8	2306.4	3648.2	2412.8	-233.3	2179.5
		-18.50	1890.8	2430.8	4321.6	2858.2	-233.3	2624.9
		-19.00	1935.5	2538.0	4473.5	2958.7	-233.3	2725.4
		-19.50	1984.6	2661.8	4646.5	3073.1	-233.3	2839.7
		-20.00	2059.3	2786.8	4846.0	3205.1	-233.3	2971.7
		-20.50	2224.7	2919.3	5144.0	3402.1	-233.3	3168.8
		-21.00	2000.2	3056.2	5056.4	3344.2	-233.3	3110.9
		-21.50	2441.3	3209.5	5650.8	3737.3	-233.3	3504.0
		-22.00	2362.0	3341.5	5703.5	3772.2	-233.3	3538.8
		-22.50	2306.9	3496.3	5803.2	3838.1	-233.3	3604.8
		-23.00	2170.1	3651.1	5821.2	3850.0	-233.3	3616.7
		-23.50	2045.6	3805.9	5851.5	3870.0	-233.3	3636.7
		-24.00	2039.9	3948.6	5988.5	3960.6	-233.3	3727.3
		-24.50	2010.9	4072.2	6083.1	4023.2	-233.3	3789.9
		-25.00	2038.0	4168.5	6206.5	4104.9	-233.3	3871.5
		-25.50	2067.8	4262.0	6329.8	4186.4	-233.3	3953.0
		-26.00	2146.4	4353.2	6499.6	4298.7	-233.3	4065.4
		-26.50	942.9	4444.1	5387.0	3562.8	-233.3	3329.5
		-27.00	876.6	4552.1	5428.6	3590.4	-233.3	3357.1
		-27.50	856.7	4667.8	5524.5	3653.7	-233.3	3420.4
		-28.00	812.9	4785.7	5598.6	3702.8	-233.3	3469.5
		-28.50	668.7	4909.4	5578.1	3689.2	-233.3	3455.9
		-29.00	379.7	5039.3	5419.0	3584.0	-233.3	3350.7
		-29.50	1411.6	5075.9	6487.5	4290.7	-233.3	4057.3
		-30.00	2075.6	5174.4	7250.0	4795.0	-233.3	4561.7
19-1008_20	-0.03	-7.00	845.8	301.3	1147.1	758.7	-44.0	714.7
		-7.50	657.3	384.2	1041.5	688.8	-44.0	644.8
		-8.00	629.6	448.2	1077.9	712.9	-44.0	668.9
		-8.50	641.2	510.6	1151.9	761.8	-44.0	717.9
		-9.00	601.7	597.3	1198.9	793.0	-44.0	749.0
		-9.50	560.4	667.4	1227.7	812.0	-44.0	768.0
		-10.00	420.2	748.3	1168.6	772.9	-44.0	728.9
		-10.50	655.7	767.7	1423.4	941.4	-44.0	897.5
		-11.00	567.3	872.7	1440.0	952.4	-44.0	908.4
		-11.50	397.9	986.2	1384.2	915.5	-44.0	871.5
		-12.00	446.3	1008.3	1454.7	962.1	-44.0	918.1
		-12.50	475.7	1033.7	1509.4	998.3	-44.0	954.3
		-13.00	447.7	1082.5	1530.2	1012.1	-44.0	968.1
		-13.50	594.6	1104.5	1699.1	1123.7	-44.0	1079.8
		-14.00	559.6	1147.6	1707.3	1129.1	-44.0	1085.2
		-14.50	536.0	1227.5	1763.5	1166.4	-44.0	1122.4
		-15.00	509.9	1318.8	1828.7	1209.5	-44.0	1165.5
		-15.50	506.7	1370.1	1876.8	1241.3	-44.0	1197.3
		-16.00	523.5	1408.6	1932.1	1277.8	-44.0	1233.9
		-16.50	512.1	1463.1	1975.2	1306.4	-44.0	1262.4
		-17.00	553.2	1498.4	2051.6	1356.9	-44.0	1312.9
		-17.50	802.4	1541.7	2344.1	1550.4	-44.0	1506.4
		-18.00	825.9	1622.8	2448.7	1619.5	-44.0	1575.6
		-18.50	817.0	1717.8	2534.9	1676.5	-44.0	1632.5
		-19.00	926.2	1788.9	2715.0	1795.7	-44.0	1751.7
		-19.50	972.7	1884.6	2857.3	1889.7	-44.0	1845.8
		-20.00	867.7	1983.3	2851.0	1885.6	-44.0	1841.6
		-20.50	729.2	2110.5	2839.6	1878.1	-44.0	1834.1
		-21.00	579.8	2280.7	2860.6	1891.9	-44.0	1848.0
		-21.50	559.0	2352.9	2911.9	1925.8	-44.0	1881.9
		-22.00	564.0	2400.5	2964.5	1960.6	-44.0	1916.7
		-22.50	572.3	2452.4	3024.7	2000.4	-44.0	1956.5
		-23.00	1162.0	2494.3	3656.3	2418.2	-44.0	2374.2

Project : ZWO380 Funderingen
Onderdeel : RLL-TBG380

Alle niveaus/hoogtes/peilmaten zijn t.o.v.: N.A.P.

sondering	maaiveld niveau	paalpunt niveau	Bezwijkdraagvermogen $R_{c;cal}$ [kN]	$R_{s;cal}$ [kN]	$R_{c;cal}$ [kN]	Rekenwaarden $R_{c;d}$ [kN]	$F_{nk;d}$ [kN]	$R_{c;netto;d}$ [kN]
19-1008_20	-0.03	-23.50	1351.1	2575.8	3927.0	2597.2	-44.0	2553.2
		-24.00	1529.0	2667.1	4196.1	2775.2	-44.0	2731.3
		-24.50	1651.6	2762.8	4414.4	2919.6	-44.0	2875.6
		-25.00	1687.2	2880.6	4567.7	3021.0	-44.0	2977.0
		-25.50	1740.6	2987.6	4728.2	3127.1	-44.0	3083.1
		-26.00	1830.7	3092.3	4923.0	3256.0	-44.0	3212.0
		-26.50	1585.8	3186.8	4772.6	3156.5	-44.0	3112.5
		-27.00	1602.6	3302.2	4904.8	3243.9	-44.0	3199.9
		-27.50	1573.9	3403.6	4977.5	3292.0	-44.0	3248.0
		-28.00	1611.3	3495.2	5106.5	3377.3	-44.0	3333.3
		-28.50	1637.7	3602.7	5240.3	3465.8	-44.0	3421.8
		-29.00	1644.5	3702.2	5346.7	3536.2	-44.0	3492.2
		-29.50	1669.9	3782.3	5452.2	3605.9	-44.0	3562.0
		-30.00	1425.7	3883.4	5309.1	3511.3	-44.0	3467.3
19-1008_21	1.78	-7.00	1133.1	535.8	1668.9	1103.8	-137.2	966.5
		-7.50	1113.1	657.1	1770.2	1170.8	-137.2	1033.5
		-8.00	1119.5	770.7	1890.2	1250.1	-137.2	1112.9
		-8.50	988.3	885.5	1873.7	1239.2	-137.2	1102.0
		-9.00	1001.5	944.8	1946.3	1287.2	-137.2	1150.0
		-9.50	1224.4	989.5	2213.9	1464.2	-137.2	1327.0
		-10.00	1270.5	1057.6	2328.1	1539.7	-137.2	1402.5
		-10.50	1311.8	1117.3	2429.1	1606.6	-137.2	1469.3
		-11.00	1304.2	1185.8	2490.0	1646.9	-137.2	1509.6
		-11.50	1297.6	1272.3	2569.9	1699.7	-137.2	1562.5
		-12.00	1304.1	1369.4	2673.6	1768.2	-137.2	1631.0
		-12.50	1189.1	1444.0	2633.1	1741.5	-137.2	1604.2
		-13.00	1249.2	1530.2	2779.4	1838.2	-137.2	1701.0
		-13.50	1254.7	1625.6	2880.4	1905.0	-137.2	1767.8
		-14.00	1038.3	1767.6	2805.9	1855.8	-137.2	1718.5
		-14.50	948.9	1909.8	2858.7	1890.7	-137.2	1753.5
		-15.00	1010.8	2013.9	3024.7	2000.4	-137.2	1863.2
		-15.50	795.4	2089.7	2885.2	1908.2	-137.2	1771.0
		-16.00	663.9	2236.5	2900.4	1918.2	-137.2	1781.0
		-16.50	429.8	2382.9	2812.7	1860.3	-137.2	1723.1
		-17.00	474.6	2407.8	2882.4	1906.3	-137.2	1769.1
		-17.50	633.2	2436.9	3070.0	2030.4	-137.2	1893.2
		-18.00	625.1	2492.4	3117.4	2061.8	-137.2	1924.6
		-18.50	518.6	2653.0	3171.7	2097.7	-137.2	1960.4
		-19.00	467.3	2765.1	3232.4	2137.8	-137.2	2000.6
		-19.50	467.3	2793.6	3261.0	2156.7	-137.2	2019.5
		-20.00	470.8	2816.3	3287.1	2174.0	-137.2	2036.8
		-20.50	480.3	2838.7	3319.0	2195.1	-137.2	2057.9
		-21.00	509.7	2861.4	3371.0	2229.5	-137.2	2092.3
		-21.50	531.2	2888.7	3419.9	2261.8	-137.2	2124.6
		-22.00	551.9	2920.4	3472.2	2296.5	-137.2	2159.2
		-22.50	560.0	2959.1	3519.0	2327.4	-137.2	2190.2
		-23.00	566.6	2997.4	3564.1	2357.2	-137.2	2220.0
		-23.50	601.3	3034.3	3635.6	2404.5	-137.2	2267.3
		-24.00	605.4	3078.1	3683.5	2436.1	-137.2	2298.9
		-24.50	610.6	3123.1	3733.6	2469.3	-137.2	2332.1
		-25.00	612.2	3170.4	3782.6	2501.7	-137.2	2364.5
		-25.50	614.3	3220.1	3834.4	2536.0	-137.2	2398.8
		-26.00	616.3	3267.7	3884.1	2568.8	-137.2	2431.6
		-26.50	623.0	3310.8	3933.9	2601.8	-137.2	2464.5
		-27.00	626.7	3355.0	3981.7	2633.4	-137.2	2496.2
		-27.50	659.9	3398.4	4058.3	2684.1	-137.2	2546.8
		-28.00	667.9	3445.2	4113.1	2720.3	-137.2	2583.1
		-28.50	670.2	3493.5	4163.7	2753.8	-137.2	2616.6
		-29.00	692.1	3540.4	4232.5	2799.3	-137.2	2662.1
		-29.50	709.2	3589.7	4298.9	2843.2	-137.2	2706.0
		-30.00	716.9	3642.3	4359.2	2883.1	-137.2	2745.8
251.S01	-1.05	-7.00	575.9	746.3	1322.2	874.4	-15.1	859.4
		-7.50	417.2	866.1	1283.2	848.7	-15.1	833.6
		-8.00	293.6	976.2	1269.8	839.8	-15.1	824.7
		-8.50	202.4	1050.3	1252.7	828.5	-15.1	813.4
		-9.00	859.6	1061.4	1921.0	1270.5	-15.1	1255.4
		-9.50	1011.0	1129.8	2140.8	1415.9	-15.1	1400.8
		-10.00	1035.2	1233.5	2268.8	1500.5	-15.1	1485.4
		-10.50	1000.1	1355.5	2355.6	1557.9	-15.1	1542.9
		-11.00	958.4	1448.2	2406.6	1591.7	-15.1	1576.6
		-11.50	1026.3	1504.5	2530.8	1673.8	-15.1	1658.8
		-12.00	1440.9	1560.4	3001.3	1985.0	-15.1	1969.9
		-12.50	1107.2	1655.4	2762.6	1827.1	-15.1	1812.1
		-13.00	1139.0	1767.9	2906.9	1922.5	-15.1	1907.5
		-13.50	1168.1	1873.8	3041.9	2011.8	-15.1	1996.7
		-14.00	1103.3	2021.0	3124.3	2066.3	-15.1	2051.3
		-14.50	950.3	2167.3	3117.6	2061.9	-15.1	2046.8
		-15.00	729.8	2325.7	3055.5	2020.8	-15.1	2005.8
		-15.50	2139.0	2396.6	4535.7	2999.8	-15.1	2984.7
		-16.00	1712.0	2539.5	4251.6	2811.9	-15.1	2796.8
		-16.50	1659.7	2694.3	4354.0	2879.6	-15.1	2864.6
		-17.00	1701.0	2847.4	4548.5	3008.2	-15.1	2993.2
		-17.50	1669.8	2993.5	4663.3	3084.2	-15.1	3069.1
		-18.00	1546.6	3131.5	4678.1	3094.0	-15.1	3078.9
		-18.50	891.3	3286.1	4177.4	2762.9	-15.1	2747.8
		-19.00	871.2	3379.0	4250.2	2811.0	-15.1	2795.9
		-19.50	731.1	3478.3	4209.4	2784.0	-15.1	2768.9
		-20.00	602.8	3598.7	4201.5	2778.8	-15.1	2763.7
		-20.50	475.2	3767.1	4242.2	2805.7	-15.1	2790.6
		-21.00	372.5	3944.4	4316.8	2855.0	-15.1	2840.0
		-21.50	337.7	4017.9	4355.6	2880.7	-15.1	2865.6
		-22.00	341.2	4040.9	4382.1	2898.2	-15.1	2883.2
		-22.50	455.0	4071.4	4526.4	2993.6	-15.1	2978.6
		-23.00	488.4	4120.2	4608.6	3048.0	-15.1	3032.9

Project : ZWO380 Funderingen
Onderdeel : RLL-TBG380

Alle niveaus/hoogtes/peilmaten zijn t.o.v.: N.A.P.

sondering	maaiveld niveau	paalpunt niveau	Bezwijkdraagvermogen $R_{c;cal}$ [kN]	$R_{s;cal}$ [kN]	$R_{c;cal}$ [kN]	Rekenwaarden $R_{c;d}$ [kN]	$F_{nk;d}$ [kN]	$R_{c;netto;d}$ [kN]
251.S01	-1.05	-23.50	656.8	4184.0	4840.8	3201.6	-15.1	3186.5
		-24.00	669.6	4270.4	4940.0	3267.2	-15.1	3252.2
		-24.50	721.5	4349.1	5070.5	3353.5	-15.1	3338.5
		-25.00	1047.3	4420.5	5467.8	3616.3	-15.1	3601.2
		-25.50	1669.3	4548.6	6217.9	4112.3	-15.1	4097.3
		-26.00	2925.2	4736.4	7661.6	5067.2	-15.1	5052.1
		-26.50	2582.5	4917.4	7499.9	4960.3	-15.1	4945.2
		-27.00	2658.8	5072.2	7731.0	5113.1	-15.1	5098.0
		-27.50	2485.5	5227.0	7712.6	5100.9	-15.1	5085.8
		-28.00	1737.7	5381.8	7119.5	4708.7	-15.1	4693.6
		-28.50	1382.4	5536.6	6919.0	4576.0	-15.1	4561.0
		-29.00	1182.9	5691.2	6874.1	4546.3	-15.1	4531.3
		-29.50	1013.2	5795.1	6808.2	4502.8	-15.1	4487.7
		-30.00	824.8	5918.9	6743.7	4460.1	-15.1	4445.1
19-1008_29	0.79	-7.00	2229.0	1173.4	3402.4	2250.3	-7.3	2243.0
		-7.50	2299.7	1305.1	3604.9	2384.2	-7.3	2376.9
		-8.00	2309.4	1446.6	3756.0	2484.1	-7.3	2476.8
		-8.50	1877.2	1587.1	3464.3	2291.2	-7.3	2283.9
		-9.00	839.6	1709.3	2549.0	1685.8	-7.3	1678.5
		-9.50	839.3	1823.4	2662.7	1761.1	-7.3	1753.8
		-10.00	844.6	1930.1	2774.6	1835.1	-7.3	1827.8
		-10.50	775.2	2053.9	2829.2	1871.1	-7.3	1863.8
		-11.00	661.1	2176.8	2837.9	1876.9	-7.3	1869.6
		-11.50	613.8	2314.0	2927.8	1936.4	-7.3	1929.1
		-12.00	666.5	2378.5	3045.0	2013.9	-7.3	2006.6
		-12.50	547.2	2518.6	3065.8	2027.7	-7.3	2020.4
		-13.00	420.9	2626.5	3047.4	2015.5	-7.3	2008.2
		-13.50	434.1	2671.7	3105.9	2054.1	-7.3	2046.9
		-14.00	436.2	2725.0	3161.2	2090.8	-7.3	2083.5
		-14.50	447.9	2762.0	3209.8	2122.9	-7.3	2115.6
		-15.00	525.8	2793.6	3319.4	2195.4	-7.3	2188.1
		-15.50	592.6	2831.7	3424.2	2264.7	-7.3	2257.4
		-16.00	506.2	2928.6	3434.8	2271.7	-7.3	2264.4
		-16.50	526.1	2964.5	3490.6	2308.6	-7.3	2301.3
		-17.00	671.2	3000.7	3671.9	2428.5	-7.3	2421.2
		-17.50	1779.5	3053.0	4832.5	3196.1	-7.3	3188.8
		-18.00	2167.8	3180.8	5348.6	3537.5	-7.3	3530.2
		-18.50	2028.6	3335.6	5364.3	3547.8	-7.3	3540.5
		-19.00	1676.0	3485.5	5161.5	3413.7	-7.3	3406.4
		-19.50	3324.1	3601.2	6925.2	4580.2	-7.3	4572.9
		-20.00	2574.3	3756.0	6330.3	4186.7	-7.3	4179.4
		-20.50	2190.3	3910.8	6101.1	4035.1	-7.3	4027.8
		-21.00	1871.5	4065.6	5937.1	3926.7	-7.3	3919.4
		-21.50	1605.6	4220.4	5826.0	3853.2	-7.3	3845.9
		-22.00	1356.6	4375.2	5731.8	3790.9	-7.3	3783.6
		-22.50	1029.3	4554.8	5584.0	3693.2	-7.3	3685.9
		-23.00	956.4	4687.5	5643.9	3732.7	-7.3	3725.4
		-23.50	1013.9	4779.3	5793.2	3831.5	-7.3	3824.2
		-24.00	1026.1	4887.4	5913.4	3911.0	-7.3	3903.7
		-24.50	957.2	4997.3	5954.5	3938.2	-7.3	3930.9
		-25.00	888.9	5114.1	6003.1	3970.3	-7.3	3963.0
		-25.50	921.0	5186.5	6107.5	4039.4	-7.3	4032.1
		-26.00	906.6	5270.0	6176.6	4085.0	-7.3	4077.7
		-26.50	907.7	5347.7	6255.3	4137.1	-7.3	4129.8
		-27.00	878.9	5445.3	6324.2	4182.7	-7.3	4175.4
		-27.50	888.5	5519.1	6407.6	4237.8	-7.3	4230.5
		-28.00	888.0	5591.0	6479.0	4285.1	-7.3	4277.8
		-28.50	997.3	5662.4	6659.7	4404.6	-7.3	4397.3
		-29.00	1529.0	5741.1	7270.2	4808.3	-7.3	4801.0
		-29.50	1349.5	5865.4	7214.9	4771.8	-7.3	4764.5
		-30.00	1166.1	5970.7	7136.8	4720.1	-7.3	4712.8
283.S02	0.17	-7.00	1681.2	899.0	2580.2	1706.5	-14.7	1691.8
		-7.50	1831.7	983.7	2815.4	1862.0	-14.7	1847.3
		-8.00	1870.1	1067.3	2937.4	1942.7	-14.7	1928.0
		-8.50	1861.4	1169.0	3030.4	2004.2	-14.7	1989.5
		-9.00	1440.6	1262.6	2703.2	1787.8	-14.7	1773.1
		-9.50	1440.5	1342.0	2782.5	1840.3	-14.7	1825.5
		-10.00	1431.2	1431.3	2862.5	1893.2	-14.7	1878.4
		-10.50	1410.0	1517.4	2927.4	1936.1	-14.7	1921.4
		-11.00	1391.3	1601.6	2992.9	1979.4	-14.7	1964.7
		-11.50	1307.0	1692.0	2999.0	1983.4	-14.7	1968.7
		-12.00	1885.6	1749.9	3635.5	2404.4	-14.7	2389.7
		-12.50	2081.6	1850.4	3932.0	2600.5	-14.7	2585.8
		-13.00	2314.9	1962.1	4276.9	2828.6	-14.7	2813.9
		-13.50	2435.3	2086.5	4521.8	2990.6	-14.7	2975.9
		-14.00	2500.0	2234.3	4734.2	3131.1	-14.7	3116.4
		-14.50	2446.6	2382.0	4828.6	3193.5	-14.7	3178.8
		-15.00	2425.4	2513.9	4939.3	3266.7	-14.7	3252.0
		-15.50	2692.0	2626.8	5318.8	3517.7	-14.7	3503.0
		-16.00	2977.7	2750.5	5728.2	3788.5	-14.7	3773.8
		-16.50	3188.2	2888.3	6076.6	4018.9	-14.7	4004.2
		-17.00	3663.9	3035.9	6699.8	4431.1	-14.7	4416.4
		-17.50	3560.6	3190.7	6751.4	4465.2	-14.7	4450.5
		-18.00	3649.7	3345.5	6995.3	4626.5	-14.7	4611.8
		-18.50	3708.5	3500.3	7208.8	4767.7	-14.7	4753.0
		-19.00	3763.6	3655.2	7418.8	4906.6	-14.7	4891.9
		-19.50	3775.3	3810.0	7585.2	5016.7	-14.7	5002.0
		-20.00	3654.2	3964.8	7618.9	5039.0	-14.7	5024.3
		-20.50	4095.1	4112.6	8207.8	5428.4	-14.7	5413.7
		-21.00	4361.3	4267.4	8628.7	5706.8	-14.7	5692.1
		-21.50	4424.7	4422.2	8846.9	5851.1	-14.7	5836.4
		-22.00	4434.3	4577.1	9011.3	5959.9	-14.7	5945.2
		-22.50	4440.3	4731.9	9172.1	6066.2	-14.7	6051.5
		-23.00	4614.6	4886.7	9501.2	6283.9	-14.7	6269.2

Project : ZWO380 Funderingen
Onderdeel : RLL-TBG380

Alle niveaus/hoogtes/peilmaten zijn t.o.v.: N.A.P.

sondering	maaiveld niveau	paalpunt niveau	Bezwijkdraagvermogen $R_{c;cal}$ [kN]	$R_{s;cal}$ [kN]	$R_{c;cal}$ [kN]	Rekenwaarden $R_{c;d}$ [kN]	$F_{nk;d}$ [kN]	$R_{c;netto;d}$ [kN]
283.S02	0.17	-23.50	3250.3	5041.5	8291.7	5483.9	-14.7	5469.2
		-24.00	1973.0	5196.3	7169.3	4741.6	-14.7	4726.9
		-24.50	1606.5	5351.1	6957.6	4601.6	-14.7	4586.9
		-25.00	1398.4	5505.9	6904.3	4566.3	-14.7	4551.6
		-25.50	1089.3	5660.7	6750.0	4464.3	-14.7	4449.5
		-26.00	894.5	5815.5	6709.9	4437.8	-14.7	4423.1
		-26.50	676.0	5978.4	6654.5	4401.1	-14.7	4386.4
		-27.00	718.8	6035.0	6753.7	4466.7	-14.7	4452.0
		-27.50	621.9	6088.6	6710.5	4438.1	-14.7	4423.4
		-28.00	616.5	6156.1	6772.6	4479.2	-14.7	4464.5
		-28.50	589.8	6241.5	6831.3	4518.1	-14.7	4503.4
		-29.00	577.4	6302.5	6879.9	4550.2	-14.7	4535.5
19-1008_35	0.92	-7.00	1384.4	942.4	2326.8	1538.9	-9.0	1529.9
		-7.50	1478.2	998.1	2476.3	1637.7	-9.0	1628.7
		-8.00	1458.6	1075.5	2534.1	1676.0	-9.0	1666.9
		-8.50	1418.7	1153.7	2572.4	1701.3	-9.0	1692.3
		-9.00	1450.7	1213.3	2664.0	1761.9	-9.0	1752.9
		-9.50	1511.3	1273.4	2784.7	1841.7	-9.0	1832.7
		-10.00	1568.8	1346.1	2914.9	1927.8	-9.0	1918.8
		-10.50	1622.1	1414.1	3036.3	2008.1	-9.0	1999.1
		-11.00	1563.2	1531.2	3094.4	2046.6	-9.0	2037.5
		-11.50	1499.0	1630.9	3129.9	2070.1	-9.0	2061.0
		-12.00	1478.1	1699.9	3178.0	2101.8	-9.0	2092.8
		-12.50	1751.7	1759.5	3511.1	2322.2	-9.0	2313.1
		-13.00	1918.9	1838.9	3757.9	2485.4	-9.0	2476.3
		-13.50	2036.5	1932.7	3969.2	2625.1	-9.0	2616.1
		-14.00	2338.6	2030.6	4369.2	2889.7	-9.0	2880.7
		-14.50	2229.2	2150.8	4380.0	2896.8	-9.0	2887.8
		-15.00	2260.2	2271.0	4531.2	2996.8	-9.0	2987.8
		-15.50	2281.8	2392.7	4674.6	3091.6	-9.0	3082.6
		-16.00	2265.1	2517.5	4782.6	3163.1	-9.0	3154.1
		-16.50	2145.5	2642.9	4788.4	3166.9	-9.0	3157.9
		-17.00	2141.3	2750.7	4892.0	3235.5	-9.0	3226.4
		-17.50	2422.3	2842.0	5264.3	3481.7	-9.0	3472.7
		-18.00	2457.0	2963.5	5420.5	3585.0	-9.0	3575.9
		-18.50	2651.5	3073.2	5724.7	3786.2	-9.0	3777.1
		-19.00	2659.5	3196.7	5856.2	3873.1	-9.0	3864.1
		-19.50	2799.6	3318.8	6118.4	4046.5	-9.0	4037.5
		-20.00	3214.7	3444.7	6659.4	4404.4	-9.0	4395.3
		-20.50	3244.2	3599.5	6843.7	4526.2	-9.0	4517.2
		-21.00	3291.9	3754.3	7046.2	4660.2	-9.0	4651.2
		-21.50	3581.5	3909.1	7490.7	4954.1	-9.0	4945.1
		-22.00	3597.9	4059.7	7657.6	5064.5	-9.0	5055.5
		-22.50	3642.3	4214.5	7856.9	5196.3	-9.0	5187.3
		-23.00	3001.5	4369.3	7370.8	4874.9	-9.0	4865.8
		-23.50	2956.0	4524.1	7480.1	4947.2	-9.0	4938.1
		-24.00	2943.3	4678.9	7622.2	5041.1	-9.0	5032.1
		-24.50	2912.2	4830.3	7742.5	5120.7	-9.0	5111.6
		-25.00	2848.0	4975.7	7823.6	5174.3	-9.0	5165.3
		-25.50	2495.6	5142.0	7637.6	5051.3	-9.0	5042.3
		-26.00	2875.9	5297.4	8173.3	5405.6	-9.0	5396.6
		-26.50	3455.5	5432.1	8887.6	5878.1	-9.0	5869.0
		-27.00	3592.1	5586.9	9179.0	6070.7	-9.0	6061.7
		-27.50	3659.8	5741.7	9401.5	6217.9	-9.0	6208.9
		-28.00	3664.5	5896.5	9561.0	6323.4	-9.0	6314.4
		-28.50	3982.9	6051.3	10034.2	6636.4	-9.0	6627.3
		-29.00	2310.2	6206.1	8516.3	5632.5	-9.0	5623.4
		-29.50	1983.7	6360.9	8344.6	5518.9	-9.0	5509.9
		-30.00	1613.2	6515.7	8128.9	5376.3	-9.0	5367.2
312.S03	3.78	-7.00	609.5	1273.0	1882.4	1245.0	0.0	1245.0
		-7.50	1199.9	1356.5	2556.4	1690.7	0.0	1690.7
		-8.00	2184.2	1447.4	3631.6	2401.9	0.0	2401.9
		-8.50	2290.5	1602.2	3892.6	2574.5	0.0	2574.5
		-9.00	2421.4	1757.0	4178.4	2763.5	0.0	2763.5
		-9.50	2385.2	1911.8	4296.9	2841.9	0.0	2841.9
		-10.00	2535.2	2066.6	4601.8	3043.5	0.0	3043.5
		-10.50	2432.8	2219.5	4652.3	3076.9	0.0	3076.9
		-11.00	2509.3	2363.8	4873.2	3223.0	0.0	3223.0
		-11.50	2571.4	2518.6	5090.0	3366.4	0.0	3366.4
		-12.00	2661.0	2673.4	5334.4	3528.0	0.0	3528.0
		-12.50	2442.4	2828.2	5270.6	3485.8	0.0	3485.8
		-13.00	2576.8	2978.5	5555.3	3674.1	0.0	3674.1
		-13.50	2803.8	3087.6	5891.4	3896.4	0.0	3896.4
		-14.00	2797.8	3211.5	6009.3	3974.4	0.0	3974.4
		-14.50	2595.7	3335.3	5931.0	3922.6	0.0	3922.6
		-15.00	2533.6	3453.8	5987.3	3959.9	0.0	3959.9
		-15.50	2490.9	3577.6	6068.5	4013.6	0.0	4013.6
		-16.00	2495.6	3697.4	6193.0	4095.9	0.0	4095.9
		-16.50	2356.2	3821.2	6177.5	4085.6	0.0	4085.6
		-17.00	2265.2	3935.7	6200.9	4101.1	0.0	4101.1
		-17.50	1376.2	4025.2	5401.4	3572.3	0.0	3572.3
		-18.00	1447.3	4121.2	5568.5	3682.9	0.0	3682.9
		-18.50	1447.8	4241.7	5689.5	3762.9	0.0	3762.9
		-19.00	1439.9	4368.4	5808.3	3841.5	0.0	3841.5
		-19.50	1207.3	4499.8	5707.1	3774.5	0.0	3774.5
		-20.00	1116.1	4626.3	5742.4	3797.9	0.0	3797.9
		-20.50	1711.2	4737.1	6448.3	4264.8	0.0	4264.8
		-21.00	2005.5	4859.5	6865.0	4540.3	0.0	4540.3
		-21.50	2231.3	4973.2	7204.5	4764.9	0.0	4764.9
		-22.00	2440.1	5101.7	7541.8	4988.0	0.0	4988.0
		-22.50	2531.2	5252.7	7783.9	5148.1	0.0	5148.1
		-23.00	2558.9	5404.7	7963.6	5267.0	0.0	5267.0
		-23.50	2695.0	5552.2	8247.2	5454.5	0.0	5454.5
		-24.00	2947.9	5687.4	8635.3	5711.2	0.0	5711.2

Project : ZWO380 Funderingen
Onderdeel : RLL-TBG380

Alle niveaus/hoogtes/peilmaten zijn t.o.v.: N.A.P.

sondering	maaiveld niveau	paalpunt niveau	Bezwijkdraagvermogen $R_{c;cal}$ [kN]	$R_{s;cal}$ [kN]	$R_{c;cal}$ [kN]	Rekenwaarden $R_{c;d}$ [kN]	$F_{nk;d}$ [kN]	$R_{c;netto;d}$ [kN]
312.S03	3.78	-24.50	1786.5	5842.2	7628.7	5045.4	0.0	5045.4
		-25.00	1544.0	5997.0	7541.0	4987.4	0.0	4987.4
		-25.50	1278.2	6142.4	7420.6	4907.8	0.0	4907.8
		-26.00	1140.4	6272.3	7412.7	4902.6	0.0	4902.6
		-26.50	976.0	6423.7	7399.7	4894.0	0.0	4894.0
		-27.00	765.3	6575.1	7340.5	4854.8	0.0	4854.8
		-27.50	731.8	6656.3	7388.1	4886.3	0.0	4886.3
		-28.00	715.6	6720.7	7436.3	4918.2	0.0	4918.2
		-28.50	713.5	6770.1	7483.6	4949.5	0.0	4949.5
		-29.00	791.7	6818.6	7610.3	5033.3	0.0	5033.3
19-1008_43	9.88	-7.00	2028.6	1078.2	3106.8	2054.7	0.0	2054.7
		-7.50	2079.8	1193.7	3273.5	2165.0	0.0	2165.0
		-8.00	2127.5	1313.8	3441.4	2276.0	0.0	2276.0
		-8.50	2176.4	1426.0	3602.4	2382.5	0.0	2382.5
		-9.00	2229.5	1540.6	3770.1	2493.4	0.0	2493.4
		-9.50	2252.4	1658.0	3910.4	2586.2	0.0	2586.2
		-10.00	2670.3	1765.0	4435.3	2933.4	0.0	2933.4
		-10.50	2648.9	1893.8	4542.7	3004.4	0.0	3004.4
		-11.00	2610.7	2048.6	4659.3	3081.5	0.0	3081.5
		-11.50	2638.7	2203.4	4842.1	3202.5	0.0	3202.5
		-12.00	2642.2	2358.1	5000.2	3307.0	0.0	3307.0
		-12.50	2509.7	2511.6	5021.3	3321.0	0.0	3321.0
		-13.00	2468.3	2625.8	5094.2	3369.2	0.0	3369.2
		-13.50	2640.5	2724.2	5364.7	3548.1	0.0	3548.1
		-14.00	2656.9	2838.9	5495.7	3634.7	0.0	3634.7
		-14.50	2532.2	2962.7	5494.9	3634.2	0.0	3634.2
		-15.00	3154.3	3071.0	6225.3	4117.3	0.0	4117.3
		-15.50	2898.5	3205.8	6104.3	4037.2	0.0	4037.2
		-16.00	2573.9	3354.6	5928.5	3921.0	0.0	3921.0
		-16.50	2138.4	3509.4	5647.8	3735.3	0.0	3735.3
		-17.00	1956.4	3664.2	5620.6	3717.3	0.0	3717.3
		-17.50	1907.4	3813.3	5720.7	3783.5	0.0	3783.5
		-18.00	1858.6	3948.3	5806.9	3840.6	0.0	3840.6
		-18.50	1786.9	4069.1	5856.0	3873.0	0.0	3873.0
		-19.00	1697.2	4190.1	5887.3	3893.7	0.0	3893.7
		-19.50	1759.3	4287.9	6047.2	3999.5	0.0	3999.5
		-20.00	1994.8	4388.9	6383.6	4222.0	0.0	4222.0
		-20.50	2051.0	4516.4	6567.4	4343.5	0.0	4343.5
		-21.00	2208.6	4664.4	6873.0	4545.7	0.0	4545.7
		-21.50	2977.5	4786.8	7764.3	5135.1	0.0	5135.1
		-22.00	3042.6	4925.5	7968.1	5269.9	0.0	5269.9
328.S02	10.17	-7.00	1590.9	1736.8	3327.6	2200.8	0.0	2200.8
		-7.50	1662.1	1844.6	3506.6	2319.2	0.0	2319.2
		-8.00	1704.1	1963.4	3667.4	2425.6	0.0	2425.6
		-8.50	1686.4	2085.2	3771.6	2494.5	0.0	2494.5
		-9.00	1980.9	2204.1	4185.0	2767.9	0.0	2767.9
		-9.50	2149.4	2305.9	4455.3	2946.6	0.0	2946.6
		-10.00	2371.3	2420.6	4791.9	3169.3	0.0	3169.3
		-10.50	2526.4	2541.1	5067.5	3351.5	0.0	3351.5
		-11.00	2625.3	2679.6	5304.9	3508.5	0.0	3508.5
		-11.50	2602.0	2821.9	5423.9	3587.2	0.0	3587.2
		-12.00	2637.6	2959.4	5597.0	3701.7	0.0	3701.7
		-12.50	2694.8	3083.6	5778.4	3821.7	0.0	3821.7
		-13.00	2278.8	3204.8	5483.5	3626.7	0.0	3626.7
		-13.50	2259.6	3327.3	5586.8	3695.0	0.0	3695.0
		-14.00	2243.5	3451.1	5694.6	3766.2	0.0	3766.2
		-14.50	2256.1	3571.3	5827.4	3854.1	0.0	3854.1
		-15.00	2212.9	3696.5	5909.4	3908.3	0.0	3908.3
		-15.50	2048.9	3820.1	5868.9	3881.6	0.0	3881.6
		-16.00	2182.6	3942.7	6125.3	4051.1	0.0	4051.1
		-16.50	2308.3	4071.1	6379.4	4219.2	0.0	4219.2
		-17.00	2372.8	4225.9	6598.7	4364.3	0.0	4364.3
		-17.50	2285.6	4380.7	6666.3	4408.9	0.0	4408.9
		-18.00	1500.6	4558.4	6059.0	4007.3	0.0	4007.3
		-18.50	2662.9	4668.6	7331.5	4848.9	0.0	4848.9
		-19.00	2697.0	4807.2	7504.2	4963.1	0.0	4963.1
		-19.50	2960.8	4955.0	7915.7	5235.3	0.0	5235.3
		-20.00	3076.6	5109.8	8186.4	5414.3	0.0	5414.3
		-20.50	3383.0	5264.6	8647.6	5719.3	0.0	5719.3
		-21.00	3500.9	5419.4	8920.2	5899.6	0.0	5899.6
		-21.50	3232.8	5574.2	8806.9	5824.7	0.0	5824.7
		-22.00	3339.1	5729.0	9068.1	5997.4	0.0	5997.4
		-22.50	3099.6	5883.8	8983.4	5941.4	0.0	5941.4
		-23.00	3168.5	6038.6	9207.1	6089.3	0.0	6089.3
		-23.50	3130.6	6193.4	9324.0	6166.7	0.0	6166.7
		-24.00	3105.8	6348.2	9453.9	6252.6	0.0	6252.6
		-24.50	3174.7	6477.2	9651.9	6383.6	0.0	6383.6
		-25.00	2918.6	6601.1	9519.6	6296.1	0.0	6296.1
		-25.50	2454.0	6722.4	9176.4	6069.1	0.0	6069.1

Project : ZWO380 Funderingen
Onderdeel : RLL-TBG380

REKENGEGEVENS SI Ø762/950 druk

Berekening : Ontwerpend
Rekenmethode : Drukpalen volgens NEN-EN 1997-1, art. 7.6.2
Sondering(en) : 19-1008_1, 19-1008_6, 166.S01, 19-1008_11, 19-1008_12
: 19-1008_17, 19-1008_20, 19-1008_21, 251.S01, 19-1008_29
: 283.S02, 19-1008_35, 312.S03, 19-1008_43, 328.S02

Stijf bouwwerk : JA
Paalgroep : NEE
Aantal sonderingen : 15
Factor $\xi_{3\ (n-1)}$: 1.26 (handmatig)
Factor $\xi_{3\ (gem)}$: 1.26 (handmatig)
Factor $\xi_{4\ (min)}$: 1.26 (handmatig)
Weerstandsfactor γ_R : 1.20
$\gamma_{f;nk}$: 1.0
$R_{c;cal;max;i}$ begrenzen op 0.75 * $R_{b;cal;max;i}$: NEE
UGT draagvermogen zonder negatieve kleef : NEE

Paal : SI Ø762/950
Niveau paalkop [m] : N.A.P. 0.00
Bovenbel. [kN/m²] : 0.00

PAALPUNTNIVEAUS SI Ø762/950

Alle niveaus/hoogtes/peilmaten zijn t.o.v. : N.A.P.

Nr	Beginniveau [m]	Eindniveau [m]	Stapgrootte [m]
1	-8.00	-30.00	0.50

RESULTATEN SI Ø762/950 druk (n=1)

Alle niveaus/hoogtes/peilmaten zijn t.o.v.: N.A.P.

Sondering	19-1008_1	19-1008_6	166.S01	19-1008_11	19-1008_12	19-1008_17
Niveau [m]	$F_{netto;d}$ [kN]	$F_{netto;d}$ [kN]	$F_{netto;d}$ [kN]	$F_{netto;d}$ [kN]	$F_{netto;d}$ [kN]	$F_{netto;d}$ [kN]
-8.00	55	**6072**	3793	464	2064	-4
-8.50	116	**6401**	3822	506	2090	24
-9.00	264	**6546**	3973	506	2118	101
-9.50	316	**6819**	3897	561	2122	662
-10.00	371	**7449**	4012	623	2147	416
-10.50	511	**7504**	4160	663	2186	1309
-11.00	675	**7761**	4277	718	2188	2351
-11.50	764	**7962**	4229	733	2237	2220
-12.00	832	**8135**	4207	703	2248	2444
-12.50	1501	**8219**	4272	1716	2262	2622
-13.00	1633	**8287**	4730	1995	2342	2672
-13.50	1886	**8782**	5206	2136	2437	2763
-14.00	2140	**8902**	5357	2281	2483	2874
-14.50	2452	**8631**	5536	2399	2521	3338
-15.00	2634	**7033**	5794	2498	2560	2492
-15.50	2543	**7082**	6292	2646	2688	2587
-16.00	2906	**7039**	6441	2935	2760	2700
-16.50	3101	**7111**	6544	3052	2826	2804
-17.00	3978	**7075**	6696	3217	2908	2967
-17.50	4387	**7040**	6878	4052	3118	2855
-18.00	4013	**8004**	7055	4725	3417	2765
-18.50	4175	**8643**	7221	4882	3552	3323
-19.00	4185	**8770**	7341	5090	4102	3477
-19.50	4147	**8913**	0	5214	4531	3617
-20.00	4078	**9072**	0	4701	4823	3782
-20.50	4254	0	0	4630	4757	4035
-21.00	4625	0	0	4646	5362	3884
-21.50	6433	0	0	4731	5551	4318
-22.00	**8108**	0	0	4583	5757	4392
-22.50	**8228**	0	0	4555	5677	4476
-23.00	**8349**	0	0	4515	5376	4468
-23.50	**8470**	0	0	4892	5386	4534
-24.00	**8590**	0	0	5024	5397	4630
-24.50	**8711**	0	0	5073	5214	4697
-25.00	**8831**	0	0	5348	5248	4801
-25.50	**8952**	0	0	6322	5260	4902
-26.00	**9073**	0	0	6437	5352	3964
-26.50	**9193**	0	0	6521	5447	3998
-27.00	**9314**	0	0	6661	5527	4077
-27.50	**9434**	0	0	6859	5595	4148
-28.00	**9555**	0	0	7385	6679	4200
-28.50	**9676**	0	0	7677	0	4164
-29.00	**9796**	0	0	8326	0	4000
-29.50	0	0	0	**9174**	0	5175
-30.00	0	0	0	**9347**	0	5666

Project : ZWO380 Funderingen
Onderdeel : RLL-TBG380

RESULTATEN SI Ø762/950 druk (n=1)

Alle niveaus/hoogtes/peilmaten zijn t.o.v.: N.A.P.

Sondering	19-1008_20	19-1008_21	251.S01	19-1008_29	283.S02	19-1008_35
Niveau	$F_{netto;d}$	$F_{netto;d}$	$F_{netto;d}$	$F_{netto;d}$	$F_{netto;d}$	$F_{netto;d}$
[m]	[kN]	[kN]	[kN]	[kN]	[kN]	[kN]
-8.00	861	1425	1006	2784	2468	2165
-8.50	918	1391	1055	2011	2214	2189
-9.00	947	1469	1674	2098	2289	2289
-9.50	962	1681	1781	2183	2351	2366
-10.00	911	1775	1880	2270	2412	2517
-10.50	1115	1885	1936	2320	2459	2576
-11.00	1142	1955	1963	2294	2508	2612
-11.50	1081	2017	2071	2417	2548	2630
-12.00	1149	1958	2161	2417	3075	2665
-12.50	1190	2055	2275	2453	3358	2982
-13.00	1202	2177	2389	2419	3654	3173
-13.50	1316	2052	2497	2465	3820	3368
-14.00	1347	2047	2550	2507	3986	3583
-14.50	1395	2197	2522	2544	4044	3694
-15.00	1441	2127	2582	2667	4178	3811
-15.50	1477	2197	3379	2727	4442	3924
-16.00	1522	2190	3472	2722	4790	4004
-16.50	1554	2090	3612	2766	5172	3988
-17.00	1662	2167	3742	3007	5437	4109
-17.50	1880	2295	3821	4076	5630	4389
-18.00	1963	2333	3263	4441	5832	4579
-18.50	2083	2378	3300	4441	6046	4768
-19.00	2164	2420	3286	4448	6249	4883
-19.50	2223	2441	3308	5065	6380	5222
-20.00	2288	2462	3321	4893	6385	5606
-20.50	2260	2489	3354	4823	7022	5745
-21.00	2256	2532	3397	4772	**7252**	5911
-21.50	2292	2573	3423	4677	**7434**	6213
-22.00	2334	2614	3443	4533	7569	6404
-22.50	2469	2650	3571	4469	7701	6032
-23.00	2983	2689	3661	4512	6508	6115
-23.50	3188	2746	3842	4649	5741	6238
-24.00	3447	2788	3918	4720	5597	6335
-24.50	3578	2825	4101	4741	5512	6426
-25.00	3707	2865	4410	4792	5477	6480
-25.50	3829	2905	5037	4878	5341	6319
-26.00	3731	2943	5924	4929	5308	6813
-26.50	3848	2982	6187	4991	5261	7378
-27.00	3885	3019	6030	5040	5253	7621
-27.50	3989	3087	5680	5107	5298	7792
-28.00	4095	3133	5561	5162	5345	7906
-28.50	4198	3174	5484	5266	5387	6790
-29.00	4290	3232	5362	5697	0	6718
-29.50	4183	3283	5412	5732	0	6565
-30.00	4283	0	5348	5662	0	6391

RESULTATEN SI Ø762/950 druk (n=1)

Alle niveaus/hoogtes/peilmaten zijn t.o.v.: N.A.P.

Sondering	312.S03	19-1008_43	328.S02
Niveau	$F_{netto;d}$	$F_{netto;d}$	$F_{netto;d}$
[m]	[kN]	[kN]	[kN]
-8.00	3127	2938	3060
-8.50	3332	3078	3132
-9.00	3560	3208	3488
-9.50	3634	3313	3702
-10.00	3741	3722	3993
-10.50	3890	3821	4213
-11.00	4075	3929	4344
-11.50	4197	4034	4496
-12.00	4434	4164	4666
-12.50	4343	4199	4451
-13.00	4636	4303	4541
-13.50	4820	4544	4648
-14.00	4857	4648	4727
-14.50	4926	4636	4830
-15.00	5017	5047	4717
-15.50	5074	4812	4857
-16.00	5172	4638	5075
-16.50	5140	4589	5291
-17.00	4278	4648	5471
-17.50	4399	4719	5511
-18.00	4540	4782	5091
-18.50	4634	4811	6081
-19.00	4725	4822	6209
-19.50	4614	4972	6548
-20.00	4763	5250	6782
-20.50	5259	5388	**7143**
-21.00	5613	5669	7039
-21.50	5953	6427	7241
-22.00	6174	0	7184
-22.50	6344	0	7376
-23.00	6489	0	7460
-23.50	6764	0	7615
-24.00	6105	0	7694
-24.50	6044	0	7606
-25.00	5899	0	7336
-25.50	5864	0	0
-26.00	5855	0	0
-26.50	5882	0	0
-27.00	5823	0	0
-27.50	5858	0	0
-28.00	5893	0	0
-28.50	5930	0	0
-29.00	0	0	0

Project : ZWO380 Funderingen
Onderdeel : RLL-TBG380

-29.50 0 0 0
-30.00 0 0 0

SAMENVATTINGSTABEL SI Ø762/950 druk (n=1)

Uitgangspunten
- paal : SI Ø762/950
- paaltype : In de grond gevormde geschroefde paal; groutinjectie
- schachtafmeting : 860 mm

Paalklassefactor α_p : 0.63
Factor α_s (tabel 7.c EC 7.1) : 0.009 (zandlagen; voor kleilagen zie tabel 7.d)
Correlatiefactor $\xi_{3(n-1)}$: 1.26

Alle niveaus/hoogtes/peilmaten zijn t.o.v.: N.A.P.

sondering	maaiveld niveau	paalpunt niveau	Bezwijkdraagvermogen $R_{b;cal}$ [kN]	$R_{s;cal}$ [kN]	$R_{c;cal}$ [kN]	Rekenwaarden $R_{c;d}$ [kN]	$F_{nk;d}$ [kN]	$R_{c;netto;d}$ [kN]
19-1008_1	2.12	-8.00	294.1	43.8	337.9	223.5	-168.2	55.3
		-8.50	339.6	89.4	429.0	283.7	-168.2	115.6
		-9.00	549.9	103.2	653.1	431.9	-168.2	263.8
		-9.50	552.8	178.7	731.4	483.8	-168.2	315.6
		-10.00	569.5	245.8	815.3	539.2	-168.2	371.0
		-10.50	702.5	324.4	1026.9	679.2	-168.2	511.0
		-11.00	897.4	377.9	1275.3	843.5	-168.2	675.3
		-11.50	938.5	470.7	1409.2	932.0	-168.2	763.8
		-12.00	921.8	590.3	1512.1	1000.1	-168.2	831.9
		-12.50	1853.7	669.5	2523.1	1668.7	-168.2	1500.6
		-13.00	1925.9	797.3	2723.2	1801.1	-168.2	1632.9
		-13.50	2181.4	925.0	3106.5	2054.5	-168.2	1886.4
		-14.00	2455.4	1035.0	3490.4	2308.5	-168.2	2140.3
		-14.50	2781.8	1180.0	3961.8	2620.2	-168.2	2452.1
		-15.00	2924.9	1312.1	4237.0	2802.2	-168.2	2634.1
		-15.50	2642.6	1456.9	4099.5	2711.3	-168.2	2543.1
		-16.00	3067.9	1580.8	4648.8	3074.6	-168.2	2906.4
		-16.50	3225.6	1717.4	4943.0	3269.2	-168.2	3101.0
		-17.00	4413.5	1856.2	6269.7	4146.7	-168.2	3978.5
		-17.50	4868.9	2018.7	6887.6	4555.3	-168.2	4387.1
		-18.00	4120.4	2201.1	6321.5	4180.9	-168.2	4012.7
		-18.50	4183.7	2383.4	6567.2	4343.4	-168.2	4175.2
		-19.00	4016.6	2565.8	6582.4	4353.5	-168.2	4185.3
		-19.50	3776.6	2748.2	6524.7	4315.3	-168.2	4147.2
		-20.00	3447.5	2973.3	6420.8	4246.6	-168.2	4078.4
		-20.50	3478.9	3206.9	6685.8	4421.8	-168.2	4253.7
		-21.00	3797.1	3450.0	7247.1	4793.1	-168.2	4624.9
		-21.50	6363.8	3617.5	9981.2	6601.3	-168.2	6433.2
		-22.00	8713.2	3799.8	12513.0	8275.8	-168.2	8107.7
		-22.50	8713.2	3982.2	12695.4	8396.4	-168.2	8228.3
		-23.00	8713.2	4164.6	12877.8	8517.0	-168.2	8348.9
		-23.50	8713.2	4346.9	13060.1	8637.7	-168.2	8469.5
		-24.00	8713.2	4529.3	13242.5	8758.3	-168.2	8590.1
		-24.50	8713.2	4711.7	13424.9	8878.9	-168.2	8710.7
		-25.00	8713.2	4894.0	13607.3	8999.5	-168.2	8831.4
		-25.50	8713.2	5076.4	13789.6	9120.1	-168.2	8952.0
		-26.00	8713.2	5258.8	13972.0	9240.7	-168.2	9072.6
		-26.50	8713.2	5441.2	14154.4	9361.4	-168.2	9193.2
		-27.00	8713.2	5623.5	14336.7	9482.0	-168.2	9313.8
		-27.50	8713.2	5805.9	14519.1	9602.6	-168.2	9434.4
		-28.00	8713.2	5988.3	14701.5	9723.2	-168.2	9555.0
		-28.50	8713.2	6170.6	14883.8	9843.8	-168.2	9675.7
		-29.00	8713.2	6353.0	15066.2	9964.4	-168.2	9796.3
19-1008_6	11.00	-8.00	6622.1	2558.8	9180.9	6072.0	0.0	6072.0
		-8.50	6937.6	2741.2	9678.7	6401.3	0.0	6401.3
		-9.00	6973.7	2923.5	9897.2	6545.8	0.0	6545.8
		-9.50	7204.7	3105.9	10310.6	6819.2	0.0	6819.2
		-10.00	7974.9	3288.3	11263.2	7449.2	0.0	7449.2
		-10.50	7875.3	3470.6	11346.0	7503.9	0.0	7503.9
		-11.00	8082.2	3653.0	11735.2	7761.4	0.0	7761.4
		-11.50	8203.2	3835.4	12038.5	7962.0	0.0	7962.0
		-12.00	8282.8	4017.7	12300.6	8135.3	0.0	8135.3
		-12.50	8226.4	4200.1	12426.5	8218.6	0.0	8218.6
		-13.00	8148.1	4382.5	12530.6	8287.4	0.0	8287.4
		-13.50	8713.2	4564.8	13278.1	8781.8	0.0	8781.8
		-14.00	8713.2	4747.2	13460.4	8902.4	0.0	8902.4
		-14.50	8120.1	4929.6	13049.7	8630.7	0.0	8630.7
		-15.00	5522.5	5112.0	10634.5	7033.4	0.0	7033.4
		-15.50	5413.7	5294.3	10708.0	7082.0	0.0	7082.0
		-16.00	5166.4	5476.7	10643.1	7039.1	0.0	7039.1
		-16.50	5092.9	5659.1	10752.0	7111.1	0.0	7111.1
		-17.00	4855.8	5841.4	10697.2	7074.9	0.0	7074.9
		-17.50	4621.0	6023.8	10644.8	7040.2	0.0	7040.2
		-18.00	5895.7	6206.2	12101.9	8003.9	0.0	8003.9
		-18.50	6691.2	6376.3	13067.5	8642.5	0.0	8642.5
		-19.00	6701.8	6558.7	13260.5	8770.2	0.0	8770.2
		-19.50	6735.0	6741.1	13476.0	8912.7	0.0	8912.7
		-20.00	6793.1	6923.4	13716.5	9071.8	0.0	9071.8
166.S01	3.45	-8.00	4192.9	1562.4	5755.3	3806.4	-12.9	3793.5
		-8.50	4054.8	1743.4	5798.2	3834.8	-12.9	3821.9
		-9.00	4102.7	1924.2	6026.8	3986.0	-12.9	3973.1
		-9.50	3808.8	2102.3	5911.1	3909.5	-12.9	3896.5
		-10.00	3801.2	2284.7	6085.9	4025.0	-12.9	4012.1
		-10.50	3843.1	2467.1	6310.1	4173.4	-12.9	4160.4
		-11.00	3837.4	2649.4	6486.8	4290.2	-12.9	4277.3
		-11.50	3581.2	2831.8	6413.1	4241.4	-12.9	4228.5
		-12.00	3380.8	2999.4	6380.2	4219.7	-12.9	4206.8
		-12.50	3338.0	3141.0	6479.0	4285.1	-12.9	4272.1
		-13.00	3898.5	3273.5	7172.0	4743.4	-12.9	4730.4
		-13.50	4482.3	3408.0	7890.3	5218.5	-12.9	5205.6

Project : ZWO380 Funderingen
Onderdeel : RLL-TBG380

Alle niveaus/hoogtes/peilmaten zijn t.o.v.: N.A.P.

sondering	maaiveld niveau	paalpunt niveau	Bezwijkdraagvermogen $R_{c;cal}$ [kN]	$R_{s;cal}$ [kN]	$R_{c;cal}$ [kN]	Rekenwaarden $R_{c;d}$ [kN]	$F_{nk;d}$ [kN]	$R_{c;netto;d}$ [kN]
166.S01	3.45	-14.00	4555.4	3564.7	8120.0	5370.4	-12.9	5357.5
		-14.50	4645.1	3745.1	8390.2	5549.1	-12.9	5536.2
		-15.00	4852.6	3927.5	8780.1	5806.9	-12.9	5794.0
		-15.50	5422.6	4109.8	9532.5	6304.5	-12.9	6291.6
		-16.00	5465.6	4292.2	9757.8	6453.6	-12.9	6440.6
		-16.50	5439.0	4474.6	9913.5	6556.6	-12.9	6543.6
		-17.00	5487.3	4657.0	10144.3	6709.2	-12.9	6696.3
		-17.50	5579.3	4839.3	10418.6	6890.6	-12.9	6877.7
		-18.00	5665.6	5021.7	10687.3	7068.3	-12.9	7055.4
		-18.50	5733.3	5204.1	10937.4	7233.7	-12.9	7220.8
		-19.00	5732.3	5386.4	11118.7	7353.6	-12.9	7340.7
19-1008_11	0.62	-8.00	868.1	130.9	999.1	660.8	-196.8	463.9
		-8.50	865.5	197.6	1063.1	703.1	-196.8	506.2
		-9.00	813.8	249.3	1063.1	703.1	-196.8	506.2
		-9.50	848.0	298.5	1146.5	758.3	-196.8	561.5
		-10.00	889.9	349.5	1239.4	819.7	-196.8	622.9
		-10.50	889.5	410.8	1300.2	859.9	-196.8	663.1
		-11.00	901.4	482.2	1383.6	915.1	-196.8	718.3
		-11.50	837.2	568.1	1405.3	929.4	-196.8	732.6
		-12.00	683.9	676.5	1360.4	899.8	-196.8	702.9
		-12.50	2175.1	717.0	2892.1	1912.8	-196.8	1715.9
		-13.00	2468.6	844.9	3313.5	2191.5	-196.8	1994.6
		-13.50	2531.7	995.8	3527.4	2333.0	-196.8	2136.1
		-14.00	2597.2	1149.5	3746.7	2478.0	-196.8	2281.1
		-14.50	2619.3	1304.9	3924.2	2595.4	-196.8	2398.5
		-15.00	2614.0	1460.3	4074.3	2694.6	-196.8	2497.8
		-15.50	2692.5	1605.8	4298.3	2842.8	-196.8	2645.9
		-16.00	3006.1	1728.5	4734.7	3131.4	-196.8	2934.6
		-16.50	3040.3	1872.2	4912.6	3249.0	-196.8	3052.2
		-17.00	3151.4	2010.3	5161.8	3413.9	-196.8	3217.0
		-17.50	4282.9	2140.8	6423.7	4248.5	-196.8	4051.6
		-18.00	5137.2	2305.2	7442.5	4922.3	-196.8	4725.4
		-18.50	5192.2	2487.6	7679.8	5079.2	-196.8	4882.4
		-19.00	5324.3	2670.0	7994.2	5287.2	-196.8	5090.4
		-19.50	5329.3	2852.3	8181.6	5411.1	-196.8	5214.3
		-20.00	4370.2	3034.7	7404.8	4897.4	-196.8	4700.6
		-20.50	4081.6	3217.1	7298.7	4827.2	-196.8	4630.3
		-21.00	3922.7	3399.4	7322.1	4842.6	-196.8	4645.8
		-21.50	3879.4	3571.3	7450.7	4927.7	-196.8	4730.9
		-22.00	3472.8	3753.7	7226.5	4779.4	-196.8	4582.6
		-22.50	3248.4	3936.0	7184.4	4751.6	-196.8	4554.8
		-23.00	3023.5	4101.3	7124.8	4712.2	-196.8	4515.3
		-23.50	3483.0	4211.2	7694.2	5088.7	-196.8	4891.9
		-24.00	3541.3	4352.8	7894.1	5221.0	-196.8	5024.2
		-24.50	3455.1	4513.4	7968.5	5270.2	-196.8	5073.3
		-25.00	3717.8	4666.1	8383.9	5544.9	-196.8	5348.1
		-25.50	5061.6	4795.0	9856.6	6518.9	-196.8	6322.0
		-26.00	5053.6	4977.4	10031.0	6634.3	-196.8	6437.4
		-26.50	4998.0	5159.7	10157.7	6718.1	-196.8	6521.2
		-27.00	5026.7	5342.1	10368.8	6857.7	-196.8	6660.8
		-27.50	5143.5	5524.5	10668.0	7055.5	-196.8	6858.7
		-28.00	5756.5	5706.8	11463.3	7581.5	-196.8	7384.7
		-28.50	6016.0	5889.1	11905.1	7873.7	-196.8	7676.9
		-29.00	6815.5	6071.5	12887.0	8523.2	-196.8	8326.3
		-29.50	7914.3	6253.9	14168.2	9370.5	-196.8	9173.7
		-30.00	7994.5	6436.2	14430.8	9544.2	-196.8	9347.3
19-1008_12	3.57	-8.00	457.8	2663.1	3120.9	2064.1	0.0	2064.1
		-8.50	404.3	2756.0	3160.4	2090.2	0.0	2090.2
		-9.00	418.8	2783.2	3202.0	2117.7	0.0	2117.7
		-9.50	406.0	2803.0	3209.1	2122.4	0.0	2122.4
		-10.00	403.9	2842.5	3246.4	2147.1	0.0	2147.1
		-10.50	382.7	2922.8	3305.5	2186.2	0.0	2186.2
		-11.00	323.6	2984.7	3308.3	2188.0	0.0	2188.0
		-11.50	385.4	2996.8	3382.3	2236.9	0.0	2236.9
		-12.00	344.9	3054.8	3399.7	2248.5	0.0	2248.5
		-12.50	344.0	3075.8	3419.8	2261.8	0.0	2261.8
		-13.00	448.8	3092.2	3540.9	2341.9	0.0	2341.9
		-13.50	572.5	3112.6	3685.1	2437.3	0.0	2437.3
		-14.00	592.3	3162.7	3755.0	2483.5	0.0	2483.5
		-14.50	583.6	3228.3	3811.9	2521.1	0.0	2521.1
		-15.00	596.8	3274.1	3870.9	2560.1	0.0	2560.1
		-15.50	753.8	3310.3	4064.2	2687.9	0.0	2687.9
		-16.00	803.0	3369.6	4172.6	2759.7	0.0	2759.7
		-16.50	822.2	3450.6	4272.7	2825.9	0.0	2825.9
		-17.00	879.3	3517.8	4397.2	2908.2	0.0	2908.2
		-17.50	1096.1	3618.2	4714.3	3117.9	0.0	3117.9
		-18.00	1470.9	3695.9	5166.8	3417.2	0.0	3417.2
		-18.50	1495.0	3875.4	5370.4	3551.9	0.0	3551.9
		-19.00	2162.0	4039.6	6201.6	4101.6	0.0	4101.6
		-19.50	2661.2	4189.8	6851.0	4531.1	0.0	4531.1
		-20.00	2973.1	4319.3	7292.4	4823.0	0.0	4823.0
		-20.50	2727.8	4465.2	7193.1	4757.3	0.0	4757.3
		-21.00	3505.5	4601.8	8107.3	5362.0	0.0	5362.0
		-21.50	3625.1	4767.4	8392.5	5550.6	0.0	5550.6
		-22.00	3757.3	4947.2	8704.5	5757.0	0.0	5757.0
		-22.50	3456.9	5126.8	8583.7	5677.1	0.0	5677.1
		-23.00	2836.4	5291.4	8127.8	5375.5	0.0	5375.5
		-23.50	2694.3	5449.8	8144.1	5386.3	0.0	5386.3
		-24.00	2542.0	5617.9	8159.9	5396.8	0.0	5396.8
		-24.50	2083.5	5800.3	7883.8	5214.2	0.0	5214.2
		-25.00	1953.1	5982.7	7935.7	5248.5	0.0	5248.5
		-25.50	1729.8	6223.4	7953.2	5260.1	0.0	5260.1
		-26.00	1626.2	6465.4	8091.5	5351.6	0.0	5351.6
		-26.50	1631.5	6604.8	8236.4	5447.3	0.0	5447.3

Project : ZWO380 Funderingen
Onderdeel : RLL-TBG380

Alle niveaus/hoogtes/peilmaten zijn t.o.v.: N.A.P.

sondering	maaiveld niveau	paalpunt niveau	Bezwijkdraagvermogen $R_{c;cal}$ [kN]	$R_{s;cal}$ [kN]	$R_{c;cal}$ [kN]	Rekenwaarden $R_{c;d}$ [kN]	$F_{nk;d}$ [kN]	$R_{c;netto;d}$ [kN]
19-1008_12	3.57	-27.00	1621.7	6735.1	8356.8	5527.0	0.0	5527.0
		-27.50	1575.1	6884.5	8459.6	5595.0	0.0	5595.0
		-28.00	3106.4	6992.4	10098.9	6679.1	0.0	6679.1
19-1008_17	0.20	-8.00	409.4	0.0	409.4	270.8	-274.9	-4.1
		-8.50	452.5	0.0	452.5	299.3	-274.9	24.4
		-9.00	568.5	0.0	568.5	376.0	-274.9	101.1
		-9.50	1415.9	0.0	1415.9	936.4	-274.9	661.5
		-10.00	1044.0	0.0	1044.0	690.5	-274.9	415.6
		-10.50	2367.5	28.0	2395.5	1584.3	-274.9	1309.5
		-11.00	3827.7	142.3	3970.0	2625.6	-274.9	2350.8
		-11.50	3447.0	324.7	3771.7	2494.5	-274.9	2219.6
		-12.00	3603.8	507.1	4110.8	2718.8	-274.9	2443.9
		-12.50	3690.8	689.4	4380.2	2897.0	-274.9	2622.1
		-13.00	3583.4	871.8	4455.2	2946.6	-274.9	2671.7
		-13.50	3538.8	1054.2	4593.0	3037.7	-274.9	2762.8
		-14.00	3524.2	1236.5	4760.8	3148.7	-274.9	2873.8
		-14.50	4044.0	1418.8	5462.8	3613.0	-274.9	3338.1
		-15.00	2596.0	1587.3	4183.3	2766.7	-274.9	2491.9
		-15.50	2558.0	1769.7	4327.7	2862.2	-274.9	2587.4
		-16.00	2546.2	1952.1	4498.3	2975.1	-274.9	2700.2
		-16.50	2521.3	2134.4	4655.8	3079.2	-274.9	2804.3
		-17.00	2592.5	2309.3	4901.8	3241.9	-274.9	2967.1
		-17.50	2234.8	2498.1	4732.9	3130.2	-274.9	2855.3
		-18.00	1879.8	2717.1	4596.9	3040.3	-274.9	2765.4
		-18.50	2576.5	2863.7	5440.2	3598.0	-274.9	3323.1
		-19.00	2683.6	2990.0	5673.6	3752.4	-274.9	3477.5
		-19.50	2749.2	3135.9	5885.1	3892.3	-274.9	3617.4
		-20.00	2850.4	3283.1	6133.4	4056.5	-274.9	3781.6
		-20.50	3077.5	3439.2	6516.7	4310.0	-274.9	4035.1
		-21.00	2687.2	3600.5	6287.7	4158.5	-274.9	3883.6
		-21.50	3162.9	3781.0	6944.0	4592.6	-274.9	4317.7
		-22.00	3120.4	3936.6	7057.0	4667.3	-274.9	4392.5
		-22.50	3064.6	4119.0	7183.6	4751.0	-274.9	4476.2
		-23.00	2870.4	4301.3	7171.8	4743.2	-274.9	4468.4
		-23.50	2787.2	4483.7	7270.9	4808.8	-274.9	4533.9
		-24.00	2765.0	4651.8	7416.8	4905.3	-274.9	4630.4
		-24.50	2720.8	4797.4	7518.2	4972.4	-274.9	4697.5
		-25.00	2764.6	4910.9	7675.4	5076.4	-274.9	4801.5
		-25.50	2807.2	5020.9	7828.1	5177.3	-274.9	4902.5
		-26.00	1280.3	5128.4	6408.7	4238.5	-274.9	3963.7
		-26.50	1225.0	5235.5	6460.5	4272.8	-274.9	3997.9
		-27.00	1216.6	5362.7	6579.3	4351.4	-274.9	4076.5
		-27.50	1189.0	5499.0	6688.0	4423.3	-274.9	4148.4
		-28.00	1128.3	5637.9	6766.2	4475.0	-274.9	4200.1
		-28.50	928.1	5783.7	6711.8	4439.0	-274.9	4164.1
		-29.00	526.8	5936.7	6463.4	4274.8	-274.9	3999.9
		-29.50	2260.5	5979.8	8240.3	5450.0	-274.9	5175.1
		-30.00	2886.1	6095.9	8982.0	5940.5	-274.9	5665.6
19-1008_20	-0.03	-8.00	852.3	528.1	1380.3	912.9	-51.8	861.1
		-8.50	865.2	601.6	1466.8	970.1	-51.8	918.3
		-9.00	807.1	703.6	1510.8	999.2	-51.8	947.4
		-9.50	746.7	786.2	1532.9	1013.8	-51.8	962.0
		-10.00	574.9	881.6	1456.5	963.3	-51.8	911.5
		-10.50	859.5	904.4	1763.9	1166.6	-51.8	1114.8
		-11.00	776.6	1028.2	1804.8	1193.7	-51.8	1141.9
		-11.50	550.8	1161.9	1712.7	1132.7	-51.8	1080.9
		-12.00	627.1	1187.9	1815.0	1200.4	-51.8	1148.6
		-12.50	659.5	1217.8	1877.2	1241.5	-51.8	1189.7
		-13.00	620.5	1275.3	1895.8	1253.8	-51.8	1202.0
		-13.50	767.2	1301.2	2068.4	1368.0	-51.8	1316.2
		-14.00	762.6	1352.0	2114.6	1398.5	-51.8	1346.7
		-14.50	741.7	1446.1	2187.8	1447.0	-51.8	1395.2
		-15.00	703.4	1553.7	2257.1	1492.8	-51.8	1441.0
		-15.50	698.2	1614.1	2312.3	1529.3	-51.8	1477.5
		-16.00	720.8	1659.4	2380.2	1574.2	-51.8	1522.4
		-16.50	704.2	1723.7	2427.9	1605.8	-51.8	1554.0
		-17.00	826.7	1765.3	2592.0	1714.3	-51.8	1662.5
		-17.50	1104.4	1816.3	2920.7	1931.7	-51.8	1879.9
		-18.00	1135.2	1911.8	3047.0	2015.2	-51.8	1963.4
		-18.50	1203.8	2023.8	3227.5	2134.6	-51.8	2082.8
		-19.00	1242.8	2107.5	3350.3	2215.8	-51.8	2164.0
		-19.50	1219.7	2220.2	3440.0	2275.1	-51.8	2223.3
		-20.00	1200.5	2336.5	3537.0	2339.3	-51.8	2287.5
		-20.50	1009.4	2486.3	3495.7	2312.0	-51.8	2260.2
		-21.00	801.8	2686.9	3488.7	2307.4	-51.8	2255.6
		-21.50	772.5	2771.9	3544.4	2344.2	-51.8	2292.4
		-22.00	779.2	2827.9	3607.2	2385.7	-51.8	2333.9
		-22.50	921.9	2889.2	3811.1	2520.6	-51.8	2468.8
		-23.00	1650.8	2938.5	4589.3	3035.2	-51.8	2983.4
		-23.50	1863.4	3034.5	4897.9	3239.4	-51.8	3187.6
		-24.00	2148.1	3142.1	5290.2	3498.8	-51.8	3447.0
		-24.50	2233.5	3254.9	5488.4	3629.9	-51.8	3578.1
		-25.00	2289.4	3393.5	5682.9	3758.6	-51.8	3706.8
		-25.50	2348.6	3519.6	5868.2	3881.1	-51.8	3829.3
		-26.00	2076.3	3643.0	5719.3	3782.6	-51.8	3730.8
		-26.50	2142.7	3754.4	5897.0	3900.1	-51.8	3848.3
		-27.00	2062.8	3890.3	5953.1	3937.2	-51.8	3885.4
		-27.50	2100.5	4009.7	6110.2	4041.1	-51.8	3989.3
		-28.00	2152.6	4117.7	6270.3	4147.0	-51.8	4095.2
		-28.50	2180.9	4244.2	6425.2	4249.5	-51.8	4197.7
		-29.00	2202.9	4361.5	6564.4	4341.5	-51.8	4289.7
		-29.50	1947.1	4455.9	6403.0	4234.8	-51.8	4183.0
		-30.00	1978.7	4575.0	6553.6	4334.4	-51.8	4282.6

Project : ZWO380 Funderingen
Onderdeel : RLL-TBG380

Alle niveaus/hoogtes/peilmaten zijn t.o.v.: N.A.P.

sondering	maaiveld niveau	paalpunt niveau	Bezwijkdraagvermogen $R_{c;cal}$ [kN]	$R_{s;cal}$ [kN]	$R_{c;cal}$ [kN]	Rekenwaarden $R_{c;d}$ [kN]	$F_{nk;d}$ [kN]	$R_{c;netto;d}$ [kN]
19-1008_21	1.78	-8.00	1491.2	908.0	2399.1	1586.7	-161.7	1425.1
		-8.50	1304.1	1043.1	2347.3	1552.4	-161.7	1390.7
		-9.00	1352.6	1113.1	2465.7	1630.7	-161.7	1469.1
		-9.50	1619.8	1165.7	2785.6	1842.3	-161.7	1680.6
		-10.00	1682.5	1245.9	2928.3	1936.7	-161.7	1775.1
		-10.50	1778.2	1316.3	3094.5	2046.7	-161.7	1885.0
		-11.00	1803.4	1397.0	3200.4	2116.7	-161.7	1955.0
		-11.50	1795.9	1498.9	3294.8	2179.1	-161.7	2017.4
		-12.00	1591.3	1613.3	3204.6	2119.4	-161.7	1957.8
		-12.50	1650.3	1701.2	3351.5	2216.6	-161.7	2054.9
		-13.00	1733.7	1802.7	3536.4	2338.9	-161.7	2177.2
		-13.50	1431.6	1915.1	3346.7	2213.5	-161.7	2051.8
		-14.00	1257.5	2082.3	3339.8	2208.9	-161.7	2047.2
		-14.50	1317.0	2249.9	3566.9	2359.0	-161.7	2197.4
		-15.00	1088.1	2372.5	3460.6	2288.8	-161.7	2127.1
		-15.50	1104.0	2461.9	3565.9	2358.4	-161.7	2196.7
		-16.00	921.4	2634.7	3556.2	2352.0	-161.7	2190.3
		-16.50	596.5	2807.3	3403.8	2251.2	-161.7	2089.5
		-17.00	684.9	2836.6	3521.5	2329.0	-161.7	2167.4
		-17.50	844.2	2870.8	3715.1	2457.0	-161.7	2295.4
		-18.00	835.6	2936.2	3771.8	2494.6	-161.7	2332.9
		-18.50	714.2	3125.5	3839.7	2539.5	-161.7	2377.8
		-19.00	645.5	3257.5	3903.0	2581.3	-161.7	2419.7
		-19.50	644.7	3291.1	3935.8	2603.0	-161.7	2441.4
		-20.00	648.7	3317.8	3966.5	2623.3	-161.7	2461.7
		-20.50	662.8	3344.3	4007.1	2650.2	-161.7	2488.5
		-21.00	702.3	3370.9	4073.3	2694.0	-161.7	2532.3
		-21.50	731.0	3403.2	4134.2	2734.2	-161.7	2572.6
		-22.00	756.3	3440.4	4196.7	2775.6	-161.7	2613.9
		-22.50	765.7	3486.0	4251.7	2812.0	-161.7	2650.3
		-23.00	779.0	3531.2	4310.3	2850.7	-161.7	2689.0
		-23.50	821.4	3574.7	4396.1	2907.4	-161.7	2745.8
		-24.00	834.0	3626.2	4460.2	2949.9	-161.7	2788.2
		-24.50	836.1	3679.2	4515.3	2986.3	-161.7	2824.7
		-25.00	841.4	3735.0	4576.4	3026.7	-161.7	2865.0
		-25.50	843.1	3793.6	4636.7	3066.6	-161.7	2904.9
		-26.00	845.1	3849.7	4694.8	3105.0	-161.7	2943.4
		-26.50	853.2	3900.4	4753.7	3144.0	-161.7	2982.3
		-27.00	857.3	3952.5	4809.7	3181.0	-161.7	3019.4
		-27.50	909.1	4003.6	4912.7	3249.1	-161.7	3087.5
		-28.00	923.2	4058.7	4981.9	3294.9	-161.7	3133.2
		-28.50	927.5	4115.7	5043.2	3335.4	-161.7	3173.8
		-29.00	961.0	4170.9	5131.9	3394.1	-161.7	3232.4
		-29.50	979.5	4228.9	5208.4	3444.7	-161.7	3283.1
251.S01	-1.05	-8.00	397.9	1150.0	1547.9	1023.8	-17.8	1006.0
		-8.50	385.3	1237.3	1622.6	1073.1	-17.8	1055.4
		-9.00	1307.1	1250.4	2557.5	1691.5	-17.8	1673.7
		-9.50	1388.7	1331.0	2719.7	1798.8	-17.8	1781.0
		-10.00	1415.6	1453.2	2868.8	1897.4	-17.8	1879.6
		-10.50	1356.4	1596.9	2953.4	1953.3	-17.8	1935.5
		-11.00	1288.3	1706.1	2994.4	1980.4	-17.8	1962.7
		-11.50	1386.5	1772.4	3158.9	2089.2	-17.8	2071.5
		-12.00	1456.4	1838.2	3294.6	2179.0	-17.8	2161.2
		-12.50	1515.7	1950.2	3465.9	2292.3	-17.8	2274.5
		-13.00	1557.0	2082.7	3639.6	2407.2	-17.8	2389.4
		-13.50	1594.4	2207.4	3801.9	2514.5	-17.8	2496.7
		-14.00	1501.5	2380.9	3882.5	2567.8	-17.8	2550.0
		-14.50	1286.3	2553.3	3839.6	2539.4	-17.8	2521.7
		-15.00	1191.7	2739.9	3931.6	2600.2	-17.8	2582.5
		-15.50	2313.0	2823.4	5136.4	3397.1	-17.8	3379.3
		-16.00	2285.3	2991.8	5277.1	3490.1	-17.8	3472.4
		-16.50	2314.4	3174.1	5488.5	3630.0	-17.8	3612.2
		-17.00	2330.9	3354.5	5685.4	3760.2	-17.8	3742.4
		-17.50	2278.3	3526.6	5804.9	3839.2	-17.8	3821.4
		-18.00	1271.1	3689.2	4960.3	3280.6	-17.8	3262.9
		-18.50	1145.8	3871.3	5017.1	3318.2	-17.8	3300.4
		-19.00	1013.8	3980.8	4994.6	3303.3	-17.8	3285.6
		-19.50	930.4	4097.7	5028.2	3325.5	-17.8	3307.7
		-20.00	809.4	4239.5	5048.9	3339.3	-17.8	3321.5
		-20.50	659.5	4437.9	5097.4	3371.3	-17.8	3353.5
		-21.00	516.9	4646.8	5163.7	3415.1	-17.8	3397.4
		-21.50	468.6	4733.4	5202.1	3440.5	-17.8	3422.8
		-22.00	472.6	4760.6	5233.2	3461.1	-17.8	3443.3
		-22.50	629.6	4796.4	5426.0	3588.6	-17.8	3570.9
		-23.00	708.0	4853.9	5561.9	3678.5	-17.8	3660.7
		-23.50	907.3	4929.1	5836.4	3860.1	-17.8	3842.3
		-24.00	919.5	5030.9	5950.4	3935.4	-17.8	3917.7
		-24.50	1104.5	5123.6	6228.1	4119.1	-17.8	4101.3
		-25.00	1486.9	5207.7	6694.7	4427.7	-17.8	4409.9
		-25.50	2284.5	5358.6	7643.2	5055.0	-17.8	5037.2
		-26.00	3403.7	5579.9	8983.6	5941.5	-17.8	5923.8
		-26.50	3588.9	5793.1	9382.0	6205.0	-17.8	6187.3
		-27.00	3168.6	5975.5	9144.0	6047.6	-17.8	6029.9
		-27.50	2457.4	6157.8	8615.3	5697.9	-17.8	5680.2
		-28.00	2094.1	6340.2	8434.4	5578.3	-17.8	5560.5
		-28.50	1796.6	6522.6	8319.2	5502.1	-17.8	5484.4
		-29.00	1429.6	6704.7	8134.4	5379.9	-17.8	5362.1
		-29.50	1383.3	6827.1	8210.4	5430.1	-17.8	5412.4
		-30.00	1139.3	6973.0	8112.3	5365.3	-17.8	5347.5
19-1008_29	0.79	-8.00	2518.7	1704.2	4222.9	2792.9	-8.6	2784.3
		-8.50	1184.7	1869.7	3054.4	2020.1	-8.6	2011.5
		-9.00	1172.0	2013.7	3185.7	2107.0	-8.6	2098.4
		-9.50	1164.8	2148.1	3313.0	2191.1	-8.6	2182.5
		-10.00	1172.1	2273.8	3445.9	2279.1	-8.6	2270.5

Project : ZWO380 Funderingen
Onderdeel : RLL-TBG380

Alle niveaus/hoogtes/peilmaten zijn t.o.v.: N.A.P.

sondering	maaiveld niveau	paalpunt niveau	Bezwijkdraagvermogen $R_{c;cal}$ [kN]	$R_{s;cal}$ [kN]	$R_{c;cal}$ [kN]	Rekenwaarden $R_{c;d}$ [kN]	$F_{nk;d}$ [kN]	$R_{c;netto;d}$ [kN]
19-1008_29	0.79	-10.50	1101.1	2419.7	3520.8	2328.6	-8.6	2320.0
		-11.00	917.5	2564.4	3481.9	2302.9	-8.6	2294.3
		-11.50	941.3	2726.1	3667.4	2425.5	-8.6	2416.9
		-12.00	865.6	2802.1	3667.7	2425.8	-8.6	2417.2
		-12.50	754.4	2967.1	3721.5	2461.3	-8.6	2452.7
		-13.00	577.0	3094.3	3671.3	2428.1	-8.6	2419.5
		-13.50	592.7	3147.5	3740.2	2473.7	-8.6	2465.1
		-14.00	592.9	3210.3	3803.2	2515.3	-8.6	2506.7
		-14.50	606.3	3253.8	3860.1	2553.0	-8.6	2544.4
		-15.00	754.1	3291.1	4045.2	2675.4	-8.6	2666.8
		-15.50	800.9	3335.9	4136.8	2736.0	-8.6	2727.4
		-16.00	677.9	3450.1	4128.1	2730.2	-8.6	2721.6
		-16.50	702.2	3492.4	4194.6	2774.2	-8.6	2765.6
		-17.00	1024.8	3535.1	4559.9	3015.8	-8.6	3007.2
		-17.50	2579.3	3596.6	6176.0	4084.6	-8.6	4076.0
		-18.00	2980.8	3747.2	6728.0	4449.7	-8.6	4441.1
		-18.50	2797.5	3929.6	6727.1	4449.2	-8.6	4440.6
		-19.00	2631.6	4106.2	6737.8	4456.2	-8.6	4447.6
		-19.50	3429.5	4242.5	7672.0	5074.1	-8.6	5065.5
		-20.00	2986.5	4424.9	7411.3	4901.7	-8.6	4893.1
		-20.50	2697.4	4607.2	7304.7	4831.1	-8.6	4822.5
		-21.00	2439.2	4789.6	7228.8	4781.0	-8.6	4772.4
		-21.50	2112.4	4972.0	7084.4	4685.4	-8.6	4676.8
		-22.00	1712.4	5154.3	6866.7	4541.5	-8.6	4532.9
		-22.50	1404.5	5365.9	6770.3	4477.7	-8.6	4469.1
		-23.00	1312.4	5522.2	6834.7	4520.3	-8.6	4511.7
		-23.50	1411.5	5630.4	7041.9	4657.4	-8.6	4648.8
		-24.00	1392.2	5757.7	7149.9	4728.8	-8.6	4720.2
		-24.50	1294.2	5887.2	7181.4	4749.6	-8.6	4741.0
		-25.00	1233.2	6024.8	7258.0	4800.3	-8.6	4791.7
		-25.50	1277.7	6110.2	7387.9	4886.2	-8.6	4877.6
		-26.00	1257.7	6208.5	7466.2	4937.9	-8.6	4929.3
		-26.50	1259.0	6300.0	7559.1	4999.4	-8.6	4990.8
		-27.00	1219.0	6415.1	7634.1	5049.0	-8.6	5040.4
		-27.50	1232.3	6502.0	7734.2	5115.2	-8.6	5106.6
		-28.00	1231.1	6586.7	7817.7	5170.5	-8.6	5161.9
		-28.50	1303.8	6670.8	7974.6	5274.2	-8.6	5265.6
		-29.00	1863.1	6763.5	8626.6	5705.4	-8.6	5696.8
		-29.50	1769.5	6910.0	8679.4	5740.4	-8.6	5731.8
		-30.00	1540.6	7034.0	8574.6	5671.0	-8.6	5662.4
283.S02	0.17	-8.00	2500.0	1257.4	3757.4	2485.0	-17.3	2467.7
		-8.50	1995.9	1377.2	3373.0	2230.8	-17.3	2213.5
		-9.00	1999.4	1487.4	3486.8	2306.1	-17.3	2288.8
		-9.50	1999.2	1581.0	3580.2	2367.8	-17.3	2350.5
		-10.00	1986.3	1686.1	3672.5	2428.9	-17.3	2411.5
		-10.50	1956.9	1787.6	3744.5	2476.5	-17.3	2459.2
		-11.00	1931.0	1886.8	3817.8	2525.0	-17.3	2507.6
		-11.50	1886.2	1993.3	3879.4	2565.8	-17.3	2548.4
		-12.00	2613.4	2061.5	4674.9	3091.8	-17.3	3074.5
		-12.50	2924.0	2179.9	5103.9	3375.6	-17.3	3358.2
		-13.00	3239.9	2311.5	5551.4	3671.6	-17.3	3654.2
		-13.50	3344.1	2458.1	5802.2	3837.4	-17.3	3820.1
		-14.00	3421.5	2632.1	6053.6	4003.7	-17.3	3986.4
		-14.50	3334.9	2806.2	6141.1	4061.6	-17.3	4044.2
		-15.00	3381.9	2961.6	6343.5	4195.4	-17.3	4178.1
		-15.50	3648.3	3094.6	6742.9	4459.6	-17.3	4442.2
		-16.00	4028.2	3240.4	7268.5	4807.2	-17.3	4789.9
		-16.50	4443.0	3402.7	7845.7	5189.0	-17.3	5171.6
		-17.00	4670.5	3576.6	8247.1	5454.4	-17.3	5437.1
		-17.50	4779.4	3759.0	8538.3	5647.1	-17.3	5629.7
		-18.00	4903.6	3941.3	8844.9	5849.8	-17.3	5832.5
		-18.50	5043.6	4123.7	9167.3	6063.0	-17.3	6045.7
		-19.00	5169.2	4306.1	9475.3	6266.7	-17.3	6249.4
		-19.50	5184.6	4488.4	9673.0	6397.5	-17.3	6380.2
		-20.00	5009.4	4670.8	9680.3	6402.3	-17.3	6385.0
		-20.50	5799.2	4845.0	10644.2	7039.8	-17.3	7022.5
		-21.00	5964.6	5027.4	10992.0	7269.8	-17.3	7252.5
		-21.50	6056.4	5209.8	11266.2	7451.2	-17.3	7433.8
		-22.00	6079.0	5392.1	11471.1	7586.7	-17.3	7569.4
		-22.50	6095.5	5574.5	11670.0	7718.3	-17.3	7700.9
		-23.00	4109.8	5756.9	9866.7	6525.6	-17.3	6508.3
		-23.50	2766.9	5939.2	8706.1	5758.0	-17.3	5740.7
		-24.00	2367.6	6121.6	8489.2	5614.6	-17.3	5597.2
		-24.50	2055.8	6304.0	8359.8	5528.9	-17.3	5511.6
		-25.00	1820.6	6486.4	8306.9	5494.0	-17.3	5476.7
		-25.50	1433.1	6668.7	8101.8	5358.3	-17.3	5341.0
		-26.00	1201.2	6851.1	8052.3	5325.6	-17.3	5308.3
		-26.50	938.2	7043.1	7981.3	5278.6	-17.3	5261.3
		-27.00	858.5	7109.7	7968.2	5270.0	-17.3	5252.6
		-27.50	863.5	7172.9	8036.4	5315.1	-17.3	5297.7
		-28.00	855.7	7252.3	8108.0	5362.4	-17.3	5345.1
		-28.50	818.6	7353.0	8171.6	5404.5	-17.3	5387.2
19-1008_35	0.92	-8.00	2023.3	1267.1	3290.3	2176.1	-10.6	2165.5
		-8.50	1967.2	1359.1	3326.3	2199.9	-10.6	2189.3
		-9.00	2047.7	1429.4	3477.1	2299.7	-10.6	2289.0
		-9.50	2093.4	1500.2	3593.6	2376.7	-10.6	2366.0
		-10.00	2236.6	1585.8	3822.4	2528.1	-10.6	2517.4
		-10.50	2244.6	1666.0	3910.5	2586.3	-10.6	2575.7
		-11.00	2161.4	1803.9	3965.3	2622.5	-10.6	2611.9
		-11.50	2071.0	1921.4	3992.3	2640.4	-10.6	2629.8
		-12.00	2043.4	2002.6	4046.0	2675.9	-10.6	2665.3
		-12.50	2451.7	2072.8	4524.5	2992.4	-10.6	2981.7
		-13.00	2646.9	2166.4	4813.3	3183.4	-10.6	3172.7
		-13.50	2832.3	2276.9	5109.1	3379.1	-10.6	3368.4

Project : ZWO380 Funderingen
Onderdeel : RLL-TBG380

Alle niveaus/hoogtes/peilmaten zijn t.o.v.: N.A.P.

sondering	maaiveld niveau	paalpunt niveau	Bezwijkdraagvermogen $R_{c;cal}$ [kN]	$R_{s;cal}$ [kN]	$R_{c;cal}$ [kN]	Rekenwaarden $R_{c;d}$ [kN]	$F_{nk;d}$ [kN]	$R_{c;netto;d}$ [kN]
19-1008_35	0.92	-14.00	3041.8	2392.2	5434.1	3594.0	-10.6	3583.3
		-14.50	3068.2	2533.8	5602.0	3705.0	-10.6	3694.4
		-15.00	3103.3	2675.4	5778.7	3821.9	-10.6	3811.2
		-15.50	3131.0	2818.8	5949.8	3935.1	-10.6	3924.4
		-16.00	3103.8	2965.9	6069.7	4014.3	-10.6	4003.7
		-16.50	2932.0	3113.6	6045.6	3998.4	-10.6	3987.7
		-17.00	2988.6	3240.5	6229.1	4119.8	-10.6	4109.1
		-17.50	3303.5	3348.1	6651.6	4399.2	-10.6	4388.6
		-18.00	3447.8	3491.3	6939.0	4589.3	-10.6	4578.7
		-18.50	3604.2	3620.4	7224.6	4778.2	-10.6	4767.5
		-19.00	3632.7	3766.0	7398.7	4893.3	-10.6	4882.7
		-19.50	4001.9	3909.8	7911.7	5232.6	-10.6	5222.0
		-20.00	4434.1	4058.2	8492.2	5616.6	-10.6	5605.9
		-20.50	4462.0	4240.5	8702.6	5755.7	-10.6	5745.0
		-21.00	4529.9	4422.9	8952.8	5921.2	-10.6	5910.5
		-21.50	4804.9	4605.3	9410.2	6223.7	-10.6	6213.0
		-22.00	4915.9	4782.7	9698.6	6414.4	-10.6	6403.8
		-22.50	4171.3	4965.0	9136.4	6042.6	-10.6	6031.9
		-23.00	4114.3	5147.4	9261.7	6125.4	-10.6	6114.8
		-23.50	4118.3	5329.8	9448.1	6248.7	-10.6	6238.1
		-24.00	4082.6	5512.2	9594.8	6345.7	-10.6	6335.1
		-24.50	4041.8	5690.4	9732.2	6436.7	-10.6	6426.0
		-25.00	3952.6	5861.7	9814.3	6491.0	-10.6	6480.3
		-25.50	3513.3	6057.7	9571.0	6330.0	-10.6	6319.4
		-26.00	4076.2	6240.8	10316.9	6823.4	-10.6	6812.7
		-26.50	4771.9	6399.5	11171.4	7388.5	-10.6	7377.8
		-27.00	4956.5	6581.8	11538.3	7631.2	-10.6	7620.5
		-27.50	5033.4	6764.2	11797.5	7802.6	-10.6	7792.0
		-28.00	5022.7	6946.6	11969.2	7916.2	-10.6	7905.5
		-28.50	3153.3	7128.9	10282.2	6800.4	-10.6	6789.7
		-29.00	2862.1	7311.3	10173.4	6728.4	-10.6	6717.8
		-29.50	2448.6	7493.7	9942.2	6575.6	-10.6	6564.9
		-30.00	2003.0	7676.0	9679.0	6401.5	-10.6	6390.8
312.S03	3.78	-8.00	3022.7	1705.1	4727.8	3126.9	0.0	3126.9
		-8.50	3150.6	1887.5	5038.1	3332.1	0.0	3332.1
		-9.00	3312.7	2069.9	5382.6	3559.9	0.0	3559.9
		-9.50	3242.9	2252.2	5495.1	3634.3	0.0	3634.3
		-10.00	3221.5	2434.6	5656.1	3740.8	0.0	3740.8
		-10.50	3267.0	2614.8	5881.8	3890.1	0.0	3890.1
		-11.00	3377.3	2784.8	6162.1	4075.4	0.0	4075.4
		-11.50	3378.2	2967.2	6345.4	4196.7	0.0	4196.7
		-12.00	3555.2	3149.4	6704.6	4434.3	0.0	4434.3
		-12.50	3235.5	3331.8	6567.3	4343.4	0.0	4343.4
		-13.00	3501.0	3508.9	7009.9	4636.2	0.0	4636.2
		-13.50	3650.2	3637.5	7287.7	4819.9	0.0	4819.9
		-14.00	3560.3	3783.4	7343.7	4856.9	0.0	4856.9
		-14.50	3519.5	3929.3	7448.8	4926.4	0.0	4926.4
		-15.00	3517.0	4068.8	7585.9	5017.1	0.0	5017.1
		-15.50	3457.0	4214.7	7671.8	5073.9	0.0	5073.9
		-16.00	3463.5	4355.8	7819.4	5171.5	0.0	5171.5
		-16.50	3270.1	4501.7	7771.9	5140.1	0.0	5140.1
		-17.00	1832.2	4636.6	6468.7	4278.3	0.0	4278.3
		-17.50	1910.0	4742.0	6652.0	4399.5	0.0	4399.5
		-18.00	2008.7	4855.1	6863.8	4539.5	0.0	4539.5
		-18.50	2009.4	4997.1	7006.5	4633.9	0.0	4633.9
		-19.00	1998.4	5146.3	7144.7	4725.4	0.0	4725.4
		-19.50	1675.6	5301.1	6976.7	4614.2	0.0	4614.2
		-20.00	1752.0	5450.2	7202.2	4763.4	0.0	4763.4
		-20.50	2371.4	5580.7	7952.0	5259.3	0.0	5259.3
		-21.00	2762.6	5724.9	8487.5	5613.4	0.0	5613.4
		-21.50	3142.0	5858.8	9000.8	5952.9	0.0	5952.9
		-22.00	3324.2	6010.2	9334.4	6173.5	0.0	6173.5
		-22.50	3403.5	6188.1	9591.6	6343.6	0.0	6343.6
		-23.00	3444.5	6367.2	9811.6	6489.2	0.0	6489.2
		-23.50	3686.7	6540.9	10227.6	6764.3	0.0	6764.3
		-24.00	2530.6	6700.2	9230.8	6105.0	0.0	6105.0
		-24.50	2255.7	6882.6	9138.3	6043.9	0.0	6043.9
		-25.00	1854.5	7064.9	8919.5	5899.1	0.0	5899.1
		-25.50	1629.5	7236.3	8865.7	5863.6	0.0	5863.6
		-26.00	1463.5	7389.2	8852.8	5855.0	0.0	5855.0
		-26.50	1326.2	7567.7	8893.9	5882.2	0.0	5882.2
		-27.00	1059.1	7746.1	8805.1	5823.5	0.0	5823.5
		-27.50	1015.7	7841.7	8857.4	5858.1	0.0	5858.1
		-28.00	993.1	7917.6	8910.7	5893.3	0.0	5893.3
		-28.50	990.3	7975.7	8966.0	5929.9	0.0	5929.9
19-1008_43	9.88	-8.00	2894.8	1547.8	4442.6	2938.2	0.0	2938.2
		-8.50	2974.3	1679.9	4654.2	3078.2	0.0	3078.2
		-9.00	3035.7	1815.0	4850.7	3208.1	0.0	3208.1
		-9.50	3056.0	1953.3	5009.3	3313.0	0.0	3313.0
		-10.00	3548.2	2079.3	5627.5	3721.9	0.0	3721.9
		-10.50	3546.7	2231.1	5777.8	3821.3	0.0	3821.3
		-11.00	3527.3	2413.4	5940.8	3929.1	0.0	3929.1
		-11.50	3503.0	2595.8	6098.8	4033.6	0.0	4033.6
		-12.00	3518.0	2778.0	6296.0	4164.0	0.0	4164.0
		-12.50	3390.7	2958.9	6349.6	4199.5	0.0	4199.5
		-13.00	3413.1	3093.5	6506.5	4303.3	0.0	4303.3
		-13.50	3660.9	3209.3	6870.2	4543.8	0.0	4543.8
		-14.00	3683.0	3344.4	7027.5	4647.8	0.0	4647.8
		-14.50	3519.4	3490.3	7009.7	4636.0	0.0	4636.0
		-15.00	4013.7	3617.9	7631.6	5047.3	0.0	5047.3
		-15.50	3499.4	3776.7	7276.1	4812.2	0.0	4812.2
		-16.00	3060.5	3952.0	7012.5	4637.9	0.0	4637.9
		-16.50	2804.5	4134.4	6938.9	4589.2	0.0	4589.2
		-17.00	2711.3	4316.8	7028.1	4648.2	0.0	4648.2

Project : ZWO380 Funderingen
Onderdeel : RLL-TBG380

Alle niveaus/hoogtes/peilmaten zijn t.o.v.: N.A.P.

sondering	maaiveld niveau	paalpunt niveau	Bezwijkdraagvermogen $R_{b;cal}$ [kN]	$R_{s;cal}$ [kN]	$R_{c;cal}$ [kN]	Rekenwaarden $R_{c;d}$ [kN]	$F_{nk;d}$ [kN]	$R_{c;netto;d}$ [kN]
19-1008_43	9.88	-17.50	2642.2	4492.4	7134.6	4718.7	0.0	4718.7
		-18.00	2579.6	4651.4	7231.0	4782.4	0.0	4782.4
		-18.50	2480.0	4793.7	7273.7	4810.7	0.0	4810.7
		-19.00	2355.2	4936.3	7291.5	4822.4	0.0	4822.4
		-19.50	2465.4	5051.5	7516.9	4971.5	0.0	4971.5
		-20.00	2767.0	5170.5	7937.4	5249.6	0.0	5249.6
		-20.50	2825.6	5320.7	8146.3	5387.8	0.0	5387.8
		-21.00	3077.2	5495.1	8572.3	5669.5	0.0	5669.5
		-21.50	4078.0	5639.2	9717.3	6426.8	0.0	6426.8
328.S02	10.17	-8.00	2313.0	2313.0	4626.0	3059.5	0.0	3059.5
		-8.50	2278.4	2456.5	4735.0	3131.6	0.0	3131.6
		-9.00	2676.5	2596.6	5273.1	3487.5	0.0	3487.5
		-9.50	2880.6	2716.5	5597.1	3701.8	0.0	3701.8
		-10.00	3186.1	2851.7	6037.8	3993.3	0.0	3993.3
		-10.50	3377.1	2993.6	6370.8	4213.5	0.0	4213.5
		-11.00	3411.4	3156.8	6568.1	4344.0	0.0	4344.0
		-11.50	3473.1	3324.4	6797.5	4495.7	0.0	4495.7
		-12.00	3568.4	3486.4	7054.8	4665.9	0.0	4665.9
		-12.50	3097.1	3632.7	6729.8	4450.9	0.0	4450.9
		-13.00	3090.5	3775.5	6866.0	4541.0	0.0	4541.0
		-13.50	3107.3	3919.8	7027.1	4647.6	0.0	4647.6
		-14.00	3081.6	4065.7	7147.3	4727.1	0.0	4727.1
		-14.50	3095.8	4207.3	7303.0	4830.1	0.0	4830.1
		-15.00	2778.0	4354.7	7132.7	4717.4	0.0	4717.4
		-15.50	2843.6	4500.3	7343.9	4857.1	0.0	4857.1
		-16.00	3029.1	4644.8	7674.0	5075.4	0.0	5075.4
		-16.50	3203.6	4796.1	7999.7	5290.8	0.0	5290.8
		-17.00	3293.2	4978.5	8271.7	5470.7	0.0	5470.7
		-17.50	3172.1	5160.8	8332.9	5511.2	0.0	5511.2
		-18.00	2328.0	5370.1	7698.1	5091.3	0.0	5091.3
		-18.50	3693.9	5500.0	9193.8	6080.6	0.0	6080.6
		-19.00	3724.9	5663.2	9388.1	6209.1	0.0	6209.1
		-19.50	4062.5	5837.4	9899.9	6547.5	0.0	6547.5
		-20.00	4234.7	6019.7	10254.5	6782.0	0.0	6782.0
		-20.50	4597.6	6202.1	10799.7	7142.7	0.0	7142.7
		-21.00	4258.1	6384.4	10642.6	7038.7	0.0	7038.7
		-21.50	4381.3	6566.8	10948.1	7240.8	0.0	7240.8
		-22.00	4113.1	6749.2	10862.3	7184.0	0.0	7184.0
		-22.50	4221.0	6931.6	11152.5	7376.0	0.0	7376.0
		-23.00	4166.3	7113.9	11280.2	7460.4	0.0	7460.4
		-23.50	4217.2	7296.3	11513.5	7614.7	0.0	7614.7
		-24.00	4155.4	7478.7	11634.0	7694.5	0.0	7694.5
		-24.50	3869.0	7630.7	11499.7	7605.6	0.0	7605.6
		-25.00	3316.0	7776.6	11092.6	7336.4	0.0	7336.4

PAALGEGEVENS SI Ø508/670

Type : In de grond gevormde geschroefde paal; groutinjectie
Wijze van installeren : Schroeven
Wijze van terugwinnen : n.v.t.
Diameter [m] : 0.590
Elasticiteitsmodulus [N/mm²] : 20000
Factor α_s (tabel 7.c EC 7.1) : 0.009 (zandlagen; voor kleilagen zie tabel 7.d)
Factor α_t (tabel 7.c EC 7.1) : 0.0090 (zandlagen; voor kleilagen zie tabel 7.d)
Paalklassefactor α_p : 0.63
Paalvoetvormfactor β : 1.00
Type lastzakkingsdiagram : Grondverdringende paal
Verm.factor * $\varphi'_{j;k}$: 1.00
Groutomhulling : JA

PAALGEGEVENS SI Ø610/850

Type : In de grond gevormde geschroefde paal; groutinjectie
Wijze van installeren : Schroeven
Wijze van terugwinnen : n.v.t.
Diameter [m] : 0.730
Elasticiteitsmodulus [N/mm²] : 20000
Factor α_s (tabel 7.c EC 7.1) : 0.009 (zandlagen; voor kleilagen zie tabel 7.d)
Factor α_t (tabel 7.c EC 7.1) : 0.0090 (zandlagen; voor kleilagen zie tabel 7.d)
Paalklassefactor α_p : 0.63
Paalvoetvormfactor β : 1.00
Type lastzakkingsdiagram : Grondverdringende paal
Verm.factor * $\varphi'_{j;k}$: 1.00
Groutomhulling : JA

PAALGEGEVENS SI Ø762/950

Type : In de grond gevormde geschroefde paal; groutinjectie
Wijze van installeren : Schroeven
Wijze van terugwinnen : n.v.t.
Diameter [m] : 0.860
Elasticiteitsmodulus [N/mm²] : 20000
Factor α_s (tabel 7.c EC 7.1) : 0.009 (zandlagen; voor kleilagen zie tabel 7.d)
Factor α_t (tabel 7.c EC 7.1) : 0.0090 (zandlagen; voor kleilagen zie tabel 7.d)
Paalklassefactor α_p : 0.63
Paalvoetvormfactor β : 1.00
Type lastzakkingsdiagram : Grondverdringende paal
Verm.factor * $\varphi'_{j;k}$: 1.00
Groutomhulling : JA

Project : ZWO380 Funderingen
Onderdeel : RLL-TBG380

OVERZICHT NETTO DRAAGVERMOGEN DRUKPALEN

Netto paaldraagvermogen(s) zijn naar beneden toe afgerond op: 1.0 kN nauwkeurig
Alle niveaus/hoogtes/peilmaten zijn t.o.v.: N.A.P.

sondering	maaiveld niveau	paalpunt niveau	$R_{c;netto;d}$ [kN] SI Ø508/6	SI Ø610/8	SI Ø762/9
19-1008_1	2.12	-6.00	-67		
		-6.50	-66		
		-7.00	-61	-60	
		-7.50	-16	5	
		-8.00	-2	24	55
		-8.50	-7	33	115
		-9.00	105	179	263
		-9.50	144	224	315
		-10.00	179	271	371
		-10.50	230	357	511
		-11.00	347	504	675
		-11.50	407	578	763
		-12.00	450	624	831
		-12.50	791	1132	1500
		-13.00	882	1245	1632
		-13.50	972	1403	1886
		-14.00	1176	1645	2140
		-14.50	1357	1924	2452
		-15.00	1468	2039	2634
		-15.50	1454	1988	2543
		-16.00	1645	2266	2906
		-16.50	1770	2439	3101
		-17.00	2000	2927	3978
		-17.50	2894	3433	4387
		-18.00	2558	3532	4012
		-18.50	2619	3211	4175
		-19.00	2304	3232	4185
		-19.50	2307	3199	4147
		-20.00	2306	3169	4078
		-20.50	2422	3315	4253
		-21.00	2446	3450	4624
		-21.50	3334	4762	6433
		-22.00	4321	6142	8107
		-22.50	4403	6245	8228
		-23.00	4486	6347	8348
		-23.50	4569	6449	8469
		-24.00	4652	6552	8590
		-24.50	4734	6654	8710
		-25.00	4817	6756	8831
		-25.50	4900	6859	8951
		-26.00	4983	6961	9072
		-26.50	5065	7064	9193
		-27.00	5148	7166	9313
		-27.50	5231	7268	9434
		-28.00	5313	7371	9555
		-28.50	5396	7473	9675
		-29.00	5479	7576	9796
		-29.50	5562	7678	
		-30.00	5644		
19-1008_6	11.00	-6.00	2443		
		-6.50	2583		
		-7.00	2661	3719	
		-7.50	3053	4282	
		-8.00	3305	4656	6072
		-8.50	3540	4926	6401
		-9.00	3663	5063	6545
		-9.50	3736	5200	6819
		-10.00	4204	5996	7449
		-10.50	4287	6079	7503
		-11.00	4369	6069	7761
		-11.50	4442	6209	7962
		-12.00	4513	6305	8135
		-12.50	4546	6345	8218
		-13.00	4577	6396	8287
		-13.50	4783	6714	8781
		-14.00	4866	6817	8902
		-14.50	4948	6919	8630
		-15.00	5031	6657	7033
		-15.50	4849	5552	7082
		-16.00	4089	5536	7039
		-16.50	4153	5603	7111
		-17.00	4161	5593	7074
		-17.50	4171	5583	7040
		-18.00	4308	6064	8003
		-18.50	5081	6766	8642
		-19.00	5091	6892	8770
		-19.50	5203	7022	8912
		-20.00	5324	7164	9071
		-20.50	5434	7290	
		-21.00	5579	7600	
		-21.50	6064		
166.S01	3.45	-6.00	1585		
		-6.50	1787		
		-7.00	1899	2651	
		-7.50	2019	2791	
		-8.00	2156	2955	3793
		-8.50	2290	3130	3821
		-9.00	2407	3186	3973
		-9.50	2695	3301	3896

Project : ZWO380 Funderingen
Onderdeel : RLL-TBG380

Netto paaldraagvermogen(s) zijn naar beneden toe afgerond op: 1.0 kN nauwkeurig
Alle niveaus/hoogtes/peilmaten zijn t.o.v.: N.A.P.

sondering	maaiveld niveau	paalpunt niveau	$R_{c;netto;d}$ [kN] SI Ø508/6	SI Ø610/8	SI Ø762/9
		-10.00	2477	3170	4012
		-10.50	2466	3227	4160
		-11.00	2395	3328	4277
		-11.50	2396	3294	4228
		-12.00	2404	3283	4206
		-12.50	2455	3343	4272
		-13.00	2578	3589	4730
		-13.50	2918	4011	5205
		-14.00	3039	4168	5357
		-14.50	3161	4320	5536
		-15.00	3275	4477	5793
		-15.50	3584	4915	6291
		-16.00	3741	5098	6440
		-16.50	3873	5201	6543
		-17.00	3968	5273	6696
		-17.50	4031	5428	6877
		-18.00	4147	5579	7055
		-18.50	4240	5722	7220
		-19.00	4303	5830	7340
		-19.50	4346	5899	
		-20.00	4532		
19-1008_11	0.62	-6.00	-45		
		-6.50	-39		
		-7.00	49	133	
		-7.50	164	281	
		-8.00	203	325	463
		-8.50	236	363	506
		-9.00	272	408	506
		-9.50	310	409	561
		-10.00	310	459	622
		-10.50	339	494	663
		-11.00	376	541	718
		-11.50	396	559	732
		-12.00	368	519	702
		-12.50	810	1231	1715
		-13.00	1129	1498	1994
		-13.50	1137	1620	2136
		-14.00	1235	1739	2281
		-14.50	1326	1845	2398
		-15.00	1409	1938	2497
		-15.50	1497	2041	2645
		-16.00	1680	2292	2934
		-16.50	1770	2397	3052
		-17.00	1854	2500	3217
		-17.50	2144	3073	4051
		-18.00	2549	3582	4725
		-18.50	2688	3804	4882
		-19.00	2793	3929	5090
		-19.50	2866	4006	5214
		-20.00	3124	4166	4700
		-20.50	3046	3639	4630
		-21.00	2696	3715	4645
		-21.50	2718	3736	4730
		-22.00	2648	3594	4582
		-22.50	2662	3590	4554
		-23.00	2654	3570	4515
		-23.50	2859	3873	4891
		-24.00	2948	3967	5024
		-24.50	2998	4019	5073
		-25.00	3043	4088	5348
		-25.50	3780	4948	6322
		-26.00	3729	5055	6437
		-26.50	3808	5139	6521
		-27.00	3913	5262	6660
		-27.50	4045	5428	6858
		-28.00	4265	5831	7384
		-28.50	4499	6067	7676
		-29.00	4665	6467	8326
		-29.50	5278	7193	9173
		-30.00	5455	7415	9347
19-1008_12	3.57	-6.00	1939		
		-6.50	1566		
		-7.00	1518	1935	
		-7.50	1474	1900	
		-8.00	1424	1795	2064
		-8.50	1416	1739	2090
		-9.00	1393	1762	2117
		-9.50	1412	1789	2122
		-10.00	1428	1791	2147
		-10.50	1445	1822	2186
		-11.00	1435	1810	2188
		-11.50	1480	1866	2236
		-12.00	1494	1879	2248
		-12.50	1501	1891	2261
		-13.00	1524	1931	2341
		-13.50	1588	2022	2437
		-14.00	1625	2061	2483
		-14.50	1655	2095	2521
		-15.00	1682	2129	2560
		-15.50	1737	2230	2687
		-16.00	1796	2284	2759

Project : ZWO380 Funderingen
Onderdeel : RLL-TBG380

Netto paaldraagvermogen(s) zijn naar beneden toe afgerond op: 1.0 kN nauwkeurig
Alle niveaus/hoogtes/peilmaten zijn t.o.v.: N.A.P.

sondering	maaiveld niveau	paalpunt niveau	$R_{c;netto;d}$ [kN] SI Ø508/6	SI Ø610/8	SI Ø762/9
		-16.50	1838	2338	2825
		-17.00	1889	2407	2908
		-17.50	1928	2528	3117
		-18.00	2155	2789	3417
		-18.50	2241	2891	3551
		-19.00	2526	3316	4101
		-19.50	2674	3556	4531
		-20.00	2923	3866	4822
		-20.50	2925	3836	4757
		-21.00	3236	4293	5361
		-21.50	3376	4455	5550
		-22.00	3519	4630	5756
		-22.50	3612	4732	5677
		-23.00	3848	4765	5375
		-23.50	3770	4464	5386
		-24.00	3481	4470	5396
		-24.50	3441	4402	5214
		-25.00	3423	4291	5248
		-25.50	3367	4318	5260
		-26.00	3439	4404	5351
		-26.50	3504	4485	5447
		-27.00	3560	4553	5526
		-27.50	3604	4592	5594
		-28.00	3994	5305	6679
		-28.50	4431	5822	
		-29.00	4553		
19-1008_17	0.20	-6.00	-33		
		-6.50	14		
		-7.00	-38	-17	
		-7.50	-78	-72	
		-8.00	-66	-42	-5
		-8.50	-37	-11	24
		-9.00	-33	13	101
		-9.50	264	450	661
		-10.00	117	251	415
		-10.50	390	788	1309
		-11.00	1116	1716	2350
		-11.50	1296	1897	2219
		-12.00	1450	1801	2443
		-12.50	1344	1960	2622
		-13.00	1418	2021	2671
		-13.50	1504	2112	2762
		-14.00	1598	2219	2873
		-14.50	1790	2556	3338
		-15.00	2006	2784	2491
		-15.50	2127	2072	2587
		-16.00	1617	2082	2700
		-16.50	1571	2176	2804
		-17.00	1667	2300	2967
		-17.50	1640	2234	2855
		-18.00	1635	2179	2765
		-18.50	1899	2624	3323
		-19.00	2077	2725	3477
		-19.50	2094	2839	3617
		-20.00	2194	2971	3781
		-20.50	2338	3168	4035
		-21.00	2315	3110	3883
		-21.50	2541	3503	4317
		-22.00	2812	3538	4392
		-22.50	2748	3604	4476
		-23.00	2752	3616	4468
		-23.50	2782	3636	4533
		-24.00	2823	3727	4630
		-24.50	2879	3789	4697
		-25.00	2946	3871	4801
		-25.50	3013	3953	4902
		-26.00	3092	4065	3963
		-26.50	3242	3329	3997
		-27.00	2651	3357	4076
		-27.50	2676	3420	4148
		-28.00	2720	3469	4200
		-28.50	2724	3455	4164
		-29.00	2669	3350	3999
		-29.50	3022	4057	5175
		-30.00	3483	4561	5665
19-1008_20	-0.03	-6.00	364		
		-6.50	528		
		-7.00	556	714	
		-7.50	618	644	
		-8.00	506	668	861
		-8.50	526	717	918
		-9.00	557	748	947
		-9.50	575	768	962
		-10.00	551	728	911
		-10.50	681	897	1114
		-11.00	678	908	1141
		-11.50	663	871	1080
		-12.00	692	918	1148
		-12.50	722	954	1189
		-13.00	736	968	1202
		-13.50	808	1079	1316

Project : ZWO380 Funderingen
Onderdeel : RLL-TBG380

Netto paaldraagvermogen(s) zijn naar beneden toe afgerond op: 1.0 kN nauwkeurig
Alle niveaus/hoogtes/peilmaten zijn t.o.v.: N.A.P.

sondering	maaiveld niveau	paalpunt niveau	$R_{c;netto;d}$ [kN] SI Ø508/6	SI Ø610/8	SI Ø762/9
		-14.00	844	1085	1346
		-14.50	855	1122	1395
		-15.00	891	1165	1440
		-15.50	918	1197	1477
		-16.00	946	1233	1522
		-16.50	965	1262	1553
		-17.00	999	1312	1662
		-17.50	1137	1506	1879
		-18.00	1190	1575	1963
		-18.50	1221	1632	2082
		-19.00	1324	1751	2163
		-19.50	1448	1845	2223
		-20.00	1449	1841	2287
		-20.50	1412	1834	2260
		-21.00	1435	1847	2255
		-21.50	1465	1881	2292
		-22.00	1492	1916	2333
		-22.50	1512	1956	2468
		-23.00	1799	2374	2983
		-23.50	1930	2553	3187
		-24.00	2058	2731	3447
		-24.50	2173	2875	3578
		-25.00	2258	2977	3706
		-25.50	2346	3083	3829
		-26.00	2427	3211	3730
		-26.50	2541	3112	3848
		-27.00	2457	3199	3885
		-27.50	2532	3248	3989
		-28.00	2556	3333	4095
		-28.50	2608	3421	4197
		-29.00	2653	3492	4289
		-29.50	2707	3561	4183
		-30.00	2771	3467	4282
19-1008_21	1.78	-6.00	750		
		-6.50	675		
		-7.00	692	966	
		-7.50	753	1033	
		-8.00	807	1112	1425
		-8.50	820	1102	1390
		-9.00	845	1149	1469
		-9.50	971	1326	1680
		-10.00	1004	1402	1775
		-10.50	1054	1469	1884
		-11.00	1088	1509	1955
		-11.50	1132	1562	2017
		-12.00	1162	1631	1957
		-12.50	1209	1604	2054
		-13.00	1246	1700	2177
		-13.50	1300	1767	2051
		-14.00	1331	1718	2047
		-14.50	1319	1753	2197
		-15.00	1310	1863	2127
		-15.50	1350	1770	2196
		-16.00	1371	1781	2190
		-16.50	1348	1723	2089
		-17.00	1374	1769	2167
		-17.50	1419	1893	2295
		-18.00	1509	1924	2332
		-18.50	1536	1960	2377
		-19.00	1570	2000	2419
		-19.50	1585	2019	2441
		-20.00	1600	2036	2461
		-20.50	1616	2057	2488
		-21.00	1640	2092	2532
		-21.50	1666	2124	2572
		-22.00	1692	2159	2613
		-22.50	1715	2190	2650
		-23.00	1737	2219	2689
		-23.50	1772	2267	2745
		-24.00	1803	2298	2788
		-24.50	1826	2332	2824
		-25.00	1854	2364	2865
		-25.50	1880	2398	2904
		-26.00	1906	2431	2943
		-26.50	1930	2464	2982
		-27.00	1954	2496	3019
		-27.50	1992	2546	3087
		-28.00	2020	2583	3133
		-28.50	2047	2616	3173
		-29.00	2081	2662	3232
		-29.50	2115	2705	3283
		-30.00	2145	2745	
251.S01	-1.05	-6.00	709		
		-6.50	605		
		-7.00	637	859	
		-7.50	635	833	
		-8.00	639	824	1006
		-8.50	622	813	1055
		-9.00	894	1255	1673
		-9.50	1040	1400	1781
		-10.00	1104	1485	1879

Project : ZWO380 Funderingen
Onderdeel : RLL-TBG380

Netto paaldraagvermogen(s) zijn naar beneden toe afgerond op: 1.0 kN nauwkeurig
Alle niveaus/hoogtes/peilmaten zijn t.o.v.: N.A.P.

sondering	maaiveld niveau	paalpunt niveau	$R_{c;netto;d}$ [kN] SI Ø508/6	SI Ø610/8	SI Ø762/9
		-10.50	1159	1542	1935
		-11.00	1196	1576	1962
		-11.50	1260	1658	2071
		-12.00	1475	1969	2161
		-12.50	1572	1812	2274
		-13.00	1436	1907	2389
		-13.50	1507	1996	2496
		-14.00	1553	2051	2550
		-14.50	1559	2046	2521
		-15.00	1517	2005	2582
		-15.50	2163	2984	3379
		-16.00	2408	2796	3472
		-16.50	2188	2864	3612
		-17.00	2243	2993	3742
		-17.50	2328	3069	3821
		-18.00	2353	3078	3262
		-18.50	2342	2747	3300
		-19.00	2244	2795	3285
		-19.50	2197	2768	3307
		-20.00	2201	2763	3321
		-20.50	2206	2790	3353
		-21.00	2257	2839	3397
		-21.50	2281	2865	3422
		-22.00	2295	2883	3443
		-22.50	2337	2978	3570
		-23.00	2406	3032	3660
		-23.50	2510	3186	3842
		-24.00	2564	3252	3917
		-24.50	2617	3338	4101
		-25.00	2812	3601	4409
		-25.50	3156	4097	5037
		-26.00	3626	5052	5923
		-26.50	4306	4945	6187
		-27.00	3881	5098	6029
		-27.50	4001	5085	5680
		-28.00	4028	4693	5560
		-28.50	3673	4560	5484
		-29.00	3586	4531	5362
		-29.50	3600	4487	5412
		-30.00	3508	4445	5347
19-1008_29	0.79	-6.00	1376		
		-6.50	1625		
		-7.00	1646	2242	
		-7.50	1707	2376	
		-8.00	1787	2476	2784
		-8.50	1859	2283	2011
		-9.00	1819	1678	2098
		-9.50	1346	1753	2182
		-10.00	1390	1827	2270
		-10.50	1426	1863	2319
		-11.00	1443	1869	2294
		-11.50	1406	1929	2416
		-12.00	1583	2006	2417
		-12.50	1594	2020	2452
		-13.00	1583	2008	2419
		-13.50	1614	2046	2465
		-14.00	1645	2083	2506
		-14.50	1671	2115	2544
		-15.00	1701	2188	2666
		-15.50	1774	2257	2727
		-16.00	1790	2264	2721
		-16.50	1818	2301	2765
		-17.00	1865	2421	3007
		-17.50	2304	3188	4076
		-18.00	2636	3530	4441
		-18.50	2661	3540	4440
		-19.00	2464	3406	4447
		-19.50	3373	4572	5065
		-20.00	3773	4179	4893
		-20.50	3273	4027	4822
		-21.00	3150	3919	4772
		-21.50	2989	3845	4676
		-22.00	2954	3783	4532
		-22.50	2878	3685	4469
		-23.00	2913	3725	4511
		-23.50	3015	3824	4648
		-24.00	3043	3903	4720
		-24.50	3079	3930	4741
		-25.00	3112	3962	4791
		-25.50	3164	4032	4877
		-26.00	3208	4077	4929
		-26.50	3245	4129	4990
		-27.00	3284	4175	5040
		-27.50	3337	4230	5106
		-28.00	3367	4277	5161
		-28.50	3407	4397	5265
		-29.00	3594	4801	5696
		-29.50	3764	4764	5731
		-30.00	3719	4712	5662
283.S02	0.17	-6.00	1116		
		-6.50	1194		

Project : ZWO380 Funderingen
Onderdeel : RLL-TBG380

Netto paaldraagvermogen(s) zijn naar beneden toe afgerond op: 1.0 kN nauwkeurig
Alle niveaus/hoogtes/peilmaten zijn t.o.v.: N.A.P.

sondering	maaiveld niveau	paalpunt niveau	$R_{c;netto;d}$ [kN] SI Ø508/6	SI Ø610/8	SI Ø762/9
		-7.00	1228	1691	
		-7.50	1301	1847	
		-8.00	1383	1927	2467
		-8.50	1434	1989	2213
		-9.00	1473	1773	2288
		-9.50	1326	1825	2350
		-10.00	1371	1878	2411
		-10.50	1408	1921	2459
		-11.00	1445	1964	2507
		-11.50	1442	1968	2548
		-12.00	1711	2389	3074
		-12.50	1864	2585	3358
		-13.00	2020	2813	3654
		-13.50	2183	2975	3820
		-14.00	2285	3116	3986
		-14.50	2347	3178	4044
		-15.00	2390	3252	4178
		-15.50	2598	3503	4442
		-16.00	2766	3773	4789
		-16.50	2952	4004	5171
		-17.00	3252	4416	5437
		-17.50	3370	4450	5629
		-18.00	3371	4611	5832
		-18.50	3481	4753	6045
		-19.00	3591	4891	6249
		-19.50	3682	5001	6380
		-20.00	3668	5024	6384
		-20.50	3896	5413	7022
		-21.00	4172	5692	7252
		-21.50	4281	5836	7433
		-22.00	4369	5945	7569
		-22.50	4460	6051	7700
		-23.00	4578	6269	6508
		-23.50	4891	5469	5740
		-24.00	4650	4726	5597
		-24.50	3673	4586	5511
		-25.00	3599	4551	5476
		-25.50	3509	4449	5340
		-26.00	3508	4423	5308
		-26.50	3475	4386	5261
		-27.00	3517	4452	5252
		-27.50	3563	4423	5297
		-28.00	3555	4464	5345
		-28.50	3579	4503	5387
		-29.00	3606	4535	
		-29.50	3630		
19-1008_35	0.92	-6.00	1028		
		-6.50	1050		
		-7.00	1081	1529	
		-7.50	1163	1628	
		-8.00	1198	1666	2165
		-8.50	1222	1692	2189
		-9.00	1262	1752	2289
		-9.50	1328	1832	2366
		-10.00	1367	1918	2517
		-10.50	1452	1999	2575
		-11.00	1490	2037	2611
		-11.50	1516	2061	2629
		-12.00	1545	2092	2665
		-12.50	1659	2313	2981
		-13.00	1809	2476	3172
		-13.50	1910	2616	3368
		-14.00	2118	2880	3583
		-14.50	2193	2887	3694
		-15.00	2198	2987	3811
		-15.50	2273	3082	3924
		-16.00	2336	3154	4003
		-16.50	2354	3157	3987
		-17.00	2400	3226	4109
		-17.50	2584	3472	4388
		-18.00	2630	3575	4578
		-18.50	2786	3777	4767
		-19.00	2856	3864	4882
		-19.50	2957	4037	5221
		-20.00	3236	4395	5605
		-20.50	3338	4517	5745
		-21.00	3447	4651	5910
		-21.50	3586	4945	6213
		-22.00	3910	5055	6403
		-22.50	3850	5187	6031
		-23.00	3942	4865	6114
		-23.50	3707	4938	6238
		-24.00	3765	5032	6335
		-24.50	3832	5111	6426
		-25.00	3882	5165	6480
		-25.50	3805	5042	6319
		-26.00	4053	5396	6812
		-26.50	4394	5869	7377
		-27.00	4545	6061	7620
		-27.50	4665	6208	7791
		-28.00	4758	6314	7905
		-28.50	5015	6627	6789

Project : ZWO380 Funderingen
Onderdeel : RLL-TBG380

Netto paaldraagvermogen(s) zijn naar beneden toe afgerond op: 1.0 kN nauwkeurig
Alle niveaus/hoogtes/peilmaten zijn t.o.v.: N.A.P.

sondering	maaiveld niveau	paalpunt niveau	$R_{c;netto;d}$ [kN] SI Ø508/6	SI Ø610/8	SI Ø762/9
		-29.00	5187	5623	6717
		-29.50	4378	5509	6564
		-30.00	4289	5367	6390
312.S03	3.78	-6.00	930		
		-6.50	949		
		-7.00	943	1244	
		-7.50	1115	1690	
		-8.00	1847	2401	3126
		-8.50	1859	2574	3332
		-9.00	2007	2763	3559
		-9.50	2085	2841	3634
		-10.00	2242	3043	3740
		-10.50	2476	3076	3890
		-11.00	2399	3222	4075
		-11.50	2522	3366	4196
		-12.00	2646	3528	4434
		-12.50	2640	3485	4343
		-13.00	2680	3674	4636
		-13.50	2864	3896	4819
		-14.00	2941	3974	4856
		-14.50	2968	3922	4926
		-15.00	2962	3959	5017
		-15.50	3015	4013	5073
		-16.00	3054	4095	5171
		-16.50	3060	4085	5140
		-17.00	3081	4101	4278
		-17.50	3160	3572	4399
		-18.00	2828	3682	4539
		-18.50	2892	3762	4633
		-19.00	2957	3841	4725
		-19.50	2926	3774	4614
		-20.00	2893	3797	4763
		-20.50	3273	4264	5259
		-21.00	3474	4540	5613
		-21.50	3606	4764	5952
		-22.00	3811	4987	6173
		-22.50	3942	5148	6343
		-23.00	4046	5266	6489
		-23.50	4143	5454	6764
		-24.00	4363	5711	6105
		-24.50	4465	5045	6043
		-25.00	3952	4987	5899
		-25.50	3940	4907	5863
		-26.00	3894	4902	5855
		-26.50	3888	4893	5882
		-27.00	3845	4854	5823
		-27.50	3874	4886	5858
		-28.00	3901	4918	5893
		-28.50	3927	4949	5929
		-29.00	3956	5033	
		-29.50	4027		
19-1008_43	9.88	-6.00	1030		
		-6.50	1389		
		-7.00	1469	2054	
		-7.50	1550	2164	
		-8.00	1638	2276	2938
		-8.50	1725	2382	3078
		-9.00	1814	2493	3208
		-9.50	1893	2586	3313
		-10.00	2095	2933	3721
		-10.50	2265	3004	3821
		-11.00	2284	3081	3929
		-11.50	2346	3202	4033
		-12.00	2412	3307	4164
		-12.50	2428	3320	4199
		-13.00	2466	3369	4303
		-13.50	2597	3548	4543
		-14.00	2665	3634	4647
		-14.50	2679	3634	4636
		-15.00	3013	4117	5047
		-15.50	3102	4037	4812
		-16.00	3081	3920	4637
		-16.50	3059	3735	4589
		-17.00	2855	3717	4648
		-17.50	2861	3783	4718
		-18.00	2913	3840	4782
		-18.50	2947	3873	4810
		-19.00	2972	3893	4822
		-19.50	3048	3999	4971
		-20.00	3192	4221	5249
		-20.50	3302	4343	5387
		-21.00	3427	4545	5669
		-21.50	3766	5135	6426
		-22.00	4253	5269	
		-22.50	4038		
328.S02	10.17	-6.00	1529		
		-6.50	1489		
		-7.00	1631	2200	
		-7.50	1724	2319	
		-8.00	1811	2425	3059

Project : ZWO380 Funderingen
Onderdeel : RLL-TBG380

Netto paaldraagvermogen(s) zijn naar beneden toe afgerond op: 1.0 kN nauwkeurig
Alle niveaus/hoogtes/peilmaten zijn t.o.v.: N.A.P.

sondering	maaiveld niveau	paalpunt niveau	$R_{c;netto;d}$ [kN] SI Ø508/6	SI Ø610/8	SI Ø762/9
		-8.50	1873	2494	3131
		-9.00	2012	2767	3487
		-9.50	2203	2946	3701
		-10.00	2383	3169	3993
		-10.50	2504	3351	4213
		-11.00	2598	3508	4344
		-11.50	2678	3587	4495
		-12.00	2749	3701	4665
		-12.50	2845	3821	4450
		-13.00	2948	3626	4540
		-13.50	2801	3694	4647
		-14.00	2828	3766	4727
		-14.50	2891	3854	4830
		-15.00	2932	3908	4717
		-15.50	2937	3881	4857
		-16.00	3050	4051	5075
		-16.50	3173	4219	5290
		-17.00	3284	4364	5470
		-17.50	3329	4408	5511
		-18.00	3059	4007	5091
		-18.50	3646	4848	6080
		-19.00	3746	4963	6209
		-19.50	3950	5235	6547
		-20.00	4098	5414	6782
		-20.50	4323	5719	7142
		-21.00	4468	5899	7038
		-21.50	4626	5824	7240
		-22.00	4564	5997	7184
		-22.50	4705	5941	7376
		-23.00	4650	6089	7460
		-23.50	4738	6166	7614
		-24.00	4750	6252	7694
		-24.50	4833	6383	7605
		-25.00	4823	6296	7336
		-25.50	4958	6069	
		-26.00	4734		
		-26.50	4856		

Project : ZWO380 Funderingen
Onderdeel : RLL-TBG380

ALGEMENE GEGEVENS

Project : ZWO380 Funderingen
Onderdeel : RLL-TBG380
Datum : 27-03-2021
Bestand : P:\EANL_Projects\10124719 - TenneT Engineering ZW380 kV Oost\2 Content\007 DO vakwerkmasten\TS Paalfunderingen\ZWO380 hoekmast DO.pvw
Berekeningstype : Verticaal belaste paal
Alle niveaus/hoogtes/peilmaten zijn t.o.v.: N.A.P.

Toegepaste normen volgens Eurocode met Nederlandse NB

Geotechniek EN 1997-1:2004 AC:2009
NEN-EN 1997-1:2005 C1+A1:2013 NB:2016
NEN 9997-1:2016 C2:2017

REKENGEGEVENS SI Ø508/670 trek

Berekening : Ontwerpend
Rekenmethode : Trekpalen volgens NEN-EN 1997-1, art. 7.6.3
Sondering(en) : 19-1008_1, 19-1008_6, 166.S01, 19-1008_11, 19-1008_12
: 19-1008_17, 19-1008_20, 19-1008_21, 251.S01, 19-1008_29
: 283.S02, 19-1008_35, 312.S03, 19-1008_43, 328.S02
Let op: trekcapaciteit t.p.v. negatief kleeftraject is meegerekend.

Stijf bouwwerk : JA
Paalgroep : JA
Aantal sonderingen : 15
Factor $\xi_{3\ (n=1)}$: 1.26 (handmatig)
Factor $\xi_{3\ (gem)}$: 1.26 (handmatig)
Factor $\xi_{4\ (min)}$: 1.26 (handmatig)
Weerstandsfactor γ_R : 1.35
$\gamma_{m;var;gc}$: 1.25
UGT draagvermogen zonder negatieve kleef : NEE

Paal : SI Ø508/670
Niveau paalkop [m] : N.A.P. 0.00
Opp. paalgebied [m²] : 20.00 Bovenbel. [kN/m²] : 0.00
Rekenen op verdichting: NEE (factor f1 > 1.00)

PAALPUNTNIVEAUS SI Ø508/670

Alle niveaus/hoogtes/peilmaten zijn t.o.v. : N.A.P.

Nr	Beginniveau [m]	Eindniveau [m]	Stapgrootte [m]
1	-6.00	-30.00	0.50

RESULTATEN SI Ø508/670 trek (n=1)

Alle niveaus/hoogtes/peilmaten zijn t.o.v.: N.A.P.

Sondering	19-1008_1	19-1008_6	166.S01	19-1008_11	19-1008_12	19-1008_17
Niveau [m]	$F_{netto;t}$ [kN]	$F_{netto;t}$ [kN]	$F_{netto;t}$ [kN]	$F_{netto;t}$ [kN]	$F_{netto;t}$ [kN]	$F_{netto;t}$ [kN]
-6.00	55	490	288	199	**499**	82
-6.50	59	**546**	343	205	540	89
-7.00	63	**601**	397	212	589	121
-7.50	67	**655**	451	229	640	136
-8.00	81	**709**	505	253	689	143
-8.50	98	**763**	557	274	715	151
-9.00	104	**817**	609	291	726	165
-9.50	130	**870**	660	307	734	176
-10.00	153	**922**	712	324	748	219
-10.50	180	**975**	763	344	776	241
-11.00	199	**1027**	814	366	797	277
-11.50	230	**1079**	864	393	803	333
-12.00	271	**1131**	911	428	823	388
-12.50	298	**1182**	950	443	832	442
-13.00	338	**1234**	987	483	838	496
-13.50	377	**1285**	1024	528	847	549
-14.00	411	**1336**	1067	574	864	601
-14.50	454	**1386**	1116	619	887	653
-15.00	494	**1437**	1165	665	904	701
-15.50	537	**1487**	1214	708	917	752
-16.00	574	**1537**	1263	744	938	803
-16.50	614	**1587**	1312	786	965	854
-17.00	655	**1637**	1360	826	989	902
-17.50	702	**1687**	1408	864	1023	960
-18.00	754	**1737**	1456	912	1049	1033
-18.50	806	**1783**	1504	963	1109	1081
-19.00	857	**1832**	1552	1015	1164	1117
-19.50	908	**1881**	1599	1066	1209	1156
-20.00	979	**1931**	1647	1117	1245	1196
-20.50	1056	**1979**	1694	1167	1285	1238
-21.00	1136	**2028**	1741	1218	1322	1281
-21.50	1187	**2077**	1789	1265	1368	1339
-22.00	1235	**2126**	1836	1315	1416	1381
-22.50	1284	**2174**	1883	1365	1465	1429
-23.00	1332	**2223**	0	1410	1509	1477
-23.50	1381	**2271**	0	1440	1552	1524
-24.00	1429	0	0	1479	1597	1568
-24.50	1477	0	0	1523	1646	1607
-25.00	1525	0	0	1564	1694	1637
-25.50	1572	0	0	1599	1767	1666
-26.00	1620	0	0	1649	1847	1695
-26.50	1668	0	0	1698	1894	1723
-27.00	1715	0	0	1746	1937	1757
-27.50	1762	0	0	1795	1987	1793
-28.00	1810	0	0	1843	2023	1830
-28.50	1857	0	0	1891	2060	1868

Project : ZWO380 Funderingen
Onderdeel : RLL-TBG380

-29.00	1904	0	0	1939	2107	1910
-29.50	1951	0	0	1987	2154	1926
-30.00	1998	0	0	2035	2200	1959

RESULTATEN SI Ø508/670 trek (n=1)

Alle niveaus/hoogtes/peilmaten zijn t.o.v.: N.A.P.

Sondering	19-1008_20	19-1008_21	251.S01	19-1008_29	283.S02	19-1008_35
Niveau [m]	$F_{netto;t}$ [kN]	$F_{netto;t}$ [kN]	$F_{netto;t}$ [kN]	$F_{netto;t}$ [kN]	$F_{netto;t}$ [kN]	$F_{netto;t}$ [kN]
-6.00	105	191	221	331	265	293
-6.50	125	227	258	369	296	317
-7.00	160	263	300	411	333	337
-7.50	191	307	340	456	362	357
-8.00	215	348	380	502	390	384
-8.50	238	389	410	549	424	411
-9.00	270	410	416	589	456	433
-9.50	296	427	440	626	483	454
-10.00	326	452	475	661	512	479
-10.50	335	473	515	701	541	503
-11.00	374	498	545	741	569	543
-11.50	415	529	565	792	599	577
-12.00	425	563	584	819	619	601
-12.50	436	591	615	869	652	622
-13.00	456	626	652	905	689	649
-13.50	466	659	687	924	730	681
-14.00	484	707	735	946	777	714
-14.50	516	755	782	962	824	755
-15.00	553	794	837	975	866	795
-15.50	574	826	865	991	902	835
-16.00	590	885	910	1027	941	876
-16.50	612	944	958	1042	984	917
-17.00	627	955	1006	1058	1030	952
-17.50	646	967	1052	1079	1078	983
-18.00	678	990	1094	1123	1126	1022
-18.50	716	1054	1148	1172	1174	1058
-19.00	744	1098	1185	1220	1221	1098
-19.50	782	1111	1219	1263	1268	1137
-20.00	818	1121	1256	1311	1315	1178
-20.50	862	1131	1317	1359	1360	1227
-21.00	928	1141	1386	1407	1407	1276
-21.50	957	1153	1416	1455	1454	1325
-22.00	977	1167	1426	1502	1501	1372
-22.50	998	1183	1439	1562	1547	1420
-23.00	1016	1200	1459	1615	1593	1469
-23.50	1045	1215	1485	1652	1639	1517
-24.00	1076	1233	1520	1694	1686	1565
-24.50	1108	1252	1551	1733	1732	1611
-25.00	1148	1272	1580	1779	1778	1656
-25.50	1184	1292	1630	1809	1823	1713
-26.00	1219	1312	1704	1842	1869	1773
-26.50	1251	1330	1769	1873	1925	1814
-27.00	1290	1348	1816	1912	1949	1861
-27.50	1324	1366	1863	1942	1971	1908
-28.00	1355	1386	1909	1970	1998	1955
-28.50	1390	1406	1956	1999	2032	2002
-29.00	1424	1425	2002	2031	2057	2048
-29.50	1451	1446	2034	2079	2079	2095
-30.00	1484	1467	2072	2112	2099	2142

Project : ZWO380 Funderingen
Onderdeel : RLL-TBG380

RESULTATEN SI Ø508/670 trek (n=1)

Alle niveaus/hoogtes/peilmaten zijn t.o.v.: N.A.P.

Sondering	312.S03	19-1008_43	328.S02
Niveau	$F_{netto;t}$	$F_{netto;t}$	$F_{netto;t}$
[m]	[kN]	[kN]	[kN]
-6.00	355	284	467
-6.50	397	308	512
-7.00	447	353	543
-7.50	480	396	582
-8.00	514	440	624
-8.50	566	481	668
-9.00	618	523	710
-9.50	669	566	746
-10.00	720	605	786
-10.50	770	651	829
-11.00	817	706	877
-11.50	867	761	925
-12.00	917	815	973
-12.50	966	869	1015
-13.00	1013	909	1057
-13.50	1048	943	1099
-14.00	1088	983	1141
-14.50	1127	1026	1182
-15.00	1165	1064	1224
-15.50	1204	1110	1266
-16.00	1242	1161	1314
-16.50	1281	1213	1358
-17.00	1317	1265	1409
-17.50	1346	1315	1460
-18.00	1376	1361	1523
-18.50	1414	1401	1566
-19.00	1454	1446	1612
-19.50	1495	1485	1660
-20.00	1535	1525	1710
-20.50	1575	1575	1760
-21.00	1614	1633	1810
-21.50	1649	1677	1860
-22.00	1689	1723	1910
-22.50	1735	1774	1959
-23.00	1782	1824	2009
-23.50	1827	1874	2058
-24.00	1869	1924	**2107**
-24.50	1916	1974	**2149**
-25.00	1963	2017	**2188**
-25.50	2007	0	**2227**
-26.00	2047	0	**2267**
-26.50	2093	0	**2309**
-27.00	2139	0	**2357**
-27.50	2170	0	**2406**
-28.00	2196	0	**2447**
-28.50	2216	0	**2483**
-29.00	**2236**	0	0
-29.50	**2260**	0	0
-30.00	**2290**	0	0

Project : ZWO380 Funderingen
Onderdeel : RLL-TBG380

SAMENVATTINGSTABEL SI Ø508/670 trek (n=1)

Uitgangspunten
- paal : SI Ø508/670
- paaltype : In de grond gevormde geschroefde paal; groutinjectie
- schachtafmeting : 590 mm

Paalklassefactor α_p : 0.63
Factor α_s (tabel 7.c EC 7.1) : 0.0090 (zandlagen; voor kleilagen zie tabel 7.d)
Correlatiefactor $\xi_{3(n=1)}$: 1.26

Alle niveaus/hoogtes/peilmaten zijn t.o.v.: N.A.P.

sondering	maaiveld niveau	paalpunt niveau	Bezwijkdraagvermogen $R_{t;cal}$ [kN]	Rekenwaarden $R_{c;d}$ [kN]	$R_{t;netto;d}$ [kN]
19-1008_1	2.12	-6.00	55.0	55.0	55.0
		-6.50	58.8	58.8	58.8
		-7.00	62.7	62.7	62.7
		-7.50	66.7	66.7	66.7
		-8.00	81.4	81.4	81.4
		-8.50	97.7	97.7	97.7
		-9.00	103.8	103.8	103.8
		-9.50	129.8	129.8	129.8
		-10.00	153.0	153.0	153.0
		-10.50	180.0	180.0	180.0
		-11.00	198.9	198.9	198.9
		-11.50	230.4	230.4	230.4
		-12.00	270.6	270.6	270.6
		-12.50	297.8	297.8	297.8
		-13.00	338.0	338.0	338.0
		-13.50	377.1	377.1	377.1
		-14.00	410.8	410.8	410.8
		-14.50	454.5	454.5	454.5
		-15.00	494.3	494.3	494.3
		-15.50	537.3	537.3	537.3
		-16.00	574.1	574.1	574.1
		-16.50	614.3	614.3	614.3
		-17.00	654.9	654.9	654.9
		-17.50	701.9	701.9	701.9
		-18.00	754.1	754.1	754.1
		-18.50	805.8	805.8	805.8
		-19.00	857.3	857.3	857.3
		-19.50	908.4	908.4	908.4
		-20.00	978.7	978.7	978.7
		-20.50	1055.9	1055.9	1055.9
		-21.00	1136.0	1136.0	1136.0
		-21.50	1186.7	1186.7	1186.7
		-22.00	1235.4	1235.4	1235.4
		-22.50	1284.0	1284.0	1284.0
		-23.00	1332.4	1332.4	1332.4
		-23.50	1380.6	1380.6	1380.6
		-24.00	1428.8	1428.8	1428.8
		-24.50	1476.7	1476.7	1476.7
		-25.00	1524.6	1524.6	1524.6
		-25.50	1572.4	1572.4	1572.4
		-26.00	1620.0	1620.0	1620.0
		-26.50	1667.6	1667.6	1667.6
		-27.00	1715.1	1715.1	1715.1
		-27.50	1762.4	1762.4	1762.4
		-28.00	1809.7	1809.7	1809.7
		-28.50	1856.9	1856.9	1856.9
		-29.00	1904.0	1904.0	1904.0
		-29.50	1951.1	1951.1	1951.1
		-30.00	1998.1	1998.1	1998.1
19-1008_6	11.00	-6.00	490.4	490.4	490.4
		-6.50	545.9	545.9	545.9
		-7.00	600.7	600.7	600.7
		-7.50	655.2	655.2	655.2
		-8.00	709.4	709.4	709.4
		-8.50	763.1	763.1	763.1
		-9.00	816.6	816.6	816.6
		-9.50	869.7	869.7	869.7
		-10.00	922.5	922.5	922.5
		-10.50	975.0	975.0	975.0
		-11.00	1027.3	1027.3	1027.3
		-11.50	1079.3	1079.3	1079.3
		-12.00	1131.0	1131.0	1131.0
		-12.50	1182.5	1182.5	1182.5
		-13.00	1233.7	1233.7	1233.7
		-13.50	1284.8	1284.8	1284.8
		-14.00	1335.7	1335.7	1335.7
		-14.50	1386.4	1386.4	1386.4
		-15.00	1436.9	1436.9	1436.9
		-15.50	1487.2	1487.2	1487.2
		-16.00	1537.4	1537.4	1537.4
		-16.50	1587.5	1587.5	1587.5
		-17.00	1637.4	1637.4	1637.4
		-17.50	1687.1	1687.1	1687.1
		-18.00	1736.7	1736.7	1736.7
		-18.50	1782.9	1782.9	1782.9
		-19.00	1832.2	1832.2	1832.2
		-19.50	1881.4	1881.4	1881.4
		-20.00	1930.5	1930.5	1930.5
		-20.50	1979.5	1979.5	1979.5
		-21.00	2028.3	2028.3	2028.3
		-21.50	2077.1	2077.1	2077.1
		-22.00	2125.8	2125.8	2125.8
		-22.50	2174.3	2174.3	2174.3
		-23.00	2222.8	2222.8	2222.8

Project : ZWO380 Funderingen
Onderdeel : RLL-TBG380

Alle niveaus/hoogtes/peilmaten zijn t.o.v.: N.A.P.

sondering	maaiveld niveau	paalpunt niveau	Bezwijkdraagvermogen $R_{t;cal}$ [kN]	Rekenwaarden $R_{t;d}$ [kN]	$R_{t;netto;d}$ [kN]
19-1008_6	11.00	-23.50	2271.2	2271.2	2271.2
166.S01	3.45	-6.00	287.5	287.5	287.5
		-6.50	342.8	342.8	342.8
		-7.00	397.4	397.4	397.4
		-7.50	451.4	451.4	451.4
		-8.00	504.8	504.8	504.8
		-8.50	557.3	557.3	557.3
		-9.00	609.3	609.3	609.3
		-9.50	660.1	660.1	660.1
		-10.00	711.7	711.7	711.7
		-10.50	762.9	762.9	762.9
		-11.00	813.7	813.7	813.7
		-11.50	864.2	864.2	864.2
		-12.00	911.0	911.0	911.0
		-12.50	950.3	950.3	950.3
		-13.00	987.2	987.2	987.2
		-13.50	1024.3	1024.3	1024.3
		-14.00	1067.1	1067.1	1067.1
		-14.50	1116.2	1116.2	1116.2
		-15.00	1165.4	1165.4	1165.4
		-15.50	1214.4	1214.4	1214.4
		-16.00	1263.1	1263.1	1263.1
		-16.50	1311.7	1311.7	1311.7
		-17.00	1360.0	1360.0	1360.0
		-17.50	1408.2	1408.2	1408.2
		-18.00	1456.3	1456.3	1456.3
		-18.50	1504.1	1504.1	1504.1
		-19.00	1551.9	1551.9	1551.9
		-19.50	1599.5	1599.5	1599.5
		-20.00	1646.9	1646.9	1646.9
		-20.50	1694.3	1694.3	1694.3
		-21.00	1741.5	1741.5	1741.5
		-21.50	1788.6	1788.6	1788.6
		-22.00	1835.6	1835.6	1835.6
		-22.50	1882.6	1882.6	1882.6
19-1008_11	0.62	-6.00	199.4	199.4	199.4
		-6.50	205.0	205.0	205.0
		-7.00	211.6	211.6	211.6
		-7.50	229.1	229.1	229.1
		-8.00	252.6	252.6	252.6
		-8.50	274.0	274.0	274.0
		-9.00	291.0	291.0	291.0
		-9.50	307.2	307.2	307.2
		-10.00	324.0	324.0	324.0
		-10.50	343.7	343.7	343.7
		-11.00	366.5	366.5	366.5
		-11.50	393.4	393.4	393.4
		-12.00	428.0	428.0	428.0
		-12.50	442.7	442.7	442.7
		-13.00	482.5	482.5	482.5
		-13.50	527.8	527.8	527.8
		-14.00	573.5	573.5	573.5
		-14.50	619.5	619.5	619.5
		-15.00	665.1	665.1	665.1
		-15.50	707.8	707.8	707.8
		-16.00	743.9	743.9	743.9
		-16.50	785.8	785.8	785.8
		-17.00	826.3	826.3	826.3
		-17.50	864.4	864.4	864.4
		-18.00	911.7	911.7	911.7
		-18.50	963.4	963.4	963.4
		-19.00	1014.7	1014.7	1014.7
		-19.50	1065.8	1065.8	1065.8
		-20.00	1116.6	1116.6	1116.6
		-20.50	1167.2	1167.2	1167.2
		-21.00	1217.5	1217.5	1217.5
		-21.50	1264.9	1264.9	1264.9
		-22.00	1314.9	1314.9	1314.9
		-22.50	1364.6	1364.6	1364.6
		-23.00	1410.0	1410.0	1410.0
		-23.50	1440.4	1440.4	1440.4
		-24.00	1479.2	1479.2	1479.2
		-24.50	1522.7	1522.7	1522.7
		-25.00	1564.3	1564.3	1564.3
		-25.50	1599.4	1599.4	1599.4
		-26.00	1648.9	1648.9	1648.9
		-26.50	1697.7	1697.7	1697.7
		-27.00	1746.3	1746.3	1746.3
		-27.50	1794.7	1794.7	1794.7
		-28.00	1843.1	1843.1	1843.1
		-28.50	1891.3	1891.3	1891.3
		-29.00	1939.3	1939.3	1939.3
		-29.50	1987.3	1987.3	1987.3
		-30.00	2035.2	2035.2	2035.2
19-1008_12	3.57	-6.00	499.0	499.0	499.0
		-6.50	539.6	539.6	539.6
		-7.00	589.1	589.1	589.1
		-7.50	639.5	639.5	639.5
		-8.00	689.2	689.2	689.2
		-8.50	715.4	715.4	715.4
		-9.00	725.8	725.8	725.8
		-9.50	733.8	733.8	733.8
		-10.00	748.2	748.2	748.2
		-10.50	775.7	775.7	775.7

Project : ZWO380 Funderingen
Onderdeel : RLL-TBG380

Alle niveaus/hoogtes/peilmaten zijn t.o.v.: N.A.P.

sondering	maaiveld niveau	paalpunt niveau	Bezwijkdraagvermogen $R_{t;cal}$ [kN]	Rekenwaarden $R_{t;d}$ [kN]	$R_{t;netto;d}$ [kN]
19-1008_12	3.57	-11.00	797.3	797.3	797.3
		-11.50	802.8	802.8	802.8
		-12.00	823.1	823.1	823.1
		-12.50	831.5	831.5	831.5
		-13.00	838.4	838.4	838.4
		-13.50	846.6	846.6	846.6
		-14.00	864.4	864.4	864.4
		-14.50	887.2	887.2	887.2
		-15.00	903.6	903.6	903.6
		-15.50	916.9	916.9	916.9
		-16.00	937.6	937.6	937.6
		-16.50	965.4	965.4	965.4
		-17.00	988.7	988.7	988.7
		-17.50	1022.7	1022.7	1022.7
		-18.00	1049.4	1049.4	1049.4
		-18.50	1109.0	1109.0	1109.0
		-19.00	1163.6	1163.6	1163.6
		-19.50	1208.8	1208.8	1208.8
		-20.00	1244.6	1244.6	1244.6
		-20.50	1284.7	1284.7	1284.7
		-21.00	1322.3	1322.3	1322.3
		-21.50	1367.5	1367.5	1367.5
		-22.00	1416.2	1416.2	1416.2
		-22.50	1464.6	1464.6	1464.6
		-23.00	1509.0	1509.0	1509.0
		-23.50	1551.7	1551.7	1551.7
		-24.00	1597.1	1597.1	1597.1
		-24.50	1645.7	1645.7	1645.7
		-25.00	1694.2	1694.2	1694.2
		-25.50	1767.2	1767.2	1767.2
		-26.00	1846.9	1846.9	1846.9
		-26.50	1893.5	1893.5	1893.5
		-27.00	1937.2	1937.2	1937.2
		-27.50	1987.0	1987.0	1987.0
		-28.00	2023.2	2023.2	2023.2
		-28.50	2059.7	2059.7	2059.7
		-29.00	2107.0	2107.0	2107.0
		-29.50	2154.1	2154.1	2154.1
		-30.00	2200.4	2200.4	2200.4
19-1008_17	0.20	-6.00	82.3	82.3	82.3
		-6.50	89.4	89.4	89.4
		-7.00	121.1	121.1	121.1
		-7.50	135.9	135.9	135.9
		-8.00	142.8	142.8	142.8
		-8.50	150.8	150.8	150.8
		-9.00	164.9	164.9	164.9
		-9.50	175.7	175.7	175.7
		-10.00	218.7	218.7	218.7
		-10.50	240.9	240.9	240.9
		-11.00	277.1	277.1	277.1
		-11.50	332.7	332.7	332.7
		-12.00	387.6	387.6	387.6
		-12.50	441.8	441.8	441.8
		-13.00	495.5	495.5	495.5
		-13.50	548.6	548.6	548.6
		-14.00	601.2	601.2	601.2
		-14.50	653.3	653.3	653.3
		-15.00	701.2	701.2	701.2
		-15.50	752.5	752.5	752.5
		-16.00	803.4	803.4	803.4
		-16.50	853.9	853.9	853.9
		-17.00	902.2	902.2	902.2
		-17.50	960.2	960.2	960.2
		-18.00	1032.5	1032.5	1032.5
		-18.50	1081.4	1081.4	1081.4
		-19.00	1116.7	1116.7	1116.7
		-19.50	1156.1	1156.1	1156.1
		-20.00	1196.0	1196.0	1196.0
		-20.50	1237.9	1237.9	1237.9
		-21.00	1281.0	1281.0	1281.0
		-21.50	1338.7	1338.7	1338.7
		-22.00	1380.7	1380.7	1380.7
		-22.50	1428.7	1428.7	1428.7
		-23.00	1476.5	1476.5	1476.5
		-23.50	1524.2	1524.2	1524.2
		-24.00	1568.5	1568.5	1568.5
		-24.50	1606.8	1606.8	1606.8
		-25.00	1636.9	1636.9	1636.9
		-25.50	1666.2	1666.2	1666.2
		-26.00	1694.9	1694.9	1694.9
		-26.50	1723.4	1723.4	1723.4
		-27.00	1757.1	1757.1	1757.1
		-27.50	1793.0	1793.0	1793.0
		-28.00	1829.6	1829.6	1829.6
		-28.50	1867.8	1867.8	1867.8
		-29.00	1910.5	1910.5	1910.5
		-29.50	1926.0	1926.0	1926.0
		-30.00	1958.6	1958.6	1958.6
19-1008_20	-0.03	-6.00	105.0	105.0	105.0
		-6.50	124.7	124.7	124.7
		-7.00	160.3	160.3	160.3
		-7.50	191.1	191.1	191.1
		-8.00	215.1	215.1	215.1
		-8.50	238.5	238.5	238.5

Project : ZWO380 Funderingen
Onderdeel : RLL-TBG380

Alle niveaus/hoogtes/peilmaten zijn t.o.v.: N.A.P.

sondering	maaiveld niveau	paalpunt niveau	Bezwijkdraagvermogen $R_{t;cal}$ [kN]	Rekenwaarden $R_{t;d}$ [kN]	$R_{t;netto;d}$ [kN]
19-1008_20	-0.03	-9.00	270.1	270.1	270.1
		-9.50	295.8	295.8	295.8
		-10.00	326.4	326.4	326.4
		-10.50	335.4	335.4	335.4
		-11.00	374.0	374.0	374.0
		-11.50	415.0	415.0	415.0
		-12.00	425.0	425.0	425.0
		-12.50	436.3	436.3	436.3
		-13.00	456.4	456.4	456.4
		-13.50	466.4	466.4	466.4
		-14.00	484.4	484.4	484.4
		-14.50	516.4	516.4	516.4
		-15.00	552.7	552.7	552.7
		-15.50	573.8	573.8	573.8
		-16.00	590.1	590.1	590.1
		-16.50	612.4	612.4	612.4
		-17.00	627.5	627.5	627.5
		-17.50	645.5	645.5	645.5
		-18.00	678.0	678.0	678.0
		-18.50	715.7	715.7	715.7
		-19.00	744.3	744.3	744.3
		-19.50	782.3	782.3	782.3
		-20.00	817.9	817.9	817.9
		-20.50	861.6	861.6	861.6
		-21.00	928.1	928.1	928.1
		-21.50	957.1	957.1	957.1
		-22.00	976.8	976.8	976.8
		-22.50	998.2	998.2	998.2
		-23.00	1015.7	1015.7	1015.7
		-23.50	1044.6	1044.6	1044.6
		-24.00	1075.8	1075.8	1075.8
		-24.50	1108.4	1108.4	1108.4
		-25.00	1148.1	1148.1	1148.1
		-25.50	1184.2	1184.2	1184.2
		-26.00	1219.4	1219.4	1219.4
		-26.50	1251.3	1251.3	1251.3
		-27.00	1289.9	1289.9	1289.9
		-27.50	1323.9	1323.9	1323.9
		-28.00	1354.6	1354.6	1354.6
		-28.50	1390.4	1390.4	1390.4
		-29.00	1423.6	1423.6	1423.6
		-29.50	1450.6	1450.6	1450.6
		-30.00	1484.2	1484.2	1484.2
19-1008_21	1.78	-6.00	190.7	190.7	190.7
		-6.50	227.3	227.3	227.3
		-7.00	263.4	263.4	263.4
		-7.50	307.1	307.1	307.1
		-8.00	347.7	347.7	347.7
		-8.50	388.5	388.5	388.5
		-9.00	410.2	410.2	410.2
		-9.50	427.0	427.0	427.0
		-10.00	451.6	451.6	451.6
		-10.50	473.3	473.3	473.3
		-11.00	498.0	498.0	498.0
		-11.50	528.6	528.6	528.6
		-12.00	562.7	562.7	562.7
		-12.50	591.3	591.3	591.3
		-13.00	625.5	625.5	625.5
		-13.50	658.7	658.7	658.7
		-14.00	707.1	707.1	707.1
		-14.50	755.2	755.2	755.2
		-15.00	793.8	793.8	793.8
		-15.50	826.3	826.3	826.3
		-16.00	884.9	884.9	884.9
		-16.50	943.7	943.7	943.7
		-17.00	954.8	954.8	954.8
		-17.50	967.4	967.4	967.4
		-18.00	990.1	990.1	990.1
		-18.50	1054.1	1054.1	1054.1
		-19.00	1098.3	1098.3	1098.3
		-19.50	1110.8	1110.8	1110.8
		-20.00	1121.0	1121.0	1121.0
		-20.50	1131.2	1131.2	1131.2
		-21.00	1141.4	1141.4	1141.4
		-21.50	1153.4	1153.4	1153.4
		-22.00	1167.0	1167.0	1167.0
		-22.50	1183.4	1183.4	1183.4
		-23.00	1199.6	1199.6	1199.6
		-23.50	1215.2	1215.2	1215.2
		-24.00	1233.4	1233.4	1233.4
		-24.50	1252.2	1252.2	1252.2
		-25.00	1271.8	1271.8	1271.8
		-25.50	1292.3	1292.3	1292.3
		-26.00	1312.0	1312.0	1312.0
		-26.50	1330.0	1330.0	1330.0
		-27.00	1348.4	1348.4	1348.4
		-27.50	1366.5	1366.5	1366.5
		-28.00	1385.9	1385.9	1385.9
		-28.50	1405.9	1405.9	1405.9
		-29.00	1425.3	1425.3	1425.3
		-29.50	1445.7	1445.7	1445.7
		-30.00	1467.3	1467.3	1467.3

Project : ZWO380 Funderingen
Onderdeel : RLL-TBG380

Alle niveaus/hoogtes/peilmaten zijn t.o.v.: N.A.P.

sondering	maaiveld niveau	paalpunt niveau	Bezwijkdraagvermogen $R_{t;cal}$ [kN]	Rekenwaarden $R_{t;d}$ [kN]	$R_{t;netto;d}$ [kN]
251.S01	-1.05	-6.00	220.6	220.6	220.6
		-6.50	257.5	257.5	257.5
		-7.00	299.7	299.7	299.7
		-7.50	340.2	340.2	340.2
		-8.00	380.3	380.3	380.3
		-8.50	410.1	410.1	410.1
		-9.00	415.9	415.9	415.9
		-9.50	440.2	440.2	440.2
		-10.00	474.6	474.6	474.6
		-10.50	514.6	514.6	514.6
		-11.00	545.3	545.3	545.3
		-11.50	564.5	564.5	564.5
		-12.00	583.7	583.7	583.7
		-12.50	615.3	615.3	615.3
		-13.00	652.3	652.3	652.3
		-13.50	687.2	687.2	687.2
		-14.00	734.6	734.6	734.6
		-14.50	781.5	781.5	781.5
		-15.00	837.2	837.2	837.2
		-15.50	865.0	865.0	865.0
		-16.00	910.1	910.1	910.1
		-16.50	958.5	958.5	958.5
		-17.00	1006.2	1006.2	1006.2
		-17.50	1051.6	1051.6	1051.6
		-18.00	1094.4	1094.4	1094.4
		-18.50	1147.8	1147.8	1147.8
		-19.00	1184.7	1184.7	1184.7
		-19.50	1219.0	1219.0	1219.0
		-20.00	1256.3	1256.3	1256.3
		-20.50	1317.1	1317.1	1317.1
		-21.00	1386.2	1386.2	1386.2
		-21.50	1415.8	1415.8	1415.8
		-22.00	1426.1	1426.1	1426.1
		-22.50	1439.3	1439.3	1439.3
		-23.00	1459.5	1459.5	1459.5
		-23.50	1485.4	1485.4	1485.4
		-24.00	1519.8	1519.8	1519.8
		-24.50	1551.3	1551.3	1551.3
		-25.00	1580.1	1580.1	1580.1
		-25.50	1630.4	1630.4	1630.4
		-26.00	1703.5	1703.5	1703.5
		-26.50	1769.3	1769.3	1769.3
		-27.00	1816.0	1816.0	1816.0
		-27.50	1862.7	1862.7	1862.7
		-28.00	1909.3	1909.3	1909.3
		-28.50	1955.9	1955.9	1955.9
		-29.00	2002.3	2002.3	2002.3
		-29.50	2034.4	2034.4	2034.4
		-30.00	2071.8	2071.8	2071.8
19-1008_29	0.79	-6.00	330.9	330.9	330.9
		-6.50	368.6	368.6	368.6
		-7.00	411.5	411.5	411.5
		-7.50	455.7	455.7	455.7
		-8.00	502.5	502.5	502.5
		-8.50	548.6	548.6	548.6
		-9.00	588.7	588.7	588.7
		-9.50	626.1	626.1	626.1
		-10.00	661.0	661.0	661.0
		-10.50	701.2	701.2	701.2
		-11.00	741.0	741.0	741.0
		-11.50	792.3	792.3	792.3
		-12.00	818.5	818.5	818.5
		-12.50	868.6	868.6	868.6
		-13.00	905.2	905.2	905.2
		-13.50	924.0	924.0	924.0
		-14.00	945.9	945.9	945.9
		-14.50	961.5	961.5	961.5
		-15.00	975.2	975.2	975.2
		-15.50	991.2	991.2	991.2
		-16.00	1026.9	1026.9	1026.9
		-16.50	1042.2	1042.2	1042.2
		-17.00	1057.5	1057.5	1057.5
		-17.50	1079.0	1079.0	1079.0
		-18.00	1123.2	1123.2	1123.2
		-18.50	1171.8	1171.8	1171.8
		-19.00	1220.1	1220.1	1220.1
		-19.50	1263.0	1263.0	1263.0
		-20.00	1311.1	1311.1	1311.1
		-20.50	1359.1	1359.1	1359.1
		-21.00	1406.9	1406.9	1406.9
		-21.50	1454.6	1454.6	1454.6
		-22.00	1502.1	1502.1	1502.1
		-22.50	1562.0	1562.0	1562.0
		-23.00	1615.2	1615.2	1615.2
		-23.50	1651.8	1651.8	1651.8
		-24.00	1694.0	1694.0	1694.0
		-24.50	1733.5	1733.5	1733.5
		-25.00	1779.5	1779.5	1779.5
		-25.50	1808.7	1808.7	1808.7
		-26.00	1842.0	1842.0	1842.0
		-26.50	1873.1	1873.1	1873.1
		-27.00	1911.9	1911.9	1911.9
		-27.50	1941.5	1941.5	1941.5
		-28.00	1970.5	1970.5	1970.5
		-28.50	1999.2	1999.2	1999.2

Project : ZWO380 Funderingen
Onderdeel : RLL-TBG380

Alle niveaus/hoogtes/peilmaten zijn t.o.v.: N.A.P.

sondering	maaiveld niveau	paalpunt niveau	Bezwijkdraagvermogen $R_{t;cal}$ [kN]	Rekenwaarden $R_{t;d}$ [kN]	$R_{t;netto;d}$ [kN]
19-1008_29	0.79	-29.00	2030.8	2030.8	2030.8
		-29.50	2079.0	2079.0	2079.0
		-30.00	2111.5	2111.5	2111.5
283.S02	0.17	-6.00	265.5	265.5	265.5
		-6.50	296.3	296.3	296.3
		-7.00	333.0	333.0	333.0
		-7.50	361.9	361.9	361.9
		-8.00	390.4	390.4	390.4
		-8.50	424.4	424.4	424.4
		-9.00	455.8	455.8	455.8
		-9.50	482.6	482.6	482.6
		-10.00	512.4	512.4	512.4
		-10.50	541.2	541.2	541.2
		-11.00	569.3	569.3	569.3
		-11.50	599.4	599.4	599.4
		-12.00	619.2	619.2	619.2
		-12.50	652.4	652.4	652.4
		-13.00	689.0	689.0	689.0
		-13.50	729.5	729.5	729.5
		-14.00	776.8	776.8	776.8
		-14.50	823.7	823.7	823.7
		-15.00	865.7	865.7	865.7
		-15.50	901.7	901.7	901.7
		-16.00	940.8	940.8	940.8
		-16.50	984.2	984.2	984.2
		-17.00	1030.3	1030.3	1030.3
		-17.50	1078.3	1078.3	1078.3
		-18.00	1126.1	1126.1	1126.1
		-18.50	1173.7	1173.7	1173.7
		-19.00	1221.1	1221.1	1221.1
		-19.50	1268.4	1268.4	1268.4
		-20.00	1315.5	1315.5	1315.5
		-20.50	1360.5	1360.5	1360.5
		-21.00	1407.3	1407.3	1407.3
		-21.50	1454.0	1454.0	1454.0
		-22.00	1500.5	1500.5	1500.5
		-22.50	1546.9	1546.9	1546.9
		-23.00	1593.3	1593.3	1593.3
		-23.50	1639.5	1639.5	1639.5
		-24.00	1685.6	1685.6	1685.6
		-24.50	1731.6	1731.6	1731.6
		-25.00	1777.5	1777.5	1777.5
		-25.50	1823.3	1823.3	1823.3
		-26.00	1869.1	1869.1	1869.1
		-26.50	1925.4	1925.4	1925.4
		-27.00	1948.5	1948.5	1948.5
		-27.50	1970.5	1970.5	1970.5
		-28.00	1997.8	1997.8	1997.8
		-28.50	2031.9	2031.9	2031.9
		-29.00	2056.7	2056.7	2056.7
		-29.50	2078.7	2078.7	2078.7
		-30.00	2099.2	2099.2	2099.2
19-1008_35	0.92	-6.00	293.2	293.2	293.2
		-6.50	316.9	316.9	316.9
		-7.00	336.6	336.6	336.6
		-7.50	356.7	356.7	356.7
		-8.00	383.9	383.9	383.9
		-8.50	411.3	411.3	411.3
		-9.00	432.6	432.6	432.6
		-9.50	454.0	454.0	454.0
		-10.00	479.5	479.5	479.5
		-10.50	503.4	503.4	503.4
		-11.00	543.3	543.3	543.3
		-11.50	577.3	577.3	577.3
		-12.00	601.2	601.2	601.2
		-12.50	622.1	622.1	622.1
		-13.00	649.5	649.5	649.5
		-13.50	681.4	681.4	681.4
		-14.00	714.5	714.5	714.5
		-14.50	754.6	754.6	754.6
		-15.00	794.6	794.6	794.6
		-15.50	834.9	834.9	834.9
		-16.00	876.0	876.0	876.0
		-16.50	917.0	917.0	917.0
		-17.00	952.4	952.4	952.4
		-17.50	982.5	982.5	982.5
		-18.00	1022.1	1022.1	1022.1
		-18.50	1057.9	1057.9	1057.9
		-19.00	1097.8	1097.8	1097.8
		-19.50	1137.3	1137.3	1137.3
		-20.00	1177.8	1177.8	1177.8
		-20.50	1227.0	1227.0	1227.0
		-21.00	1275.9	1275.9	1275.9
		-21.50	1324.6	1324.6	1324.6
		-22.00	1372.1	1372.1	1372.1
		-22.50	1420.4	1420.4	1420.4
		-23.00	1468.6	1468.6	1468.6
		-23.50	1516.6	1516.6	1516.6
		-24.00	1564.5	1564.5	1564.5
		-24.50	1611.4	1611.4	1611.4
		-25.00	1656.5	1656.5	1656.5
		-25.50	1713.2	1713.2	1713.2
		-26.00	1772.7	1772.7	1772.7
		-26.50	1814.2	1814.2	1814.2

Project : ZWO380 Funderingen
Onderdeel : RLL-TBG380

Alle niveaus/hoogtes/peilmaten zijn t.o.v.: N.A.P.

sondering	maaiveld niveau	paalpunt niveau	Bezwijkdraagvermogen $R_{t;cal}$ [kN]	Rekenwaarden $R_{t;d}$ [kN]	$R_{t;netto;d}$ [kN]
19-1008_35	0.92	-27.00	1861.3	1861.3	1861.3
		-27.50	1908.2	1908.2	1908.2
		-28.00	1955.1	1955.1	1955.1
		-28.50	2001.8	2001.8	2001.8
		-29.00	2048.5	2048.5	2048.5
		-29.50	2095.1	2095.1	2095.1
		-30.00	2141.6	2141.6	2141.6
312.S03	3.78	-6.00	355.3	355.3	355.3
		-6.50	396.5	396.5	396.5
		-7.00	446.5	446.5	446.5
		-7.50	479.9	479.9	479.9
		-8.00	514.0	514.0	514.0
		-8.50	566.1	566.1	566.1
		-9.00	617.7	617.7	617.7
		-9.50	668.9	668.9	668.9
		-10.00	719.6	719.6	719.6
		-10.50	769.8	769.8	769.8
		-11.00	817.3	817.3	817.3
		-11.50	867.0	867.0	867.0
		-12.00	916.5	916.5	916.5
		-12.50	965.7	965.7	965.7
		-13.00	1013.3	1013.3	1013.3
		-13.50	1048.5	1048.5	1048.5
		-14.00	1087.8	1087.8	1087.8
		-14.50	1127.0	1127.0	1127.0
		-15.00	1164.9	1164.9	1164.9
		-15.50	1204.0	1204.0	1204.0
		-16.00	1242.0	1242.0	1242.0
		-16.50	1280.9	1280.9	1280.9
		-17.00	1317.0	1317.0	1317.0
		-17.50	1345.6	1345.6	1345.6
		-18.00	1376.1	1376.1	1376.1
		-18.50	1414.0	1414.0	1414.0
		-19.00	1454.0	1454.0	1454.0
		-19.50	1495.1	1495.1	1495.1
		-20.00	1534.8	1534.8	1534.8
		-20.50	1575.5	1575.5	1575.5
		-21.00	1613.6	1613.6	1613.6
		-21.50	1649.1	1649.1	1649.1
		-22.00	1689.0	1689.0	1689.0
		-22.50	1735.5	1735.5	1735.5
		-23.00	1782.1	1782.1	1782.1
		-23.50	1827.3	1827.3	1827.3
		-24.00	1868.9	1868.9	1868.9
		-24.50	1916.1	1916.1	1916.1
		-25.00	1963.1	1963.1	1963.1
		-25.50	2007.4	2007.4	2007.4
		-26.00	2047.0	2047.0	2047.0
		-26.50	2092.9	2092.9	2092.9
		-27.00	2138.7	2138.7	2138.7
		-27.50	2169.9	2169.9	2169.9
		-28.00	2196.0	2196.0	2196.0
		-28.50	2216.4	2216.4	2216.4
		-29.00	2236.4	2236.4	2236.4
		-29.50	2259.5	2259.5	2259.5
		-30.00	2290.4	2290.4	2290.4
19-1008_43	9.88	-6.00	283.7	283.7	283.7
		-6.50	308.1	308.1	308.1
		-7.00	353.0	353.0	353.0
		-7.50	395.9	395.9	395.9
		-8.00	440.2	440.2	440.2
		-8.50	481.4	481.4	481.4
		-9.00	523.3	523.3	523.3
		-9.50	566.0	566.0	566.0
		-10.00	604.9	604.9	604.9
		-10.50	651.3	651.3	651.3
		-11.00	706.2	706.2	706.2
		-11.50	760.8	760.8	760.8
		-12.00	815.0	815.0	815.0
		-12.50	868.6	868.6	868.6
		-13.00	908.6	908.6	908.6
		-13.50	943.2	943.2	943.2
		-14.00	983.2	983.2	983.2
		-14.50	1026.1	1026.1	1026.1
		-15.00	1063.7	1063.7	1063.7
		-15.50	1110.0	1110.0	1110.0
		-16.00	1160.7	1160.7	1160.7
		-16.50	1213.0	1213.0	1213.0
		-17.00	1265.2	1265.2	1265.2
		-17.50	1315.3	1315.3	1315.3
		-18.00	1360.6	1360.6	1360.6
		-18.50	1401.2	1401.2	1401.2
		-19.00	1445.9	1445.9	1445.9
		-19.50	1484.7	1484.7	1484.7
		-20.00	1524.7	1524.7	1524.7
		-20.50	1574.8	1574.8	1574.8
		-21.00	1632.9	1632.9	1632.9
		-21.50	1677.4	1677.4	1677.4
		-22.00	1723.1	1723.1	1723.1
		-22.50	1773.6	1773.6	1773.6
		-23.00	1824.0	1824.0	1824.0
		-23.50	1874.2	1874.2	1874.2
		-24.00	1924.3	1924.3	1924.3
		-24.50	1974.3	1974.3	1974.3

Project : ZWO380 Funderingen
Onderdeel : RLL-TBG380

Alle niveaus/hoogtes/peilmaten zijn t.o.v.: N.A.P.

sondering	maaiveld niveau	paalpunt niveau	Bezwijkdraagvermogen $R_{t;cal}$ [kN]	Rekenwaarden $R_{t;d}$ [kN]	$R_{t;netto;d}$ [kN]
19-1008_43	9.88	-25.00	2016.6	2016.6	2016.6
328.S02	10.17	-6.00	467.3	467.3	467.3
		-6.50	512.0	512.0	512.0
		-7.00	543.1	543.1	543.1
		-7.50	581.9	581.9	581.9
		-8.00	624.3	624.3	624.3
		-8.50	667.6	667.6	667.6
		-9.00	709.7	709.7	709.7
		-9.50	745.8	745.8	745.8
		-10.00	786.4	786.4	786.4
		-10.50	828.6	828.6	828.6
		-11.00	876.5	876.5	876.5
		-11.50	925.5	925.5	925.5
		-12.00	972.7	972.7	972.7
		-12.50	1015.3	1015.3	1015.3
		-13.00	1056.8	1056.8	1056.8
		-13.50	1098.7	1098.7	1098.7
		-14.00	1140.8	1140.8	1140.8
		-14.50	1181.6	1181.6	1181.6
		-15.00	1223.9	1223.9	1223.9
		-15.50	1265.5	1265.5	1265.5
		-16.00	1313.8	1313.8	1313.8
		-16.50	1357.8	1357.8	1357.8
		-17.00	1409.1	1409.1	1409.1
		-17.50	1460.1	1460.1	1460.1
		-18.00	1523.4	1523.4	1523.4
		-18.50	1566.0	1566.0	1566.0
		-19.00	1611.6	1611.6	1611.6
		-19.50	1660.0	1660.0	1660.0
		-20.00	1710.3	1710.3	1710.3
		-20.50	1760.4	1760.4	1760.4
		-21.00	1810.3	1810.3	1810.3
		-21.50	1860.2	1860.2	1860.2
		-22.00	1909.8	1909.8	1909.8
		-22.50	1959.4	1959.4	1959.4
		-23.00	2008.8	2008.8	2008.8
		-23.50	2058.0	2058.0	2058.0
		-24.00	2107.2	2107.2	2107.2
		-24.50	2148.9	2148.9	2148.9
		-25.00	2188.4	2188.4	2188.4
		-25.50	2227.4	2227.4	2227.4
		-26.00	2266.8	2266.8	2266.8
		-26.50	2308.5	2308.5	2308.5
		-27.00	2357.3	2357.3	2357.3
		-27.50	2405.9	2405.9	2405.9
		-28.00	2447.1	2447.1	2447.1
		-28.50	2483.1	2483.1	2483.1

REKENGEGEVENS SI Ø610/850 trek

Berekening : Ontwerpend
Rekenmethode : Trekpalen volgens NEN-EN 1997-1, art. 7.6.3
Sondering(en) : 19-1008_1, 19-1008_6, 166.S01, 19-1008_11, 19-1008_12
: 19-1008_17, 19-1008_20, 19-1008_21, 251.S01, 19-1008_29
: 283.S02, 19-1008_35, 312.S03, 19-1008_43, 328.S02
Let op: trekcapaciteit t.p.v. negatief kleeftraject is meegerekend.

Stijf bouwwerk : JA
Paalgroep : JA
Aantal sonderingen : 15
Factor $\xi_{3\ (n=1)}$: 1.26 (handmatig)
Factor $\xi_{3\ (gem)}$: 1.26 (handmatig)
Factor $\xi_{4\ (min)}$: 1.26 (handmatig)
Weerstandsfactor γ_R : 1.35
$\gamma_{m;var;qc}$: 1.25
UGT draagvermogen zonder negatieve kleef : NEE

Paal : SI Ø610/850
Niveau paalkop [m] : N.A.P. 0.00
Opp. paalgebied [m²] : 20.00 Bovenbel. [kN/m²] : 0.00
Rekenen op verdichting: NEE (factor f1 > 1.00)

PAALPUNTNIVEAUS SI Ø610/850

Alle niveaus/hoogtes/peilmaten zijn t.o.v. : N.A.P.

Nr	Beginniveau [m]	Eindniveau [m]	Stapgrootte [m]
1	-7.00	-30.00	0.50

Project : ZWO380 Funderingen
Onderdeel : RLL-TBG380

RESULTATEN SI Ø610/850 trek (n=1)

Alle niveaus/hoogtes/peilmaten zijn t.o.v.: N.A.P.

Sondering	19-1008_1	19-1008_6	166.S01	19-1008_11	19-1008_12	19-1008_17
Niveau [m]	$F_{netto;t}$ [kN]	$F_{netto;t}$ [kN]	$F_{netto;t}$ [kN]	$F_{netto;t}$ [kN]	$F_{netto;t}$ [kN]	$F_{netto;t}$ [kN]
-7.00	84	**740**	491	267	716	157
-7.50	90	**806**	557	290	776	175
-8.00	108	**872**	621	319	835	184
-8.50	129	**937**	685	345	867	195
-9.00	137	**1001**	747	366	880	212
-9.50	170	**1065**	808	386	891	226
-10.00	199	**1129**	870	407	909	280
-10.50	233	**1192**	931	432	943	307
-11.00	257	**1255**	992	460	971	352
-11.50	296	**1317**	1052	493	978	419
-12.00	346	**1379**	1107	535	1003	486
-12.50	380	**1441**	1154	554	1014	552
-13.00	430	**1502**	1198	603	1023	617
-13.50	477	**1563**	1242	658	1034	681
-14.00	519	**1624**	1293	713	1056	744
-14.50	572	**1684**	1351	769	1085	807
-15.00	620	**1744**	1410	824	1106	864
-15.50	672	**1804**	1467	876	1123	925
-16.00	717	**1864**	1525	919	1149	986
-16.50	765	**1924**	1582	970	1184	1046
-17.00	814	**1983**	1639	1019	1213	1104
-17.50	871	**2042**	1696	1065	1256	1175
-18.00	933	**2101**	1752	1121	1289	1265
-18.50	995	**2155**	1809	1183	1363	1326
-19.00	1057	**2214**	1865	1245	1431	1368
-19.50	1118	**2272**	1921	1306	1486	1414
-20.00	1204	**2330**	1976	1366	1529	1461
-20.50	1300	**2388**	2032	1426	1576	1511
-21.00	1399	**2445**	2087	1486	1621	1561
-21.50	1461	**2503**	2142	1543	1674	1632
-22.00	1518	**2560**	2197	1602	1732	1682
-22.50	1575	**2618**	2252	1661	1789	1738
-23.00	1631	**2675**	0	1715	1841	1794
-23.50	1688	**2732**	0	1751	1892	1850
-24.00	1744	0	0	1797	1945	1902
-24.50	1801	0	0	1849	2002	1947
-25.00	1857	0	0	1898	2059	1982
-25.50	1913	0	0	1940	2148	2017
-26.00	1968	0	0	1998	2248	2050
-26.50	2024	0	0	2056	2306	2084
-27.00	2079	0	0	2113	2360	2124
-27.50	2135	0	0	2170	2422	2166
-28.00	2190	0	0	2227	2467	2209
-28.50	2245	0	0	2284	2510	2254
-29.00	2300	0	0	2340	2565	2305
-29.50	2355	0	0	2397	2620	2324
-30.00	2410	0	0	2453	2674	2363

Project : ZWO380 Funderingen
Onderdeel : RLL-TBG380

RESULTATEN SI Ø610/850 trek (n=1)

Alle niveaus/hoogtes/peilmaten zijn t.o.v.: N.A.P.

Sondering	19-1008_20	19-1008_21	251.S01	19-1008_29	283.S02	19-1008_35
Niveau [m]	$F_{netto;t}$ [kN]	$F_{netto;t}$ [kN]	$F_{netto;t}$ [kN]	$F_{netto;t}$ [kN]	$F_{netto;t}$ [kN]	$F_{netto;t}$ [kN]
-7.00	204	329	371	504	409	414
-7.50	242	382	420	557	444	439
-8.00	272	432	469	613	478	472
-8.50	301	482	506	668	519	505
-9.00	339	508	514	716	557	531
-9.50	371	529	544	760	589	557
-10.00	409	559	585	802	625	588
-10.50	420	586	632	850	659	617
-11.00	468	616	669	897	693	665
-11.50	518	653	692	960	729	706
-12.00	531	694	715	993	753	735
-12.50	545	730	753	1054	793	761
-13.00	570	773	797	1098	837	794
-13.50	583	813	839	1121	885	832
-14.00	606	871	895	1149	941	872
-14.50	646	929	951	1169	997	920
-15.00	691	976	1019	1186	1046	968
-15.50	718	1017	1053	1206	1089	1017
-16.00	739	1090	1107	1250	1135	1066
-16.50	767	1163	1164	1269	1187	1115
-17.00	786	1177	1220	1289	1241	1157
-17.50	809	1193	1273	1316	1298	1193
-18.00	849	1222	1323	1369	1354	1240
-18.50	896	1302	1388	1426	1410	1283
-19.00	932	1357	1434	1483	1466	1330
-19.50	980	1373	1476	1536	1521	1377
-20.00	1023	1386	1519	1592	1576	1425
-20.50	1076	1399	1594	1649	1629	1484
-21.00	1159	1412	1680	1705	1684	1541
-21.50	1195	1427	1717	1761	1738	1599
-22.00	1220	1445	1730	1816	1793	1655
-22.50	1247	1465	1747	1888	1847	1712
-23.00	1269	1486	1772	1954	1901	1769
-23.50	1304	1506	1805	2000	1955	1825
-24.00	1341	1529	1848	2053	2009	1882
-24.50	1381	1552	1887	2101	2062	1937
-25.00	1428	1577	1924	2158	2116	1990
-25.50	1471	1603	1986	2195	2169	2058
-26.00	1513	1628	2077	2236	2223	2132
-26.50	1552	1651	2157	2275	2291	2181
-27.00	1598	1674	2212	2324	2320	2236
-27.50	1638	1697	2266	2361	2347	2291
-28.00	1675	1721	2320	2397	2381	2345
-28.50	1718	1746	2374	2433	2424	2400
-29.00	1758	1771	2428	2473	2455	2455
-29.50	1790	1797	2465	2533	2483	2509
-30.00	1830	1824	2509	2571	2509	2563

Project : ZWO380 Funderingen
Onderdeel : RLL-TBG380

RESULTATEN SI Ø610/850 trek (n=1)

Alle niveaus/hoogtes/peilmaten zijn t.o.v.: N.A.P.

Sondering	312.S03	19-1008_43	328.S02
Niveau [m]	$F_{netto;t}$ [kN]	$F_{netto;t}$ [kN]	$F_{netto;t}$ [kN]
-7.00	550	440	671
-7.50	591	493	719
-8.00	633	547	770
-8.50	696	598	823
-9.00	758	649	874
-9.50	819	702	918
-10.00	879	749	967
-10.50	939	806	1019
-11.00	995	873	1077
-11.50	1054	939	1136
-12.00	1113	1005	1193
-12.50	1171	1070	1244
-13.00	1227	1118	1294
-13.50	1269	1160	1344
-14.00	1315	1209	1395
-14.50	1362	1260	1444
-15.00	1406	1306	1495
-15.50	1453	1362	1545
-16.00	1497	1423	1605
-16.50	1543	1486	1658
-17.00	1586	1548	1720
-17.50	1620	1608	1781
-18.00	1656	1663	1858
-18.50	1701	1712	1910
-19.00	1748	1767	1965
-19.50	1797	1815	2022
-20.00	1843	1865	2082
-20.50	1893	1927	2142
-21.00	1938	2000	2201
-21.50	1980	2054	2260
-22.00	2027	2109	2319
-22.50	2082	2169	2377
-23.00	2136	2229	2436
-23.50	2189	2288	2494
-24.00	2238	2348	**2552**
-24.50	2294	2407	**2602**
-25.00	2349	2457	**2648**
-25.50	2400	0	**2694**
-26.00	2447	0	**2741**
-26.50	2501	0	**2790**
-27.00	2554	0	**2848**
-27.50	2593	0	**2905**
-28.00	2626	0	**2954**
-28.50	2651	0	**2997**
-29.00	**2677**	0	0
-29.50	**2706**	0	0
-30.00	**2744**	0	0

Project : ZWO380 Funderingen
Onderdeel : RLL-TBG380

SAMENVATTINGSTABEL SI Ø610/850 trek (n=1)

Uitgangspunten
- paal : SI Ø610/850
- paaltype : In de grond gevormde geschroefde paal; groutinjectie
- schachtafmeting : 730 mm

Paalklassefactor α_p : 0.63
Factor α_s (tabel 7.c EC 7.1) : 0.0090 (zandlagen; voor kleilagen zie tabel 7.d)
Correlatiefactor $\xi_{3(n=1)}$: 1.26

Alle niveaus/hoogtes/peilmaten zijn t.o.v.: N.A.P.

sondering	maaiveld niveau	paalpunt niveau	Bezwijkdraagvermogen $R_{t;cal}$ [kN]	Rekenwaarden $R_{c;d}$ [kN]	$R_{t;netto;d}$ [kN]
19-1008_1	2.12	-7.00	84.2	84.2	84.2
		-7.50	89.7	89.7	89.7
		-8.00	108.3	108.3	108.3
		-8.50	129.0	129.0	129.0
		-9.00	136.9	136.9	136.9
		-9.50	169.5	169.5	169.5
		-10.00	198.8	198.8	198.8
		-10.50	232.7	232.7	232.7
		-11.00	256.5	256.5	256.5
		-11.50	296.0	296.0	296.0
		-12.00	346.2	346.2	346.2
		-12.50	380.3	380.3	380.3
		-13.00	429.7	429.7	429.7
		-13.50	477.4	477.4	477.4
		-14.00	518.5	518.5	518.5
		-14.50	571.5	571.5	571.5
		-15.00	620.0	620.0	620.0
		-15.50	672.0	672.0	672.0
		-16.00	716.6	716.6	716.6
		-16.50	765.2	765.2	765.2
		-17.00	814.2	814.2	814.2
		-17.50	870.7	870.7	870.7
		-18.00	933.3	933.3	933.3
		-18.50	995.3	995.3	995.3
		-19.00	1056.8	1056.8	1056.8
		-19.50	1117.8	1117.8	1117.8
		-20.00	1203.7	1203.7	1203.7
		-20.50	1299.7	1299.7	1299.7
		-21.00	1399.2	1399.2	1399.2
		-21.50	1460.5	1460.5	1460.5
		-22.00	1517.7	1517.7	1517.7
		-22.50	1574.7	1574.7	1574.7
		-23.00	1631.4	1631.4	1631.4
		-23.50	1688.0	1688.0	1688.0
		-24.00	1744.4	1744.4	1744.4
		-24.50	1800.6	1800.6	1800.6
		-25.00	1856.6	1856.6	1856.6
		-25.50	1912.5	1912.5	1912.5
		-26.00	1968.2	1968.2	1968.2
		-26.50	2023.9	2023.9	2023.9
		-27.00	2079.3	2079.3	2079.3
		-27.50	2134.7	2134.7	2134.7
		-28.00	2189.9	2189.9	2189.9
		-28.50	2245.1	2245.1	2245.1
		-29.00	2300.1	2300.1	2300.1
		-29.50	2355.0	2355.0	2355.0
		-30.00	2409.8	2409.8	2409.8
19-1008_6	11.00	-7.00	740.0	740.0	740.0
		-7.50	806.2	806.2	806.2
		-8.00	871.8	871.8	871.8
		-8.50	936.8	936.8	936.8
		-9.00	1001.4	1001.4	1001.4
		-9.50	1065.5	1065.5	1065.5
		-10.00	1129.1	1129.1	1129.1
		-10.50	1192.3	1192.3	1192.3
		-11.00	1255.0	1255.0	1255.0
		-11.50	1317.4	1317.4	1317.4
		-12.00	1379.4	1379.4	1379.4
		-12.50	1441.0	1441.0	1441.0
		-13.00	1502.3	1502.3	1502.3
		-13.50	1563.2	1563.2	1563.2
		-14.00	1623.9	1623.9	1623.9
		-14.50	1684.3	1684.3	1684.3
		-15.00	1744.5	1744.5	1744.5
		-15.50	1804.4	1804.4	1804.4
		-16.00	1864.1	1864.1	1864.1
		-16.50	1923.5	1923.5	1923.5
		-17.00	1982.8	1982.8	1982.8
		-17.50	2041.8	2041.8	2041.8
		-18.00	2100.5	2100.5	2100.5
		-18.50	2155.3	2155.3	2155.3
		-19.00	2213.7	2213.7	2213.7
		-19.50	2271.9	2271.9	2271.9
		-20.00	2329.9	2329.9	2329.9
		-20.50	2387.7	2387.7	2387.7
		-21.00	2445.5	2445.5	2445.5
		-21.50	2503.0	2503.0	2503.0
		-22.00	2560.4	2560.4	2560.4
		-22.50	2617.7	2617.7	2617.7
		-23.00	2674.9	2674.9	2674.9
		-23.50	2731.9	2731.9	2731.9
166.S01	3.45	-7.00	491.5	491.5	491.5
		-7.50	556.9	556.9	556.9
		-8.00	621.4	621.4	621.4

Project : ZWO380 Funderingen
Onderdeel : RLL-TBG380

Alle niveaus/hoogtes/peilmaten zijn t.o.v.: N.A.P.

sondering	maaiveld niveau	paalpunt niveau	Bezwijkdraagvermogen $R_{t;cal}$ [kN]	Rekenwaarden $R_{t;d}$ [kN]	$R_{t;netto;d}$ [kN]
166.S01	3.45	-8.50	684.7	684.7	684.7
		-9.00	747.1	747.1	747.1
		-9.50	808.1	808.1	808.1
		-10.00	869.9	869.9	869.9
		-10.50	931.0	931.0	931.0
		-11.00	991.6	991.6	991.6
		-11.50	1051.8	1051.8	1051.8
		-12.00	1107.4	1107.4	1107.4
		-12.50	1154.2	1154.2	1154.2
		-13.00	1198.2	1198.2	1198.2
		-13.50	1242.4	1242.4	1242.4
		-14.00	1293.2	1293.2	1293.2
		-14.50	1351.4	1351.4	1351.4
		-15.00	1409.5	1409.5	1409.5
		-15.50	1467.4	1467.4	1467.4
		-16.00	1524.9	1524.9	1524.9
		-16.50	1582.2	1582.2	1582.2
		-17.00	1639.1	1639.1	1639.1
		-17.50	1695.9	1695.9	1695.9
		-18.00	1752.4	1752.4	1752.4
		-18.50	1808.7	1808.7	1808.7
		-19.00	1864.7	1864.7	1864.7
		-19.50	1920.6	1920.6	1920.6
		-20.00	1976.2	1976.2	1976.2
		-20.50	2031.7	2031.7	2031.7
		-21.00	2087.0	2087.0	2087.0
		-21.50	2142.2	2142.2	2142.2
		-22.00	2197.2	2197.2	2197.2
		-22.50	2252.1	2252.1	2252.1
19-1008_11	0.62	-7.00	267.4	267.4	267.4
		-7.50	289.5	289.5	289.5
		-8.00	318.5	318.5	318.5
		-8.50	345.0	345.0	345.0
		-9.00	366.1	366.1	366.1
		-9.50	386.3	386.3	386.3
		-10.00	407.1	407.1	407.1
		-10.50	431.5	431.5	431.5
		-11.00	459.6	459.6	459.6
		-11.50	492.7	492.7	492.7
		-12.00	535.4	535.4	535.4
		-12.50	554.1	554.1	554.1
		-13.00	602.9	602.9	602.9
		-13.50	657.8	657.8	657.8
		-14.00	713.3	713.3	713.3
		-14.50	768.9	768.9	768.9
		-15.00	824.1	824.1	824.1
		-15.50	875.7	875.7	875.7
		-16.00	919.3	919.3	919.3
		-16.50	969.9	969.9	969.9
		-17.00	1018.6	1018.6	1018.6
		-17.50	1064.5	1064.5	1064.5
		-18.00	1121.3	1121.3	1121.3
		-18.50	1183.2	1183.2	1183.2
		-19.00	1244.6	1244.6	1244.6
		-19.50	1305.6	1305.6	1305.6
		-20.00	1366.2	1366.2	1366.2
		-20.50	1426.4	1426.4	1426.4
		-21.00	1486.3	1486.3	1486.3
		-21.50	1542.7	1542.7	1542.7
		-22.00	1602.0	1602.0	1602.0
		-22.50	1660.9	1660.9	1660.9
		-23.00	1714.8	1714.8	1714.8
		-23.50	1751.1	1751.1	1751.1
		-24.00	1797.1	1797.1	1797.1
		-24.50	1848.7	1848.7	1848.7
		-25.00	1897.9	1897.9	1897.9
		-25.50	1939.6	1939.6	1939.6
		-26.00	1998.1	1998.1	1998.1
		-26.50	2055.6	2055.6	2055.6
		-27.00	2112.9	2112.9	2112.9
		-27.50	2170.0	2170.0	2170.0
		-28.00	2227.0	2227.0	2227.0
		-28.50	2283.7	2283.7	2283.7
		-29.00	2340.3	2340.3	2340.3
		-29.50	2396.7	2396.7	2396.7
		-30.00	2452.9	2452.9	2452.9
19-1008_12	3.57	-7.00	716.5	716.5	716.5
		-7.50	776.4	776.4	776.4
		-8.00	835.4	835.4	835.4
		-8.50	866.9	866.9	866.9
		-9.00	880.2	880.2	880.2
		-9.50	890.6	890.6	890.6
		-10.00	908.8	908.8	908.8
		-10.50	943.4	943.4	943.4
		-11.00	970.5	970.5	970.5
		-11.50	977.9	977.9	977.9
		-12.00	1003.4	1003.4	1003.4
		-12.50	1014.3	1014.3	1014.3
		-13.00	1023.3	1023.3	1023.3
		-13.50	1034.0	1034.0	1034.0
		-14.00	1056.4	1056.4	1056.4
		-14.50	1085.1	1085.1	1085.1
		-15.00	1105.8	1105.8	1105.8
		-15.50	1122.8	1122.8	1122.8

Project : ZWO380 Funderingen
Onderdeel : RLL-TBG380

Alle niveaus/hoogtes/peilmaten zijn t.o.v.: N.A.P.

sondering	maaiveld niveau	paalpunt niveau	Bezwijkdraagvermogen $R_{t;cal}$ [kN]	Rekenwaarden $R_{t;d}$ [kN]	$R_{t;netto;d}$ [kN]
19-1008_12	3.57	-16.00	1148.9	1148.9	1148.9
		-16.50	1183.7	1183.7	1183.7
		-17.00	1213.1	1213.1	1213.1
		-17.50	1255.6	1255.6	1255.6
		-18.00	1289.1	1289.1	1289.1
		-18.50	1363.3	1363.3	1363.3
		-19.00	1431.3	1431.3	1431.3
		-19.50	1486.2	1486.2	1486.2
		-20.00	1528.8	1528.8	1528.8
		-20.50	1576.3	1576.3	1576.3
		-21.00	1620.8	1620.8	1620.8
		-21.50	1674.3	1674.3	1674.3
		-22.00	1731.8	1731.8	1731.8
		-22.50	1788.9	1788.9	1788.9
		-23.00	1841.3	1841.3	1841.3
		-23.50	1891.7	1891.7	1891.7
		-24.00	1945.1	1945.1	1945.1
		-24.50	2002.4	2002.4	2002.4
		-25.00	2059.4	2059.4	2059.4
		-25.50	2148.4	2148.4	2148.4
		-26.00	2247.5	2247.5	2247.5
		-26.50	2305.7	2305.7	2305.7
		-27.00	2360.1	2360.1	2360.1
		-27.50	2422.2	2422.2	2422.2
		-28.00	2467.5	2467.5	2467.5
		-28.50	2510.1	2510.1	2510.1
		-29.00	2565.1	2565.1	2565.1
		-29.50	2620.1	2620.1	2620.1
		-30.00	2673.9	2673.9	2673.9
19-1008_17	0.20	-7.00	156.6	156.6	156.6
		-7.50	175.2	175.2	175.2
		-8.00	184.2	184.2	184.2
		-8.50	194.7	194.7	194.7
		-9.00	212.5	212.5	212.5
		-9.50	226.4	226.4	226.4
		-10.00	279.5	279.5	279.5
		-10.50	307.2	307.2	307.2
		-11.00	351.6	351.6	351.6
		-11.50	419.5	419.5	419.5
		-12.00	486.2	486.2	486.2
		-12.50	552.0	552.0	552.0
		-13.00	616.9	616.9	616.9
		-13.50	681.0	681.0	681.0
		-14.00	744.2	744.2	744.2
		-14.50	806.7	806.7	806.7
		-15.00	864.1	864.1	864.1
		-15.50	925.4	925.4	925.4
		-16.00	986.1	986.1	986.1
		-16.50	1046.3	1046.3	1046.3
		-17.00	1103.7	1103.7	1103.7
		-17.50	1174.7	1174.7	1174.7
		-18.00	1264.6	1264.6	1264.6
		-18.50	1325.6	1325.6	1325.6
		-19.00	1367.5	1367.5	1367.5
		-19.50	1414.1	1414.1	1414.1
		-20.00	1461.1	1461.1	1461.1
		-20.50	1510.5	1510.5	1510.5
		-21.00	1561.3	1561.3	1561.3
		-21.50	1632.2	1632.2	1632.2
		-22.00	1681.8	1681.8	1681.8
		-22.50	1738.1	1738.1	1738.1
		-23.00	1794.1	1794.1	1794.1
		-23.50	1850.0	1850.0	1850.0
		-24.00	1901.8	1901.8	1901.8
		-24.50	1946.7	1946.7	1946.7
		-25.00	1982.2	1982.2	1982.2
		-25.50	2016.7	2016.7	2016.7
		-26.00	2050.5	2050.5	2050.5
		-26.50	2084.2	2084.2	2084.2
		-27.00	2123.7	2123.7	2123.7
		-27.50	2165.9	2165.9	2165.9
		-28.00	2208.9	2208.9	2208.9
		-28.50	2253.8	2253.8	2253.8
		-29.00	2304.7	2304.7	2304.7
		-29.50	2324.4	2324.4	2324.4
		-30.00	2363.4	2363.4	2363.4
19-1008_20	-0.03	-7.00	204.2	204.2	204.2
		-7.50	242.1	242.1	242.1
		-8.00	271.8	271.8	271.8
		-8.50	300.6	300.6	300.6
		-9.00	339.3	339.3	339.3
		-9.50	370.9	370.9	370.9
		-10.00	408.7	408.7	408.7
		-10.50	420.3	420.3	420.3
		-11.00	467.7	467.7	467.7
		-11.50	517.7	517.7	517.7
		-12.00	530.6	530.6	530.6
		-12.50	545.0	545.0	545.0
		-13.00	570.4	570.4	570.4
		-13.50	583.2	583.2	583.2
		-14.00	606.0	606.0	606.0
		-14.50	646.0	646.0	646.0
		-15.00	691.5	691.5	691.5
		-15.50	718.0	718.0	718.0

Project : ZWO380 Funderingen
Onderdeel : RLL-TBG380

Alle niveaus/hoogtes/peilmaten zijn t.o.v.: N.A.P.

sondering	maaiveld niveau	paalpunt niveau	Bezwijkdraagvermogen $R_{t;cal}$ [kN]	Rekenwaarden $R_{t;d}$ [kN]	$R_{t;netto;d}$ [kN]
19-1008_20	-0.03	-16.00	738.6	738.6	738.6
		-16.50	766.7	766.7	766.7
		-17.00	785.8	785.8	785.8
		-17.50	808.6	808.6	808.6
		-18.00	849.3	849.3	849.3
		-18.50	896.4	896.4	896.4
		-19.00	932.3	932.3	932.3
		-19.50	979.8	979.8	979.8
		-20.00	1023.1	1023.1	1023.1
		-20.50	1075.8	1075.8	1075.8
		-21.00	1158.5	1158.5	1158.5
		-21.50	1194.9	1194.9	1194.9
		-22.00	1219.8	1219.8	1219.8
		-22.50	1246.7	1246.7	1246.7
		-23.00	1268.8	1268.8	1268.8
		-23.50	1304.0	1304.0	1304.0
		-24.00	1341.5	1341.5	1341.5
		-24.50	1380.6	1380.6	1380.6
		-25.00	1428.1	1428.1	1428.1
		-25.50	1471.2	1471.2	1471.2
		-26.00	1513.4	1513.4	1513.4
		-26.50	1551.6	1551.6	1551.6
		-27.00	1597.8	1597.8	1597.8
		-27.50	1638.4	1638.4	1638.4
		-28.00	1675.3	1675.3	1675.3
		-28.50	1718.0	1718.0	1718.0
		-29.00	1757.7	1757.7	1757.7
		-29.50	1790.1	1790.1	1790.1
		-30.00	1830.2	1830.2	1830.2
19-1008_21	1.78	-7.00	329.1	329.1	329.1
		-7.50	382.4	382.4	382.4
		-8.00	431.9	431.9	431.9
		-8.50	481.5	481.5	481.5
		-9.00	508.1	508.1	508.1
		-9.50	528.8	528.8	528.8
		-10.00	558.9	558.9	558.9
		-10.50	585.5	585.5	585.5
		-11.00	615.7	615.7	615.7
		-11.50	652.9	652.9	652.9
		-12.00	694.3	694.3	694.3
		-12.50	729.7	729.7	729.7
		-13.00	772.6	772.6	772.6
		-13.50	812.8	812.8	812.8
		-14.00	871.0	871.0	871.0
		-14.50	928.9	928.9	928.9
		-15.00	976.3	976.3	976.3
		-15.50	1017.0	1017.0	1017.0
		-16.00	1089.9	1089.9	1089.9
		-16.50	1163.2	1163.2	1163.2
		-17.00	1177.3	1177.3	1177.3
		-17.50	1193.5	1193.5	1193.5
		-18.00	1222.1	1222.1	1222.1
		-18.50	1301.7	1301.7	1301.7
		-19.00	1356.9	1356.9	1356.9
		-19.50	1372.7	1372.7	1372.7
		-20.00	1385.9	1385.9	1385.9
		-20.50	1398.9	1398.9	1398.9
		-21.00	1412.0	1412.0	1412.0
		-21.50	1427.4	1427.4	1427.4
		-22.00	1444.7	1444.7	1444.7
		-22.50	1465.4	1465.4	1465.4
		-23.00	1485.9	1485.9	1485.9
		-23.50	1505.7	1505.7	1505.7
		-24.00	1528.8	1528.8	1528.8
		-24.50	1552.4	1552.4	1552.4
		-25.00	1577.1	1577.1	1577.1
		-25.50	1603.0	1603.0	1603.0
		-26.00	1627.9	1627.9	1627.9
		-26.50	1650.6	1650.6	1650.6
		-27.00	1673.9	1673.9	1673.9
		-27.50	1696.7	1696.7	1696.7
		-28.00	1721.2	1721.2	1721.2
		-28.50	1746.5	1746.5	1746.5
		-29.00	1771.0	1771.0	1771.0
		-29.50	1796.6	1796.6	1796.6
		-30.00	1823.8	1823.8	1823.8
251.S01	-1.05	-7.00	371.3	371.3	371.3
		-7.50	419.9	419.9	419.9
		-8.00	469.0	469.0	469.0
		-8.50	506.3	506.3	506.3
		-9.00	514.0	514.0	514.0
		-9.50	543.6	543.6	543.6
		-10.00	584.7	584.7	584.7
		-10.50	632.4	632.4	632.4
		-11.00	669.0	669.0	669.0
		-11.50	692.3	692.3	692.3
		-12.00	715.5	715.5	715.5
		-12.50	753.3	753.3	753.3
		-13.00	797.4	797.4	797.4
		-13.50	839.1	839.1	839.1
		-14.00	895.5	895.5	895.5
		-14.50	951.1	951.1	951.1
		-15.00	1018.8	1018.8	1018.8
		-15.50	1053.3	1053.3	1053.3

Project : ZWO380 Funderingen
Onderdeel : RLL-TBG380

Alle niveaus/hoogtes/peilmaten zijn t.o.v.: N.A.P.

sondering	maaiveld niveau	paalpunt niveau	Bezwijkdraagvermogen $R_{t;cal}$ [kN]	Rekenwaarden $R_{t;d}$ [kN]	$R_{t;netto;d}$ [kN]
251.S01	-1.05	-16.00	1106.6	1106.6	1106.6
		-16.50	1163.6	1163.6	1163.6
		-17.00	1219.8	1219.8	1219.8
		-17.50	1273.1	1273.1	1273.1
		-18.00	1323.5	1323.5	1323.5
		-18.50	1388.0	1388.0	1388.0
		-19.00	1434.2	1434.2	1434.2
		-19.50	1475.6	1475.6	1475.6
		-20.00	1519.5	1519.5	1519.5
		-20.50	1593.9	1593.9	1593.9
		-21.00	1679.8	1679.8	1679.8
		-21.50	1716.9	1716.9	1716.9
		-22.00	1730.2	1730.2	1730.2
		-22.50	1747.0	1747.0	1747.0
		-23.00	1772.4	1772.4	1772.4
		-23.50	1804.9	1804.9	1804.9
		-24.00	1848.0	1848.0	1848.0
		-24.50	1887.5	1887.5	1887.5
		-25.00	1923.6	1923.6	1923.6
		-25.50	1986.3	1986.3	1986.3
		-26.00	2077.2	2077.2	2077.2
		-26.50	2157.4	2157.4	2157.4
		-27.00	2211.6	2211.6	2211.6
		-27.50	2265.7	2265.7	2265.7
		-28.00	2319.8	2319.8	2319.8
		-28.50	2373.8	2373.8	2373.8
		-29.00	2427.6	2427.6	2427.6
		-29.50	2465.0	2465.0	2465.0
		-30.00	2508.5	2508.5	2508.5
19-1008_29	0.79	-7.00	503.7	503.7	503.7
		-7.50	556.7	556.7	556.7
		-8.00	612.7	612.7	612.7
		-8.50	667.8	667.8	667.8
		-9.00	715.6	715.6	715.6
		-9.50	760.2	760.2	760.2
		-10.00	801.9	801.9	801.9
		-10.50	849.7	849.7	849.7
		-11.00	897.0	897.0	897.0
		-11.50	960.3	960.3	960.3
		-12.00	993.1	993.1	993.1
		-12.50	1053.8	1053.8	1053.8
		-13.00	1097.6	1097.6	1097.6
		-13.50	1121.3	1121.3	1121.3
		-14.00	1148.9	1148.9	1148.9
		-14.50	1168.7	1168.7	1168.7
		-15.00	1186.1	1186.1	1186.1
		-15.50	1206.4	1206.4	1206.4
		-16.00	1250.0	1250.0	1250.0
		-16.50	1269.3	1269.3	1269.3
		-17.00	1288.8	1288.8	1288.8
		-17.50	1315.9	1315.9	1315.9
		-18.00	1369.1	1369.1	1369.1
		-18.50	1426.4	1426.4	1426.4
		-19.00	1483.2	1483.2	1483.2
		-19.50	1535.9	1535.9	1535.9
		-20.00	1592.5	1592.5	1592.5
		-20.50	1648.7	1648.7	1648.7
		-21.00	1704.8	1704.8	1704.8
		-21.50	1760.6	1760.6	1760.6
		-22.00	1816.2	1816.2	1816.2
		-22.50	1888.0	1888.0	1888.0
		-23.00	1954.3	1954.3	1954.3
		-23.50	2000.0	2000.0	2000.0
		-24.00	2052.7	2052.7	2052.7
		-24.50	2100.8	2100.8	2100.8
		-25.00	2158.2	2158.2	2158.2
		-25.50	2194.7	2194.7	2194.7
		-26.00	2236.5	2236.5	2236.5
		-26.50	2275.5	2275.5	2275.5
		-27.00	2323.9	2323.9	2323.9
		-27.50	2361.0	2361.0	2361.0
		-28.00	2397.3	2397.3	2397.3
		-28.50	2433.4	2433.4	2433.4
		-29.00	2472.9	2472.9	2472.9
		-29.50	2532.8	2532.8	2532.8
		-30.00	2570.5	2570.5	2570.5
283.S02	0.17	-7.00	409.1	409.1	409.1
		-7.50	443.9	443.9	443.9
		-8.00	478.2	478.2	478.2
		-8.50	519.1	519.1	519.1
		-9.00	556.8	556.8	556.8
		-9.50	589.0	589.0	589.0
		-10.00	624.9	624.9	624.9
		-10.50	659.4	659.4	659.4
		-11.00	693.2	693.2	693.2
		-11.50	729.2	729.2	729.2
		-12.00	753.1	753.1	753.1
		-12.50	792.9	792.9	792.9
		-13.00	836.7	836.7	836.7
		-13.50	884.9	884.9	884.9
		-14.00	941.1	941.1	941.1
		-14.50	996.7	996.7	996.7
		-15.00	1046.4	1046.4	1046.4
		-15.50	1089.0	1089.0	1089.0

Project : ZWO380 Funderingen
Onderdeel : RLL-TBG380

Alle niveaus/hoogtes/peilmaten zijn t.o.v.: N.A.P.

sondering	maaiveld niveau	paalpunt niveau	Bezwijkdraagvermogen $R_{t;cal}$ [kN]	Rekenwaarden $R_{t;d}$ [kN]	$R_{t;netto;d}$ [kN]
283.S02	0.17	-16.00	1135.4	1135.4	1135.4
		-16.50	1186.7	1186.7	1186.7
		-17.00	1241.1	1241.1	1241.1
		-17.50	1297.7	1297.7	1297.7
		-18.00	1353.9	1353.9	1353.9
		-18.50	1409.8	1409.8	1409.8
		-19.00	1465.5	1465.5	1465.5
		-19.50	1520.9	1520.9	1520.9
		-20.00	1576.1	1576.1	1576.1
		-20.50	1628.8	1628.8	1628.8
		-21.00	1683.6	1683.6	1683.6
		-21.50	1738.2	1738.2	1738.2
		-22.00	1792.7	1792.7	1792.7
		-22.50	1846.9	1846.9	1846.9
		-23.00	1901.0	1901.0	1901.0
		-23.50	1954.9	1954.9	1954.9
		-24.00	2008.7	2008.7	2008.7
		-24.50	2062.4	2062.4	2062.4
		-25.00	2115.9	2115.9	2115.9
		-25.50	2169.3	2169.3	2169.3
		-26.00	2222.6	2222.6	2222.6
		-26.50	2290.5	2290.5	2290.5
		-27.00	2319.6	2319.6	2319.6
		-27.50	2347.3	2347.3	2347.3
		-28.00	2381.5	2381.5	2381.5
		-28.50	2424.2	2424.2	2424.2
		-29.00	2455.3	2455.3	2455.3
		-29.50	2483.0	2483.0	2483.0
		-30.00	2508.9	2508.9	2508.9
19-1008_35	0.92	-7.00	414.2	414.2	414.2
		-7.50	438.8	438.8	438.8
		-8.00	471.9	471.9	471.9
		-8.50	505.2	505.2	505.2
		-9.00	531.1	531.1	531.1
		-9.50	557.2	557.2	557.2
		-10.00	588.2	588.2	588.2
		-10.50	617.3	617.3	617.3
		-11.00	665.4	665.4	665.4
		-11.50	706.4	706.4	706.4
		-12.00	735.4	735.4	735.4
		-12.50	760.8	760.8	760.8
		-13.00	793.9	793.9	793.9
		-13.50	832.3	832.3	832.3
		-14.00	872.2	872.2	872.2
		-14.50	920.3	920.3	920.3
		-15.00	968.3	968.3	968.3
		-15.50	1016.5	1016.5	1016.5
		-16.00	1065.6	1065.6	1065.6
		-16.50	1114.5	1114.5	1114.5
		-17.00	1156.8	1156.8	1156.8
		-17.50	1192.9	1192.9	1192.9
		-18.00	1240.1	1240.1	1240.1
		-18.50	1282.7	1282.7	1282.7
		-19.00	1330.3	1330.3	1330.3
		-19.50	1377.2	1377.2	1377.2
		-20.00	1425.3	1425.3	1425.3
		-20.50	1483.6	1483.6	1483.6
		-21.00	1541.4	1541.4	1541.4
		-21.50	1599.0	1599.0	1599.0
		-22.00	1655.0	1655.0	1655.0
		-22.50	1712.0	1712.0	1712.0
		-23.00	1768.8	1768.8	1768.8
		-23.50	1825.4	1825.4	1825.4
		-24.00	1881.7	1881.7	1881.7
		-24.50	1936.9	1936.9	1936.9
		-25.00	1989.8	1989.8	1989.8
		-25.50	2058.3	2058.3	2058.3
		-26.00	2132.0	2132.0	2132.0
		-26.50	2180.7	2180.7	2180.7
		-27.00	2235.8	2235.8	2235.8
		-27.50	2290.7	2290.7	2290.7
		-28.00	2345.4	2345.4	2345.4
		-28.50	2400.0	2400.0	2400.0
		-29.00	2454.5	2454.5	2454.5
		-29.50	2508.9	2508.9	2508.9
		-30.00	2563.3	2563.3	2563.3
312.S03	3.78	-7.00	549.6	549.6	549.6
		-7.50	591.4	591.4	591.4
		-8.00	633.4	633.4	633.4
		-8.50	695.9	695.9	695.9
		-9.00	757.6	757.6	757.6
		-9.50	818.7	818.7	818.7
		-10.00	879.2	879.2	879.2
		-10.50	938.8	938.8	938.8
		-11.00	995.2	995.2	995.2
		-11.50	1054.2	1054.2	1054.2
		-12.00	1112.7	1112.7	1112.7
		-12.50	1170.9	1170.9	1170.9
		-13.00	1227.1	1227.1	1227.1
		-13.50	1268.7	1268.7	1268.7
		-14.00	1315.2	1315.2	1315.2
		-14.50	1361.6	1361.6	1361.6
		-15.00	1406.4	1406.4	1406.4
		-15.50	1452.5	1452.5	1452.5

Project : ZWO380 Funderingen
Onderdeel : RLL-TBG380

Alle niveaus/hoogtes/peilmaten zijn t.o.v.: N.A.P.

sondering	maaiveld niveau	paalpunt niveau	Bezwijkdraagvermogen $R_{t;cal}$ [kN]	Rekenwaarden $R_{t;d}$ [kN]	$R_{t;netto;d}$ [kN]
312.S03	3.78	-16.00	1497.4	1497.4	1497.4
		-16.50	1543.4	1543.4	1543.4
		-17.00	1586.1	1586.1	1586.1
		-17.50	1620.0	1620.0	1620.0
		-18.00	1656.2	1656.2	1656.2
		-18.50	1701.0	1701.0	1701.0
		-19.00	1748.2	1748.2	1748.2
		-19.50	1796.6	1796.6	1796.6
		-20.00	1843.4	1843.4	1843.4
		-20.50	1893.4	1893.4	1893.4
		-21.00	1938.2	1938.2	1938.2
		-21.50	1980.1	1980.1	1980.1
		-22.00	2027.1	2027.1	2027.1
		-22.50	2081.7	2081.7	2081.7
		-23.00	2136.3	2136.3	2136.3
		-23.50	2189.4	2189.4	2189.4
		-24.00	2238.3	2238.3	2238.3
		-24.50	2293.5	2293.5	2293.5
		-25.00	2348.6	2348.6	2348.6
		-25.50	2400.5	2400.5	2400.5
		-26.00	2447.0	2447.0	2447.0
		-26.50	2500.7	2500.7	2500.7
		-27.00	2554.2	2554.2	2554.2
		-27.50	2592.9	2592.9	2592.9
		-28.00	2625.6	2625.6	2625.6
		-28.50	2651.3	2651.3	2651.3
		-29.00	2676.6	2676.6	2676.6
		-29.50	2705.6	2705.6	2705.6
		-30.00	2744.3	2744.3	2744.3
19-1008_43	9.88	-7.00	440.2	440.2	440.2
		-7.50	493.0	493.0	493.0
		-8.00	547.4	547.4	547.4
		-8.50	598.0	598.0	598.0
		-9.00	649.4	649.4	649.4
		-9.50	701.6	701.6	701.6
		-10.00	749.2	749.2	749.2
		-10.50	805.8	805.8	805.8
		-11.00	872.6	872.6	872.6
		-11.50	938.9	938.9	938.9
		-12.00	1004.6	1004.6	1004.6
		-12.50	1069.5	1069.5	1069.5
		-13.00	1118.1	1118.1	1118.1
		-13.50	1160.1	1160.1	1160.1
		-14.00	1208.6	1208.6	1208.6
		-14.50	1260.4	1260.4	1260.4
		-15.00	1305.9	1305.9	1305.9
		-15.50	1361.7	1361.7	1361.7
		-16.00	1422.8	1422.8	1422.8
		-16.50	1485.7	1485.7	1485.7
		-17.00	1548.4	1548.4	1548.4
		-17.50	1608.4	1608.4	1608.4
		-18.00	1662.8	1662.8	1662.8
		-18.50	1711.6	1711.6	1711.6
		-19.00	1766.6	1766.6	1766.6
		-19.50	1815.0	1815.0	1815.0
		-20.00	1865.0	1865.0	1865.0
		-20.50	1927.4	1927.4	1927.4
		-21.00	1999.8	1999.8	1999.8
		-21.50	2054.3	2054.3	2054.3
		-22.00	2108.6	2108.6	2108.6
		-22.50	2168.7	2168.7	2168.7
		-23.00	2228.6	2228.6	2228.6
		-23.50	2288.3	2288.3	2288.3
		-24.00	2347.7	2347.7	2347.7
		-24.50	2407.0	2407.0	2407.0
		-25.00	2457.2	2457.2	2457.2
328.S02	10.17	-7.00	671.4	671.4	671.4
		-7.50	718.7	718.7	718.7
		-8.00	770.4	770.4	770.4
		-8.50	823.2	823.2	823.2
		-9.00	874.2	874.2	874.2
		-9.50	918.2	918.2	918.2
		-10.00	967.5	967.5	967.5
		-10.50	1018.6	1018.6	1018.6
		-11.00	1076.6	1076.6	1076.6
		-11.50	1135.7	1135.7	1135.7
		-12.00	1192.5	1192.5	1192.5
		-12.50	1244.0	1244.0	1244.0
		-13.00	1294.0	1294.0	1294.0
		-13.50	1344.5	1344.5	1344.5
		-14.00	1395.1	1395.1	1395.1
		-14.50	1444.2	1444.2	1444.2
		-15.00	1495.0	1495.0	1495.0
		-15.50	1545.1	1545.1	1545.1
		-16.00	1605.2	1605.2	1605.2
		-16.50	1658.3	1658.3	1658.3
		-17.00	1719.5	1719.5	1719.5
		-17.50	1780.5	1780.5	1780.5
		-18.00	1857.6	1857.6	1857.6
		-18.50	1910.5	1910.5	1910.5
		-19.00	1964.8	1964.8	1964.8
		-19.50	2022.4	2022.4	2022.4
		-20.00	2082.1	2082.1	2082.1
		-20.50	2141.6	2141.6	2141.6

Project : ZWO380 Funderingen
Onderdeel : RLL-TBG380

Alle niveaus/hoogtes/peilmaten zijn t.o.v.: N.A.P.

sondering	maaiveld niveau	paalpunt niveau	Bezwijkdraagvermogen $R_{t;cal}$ [kN]	Rekenwaarden $R_{t;d}$ [kN]	$R_{t;netto;d}$ [kN]
328.S02	10.17	-21.00	2200.9	2200.9	2200.9
		-21.50	2259.9	2259.9	2259.9
		-22.00	2318.8	2318.8	2318.8
		-22.50	2377.4	2377.4	2377.4
		-23.00	2435.9	2435.9	2435.9
		-23.50	2494.1	2494.1	2494.1
		-24.00	2552.2	2552.2	2552.2
		-24.50	2601.6	2601.6	2601.6
		-25.00	2648.4	2648.4	2648.4
		-25.50	2694.5	2694.5	2694.5
		-26.00	2741.2	2741.2	2741.2
		-26.50	2790.5	2790.5	2790.5
		-27.00	2848.0	2848.0	2848.0
		-27.50	2905.3	2905.3	2905.3
		-28.00	2953.9	2953.9	2953.9
		-28.50	2996.5	2996.5	2996.5

PAALGEGEVENS SI Ø508/670

Type : In de grond gevormde geschroefde paal; groutinjectie
Wijze van installeren : Schroeven
Wijze van terugwinnen : n.v.t.
Diameter [m] : 0.590
Elasticiteitsmodulus [N/mm²] : 20000
Factor α_s (tabel 7.c EC 7.1) : 0.009 (zandlagen; voor kleilagen zie tabel 7.d)
Factor α_t (tabel 7.c EC 7.1) : 0.0090 (zandlagen; voor kleilagen zie tabel 7.d)
Paalklassefactor α_p : 0.63
Paalvoetvormfactor β : 1.00
Type lastzakkingsdiagram : Grondverdringende paal
Verm.factor * $\varphi'_{j;k}$: 1.00
Groutomhulling : JA

PAALGEGEVENS SI Ø610/850

Type : In de grond gevormde geschroefde paal; groutinjectie
Wijze van installeren : Schroeven
Wijze van terugwinnen : n.v.t.
Diameter [m] : 0.730
Elasticiteitsmodulus [N/mm²] : 20000
Factor α_s (tabel 7.c EC 7.1) : 0.009 (zandlagen; voor kleilagen zie tabel 7.d)
Factor α_t (tabel 7.c EC 7.1) : 0.0090 (zandlagen; voor kleilagen zie tabel 7.d)
Paalklassefactor α_p : 0.63
Paalvoetvormfactor β : 1.00
Type lastzakkingsdiagram : Grondverdringende paal
Verm.factor * $\varphi'_{j;k}$: 1.00
Groutomhulling : JA

Project : ZWO380 Funderingen
Onderdeel : RLL-TBG380

OVERZICHT NETTO DRAAGVERMOGEN TREKPALEN (n=1)

Netto paaldraagvermogen(s) zijn naar beneden toe afgerond op: 1.0 kN nauwkeurig
Alle niveaus/hoogtes/peilmaten zijn t.o.v.: N.A.P.

sondering	maaiveld niveau	paalpunt niveau	$R_{c;netto;d}$ [kN] SI Ø508/6	SI Ø610/8
19-1008_1	2.12	-6.00	55	
		-6.50	58	
		-7.00	62	84
		-7.50	66	89
		-8.00	81	108
		-8.50	97	128
		-9.00	103	136
		-9.50	129	169
		-10.00	153	198
		-10.50	180	232
		-11.00	198	256
		-11.50	230	296
		-12.00	270	346
		-12.50	297	380
		-13.00	338	429
		-13.50	377	477
		-14.00	410	518
		-14.50	454	571
		-15.00	494	619
		-15.50	537	671
		-16.00	574	716
		-16.50	614	765
		-17.00	654	814
		-17.50	701	870
		-18.00	754	933
		-18.50	805	995
		-19.00	857	1056
		-19.50	908	1117
		-20.00	978	1203
		-20.50	1055	1299
		-21.00	1136	1399
		-21.50	1186	1460
		-22.00	1235	1517
		-22.50	1283	1574
		-23.00	1332	1631
		-23.50	1380	1687
		-24.00	1428	1744
		-24.50	1476	1800
		-25.00	1524	1856
		-25.50	1572	1912
		-26.00	1620	1968
		-26.50	1667	2023
		-27.00	1715	2079
		-27.50	1762	2134
		-28.00	1809	2189
		-28.50	1856	2245
		-29.00	1904	2300
		-29.50	1951	2355
		-30.00	1998	2409
19-1008_6	11.00	-6.00	490	
		-6.50	545	
		-7.00	600	740
		-7.50	655	806
		-8.00	709	871
		-8.50	763	936
		-9.00	816	1001
		-9.50	869	1065
		-10.00	922	1129
		-10.50	975	1192
		-11.00	1027	1255
		-11.50	1079	1317
		-12.00	1130	1379
		-12.50	1182	1440
		-13.00	1233	1502
		-13.50	1284	1563
		-14.00	1335	1623
		-14.50	1386	1684
		-15.00	1436	1744
		-15.50	1487	1804
		-16.00	1537	1864
		-16.50	1587	1923
		-17.00	1637	1982
		-17.50	1687	2041
		-18.00	1736	2100
		-18.50	1782	2155
		-19.00	1832	2213
		-19.50	1881	2271
		-20.00	1930	2329
		-20.50	1979	2387
		-21.00	2028	2445
		-21.50	2077	2503
		-22.00	2125	2560
		-22.50	2174	2617
		-23.00	2222	2674
		-23.50	2271	2731
166.S01	3.45	-6.00	287	
		-6.50	342	
		-7.00	397	491
		-7.50	451	556

Project : ZWO380 Funderingen
Onderdeel : RLL-TBG380

Netto paaldraagvermogen(s) zijn naar beneden toe afgerond op: 1.0 kN nauwkeurig
Alle niveaus/hoogtes/peilmaten zijn t.o.v.: N.A.P.

sondering	maaiveld niveau	paalpunt niveau	$R_{c;netto;d}$ [kN] SI Ø508/6	SI Ø610/8
		-8.00	504	621
		-8.50	557	684
		-9.00	609	747
		-9.50	660	808
		-10.00	711	869
		-10.50	762	931
		-11.00	813	991
		-11.50	864	1051
		-12.00	910	1107
		-12.50	950	1154
		-13.00	987	1198
		-13.50	1024	1242
		-14.00	1067	1293
		-14.50	1116	1351
		-15.00	1165	1409
		-15.50	1214	1467
		-16.00	1263	1524
		-16.50	1311	1582
		-17.00	1360	1639
		-17.50	1408	1695
		-18.00	1456	1752
		-18.50	1504	1808
		-19.00	1551	1864
		-19.50	1599	1920
		-20.00	1646	1976
		-20.50	1694	2031
		-21.00	1741	2087
		-21.50	1788	2142
		-22.00	1835	2197
		-22.50	1882	2252
19-1008_11	0.62	-6.00	199	
		-6.50	204	
		-7.00	211	267
		-7.50	229	289
		-8.00	252	318
		-8.50	274	345
		-9.00	290	366
		-9.50	307	386
		-10.00	323	407
		-10.50	343	431
		-11.00	366	459
		-11.50	393	492
		-12.00	428	535
		-12.50	442	554
		-13.00	482	602
		-13.50	527	657
		-14.00	573	713
		-14.50	619	768
		-15.00	665	824
		-15.50	707	875
		-16.00	743	919
		-16.50	785	969
		-17.00	826	1018
		-17.50	864	1064
		-18.00	911	1121
		-18.50	963	1183
		-19.00	1014	1244
		-19.50	1065	1305
		-20.00	1116	1366
		-20.50	1167	1426
		-21.00	1217	1486
		-21.50	1264	1542
		-22.00	1314	1601
		-22.50	1364	1660
		-23.00	1410	1714
		-23.50	1440	1751
		-24.00	1479	1797
		-24.50	1522	1848
		-25.00	1564	1897
		-25.50	1599	1939
		-26.00	1648	1998
		-26.50	1697	2055
		-27.00	1746	2112
		-27.50	1794	2170
		-28.00	1843	2226
		-28.50	1891	2283
		-29.00	1939	2340
		-29.50	1987	2396
		-30.00	2035	2452
19-1008_12	3.57	-6.00	498	
		-6.50	539	
		-7.00	589	716
		-7.50	639	776
		-8.00	689	835
		-8.50	715	866
		-9.00	725	880
		-9.50	733	890
		-10.00	748	908
		-10.50	775	943
		-11.00	797	970
		-11.50	802	977

Project : ZWO380 Funderingen
Onderdeel : RLL-TBG380

Netto paaldraagvermogen(s) zijn naar beneden toe afgerond op: 1.0 kN nauwkeurig
Alle niveaus/hoogtes/peilmaten zijn t.o.v.: N.A.P.

sondering	maaiveld niveau	paalpunt niveau	$R_{c;netto;d}$ [kN] SI Ø508/6	SI Ø610/8
		-12.00	823	1003
		-12.50	831	1014
		-13.00	838	1023
		-13.50	846	1033
		-14.00	864	1056
		-14.50	887	1085
		-15.00	903	1105
		-15.50	916	1122
		-16.00	937	1148
		-16.50	965	1183
		-17.00	988	1213
		-17.50	1022	1255
		-18.00	1049	1289
		-18.50	1108	1363
		-19.00	1163	1431
		-19.50	1208	1486
		-20.00	1244	1528
		-20.50	1284	1576
		-21.00	1322	1620
		-21.50	1367	1674
		-22.00	1416	1731
		-22.50	1464	1788
		-23.00	1509	1841
		-23.50	1551	1891
		-24.00	1597	1945
		-24.50	1645	2002
		-25.00	1694	2059
		-25.50	1767	2148
		-26.00	1846	2247
		-26.50	1893	2305
		-27.00	1937	2360
		-27.50	1986	2422
		-28.00	2023	2467
		-28.50	2059	2510
		-29.00	2106	2565
		-29.50	2154	2620
		-30.00	2200	2673
19-1008_17	0.20	-6.00	82	
		-6.50	89	
		-7.00	121	156
		-7.50	135	175
		-8.00	142	184
		-8.50	150	194
		-9.00	164	212
		-9.50	175	226
		-10.00	218	279
		-10.50	240	307
		-11.00	277	351
		-11.50	332	419
		-12.00	387	486
		-12.50	441	552
		-13.00	495	616
		-13.50	548	680
		-14.00	601	744
		-14.50	653	806
		-15.00	701	864
		-15.50	752	925
		-16.00	803	986
		-16.50	853	1046
		-17.00	902	1103
		-17.50	960	1174
		-18.00	1032	1264
		-18.50	1081	1325
		-19.00	1116	1367
		-19.50	1156	1414
		-20.00	1195	1461
		-20.50	1237	1510
		-21.00	1281	1561
		-21.50	1338	1632
		-22.00	1380	1681
		-22.50	1428	1738
		-23.00	1476	1794
		-23.50	1524	1849
		-24.00	1568	1901
		-24.50	1606	1946
		-25.00	1636	1982
		-25.50	1666	2016
		-26.00	1694	2050
		-26.50	1723	2084
		-27.00	1757	2123
		-27.50	1792	2165
		-28.00	1829	2208
		-28.50	1867	2253
		-29.00	1910	2304
		-29.50	1926	2324
		-30.00	1958	2363
19-1008_20	-0.03	-6.00	104	
		-6.50	124	
		-7.00	160	204
		-7.50	191	242
		-8.00	215	271

Project : ZWO380 Funderingen
Onderdeel : RLL-TBG380

Netto paaldraagvermogen(s) zijn naar beneden toe afgerond op: 1.0 kN nauwkeurig
Alle niveaus/hoogtes/peilmaten zijn t.o.v.: N.A.P.

sondering	maaiveld niveau	paalpunt niveau	$R_{c;netto;d}$ [kN] SI Ø508/6	SI Ø610/8
		-8.50	238	300
		-9.00	270	339
		-9.50	295	370
		-10.00	326	408
		-10.50	335	420
		-11.00	374	467
		-11.50	415	517
		-12.00	425	530
		-12.50	436	544
		-13.00	456	570
		-13.50	466	583
		-14.00	484	605
		-14.50	516	646
		-15.00	552	691
		-15.50	573	718
		-16.00	590	738
		-16.50	612	766
		-17.00	627	785
		-17.50	645	808
		-18.00	677	849
		-18.50	715	896
		-19.00	744	932
		-19.50	782	979
		-20.00	817	1023
		-20.50	861	1075
		-21.00	928	1158
		-21.50	957	1194
		-22.00	976	1219
		-22.50	998	1246
		-23.00	1015	1268
		-23.50	1044	1303
		-24.00	1075	1341
		-24.50	1108	1380
		-25.00	1148	1428
		-25.50	1184	1471
		-26.00	1219	1513
		-26.50	1251	1551
		-27.00	1289	1597
		-27.50	1323	1638
		-28.00	1354	1675
		-28.50	1390	1717
		-29.00	1423	1757
		-29.50	1450	1790
		-30.00	1484	1830
19-1008_21	1.78	-6.00	190	
		-6.50	227	
		-7.00	263	329
		-7.50	307	382
		-8.00	347	431
		-8.50	388	481
		-9.00	410	508
		-9.50	426	528
		-10.00	451	558
		-10.50	473	585
		-11.00	497	615
		-11.50	528	652
		-12.00	562	694
		-12.50	591	729
		-13.00	625	772
		-13.50	658	812
		-14.00	707	871
		-14.50	755	928
		-15.00	793	976
		-15.50	826	1016
		-16.00	884	1089
		-16.50	943	1163
		-17.00	954	1177
		-17.50	967	1193
		-18.00	990	1222
		-18.50	1054	1301
		-19.00	1098	1356
		-19.50	1110	1372
		-20.00	1121	1385
		-20.50	1131	1398
		-21.00	1141	1412
		-21.50	1153	1427
		-22.00	1167	1444
		-22.50	1183	1465
		-23.00	1199	1485
		-23.50	1215	1505
		-24.00	1233	1528
		-24.50	1252	1552
		-25.00	1271	1577
		-25.50	1292	1603
		-26.00	1311	1627
		-26.50	1329	1650
		-27.00	1348	1673
		-27.50	1366	1696
		-28.00	1385	1721
		-28.50	1405	1746
		-29.00	1425	1770
		-29.50	1445	1796

Project : ZWO380 Funderingen
Onderdeel : RLL-TBG380

Netto paaldraagvermogen(s) zijn naar beneden toe afgerond op: 1.0 kN nauwkeurig
Alle niveaus/hoogtes/peilmaten zijn t.o.v.: N.A.P.

sondering	maaiveld niveau	paalpunt niveau	$R_{c;netto;d}$ [kN] SI Ø508/6	SI Ø610/8
		-30.00	1467	1823
251.S01	-1.05	-6.00	220	
		-6.50	257	
		-7.00	299	371
		-7.50	340	419
		-8.00	380	468
		-8.50	410	506
		-9.00	415	514
		-9.50	440	543
		-10.00	474	584
		-10.50	514	632
		-11.00	545	668
		-11.50	564	692
		-12.00	583	715
		-12.50	615	753
		-13.00	652	797
		-13.50	687	839
		-14.00	734	895
		-14.50	781	951
		-15.00	837	1018
		-15.50	864	1053
		-16.00	910	1106
		-16.50	958	1163
		-17.00	1006	1219
		-17.50	1051	1273
		-18.00	1094	1323
		-18.50	1147	1388
		-19.00	1184	1434
		-19.50	1218	1475
		-20.00	1256	1519
		-20.50	1317	1593
		-21.00	1386	1679
		-21.50	1415	1716
		-22.00	1426	1730
		-22.50	1439	1746
		-23.00	1459	1772
		-23.50	1485	1804
		-24.00	1519	1848
		-24.50	1551	1887
		-25.00	1580	1923
		-25.50	1630	1986
		-26.00	1703	2077
		-26.50	1769	2157
		-27.00	1816	2211
		-27.50	1862	2265
		-28.00	1909	2319
		-28.50	1955	2373
		-29.00	2002	2427
		-29.50	2034	2464
		-30.00	2071	2508
19-1008_29	0.79	-6.00	330	
		-6.50	368	
		-7.00	411	503
		-7.50	455	556
		-8.00	502	612
		-8.50	548	667
		-9.00	588	715
		-9.50	626	760
		-10.00	661	801
		-10.50	701	849
		-11.00	740	897
		-11.50	792	960
		-12.00	818	993
		-12.50	868	1053
		-13.00	905	1097
		-13.50	923	1121
		-14.00	945	1148
		-14.50	961	1168
		-15.00	975	1186
		-15.50	991	1206
		-16.00	1026	1249
		-16.50	1042	1269
		-17.00	1057	1288
		-17.50	1079	1315
		-18.00	1123	1369
		-18.50	1171	1426
		-19.00	1220	1483
		-19.50	1262	1535
		-20.00	1311	1592
		-20.50	1359	1648
		-21.00	1406	1704
		-21.50	1454	1760
		-22.00	1502	1816
		-22.50	1562	1888
		-23.00	1615	1954
		-23.50	1651	2000
		-24.00	1694	2052
		-24.50	1733	2100
		-25.00	1779	2158
		-25.50	1808	2194
		-26.00	1841	2236

Project : ZWO380 Funderingen
Onderdeel : RLL-TBG380

Netto paaldraagvermogen(s) zijn naar beneden toe afgerond op: 1.0 kN nauwkeurig
Alle niveaus/hoogtes/peilmaten zijn t.o.v.: N.A.P.

sondering	maaiveld niveau	paalpunt niveau	$R_{c;netto;d}$ [kN] SI Ø508/6	SI Ø610/8
		-26.50	1873	2275
		-27.00	1911	2323
		-27.50	1941	2361
		-28.00	1970	2397
		-28.50	1999	2433
		-29.00	2030	2472
		-29.50	2078	2532
		-30.00	2111	2570
283.S02	0.17	-6.00	265	
		-6.50	296	
		-7.00	333	409
		-7.50	361	443
		-8.00	390	478
		-8.50	424	519
		-9.00	455	556
		-9.50	482	589
		-10.00	512	624
		-10.50	541	659
		-11.00	569	693
		-11.50	599	729
		-12.00	619	753
		-12.50	652	792
		-13.00	689	836
		-13.50	729	884
		-14.00	776	941
		-14.50	823	996
		-15.00	865	1046
		-15.50	901	1089
		-16.00	940	1135
		-16.50	984	1186
		-17.00	1030	1241
		-17.50	1078	1297
		-18.00	1126	1353
		-18.50	1173	1409
		-19.00	1221	1465
		-19.50	1268	1520
		-20.00	1315	1576
		-20.50	1360	1628
		-21.00	1407	1683
		-21.50	1453	1738
		-22.00	1500	1792
		-22.50	1546	1846
		-23.00	1593	1900
		-23.50	1639	1954
		-24.00	1685	2008
		-24.50	1731	2062
		-25.00	1777	2115
		-25.50	1823	2169
		-26.00	1869	2222
		-26.50	1925	2290
		-27.00	1948	2319
		-27.50	1970	2347
		-28.00	1997	2381
		-28.50	2031	2424
		-29.00	2056	2455
		-29.50	2078	2482
		-30.00	2099	2508
19-1008_35	0.92	-6.00	293	
		-6.50	316	
		-7.00	336	414
		-7.50	356	438
		-8.00	383	471
		-8.50	411	505
		-9.00	432	531
		-9.50	453	557
		-10.00	479	588
		-10.50	503	617
		-11.00	543	665
		-11.50	577	706
		-12.00	601	735
		-12.50	622	760
		-13.00	649	793
		-13.50	681	832
		-14.00	714	872
		-14.50	754	920
		-15.00	794	968
		-15.50	834	1016
		-16.00	875	1065
		-16.50	916	1114
		-17.00	952	1156
		-17.50	982	1192
		-18.00	1022	1240
		-18.50	1057	1282
		-19.00	1097	1330
		-19.50	1137	1377
		-20.00	1177	1425
		-20.50	1227	1483
		-21.00	1275	1541
		-21.50	1324	1598
		-22.00	1372	1654
		-22.50	1420	1712

Project : ZWO380 Funderingen
Onderdeel : RLL-TBG380

Netto paaldraagvermogen(s) zijn naar beneden toe afgerond op: 1.0 kN nauwkeurig
Alle niveaus/hoogtes/peilmaten zijn t.o.v.: N.A.P.

sondering	maaiveld niveau	paalpunt niveau	$R_{c;netto;d}$ [kN] SI Ø508/6	SI Ø610/8
		-23.00	1468	1768
		-23.50	1516	1825
		-24.00	1564	1881
		-24.50	1611	1936
		-25.00	1656	1989
		-25.50	1713	2058
		-26.00	1772	2131
		-26.50	1814	2180
		-27.00	1861	2235
		-27.50	1908	2290
		-28.00	1955	2345
		-28.50	2001	2400
		-29.00	2048	2454
		-29.50	2095	2508
		-30.00	2141	2563
312.S03	3.78	-6.00	355	
		-6.50	396	
		-7.00	446	549
		-7.50	479	591
		-8.00	514	633
		-8.50	566	695
		-9.00	617	757
		-9.50	668	818
		-10.00	719	879
		-10.50	769	938
		-11.00	817	995
		-11.50	867	1054
		-12.00	916	1112
		-12.50	965	1170
		-13.00	1013	1227
		-13.50	1048	1268
		-14.00	1087	1315
		-14.50	1126	1361
		-15.00	1164	1406
		-15.50	1203	1452
		-16.00	1241	1497
		-16.50	1280	1543
		-17.00	1316	1586
		-17.50	1345	1619
		-18.00	1376	1656
		-18.50	1414	1700
		-19.00	1454	1748
		-19.50	1495	1796
		-20.00	1534	1843
		-20.50	1575	1893
		-21.00	1613	1938
		-21.50	1649	1980
		-22.00	1689	2027
		-22.50	1735	2081
		-23.00	1782	2136
		-23.50	1827	2189
		-24.00	1868	2238
		-24.50	1916	2293
		-25.00	1963	2348
		-25.50	2007	2400
		-26.00	2047	2446
		-26.50	2092	2500
		-27.00	2138	2554
		-27.50	2169	2592
		-28.00	2196	2625
		-28.50	2216	2651
		-29.00	2236	2676
		-29.50	2259	2705
		-30.00	2290	2744
19-1008_43	9.88	-6.00	283	
		-6.50	308	
		-7.00	352	440
		-7.50	395	492
		-8.00	440	547
		-8.50	481	598
		-9.00	523	649
		-9.50	566	701
		-10.00	604	749
		-10.50	651	805
		-11.00	706	872
		-11.50	760	938
		-12.00	814	1004
		-12.50	868	1069
		-13.00	908	1118
		-13.50	943	1160
		-14.00	983	1208
		-14.50	1026	1260
		-15.00	1063	1305
		-15.50	1109	1361
		-16.00	1160	1422
		-16.50	1213	1485
		-17.00	1265	1548
		-17.50	1315	1608
		-18.00	1360	1662
		-18.50	1401	1711
		-19.00	1445	1766

Project : ZWO380 Funderingen
Onderdeel : RLL-TBG380

Netto paaldraagvermogen(s) zijn naar beneden toe afgerond op: 1.0 kN nauwkeurig
Alle niveaus/hoogtes/peilmaten zijn t.o.v.: N.A.P.

sondering	maaiveld niveau	paalpunt niveau	$R_{c;netto;d}$ [kN] SI Ø508/6	SI Ø610/8
		-19.50	1484	1815
		-20.00	1524	1864
		-20.50	1574	1927
		-21.00	1632	1999
		-21.50	1677	2054
		-22.00	1723	2108
		-22.50	1773	2168
		-23.00	1823	2228
		-23.50	1874	2288
		-24.00	1924	2347
		-24.50	1974	2406
		-25.00	2016	2457
328.S02	10.17	-6.00	467	
		-6.50	512	
		-7.00	543	671
		-7.50	581	718
		-8.00	624	770
		-8.50	667	823
		-9.00	709	874
		-9.50	745	918
		-10.00	786	967
		-10.50	828	1018
		-11.00	876	1076
		-11.50	925	1135
		-12.00	972	1192
		-12.50	1015	1244
		-13.00	1056	1294
		-13.50	1098	1344
		-14.00	1140	1395
		-14.50	1181	1444
		-15.00	1223	1495
		-15.50	1265	1545
		-16.00	1313	1605
		-16.50	1357	1658
		-17.00	1409	1719
		-17.50	1460	1780
		-18.00	1523	1857
		-18.50	1566	1910
		-19.00	1611	1964
		-19.50	1660	2022
		-20.00	1710	2082
		-20.50	1760	2141
		-21.00	1810	2200
		-21.50	1860	2259
		-22.00	1909	2318
		-22.50	1959	2377
		-23.00	2008	2435
		-23.50	2058	2494
		-24.00	2107	2552
		-24.50	2148	2601
		-25.00	2188	2648
		-25.50	2227	2694
		-26.00	2266	2741
		-26.50	2308	2790
		-27.00	2357	2847
		-27.50	2405	2905
		-28.00	2447	2953
		-28.50	2483	2996

APPENDIX E
Berekening horizontale afdracht

In deze Appendix wordt de horizontale krachtsafdracht aangetoond van de 4-paalspoer.

Schematisering

De poerconstructie wordt geschematiseerd met fictieve staafelementen, doel is niet om de interne krachten in de poer te berekenen. Dat zal in de UO-fase met staafwerkmodellen moeten plaatsvinden. De palen zijn momentvast verbonden en geschematiseerd als elastisch ondersteunde liggers, met begrensde beddingweerstand tot de passieve gronddruk.

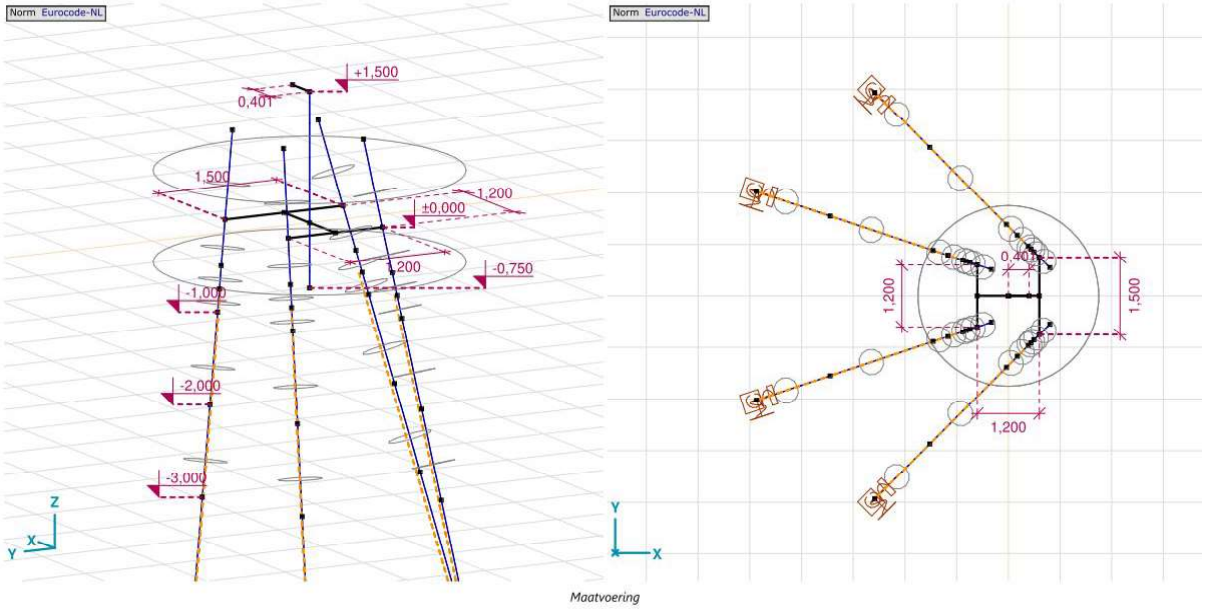

Figuur 9 Rekenmodel

In paragraaf 2.8.6 zijn de uitgangspunten gegeven voor de beddingen tegen de palen. Er is in het kader van de berekening voldoende nauwkeurigheid als onderscheid wordt gemaakt in beddingwaarde voor drie grondsoorten. Er zijn twee berekeningen uitgevoerd: een met lage veerwaarde (k gedeeld door √2) en een met hoge veerwaarde (k maal √2).

Tabel 18 Beddingwaarden

Paal	Grond	k_h [kN/m^3]	schelp [-]	Diameter [m]	Gem. [kN/m]	Laag [kN/m]	Hoog [kN/m]
Ø508/670	Veen	1500	1,2	0,508	914	647	1293
	Klei	3000	1,3	0,508	1981	1401	2802
	Zand	15000	2	0,67	20100	14213	28426

Het maatgevende bodemprofiel van sondering 2019-1008-17 is gebruikt, zie Tabel 14..

Tabel 19 Gehanteerd bodemprofiel

Van [m]	Tot [m]	Omschrijving
0,0	-4,5	Klei
-4,5	-5,0	Zand
-5,0	-6,5	Klei
-6,5	-30,0	Zand

De maximale weerstand die in rekening mag worden gebracht kan niet groter zijn dan de passieve gronddruk. Over de bovenste meters waar de grootste verplaatsingen optreden, is vanuit die overweging de maximale reactie van de

lijnondersteuning aan de paal in de berekening begrensd. Er is uitgegaan van een volumiek gewicht van 17 kN/m^3, een grondwaterstand van 0,5 m beneden maaiveld.

De methode van Bijlage C van NEN 1997-1 is gevolgd. De factor voor passieve gronddruk is voor klei of veen op 2 aangehouden, voor zand op 3. Onderstaand zijn de maximale grondweerstanden samengevat die zijn toegekend aan de elastische ondersteuningen van de palen. De steun tegen de poer wordt geheel verwaarloosd.

Tabel 20 Begrenzing passieve gronddruk

Paal	Grond	Niveau [m]	p [kN/m^3]	k_{pa} [kN/m^3]	schelp [-]	Diameter [m]	Max. druk [kN]	Max. druk [kN] 50%
Ø508	Klei	-1	12	2	1,3	0,508	7,9	4,0
		-2	19	2	1,3	0,508	20,5	10,2
		-3	26	2	1,3	0,508	29,7	14,9
		-4	33	2	1,3	0,508	39,0	19,5

Belastingen

De reacties vanuit de berekening van masttype HC+0 zijn hieronder gegeven in Tabel 20. De horizontale reacties in het lokale assenstelsel zijn als belastingen ingevoerd in AxisVM. Dit vanwege de modellering, waarbij de hoofdassen overeenkomen met de overhoekse richting.

Tabel 21 Belastingen HC+0_c

Belasting	Combinatie	R_x [kN]	R_y [kN]	R_z [kN]	R_η [kN]	R_ξ [kN]	$R_{\xi,lok}$ [kN]	$R_{z,lok}$ [kN]
Max. druk	ULS 1a_60_120gr	923	-876	**-5205**	-34	-1272	-127	-5357
Max. trek	ULS 1a_0,9_60_120gr	814	-701	**4465**	80	1071	129	4590
Max. pos. torsie	SPLS 3_90 Ah Ct1_140gr	-437	117	-838	**392**	-226	1	-868
Max. neg. torsie	SPLS 3_90 Ba Ct1_140gr	445	112	-877	**-394**	-235	0	-908
Comb. trek+torsie	SPLS 3_0,9_60 Ah Ct1_120gr	821	-411	**3673**	**290**	871	116	3774

Toetsing

De volgende aspecten zijn getoetst:

- Horizontale verplaatsing < 1/400 x b
- Buigspanning in de paal < f_y

De gronddruk wordt niet getoetst, deze is immers reeds begrensd.

Tenslotte wordt bepaald wat de verhouding in belasting is tussen de maximaal belaste paal en de gemiddelde belasting per paal. Deze verhouding is de factor “efficiëntie” die in de toetsing met TS/Paalfunderingen wordt gebruikt.

Verplaatsingseisen worden gesteld voor de karakteristieke belastingen, zonder belastingfactoren. In de berekening is gewerkt met rekenwaarden. Als de berekening wordt uitgevoerd met belastingfactor (ULS of SpLS) moet om terug te rekenen worden gedeeld door de belastingfactor. De methode wordt hier toegelicht.

Er wordt gerekend met een verhouding ULS/SLS van 1,35. Voor de load cases van SPLS met maximale torsiebelasting wordt een factor 1,0 gerekend aangezien er geen SLS-equivalent van SPLS bestaat en de SPLS al uitgaat van gereduceerde belastingsfactoren.

Onder de belasting door torsie verplaatsen beide poten in dezelfde richting, theoretisch wordt dan altijd voldaan aan de eis. Gekozen is om ook hier het uitgangspunt te hanteren van 1/400 x b. In de overige load cases kunnen poten in tegengestelde richting vervormen. De toelaatbare vervorming is in die gevallen 50% van de toelaatbare waarde. De eisen zijn in tabel samengevat. De pootspreiding van de HC+0_c mast is gebruikt.

Mast	Basiseis			Eis voor berekeningsresultaten		
	b	eis	Eis	Factor 1	Factor 2	Eis
	[m]	[-]	[mm]	[-]	[-]	[mm]
HC+0 UGT afkeur	11,76	1/400	29,4	1,35	0,50	19,8
HC+0 Torsie	11,76	1/400	29,4	1,00	1,00	29,4

Resultaten

Zie berekening AxisVM. De voor de trekkracht in de paal maatgevende combinatie is de combinatie van trek en torsie. Het verschil met de combinatie max. trek is echter gering. Bij de twee andere combinaties met meer horizontale belasting, worden de buitenste palen het zwaarst belast, maar is de trekkracht lager. Met de ongelijke verdeling is rekening gehouden bij het bepalen van het benodigde paalpuntniveau via de efficiëntiefactor. Deze is berekend in Tabel 21, door de totale trekkracht te delen door de maximale trekkracht in één van de palen en het aantal palen. Voor een vierpaalspoer is gerekend met 90% en voor een driepaalspoer met 85% (verschil is 4 palen x 9% / 3 palen = 12%, afgerond 15 % genomen).

Tabel 22 Berekening efficiëntie 4-paalspoer

Combinatie	Max. trek [kN]	Paal	Max. som trek [kN]	Efficiëntie
Max. trek	1180	buitenpaal	4296	91%

Zie bijlage AxisVM:

Tabel 23 Toetsing

	Berekend	Toelaatbaar		Unity-check	
Spanningscheck buispaal	154	355	N/mm^2	0,43	OK
Verplaatsing max. druk/trek	14,4	19,8	mm	0,73	OK
Verplaatsing bij torsie	18,0	29,4	mm	0,61	OK

Conclusie: de 4-paalsfundering voldoet.

Bijlage: rapport AxisVM

Project: 4-paalspoer

Constructeur: DNV GL - Energy

AxisVM X6 R1I · Geregistreerd aan DNV GL - Energy
ZWO380 20210927 4-p wortelk rev2.axs

Rapport

Onderdeel	*Pagina*
Overview	4
Nummers	5
Maatvoering	6
Materialen	7
Profielen	7
Knopen	8
Staven	9
Bedding	10
Lijnopleggingen	11
Knoopopleggingen	14
EG1: Staaf eigen gewicht	14
EG1	15
GWS: Knoopbelastingen	16
GWS	16
Max trek: Knoopbelastingen	17
Max trek	17
Max neg. torsie: Knoopbelastingen	18
Max neg. torsie	18
Max druk: Knoopbelastingen	19
Max druk	19
Max pos. torsie: Knoopbelastingen	20
Max pos. torsie	20
Comb.trek+torsie: Knoopbelastingen	21
Comb.trek+torsie	21
Gebruiker gedefinieerde belastingcombinaties uit belastinggevallen	22
[II], > Palen, Non-lin., Omhullende (Alle UGT), Onmiddellijke doorbuiging, Nx, Lijnen (gevuld)	23
[II], > Palen, Non-lin., Omhullende (Alle UGT), Onmiddellijke doorbuiging, My, Lijnen (gevuld)	24
[II], > Palen, Non-lin., Omhullende (Alle UGT), Onmiddellijke doorbuiging, Mz, Lijnen (gevuld)	25
[II], > Palen, Non-lin., Omhullende (Alle UGT), Onmiddellijke doorbuiging, Vy, Lijnen (gevuld)	26
[II], > Palen, Non-lin., Omhullende (Alle UGT), Onmiddellijke doorbuiging, Vz, Lijnen (gevuld)	27
[II], > Palen, Non-lin., Co #1 Max trek min e.g. [1] (1,000), Onmiddellijke doorbuiging, Nx, Lijnen (gevuld)	28
[II], > Palen, Non-lin., Co #2 Max pos torsie min e.g. [1] (1,000), Onmiddellijke doorbuiging, Nx, Lijnen (gevuld)	29
[II], > Palen, Non-lin., Co #3 Max neg torsie min e.g. [1] (1,000), Onmiddellijke doorbuiging, Nx, Lijnen (gevuld)	30
[II], > Palen, Non-lin., Co #4 Comb.trek+torsie min e.g. [1] (1,000), Onmiddellijke doorbuiging, Nx, Lijnen (gevuld)	31
[II], > Palen, Non-lin., Co #5 Max druk max e.g. [1] (1,000), Onmiddellijke doorbuiging, Nx, Lijnen (gevuld)	32
[II], > Palen, Non-lin., Co #6 Max pos torsie max e.g. [1] (1,000), Onmiddellijke doorbuiging, Nx, Lijnen (gevuld)	33
[II], > Palen, Non-lin., Co #7 Max neg torsie max e.g. [1] (1,000), Onmiddellijke doorbuiging, Nx, Lijnen (gevuld)	34
Staafkrachten [Non-lin., Omhullende (Alle UGT), Palen]	35
[II], > Palen, Non-lin., Omhullende (Alle UGT), Onmiddellijke doorbuiging, S;x;minmax, Lijnen (gevuld)	36

Onderdeel	*Pagina*
[II], > Palen, Non-lin., Omhullende (Alle UGT), Onmiddellijke doorbuiging, Sominmax, Lijnen (gevuld)	37
Staafspanningen [Non-lin., Omhullende (Alle UGT), Palen]	38
[II], > 7 details, Non-lin., Omhullende (Alle UGT), Onmiddellijke doorbuiging, eX, Lijnen	40
[II], > 7 details, Non-lin., Omhullende (Alle UGT), Onmiddellijke doorbuiging, eY, Lijnen	41
[II], > 7 details, Non-lin., Omhullende (Alle UGT), Onmiddellijke doorbuiging, eZ, Lijnen	42
[II], > 7 details, Non-lin., Co #6 Max pos torsie max e.g. [1] (1,000), Onmiddellijke doorbuiging, eR, Lijnen	43
Knoopverplaatsingen [Non-lin., Omhullende (Alle UGT), Details]	44
[II], > Palen, Non-lin., Omhullende (Alle UGT), Onmiddellijke doorbuiging, Rx (knoopopl.), Lijnen	45
[II], > Palen, Non-lin., Omhullende (Alle UGT), Onmiddellijke doorbuiging, Ry (lijnopp.), Lijnen (gevuld)	46
[II], > Palen, Non-lin., Omhullende (Alle UGT), Onmiddellijke doorbuiging, Rz (lijnopp.), Lijnen (gevuld)	47
Interne krachten knoopoplegging [Non-lin., Omhullende (Alle UGT), Palen]	48

Project: 4-paalspoer

Constructeur: DNV GL - Energy

Model: **ZWO380 20210927 4-p wortelk rev2.axs**

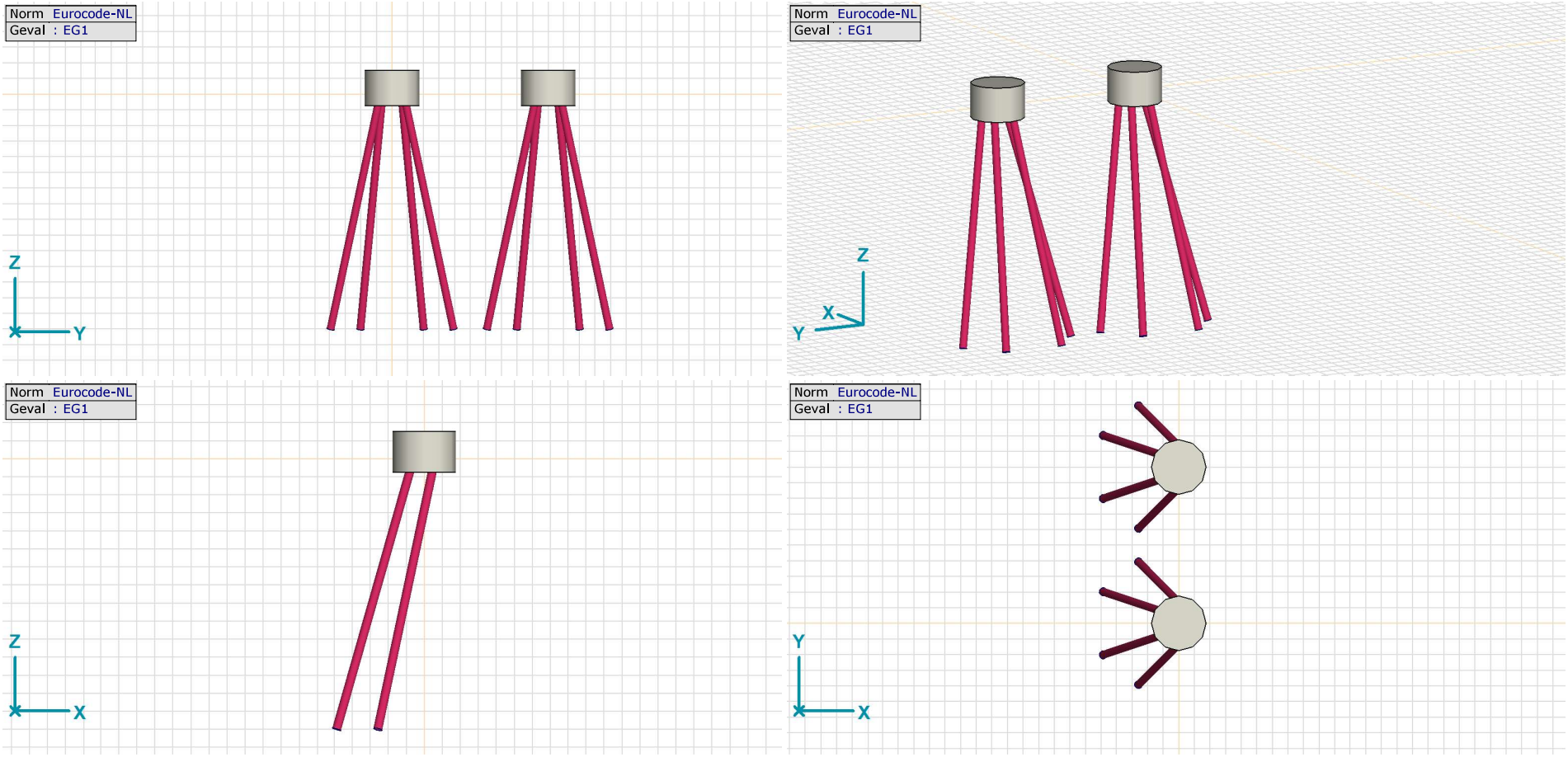

Overview

Project: 4-paalspoer

Constructeur: DNV GL - Energy

Model: **ZWO380 20210927 4-p wortelk rev2.axs**

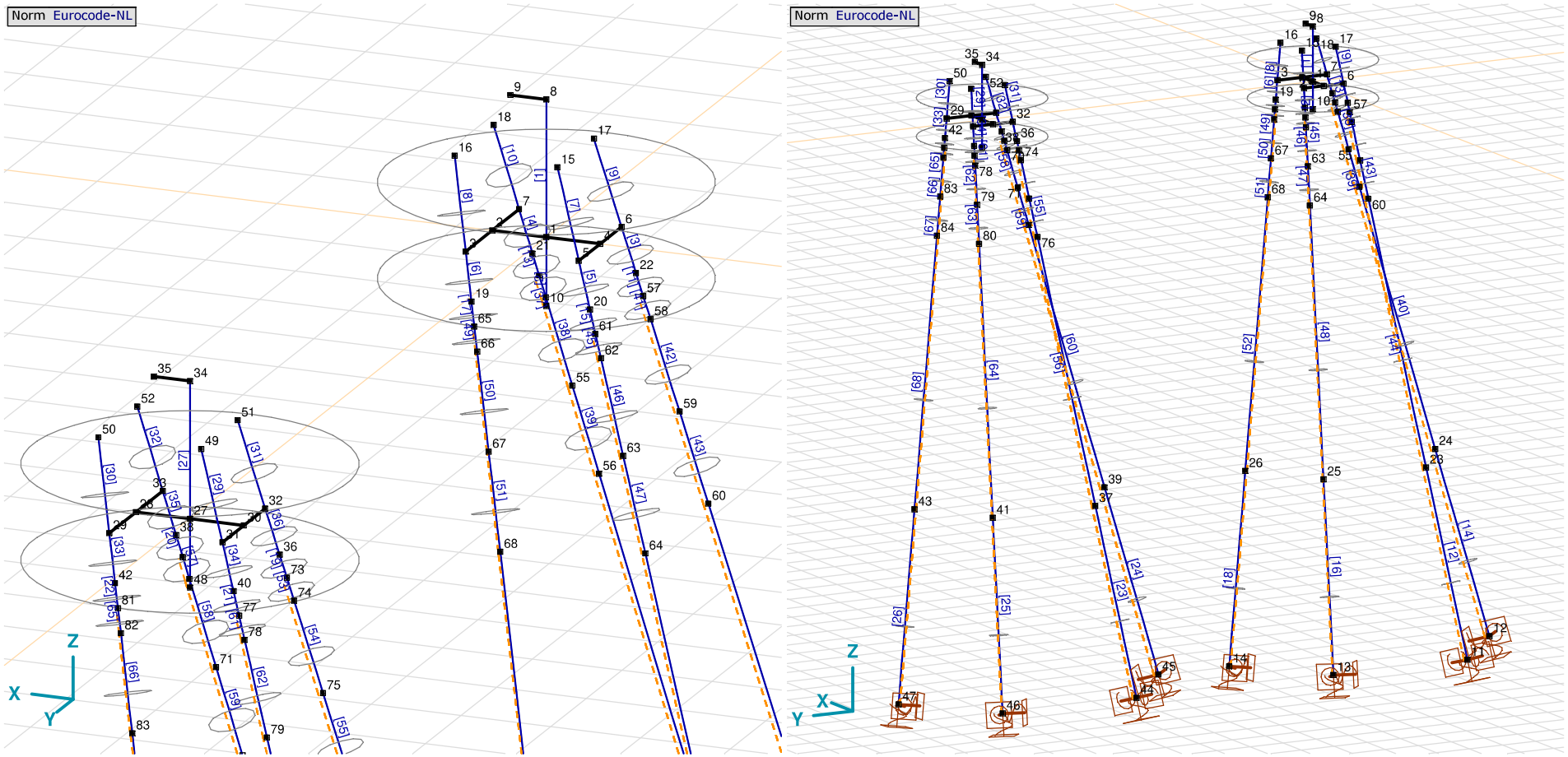

Nummers

Project: 4-paalspoer

Constructeur: DNV GL - Energy

Model: **ZWO380 20210927 4-p wortelk rev2.axs**

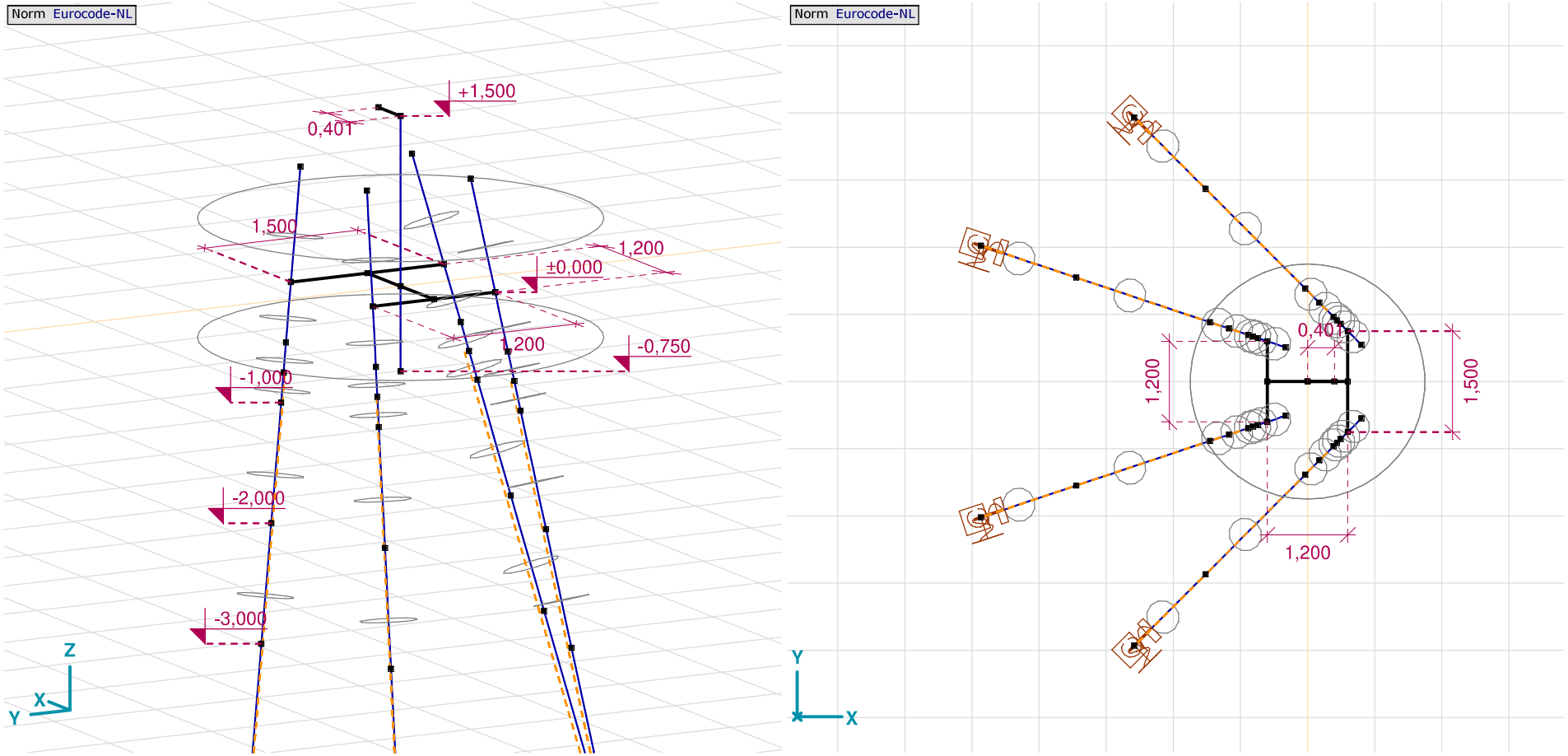

Maatvoering

Project: 4-paalspoer

Constructeur: DNV GL - Energy

Model: **ZWO380 20210927 4-p wortelk rev2.axs**

Materialen

	Naam	Type	Nationale norm	Materiaalnorm	Model	E_x [N/mm²]	E_y [N/mm²]	ν	α_T [1/°C]	ρ [kg/m³]	Materiaal kleur	Contour kleur	Structuur	P_1
1	C30/37	Beton	Eurocode-NL	EN 206	Lineair	32800	32800	0,20	1E-5	2500			Concrete A	f_{ck}[N/mm²] = 30,00
2	S 355	Staal	Eurocode-NL	10025-2	Lineair	210000	210000	0,30	1,2E-5	7850			Steel	f_y[N/mm²] = 355,00

	Naam	P_2	P_3	P_4	P_5	P_6	P_7	P_8	P_9	P_{10}	P_{11}	P_{12}	P_{13}	P_{14}
1	C30/37	γ_c = 1,500	α_{cc} = 1,00	ϕ_t = 2,00										
2	S 355	f_u[N/mm²] = 510,00	f^*_y[N/mm²] = 335,00	f^*_u[N/mm²] = 470,00										

Naam: Materiaalnaam; **Type:** Type materiaal; **Model:** Materiaal model; **E_x:** Elasticiteitsmodulus in lokale x richting; **E_y:** Elasticiteitsmodulus in lokale y richting; **ν:** Poisson's verhouding; **α_T:** Warmteuitzettingscoëfficiënt; **ρ:** Dichtheid; **Materiaal kleur:** Materiaalkleur; **Contour kleur:** Contourkleur; **P_1, P_2, P_3, P_4, P_5, P_6, P_7, P_8, P_9, P_{10}, P_{11}, P_{12}, P_{13}, P_{14}:** Ontwerpparameter;

Profielen

	Naam	Tekening	Productie	Vorm	h [mm]	b [mm]	tw [mm]	tf [mm]	r_1 [mm]	r_2 [mm]	r_3 [mm]	Ax [mm²]	Ay [mm²]	Az [mm²]	Ix [mm⁴]	Iy [mm⁴]	Iz [mm⁴]
1	O 3500		Ander	Rond	3500,0	3500,0	0	0	0	0	0	9619174,00	8245006,00	8245006,00	1,47E+13	7,36E+12	7,36E+12
2	O 508x9		Gewalst	Buis	508,0	508,0	9,3	9,3	0	0	0	14567,47	7287,48	7288,00	9,06E+08	4,53E+08	4,53E+08

	Naam	Iyz [mm⁴]	I_1 [mm⁴]	I_2 [mm⁴]	α [°]	Iω [mm⁶]	$W_{1,el,t}$ [mm³]	$W_{1,el,b}$ [mm³]	$W_{2,el,t}$ [mm³]	$W_{2,el,b}$ [mm³]	$W_{1,pl}$ [mm³]	$W_{2,pl}$ [mm³]	i_y [mm]	i_z [mm]	Hy [mm]	Hz [mm]
1	O 3500	0	7,36E+12	7,36E+12	0	0	4,21E+09	4,21E+09	4,21E+09	4,21E+09	7,14E+09	7,14E+09	874,9	874,9	3500,0	3500,0
2	O 508x9	0	4,53E+08	4,53E+08	0	10	1783207,00	1783207,00	1783207,00	1783207,00	2312489,00	2312504,00	176,3	176,3	508,0	508,0

	Naam	y_G [mm]	z_G [mm]	y_s [mm]	z_s [mm]	S.p.
1	O 3500	1750,0	1750,0	0	0	5
2	O 508x9	254,0	254,0	0	0	5

Naam: Doorsnede naam; **Productie:** Productieproces; **Vorm:** Profiel; **h:** Doorsnede hoogte; **b:** Doorsnede breedte; **tw:** Lijfdikte; **tf:** Flensdikte; **r_1, r_2, r_3:** Afrondingswaarde; **Ax:** Doorsnede-oppervlak; **Ay, Az:** Afschuivingsoppervlak; **Ix:** Torsietraagheidsmoment; **Iy, Iz:** Buigtraagheidsmoment; **Iyz:** Centrifugaal traagheidsmoment; **I_1, I_2:** Hoofdbuigtraagheidsmoment; **α:** Hoofdrichtingen; **Iω:** Krommingsconstante; **$W_{1,el,t}$, $W_{1,el,b}$, $W_{2,el,t}$, $W_{2,el,b}$:** Elastisch weerstandsmoment; **$W_{1,pl}$, $W_{2,pl}$:** Plastisch weerstandsmoment; **i_y, i_z:** Traagheidsstraal; **Hy:** Afmeting in lokale Y-richting; **Hz:** Afmeting in lokale Z-richting; **y_G:** Y-coördinaat van het zwaartepunt; **z_G:** Z-coördinaat van het zwaartepunt; **y_s:** Y-coördinaat van het afschuivingsmiddelpunt (torsie); **z_s:** Z-coördinaat van het afschuivingsmiddelpunt (torsie); **S.p.:** Spanningspunten;

Project: 4-paalspoer
Constructeur: DNV GL - Energy
Model: **ZWO380 20210927 4-p wortelk rev2.axs** 14-10-2021 Pag. 8

Knopen

	X [m]	Y [m]	Z [m]
1	0	0	0
2	0,600	0	0
3	0,600	0,750	0
4	−0,600	0	0
5	−0,600	0,600	0
6	−0,600	−0,600	0
7	0,600	−0,750	0
8	0	0	1,500
9	0,401	0	1,500
10	0	0	−0,750
11	−4,869	−2,023	−15,000
12	−2,582	−3,932	−15,000
13	−4,869	2,023	−15,000
14	−2,582	3,932	−15,000
15	−0,327	0,509	0,958
16	0,803	0,547	0,958
17	−0,327	−0,509	0,958
18	0,803	−0,547	0,958
19	0,494	0,856	−0,500
20	−0,742	0,647	−0,500
21	0,494	−0,856	−0,500
22	−0,742	−0,647	−0,500
23	−3,446	−1,549	−10,000
24	−1,521	−2,871	−10,000
25	−3,446	1,549	−10,000
26	−1,521	2,871	−10,000
27	0	10,000	0
28	0,600	10,000	0
29	0,600	10,750	0
30	−0,600	10,000	0
31	−0,600	10,600	0
32	−0,600	9,400	0
33	0,600	9,250	0
34	0	10,000	1,500
35	0,401	10,000	1,500
36	−0,742	9,353	−0,500
37	−3,446	8,451	−10,000
38	0,494	9,144	−0,500
39	−1,521	7,129	−10,000
40	−0,742	10,647	−0,500
41	−3,446	11,549	−10,000
42	0,494	10,856	−0,500
43	−1,521	12,871	−10,000
44	−4,869	7,977	−15,000
45	−2,582	6,068	−15,000
46	−4,869	12,023	−15,000
47	−2,582	13,932	−15,000
48	0	10,000	−0,750
49	−0,327	10,509	0,958
50	0,803	10,547	0,958
51	−0,327	9,491	0,958
52	0,803	9,453	0,958
53	0,441	−0,909	−0,750
54	0,388	−0,962	−1,000
55	0,176	−1,174	−2,000
56	−0,036	−1,386	−3,000
57	−0,813	−0,671	−0,750
58	−0,884	−0,695	−1,000
59	−1,169	−0,790	−2,000
60	−1,454	−0,885	−3,000
61	−0,814	0,671	−0,750
62	−0,885	0,695	−1,000
63	−1,169	0,790	−2,000
64	−1,454	0,885	−3,000
65	0,441	0,909	−0,750
66	0,388	0,962	−1,000
67	0,176	1,174	−2,000
68	−0,036	1,386	−3,000
69	0,441	9,091	−0,750
70	0,388	9,038	−1,000
71	0,176	8,826	−2,000
72	−0,036	8,614	−3,000
73	−0,813	9,329	−0,750
74	−0,885	9,305	−1,000
75	−1,169	9,210	−2,000
76	−1,454	9,115	−3,000
77	−0,813	10,671	−0,750
78	−0,885	10,695	−1,000
79	−1,169	10,790	−2,000
80	−1,454	10,885	−3,000
81	0,441	10,909	−0,750
82	0,388	10,962	−1,000
83	0,176	11,174	−2,000
84	−0,036	11,386	−3,000

Staven

	Start-punt	Eind-punt	Lengte	Lokaal X	Materiaal	Doorsnede
1	1	8	1,500	i - j	C30/37	1
2	10	1	0,750	j - i	C30/37	1
3	22	6	0,522	j - i	S 355	2
4	21	7	0,522	j - i	S 355	2
5	20	5	0,522	j - i	S 355	2
6	19	3	0,522	j - i	S 355	2
7	5	15	1,000	i - j	S 355	2
8	3	16	1,000	i - j	S 355	2
9	6	17	1,000	i - j	S 355	2
10	7	18	1,000	i - j	S 355	2
11	57	22	0,260	j - i	S 355	2
12	11	23	5,220	i - j	S 355	2
13	53	21	0,261	j - i	S 355	2
14	12	24	5,220	i - j	S 355	2
15	61	20	0,261	j - i	S 355	2
16	13	25	5,220	i - j	S 355	2
17	65	19	0,260	j - i	S 355	2
18	14	26	5,220	i - j	S 355	2
19	73	36	0,260	j - i	S 355	2
20	69	38	0,261	j - i	S 355	2
21	77	40	0,260	j - i	S 355	2
22	81	42	0,261	j - i	S 355	2
23	44	37	5,220	j - i	S 355	2
24	45	39	5,220	j - i	S 355	2
25	46	41	5,220	j - i	S 355	2
26	47	43	5,220	j - i	S 355	2
27	27	34	1,500	i - j	C30/37	1
28	48	27	0,750	j - i	C30/37	1
29	31	49	1,000	i - j	S 355	2
30	29	50	1,000	i - j	S 355	2
31	32	51	1,000	i - j	S 355	2
32	33	52	1,000	i - j	S 355	2
33	42	29	0,522	j - i	S 355	2
34	40	31	0,522	j - i	S 355	2
35	38	33	0,522	j - i	S 355	2
36	36	32	0,522	j - i	S 355	2
37	54	53	0,261	j - i	S 355	2
38	55	54	1,044	j - i	S 355	2
39	56	55	1,044	j - i	S 355	2
40	24	56	7,308	i - j	S 355	2
41	58	57	0,261	j - i	S 355	2
42	59	58	1,045	j - i	S 355	2
43	60	59	1,044	j - i	S 355	2
44	23	60	7,308	i - j	S 355	2
45	62	61	0,261	j - i	S 355	2
46	63	62	1,044	j - i	S 355	2
47	64	63	1,044	j - i	S 355	2
48	25	64	7,309	i - j	S 355	2
49	66	65	0,262	j - i	S 355	2
50	67	66	1,044	j - i	S 355	2
51	68	67	1,045	j - i	S 355	2
52	26	68	7,308	i - j	S 355	2
53	74	73	0,262	j - i	S 355	2
54	75	74	1,043	j - i	S 355	2
55	76	75	1,044	j - i	S 355	2
56	37	76	7,309	i - j	S 355	2
57	70	69	0,261	j - i	S 355	2
58	71	70	1,044	j - i	S 355	2
59	72	71	1,043	j - i	S 355	2
60	39	72	7,309	i - j	S 355	2
61	78	77	0,262	j - i	S 355	2
62	79	78	1,044	j - i	S 355	2
63	80	79	1,044	j - i	S 355	2
64	41	80	7,308	i - j	S 355	2
65	82	81	0,261	j - i	S 355	2
66	83	82	1,044	j - i	S 355	2
67	84	83	1,044	j - i	S 355	2
68	43	84	7,308	i - j	S 355	2

Lengte: Elementlengte; **Lokaal X:** Lokale X-richting;

Project: 4-paalspoer

Constructeur: DNV GL - Energy

Model: **ZWO380 20210927 4-p wortelk rev2.axs**

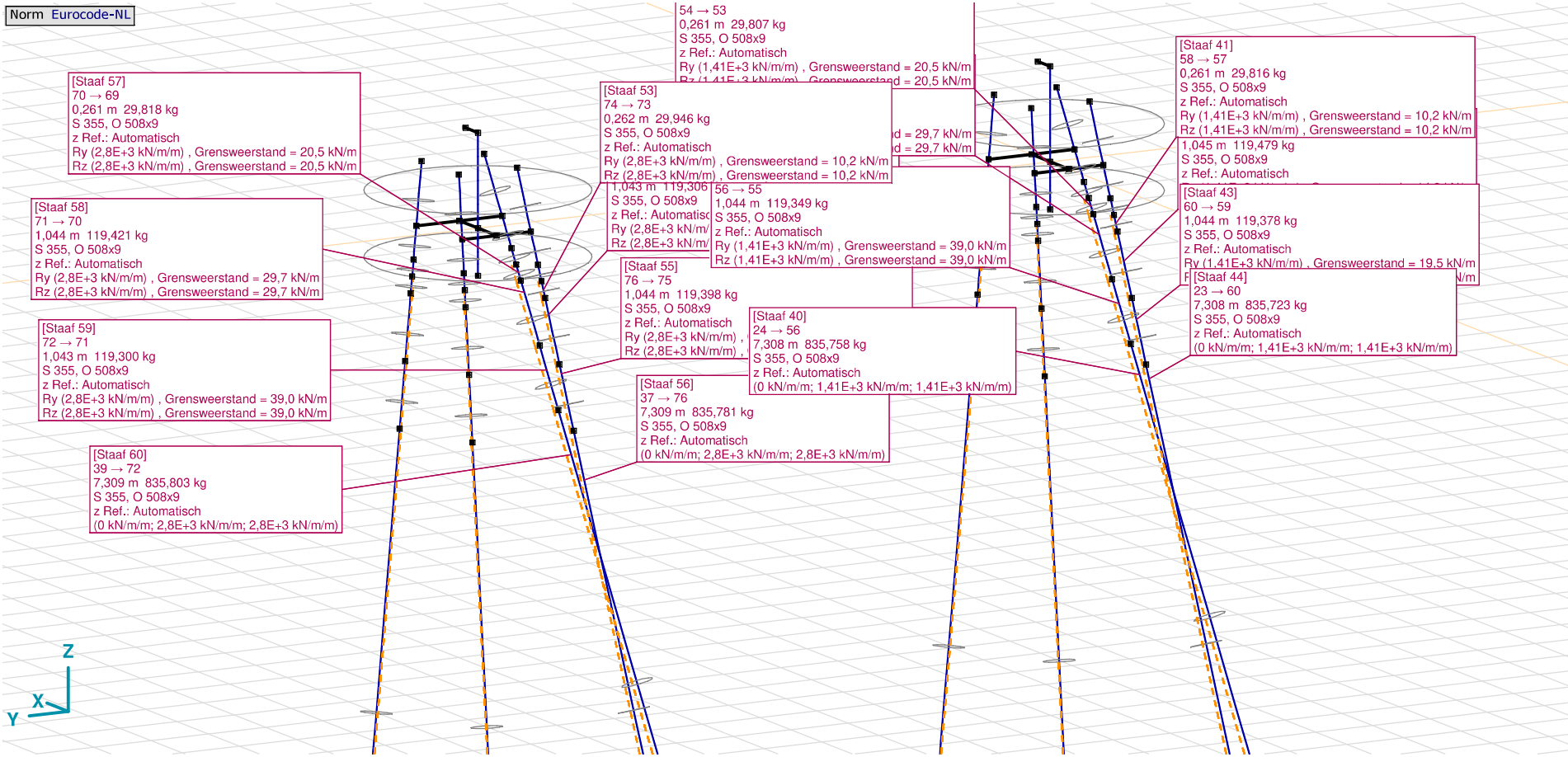

Bedding

Lijnopleggingen

	Lijn	Type	Ref. elem.	Rx [kN/m/m]	Ry [kN/m/m]	Rz [kN/m/m]	Rxx [kNm/rad/m]	Ryy [kNm/rad/m]	Rzz [kNm/rad/m]	NL(x)	NL(y)	NL(z)	NL(xx)	NL(yy)	NL(zz)
		Staaf r.													
1	Staaf 12	Staaf r.		0	1,42E+4	1,42E+4					Symmetrisch	Symmetrisch			
2	Staaf 14	Staaf r.		0	1,42E+4	1,42E+4					Symmetrisch	Symmetrisch			
3	Staaf 16	Staaf r.		0	1,42E+4	1,42E+4					Symmetrisch	Symmetrisch			
4	Staaf 18	Staaf r.		0	1,42E+4	1,42E+4					Symmetrisch	Symmetrisch			
5	Staaf 23	Staaf r.		0	2,84E+4	2,84E+4					Symmetrisch	Symmetrisch			
6	Staaf 24	Staaf r.		0	2,84E+4	2,84E+4					Symmetrisch	Symmetrisch			
7	Staaf 25	Staaf r.		0	2,84E+4	2,84E+4					Symmetrisch	Symmetrisch			
8	Staaf 26	Staaf r.		0	2,84E+4	2,84E+4					Symmetrisch	Symmetrisch			
9	Staaf 37	Staaf r.		0	1,41E+3	1,41E+3					Symmetrisch	Symmetrisch			
10	Staaf 38	Staaf r.		0	1,41E+3	1,41E+3					Symmetrisch	Symmetrisch			
11	Staaf 39	Staaf r.		0	1,41E+3	1,41E+3					Symmetrisch	Symmetrisch			
12	Staaf 40	Staaf r.		0	1,41E+3	1,41E+3					Symmetrisch	Symmetrisch			
13	Staaf 41	Staaf r.		0	1,41E+3	1,41E+3					Symmetrisch	Symmetrisch			
14	Staaf 42	Staaf r.		0	1,41E+3	1,41E+3					Symmetrisch	Symmetrisch			
15	Staaf 43	Staaf r.		0	1,41E+3	1,41E+3					Symmetrisch	Symmetrisch			
16	Staaf 44	Staaf r.		0	1,41E+3	1,41E+3					Symmetrisch	Symmetrisch			

	Lijn	F(x) [kN/m]	F(y) [kN/m]	F(z) [kN/m]	M(x) [kNm/m]	M(y) [kNm/m]	M(z) [kNm/m]
1	Staaf 12						
2	Staaf 14						
3	Staaf 16						
4	Staaf 18						
5	Staaf 23						
6	Staaf 24						
7	Staaf 25						
8	Staaf 26						
9	Staaf 37		20,5	20,5			
10	Staaf 38		29,7	29,7			
11	Staaf 39		39,0	39,0			
12	Staaf 40						
13	Staaf 41		10,2	10,2			
14	Staaf 42		14,9	14,9			
15	Staaf 43		19,5	19,5			
16	Staaf 44						

Lijnopleggingen

	Lijn	Type	Ref. elem.	Rx [kN/m/m]	Ry [kN/m/m]	Rz [kN/m/m]	Rxx [kNm/rad/m]	Ryy [kNm/rad/m]	Rzz [kNm/rad/m]	NL(x)	NL(y)	NL(z)	NL(xx)	NL(yy)	NL(zz)
17	Staaf 45	Staaf r.		0	1,41E+3	1,41E+3					Symmetrisch	Symmetrisch			
18	Staaf 46	Staaf r.		0	1,41E+3	1,41E+3					Symmetrisch	Symmetrisch			
19	Staaf 47	Staaf r.		0	1,41E+3	1,41E+3					Symmetrisch	Symmetrisch			
20	Staaf 48	Staaf r.		0	1,41E+3	1,41E+3					Symmetrisch	Symmetrisch			
21	Staaf 49	Staaf r.		0	1,41E+3	1,41E+3					Symmetrisch	Symmetrisch			
22	Staaf 50	Staaf r.		0	1,41E+3	1,41E+3					Symmetrisch	Symmetrisch			
23	Staaf 51	Staaf r.		0	1,41E+3	1,41E+3					Symmetrisch	Symmetrisch			
24	Staaf 52	Staaf r.		0	1,41E+3	1,41E+3					Symmetrisch	Symmetrisch			
25	Staaf 53	Staaf r.		0	2,8E+3	2,8E+3					Symmetrisch	Symmetrisch			
26	Staaf 54	Staaf r.		0	2,8E+3	2,8E+3					Symmetrisch	Symmetrisch			
27	Staaf 55	Staaf r.		0	2,8E+3	2,8E+3					Symmetrisch	Symmetrisch			
28	Staaf 56	Staaf r.		0	2,8E+3	2,8E+3					Symmetrisch	Symmetrisch			
29	Staaf 57	Staaf r.		0	2,8E+3	2,8E+3					Symmetrisch	Symmetrisch			
30	Staaf 58	Staaf r.		0	2,8E+3	2,8E+3					Symmetrisch	Symmetrisch			
31	Staaf 59	Staaf r.		0	2,8E+3	2,8E+3					Symmetrisch	Symmetrisch			
32	Staaf 60	Staaf r.		0	2,8E+3	2,8E+3					Symmetrisch	Symmetrisch			
33	Staaf 61	Staaf r.		0	2,8E+3	2,8E+3					Symmetrisch	Symmetrisch			

	Lijn	F(x) [kN/m]	F(y) [kN/m]	F(z) [kN/m]	M(x) [kNm/m]	M(y) [kNm/m]	M(z) [kNm/m]
17	Staaf 45		10,2	10,2			
18	Staaf 46		14,9	14,9			
19	Staaf 47		19,5	19,5			
20	Staaf 48						
21	Staaf 49		20,5	20,5			
22	Staaf 50		29,7	29,7			
23	Staaf 51		39,0	39,0			
24	Staaf 52						
25	Staaf 53		10,2	10,2			
26	Staaf 54		14,9	14,9			
27	Staaf 55		19,5	19,5			
28	Staaf 56						
29	Staaf 57		20,5	20,5			
30	Staaf 58		29,7	29,7			
31	Staaf 59		39,0	39,0			
32	Staaf 60						
33	Staaf 61		10,2	10,2			

Lijnopleggingen

	Lijn	Type	Ref. elem.	Rx [kN/m/m]	Ry [kN/m/m]	Rz [kN/m/m]	Rxx [kNm/rad/m]	Ryy [kNm/rad/m]	Rzz [kNm/rad/m]	NL(x)	NL(y)	NL(z)	NL(xx)	NL(yy)	NL(zz)
34	Staaf 62	Staaf r.		0	2,8E+3	2,8E+3					Symmetrisch	Symmetrisch			
35	Staaf 63	Staaf r.		0	2,8E+3	2,8E+3					Symmetrisch	Symmetrisch			
36	Staaf 64	Staaf r.		0	2,8E+3	2,8E+3					Symmetrisch	Symmetrisch			
37	Staaf 65	Staaf r.		0	2,8E+3	2,8E+3					Symmetrisch	Symmetrisch			
38	Staaf 66	Staaf r.		0	2,8E+3	2,8E+3					Symmetrisch	Symmetrisch			
39	Staaf 67	Staaf r.		0	2,8E+3	2,8E+3					Symmetrisch	Symmetrisch			
40	Staaf 68	Staaf r.		0	2,8E+3	2,8E+3					Symmetrisch	Symmetrisch			

	Lijn	F(x) [kN/m]	F(y) [kN/m]	F(z) [kN/m]	M(x) [kNm/m]	M(y) [kNm/m]	M(z) [kNm/m]
34	Staaf 62		14,9	14,9			
35	Staaf 63		19,5	19,5			
36	Staaf 64						
37	Staaf 65		20,5	20,5			
38	Staaf 66		29,7	29,7			
39	Staaf 67		39,0	39,0			
40	Staaf 68						

Lijn: Ondersteund lijnelement; **Type:** Opleggingstype; **Ref. elem.:** Referentie-element; **Rx, Ry, Rz:** Verplaatsingsstijfheid; **Rxx, Ryy, Rzz:** Rotatiestijfheid; **NL(x), NL(y), NL(z), NL(xx), NL(yy), NL(zz):** Niet-lineaire parameters; **F(x):** Weerstand in X-richting; **F(y):** Weerstand in Y-richting; **F(z):** Weerstand in Z-richting; **M(x):** Weerstandsmoment in X-richting; **M(y):** Weerstandsmoment in Y-richting; **M(z):** Weerstandsmoment in Z-richting;

Knoopopleggingen

	Knoop	X [m]	Y [m]	Z [m]	Type	Ref. elem.	$Naam_x$	K_x [kN/m]	K_{xV} [kN/m]	$Naam_y$	K_y [kN/m]	K_{yV} [kN/m]	$Naam_z$	K_z [kN/m]	K_{zV} [kN/m]
1	11	−4,869	−2,023	−15,000	Staaf r.	Staaf 14	Lineair 2E+5 kN/m	2E+5	2E+5	Vast - translatie	1E+10	1E+10	Vast - translatie	1E+10	1E+10
2	12	−2,582	−3,932	−15,000	Staaf r.	Staaf 25	Lineair 2E+5 kN/m	2E+5	2E+5	Vast - translatie	1E+10	1E+10	Vast - translatie	1E+10	1E+10
3	13	−4,869	2,023	−15,000	Staaf r.	Staaf 36	Lineair 2E+5 kN/m	2E+5	2E+5	Vast - translatie	1E+10	1E+10	Vast - translatie	1E+10	1E+10
4	14	−2,582	3,932	−15,000	Staaf r.	Staaf 47	Lineair 2E+5 kN/m	2E+5	2E+5	Vast - translatie	1E+10	1E+10	Vast - translatie	1E+10	1E+10
5	44	−4,869	7,977	−15,000	Staaf r.	Staaf 93	Lineair 2E+5 kN/m	2E+5	2E+5	Vast - translatie	1E+10	1E+10	Vast - translatie	1E+10	1E+10
6	45	−2,582	6,068	−15,000	Staaf r.	Staaf 103	Lineair 2E+5 kN/m	2E+5	2E+5	Vast - translatie	1E+10	1E+10	Vast - translatie	1E+10	1E+10
7	46	−4,869	12,023	−15,000	Staaf r.	Staaf 113	Lineair 2E+5 kN/m	2E+5	2E+5	Vast - translatie	1E+10	1E+10	Vast - translatie	1E+10	1E+10
8	47	−2,582	13,932	−15,000	Staaf r.	Staaf 123	Lineair 2E+5 kN/m	2E+5	2E+5	Vast - translatie	1E+10	1E+10	Vast - translatie	1E+10	1E+10

	Knoop	$Naam_{xx}$	K_{xx} [kNm/rad]	K_{xxV} [kNm/rad]	$Naam_{yy}$	K_{yy} [kNm/rad]	K_{yyV} [kNm/rad]	$Naam_{zz}$	K_{zz} [kNm/rad]	K_{zzV} [kNm/rad]
1	11	Vast - rotatie	1E+10	1E+10	Vast - rotatie	1E+10	1E+10	Vast - rotatie	1E+10	1E+10
2	12	Vast - rotatie	1E+10	1E+10	Vast - rotatie	1E+10	1E+10	Vast - rotatie	1E+10	1E+10
3	13	Vast - rotatie	1E+10	1E+10	Vast - rotatie	1E+10	1E+10	Vast - rotatie	1E+10	1E+10
4	14	Vast - rotatie	1E+10	1E+10	Vast - rotatie	1E+10	1E+10	Vast - rotatie	1E+10	1E+10
5	44	Vast - rotatie	1E+10	1E+10	Vast - rotatie	1E+10	1E+10	Vast - rotatie	1E+10	1E+10
6	45	Vast - rotatie	1E+10	1E+10	Vast - rotatie	1E+10	1E+10	Vast - rotatie	1E+10	1E+10
7	46	Vast - rotatie	1E+10	1E+10	Vast - rotatie	1E+10	1E+10	Vast - rotatie	1E+10	1E+10
8	47	Vast - rotatie	1E+10	1E+10	Vast - rotatie	1E+10	1E+10	Vast - rotatie	1E+10	1E+10

Knoop: Ondersteunde knoop; **Type:** Opleggingstype; **Ref. elem.:** Referentie-element; **K_x, K_y, K_z, K_{xx}, K_{yy}, K_{zz}:** Initiële stijfheid;

EG1: Staaf eigen gewicht

	Σ [kg]
125–132	54107,853
229–236	54107,853
Totaal	**108215,705**

Σ: Totale massa;

Project: 4-paalspoer

Constructeur: DNV GL - Energy

Model: **ZWO380 20210927 4-p wortelk rev2.axs**

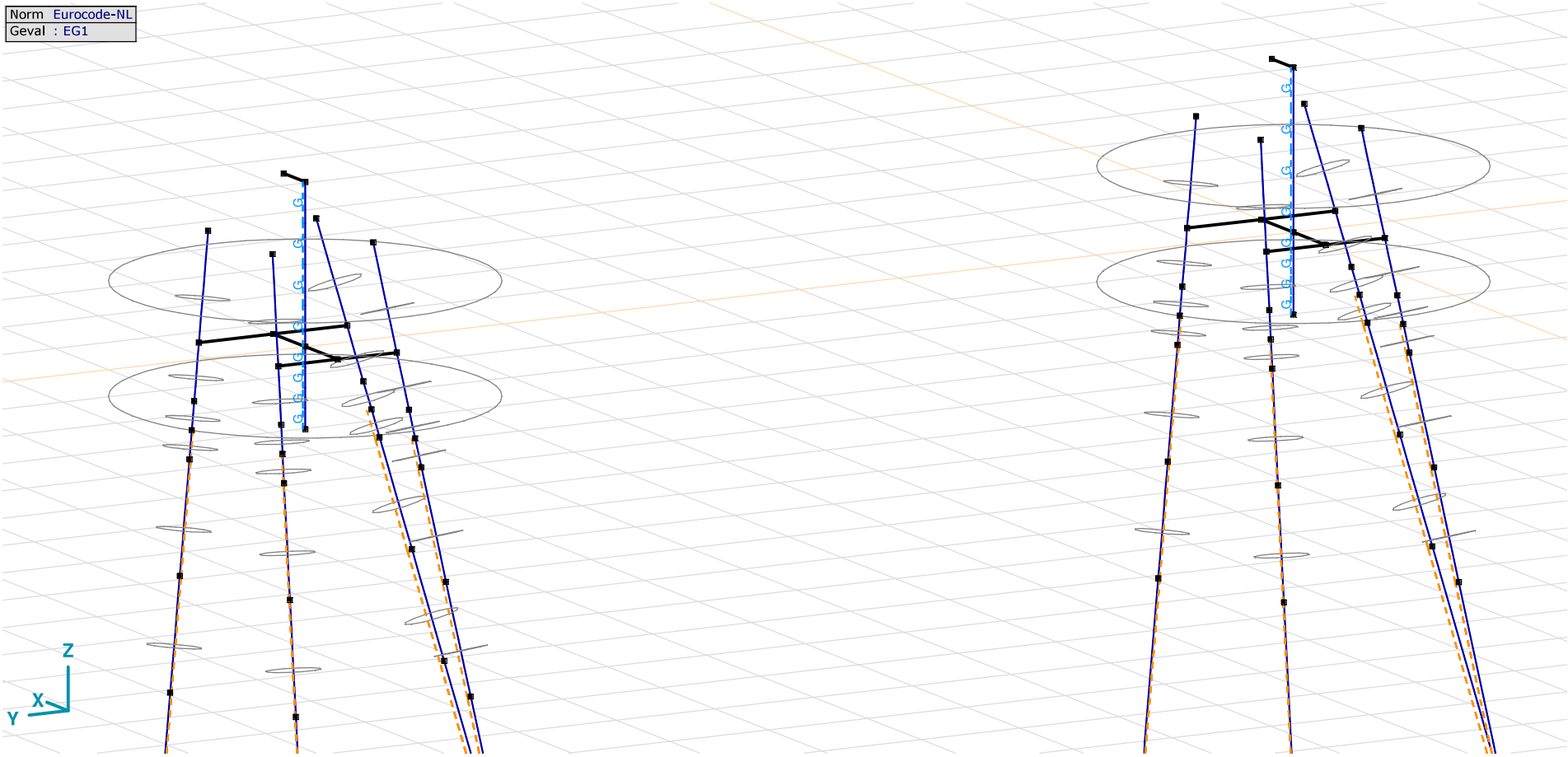

EG1

Project: 4-paalspoer
Constructeur: DNV GL - Energy
Model: **ZWO380 20210927 4-p wortelk rev2.axs** 14-10-2021 Pag. 16

GWS: Knoopbelastingen

	Richting	*Fx [kN]*	*Fy [kN]*	*Fz [kN]*	*Mx [kNm]*	*My [kNm]*	*Mz [kNm]*
10	Globaal	0	0	120,2	0	0	0
48	Globaal	0	0	120,2	0	0	0

Fx, Fy, Fz: Belastingkracht component; **Mx, My, Mz:** Belastingsmoment component;

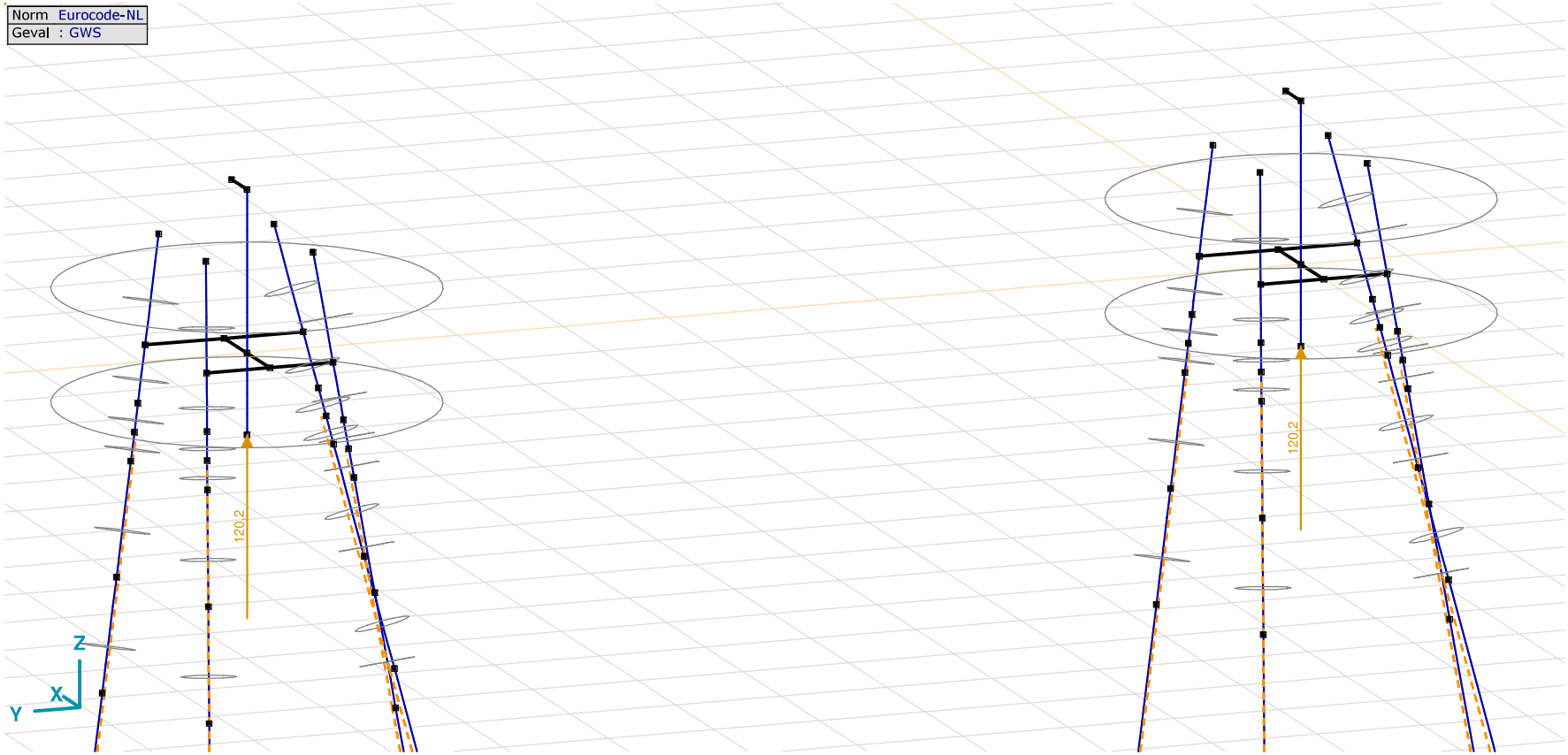

GWS

Max trek: Knoopbelastingen

	Richting	*Fx [kN]*	*Fy [kN]*	*Fz [kN]*	*Mx [kNm]*	*My [kNm]*	*Mz [kNm]*
9	Globaal	1071,0	80,0	4465,0	0	0	0
35	Globaal	1071,0	80,0	4465,0	0	0	0

Fx, Fy, Fz: Belastingkracht component; **Mx, My, Mz:** Belastingsmoment component;

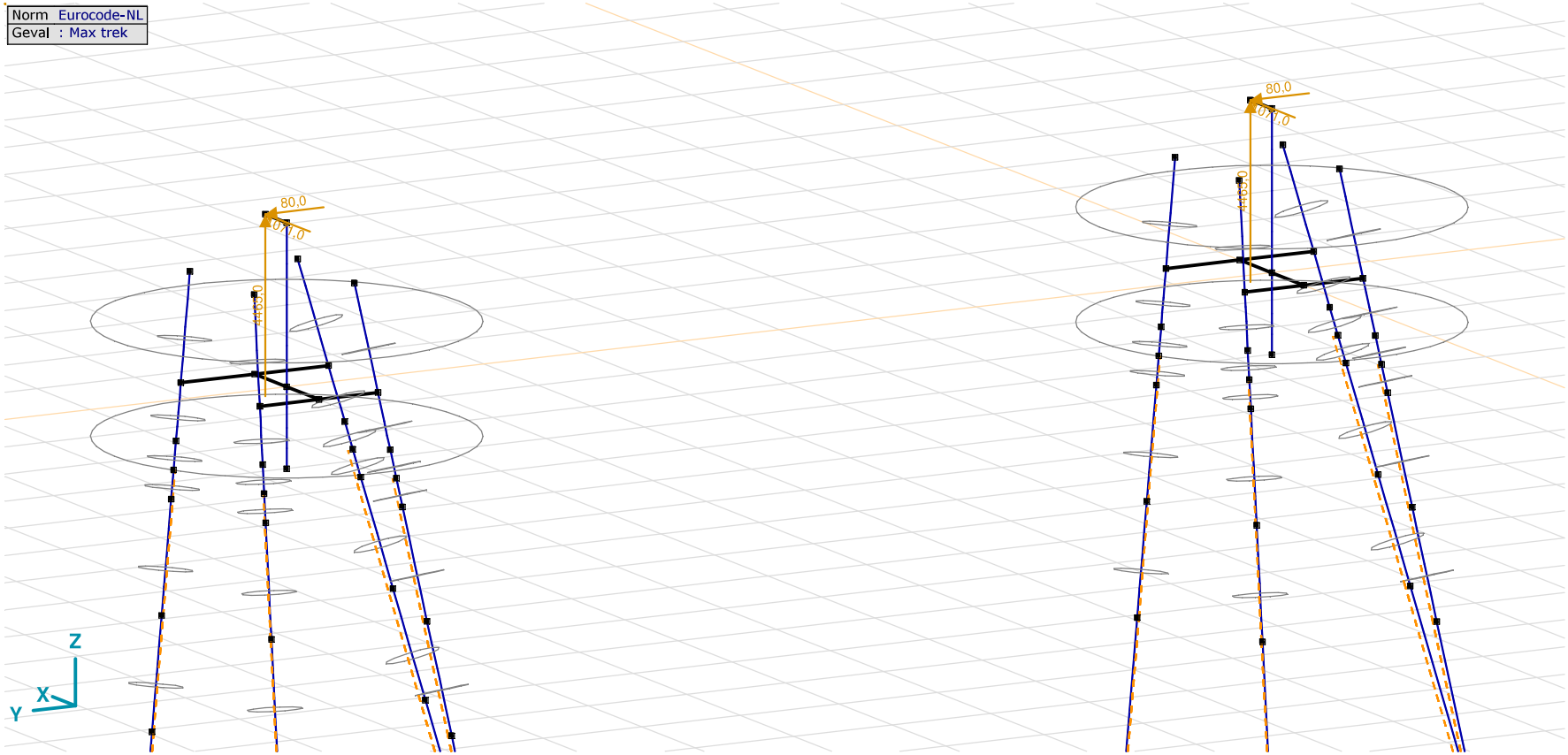

Max trek

Max neg. torsie: Knoopbelastingen

	Richting	*Fx [kN]*	*Fy [kN]*	*Fz [kN]*	*Mx [kNm]*	*My [kNm]*	*Mz [kNm]*
9	Globaal	−236,0	−394,0	−877,0	0	0	0
35	Globaal	−236,0	−394,0	−877,0	0	0	0

Fx, Fy, Fz: Belastingkracht component; **Mx, My, Mz:** Belastingsmoment component;

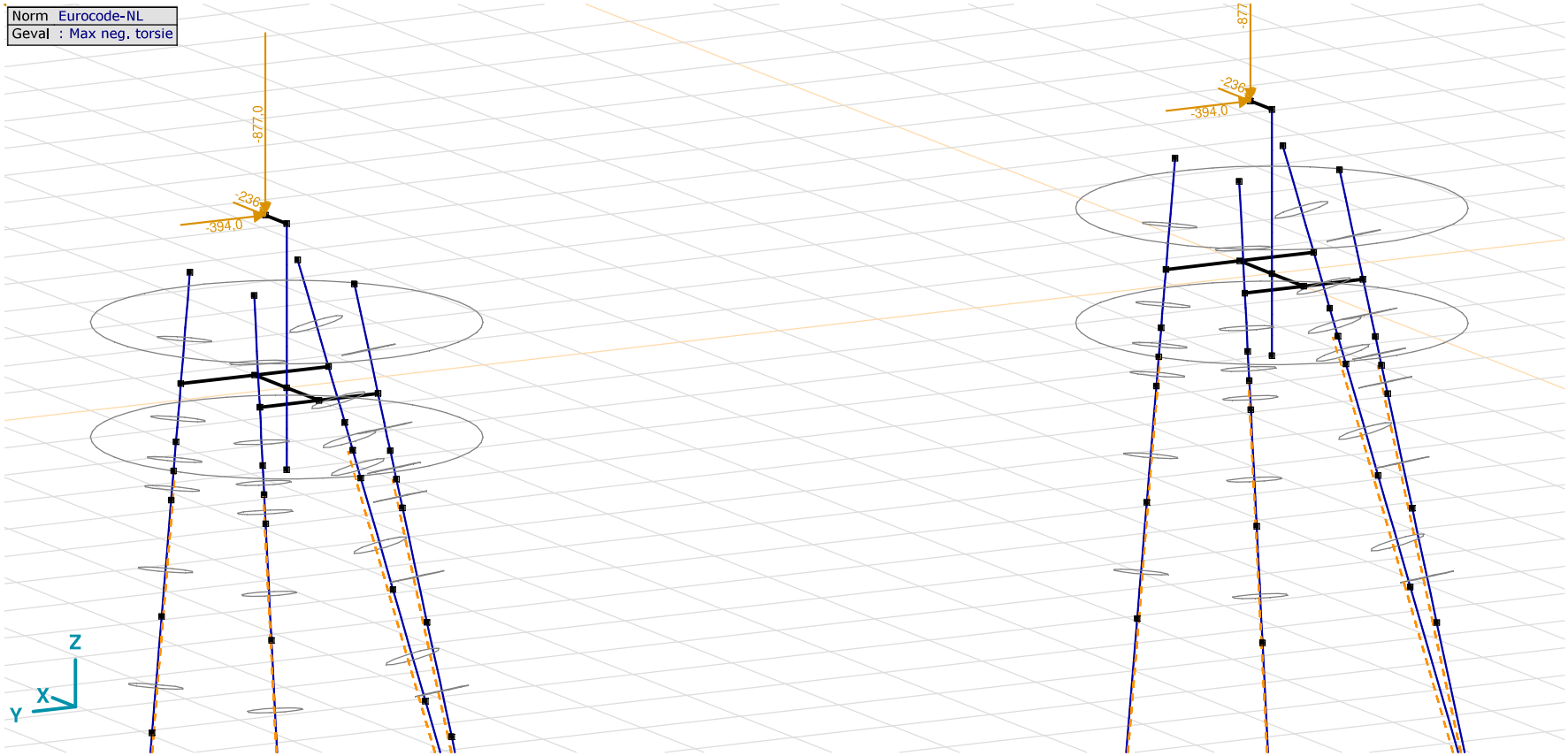

Max neg. torsie

Max druk: Knoopbelastingen

	Richting	*Fx [kN]*	*Fy [kN]*	*Fz [kN]*	*Mx [kNm]*	*My [kNm]*	*Mz [kNm]*
9	Globaal	−1272,0	−34,0	−5206,0	0	0	0
35	Globaal	−1272,0	−34,0	−5206,0	0	0	0

Fx, Fy, Fz: Belastingkracht component; **Mx, My, Mz:** Belastingsmoment component;

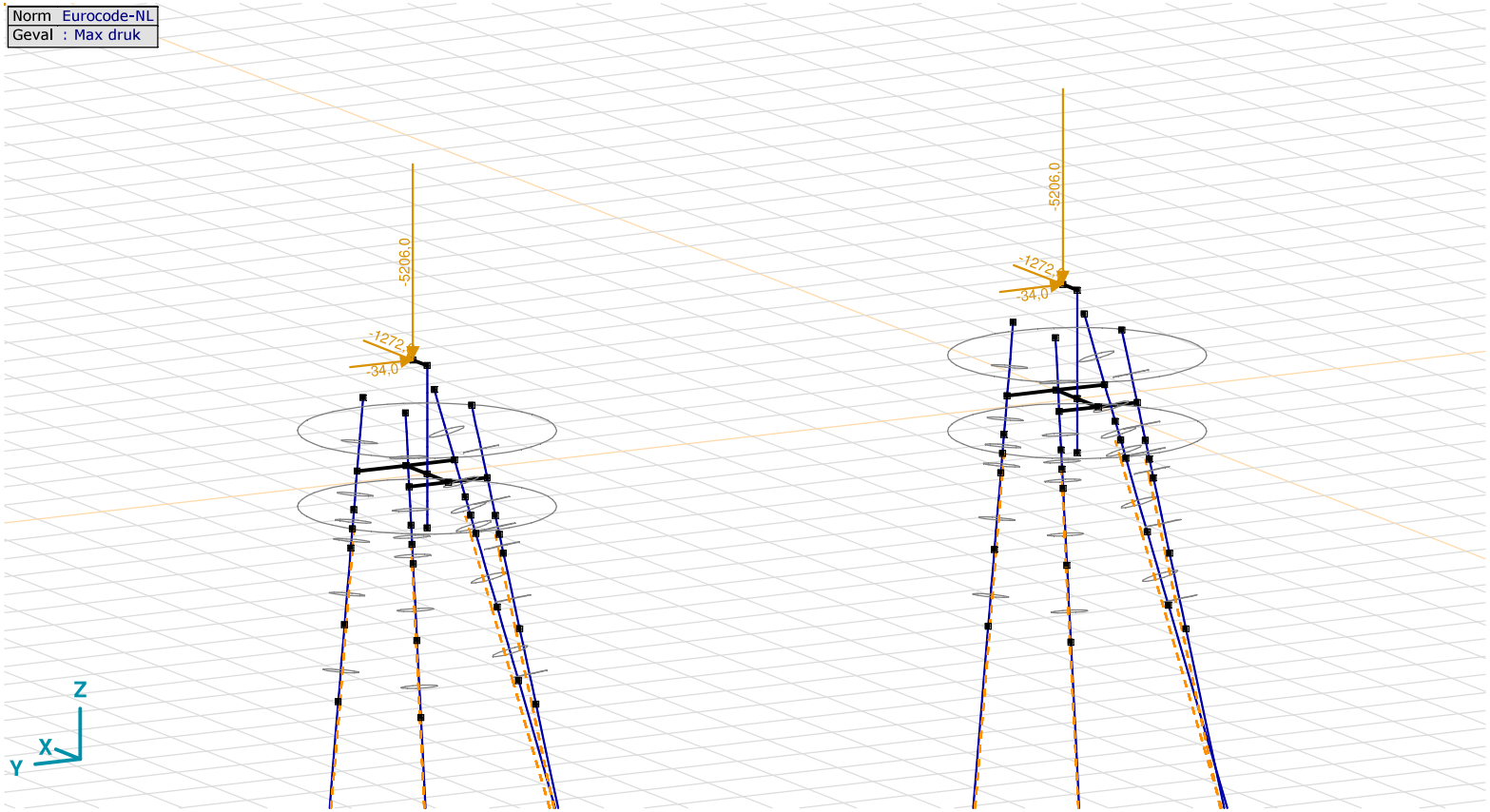

Max druk

Max pos. torsie: Knoopbelastingen

	Richting	*Fx [kN]*	*Fy [kN]*	*Fz [kN]*	*Mx [kNm]*	*My [kNm]*	*Mz [kNm]*
9	Globaal	−226,0	392,0	−838,0	0	0	0
35	Globaal	−226,0	392,0	−838,0	0	0	0

Fx, Fy, Fz: Belastingkracht component; **Mx, My, Mz:** Belastingsmoment component;

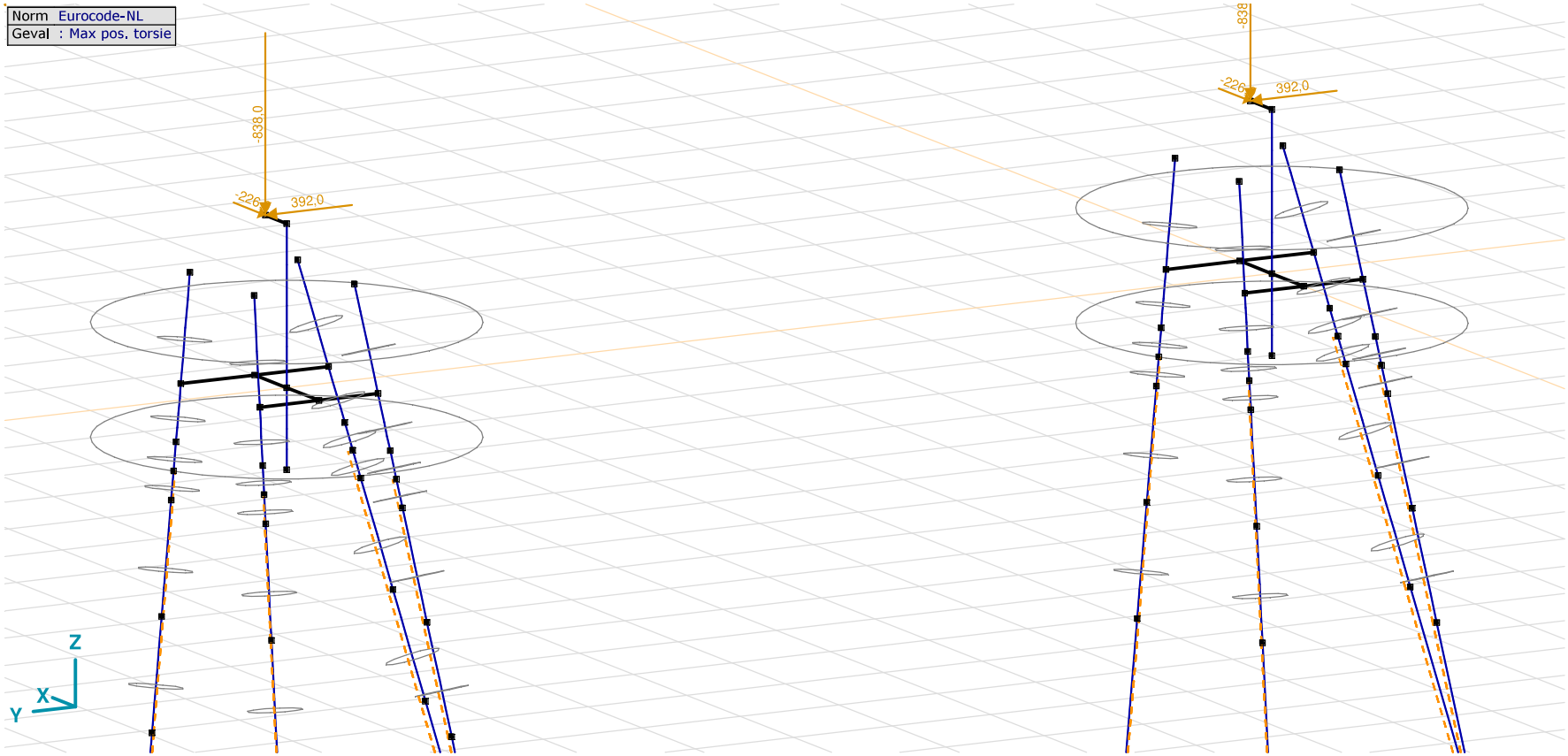

Max pos. torsie

Project: 4-paalspoer
Constructeur: DNV GL - Energy
Model: **ZWO380 20210927 4-p wortelk rev2.axs** 14-10-2021 Pag. 21

Comb.trek+torsie: Knoopbelastingen

	Richting	*Fx [kN]*	*Fy [kN]*	*Fz [kN]*	*Mx [kNm]*	*My [kNm]*	*Mz [kNm]*
9	Globaal	871,0	290,0	3673,0	0	0	0
35	Globaal	871,0	290,0	3673,0	0	0	0

Fx, Fy, Fz: Belastingkracht component; **Mx, My, Mz:** Belastingsmoment component;

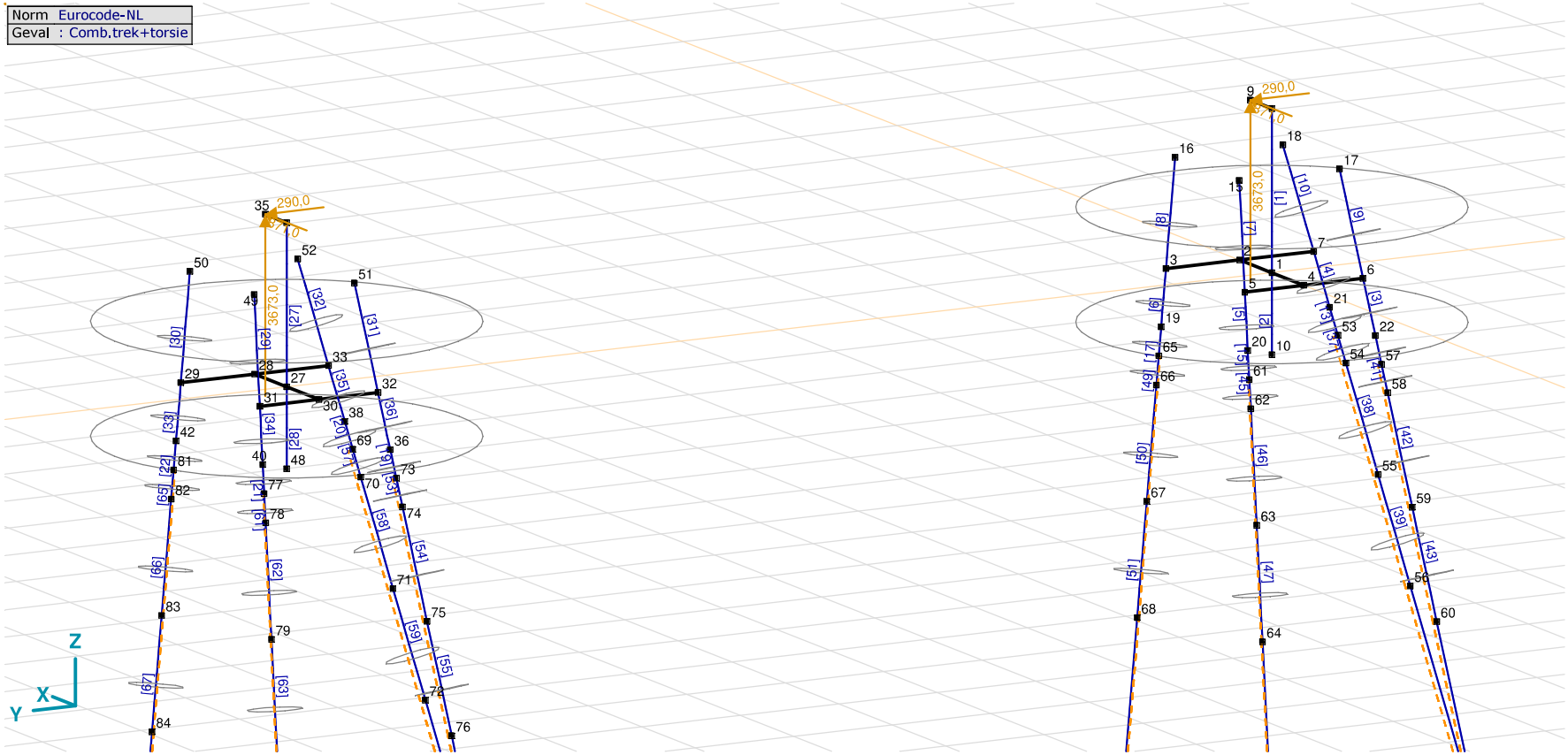

Comb.trek+torsie

Gebruiker gedefinieerde belastingcombinaties uit belastinggevallen

	Naam	*Type*	*EG1 (PERM1)*	*GWS (PERM1)*	*Max druk (VER1)*	*Max trek (VER1)*	*Max pos. torsie (VER1)*	*Max neg. torsie (VER1)*	*Comb.trek+torsie (VER1)*	*Commentaar*
1	Co #1 Max trek min e.g.	UGT	0,90	1,00	0	1,00	0	0	0	
2	Co #2 Max pos torsie min e.g.	UGT	0,90	1,00	0	0	1,00	0	0	
3	Co #3 Max neg torsie min e.g.	UGT	0,90	1,00	0	0	0	1,00	0	
4	Co #4 Comb.trek+torsie min e.g.	UGT	0,90	1,00	0	0	0	0	1,00	
5	Co #5 Max druk max e.g.	UGT	1,20	0	1,00	0	0	0	0	
6	Co #6 Max pos torsie max e.g.	UGT	1,20	0	0	0	1,00	0	0	
7	Co #7 Max neg torsie max e.g.	UGT	1,20	0	0	0	0	1,00	0	

Naam: Naam belastingcombinatie; **Type:** Type belastingcombinatie; **EG1 (PERM1), GWS (PERM1), Max druk (VER1), Max trek (VER1), Max pos. torsie (VER1), Max neg. torsie (VER1), Comb.trek+torsie (VER1):** Factor;

Project: 4-paalspoer

Constructeur: DNV GL - Energy

Model: **ZWO380 20210927 4-p wortelk rev2.axs** 14-10-2021 Pag. 23

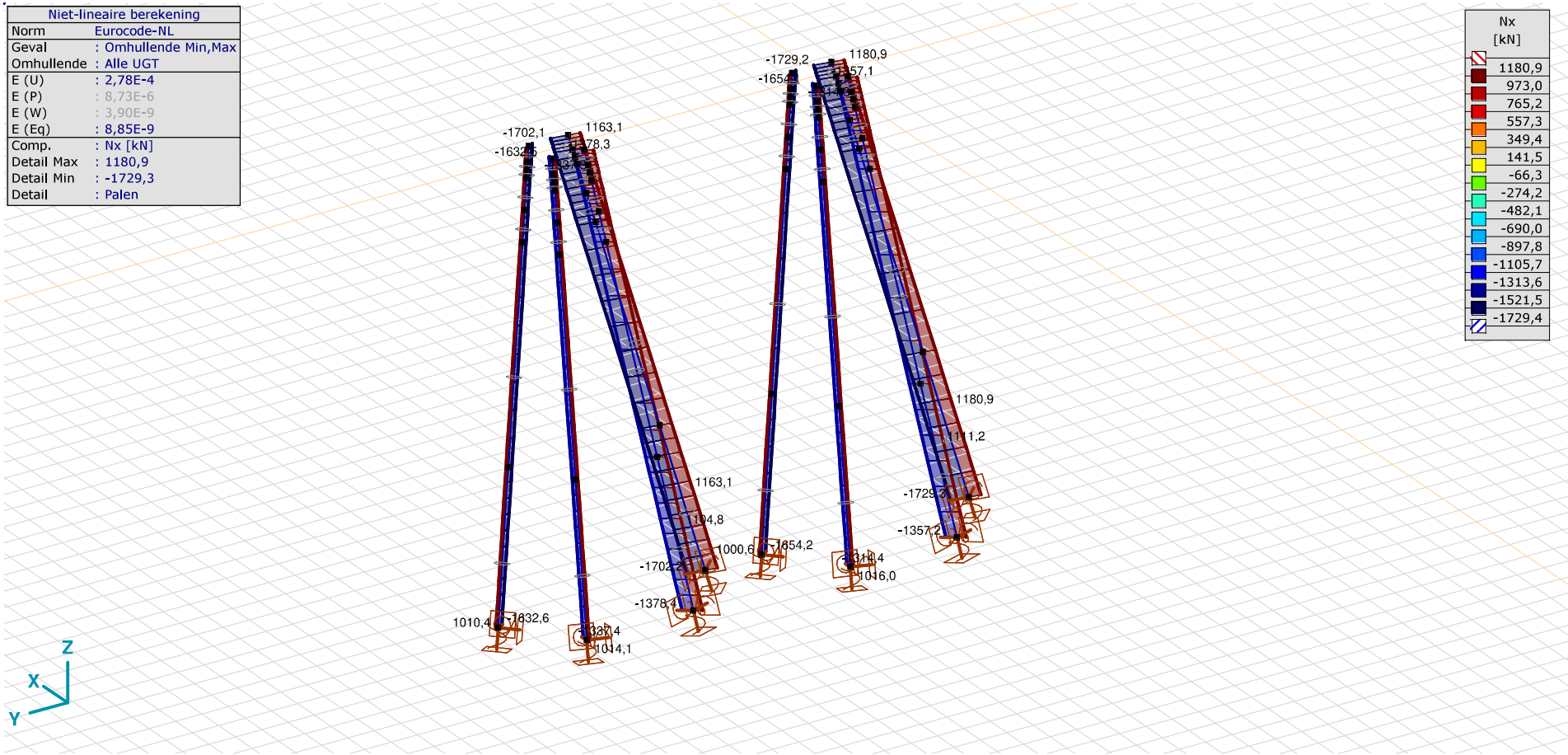

[II], > Palen, Non-lin., Omhullende (Alle UGT), Onmiddellijke doorbuiging, Nx, Lijnen (gevuld)

Project: 4-paalspoer

Constructeur: DNV GL - Energy

Model: **ZWO380 20210927 4-p wortelk rev2.axs** 14-10-2021 Pag. 24

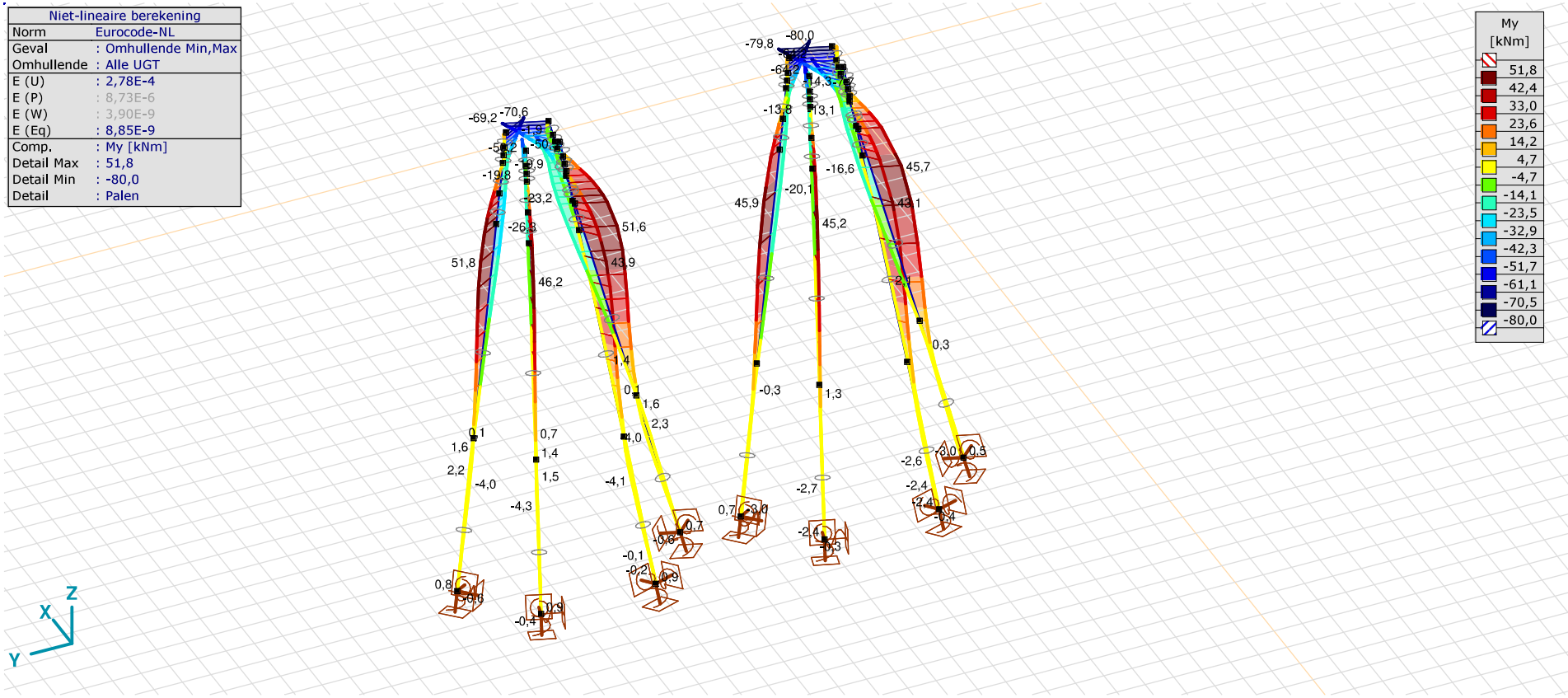

[II], > Palen, Non-lin., Omhullende (Alle UGT), Onmiddellijke doorbuiging, My, Lijnen (gevuld)

Project: 4-paalspoer

Constructeur: DNV GL - Energy

Model: **ZWO380 20210927 4-p wortelk rev2.axs** 14-10-2021 Pag. 25

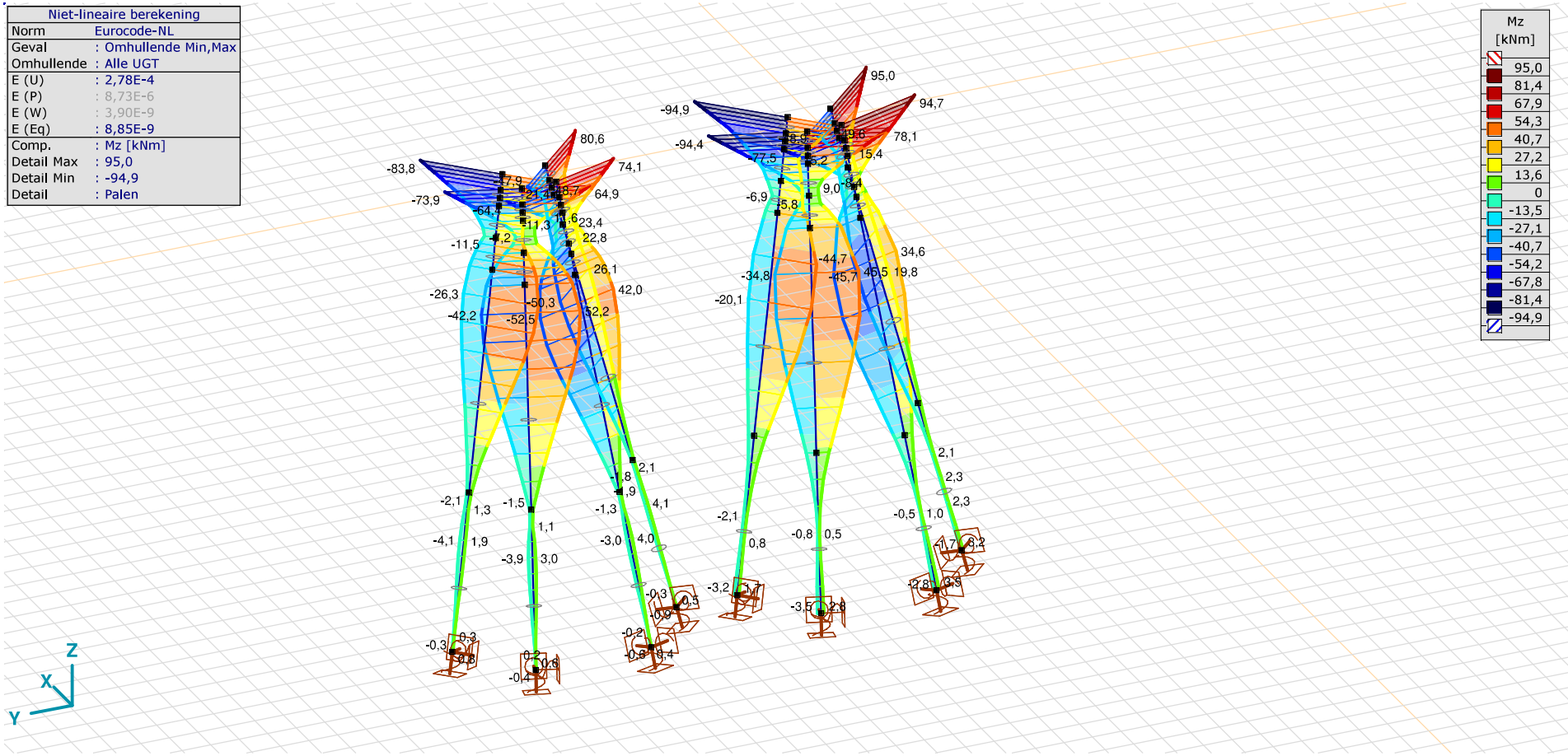

[II], > Palen, Non-lin., Omhullende (Alle UGT), Onmiddellijke doorbuiging, Mz, Lijnen (gevuld)

Project: 4-paalspoer

Constructeur: DNV GL - Energy

Model: **ZWO380 20210927 4-p wortelk rev2.axs** 14-10-2021 Pag. 26

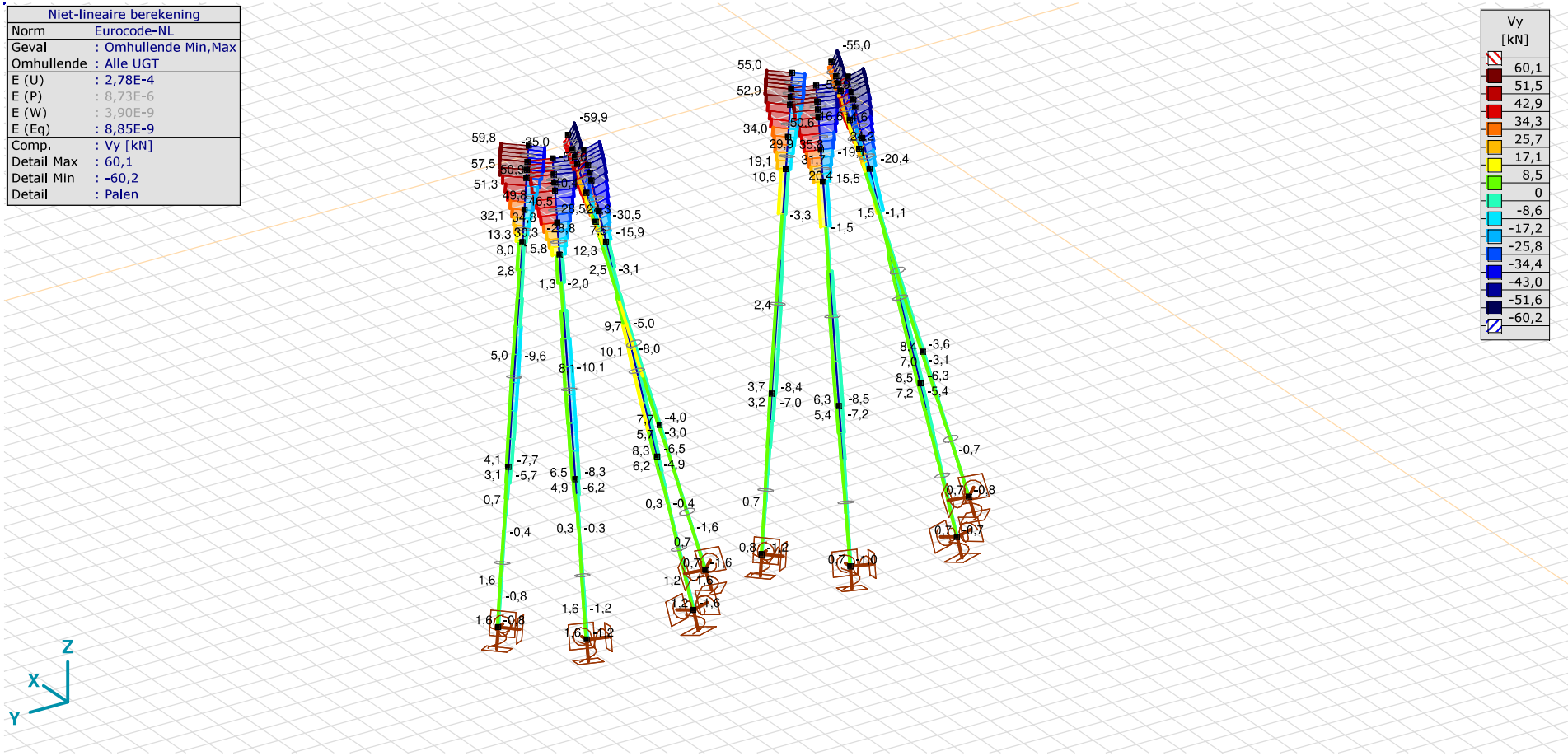

[II], > Palen, Non-lin., Omhullende (Alle UGT), Onmiddellijke doorbuiging, Vy, Lijnen (gevuld)

Project: 4-paalspoer

Constructeur: DNV GL - Energy

Model: **ZWO380 20210927 4-p wortelk rev2.axs** 14-10-2021 Pag. 27

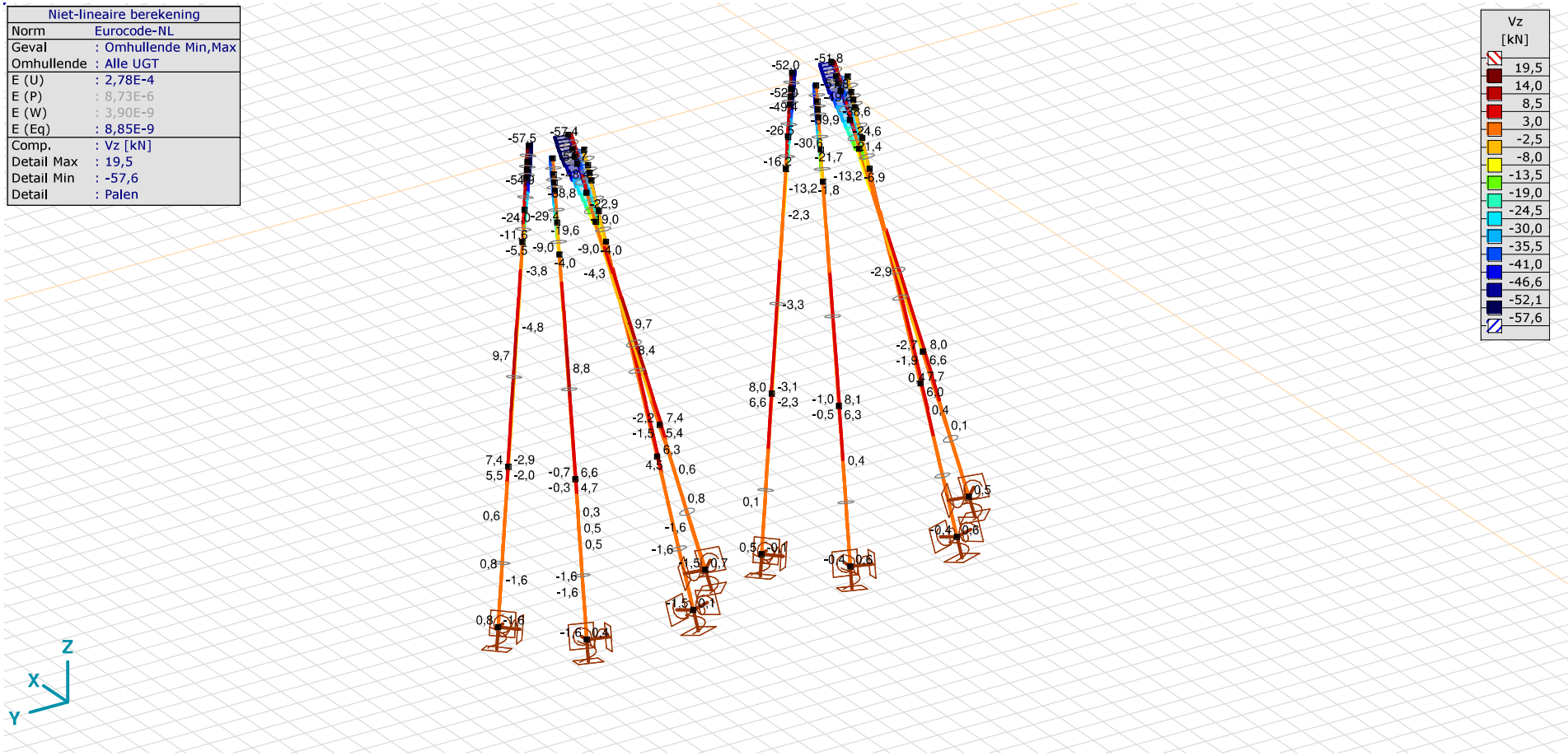

[II], > Palen, Non-lin., Omhullende (Alle UGT), Onmiddellijke doorbuiging, Vz, Lijnen (gevuld)

Project: 4-paalspoer

Constructeur: DNV GL - Energy

Model: **ZWO380 20210927 4-p wortelk rev2.axs** 14-10-2021 Pag. 28

Niet-lineaire berekening	
Norm	Eurocode-NL
Geval	: Co #1 Max trek min e.g. [1] (1,000)
E (U)	: 2,78E-4
E (P)	: 8,73E-6
E (W)	: 3,90E-9
E (Eq)	: 8,85E-9
Comp.	: Nx [kN]
Detail Max	: 1167,8
Detail Min	: 1000,6
Detail	: Palen

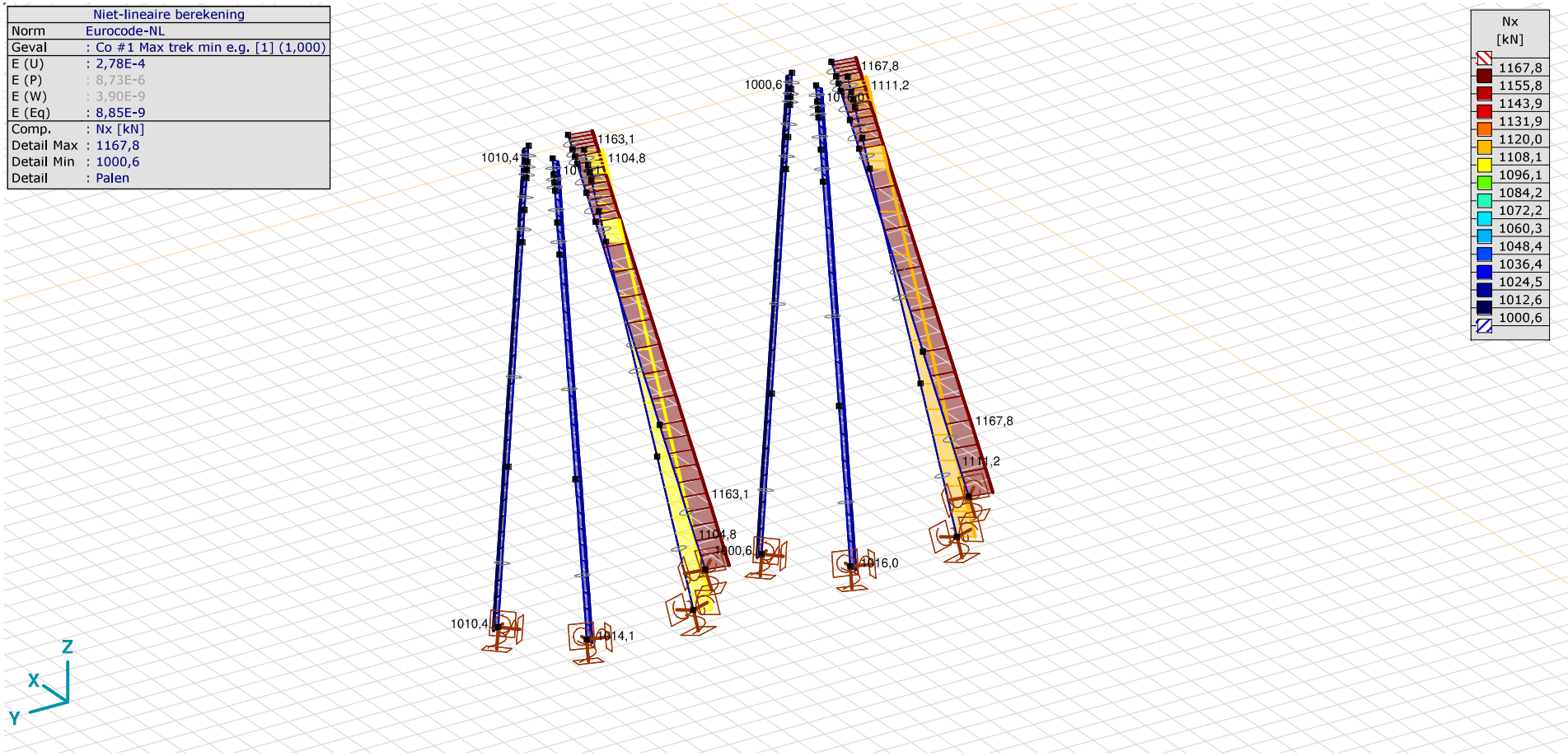

[II], > Palen, Non-lin., Co #1 Max trek min e.g. [1] (1,000), Onmiddellijke doorbuiging, Nx, Lijnen (gevuld)

Project: 4-paalspoer

Constructeur: DNV GL - Energy

Model: **ZWO380 20210927 4-p wortelk rev2.axs** 14-10-2021 Pag. 29

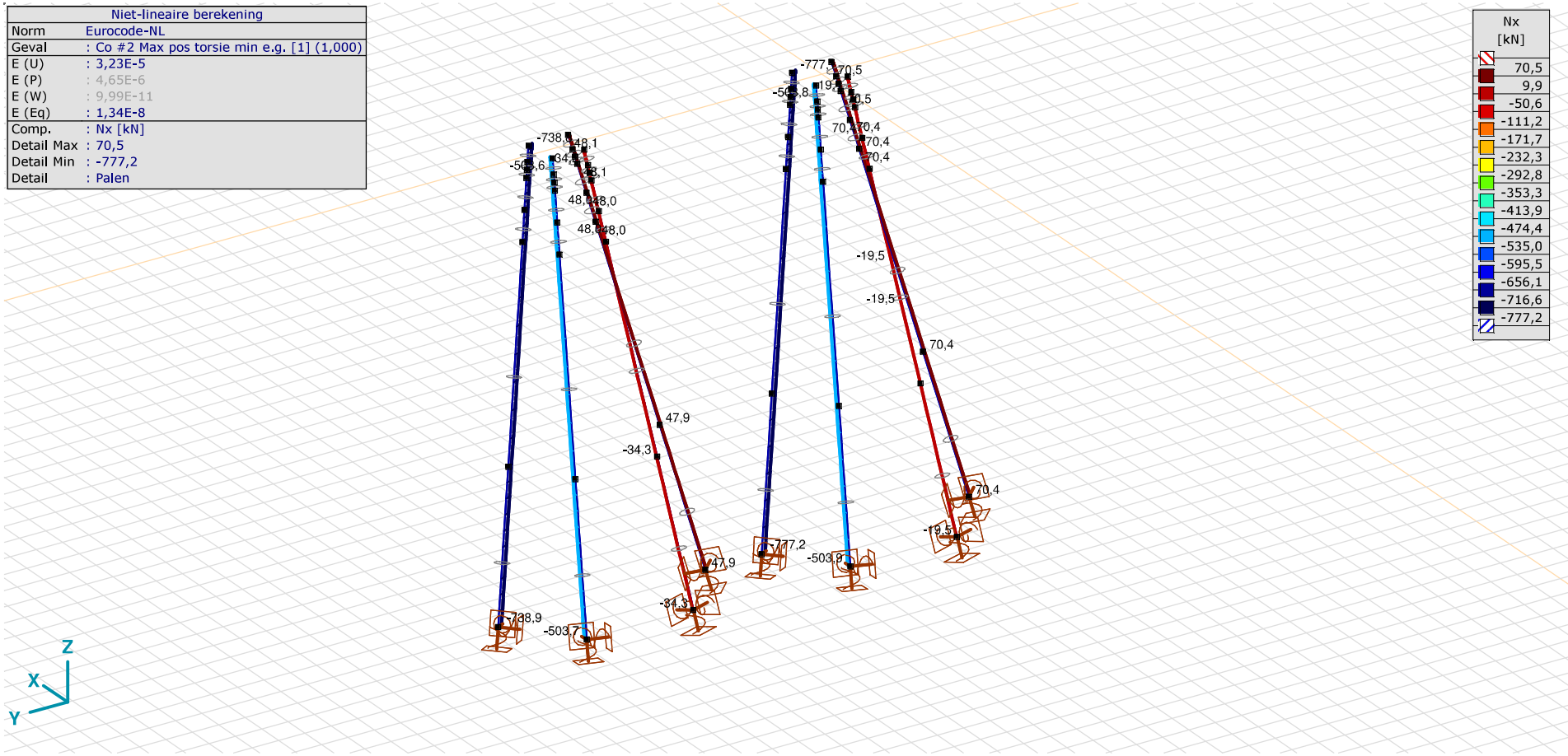

[II], > Palen, Non-lin., Co #2 Max pos torsie min e.g. [1] (1,000), Onmiddellijke doorbuiging, Nx, Lijnen (gevuld)

Project: 4-paalspoer

Constructeur: DNV GL - Energy

Model: **ZWO380 20210927 4-p wortelk rev2.axs** 14-10-2021 Pag. 30

Niet-lineaire berekening	
Norm	Eurocode-NL
Geval	: Co #3 Max neg torsie min e.g. [1] (1,000)
E (U)	: 1,31E-5
E (P)	: 1,57E-6
E (W)	: 5,33E-12
E (Eq)	: 1,65E-8
Comp.	: Nx [kN]
Detail Max	: 62,6
Detail Min	: -789,6
Detail	: Palen

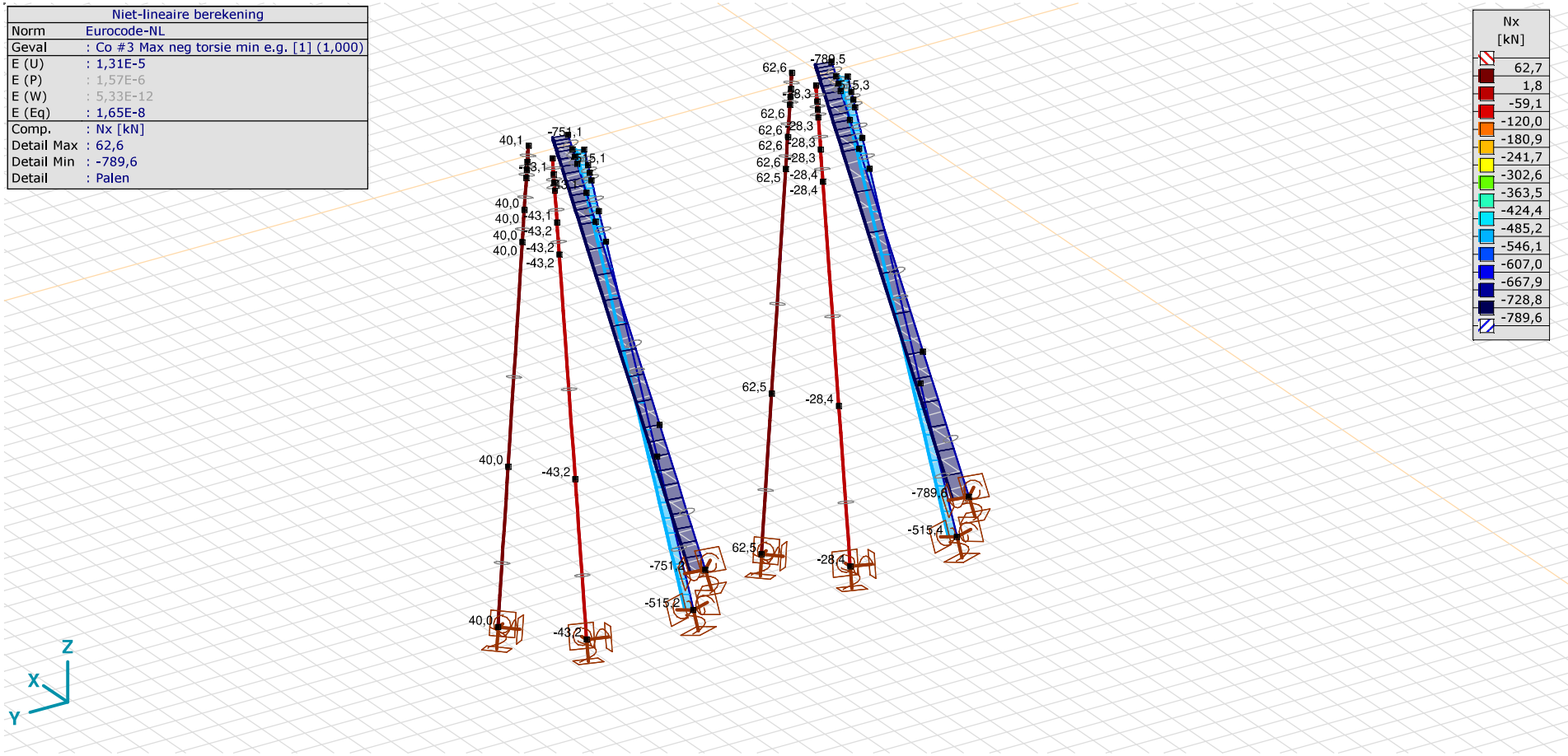

[II], > Palen, Non-lin., Co #3 Max neg torsie min e.g. [1] (1,000), Onmiddellijke doorbuiging, Nx, Lijnen (gevuld)

Project: 4-paalspoer

Constructeur: DNV GL - Energy

Model: **ZWO380 20210927 4-p wortelk rev2.axs** 14-10-2021 Pag. 31

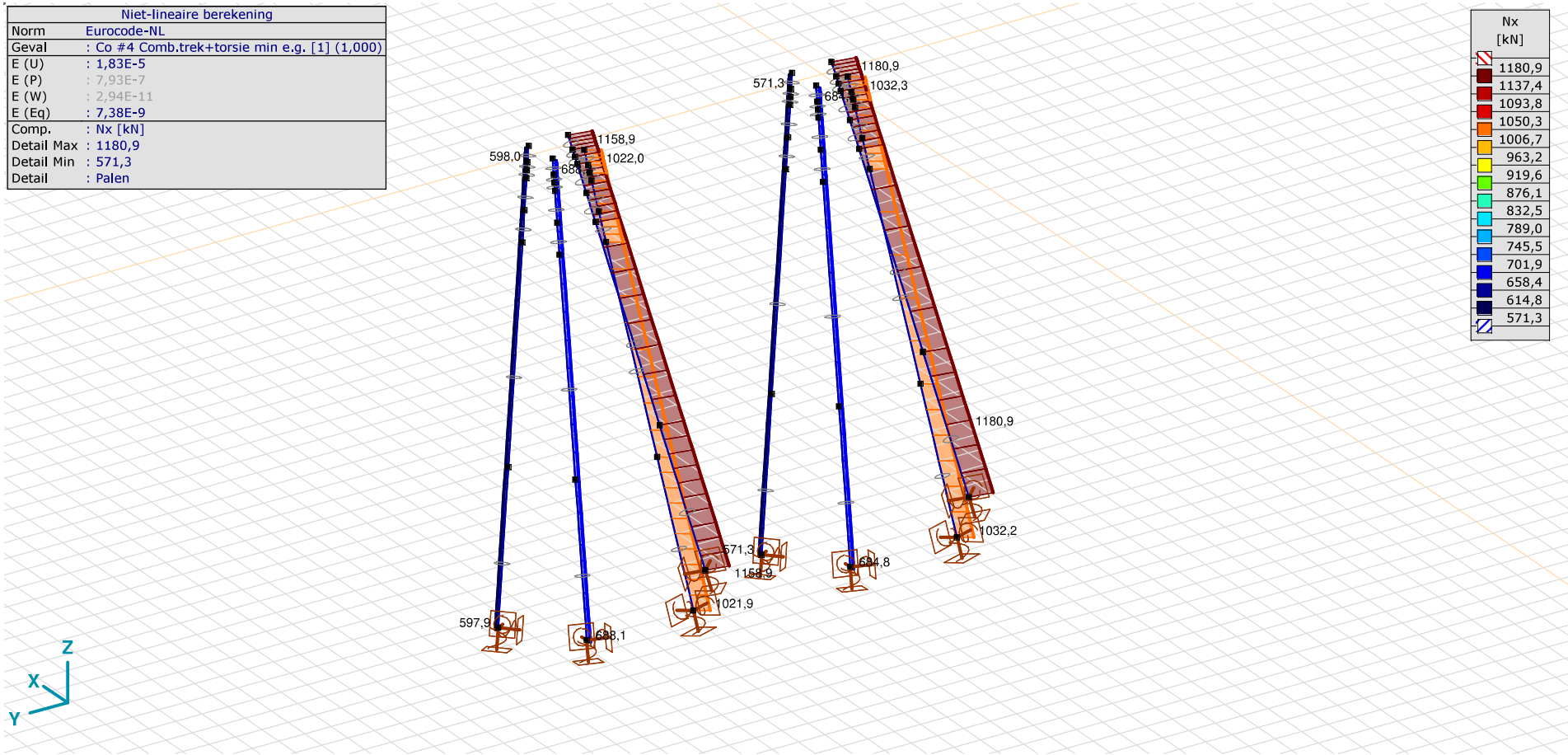

[II], > Palen, Non-lin., Co #4 Comb.trek+torsie min e.g. [1] (1,000), Onmiddellijke doorbuiging, Nx, Lijnen (gevuld)

Project: 4-paalspoer

Constructeur: DNV GL - Energy

Model: **ZWO380 20210927 4-p wortelk rev2.axs**

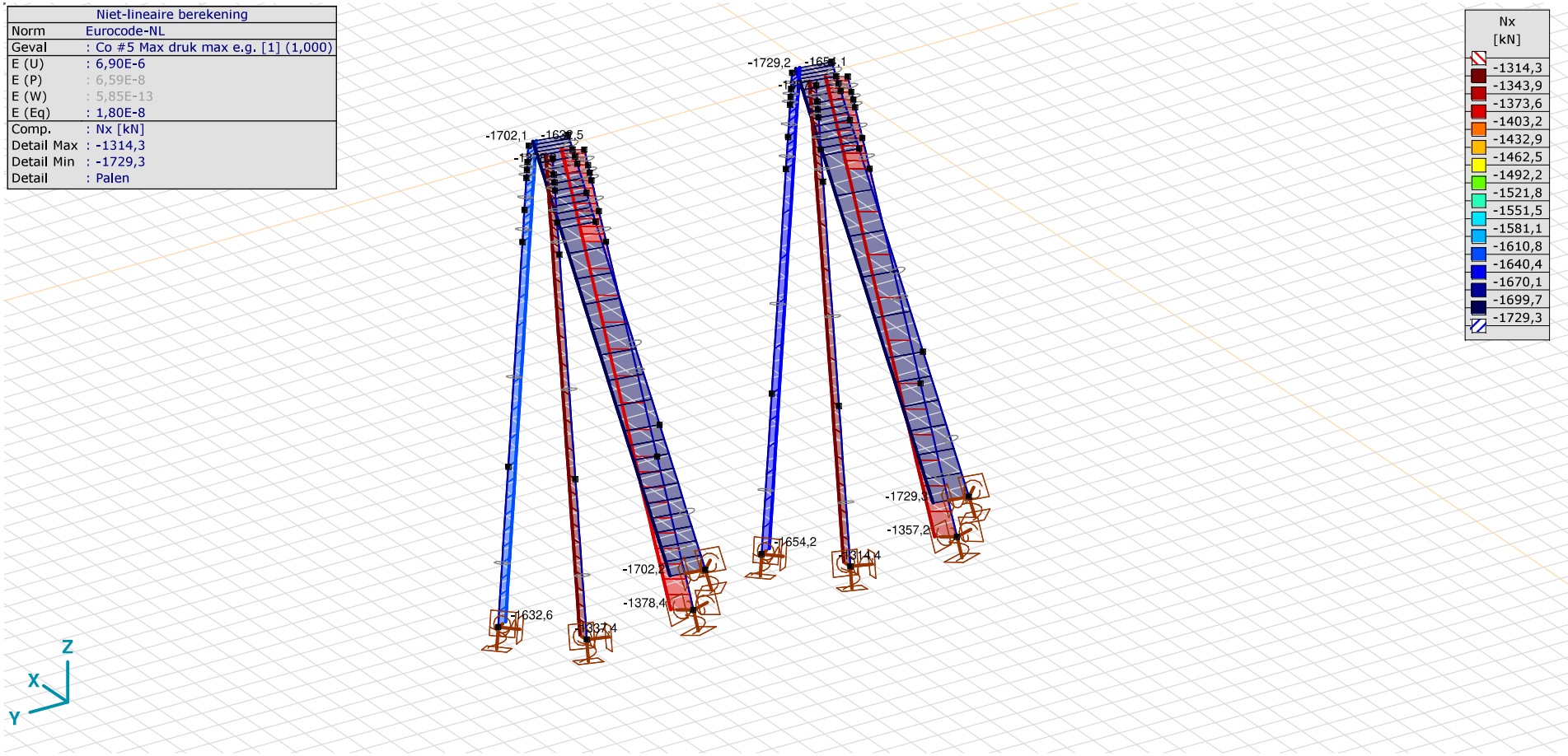

[II], > Palen, Non-lin., Co #5 Max druk max e.g. [1] (1,000), Onmiddellijke doorbuiging, Nx, Lijnen (gevuld)

Project: 4-paalspoer

Constructeur: DNV GL - Energy

Model: **ZWO380 20210927 4-p wortelk rev2.axs** 14-10-2021 Pag. 33

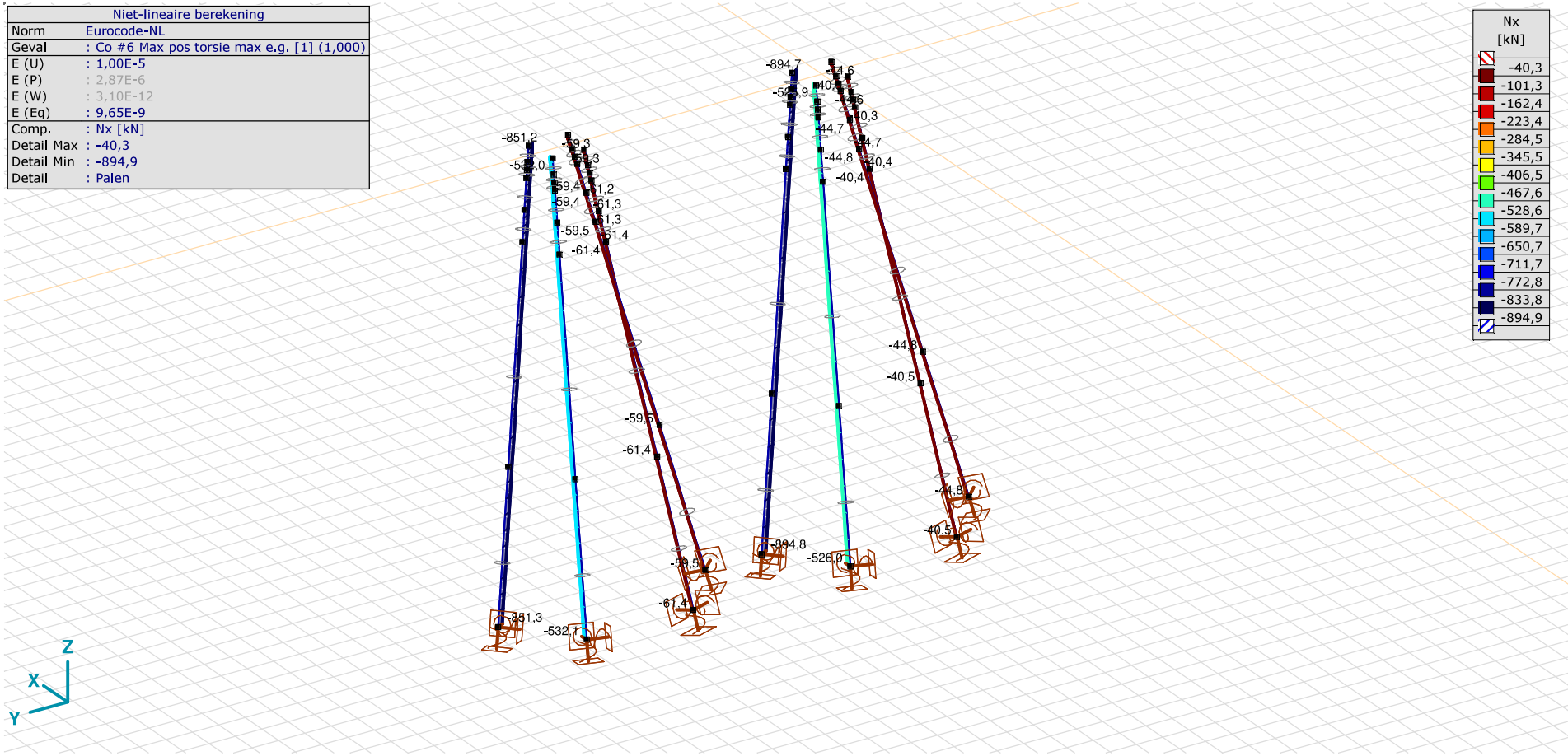

[II], > Palen, Non-lin., Co #6 Max pos torsie max e.g. [1] (1,000), Onmiddellijke doorbuiging, Nx, Lijnen (gevuld)

Project: 4-paalspoer

Constructeur: DNV GL - Energy

Model: **ZWO380 20210927 4-p wortelk rev2.axs** 14-10-2021 Pag. 34

Niet-lineaire berekening	
Norm	Eurocode-NL
Geval	: Co #7 Max neg torsie max e.g. [1] (1,000)
E (U)	: 1,30E-5
E (P)	: 2,36E-6
E (W)	: 2,23E-11
E (Eq)	: 1,02E-8
Comp.	: Nx [kN]
Detail Max	: -49,2
Detail Min	: -907,3
Detail	: Palen

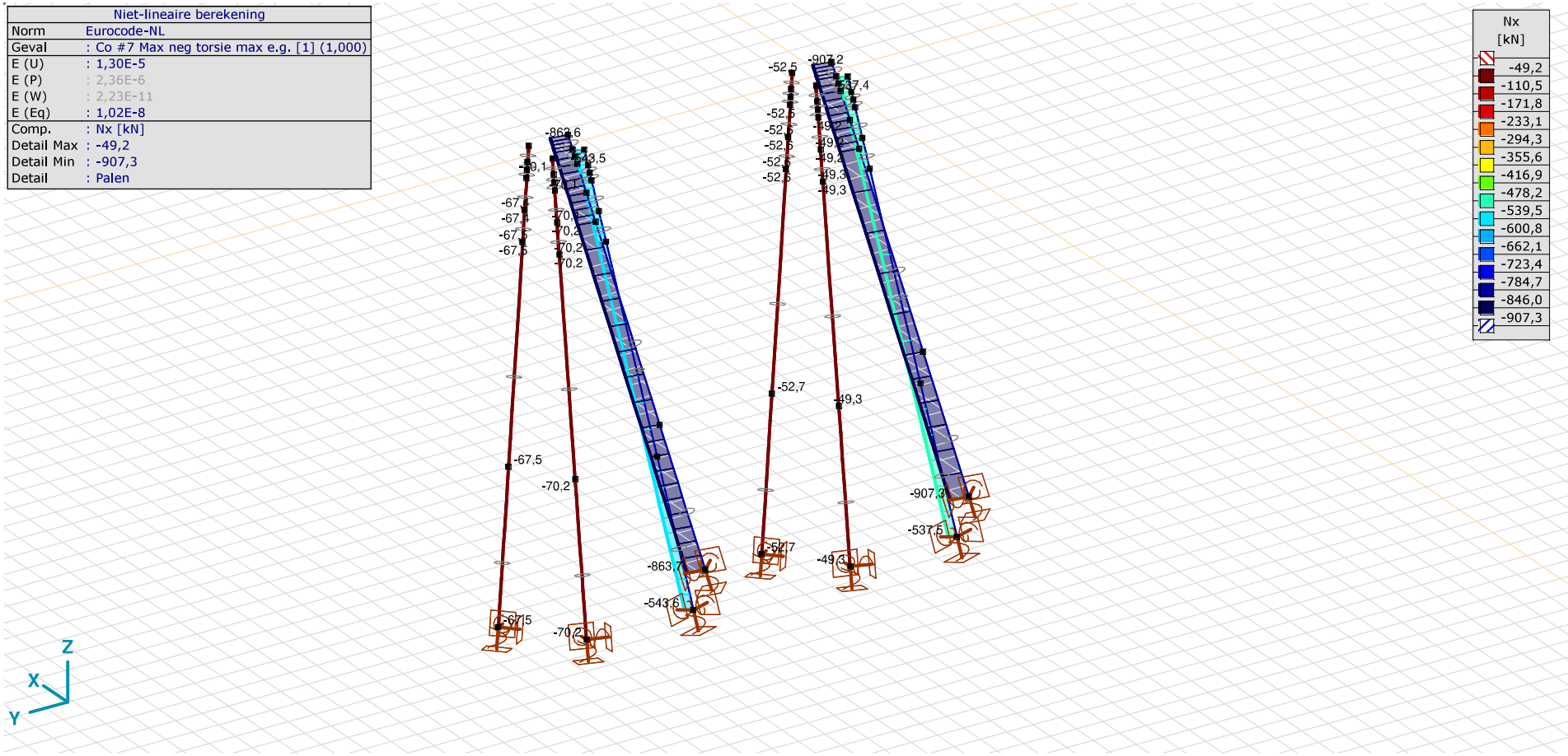

[II], > Palen, Non-lin., Co #7 Max neg torsie max e.g. [1] (1,000), Onmiddellijke doorbuiging, Nx, Lijnen (gevuld)

Staafkrachten [Non-lin., Omhullende (Alle UGT), Palen]

	Prof.	Doorsnede naam	C	min. max.	Geval	Pos. [m]	Knoop	Nx [kN]	Vy [kN]	Vz [kN]	Tx [kNm]	My [kNm]	Mz [kNm]	B [kNm²]
Ext.														
4	2	O 508x9	Nx	min	Co #5 Max druk max e.g. [1] (1,000)	0,392	(194)	**−1729,2**	−20,6	−38,9	2,8	−58,1	10,9	0
13	2	O 508x9		min	Co #5 Max druk max e.g. [1] (1,000)	0	(53)	**−1729,2**	−20,6	−39,4	2,8	−32,5	−2,5	0
14	2	O 508x9		min	Co #5 Max druk max e.g. [1] (1,000)	0	(12)	**−1729,3**	−0,8	0	2,8	−2,1	0,7	0
37	2	O 508x9		min	Co #5 Max druk max e.g. [1] (1,000)	0	(54)	**−1729,2**	−19,4	−37,7	2,8	−22,7	−7,6	0
38	2	O 508x9		min	Co #5 Max druk max e.g. [1] (1,000)	0	(55)	**−1729,3**	−10,5	−24,0	2,8	7,5	−21,8	0
39	2	O 508x9		min	Co #5 Max druk max e.g. [1] (1,000)	0	(56)	**−1729,3**	−4,0	−13,2	2,8	25,3	−28,3	0
40	2	O 508x9		min	Co #5 Max druk max e.g. [1] (1,000)	2,923	(95)	**−1729,3**	4,8	4,7	2,8	26,4	−16,7	0
4	2	O 508x9		max	Co #4 Comb.trek+torsie min e.g. [1] (1,000)	0	(21)	**1180,9**	9,7	−21,6	−3,8	−24,8	3,9	0
13	2	O 508x9		max	Co #4 Comb.trek+torsie min e.g. [1] (1,000)	0	(53)	**1180,9**	9,7	−21,5	−3,8	−19,2	6,4	0
14	2	O 508x9		max	Co #4 Comb.trek+torsie min e.g. [1] (1,000)	0	(12)	**1180,9**	0,2	0,4	−3,8	−1,3	−0,5	0
37	2	O 508x9		max	Co #4 Comb.trek+torsie min e.g. [1] (1,000)	0	(54)	**1180,9**	9,0	−20,4	−3,8	−13,9	8,8	0
38	2	O 508x9		max	Co #4 Comb.trek+torsie min e.g. [1] (1,000)	0,783	(224)	**1180,9**	7,7	−18,3	−3,8	−9,1	10,8	0
39	2	O 508x9		max	Co #4 Comb.trek+torsie min e.g. [1] (1,000)	0,783	(221)	**1180,9**	3,3	−11,1	−3,8	5,2	15,7	0
40	2	O 508x9		max	Co #4 Comb.trek+torsie min e.g. [1] (1,000)	5,847	(97)	**1180,9**	−0,6	−3,7	−3,8	16,7	16,0	0
20	2	O 508x9	Vy	min	Co #7 Max neg torsie max e.g. [1] (1,000)	0	(69)	−863,6	**−60,2**	−0,3	5,4	−21,0	33,6	0
22	2	O 508x9		max	Co #6 Max pos torsie max e.g. [1] (1,000)	0	(81)	−851,2	**60,1**	−0,4	−5,4	−21,0	−33,6	0
22	2	O 508x9	Vz	min	Co #7 Max neg torsie max e.g. [1] (1,000)	0	(81)	−67,3	−24,1	**−57,6**	3,4	−24,3	15,3	0
33	2	O 508x9		min	Co #7 Max neg torsie max e.g. [1] (1,000)	0	(42)	−67,3	−24,1	**−57,6**	3,4	−39,3	21,6	0
22	2	O 508x9		max	Co #4 Comb.trek+torsie min e.g. [1] (1,000)	0	(81)	598,0	48,6	**19,5**	−2,4	−6,9	−45,6	0
33	2	O 508x9		max	Co #4 Comb.trek+torsie min e.g. [1] (1,000)	0,392	(281)	598,0	48,8	**19,5**	−2,4	5,8	−77,4	0
5	2	O 508x9	Tx	min	Co #6 Max pos torsie max e.g. [1] (1,000)	0	(20)	−525,8	51,8	−19,9	**−6,4**	−29,5	−67,4	0
15	2	O 508x9		min	Co #6 Max pos torsie max e.g. [1] (1,000)	0	(61)	−525,8	51,8	−20,0	**−6,4**	−24,3	−53,9	0
16	2	O 508x9		min	Co #6 Max pos torsie max e.g. [1] (1,000)	0	(13)	−526,0	−0,7	0,4	**−6,4**	−1,3	−3,5	0
45	2	O 508x9		min	Co #6 Max pos torsie max e.g. [1] (1,000)	0	(62)	−525,8	50,6	−19,1	**−6,4**	−19,3	−40,7	0
46	2	O 508x9		min	Co #6 Max pos torsie max e.g. [1] (1,000)	0	(63)	−525,9	35,8	−12,8	**−6,4**	−3,6	2,7	0
47	2	O 508x9		min	Co #6 Max pos torsie max e.g. [1] (1,000)	0	(64)	−525,9	20,4	−7,6	**−6,4**	6,3	29,7	0
48	2	O 508x9		min	Co #6 Max pos torsie max e.g. [1] (1,000)	0	(25)	−526,0	−8,5	2,6	**−6,4**	4,5	12,2	0
3	2	O 508x9		max	Co #7 Max neg torsie max e.g. [1] (1,000)	0	(22)	−537,3	−51,9	−19,8	**6,4**	−29,3	67,6	0
11	2	O 508x9		max	Co #7 Max neg torsie max e.g. [1] (1,000)	0	(57)	−537,3	−52,0	−19,9	**6,4**	−24,2	54,1	0
12	2	O 508x9		max	Co #7 Max neg torsie max e.g. [1] (1,000)	0	(11)	−537,5	0,7	0,4	**6,4**	−1,3	3,5	0
41	2	O 508x9		max	Co #7 Max neg torsie max e.g. [1] (1,000)	0	(58)	−537,3	−50,7	−19,0	**6,4**	−19,2	40,9	0
42	2	O 508x9		max	Co #7 Max neg torsie max e.g. [1] (1,000)	0	(59)	−537,4	−35,9	−12,7	**6,4**	−3,5	−2,7	0
43	2	O 508x9		max	Co #7 Max neg torsie max e.g. [1] (1,000)	0	(60)	−537,4	−20,4	−7,6	**6,4**	6,3	−29,8	0
44	2	O 508x9		max	Co #7 Max neg torsie max e.g. [1] (1,000)	0	(23)	−537,5	8,5	2,5	**6,4**	4,5	−12,2	0
6	2	O 508x9	My	min	Co #7 Max neg torsie max e.g. [1] (1,000)	0,522	(3)	−52,5	−17,2	−52,0	4,2	**−80,0**	32,8	0
68	2	O 508x9		max	Co #7 Max neg torsie max e.g. [1] (1,000)	6,395	(164)	−67,5	0,5	3,5	3,4	**51,8**	−17,9	0

Project: 4-paalspoer
Constructeur: DNV GL - Energy
Model: **ZWO380 20210927 4-p wortelk rev2.axs** 14-10-2021 Pag. 36

Staafkrachten [Non-lin., Omhullende (Alle UGT), Palen]

	Prof.	Doorsnede naam	C	min. max.	Geval	Pos. [m]	Knoop	Nx [kN]	Vy [kN]	Vz [kN]	Tx [kNm]	My [kNm]	Mz [kNm]	B [kNm²]
6	2	O 508x9	Mz	min	Co #6 Max pos torsie max e.g. [1] (1,000)	0,522	(3)	−894,7	55,0	−0,8	−6,3	−15,6	**−94,9**	0
4	2	O 508x9		max	Co #7 Max neg torsie max e.g. [1] (1,000)	0,522	(7)	−907,2	−55,0	−0,7	6,3	−15,4	**95,0**	0

Prof.: Profiel; **C:** Extreme component; **min. max.:** Extreme type; **Geval:** Belastinggeval van de extreme; **Pos.:** Lokale X-positie van de doorsnede op de staaf; **Nx:** Normaalkracht; **Vy:** Dwarskracht in lokale y-richting; **Vz:** Dwarskracht in lokale z-richting; **Tx:** Torsiemoment; **My:** Buigend moment in lokale y-richting; **Mz:** Buigend moment in lokale z-richting;

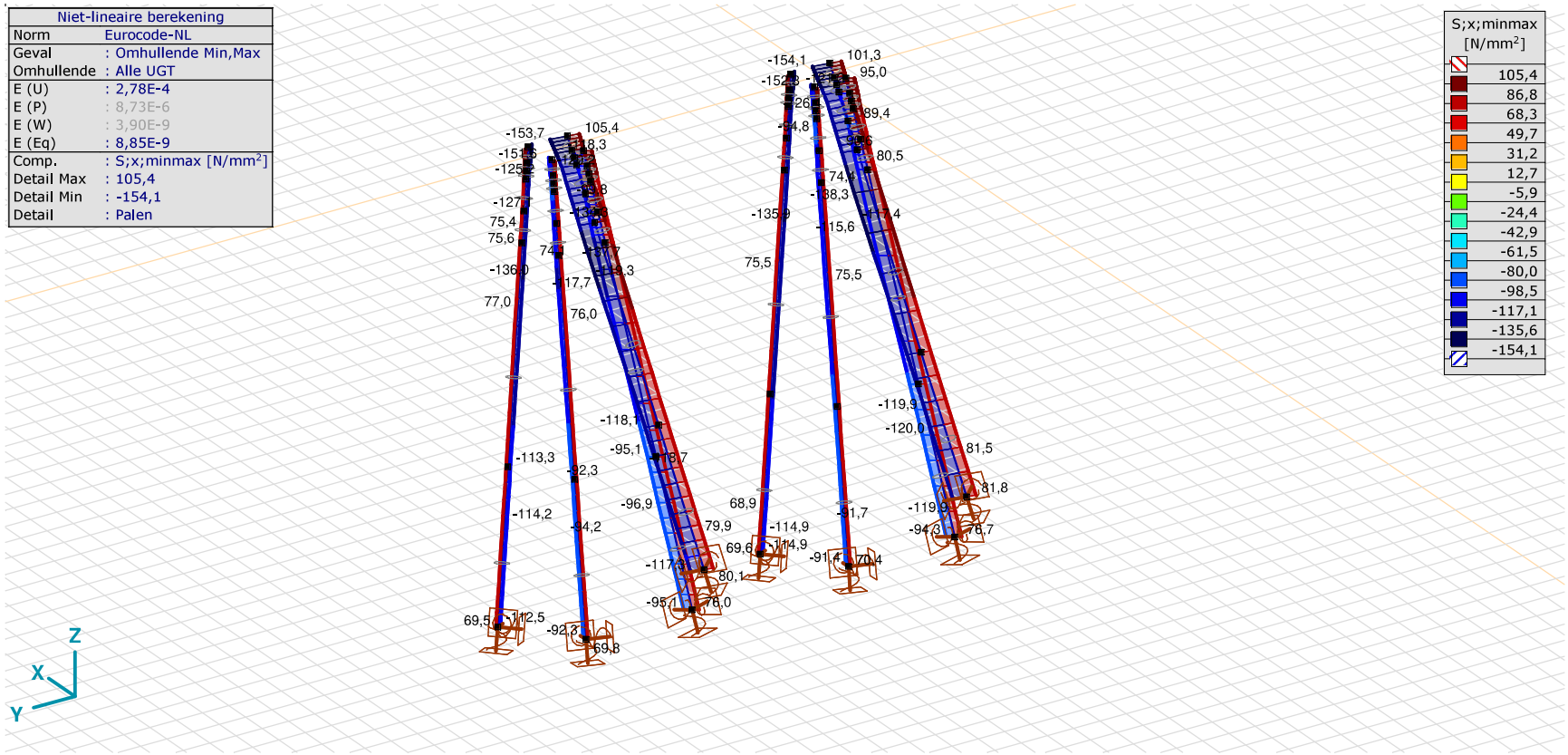

[II], > Palen, Non-lin., Omhullende (Alle UGT), Onmiddellijke doorbuiging, S;x;minmax, Lijnen (gevuld)

Project: 4-paalspoer

Constructeur: DNV GL - Energy

Model: **ZWO380 20210927 4-p wortelk rev2.axs** 14-10-2021 Pag. 37

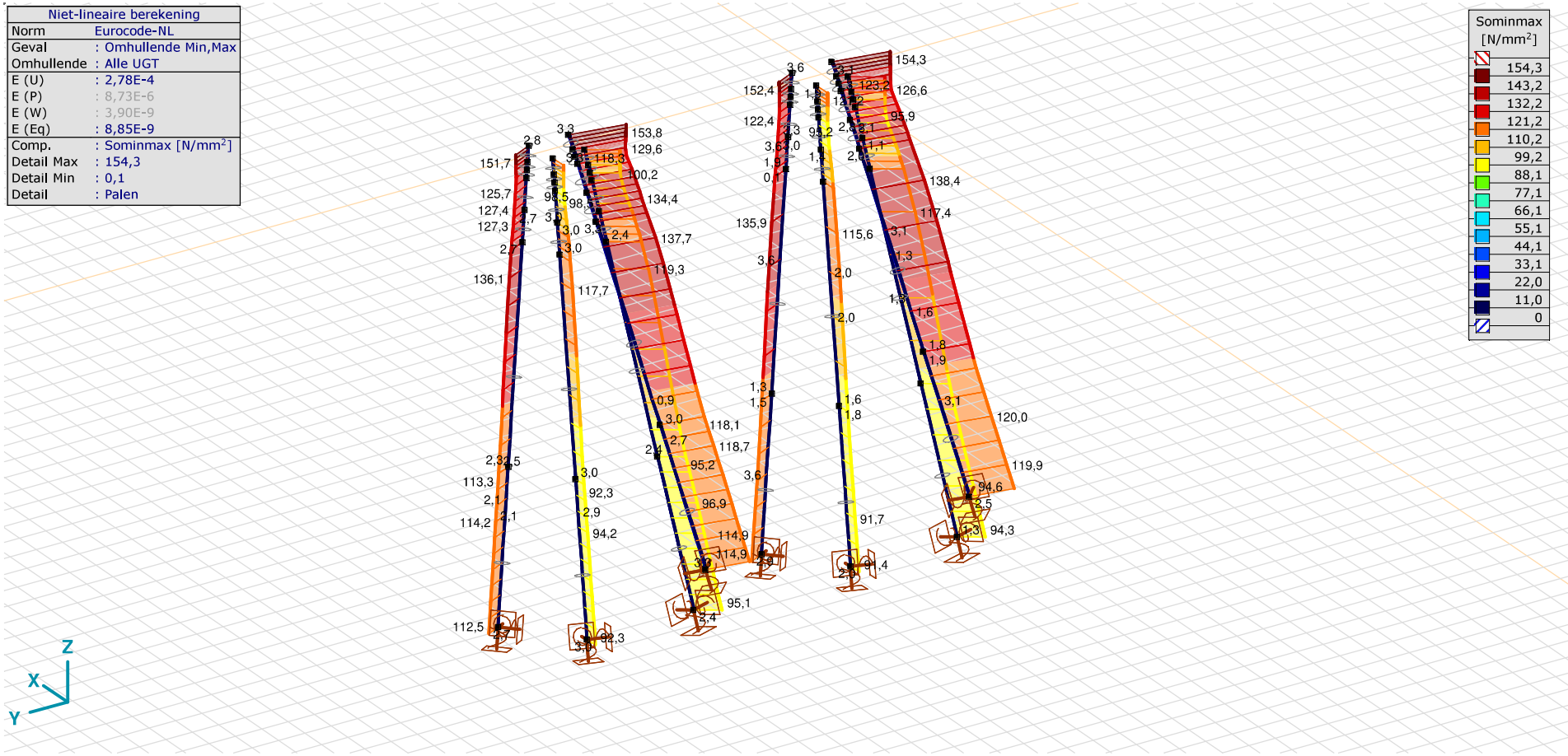

[II], > Palen, Non-lin., Omhullende (Alle UGT), Onmiddellijke doorbuiging, Sominmax, Lijnen (gevuld)

Staafspanningen [Non-lin., Omhullende (Alle UGT), Palen]

	Prof.	Doorsnede naam	C	min. max.	Geval	Pos. [m]	Knoop	S;x;min [N/mm²]	S;x;max [N/mm²]	Vmin [N/mm²]	Vmax [N/mm²]	Somin [N/mm²]	Somax [N/mm²]
Ext.													
4	2	O 508x9	S;x;min	min	Co #5 Max druk max e.g. [1] (1,000)	0,522	(7)	**−154,1**	−83,3	0	6,1	83,4	154,3
14	2	O 508x9		max	Co #4 Comb.trek+torsie min e.g. [1] (1,000)	1,740	(99)	**80,6**	81,5	0	1,1	80,6	81,5
14	2	O 508x9	S;x;max	min	Co #5 Max druk max e.g. [1] (1,000)	1,740	(99)	−119,9	**−117,5**	0	0,9	117,6	119,9
35	2	O 508x9		max	Co #1 Max trek min e.g. [1] (1,000)	0,522	(33)	54,3	**105,4**	0	2,5	54,4	105,4
3	2	O 508x9	Vmin	min	Co #1 Max trek min e.g. [1] (1,000)	0	(22)	61,0	91,5	**0**	2,0	61,0	91,5
3	2	O 508x9		max	Co #1 Max trek min e.g. [1] (1,000)	0	(22)	61,0	91,5	**0**	2,0	61,0	91,5
26	2	O 508x9	Vmax	min	Co #1 Max trek min e.g. [1] (1,000)	2,610	(182)	69,0	69,7	0	**0,1**	69,0	69,7
20	2	O 508x9		max	Co #7 Max neg torsie max e.g. [1] (1,000)	0	(69)	−78,1	−40,4	0	**9,8**	40,5	78,2
52	2	O 508x9	Somin	min	Co #7 Max neg torsie max e.g. [1] (1,000)	7,308	(68)	−23,0	15,8	0	2,3	**0,1**	23,1
14	2	O 508x9		max	Co #5 Max druk max e.g. [1] (1,000)	1,740	(99)	−119,9	−117,5	0	0,9	**117,6**	119,9
12	2	O 508x9	Somax	min	Co #2 Max pos torsie min e.g. [1] (1,000)	2,610	(91)	−1,7	−1,0	0	1,8	1,3	**3,3**
4	2	O 508x9		max	Co #5 Max druk max e.g. [1] (1,000)	0,522	(7)	−154,1	−83,3	0	6,1	83,4	**154,3**
20	2	O 508x9	V;y;gem	min	Co #7 Max neg torsie max e.g. [1] (1,000)	0	(69)	−78,1	−40,4	0	9,8	40,5	78,2
22	2	O 508x9		max	Co #6 Max pos torsie max e.g. [1] (1,000)	0	(81)	−77,3	−39,6	0	9,8	39,7	77,3
22	2	O 508x9	V;z;gem	min	Co #7 Max neg torsie max e.g. [1] (1,000)	0	(81)	−18,3	9,0	0	8,9	4,6	19,7
33	2	O 508x9		min	Co #7 Max neg torsie max e.g. [1] (1,000)	0	(42)	−26,7	17,4	0	8,9	4,6	27,7

	Prof.	Doorsnede naam	C	min. max.	Geval	Pos. [m]	Knoop	V;y;gem [N/mm²]	V;z;gem [N/mm²]
Ext.									
4	2	O 508x9	S;x;min	min	Co #5 Max druk max e.g. [1] (1,000)	0,522	(7)	−1,4	−2,7
14	2	O 508x9		max	Co #4 Comb.trek+torsie min e.g. [1] (1,000)	1,740	(99)	0	0
14	2	O 508x9	S;x;max	min	Co #5 Max druk max e.g. [1] (1,000)	1,740	(99)	0	0
35	2	O 508x9		max	Co #1 Max trek min e.g. [1] (1,000)	0,522	(33)	−1,1	−0,3
3	2	O 508x9	Vmin	min	Co #1 Max trek min e.g. [1] (1,000)	0	(22)	0,1	−0,8
3	2	O 508x9		max	Co #1 Max trek min e.g. [1] (1,000)	0	(22)	0,1	−0,8
26	2	O 508x9	Vmax	min	Co #1 Max trek min e.g. [1] (1,000)	2,610	(182)	0	0
20	2	O 508x9		max	Co #7 Max neg torsie max e.g. [1] (1,000)	0	(69)	−4,1	0
52	2	O 508x9	Somin	min	Co #7 Max neg torsie max e.g. [1] (1,000)	7,308	(68)	−0,3	−0,6
14	2	O 508x9		max	Co #5 Max druk max e.g. [1] (1,000)	1,740	(99)	0	0
12	2	O 508x9	Somax	min	Co #2 Max pos torsie min e.g. [1] (1,000)	2,610	(91)	−0,1	0
4	2	O 508x9		max	Co #5 Max druk max e.g. [1] (1,000)	0,522	(7)	−1,4	−2,7
20	2	O 508x9	V;y;gem	min	Co #7 Max neg torsie max e.g. [1] (1,000)	0	(69)	**−4,1**	0
22	2	O 508x9		max	Co #6 Max pos torsie max e.g. [1] (1,000)	0	(81)	**4,1**	0
22	2	O 508x9	V;z;gem	min	Co #7 Max neg torsie max e.g. [1] (1,000)	0	(81)	−1,7	**−4,0**
33	2	O 508x9		min	Co #7 Max neg torsie max e.g. [1] (1,000)	0	(42)	−1,7	**−4,0**

Staafspanningen [Non-lin., Omhullende (Alle UGT), Palen]

	Prof.	Doorsnede naam	C	min. max.	Geval	Pos. [m]	Knoop	S;x;min [N/mm²]	S;x;max [N/mm²]	Vmin [N/mm²]	Vmax [N/mm²]	Somin [N/mm²]	Somax [N/mm²]
22	2	O 508x9		max	Co #4 Comb.trek+torsie min e.g. [1] (1,000)	0	(81)	15,5	66,6	0	7,3	16,5	66,7
33	2	O 508x9		max	Co #4 Comb.trek+torsie min e.g. [1] (1,000)	0,392	(281)	−2,3	84,4	0	7,4	6,3	84,5

	Prof.	Doorsnede naam	C	min. max.	Geval	Pos. [m]	Knoop	V;y;gem [N/mm²]	V;z;gem [N/mm²]
22	2	O 508x9		max	Co #4 Comb.trek+torsie min e.g. [1] (1,000)	0	(81)	3,3	**1,3**
33	2	O 508x9		max	Co #4 Comb.trek+torsie min e.g. [1] (1,000)	0,392	(281)	3,4	**1,3**

Prof.: Profiel; **C:** Extreme component; **min. max.:** Extreme type; **Geval:** Belastinggeval van de extreme; **Pos.:** Lokale X-positie van de doorsnede op de staaf; **S;x;min:** Doorsnede minimum normaalspanning; **S;x;max:** Doorsnede maximum normaalspanning; **Vmin:** Doorsnede minimum afschuifspanning; **Vmax:** Doorsnede maximum afschuifspanning; **Somin:** Doorsnede minimum Von Mises spanning; **Somax:** Doorsnede maximum Von Mises spanning; **V;y;gem:** Afschuifspanning in lokale Y-richting; **V;z;gem:** Afschuifspanning in lokale Z-richting;

Project: 4-paalspoer

Constructeur: DNV GL - Energy

Model: **ZWO380 20210927 4-p wortelk rev2.axs** 14-10-2021 Pag. 40

Niet-lineaire berekening	
Norm	Eurocode-NL
Geval	: Omhullende Min,Max
Omhullende	: Alle UGT
E (U)	: 2,78E-4
E (P)	: 8,73E-6
E (W)	: 3,90E-9
E (Eq)	: 8,85E-9
Comp.	: eX [mm]
Detail Max	: 14,4
Detail Min	: -3,2
Onderdelen	: (5)
Alle materialen	
Alle profielen	
Andere lijnelementen	
Kolom	
Palen	

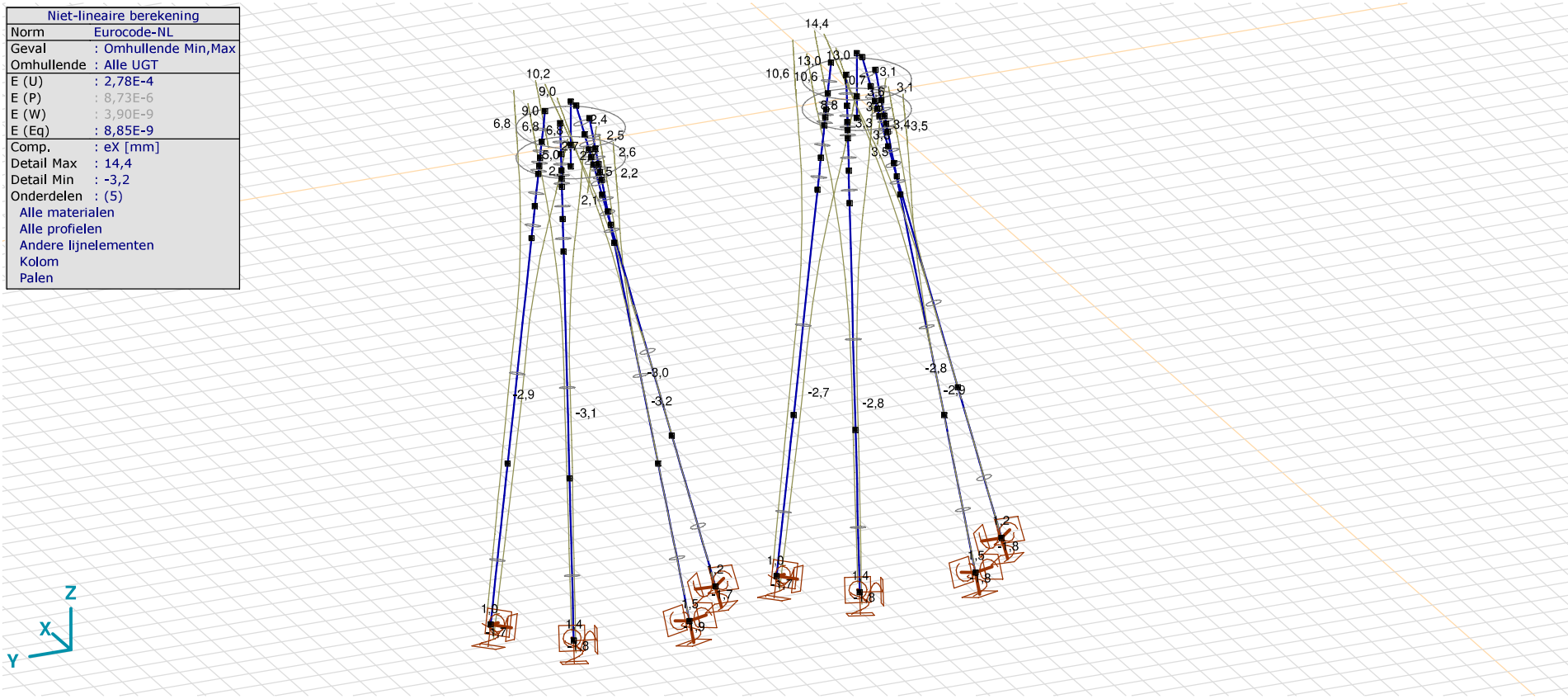

[II], > 7 details, Non-lin., Omhullende (Alle UGT), Onmiddellijke doorbuiging, eX, Lijnen

Project: 4-paalspoer

Constructeur: DNV GL - Energy

Model: **ZWO380 20210927 4-p wortelk rev2.axs**

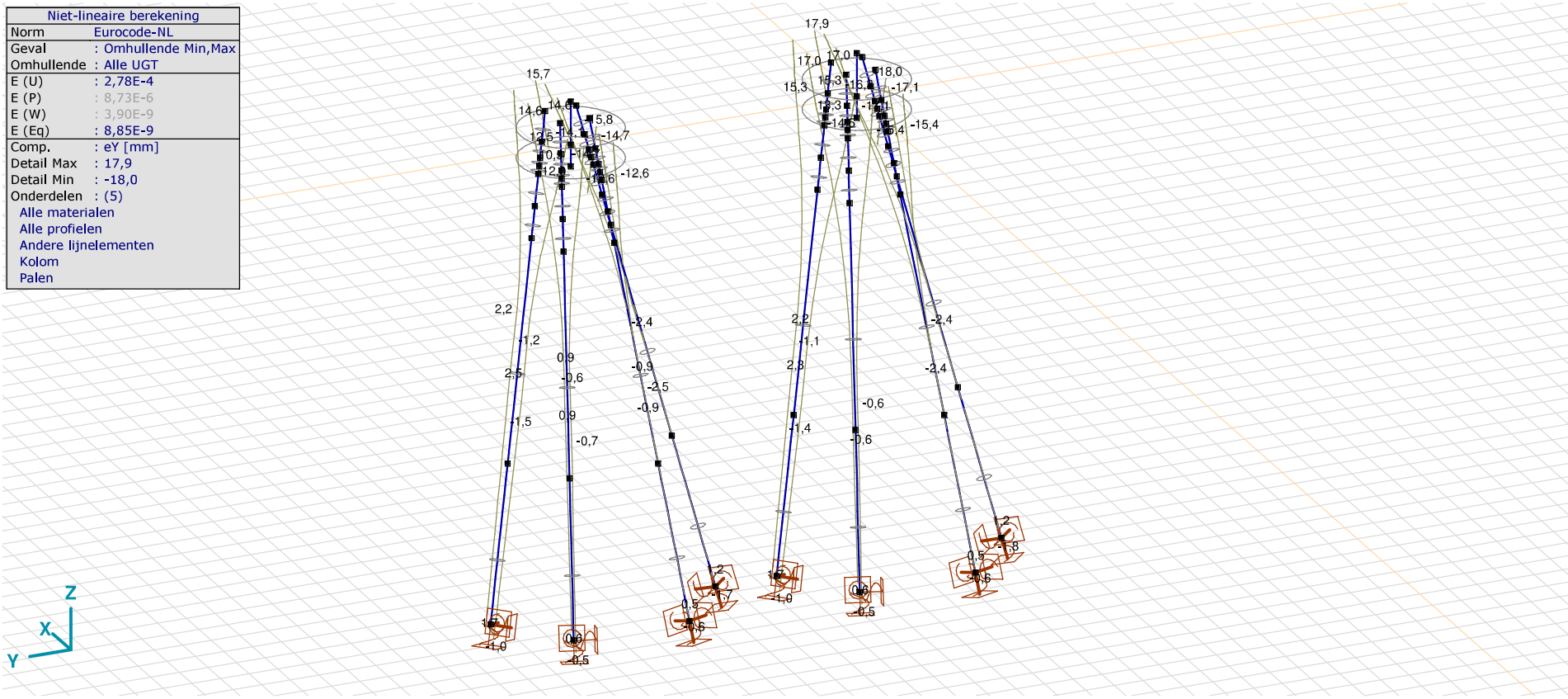

[II], > 7 details, Non-lin., Omhullende (Alle UGT), Onmiddellijke doorbuiging, eY, Lijnen

Project: 4-paalspoer

Constructeur: DNV GL - Energy

Model: **ZWO380 20210927 4-p wortelk rev2.axs** 14-10-2021 Pag. 42

Niet-lineaire berekening	
Norm	Eurocode-NL
Geval	: Omhullende Min,Max
Omhullende	: Alle UGT
E (U)	: 2,78E-4
E (P)	: 8,73E-6
E (W)	: 3,90E-9
E (Eq)	: 8,85E-9
Comp.	: eZ [mm]
Detail Max	: 11,1
Detail Min	: -20,8
Onderdelen	: (5)
Alle materialen	
Alle profielen	
Andere lijnelementen	
Kolom	
Palen	

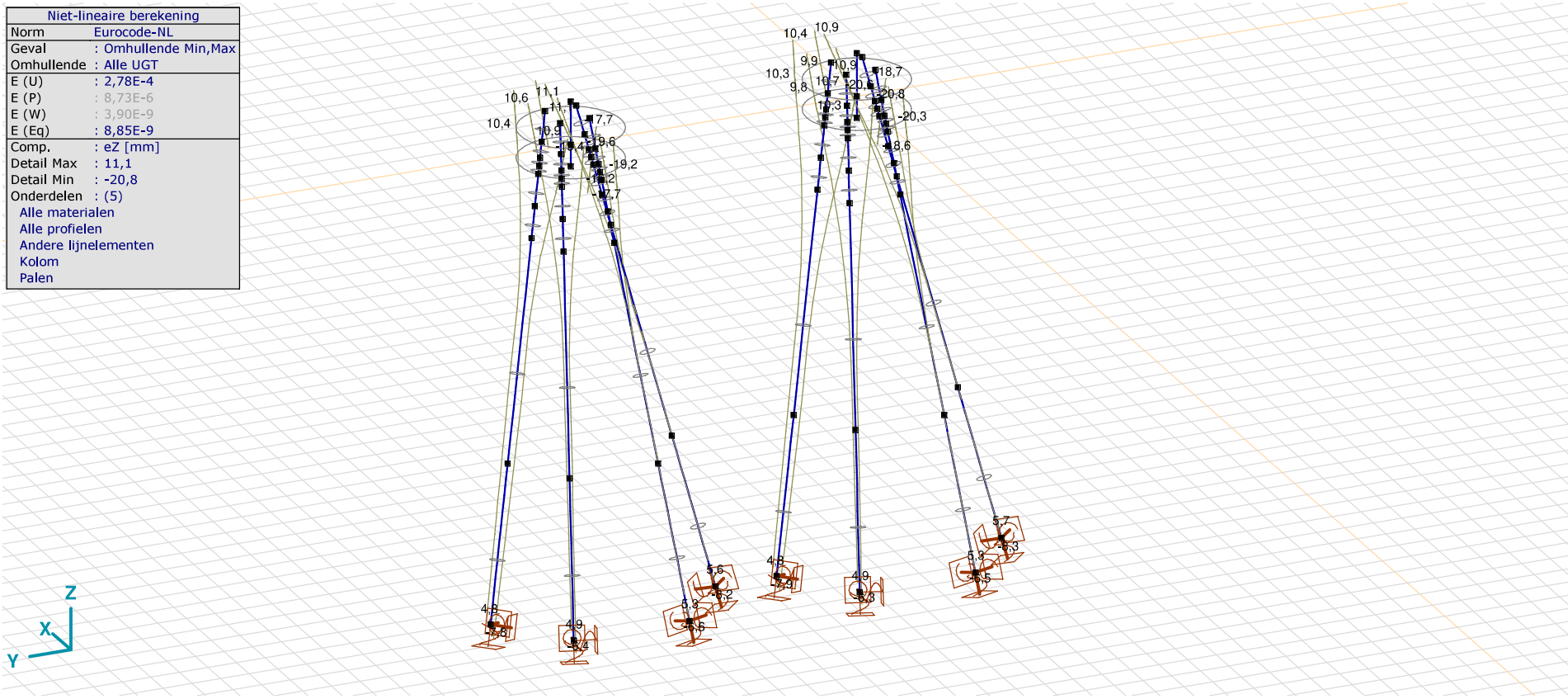

[II], > 7 details, Non-lin., Omhullende (Alle UGT), Onmiddellijke doorbuiging, eZ, Lijnen

Project: 4-paalspoer

Constructeur: DNV GL - Energy

Model: **ZWO380 20210927 4-p wortelk rev2.axs** 14-10-2021 Pag. 43

Niet-lineaire berekening	
Norm	Eurocode-NL
Geval	: Co #6 Max pos torsie max e.g. [1] (1,000)
E (U)	: 1,00E-5
E (P)	: 2,87E-6
E (W)	: 3,10E-12
E (Eq)	: 9,65E-9
Comp.	: eR [mm]
Detail Max	: 21,5
Detail Min	: 0,2
Onderdelen	: (5)
Alle materialen	
Alle profielen	
Andere lijnelementen	
Kolom	
Palen	

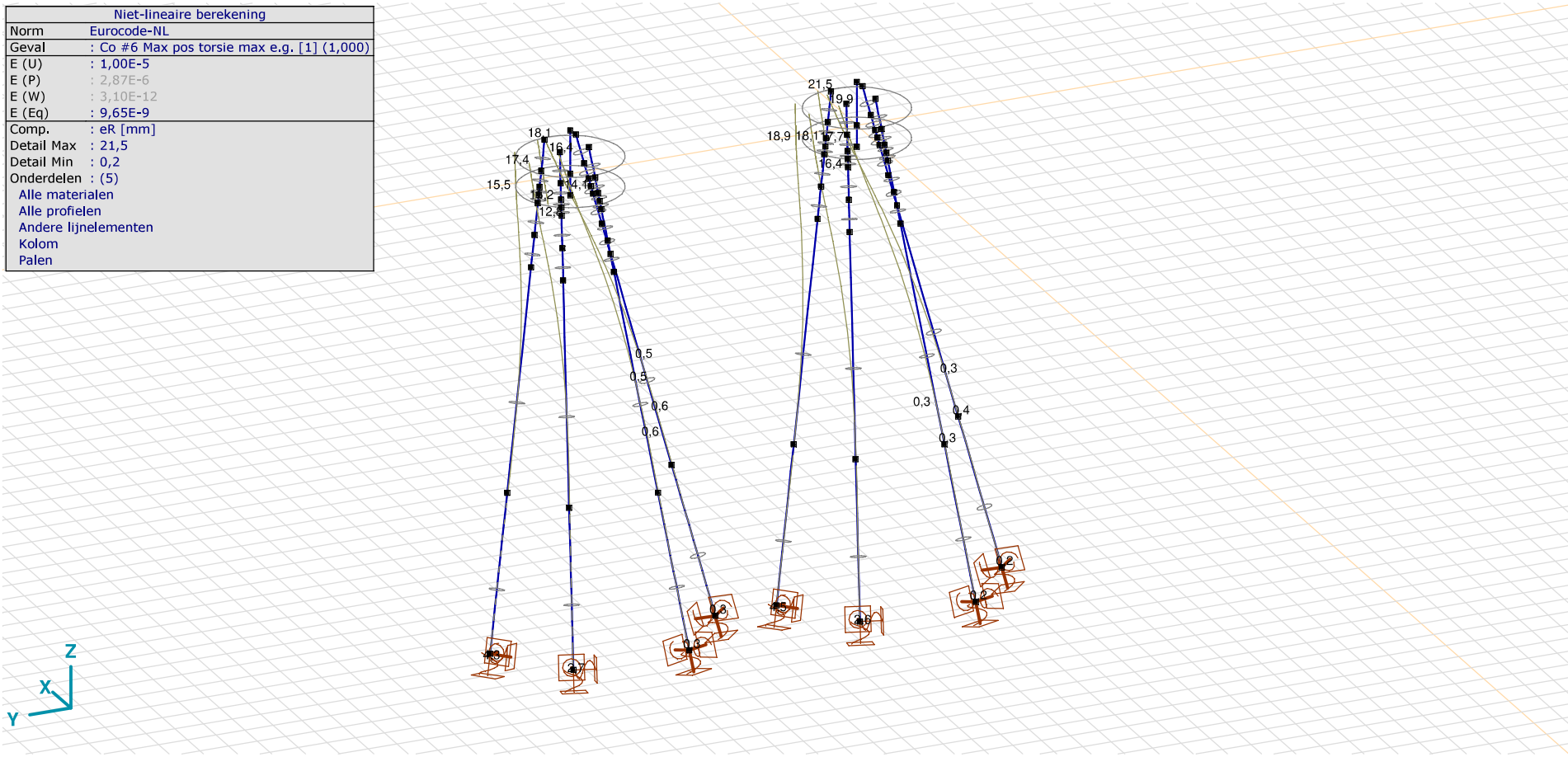

[II], > 7 details, Non-lin., Co #6 Max pos torsie max e.g. [1] (1,000), Onmiddellijke doorbuiging, eR, Lijnen

Knoopverplaatsingen [Non-lin., Omhullende (Alle UGT), Details]

	C	min. max.	Geval	eX [mm]	eY [mm]	eZ [mm]	eR [mm]	fX [rad]	fY [rad]	fZ [rad]	fR [rad]
Ext.											
150	eX	min	Co #5 Max druk max e.g. [1] (1,000)	**−3,2**	−0,9	−9,9	10,5	0	0,0001	0,0001	0,0002
8		max	Co #5 Max druk max e.g. [1] (1,000)	**14,4**	−1,6	−18,7	23,6	0,0002	0,0025	0	0,0025
8	eY	min	Co #7 Max neg torsie max e.g. [1] (1,000)	10,1	**−18,0**	−6,2	21,6	0,0021	0,0011	0,0007	0,0025
8		max	Co #6 Max pos torsie max e.g. [1] (1,000)	10,1	**17,9**	−6,1	21,5	−0,0021	0,0011	−0,0007	0,0025
18	eZ	min	Co #5 Max druk max e.g. [1] (1,000)	13,0	−1,4	**−20,8**	24,6	0,0002	0,0025	0	0,0025
33		max	Co #1 Max trek min e.g. [1] (1,000)	3,4	2,3	**11,1**	11,8	−0,0004	−0,0004	0	0,0006
52		max	Co #1 Max trek min e.g. [1] (1,000)	3,0	2,7	**11,1**	11,8	−0,0004	−0,0004	0	0,0006
278		max	Co #1 Max trek min e.g. [1] (1,000)	3,3	2,4	**11,1**	11,8	−0,0004	−0,0004	0	0,0006
279		max	Co #1 Max trek min e.g. [1] (1,000)	3,2	2,5	**11,1**	11,8	−0,0004	−0,0004	0	0,0006
280		max	Co #1 Max trek min e.g. [1] (1,000)	3,1	2,6	**11,1**	11,8	−0,0004	−0,0004	0	0,0006
104	eR	min	Co #3 Max neg torsie min e.g. [1] (1,000)	0	−0,8	−0,3	**0,8**	0,0009	0,0001	0,0004	0,0010
18		max	Co #5 Max druk max e.g. [1] (1,000)	13,0	−1,4	−20,8	**24,6**	0,0002	0,0025	0	0,0025

C: Extreme component; **min. max.:** Extreme type; **Geval:** Belastinggeval van de extreme; **eX:** Verplaatsing in X-richting; **eY:** Verplaatsing in Y-richting; **eZ:** Verplaatsing in Z-richting; **eR:** Resulterende verplaatsing; **fX:** Rotatie in X-richting; **fY:** Rotatie in Y-richting; **fZ:** Rotatie in Z-richting; **fR:** Resulterende rotatie;

Project: 4-paalspoer

Constructeur: DNV GL - Energy

Model: **ZWO380 20210927 4-p wortelk rev2.axs** 14-10-2021 Pag. 45

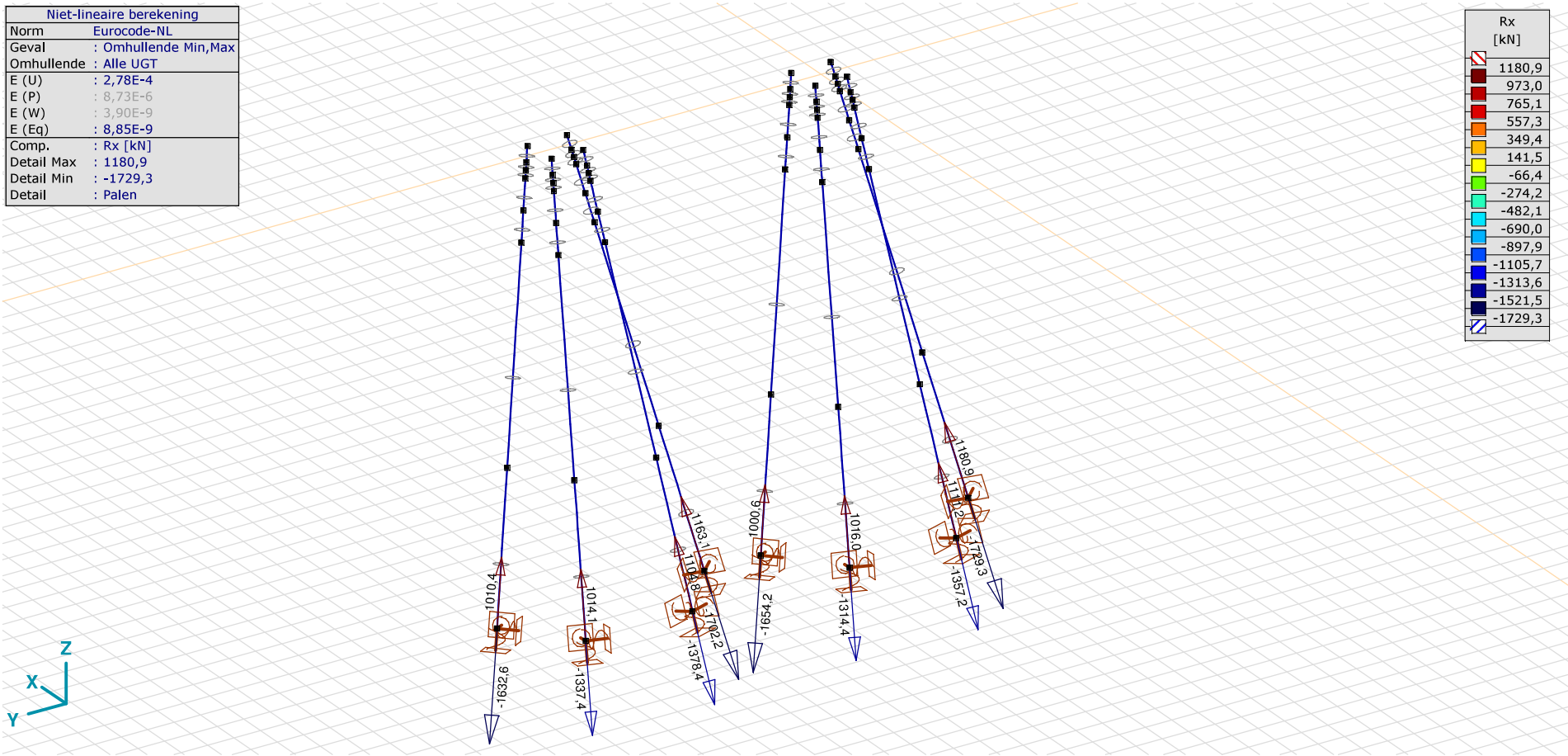

[II], > Palen, Non-lin., Omhullende (Alle UGT), Onmiddellijke doorbuiging, Rx (knoopopl.), Lijnen

Project: 4-paalspoer

Constructeur: DNV GL - Energy

Model: **ZWO380 20210927 4-p wortelk rev2.axs** 14-10-2021 Pag. 46

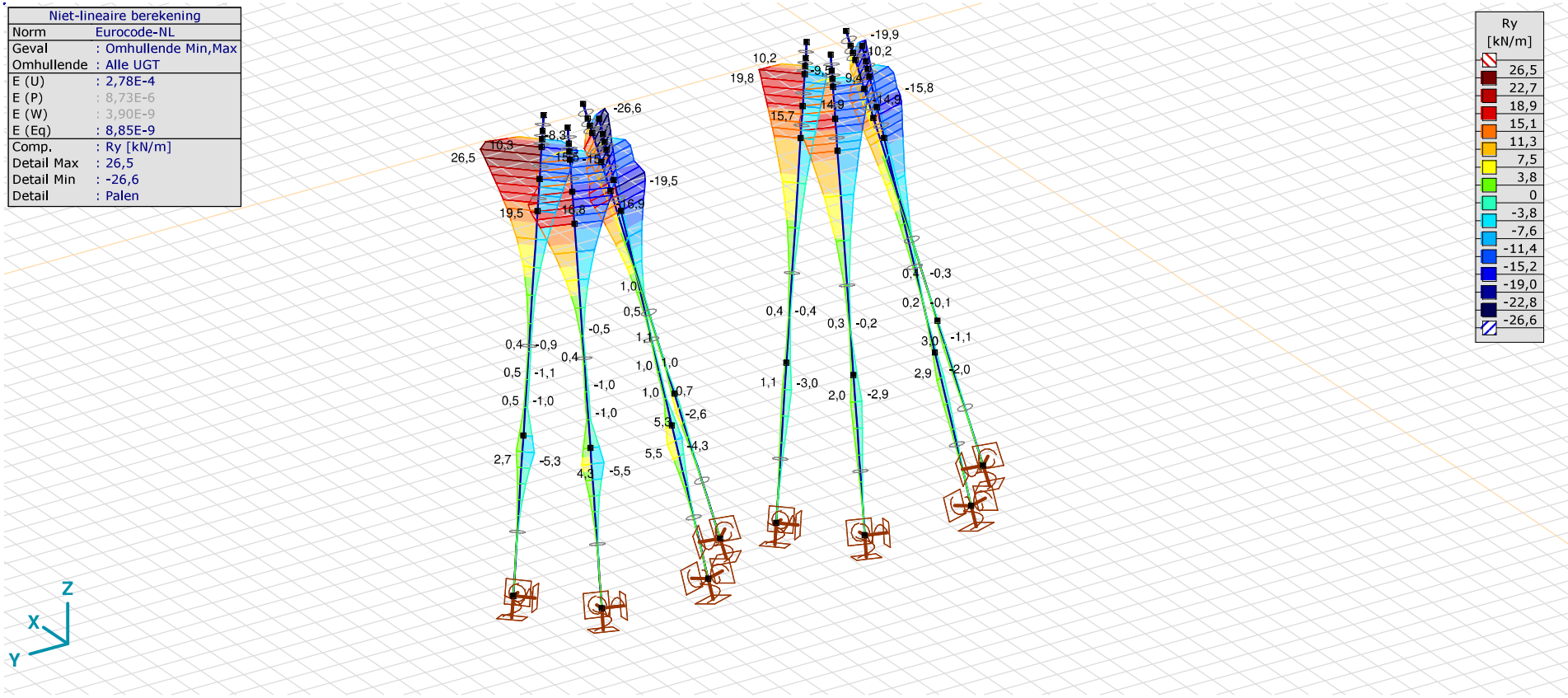

[II], > Palen, Non-lin., Omhullende (Alle UGT), Onmiddellijke doorbuiging, Ry (lijnopp.), Lijnen (gevuld)

Project: 4-paalspoer

Constructeur: DNV GL - Energy

Model: **ZWO380 20210927 4-p wortelk rev2.axs** 14-10-2021 Pag. 47

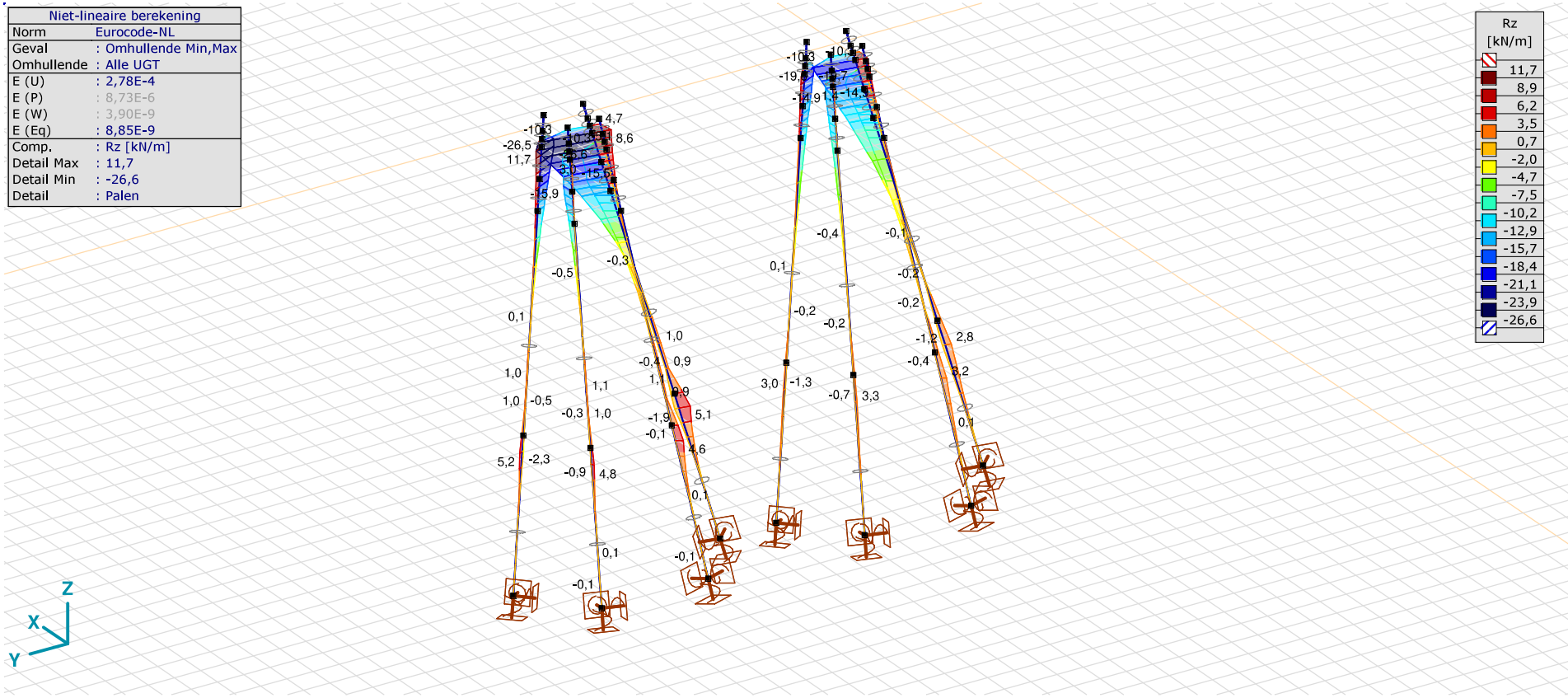

[II], > Palen, Non-lin., Omhullende (Alle UGT), Onmiddellijke doorbuiging, Rz (lijnopp.), Lijnen (gevuld)

Interne krachten knoopoplegging [Non-lin., Omhullende (Alle UGT), Palen]

	Knoop	*X [m]*	*Y [m]*	*Z [m]*	*Type*	*C*	*min. max.*	*Geval*	*Rx [kN]*	*Ry [kN]*	*Rz [kN]*	*Rr [kN]*
Ext.												
2	12	−2,582	−3,932	−15,000	Staaf r.	Rx	min	Co #5 Max druk max e.g. [1] (1,000)	**−1729,3**	−0,8	−0,1	1729,3
2	12	−2,582	−3,932	−15,000	Staaf r.		max	Co #4 Comb.trek+torsie min e.g. [1] (1,000)	**1180,9**	0,2	0,4	1180,9

	Rxx [kNm]	*Ryy [kNm]*	*Rzz [kNm]*	*Rrr [kNm]*	*αR*
Ext.					
2	2,8	−2,1	0,7	3,5	−20954,240
2	−3,8	−1,3	−0,5	4,0	2700,926

Knoop: Ondersteunde knoop; **Type:** Opleggingstype; **C:** Extreme component; **min. max.:** Extreme type; **Geval:** Belastinggeval van de extreme; **Rx:** X-component opleggingsreactiekracht; **Ry:** Y-component opleggingsreactiekracht; **Rz:** Z-component opleggingsreactiekracht; **Rr:** Resulterende opleggingsreactiekracht; **Rxx:** X-component opleggingsreactiemoment; **Ryy:** Y-component opleggingsreactiemoment; **Rzz:** Z-component opleggingsreactiemoment; **Rrr:** Resulterend opleggingsreactiemoment; **αR:** Verhouding verticale oplegkracht / horizontale oplegkracht;

About DNV

DNV is the independent expert in risk management and assurance, operating in more than 100 countries. Through its broad experience and deep expertise DNV advances safety and sustainable performance, sets industry benchmarks, and inspires and invents solutions.

Whether assessing a new ship design, optimizing the performance of a wind farm, analyzing sensor data from a gas pipeline or certifying a food company's supply chain, DNV enables its customers and their stakeholders to make critical decisions with confidence.

Driven by its purpose, to safeguard life, property, and the environment, DNV helps tackle the challenges and global transformations facing its customers and the world today and is a trusted voice for many of the world's most successful and forward-thinking companies.

B.4 Ondersteuningsconstructies opstijgpunten 150kV en 380kV

ZUID-WEST 380 KV OOST VERBINDINGEN

Rapport ondersteuningsconstructies 150 kV en 380 kV OSP's

TenneT TSO B.V.

Meridian doc.nr.: 002.678.00.0935998
Rapport nr.: 21-0966, Rev. 4
Datum: 2021-12-08

DATUM:	20-12-2021
STATUS TENNET:	DEFINITIEF
REVISIE TENNET:	1.0

Projectnaam:	Zuid-West 380 kV Oost Verbindingen	Energy Systems
Rapport titel:	Rapport ondersteuningsconstructies 150 kV en 380 kV OSP's	DNV Netherlands B.V. Utrechtseweg 310-B50
Klant:	TenneT TSO B.V.,	6812 AR Arnhem
Contactpersoon klant:	[redacted]	
Datum uitgave:	2021-12-08	
Project nr.:	10124719	Tel: 026 356 9111
Organisatie unit:	TDT	Handelsregister Arnhem 09006404
Meridian doc.nr..:	002.678.00.0935998	
Rapport nr.:	21-0966, Rev. 4	

[redacted]

Copyright © DNV 2021. All rights reserved. Unless otherwise agreed in writing: (i) This publication or parts thereof may not be copied, reproduced or transmitted in any form, or by any means, whether digitally or otherwise; (ii) The content of this publication shall be kept confidential by the customer; (iii) No third party may rely on its contents; and (iv) DNV undertakes no duty of care toward any third party. Reference to part of this publication which may lead to misinterpretation is prohibited.

DNV Distributie:

☒ Open

☐ Intern

☐ Commercieel vertrouwelijk

☐ Vertrouwelijk

☐ Geheim

*Specificatie distributie: --

Trefwoorden:

[redacted]

Inhoudsopgave

1 INLEIDING 1

2 UITGANGSPUNTEN EN RANDVOORWAARDEN 2
2.1 Normen 2
2.2 TenneT-specificaties 2
2.3 Materialen 2
2.4 Software 3
2.5 Primaire componenten 3

3 380 KV OSP IN MOLDAU MASTEN 5
3.1 Mastbeeld 6
3.2 Uitgangspunten berekening 7
3.3 Geleiderbelastingen 7
3.4 Toetsing resultaat 12
3.5 Reacties op de fundering 17
3.6 Ankerverbinding 19
3.7 Toetsing horizontale verplaatsing 19
3.8 Constructiegewicht 20

4 150 KV OSP MOLDAU MASTEN 21
4.1 Ondersteuningstekeningen 22
4.2 Uitgangspunten berekening 22
4.3 Geleiderbelastingen 22
4.4 Toetsing resultaat 27
4.5 Reacties op de fundering 30
4.6 Ankerverbinding 32
4.7 Toetsing horizontale verplaatsing 32
4.8 Constructiegewicht 33

5 PERMANENTE OSP'S IN BESTAANDE 150 KV-LIJNEN 34
5.1 Mastbeeld 34
5.2 Uitgangspunten berekening 35
5.3 Geleiderbelastingen 35
5.4 Toetsing resultaat 37
5.5 Reacties op de fundering 38
5.6 Constructiegewicht 38

6 150KV TIJDELIJK IN BESTAANDE VERBINDINGEN 39
6.1 Geleiderbelasting 40

Appendix A Geleiderbelastingen
Appendix B Geleiderbelasting grondplaat 150kV en 380 kV (aflopers)
Appendix C Berekeningsrapport OSA
Appendix D Berekeningsrapportage grondplaat
Appendix E Berekeningsrapport geleider afspanning mast 1025
Appendix F Kortsluitkrachten aflopers mast 19A, mast 11, mast 97 en mast 01

1 INLEIDING

In het basisontwerp van de vakwerkmasten voor de verbinding RLL-TLB380 in het project Zuid-West 380 kV-Oost zijn voor het vaststellen van de haalbaarheid constructieve berekeningen uitgevoerd aan de masten en fundaties. In de Definitief Ontwerpfase, moeten berekeningen verder worden uitgewerkt om te kunnen dienen voor de benodigde vergunningsdocumentatie, voor de aanbesteding en als voorbereiding voor de uitvoeringsfase. Het DO omvat het ontwerp van de mastconstructies, de fundaties en de opstijgpunten in de verbinding.

Deze rapportage bevat de definitieve ontwerptekeningen en resultaten van de berekeningen van de volgende opstijgpunten (OSP):

- 380 kV OSP in Moldau masten
- 150 kV OSP in Moldau masten
- 150kV permanente opstijgpunten in bestaande verbindingen
- 150 kV tijdelijke opstijgpunten

Dit document heeft enkel betrekking op de primaire ondersteunende staalcomponenten. De additionele componenten dienen in samenwerking met de leveranciers verder in UO uitgewerkt te worden.

Buiten de scope van dit DO-rapport valt de controle van de schetsplaten en overige verbindingsdetails in de constructie. Ook dit moet in de UO-fase worden uitgewerkt. Verder zijn de 150 kV tijdelijke opstijgpunten is het staalwerk voor de afspanconstructies en het staalwerk voor de ondersteuning van de KES en eventueel OSA ook buiten deze scope gelaten. Er worden enkel de dominante krachten aangeleverd waarmee in UO fase de constructies uitgewerkt gaan worden.

In hoofdstuk 2 zijn de uitgangspunten en randvoorwaarden vanuit de van toepassing zijnde normen en TenneT-specificaties opgenomen. Hoofdstuk 3 betreft de 380 kV Moldau opstijgpunten, hoofdstuk 4 betreft de 150 kV opstijgpunten en hoofdstuk 5 de opstijgpunten horende bij de bestaande 150 kV-lijnen. In hoofdstuk 6 zijn de tijdelijke opstijgpunten opgenomen.

2 UITGANGSPUNTEN EN RANDVOORWAARDEN

2.1 Normen

Er is gebruik gemaakt van de normen volgens Tabel 1.

Tabel 1 Gebruikgemaakte normen, voorschriften en richtlijnen

Norm	Titel
NEN-EN 50341-1:2013	"Overhead electrical lines exceeding AC 1 kV - Part 1: General requirements – Common"
NEN-EN 50341-2-15:2019	"Overhead electrical lines exceeding AC 1 kV Part 2 National Normative Aspects (NNA) for THE NETHERLANDS"
NEN-EN 1990+A1+A1/C2:2019/NB:2019nl	"Grondslagen van het ontwerp"
NEN-EN 1991-1-4+A1+C2:2011/NB:2019+C1:2020	"Deel 1-4: Windbelasting op constructies"
NEN-EN 1993-1-1+C2+A1:2016 nl	"Eurocode 3: Ontwerp en berekening van staalconstructies, deel 1-1: algemene regels en regels voor gebouwen"
NEN-EN 1993-3-1:2007/NB:2011 nl	"Deel 3-1: Torens, masten en schoorstenen - Torens en masten"
NEN-EN 1993-1-8+C2:2011/NB:2011 nl	"Ontwerp en berekening van staalconstructies, deel 1-8: ontwerp en berekening van verbindingen"

2.2 TenneT-specificaties

In Tabel 2 zijn de documenten opgenomen die relevant zijn voor de berekeningen en toetsingen die binnen dit project in de mastrapportage uitgevoerd zullen worden.

Tabel 2 Relevante documenten t.b.v. mechanische rapportages

Nummer	Onderwerp
PVE.05.000 v3.2	PvE Lijnen
sPVE.05.001	sPvE Lijnen
SPE.05.346 v1.3	Algemene specificatie stalen masten

2.3 Materialen

Voor het ontwerp van de ondersteuningsconstructies wordt uitgegaan van de eigenschappen volgens Tabel 3.

Tabel 3 Materialen aangepaste constructie

Staalsoort	S355J0 (t≤16 mm) S355J2 (16<t≤40 mm)
Boutkwaliteit	8.8 gerolde draad
Betonkwaliteit	C30/37
Wapeningsstaal	B500

Voor de constructie geldt conform TenneT-specificatie:

- Toe te passen bouten: M16/M20/M24;
- Voor hoekstaal is de minimale afmeting L50x5 mm;
- Minimale plaatdikte 6 mm.

Mocht het noodzakelijk zijn M30 toe te passen, bij grote plaatdiktes is dit als afwijking door TenneT toegestaan.

2.4 Software

De gebruikte software wordt benoemd in Tabel 4.

Tabel 4 Toegepaste software

Software		Versie
Mastontwerp	PLS-CADD	16.65
Mastberekeningen	PLS-TOWER	16.65
Constructieve analyse	AxisVM	X5 R4h
Constructieve analyse	Abaqus	v.2020

Voor de ondersteuning constructies zijn de volgende tekeningen aan randvoorwaarden aangedragen

2.5 Primaire componenten

Voor de ondersteuningsconstructies dient rekening te worden gehouden met de volgende componenten. Hierbij moet vermeld worden dat de genoemde leveranciers als referentie dient te worden beschouwd en dat dit nog kan veranderen. Wanneer de leveranciers en juiste maatvoering van de componenten bekend zijn dienen de berekeningen te worden bijgewerkt.

2.5.1 OSA 150kV

Type: SBKT 165/SM-A-I (Tridelta)

Hoogte: 1872mm

Diameter: 700mm (corona ring) 232mm (Isolator)

Windoppervlakte: 0,44m2

Gewicht: 75kg

Voetplaat: 310, 4xØ24mm

Aansluitstift: OHL: Ø30mm

2.5.2 OSA 380 kV

Type: SBKT 165/SM-A-I (Tridelta)

Hoogte: 4308mm

Diameter: 1250mm (corona ring) 272mm (Isolator)

Windoppervlakte: 1,18m2

Gewicht: 225kg

Voetplaat: 310, 4xØ24mm

Aansluitstift: OHL: Ø30mm

2.5.3 KES 150kV

Type:	Afgeleide van HKN-TAI-00005 (Taihan)
Hoogte:	2000±10mm
Diameter:	400mm (Isolator)1
Wind oppervlakte:	0.8m2
Gewicht:	850kG (aanname)
Voetplaat:	Afmeting afstemmen met leverancier
Aansluitstift OHL:	Ø60mm (aanname)

2.5.4 KES 380kV

Type:	HKN-TAI-00005 (Taihan)
Hoogte:	4000±10mm
Diameter:	784 mm (Isolator)1
Wind oppervlakte:	3.14m2
Gewicht:	1700 kg
Voetplaat:	Afmeting afstemmen met leverancier
Aansluitstift OHL:	Ø60mm (aanname)

2.5.5 150kV kabel

Voor de kabel is door Tennet aangegeven dat de buigradius minimaal 4000mm bedraagt

2.5.6 Primaire ondersteuningen

DNV zal de volgende tekeningen aanleveren die betrekking hebben op de ondersteuningsconstructies voor de OSP's:

- 002.678.00 0935068 101241719-12-1000 Blad 1, Staalwerk OSA 380kV
- 002.678.00 0935069 101241719-12-1001 Blad 1, Staalwerk KES 380kV
- 002.678.00 0935071 101241719-12-1003 Blad 1, Staalwerk OSA 150kV
- 002.678.00 0935072 101241719-12-1004 Blad 1, Staalwerk KES 150kV
- 002.678.00 0935073 10124719-12-1005 Blad 1, Staalwerk Voetplaat grondafspanning isolatoren op OSP 380/150kV, blad 1
- 002.678.00 0935029 10124719-12-1006 Blad1, Staalwerk Bundelafspanning staalwerk mast 1025 (7,5m)
- 002.678.00 0935030 10124719-12-1007 Blad 1, Bundelafspanning staalwerk mast 1025 (15m)

Hierbij worden de primaire componenten OSA en KES als station componenten beschouwd en de grondplaat en afspanningsconstructies als lijncomponenten. Belangrijkste verschil is dat betreffende station componenten de kortsluitbelastingen vermenigvuldigd worden met 1,5

Voor de bepaling van de belastingen op de KES, OSA, grondplaat en de afspanningen wordt uitgegaan van de worst-case scenario.

3 380 KV OSP IN MOLDAU MASTEN

Dit hoofdstuk heeft betrekking op de 380 kV opstijgpunten in de volgende Moldau masten.

- Mast 1014
- Mast 1025 (Samen 150kV)

Het opstijgpunt bestaat uit de volgende primaire ondersteuningscomponenten, dropper afgespannen of op een grondplaat (voor mast 1014) of afgespannen op een vakwerkconstructie (voor mast 1025), waarbij vervolgens de geleider in het horizontale vlak naar het kabelopstijgpunt (KES) en vervolgens naar het overspanningsafleider (OSA) wordt geleid.

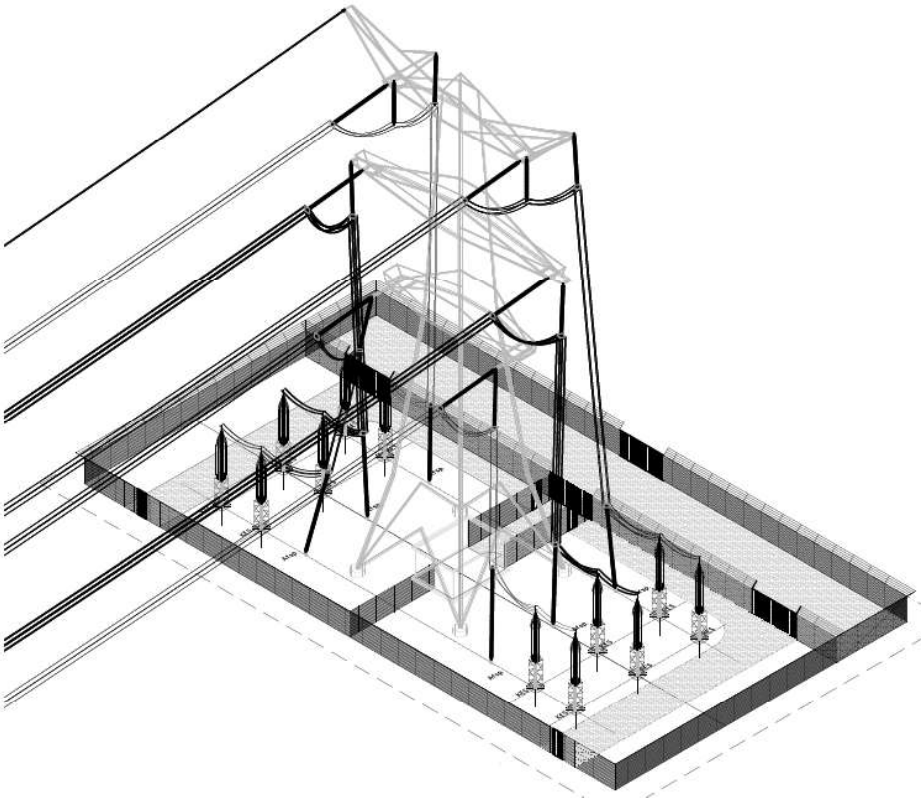

Figuur 1 380 kV OSP in mast 1014

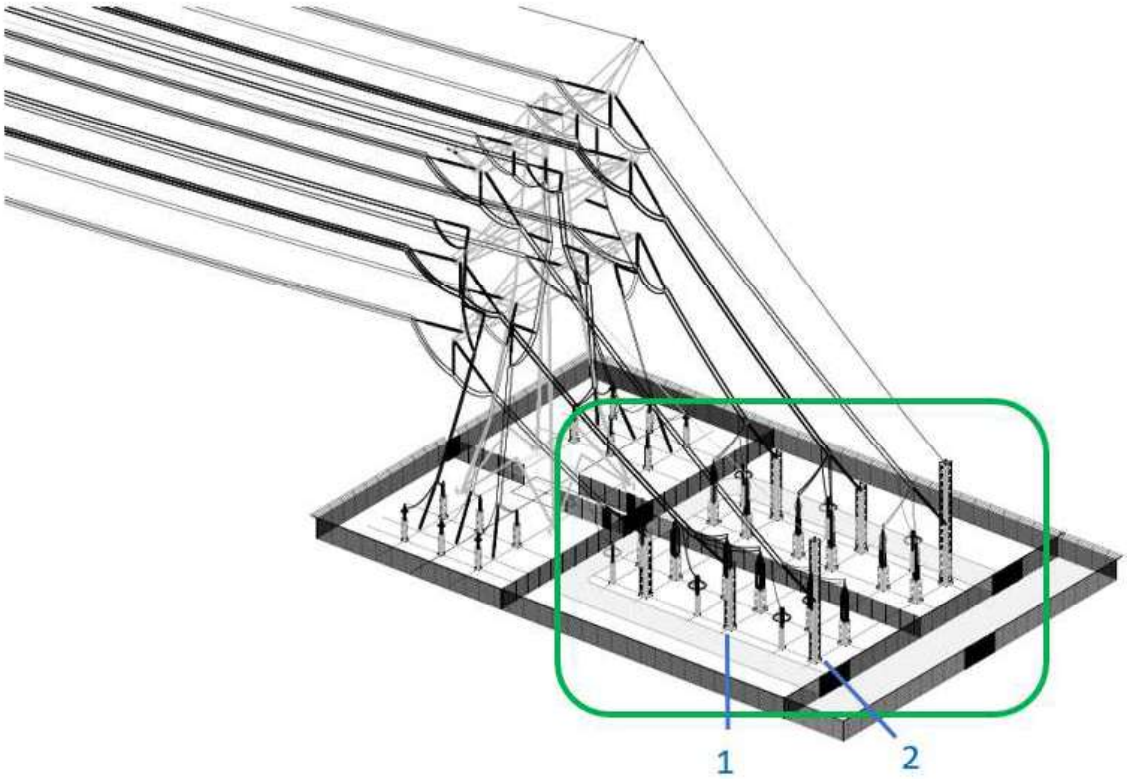

Figuur 2 380 kV OSP mast 1025 (omcirkeld in groen)

3.1 Mastbeeld

In dit hoofdstuk wordt het beeld van de grondplaat, KES en OSA weergegeven met de belangrijkste maatvoering. Voor de tekening van de ondersteuningsconstructie met volledige maatvoering en aanzichten wordt verwezen naar onderstaande tekeningen:

- Staalwerk KES 380 kV, Meridiannummer 002.678.00 0935069;
- Staalwerk OSA 380 kV, Meridiannummer 002.678.00 0935068;
- Voetplaat grondafspanning isolatoren 380 kV/150 kV, Meridiannummer 002.678.00 0935073
- Bundelafspanning staalwerk mast 1025 (7,5m), Meridiannummer 002.678.00.0939529
- Ondersteuningsconstructie afspanning mast 1025 (15 m) , Meridiannummer 002.678.00.0939530

3.2 Uitgangspunten berekening

De uitgangspunten volgens Tabel 23 zijn van toepassing.

Tabel 5 Uitgangspunten

Norm	NEN-EN50341-2-15:2019
Gevolgklasse initieel	CC2
Betrouwbaarheidsniveau	Nieuwbouw
Referentieperiode	50 jaar
Windgebied	II[1]
Windsnelheid (m/s)	27
Terreincategorie	II
Reductiefactor c_{dir}	1,00
IJsgebied fasegeleider	B
IJsgebied bliksemgeleider	A

Tabel 6 Uitgangspunten voor kortsluitbelasting

Conductor type	AMS 620
Kortsluitbelasting	50 kA / 0,5 s
No. Spacers	4
Sub bundel spacing	200 mm
EDS tension	2500 N / draad
Center afstand tussen fases	4,3 m
Dropper lengte (mast – grondplaat) Afstand dropper tot OSA	44,2 m

3.3 Geleiderbelastingen

Voor de componenten dienen belastingen te worden berekend voor de fundatie en de dimensionering van de ondersteuningsconstructie.

3.3.1 KES

De ondersteuningsconstructie voor de KES (kabeleindsluiting) bestaat uit een vakwerkconstructie. De belastingen uit de geleider zijn bepaald met eigen programma van DNV. Kortsluitbelastingen zijn hierbij de dominante belasting. De wind- en eigen gewichtsbelasting worden in het programma PLS-Tower meegenomen.

[1] Bij mast 1014 is windgebied II van toepassing. Mast 1025 valt onder windgebied III.

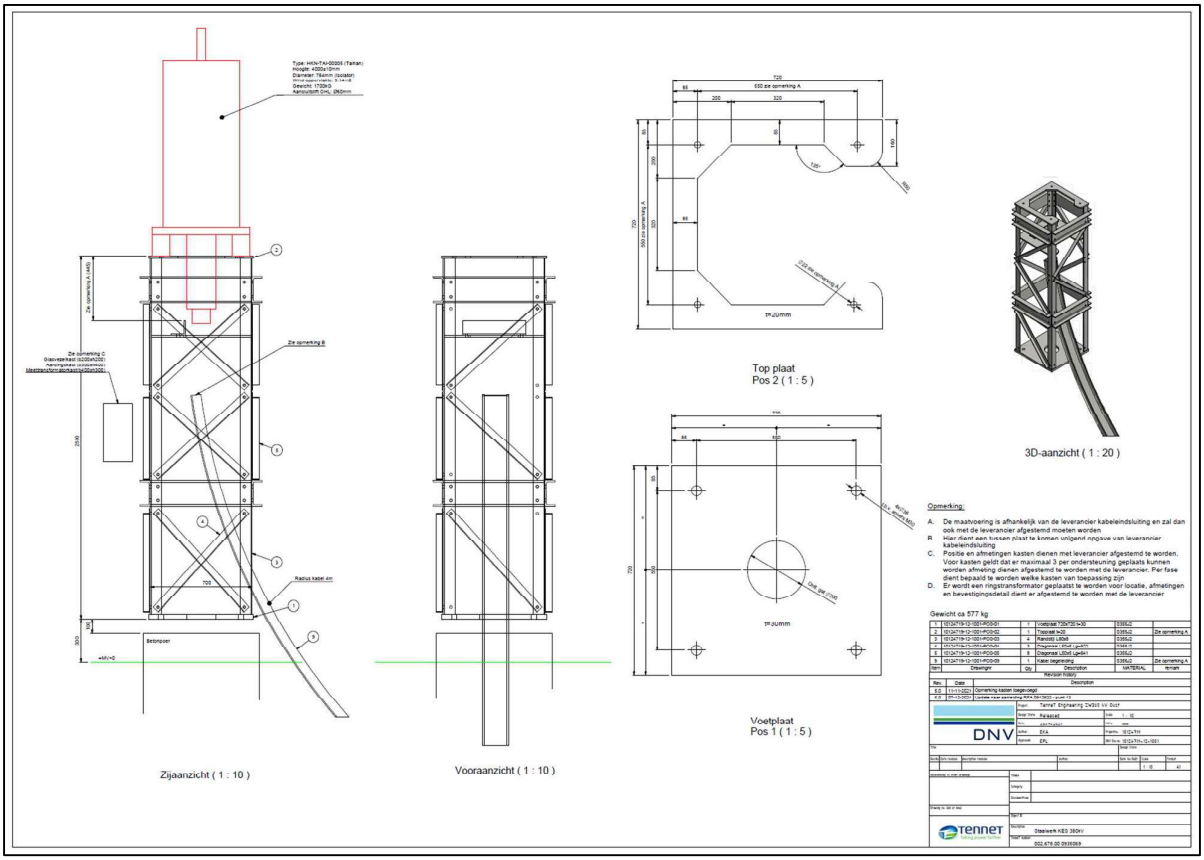

Figuur 3 Aanzichtstekening KES 380 kV

De belastingen uit de geleider zijn apart berekend. De uitgangspunten zijn als volgt:

Windbelasting	Gebied II, onbebouwd		
	P_w =	0,85 kN/m^2	
	Lengte geleider =	5 m	
	Coefficient geleider	C_f =	1,0
	Coefficient component	C_f =	1,2
	Bundel	4	

Kortsluitbelasting is bepaald op 6,04 kN, dit is de maximale topdwarskracht. Dit is in een eigen programma berekend. Er is rekening gehouden met de geleidertrek op de component.

De component wordt onder een hoek van 45° geplaatst met de geleiderrichting. Hier is in de berekening rekening mee gehouden.

Voor de gewichts-, trek-, wind- en kortsluitbelastingen wordt verder verwezen naar Appendix A.

3.3.2 OSA

De OSA-ondersteuningsconstructie bestaan uit een enkele buiskolom. Deze is gemodelleerd in Axis-VM waarbij het eigengewicht, geleidertrek en windbelasting op het berekeningsmodel zijn gezet. Ook hierbij zijn de kortsluitbelastingen dominant. Er wordt de worst-case situatie beschouwd, dat de OSA met dezelfde kortsluitstroom wordt belast als de KES.

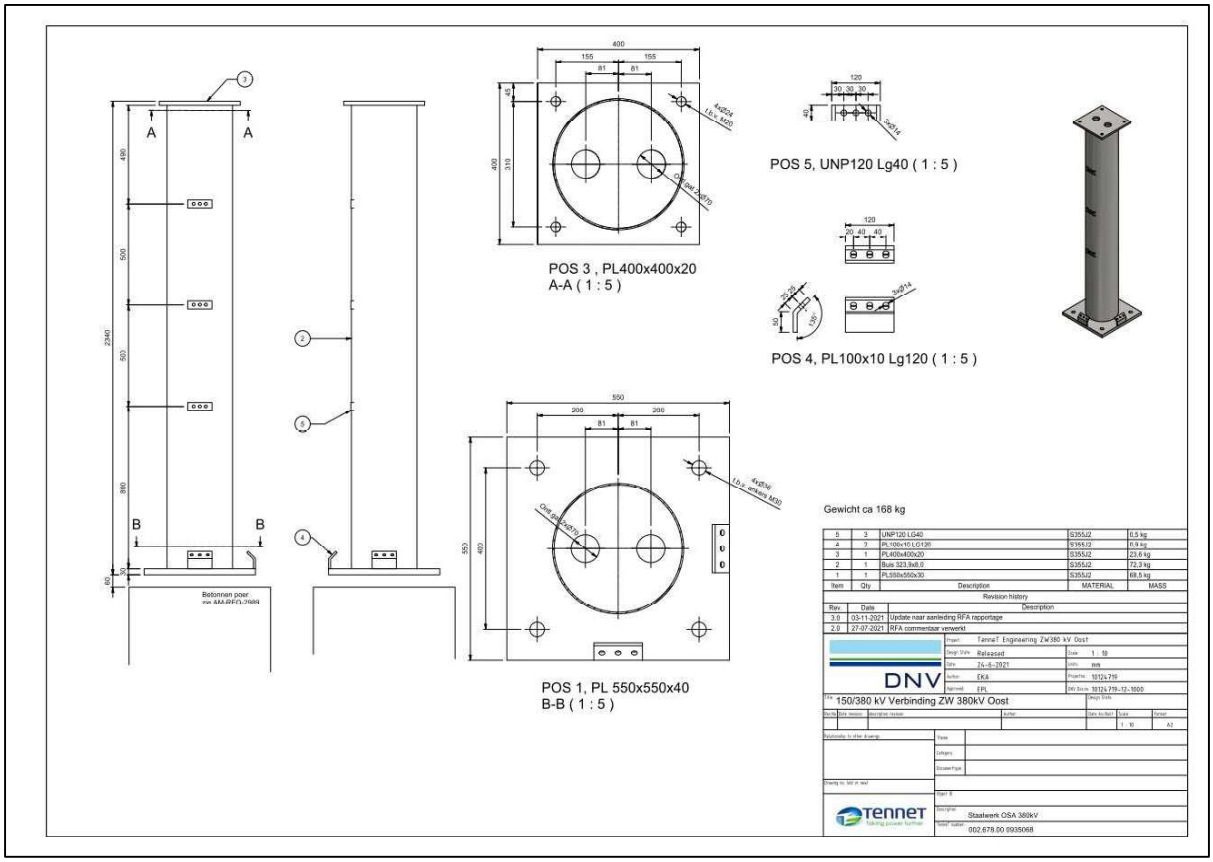

Figuur 4 - Aanzichtstekening OSA 380 KV

Voor de gewichts-, trek-, wind- en kortsluitbelastingen wordt verder verwezen naar Appendix A.

3.3.3 Grondplaat

De grondplaat wordt in opwaartse richting belast door de geleidertrek naar de mastconstructie. De grootste trekbelasting treedt op door kortsluitbelasting of windbelasting, afhankelijk van de lengte. Als gevolg van de richting van de geleider werkt ook een dwarskracht op de grondplaat.

De grondplaat is met het programma Abaqus gemodelleerd dat geschikt is om volume componenten door te rekenen. Ook hierbij zijn de belastingen extern op het model geplaatst. Hierbij is het volgende aangenomen:

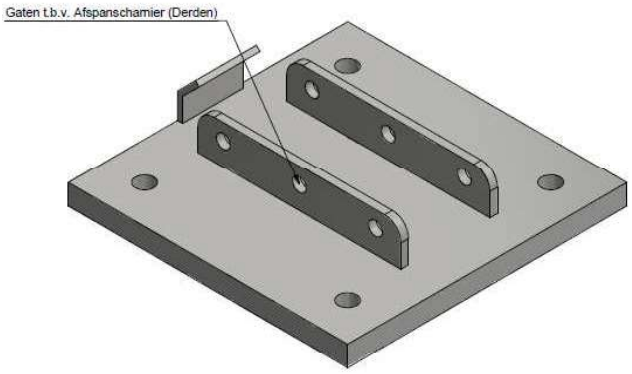

Figuur 5 Aanzicht grondplaat

Ondersteuningsconstructie

Windbelasting	Gebied II, onbebouwd	
	P_w =	1,1 kN/m^2
	Lengte geleider	45 m
	$A_{geleider}$	0,032 m
	Coefficienten, C_f =	1,0
	Bundel	4

Ook hierbij zijn de kortsluitbelastingen dominant. De dominante belastingcombinatie is als volgt:

	Vertical (N)	*Transversal (N)*	*Longitudinal (N)*
LC1	-63998	3168	0

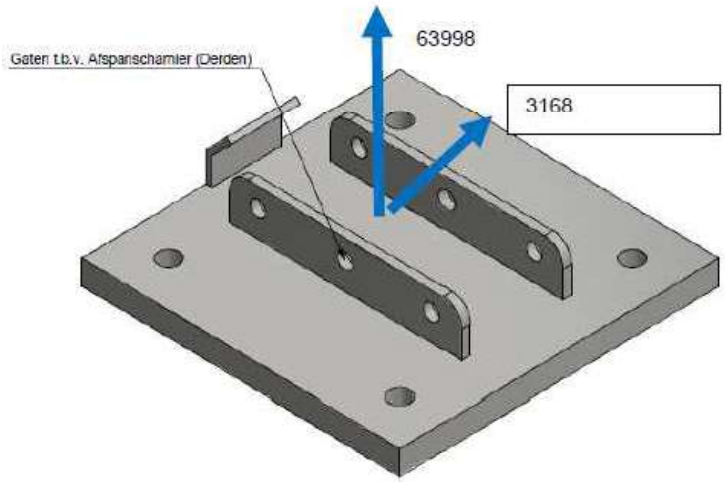

Figuur 6 Belastingcombinatie grondplaat 380 kV afspanning

In Appendix A zijn de resultaten van de belastingen samengevat voor de KES en OSA voor de 150 kV en 380 kV. In Appendix B zijn de resultaten van de belasting op de grondplaat bepaald.

3.3.4 Ondersteuningsconstructie afspanning 7,5 en 15 meter (mast 1025)

In mast 1025 worden de geleiders op vakwerkkolommen afgespannen. De onderste twee fases worden op een vakwerkconstructie van 7,5 meter hoogte afgespannen en de bovenste fase op een 15 meter vakwerkconstructie waarbij de fase op 7,5 meter hoogte is afgespannen en de bliksemdraad op 15 meter hoogte. Beide constructies zijn doorgerekend in PLS-TOWER.

De wind- en trekbelastingen zijn opgenomen in Appendix E. Overzicht voor kortsluitbelasting ULS 8 is hieronder weergegeven.

Principe belastingssituaties:

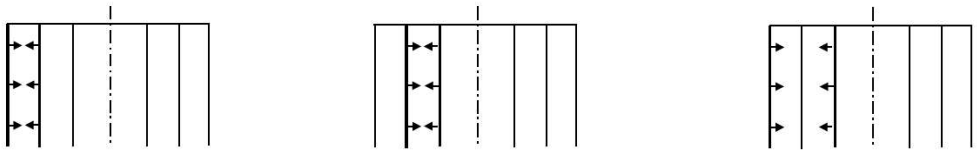

1. 10-11 2. 11-12 3. 10-12

Kortsluitkrachten

(Zie separate berekening)

Geleider		$w_{z,G}$ [N/m]	Kortsluitkra [kN]	F_x [kN]	F_y [kN]	F_z [kN]
10	380ct1f1		80,1	-61,4	-3,1	-51,3
11	380ct1f2		77,0	-59,3	-5,8	-48,8
12	380ct1f3		44,8	-34,6	-1,8	-28,4

Belastingcombinaties kortsluiting

Belastingcombinatie
ULS 8 Kortsluiting 10-11
ULS 8 Kortsluiting 10-12
ULS 8 Kortsluiting 11-12

Figuur 7 Overzicht kortsluitbelasting ULS 8 voor afspanconstructies mast 1025

3.4 Toetsing resultaat

De ondersteuningsconstructies zijn doorgerekend op basis van belastingen zoals toelicht in paragraaf 3.3. De resultaten zijn weergegeven van de maximale uitnuttingsgraad per ondersteuningsconstructie.

3.4.1 KES

Hieronder zijn de resultaten weergegeven van de ondersteuningsconstructie van de KES.

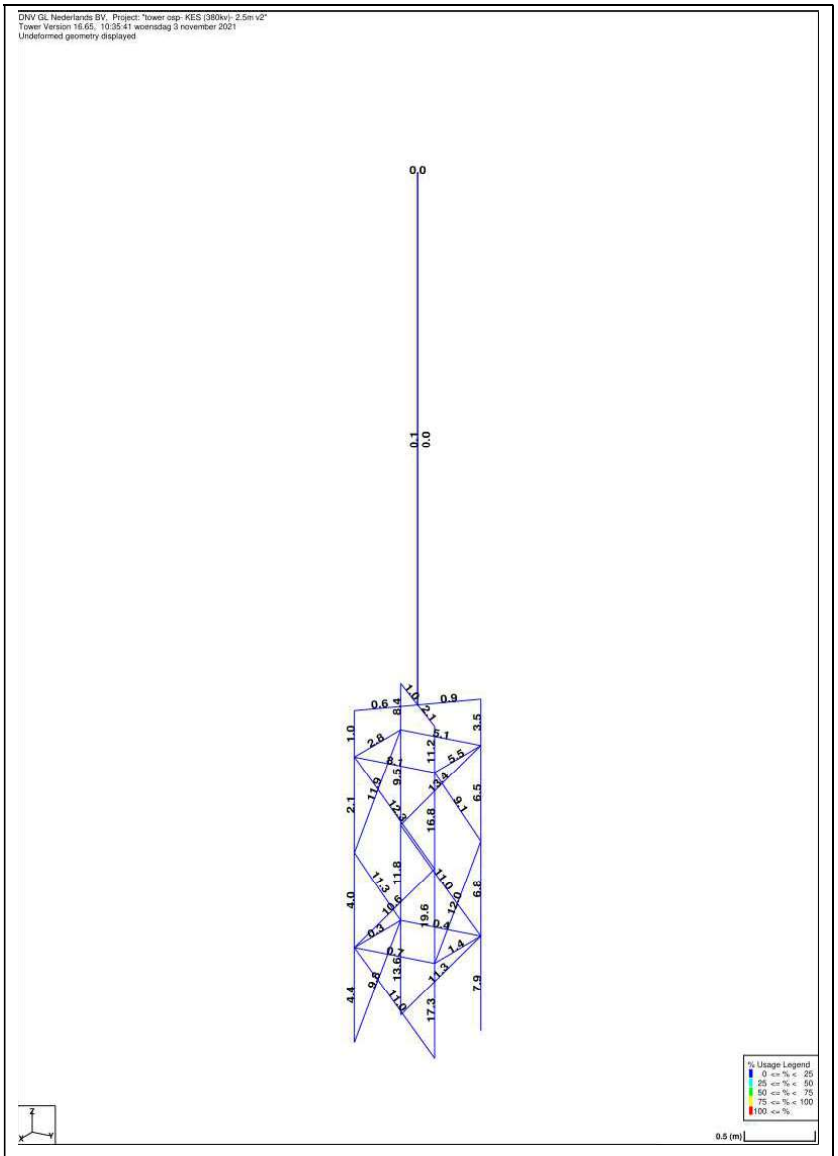

380 kV KES ondersteuningsconstructie met een maximale UC van 0,15.

Figuur 8 Resultaat toetsing ondersteuningsconstructie KES 380 kV

Tabel 7 Toetsing profielen vakwerkkolom KES

Onderdeel	Profiel	Bouten	N_{Ed} (kN)	N_{Rd} (kN)	U.C.	Toets
Randstijl	L80x8	-	65	378	0,17	OK
Diagonalen	L50x5	1M16-8.8	7,1	58,8	0,12	OK

De constructie voldoet.

3.4.2 OSA

Hieronder zijn de resultaten weergegeven van de OSA. Het berekeningsrapport voor de OSA is opgenomen in Appendix C.

Tabel 8 Resultaten OSA 380 kV

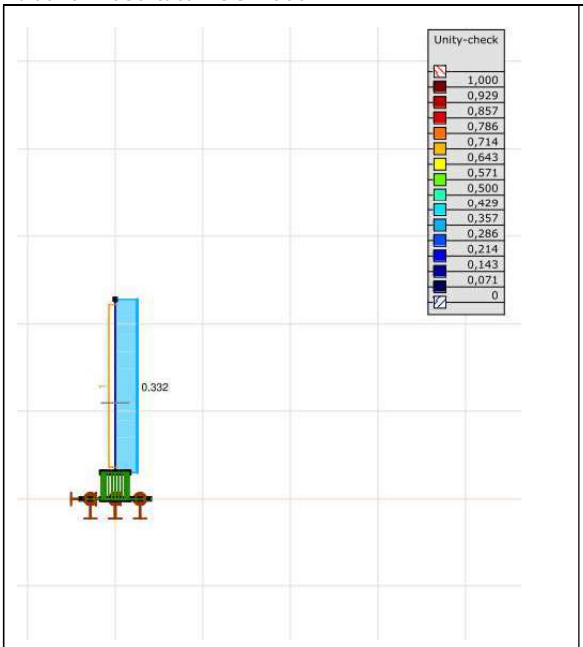	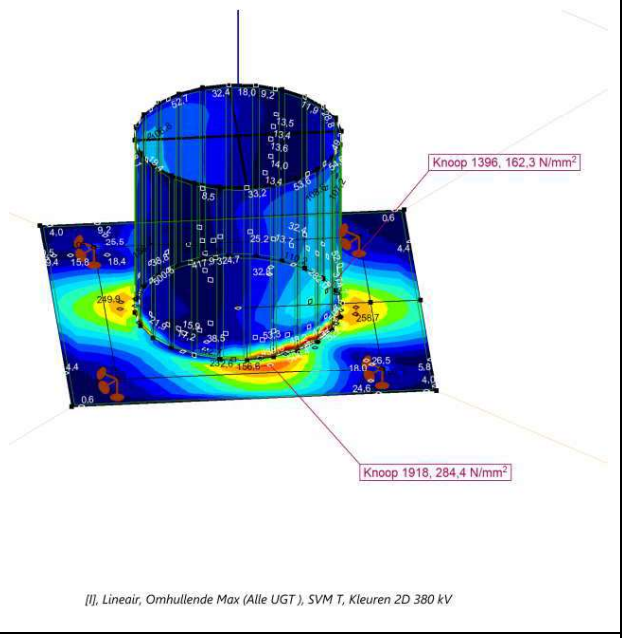
380 kV OSA-ondersteuningsconstructie met toetsing	Spanningen in voetplaat

Opmerking: de spanningsconcentratie in het rekenmodel direct bij de aansluiting buis – plaat ontstaat uit de modellering met schaalelementen en moet genegeerd worden.

Tabel 9 Toetsing OSA 380 kV

Onderdeel	Profiel	Bouten	σ_{Ed} (N/mm^2)	N_{Rd} (kN)	U.C.	Toets
Kolom stabiliteit	B323x8	-			0,33	OK
Kolom bij voetplaat	B323x8	-	162	355	0,46	OK
Voetplaat	550x40	-	284	355	0,80	OK

De constructie voldoet.

3.4.3 Grondplaat

Hieronder zijn de resultaten weergegeven van de grondplaat.

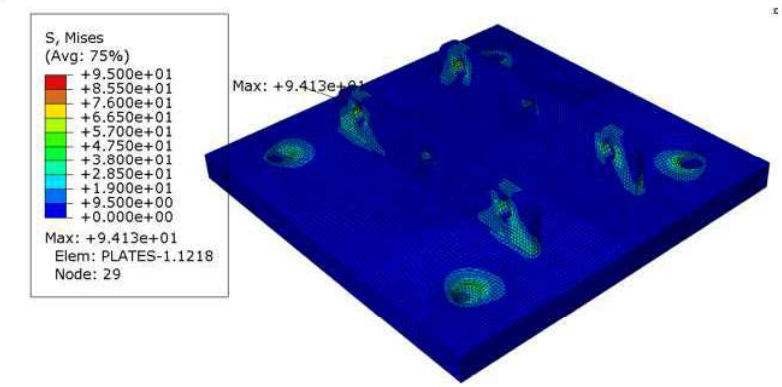

Figuur 9 Maximale spanning van 94 MPa (Von Mises) dat resulteert in UC van 0,40

Het berekeningsrapport voor de grondplaat Appendix B.

3.4.4 Vakwerkkolom 7,5 m

Hieronder zijn de resultaten weergegeven van de vakwerkkolom van 7,5 m.

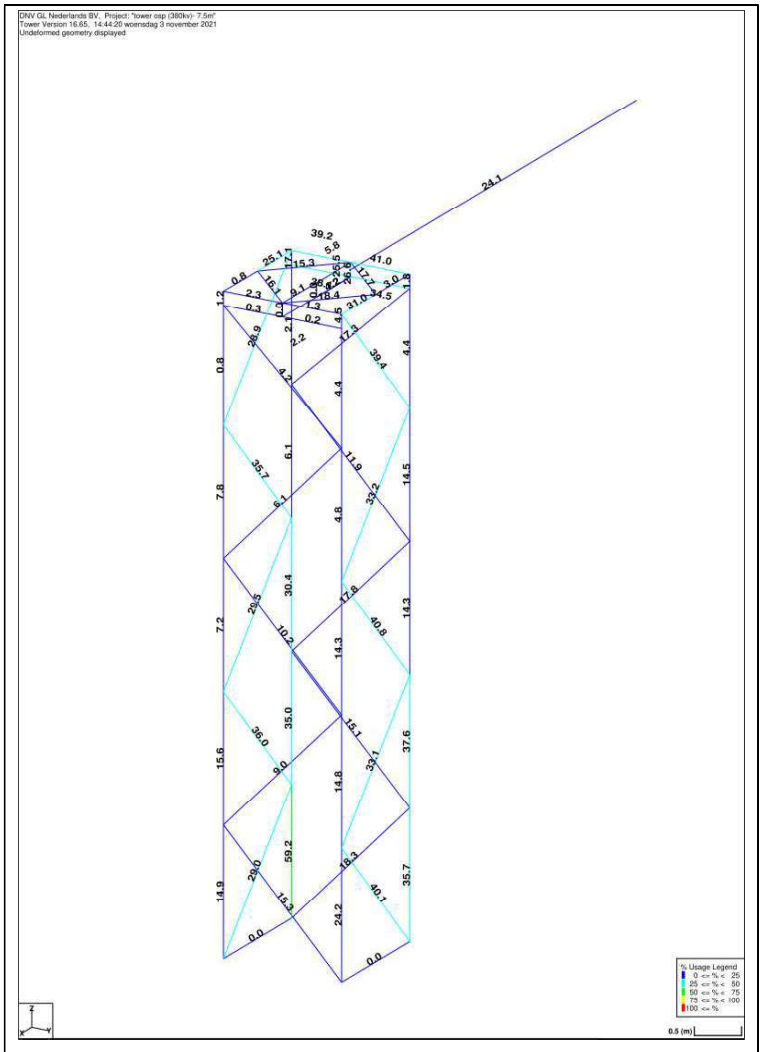

380 kV afloper op 7,5 meter afspanningsconstructie

Figuur 10 Berekeningsresultaat afspanconstructies mast 1025

De toetsing van de profielen is hieronder samengevat.

Tabel 10 Toetsing 7,5 m vakwerkkolom

Onderdeel	Profiel	Bouten	N_{Ed} (kN)	N_{Rd} (kN)	U.C.	Toets
Randstijl	L100x10	-	141	238	0,59	OK
Diagonalen zijvlak	L80x8	1M24-8.8	45	110	0,41	OK
Diagonalen voorvlak	L60x6	1M16-8.8	8	42	0,19	OK
Horizontaal verband	L60x6	2M16-8.8	18	99	0,18	OK
Horiz. in hor. verband	L80x8	2M20-8.8	17	188	0,09	OK
Afspanliggers	L120x12	2M20-8.8	7,1	58,8	0,12	OK

De constructie voldoet.

3.4.5 Vakwerkkolom 15 m

Hieronder zijn de resultaten weergegeven van de vakwerkkolom van 15 m

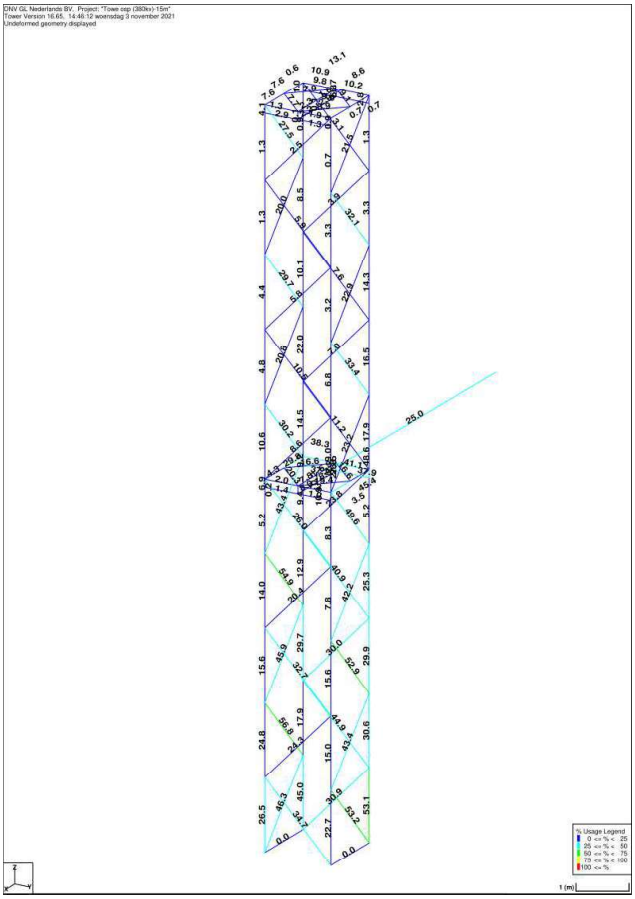

380 kV afloper op 15 meter afspanningsconstructie

Figuur 11 Toetsing vakwerkkolom 15 m PLS-TOWER

De toetsing van de profielen is hieronder samengevat.

Tabel 11 Toetsing profielen vakwerkkolom 15 m

Onderdeel	Profiel	Bouten	N_{Ed} (kN)	N_{Rd} (kN)	U.C.	Toets
Randstijl laag	L120x12	-	247	467	0,53	OK
Randstijl hoog	L100x10	-	44	246	0,18	OK
Diagonalen zijvlak laag	L80x8	1M24-8.8	60	110	0,55	OK
Diagonalen zijvlak hoog	L60x6	1M24-8.8	13	42	0,31	OK
Diagonalen voorvlak	L60x6	1M16-8.8	15	42	0,36	OK
Horizontaal verband l.	L60x6	2M16-8.8	18	99	0,18	OK
Horizontaal verband h.	L50x5	1M16-8.8	5	58	0,09	OK
Horiz. in hor. verband l	L80x8	2M20-8.8	17	188	0,09	OK
Horiz. in hor. verband h.	L80x8	2M20-8.8	5	188	0,03	OK
Afspanliggers fase	L120x12	2M20-8.8	45	94	0,48	OK
Afspanliggers bliksem	L100x10	2M20-8.8	10	94	0,11	OK

De constructie voldoet.

3.5 Reacties op de fundering

Hier zijn de funderingsbelastingen voor de grondplaat, KES ondersteuning en de OSA ondersteuningsconstructie opgenomen. Aangezien het verschillende ondersteuningsconstructies zijn berekend met verschillende programma's is de weergave ook verschillend.

De belangrijkste reactiekracht op de fundering zijn als volgt:

3.5.1 KES

Tabel 12 Maximaal optredende belasting per ondersteuningspoot 380 kV

Belasting	Combinatie	R_x [kN]	R_y [kN]	R_z [kN]	R_η [kN]	R_ξ [kN]	$R_{\xi,lok}$ [kN]	$R_{z,lok}$ [kN]
Max. druk	ULS 8_45	-1,5	-3,7	**-70,1**	-1,6	-3,7	3,7	-70,1
Max. trek	ULS 8_45	-0,4	-4,1	**63,2**	2,6	3,2	-3,2	63,2
Max. pos. torsie	ULS 1a_90	0,0	-3,9	8,5	**2,8**	2,8	-2,8	8,5
Max. neg. torsie	ULS 1a_90	0,2	-4,4	-23,2	**-3,2**	-3,0	3,0	-23,2
Comb. trek+torsie	ULS 8_45	-0,4	-4,1	**63,2**	**2,6**	3,2	-3,2	63,2

De belastingen op de fundering voor het totaal van de 4 stijlen is gegeven in onderstaande tabel.

Tabel 13 Maximale totaalreacties KES 380 kV

Load Case	Vert. Force (kN)	Long. Force (kN)	Tran. Force (kN)	Mx (kNm)	My (kNm)
ULS 8_45	**-24,9**	-7,2	-8,2	-47,7	-39,6
ULS 8_90	-24,9	-6,0	-8,6	**-48,7**	-36,8
ULS 8_0	-24,9	-7,6	-6,9	-44,6	**-40,6**

3.5.2 OSA

De OSA is doorgerekend met AxisVM. De belastingen op het zwaarst belaste anker vanuit de voetplaat aan onderzijde zijn hieronder weergegeven.

Tabel 14 Maximale funderingskrachten OSA ondersteuningsconstructie 380 kV

Combinatie	R_x (kN)	R_y (kN)	R_z (kN)
Max. trek	4,60	0,80	-108,4
Max. druk	4,50	1,00	112,7

De belastingen op de fundering voor het totaal van de 4 ankers is gegeven in onderstaande tabel.

Tabel 15 Maximale reactie OSA380

	Knoop	X [m]	Y [m]	Z [m]	Type	C	min. max.	Geval	Rx [kN]	Ry [kN]	Rz [kN]	Rr [kN]	Rxx [kNm]	Ryy [kNm]	Rzz [kNm]	Rrr [kNm]	αR
2	8	6,000	0	0	Glob.	Rx	min	Co #1	**3,7**	1,9	−7,3	8,4	−12,6	14,2	0	19,0	−0,575
							max	Co #2	**9,8**	1,9	−7,3	12,3	−12,6	62,5	0	63,8	−1,375
						Ry	min	Co #1	3,7	**1,9**	−7,3	8,4	−12,6	14,2	0	19,0	−0,575
							max	Co #1	3,7	**1,9**	−7,3	8,4	−12,6	14,2	0	19,0	−0,575
						Rz	min	Co #1	3,7	1,9	**−7,3**	8,4	−12,6	14,2	0	19,0	−0,575
							max	Co #1	3,7	1,9	**−7,3**	8,4	−12,6	14,2	0	19,0	−0,575
						Rxx	min	Co #1	3,7	1,9	−7,3	8,4	**−12,6**	14,2	0	19,0	−0,575
							max	Co #1	3,7	1,9	−7,3	8,4	**−12,6**	14,2	0	19,0	−0,575
						Ryy	min	Co #1	3,7	1,9	−7,3	8,4	−12,6	**14,2**	0	19,0	−0,575
							max	Co #2	9,8	1,9	−7,3	12,3	−12,6	**62,5**	0	63,8	−1,375
						Rzz	min	Co #1	3,7	1,9	−7,3	8,4	−12,6	14,2	**0**	19,0	−0,575
							max	Co #1	3,7	1,9	−7,3	8,4	−12,6	14,2	**0**	19,0	−0,575
						αR	min	Co #2	9,8	1,9	−7,3	12,3	−12,6	62,5	0	63,8	−1,375
							max	Co #1	3,7	1,9	−7,3	8,4	−12,6	14,2	0	19,0	−0,575

3.5.3 Grondplaat

Hieronder zijn de maximale reactiekrachten per bout uit Abaqus weergegeven.

Tabel 16 Maximale funderingskrachten grondplaat constructie 380 kV

Reactiekrachten per bout	380 kV Moldau 1014 mast (N)
Longitudinal	1989
Transversal	2037
Vertical	16010

3.5.4 Afspanning 7,5 en 15 meter (mast 1025)

Zie hieronder de reactiekrachten voor de aflopers op de 7,5 meter en 15 meter afspanningsconstructies.

Tabel 17 Maximaal optredende belasting per ondersteuningspoot 380 kV voor de 7,5 meter ondersteuningsconstructie

Belasting	Combinatie	R_x [kN]	R_y [kN]	R_z [kN]	R_η [kN]	R_ξ [kN]	$R_{\xi,lok}$ [kN]	$R_{z,lok}$ [kN]
Max. druk	ULS 8	0	5	**-147**	-4	-4	4	-147
Max. trek	ULS 8	0	2	**167**	1	2	-2	167
Max. pos. torsie	ULS 8	27	0	130	**19**	20	-20	130
Max. neg. torsie	ULS 8	31	0	-112	**-22**	-22	22	-112
Comb. trek+torsie	ULS 8	27	0	**130**	**19**	20	-20	130

De belastingen op de fundering voor het totaal van de 4 stijlen is gegeven in onderstaande tabel.

Tabel 18 Maximaal optredende belasting per ondersteuningspoot 380 kV voor de 15 meter ondersteuningsconstructie

Belasting	Combinatie	R_x [kN]	R_y [kN]	R_z [kN]	R_η [kN]	R_ξ [kN]	$R_{\xi,lok}$ [kN]	$R_{z,lok}$ [kN]
Max. druk	ULS 1a_135	41	-1	**-291**	-29	-30	30	-291
Max. trek	ULS 1a_0,9_135	45	-1	**304**	31	32	-32	304
Max. pos. torsie	ULS 1a_0,9_135	45	-1	304	**31**	32	-32	304
Max. neg. torsie	ULS 1a_135	41	-1	-291	**-29**	-30	30	-291
Comb. trek+torsie	ULS 1a_0,9_135	45	-1	**304**	**31**	32	-32	304

De belastingen op de fundering voor het totaal van de 4 stijlen is gegeven in onderstaande tabel.

Tabel 19 Totaalreactie 4 stijlen 7,5 m vakwerkkolom

Load Case	Vert. Force (kN)	Long. Force (kN)	Tran. Force (kN)	Mx (kNm)	My (kNm)
SLS 1a_0	**-12,5**	-4,9	0,4	2,6	-13,3
ULS 8	**38,4**	58,9	7,0	52,2	399,8
ULS 1a_0,9_0,9_75	4,8	19,5	-11,2	**-48,2**	142,8
ULS 8	38,4	58,9	7,0	**52,2**	399,8
SLS 1a_0	-12,5	-4,9	0,4	2,6	**-13,3**
ULS 8	38,4	58,9	7,0	52,2	**399,8**

Tabel 20 Totaalreactie 4 stijlen 15 m vakwerkkolom

Load Case	Vert. Force (kN)	Long. Force (kN)	Tran. Force (kN)	Mx (kNm)	My (kNm)
ULS 3_0	**-20,2**	10,5	-0,4	0,7	88,7
ULS 8 (Shortcircuit loading)	**30,1**	63,6	3,4	28,3	446,5
ULS 1a_105	15,4	66,3	-26,2	**-191,9**	534,8
ULS 8 (Shortcircuit loading)	30,1	63,6	3,4	**28,3**	446,5
SLS 1a_0	-18,0	-3,9	0,2	5,9	**-9,3**
ULS 1a_135	21,4	87,3	-21,7	-155,2	**698,7**

3.6 Ankerverbinding

De constructies worden met ankers verbonden aan de fundatie. De voeg zal worden ondergoten vanwege duurzaamheid van de voeg in de buitenopstelling. Hierdoor worden ankers op buiging belast. De ankers van kwaliteit 8.8 worden voorzien van een ankerplaat voor de verankering in de beton. Doordat het ontwerp van de fundatie afhankelijk is van de afmetingen van de ankers wordt een indicatieve controle uitgevoerd van de ankers. In de uitvoeringsfase moet een definitieve berekening worden uitgevoerd.

De toetsing is uitgevoerd met een spreadsheet. Het resultaat is in Appendix C opgenomen. In onderstaande tabel zijn de resultaten samengevat. Bij de vakwerkkolommen van het OSP bij mast 1025 moeten de ankers van de kolommen met een horizontale koppeling op het niveau van de voetplaat worden gekoppeld, zodat de dwarskracht over 8 in plaats van 4 ankers wordt verdeeld.

Tabel 21 Toetsing ankerverbinding

Ankers	Anker	Voetplaat	$F_{v,Ed}$ (kN)	$F_{t,Ed}$ (kN)	U.C. buiging
KES 380 kV	M30-8.8	40	4,4	70	0,46
OSA 380 kV	M30-8.8	40	4,6	113	0,60
Grondplaat	M30-8.8	40	2,8	16	0,37
Vakwerkkolom 7,5 m	M30-8.8	40	3,6	42	0,35
Vakwerkkolom 15 m	M30-8.8	40	5,6	76	0,55

De ankers voldoen.

3.7 Toetsing horizontale verplaatsing

In onderstaande tabel is de horizontale verplaatsing van de top van de component getoetst. Deze is uitgevoerd voor SLS-combinatie met wind, zonder kortsluitbelasting, conform TenneT-specificatie constructieberekeningen.

Tabel 22 Toetsing verplaatsing

Onderdeel	Profiel	Hoogte (m)	Berekende verplaatsing (mm)	Toelaatbaar h/150 (mm)	U.C.	Toets
OSA 150 kV	B244x6,3	4,15	4,2	28,0	0,15	OK

De constructies met vakwerkkolommen zijn zodanig stijf dat zonder verdere controle ruim aan de eis wordt voldaan.

3.8 Constructiegewicht

Het gewicht per ondersteuningsconstructie zijn op de tekeningen aangegeven zoals vermeld in hfst 3.1

Daarnaast zijn de gewichten hieronder ook samengevat. Dit geeft een indicatie van de massa en enkel voor de primaire profielen zoals weergegeven op tekening.

Staalwerk KES 380 kV, Meridiannummer 002.678.00 0935069;	577 kg
Staalwerk OSA 380 kV, Meridiannummer 002.678.00 0935068;	168 kg
Voetplaat grondafspanning isolatoren 380 kV/150 kV, Meridiannummer 002.678.00 0935073	101 kg
Bundelafspanning staalwerk mast 1025 (7,5m), Meridianummer 002.678.00.0939529	960 kg
Ondersteuningsconstructie afspanning mast 1025 (15 m), Meridannummer 002.678.00.0939530	1965 kg

4 150 KV OSP MOLDAU MASTEN

Dit hoofdstuk heeft betrekking op de 150 kV opstijgpunten in de volgende Moldau masten.

- Mast 1025 (Samen 380kV)
- Mast 1051
- Mast 1066
- Mast 1098
- Mast 1099
- Mast 1114 (T-aftakking naar ZBH150)
- Mast 1147
- Mast 1153
- Mast 1184
- Mast 1185
- Mast 1204

Het opstijgpunt bestaat uit de volgende primaire ondersteuningscomponenten, dropper afgespannen op een grondplaat waarbij vervolgens de geleider in het horizontale vlak naar het kabelopstijgpunt (KES) en naar het overspanningsafleider (OSA) wordt geleid.

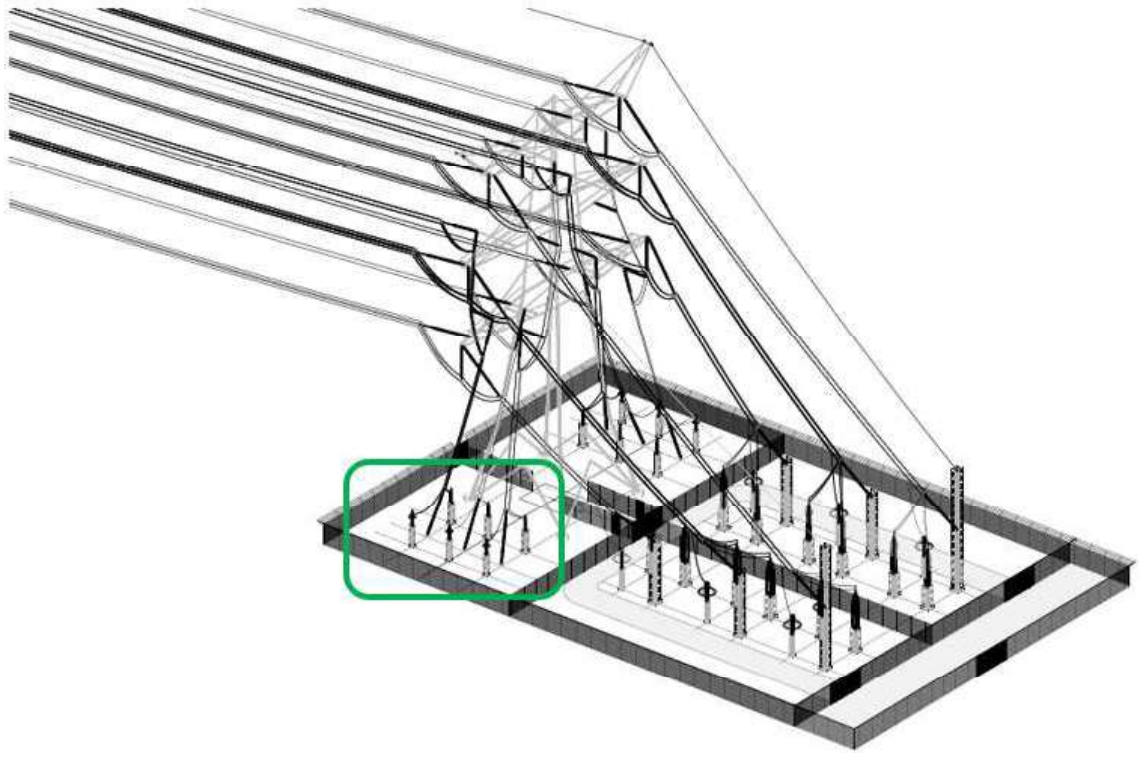

Figuur 12 150 kV OSP in mast 1025 (omcirkeld in groen)

4.1 Ondersteuningstekeningen

In dit hoofdstuk wordt het beeld van de grondplaat, KES en OSA weergegeven met de belangrijkste maatvoering. Voor de tekening van de ondersteuningsconstructie met volledige maatvoering en aanzichten wordt verwezen naar onderstaande tekeningen:

- Staalwerk KES 150 kV, Meridiannummer 002.678.00 0935072
- Staalwerk OSA 150 kV, Meridiannummer 002678.00 0935071
- Voetplaat grondafspanning isolatoren 380 kV/150 kV, Meridiannummer 002.678.00 0935073

4.2 Uitgangspunten berekening

De uitgangspunten volgens Tabel 23 zijn van toepassing.

Tabel 23 Uitgangspunten berekening

Norm	NEN-EN50341-2-15:2019
Gevolgklasse initieel	CC2
Betrouwbaarheidsniveau	Nieuwbouw
Referentieperiode	50 jaar
Windgebied	III
Windsnelheid (m/s)	24,5
Terreincategorie	II
Reductiefactor c_{dir}	1,00
IJsgebied fasegeleider	B
IJsgebied bliksemgeleider	A

Tabel 24 Uitgangspunten voor geleiderbelastingen

Conductor type	AMS 620
Kortsluitbelasting	30[2] kA / 1 s
No. Spacers	2
Sub bundel spacing	200 mm
EDS tension	2500 N / draad
Center afstand tussen fases	3,5 m
Dropper lengte (mast – grondplaat)	30,5 m
Lengte bundel op primaire component	3m

4.3 Geleiderbelastingen

4.3.1 KES

De ondersteuningsconstructie voor de KES (kabeleindsluiting) bestaat uit een vakwerkconstructie. De belastingen uit de geleider zijn bepaald met eigen programma van DNV. Kortsluitbelastingen zijn hierbij de dominante belasting. De wind- en eigen gewichtsbelasting worden in het programma PLS-Tower meegenomen.

[2] Op verzoek van TenneT is de berekening ook uitgevoerd met 63 kV.

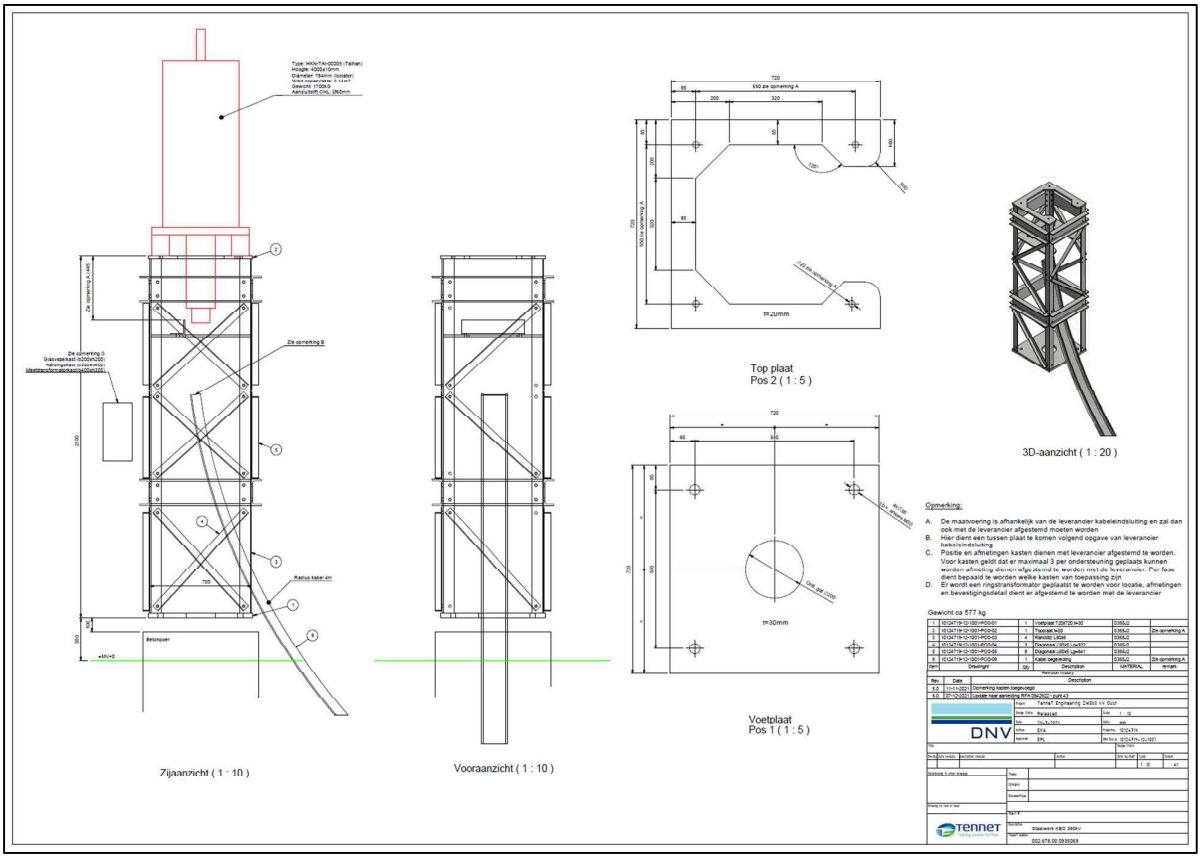

Figuur 13 Aanzicht KES 150 kV ondersteuningsconstructie

De belastingen uit de geleider zijn apart berekend. De uitgangspunten zijn als volgt:

Windbelasting	Gebied III, onbebouwd		
	P_w =	0,70kN/m^2	
	Lengte geleider =	3 m	
	Coefficient geleider	C_f =	1,0
	Coefficient component	C_f =	1,2
	Bundel	2	

Kortsluitbelasting is bepaald op 4,5 kN, dit is de maximale topdwarskracht. Dit is in een eigen programma berekend. Er is rekening gehouden met de geleidertrek op de component.

De component wordt onder een hoek van 45° geplaatst met de geleiderrichting. Hier is in de berekening rekening mee gehouden.

Voor de gewichts-, trek-, wind- en kortsluitbelastingen wordt verder verwezen naar Appendix A

4.3.2 OSA

De OSA-ondersteuningsconstructie bestaan uit een enkele buiskolom. Deze is gemodelleerd in Axis-VM waarbij het eigengewicht, geleidertrek en windbelasting op het berekeningsmodel zijn gezet. Ook hierbij zijn de kortsluitbelastingen dominant. Er wordt de worst-case situatie beschouwd, dat de OSA met dezelfde kortsluitstroom wordt belast als de KES.

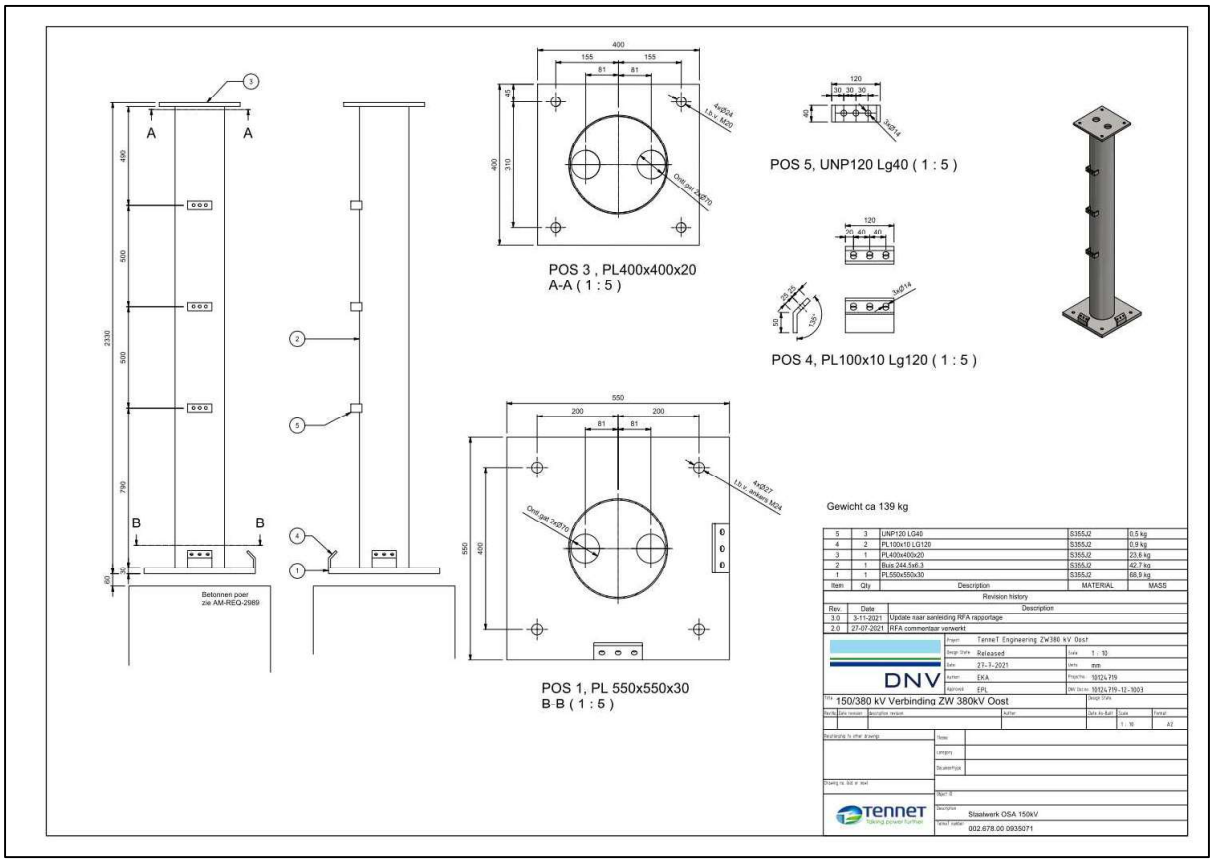

Figuur 14 Aanzicht OSA 150 kV ondersteuningsconstructie

Voor de gewichts-, trek-, wind- en kortsluitbelastingen wordt verder verwezen naar Appendix A.

4.3.3 Grondplaat

De grondplaat wordt in opwaartse richting belast door de geleidertrek naar de mastconstructie. De grootste trekbelasting treedt op door kortsluitbelasting of windbelasting, afhankelijk van de lengte. Als gevolg van de richting van de geleider werkt ook een dwarskracht op de grondplaat.

De grondplaat is met het programma AxisVM gemodelleerd. Hierbij is het volgende aangenomen:

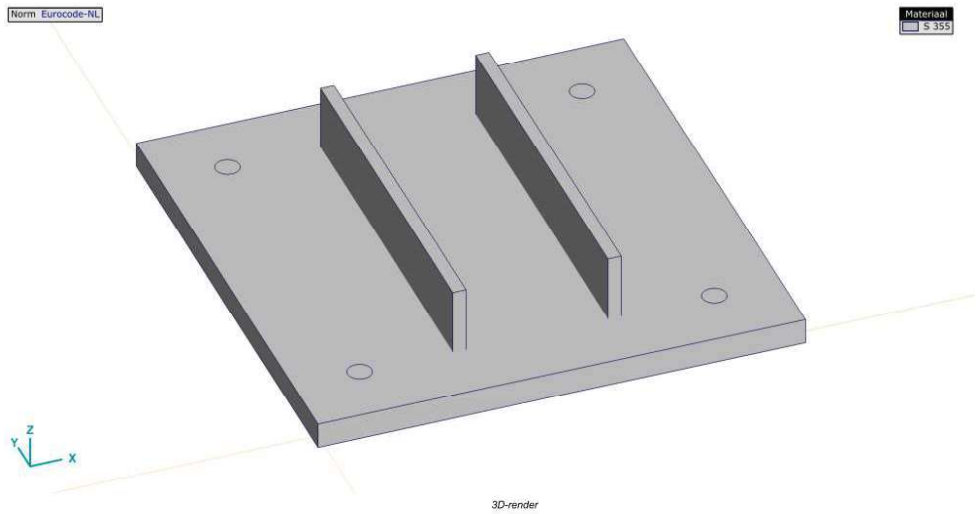

Figuur 15 Aanzicht grondplaat voor geleider afloper (dropper)

Ondersteuningsconstructie

Windbelasting	Gebied III, onbebouwd	
	P_w =	1,1 kN/m^2
	Lengte geleider	30,5 m
	$A_{geleider}$	0,032 m
	Coefficienten, C_f =	1,0
	Bundel	2

Ook hierbij zijn de kortsluitbelastingen dominant. Maximale trek in de afloper voor de Moldau-opstijgpunten is bepaald op 24 kN, met een dwarskracht van 8 kN.

De maximale belastingcombinatie is alsvolgt:

Kortsluitkrachten

(Zie separate berekening)

Geleider		Kortsluitkracht [kN]	F_x [kN]	F_y [kN]	F_z [kN]
0	380ct1f1	0,0			
0	380ct1f2	0,0			
0	380ct1f3	0,0			
0	380ct2f1	0,0			
0	380ct2f2	0,0			
0	380ct2f3	0,0			
20	150ct3f1	24,0	0,0	-8,0	22,6
21	150ct3f2	24,3	3,1	-5,3	23,5
22	150ct3f3	24,3	-2,1	-5,3	23,6
30	150ct4f1	24,0	0,0	8,0	22,6
31	150ct4f2	24,3	3,1	5,3	23,5
32	150ct4f3	24,3	-2,1	5,3	23,6
1	bl1				
3	bl2				

Figuur 16 Belastingcombinatie grondplaat 150 kV afspanning

In Appendix A zijn de resultaten van de belastingen samengevat voor de KES en OSA voor de 150 kV en 380 kV. In Appendix B zijn de resultaten van de belasting op de grondplaat bepaald.

4.4 Toetsing resultaat

De ondersteuningsconstructies zijn doorgerekend op basis van belastingen zoals toelicht in paragraaf 4.3. De resultaten zijn weergegeven van de maximale uitnuttingsgraad per ondersteuningsconstructie

4.4.1 KES

Hieronder zijn de resultaten weergegeven van de ondersteuningsconstructie van de KES.

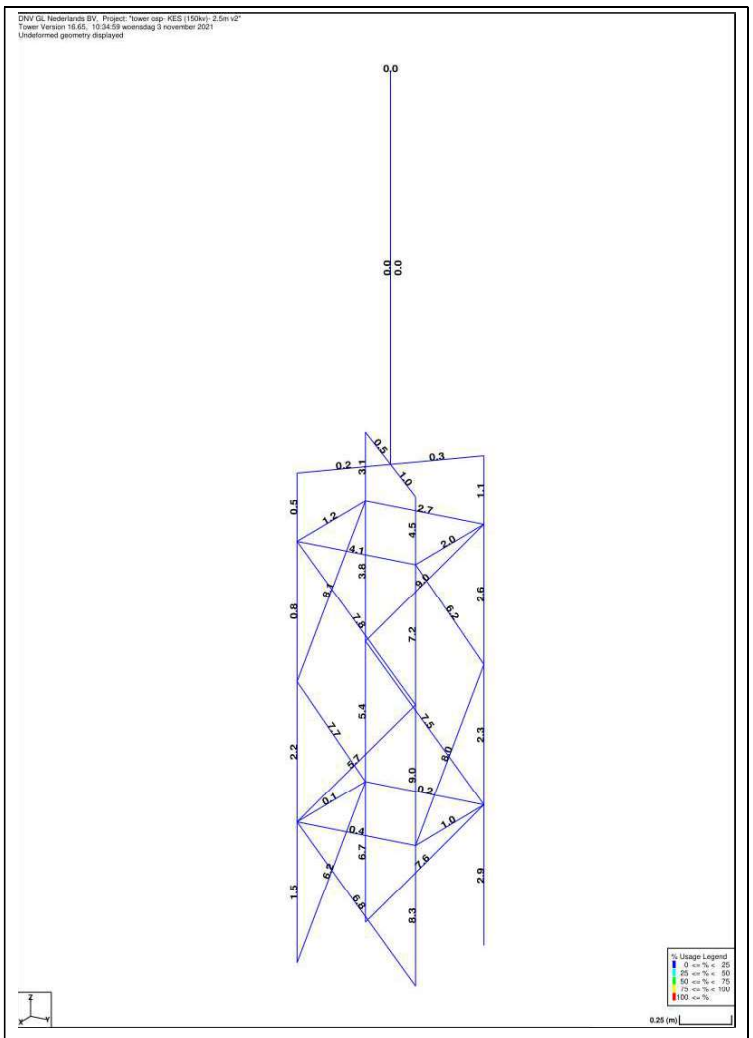

150 kV KES ondersteuningsconstructie

Figuur 17 Toetsingsresultaten KES en OSA 150 kV

Tabel 25 Toetsing profielen ondersteuning KES 150 kV

Onderdeel	Profiel	Bouten	N_{Ed} (kN)	N_{Rd} (kN)	U.C.	Toets
Randstijl	L80x8	-	32	378	0,08	OK
Diagonalen	L50x5	1M16-8.8	5	58,8	0,09	OK

De constructie voldoet.

4.4.2 OSA

Hieronder zijn de resultaten weergegeven van de OSA. Het berekeningsrapport voor de OSA is opgenomen in Appendix C.

Tabel 26 Resultaten OSA 380 kV

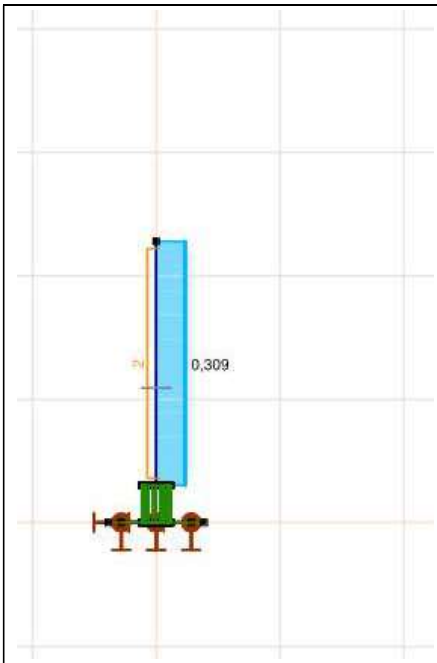

380 kV OSA-ondersteuningsconstructie met toetsing

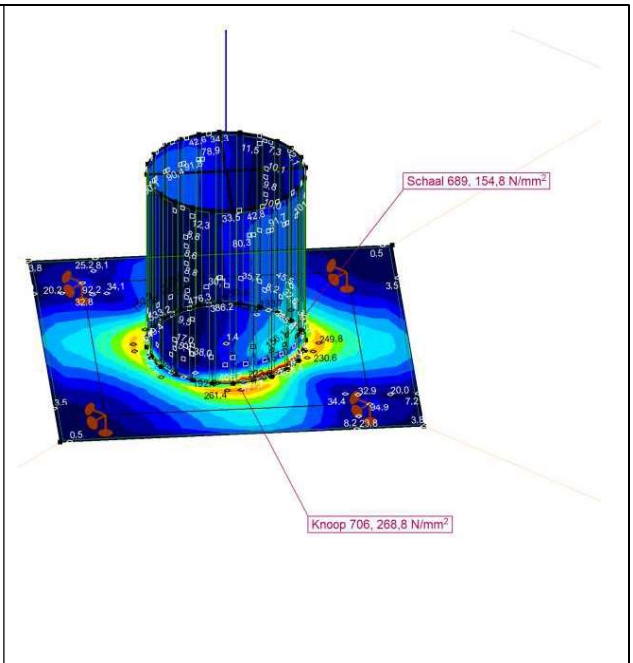

Spanningen in voetplaat

Opmerking: de spanningsconcentratie in het rekenmodel direct bij de aansluiting buis – plaat ontstaat uit de modellering met schaalelementen en moet genegeerd worden.

Tabel 27 Toetsing OSA 150 kV

Onderdeel	Profiel	Bouten	σ_{Ed} (N/mm^2)	N_{Rd} (kN)	U.C.	Toets
Kolom stabiliteit	B244x6,3	-			0,31	OK
Kolom bij voetplaat	B244x6,3	-	155	355	0,44	OK
Voetplaat	550x30	-	269	355	0,76	OK

De constructie voldoet.

4.4.3 Grondplaat

In Figuur 18 zijn de in Appendix D berekende spanningen weergegeven. De grondplaat is gelijk aan die van de 150 kV-permanente opstijgpunten. De belastingen zijn in één model getoetst.

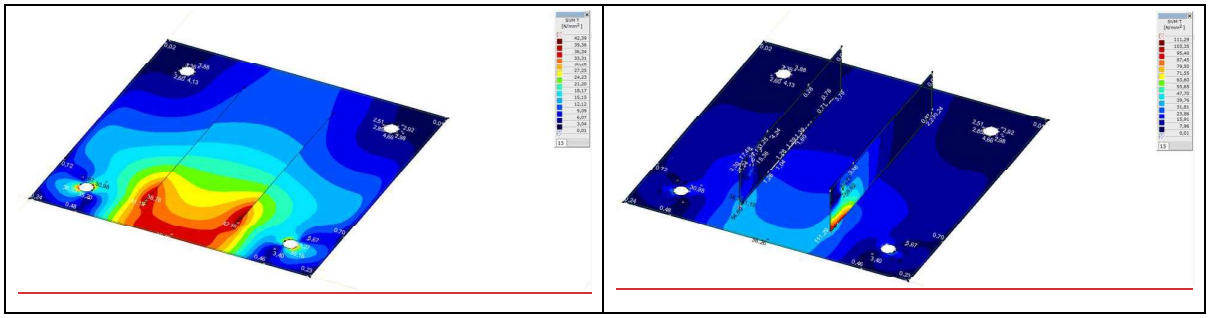

Figuur 18 Maximale spanning in voetplaat (links) en flensplaten (rechts).

De hoogste spanning bedraagt 111 MPa (Von Mises) dat bij S355 resulteert in een UC van 0,31, hetgeen voldoet.

4.5 Reacties op de fundering

Hier zijn de funderingsbelastingen voor de grondplaat, KES ondersteuning en de OSA ondersteuningsconstructie opgenomen. Aangezien het verschillende ondersteuningsconstructies zijn berekend met verschillende programma's is de weergave ook verschillend.

De belangrijkste reactiekracht op de fundering zijn als volgt:

4.5.1 KES

Tabel 28 Maximaal optredende belasting per ondersteuningspoot

Belasting	Combinatie	R_x [kN]	R_y [kN]	R_z [kN]	R_η [kN]	R_ξ [kN]	$R_{\xi,lok}$ [kN]	$R_{z,lok}$ [kN]
Max. druk	ULS 8_45	-1,2	-2,6	**-35,2**	-1,0	-2,7	2,7	-35,2
Max. trek	ULS 8_45	-0,6	-2,8	**29,9**	1,5	2,4	-2,4	29,8
Max. pos. torsie	ULS 8_90	-0,5	-2,8	29,3	**1,6**	2,3	-2,4	29,3
Max. neg. torsie	ULS 8_0	-2,2	-0,1	-3,0	**-1,6**	-1,5	1,5	-3,0
Comb. trek+torsie	ULS 8_45	-0,6	-2,8	**29,9**	**1,5**	2,4	-2,4	29,8

Dit betreft funderingsbelastingen per ondersteuningspoot.

De belastingen op de fundering voor het totaal van de 4 stijlen is gegeven in onderstaande tabel.

Tabel 29 Totaalreactie op fundering KEA 150 kV

Load Case	Vert. Force (kN)	Long. Force (kN)	Tran. Force (kN)	Mx (kNm)	My (kNm)
ULS 1a_0	**-15,8**	-3,5	-0,4	-1,5	-3,3
ULS 8_90	-15,8	-4,6	-5,8	**-19,9**	-15,4
ULS 8_0	-15,8	-5,3	-5,0	-18,8	**-16,3**

4.5.2 OSA

De OSA is doorgerekend met AxisVM. De belastingen op het zwaarst belaste anker vanuit de voetplaat aan onderzijde zijn hieronder weergegeven.

Tabel 30 Maximale funderingskrachten OSA ondersteuningsconstructie 150 kV

Combinatie	R_x (kN)	R_y (kN)	R_z (kN)
Max. trek	2,8	0,4	-49,9
Max. druk	2,9	0,4	51,9

De belastingen op de fundering voor het totaal van de 4 ankers is gegeven in onderstaande tabel.

Tabel 31 Funderingsreacties OSA 150 kV

	Knoop	X [m]	Y [m]	Z [m]	Type	C	min. max.	Geval	Rx [kN]	Ry [kN]	Rz [kN]	Rr [kN]	Rxx [kNm]	Ryy [kNm]	Rzz [kNm]	Rrr [kNm]	αR
1	1	0	0	0	Glob.	Rx	min	Co #1	**1,8**	0,8	-3,1	3,7	-3,4	3,9	0	5,2	-0,654
							max	Co #2	**7,1**	0,8	-3,1	7,8	-3,4	28,8	0	29,0	-2,344
						Ry	min	Co #1	1,8	**0,8**	-3,1	3,7	-3,4	3,9	0	5,2	-0,654
							max	Co #1	1,8	**0,8**	-3,1	3,7	-3,4	3,9	0	5,2	-0,654
						Rz	min	Co #1	1,8	0,8	**-3,1**	3,7	-3,4	3,9	0	5,2	-0,654
							max	Co #1	1,8	0,8	**-3,1**	3,7	-3,4	3,9	0	5,2	-0,654
						Rxx	min	Co #1	1,8	0,8	-3,1	3,7	**-3,4**	3,9	0	5,2	-0,654
							max	Co #1	1,8	0,8	-3,1	3,7	**-3,4**	3,9	0	5,2	-0,654
						Ryy	min	Co #1	1,8	0,8	-3,1	3,7	-3,4	**3,9**	0	5,2	-0,654
							max	Co #2	7,1	0,8	-3,1	7,8	-3,4	**28,8**	0	29,0	-2,344
						Rzz	min	Co #1	1,8	0,8	-3,1	3,7	-3,4	3,9	**0**	5,2	-0,654
							max	Co #1	1,8	0,8	-3,1	3,7	-3,4	3,9	**0**	5,2	-0,654
						αR	min	Co #2	7,1	0,8	-3,1	7,8	-3,4	28,8	0	29,0	-2,344
							max	Co #1	1,8	0,8	-3,1	3,7	-3,4	3,9	0	5,2	-0,654

4.5.3 Grondplaat

Hieronder zijn de maximale reactiekrachten per bout uit AxisVM weergegeven.

Tabel 32 Maximale funderingskrachten grondplaat constructie 150 kV (N)

Reactiekrachten per bout	150kV Moldau
Longitudinal	0
Transversal	2000
Vertical	10868(*)

*) de kracht is excentrisch geplaatst, zodat de grootste trekkracht niet gelijk is aan een kwart van de verticale trekbelasting.

De belasting vanuit het de permanente 150 kV-opstijgpunten is maatgevend. Zie paragraaf 5.5.

4.6 Ankerverbinding

De constructies worden met ankers verbonden aan de fundatie. De voeg zal worden ondergoten vanwege duurzaamheid van de voeg in de buitenopstelling. Hierdoor worden ankers op buiging belast. De ankers van kwaliteit 8.8 worden voorzien van een ankerplaat voor de verankering in de beton. Doordat het ontwerp van de fundatie afhankelijk is van de afmetingen van de ankers wordt een indicatieve controle uitgevoerd van de ankers. In de uitvoeringsfase moet een definitieve berekening worden uitgevoerd.

De toetsing is uitgevoerd met een spreadsheet. Het resultaat is in Appendix C opgenomen. In onderstaande tabel zijn de resultaten samengevat.

Tabel 33 Toetsing ankerverbinding

Component	Anker	Voetplaat	$F_{v,Ed}$ (kN)	$F_{t,Ed}$ (kN)	U.C. buiging
KES 150 kV	M24-8.8	30	2,8	35	0,37
OSA 150 kV	M24-8.8	30	2,3	52	0,42
Grondplaat	M24-8.8	30	2,0	13	0,28

De ankers voldoen.

4.7 Toetsing horizontale verplaatsing

In onderstaande tabel is de horizontale verplaatsing van de top van de component getoetst. Deze is uitgevoerd voor SLS-combinatie met wind, zonder kortsluitbelasting, conform TenneT-specificatie constructieberekeningen.

Tabel 34 Toetsing verplaatsing

Onderdeel	Profiel	Hoogte (m)	Berekende verplaatsing (mm)	Toelaatbaar h/150 (mm)	U.C.	Toets
OSA 380 kV	B323x8	6,50	10,9	72,7	0,15	OK

De constructies met vakwerkkolommen zijn zodanig stijf dat zonder verdere controle ruim aan de eis wordt voldaan.

4.8 Constructiegewicht

De indicatieve gewichten zijn weergegeven op de ondersteuningstekeningen zoals vermeld in hfst 4.1. Dit geeft een indicatie van de massa en enkel voor de primaire profielen zoals weergegeven op tekening.

Daarnaast zijn ze hieronder weergegeven:

Staalwerk KES 150 kV, Meridiannummer 002.678.00 0935072	504 kg
Staalwerk OSA 150 kV, Meridiannummer 002678.00 0935071	139 kg
Voetplaat grondafspanning isolatoren 380 kV/150 kV, Meridiannummer 002.678.00 0935073	78 kg

5 PERMANENTE OSP'S IN BESTAANDE 150 KV-LIJNEN

Dit hoofdstuk heeft betrekking op de te realiseren permanente OSP's in de bestaande 150 kV-lijnen:

- Mast 19A (RSD-RSB-WDT150)
- Mast 11 (RSD-RSB-WDT150)
- Mast 97 (RSD-MDK150)
- Mast 01 (GT-BD150)

Het opstijgpunt bestaat uit de volgende primaire ondersteuningscomponenten, dropper afgespannen op een grondplaat waarbij vervolgens de geleider in het horizontale vlak naar het kabelopstijgpunt (KES) en vervolgens naar het overspanningsafleider (OSA) wordt geleid.

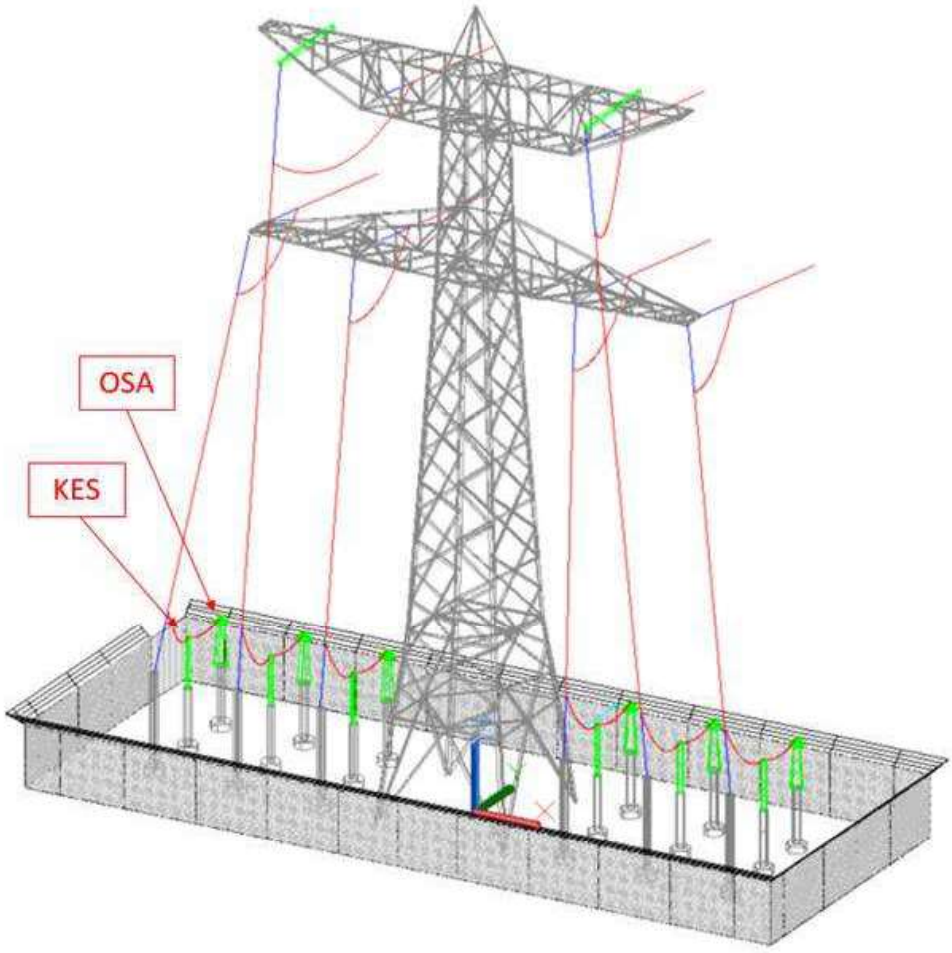

Figuur 19 150 kV OSP bestaande lijn

5.1 Mastbeeld

In dit hoofdstuk worden de grondplaat, ondersteuningsconstructies voor de KES en OSA weergegeven met de belangrijkste maatvoering. Voor de tekening van de ondersteuningsconstructie met volledige maatvoering en aanzichten wordt verwezen naar onderstaande tekeningen:

- Staalwerk KES 150 kV, Meridiannummer 002.678.00 0935072
- Staalwerk OSA 150 kV, Meridiannummer 002678.00 0935071
- Voetplaat grondafspanning isolatoren 380 kV/150 kV, Meridiannummer 002.678.00 0935073

Hierbij worden dezelfde ondersteuningsconstructies voorzien als bij de 150 kV Moldau OSP.

5.2 Uitgangspunten berekening

De uitgangspunten volgens Tabel 23 zijn van toepassing.

Tabel 35 Uitgangspunten berekening

Norm	NEN-EN50341-2-15:2019
Gevolgklasse initieel	CC2
Betrouwbaarheidsniveau	Nieuwbouw
Referentieperiode	50 jaar
Windgebied	III
Windsnelheid (m/s)	24,5
Terreincategorie	II
Reductiefactor c_{dir}	1,00
IJsgebied fasegeleider	B
IJsgebied bliksemgeleider	A

Tabel 36 Uitgangspunten voor geleiderbelastingen

Conductor type	AMS 620
Kortsluitbelasting	30 kA / 1 s[3]
No. Spacers	2
Sub bundel spacing	200 mm
EDS tension	2500 N / draad
Center afstand tussen fases	3,5 m
Dropper lengte (mast – grondplaat)	30,5 m
Lengte bundel op primaire component	3m

5.3 Geleiderbelastingen

5.3.1 KES

Dit betreft dezelfde belastingen als voor de 150 kV KES Moldau, zie hoofdstuk 4.3.

5.3.2 OSA

Dit betreft dezelfde belastingen als voor de 150 kV OSA Moldau, zie hoofdstuk 4.3.

5.3.3 Grondplaat

Betreffende de grondplaat zijn de kortsluitkrachten groter dan voor de 150 kV Moldau. De maximale kortsluitbelasting in mast 97 is 29,5 kN en de maximale kortsluitbelasting voor de 150 kV Moldau OSP is 24,0 kN. Dit betreft de afloper in mast 97 uit de lijn MDK – RSD150. De reden is de kortere fase-fase afstand en de bundelafstand van 0,4 m in plaats van 0,2 meter voor de 150 kV Moldau OSP.

Hierbij zijn dezelfde krachten aangenomen zoals deze meegenomen zijn in de rapportage D2.3 (21-0980) Rapport mastverzwaringen permanente OSP's 150 kV. Overzicht van alle kracht uit de aflopers zijn opgenomen Appendix F.

[3] Op verzoek van TenneT is de berekening ook uitgevoerd met 63 kV.

De grondplaat is met het programma Abaqus gemodelleerd dat geschikt is om volume componenten door te rekenen. Ook hierbij zijn de belastingen extern op het model geplaatst. Hierbij is het volgende aangenomen:

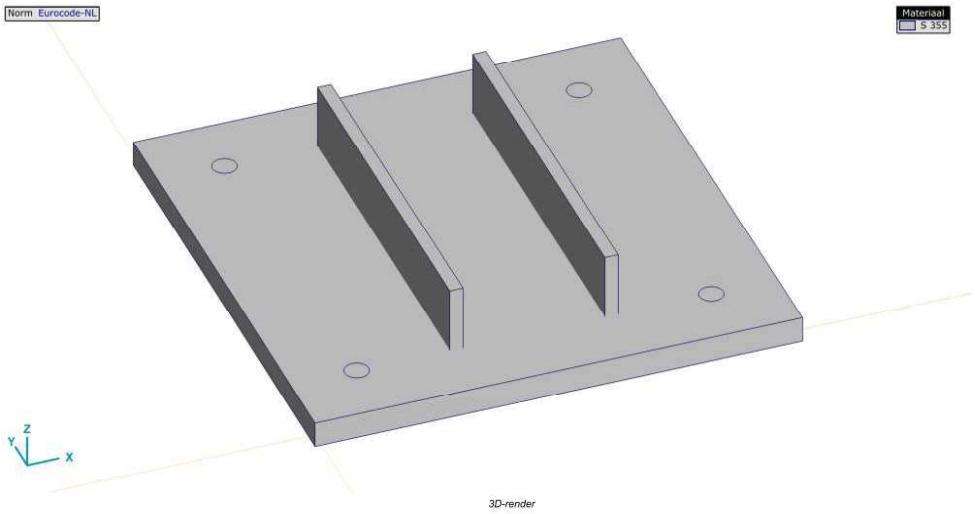

Figuur 20 Aanzicht grondplaat voor permanente opstijgpunten

Ondersteuningsconstructie

Windbelasting	Gebied III, onbebouwd	
	P_w =	1,1 kN/m^2
	Lengte geleider	28,4 m
	$A_{geleider}$	0,020 m
	Coefficienten, C_f =	1,0
	Bundel	2

Ook hierbij zijn de kortsluitbelastingen dominant.

Kortsluitkrachten
(Zie separate berekening)

Geleider		$w_{z,G}$ Kortsluitkra [N/m]	[kN]	F_x [kN]	F_y [kN]	F_z [kN]
10	150ct1f1		15,6	2,9	-1,9	15,2
11	150ct1f2		15,6	2,8	-0,3	15,3
12	150ct1f3		29,6	1,8	-2,2	29,5
20	150ct2f1		15,6	3,0	-0,3	15,3
21	150ct2f2		15,6	2,7	1,8	15,2
22	150ct2f3		29,6	1,8	2,2	29,5
1	bl1					
3	bl2					

In Appendix A zijn de resultaten van de belastingen samengevat voor de KES en OSA voor de 150 kV en 380 kV. In Appendix B zijn de resultaten van de belasting op de grondplaat bepaald.

5.4 Toetsing resultaat

Toetsingsresultaat voor de KES en OSA van de permanente opstijgpunten zijn gelijk aan de 150 kV Moldau. Voor de grondplaat is hieronder de toetsing weergegeven:

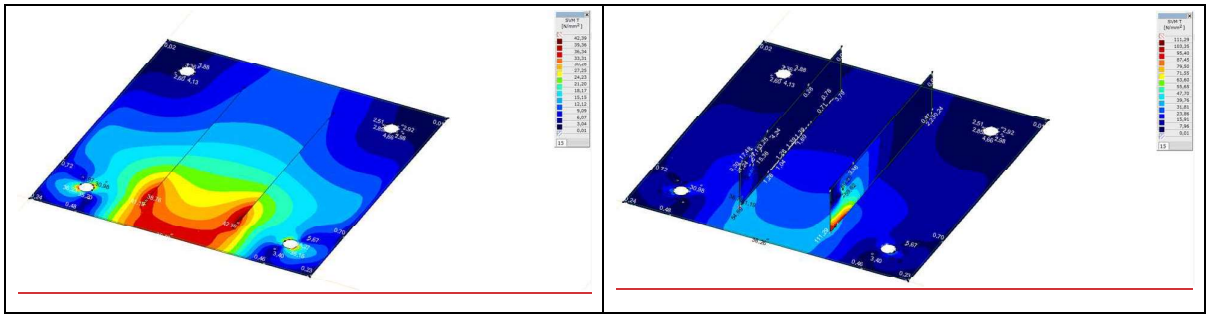

Figuur 21 Maximale spanning in voetplaat (links) en flensplaten (rechts).

De hoogste spanning bedraagt 111 MPa (Von Mises) dat bij S355 resulteert in een UC van 0,31, hetgeen voldoet.

5.5 Reacties op de fundering

Hier zijn de funderingsbelastingen voor de grondplaat, KES ondersteuning en de OSA-ondersteuningsconstructie opgenomen. Voor de KES en OSA is dit gelijk aan de 150 kV Moldau. Voor de grondplaat zijn de belastingen hoger, deze zijn bij de berekening van 150 kV-Moldau reeds meegenomen. De reactiekrachten per bout zijn voor de grondplaat hieronder weergegeven.

Tabel 37 Reactiekrachten per bout mast 97 150 kV MDK - RSD150

Reactiekrachten per bout	150kV Mast 97 MDK-RSD150
Longitudinal	0
Transversal	2000
Vertical	13310

De reactiekrachten voor de KES en OSA zijn gelijk aan de Moldau KES en OSA.

Ankers zijn gelijk aan grondplaat 150 kV Moldau in M24 uitvoerbaar.

5.6 Constructiegewicht

De indicatieve gewichten zijn weergegeven op de ondersteuningstekeningen zoals vermeld in hfst 5.1. Dit geeft een indicatie van de massa en enkel voor de primaire profielen zoals weergegeven op tekening.

Daarnaast zijn ze hieronder weergegeven:

Staalwerk KES 150 kV, Meridiannummer 002.678.00 0935072 504 kg

Staalwerk OSA 150 kV, Meridiannummer 002678.00 0935071 139 kg

Voetplaat grondafspanning isolatoren 380 kV/150 kV, Meridiannummer 002.678.00 0935073 78 kg

6 150KV TIJDELIJK IN BESTAANDE VERBINDINGEN

Dit hoofdstuk heeft betrekking op de 150 kV tijdelijke OSP in de bestaande lijn. Principe hiervan is hieraan weergegeven.

Het tijdelijk opstijgpunt bestaat uit een afspanning van de bestaande lijn op een tijdelijke mast waarbij vervolgens de geleider met een dropper naar het kabelopstijgpunt (KES) en vervolgens (indien nodig) naar een overspanningsafleider (OSA) wordt geleid. OSA wordt toegepast als het kabeltracé korter is dan 2 km.

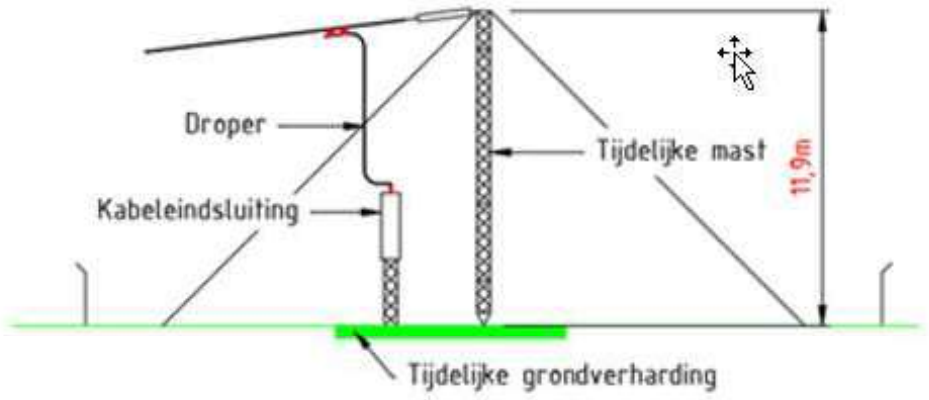

Figuur 22 Schematische weergave tijdelijke OSP

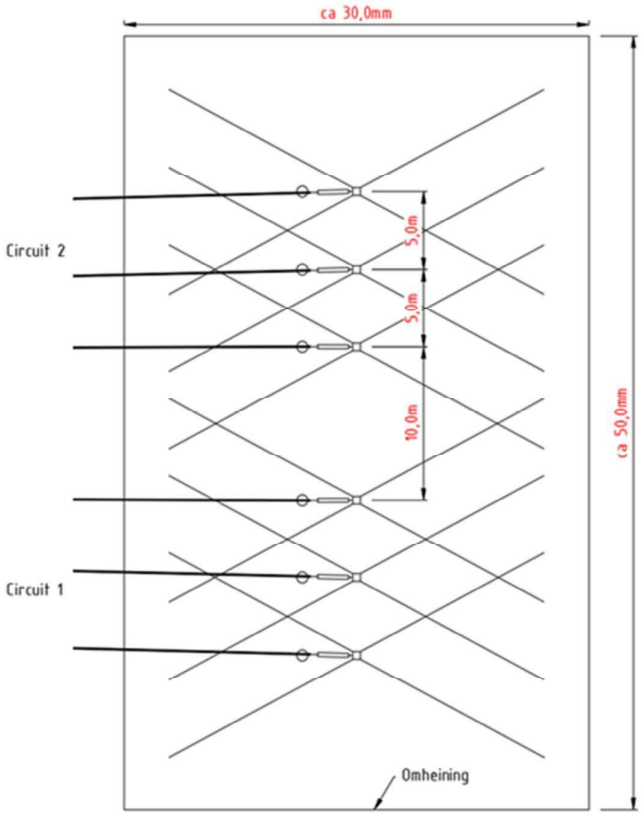

Figuur 23 Bovenaanzicht tijdelijke OSP

Het betreft de volgende locaties.

Tussen mast 92 en 91 (RSD-MDK150)

- TOSP92
- TOSP91

Tussen mast 84 en 82 (RSD-MDK150)

- TOSP84
- TOSP82

Tussen mast 97 en 94 (RSD-MDK150)

- TOSP94
- TOSP1066 (verbinding hier om te koppelen aan de permanente kabel naar OSP97

Tussen mast 33 en mast 24 (MDK-ZBH-GT150)

- TOSP33
- TOSP24

Tussen mast 22 en mast 20 (MDK-ZBH-GT150)

- TOSP22
- TOSP20

Tussen GT150 en mast 208 (GT-OTD-TBW150)

- TOSP1153 (verbinding hier om te koppelen aan de permanente kabel naar GT150
- TOSP 208

Tussen mast 202 en mast 199 (GT-OTD-TBW150)

- TOSP202
- TOSP199

De ondersteuningsconstructies voor zowel de afspanning als de KES en (indien nodig) OSA zullen getuide constructies zijn. De profilering en dimensies van deze constructies zal in het UO bepaald worden. Beide

Voor het bepalen van de juiste dimensies zijn de geleiderbelastingen benodigd. Deze zijn in de volgende paragrafen opgenomen.

6.1 Geleiderbelasting

In dit hoofdstuk zijn de geleiderbelastingen aangegeven die aangrijpen op de KES, OSA of aangrijpen op de afspanconstructies.

Als voorbeeld is het PLSCADD-model weergegeven van het tijdelijke opstijgpunt tussen mast 92 en 91 in de lijn RSD-MDK150.

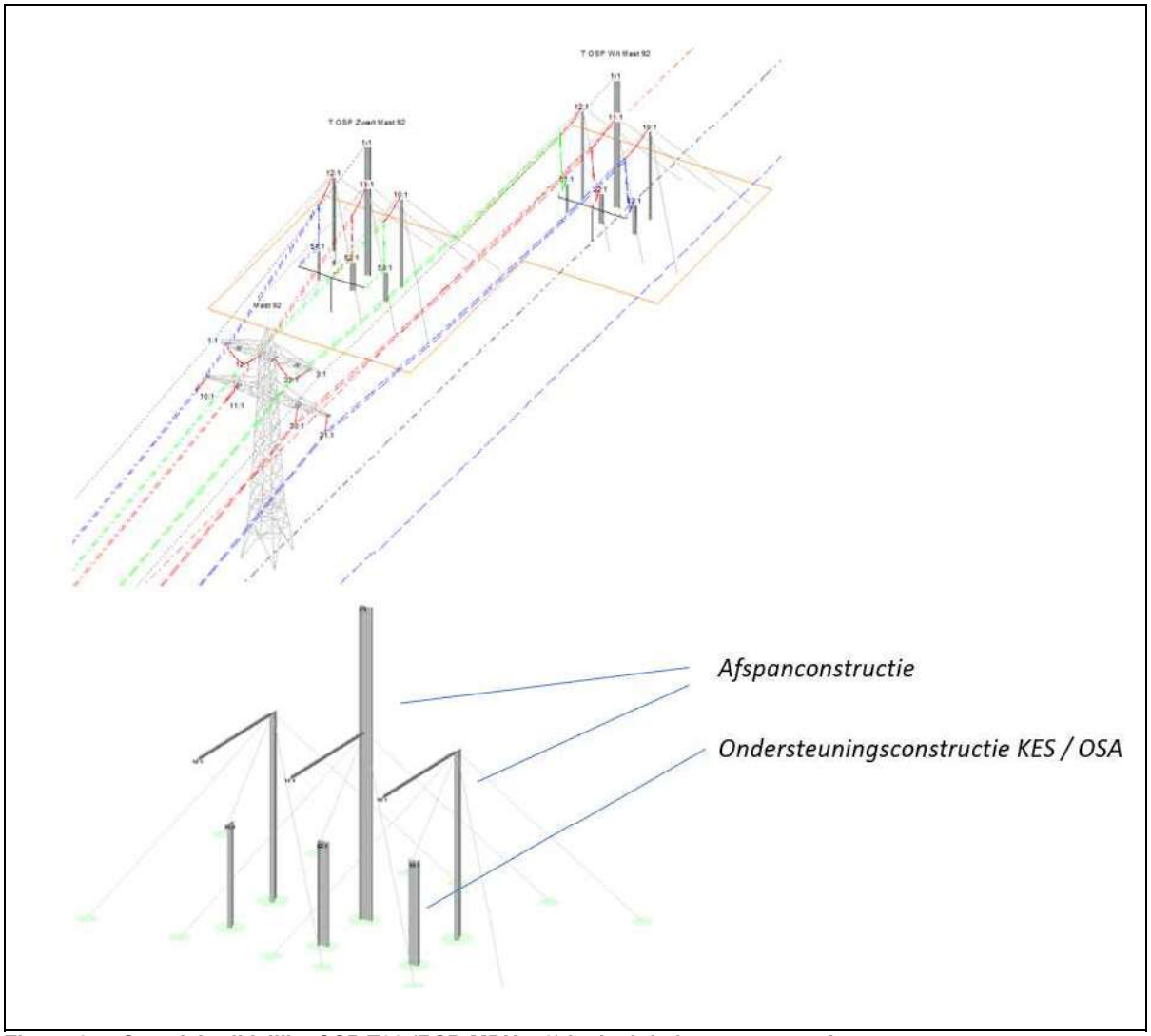

Figuur 24 - Overzicht tijdelijke OSP T92 (RSD-MDK150) inclusief afspanconstructie en ondersteuningsconstructies

De afspanconstructies zijn in twee varianten, met bliksemgeleider en fasebundel en enkel fasebundel afspanning.

Allereerst worden de aangrijpingskrachten voor de ondersteuningsconstructies voor de KES en OSA bepaald.

6.1.1 KES en OSA

Dit betreft dezelfde belastingen als voor de 150 kV KES en OSA Moldau, zie hoofdstuk 4.3. De belastingen uit de dropper zijn alsvolgt:

	Vertical (N)	*Transversal (N)*	*Longitudinal (N)*
LC1	130	231	
LC2	130	46	4912
LC3	108	154	
LC4	108	31	3275

Figuur 25 Belastingen uit geleiderbundel op aangrijpingspunt KES en/of OSA

6.1.2 Afspanconstructies

Voor het aanleveren van de geleiderbelastingen op de tijdelijke afspanconstructie worden de maximale belastingen voor zowel de bliksemgeleider als de maximale belastingen voor de fasebundel aangeleverd. De belastingen uit de bliksemgeleider zijn enkel van toepassing op één van de drie (verhoogde) afspanconstructie. Dit is schematisch weergegeven in Figuur 26.

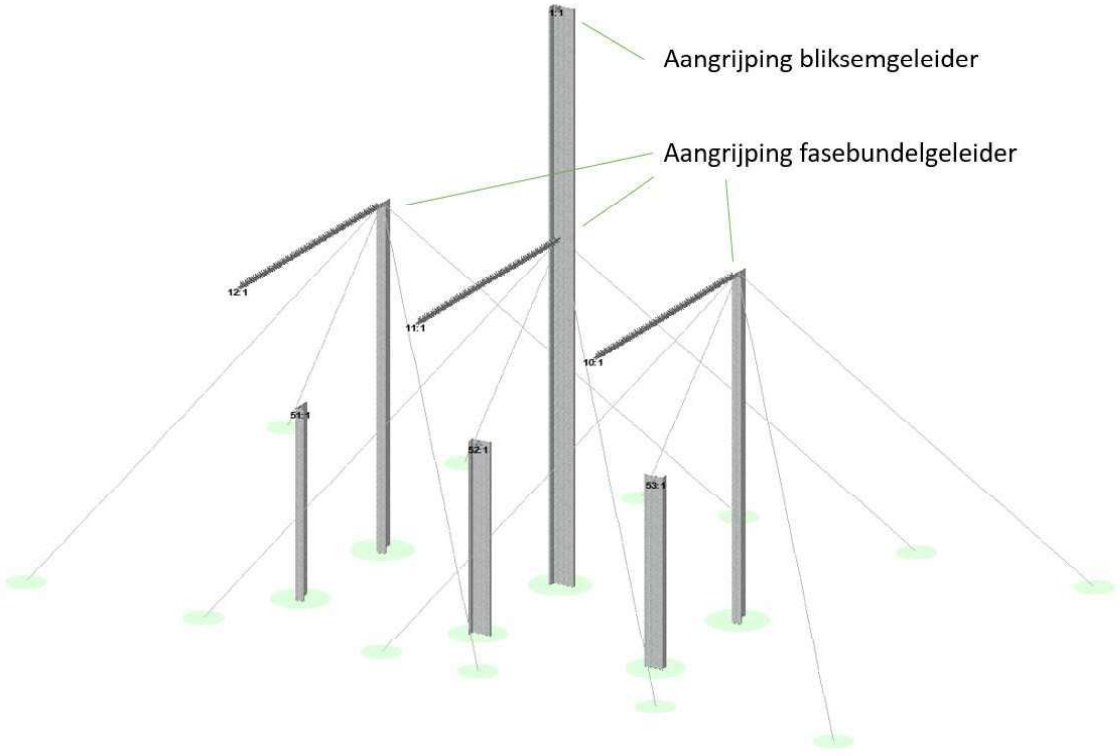

Figuur 26 Schetsmatige weergave tijdelijk OSP met weergave aangrijpingspunt bliksemgeleider en fasebundelgeleider

De maximale belastingen zijn hieronder aangegeven. De belastingen zijn in Newtons weergegeven.

Tabel 38 Maximale bliksemgeleider belastingencombinaties

	Vertical (N)	*Transversal (N)*	*Longitudinal (N)*	
LC 1	-762	-1592	16681	Max. longitudinal
LC 2	664	6833	14743	Max. Transversal
LC 3	-2748	-2417	16582	Max. vertical
LC 4	595	5910	14714	Min. vertical

Tabel 39 Maximale fasebundelgeleider belastingencombinaties

	Vertical	*Transversal*	*Longitudinal*	
LC 1	-536	122	58360	Max. longitudinal
LC 2	9505	16970	34787	Max. Transversal
LC 3	9971	5955	39086	Max. vertical
LC 4	-536	122	58360	Min. vertical

APPENDIX A
Geleiderbelastingen

In deze Appendix zijn de berekeningen aan de geleiderbelastingen opgenomen voor:

- KES 150 kV
- OSA 150 kV
- KES 380 kV
- OSA 380 kV

APPENDIX A - BELASTING KES EN OSA 150 KV EN 380 KV

KES 150 KV

Geleiderbelasting op bovenzijde component

De berekening wordt uitgevoerd voor twee windrichtingen: wind haaks op de geleider en wind in de diagonale richting. Vanwege de oriëntatie van de component in diagonale richting werkt de kortsluitkracht haaks op de geleiderrichting in diagonale richting op de ondersteuning.

De belasttingssituaties (LC's) zijn als volgt, zie ook Figuur 1:

Load case	PB	Wx	Wy	Wdiag	Fkort
ULS 1a_45	1,2	1,5			
ULS 1a_0	1,2		1,5		
ULS 1a_90	1,2			1,5	
ULS 8_45	1,2	0,3			1,5
ULS 8_0	1,2		0,3		1,5
ULS 8_90	1,2			0,3	1,5
SLS 1a_45	1,2	1,0			
SLS 1a_0	1,2		1,0		
SLS 1a_90	1,2			1,0	
SLS 8_45	1,2	0,2			1,0
SLS 8_0	1,2		0,2		1,0
SLS 8_90	1,2			0,2	1,0
SLS 7	1,0				

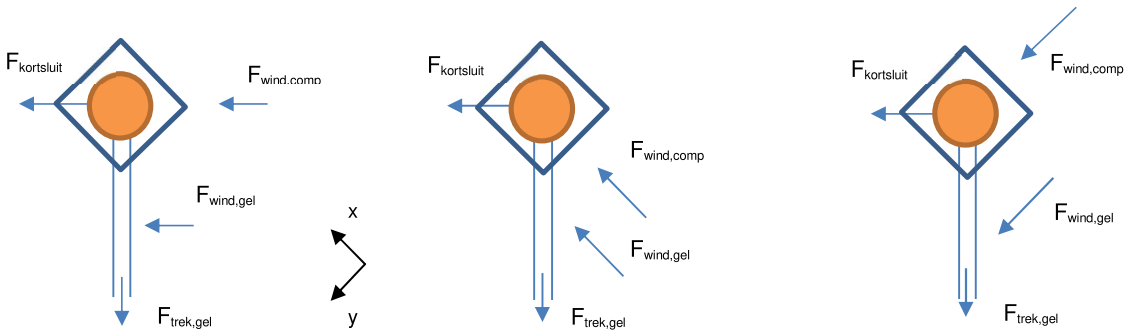

Wind diagonaal *Wind haaks* *Wind evenwijdig*

Figuur 1 Belastingrichtingen van de component

De gewichts- en windbelastingen vanuit de geleider worden met onderstaande berekening bepaald.

Uitgangspunten geleiderbelasting

vb	24,5	m/s
P_w	0,7	kN/m^2
Gewicht (AMS620)	17,7	N/m
Lengte geleider	3	m
$A_{geleider}$	0,032	m
Cf	1	
bundel	2	
Toeslag gewicht	10%	

Belastingen vanuit geleider

$F_{eigengewicht}$	117	N
F_{wind}	148	N
$F_{kortsluiting}$	4500	N

De geleiderbundel tussen afloper en component oefent een trekkracht uit. Deze wordt bepaald in onderstaande berekening.

Trekkracht uit geleiderbundel		
Overspanning	5	m
Zeeg	0,5	m
Parameter	6	m
Belasting EG	39	N/m
Belasting wind	49	N/m

Load case	w_z (N/m)	w_y (N/m)	w_{res} (N/m)	T (N)
ULS 1a	46,7	73,9	87,5	**547**
ULS 8	46,7	22,2	51,7	**323**
SLS 1a	38,9	49,3	62,8	**393**
SLS 8	38,9	9,9	40,2	**251**
SLS 7	38,9	0,0	38,9	**243**

De belastingen worden omgerekend naar het diagonaal georeinteerde stelsel van de constructie met onderstaande transformatie.

	Trekkracht		Windbelasting		Kortsluitkracht	
Windrichting	*Transversal,y (N)*	*Longitudinal,x (N)*	*Transversal,y (N)*	*Longitudinal,x (N)*	*Transversal,y (N)*	*Longitudinal,x (N)*
45	0,71	-0,71	0,71	0,71	0,71	0,71
0	0,71	-0,71	0	1	0,71	0,71
90	0,71	-0,71	1	0	0,71	0,71

Dit levert de volgende geleiderbelastingen en de bijbehorende stuwdrukwaarde voor PLS-TOWER:

Combinatie	*Vertical (N)*	*Transversal,y (N)*	*Longitudinal,x (N)*	*qptrans (N/m²)*	*qlong (N/m²)*
ULS 1a_45	140	546	-231	400	400
ULS 1a_0	140	388	-166	0	563
ULS 1a_90	140	610	-388	563	0
ULS 8_45	140	5054	4594	80	80
ULS 8_0	140	5022	4607	0	113
ULS 8_90	140	5066	4563	113	0
SLS 1a_45	117	384	-174	266	266
SLS 1a_0	117	279	-131	0	375
SLS 1a_90	117	427	-279	375	0
SLS 8_45	117	3394	2986	53	53
SLS 8_0	117	3373	2995	0	75
SLS 8_90	117	3403	2965	75	0
SLS 7	117	173	-173	0	0

Belasting vanuit de component en constructie

Bij de KES worden de gewichts- en windbelastingen op de KES en de ondersteuningsconstructie in het programma PLS-Tower berekend.

Voor de eigenschappen van de component zie het hoofdrapport. Op het eigen gewicht en de windoppervlakte van de constructie is een toeslag van 50% gerekend voor hulpconstructies aan de constructie.

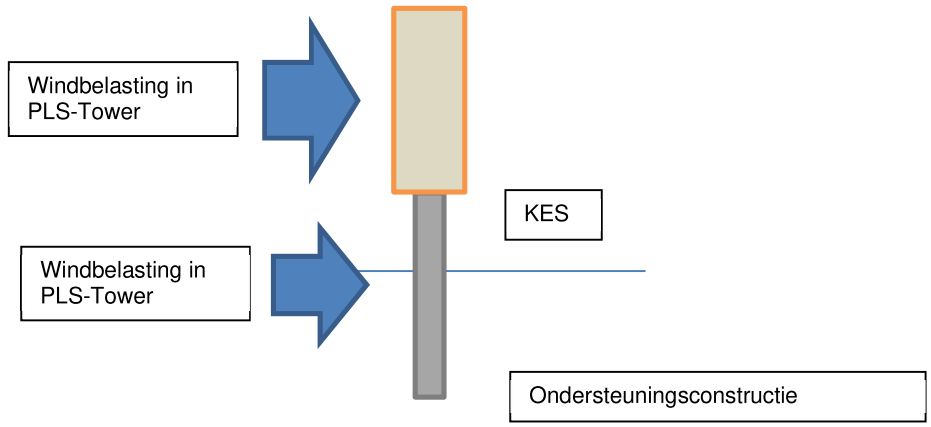

OSA 150 KV

Geleiderbelasting

De belastingen vanuit de geleider door het eigen gewicht, de wind en kortsluiting zijn gelijk aan die van de KES.

Belasting vanuit de component en constructie

Bij de OSA worden gewichts- en windbelastingen op de OSA en de ondersteuningsconstructie apart bepaald en in programma Axis VM toegevoegd.

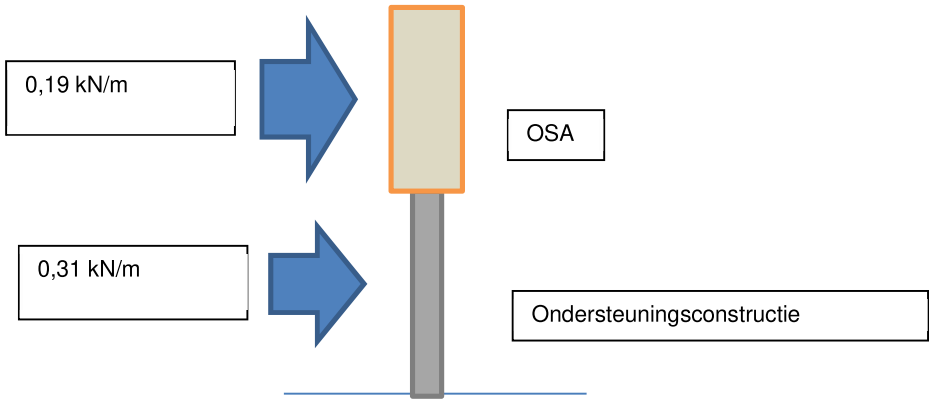

Voor de eigenschappen van de component zie het hoofdrapport. Op het eigen gewicht en de windoppervlakte van de constructie is een toeslag van 50% gerekend voor hulpconstructies aan de constructie.

De uitgangspunten zijn als volgt:

Pb (OSA self weight)	750	N
P_w	0,7	kN/m^2
Breedte (B)	0,232	m
Cf	1,2	
q wind Osa	0,19	kN/m

Pb. kolom door programma		
P_w	0,7	kN/m^2
Breedte (B)	0,244	m
Toeslag	1,5	
Cf	1,2	
q wind ondersteuningconstructie	0,31	kN/m

Geleiderbelasting op bovenzijde component

De berekening wordt uitgevoerd voor twee windrichtingen: wind haaks op de geleider en wind in de diagonale richting. Vanwege de oriëntatie van de component in diagonale richting werkt de kortsluitkracht haaks op de geleiderrichting in diagonale richting op de ondersteuning.

De belasttingssituaties (LC's) zijn als volgt, zie ook Figuur 1:

Load case	PB	Wx	Wy	Wdiag	Fkort
ULS 1a_45	1,2	1,5			
ULS 1a_0	1,2		1,5		
ULS 1a_90	1,2			1,5	
ULS 8_45	1,2	0,3			1,5
ULS 8_0	1,2		0,3		1,5
ULS 8_90	1,2			0,3	1,5
SLS 1a_45	1,2	1,0			
SLS 1a_0	1,2		1,0		
SLS 1a_90	1,2			1,0	
SLS 8_45	1,2	0,2			1,0
SLS 8_0	1,2		0,2		1,0
SLS 8_90	1,2			0,2	1,0
SLS 7	1,0				

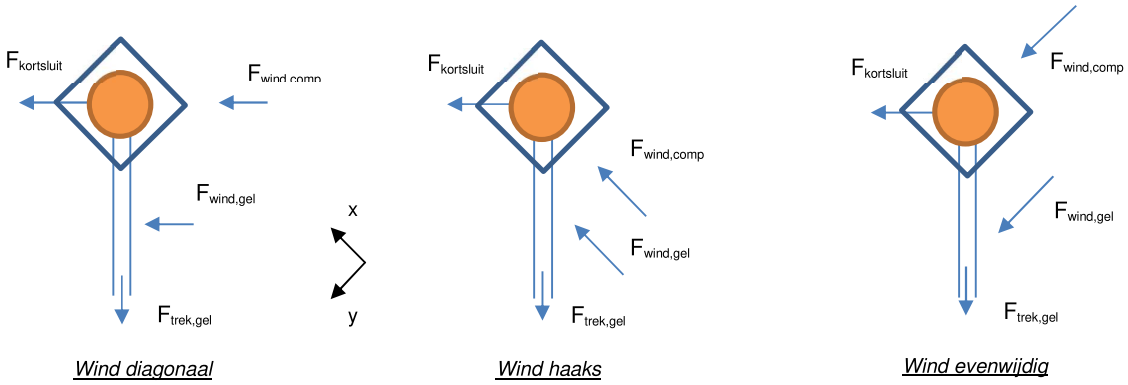

Figuur 2 Belastingrichtingen van de component

De gewichts- en windbelastingen vanuit de geleider worden met onderstaande berekening bepaald.

Uitgangspunten geleiderbelasting		
vb	27	m/s
P_w	0,85	kN/m^2
Gewicht (AMS620)	17,7	N/m
Lengte geleider	3	m
$A_{geleider}$	0,032	m
Cf	1	
bundel	4	
Toeslag gewicht	10%	

Belastingen vanuit geleider		
$F_{eigengewicht}$	389	N
F_{wind}	598	N

$F_{kortsluiting}$	6038	N

De geleiderbundel tussen afloper en component oefent een trekkracht uit. Deze wordt bepaald in onderstaande berekening.

Trekkracht uit geleiderbundel

Overspanning	5	m
Zeeg	0,5	m
Parameter	6	m
Belasting EG	78	N/m
Belasting wind	120	N/m

Load case	w_z (N/m)	w_y (N/m)	w_{res} (N/m)	T (N)
ULS 1a	93,5	179,5	202,4	**1265**
ULS 8	93,5	53,9	107,9	**674**
SLS 1a	77,9	119,7	142,8	**892**
SLS 8	77,9	23,9	81,5	**509**
SLS 7	77,9	0,0	77,9	**487**

De belastingen worden omgerekend naar het diagonaal georeinteerde stelsel van de constructie met onderstaande transformatie.

	Trekkracht		Windbelasting		Kortsluitkracht	
Windrichting	*Transversal,y (N)*	*Longitudinal,x (N)*	*Transversal,y (N)*	*Longitudinal,x (N)*	*Transversal,y (N)*	*Longitudinal,x (N)*
45	0,71	-0,71	0,71	0,71	0,71	0,71
0	0,71	-0,71	0	1	0,71	0,71
90	0,71	-0,71	1	0	0,71	0,71

Dit levert de volgende geleiderbelastingen en de bijbehorende stuwdrukwaarde voor PLS-TOWER:

Combinatie	*Vertical (N)*	*Transversal,y (N)*	*Longitudinal,x (N)*	*qptrans (N/m²)*	*qlong (N/m²)*
ULS 1a_45	467	1535	-261	485	485
ULS 1a_0	467	898	-1	0	683
ULS 1a_90	467	1796	-898	683	0
ULS 8_45	467	7037	6079	97	97
ULS 8_0	467	6909	6131	0	137
ULS 8_90	467	7089	5952	137	0
SLS 1a_45	389	1058	-209	323	323
SLS 1a_0	389	634	-35	0	456
SLS 1a_90	389	1232	-634	456	0
SLS 8_45	389	4733	3893	65	65
SLS 8_0	389	4649	3928	0	91
SLS 8_90	389	4768	3808	91	0
SLS 7	389	346	-346	0	0

Belasting vanuit de component en constructie

Bij de KES worden de gewichts- en windbelastingen op de KES en de ondersteuningsconstructie in het programma PLS-Tower berekend.

Voor de eigenschappen van de component zie het hoofdrapport. Op het eigen gewicht en de windoppervlakte van de constructie is een toeslag van 50% gerekend voor hulpconstructies aan de constructie.

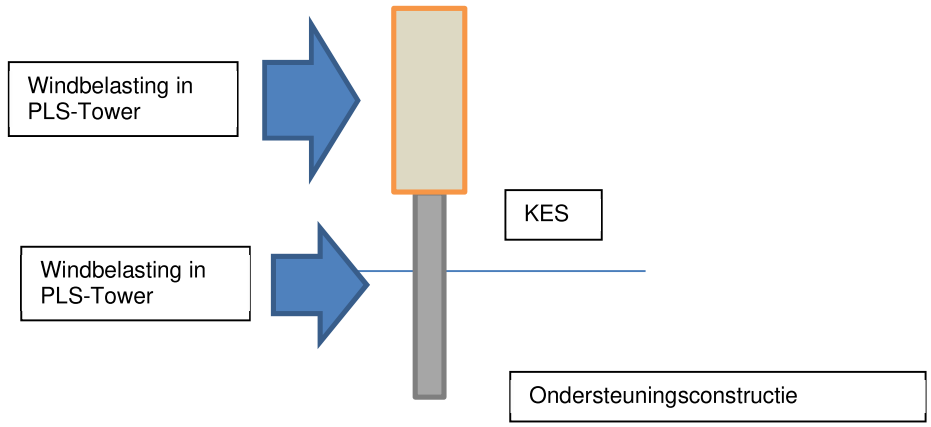

OSA 380 KV

Geleiderbelasting

De belastingen vanuit de geleider door het eigen gewicht, de wind en kortsluiting zijn gelijk aan die van de KES.

Belasting vanuit de component en constructie

Bij de OSA worden gewichts- en windbelastingen op de OSA en de ondersteuningsconstructie apart bepaald en in programma Axis VM toegevoegd.

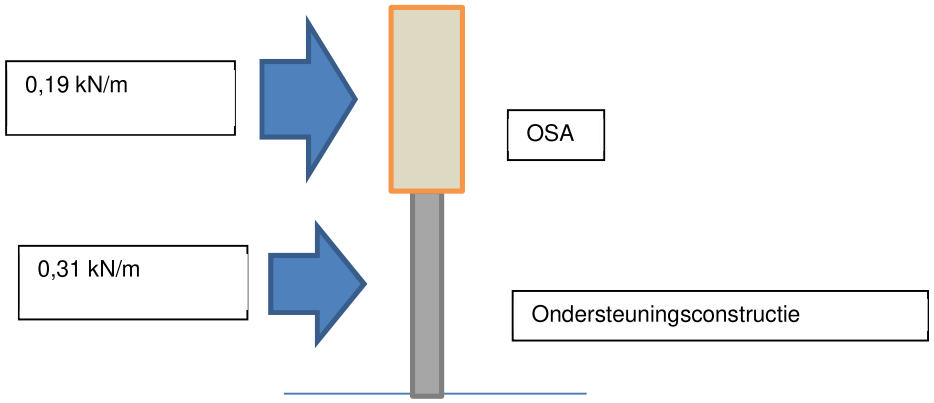

Voor de eigenschappen van de component zie het hoofdrapport. Op het eigen gewicht en de windoppervlakte van de constructie is een toeslag van 50% gerekend voor hulpconstructies aan de constructie.

De uitgangspunten zijn als volgt:

Pb (OSA self weight)	2250	N
P_w	0,85	kN/m^2
Breedte (B)	0,232	m
Cf	1,2	
q wind Osa	0,24	kN/m
Pb. kolom door programma		
P_w	0,85	kN/m^2
Breedte (B)	0,244	m
Toeslag	1,5	
Cf	1,2	
q wind ondersteuningconstructie	0,37	kN/m

DNV·GL

CALCULATION OF SHORT CIRCUIT FORCES FOR FLEXIBLE CONDUCTORS ACC TO IEC 60865 CHAPTER 6

Calculate the forces for all spans | Clear All

Number of loops	**Number of Different Scenarios Considered**	**5**			
			150 kV	**380 kV**	**150 kV (verhoogde stroomsterkte 63 kA)**
	Name of the Span / Location / Scenario				
CT_min	Conductor Tension of main conductor at specified min. temp	(N)	150	150	150
CT_max	Conductor Tension of main conductor at specified max. temp	(N)	150	150	150
Calculate as Dropper?	Refer to Chapter 6.1 for definition	(YES/NO)	NO	NO	NO
		sag	0,133	0,299	0,133
SHORT CIRCUIT CURRENT PARAMETERS		**P**	8,5	8,5	8,5
Ik	Short Circuit Current	(A)	30000	50000	63000
Tk1	Duration of the current flow	(s)	1	0,5	1
SYSTEM PARAMETERS					
A	Factor for calculation of the first current flow	-	1,81	1,81	1,81
freq	System Frequency	(Hz)	50	50	50
κ	Factor for calculation of peak short-circuit current	-	1,81	1,81	1,81
τ - tau	Time Constant of the network	-	0,044	0,044	0,044
CONDUCTOR PARAMETERS					
Con_Def	Conductor Definition	(-)	AMS620	AMS620	AMS620
Con_Mat	Conductor Material	(-)	AL	AL	AL
cth (m^4/(A^2*s)	Constant for conductor (m^4/(A^2*s)) (Page.31 and comment)	(m^4/(A^2*s))	2,70E-19	2,70E-19	2,70E-19
d	Diameter of the conductor	(m)	0,0324	0,0324	0,0324
m's	Mass per unit length	(kg/m)	1,806	1,806	1,806
As	Overall conductor cross-sectional area	(m^2)	6,21E-04	6,21E-04	6,21E-04
E	Young's Modulus	(N/m2)	6,66E+10	6,66E+10	6,66E+10
σ_fin	Lowest value of the cable stress when Young's modulus becomes constant	(N/m2)	5,00E+07	5,00E+07	5,00E+07
SPAN AND BUNDLE GEOMETRY					
n	Number of Subconductors in Bundle		2	4	2
a	Centre line Distance between phase conductors	(m)	3	7	3
as	Centre line Distance between sub-conductors	(m)	0,1	0,1	0,1
l	Centre line distance between supports	(m)	3	4,5	3
li	Length of Insulator Chain	(m)	0	0	0
lc	Chord Length of Flexible Main Conductor in Span	(m)	3,0	4,5	3,0
ls	Centre line distance between connecting pieces or between one connecting piece and the adjacent support. Manually insert if spacers/droppers are not equally spaced	(m)	1,00	1,50	1,00
ncs	Number of Spacers	(-)	2	2	2
mcs	Weight of a Spacer	(kg)	2	2	2
m'sc	Resulting mass per unit length of 1 subconductor	(kg)	2,473	2,028	2,473
S	Resultant spring constant of both supports of one span	(N/m)	1,00E+05	1,00E+05	1,00E+05
Dropper?	Does the span have a dropper?	(YES/NO)	NO	NO	NO
PARAMETERS RELATED TO DROPPERS					
nc	Number of connections (droppers) to main conductor	(-)			
nc'	Equivalent number of connection to main conductor (Value to be used in calculations)	(-)	0	0	0
mc	Average weight of 1 connection (Dropper)	(kg)			
ncb	Number of subconductors in 1 dropper	(-)			
PARAMETERS RELATED TO DROPPERS					
Current Path	Does the current run along the dropper for this scenario	(YES/NO)			
Dropper Plane	Is the dropper perpendicular or parallel to the plane of main conductor	(PARALLEL/PERPENDICULAR)			
Dropper(s)-Averaged					
lv	Cord Length of Dropper	(m)			
h	Height of Dropper	(m)			
w	Width of Dropper	(m)			
lvr	Length of the cable	(m)			
CALCULATION RESULTS					
Forces if Short Circuit Runs along the whole length of the main conductor span (for 20°C)	Ft,d, Short Circuit Force of one phase (N)	(N)	312	242	1510
	Ff,d, Drop Force of one phase (N)	(N)	3275	0	4491
	Fpi,d, Pinch Force of one phase (N)	(N)	3076	6038	3862
	Short Circuit Force to be applied (N)	(N)	**3275**	**6038**	**4491**
	b_h, Maximum Horizontal Displacement (m)	(m)	0,26	0,79	0,43
	amin, Distance between the midpoints of the two phases - Minimum air clearance (m)		2,47	5,42	2,14
Calculated Forces if Short Circuit Runs along the dropper (for 20°C)	Ft,d, Short Circuit Force of one phase (N)	(N)			
	Ff,d, Drop Force of one phase (N)	(N)			
	Fpi,d, Pinch Force of one phase (N)	(N)			
	Short Circuit Force to be applied (N)	(N)			
	Ftdv Short circuit tensile force of dropper on support (N)	(N)			
	b_h, Maximum Horizontal Displacement (m)	(m)			
	amin, Distance between the midpoints of the two phases - Minimum air clearance (m)				
Forces if Short Circuit Runs along the whole length of the main conductor span (for 70°C)	Ft,d, Short Circuit Force of one phase (N)	(N)	312	242	1510
	Ff,d, Drop Force of one phase (N)	(N)	3275	0	4491
	Fpi,d, Pinch Force of one phase (N)	(N)	3076	6038	3862
	Short Circuit Force to be applied (N)	(N)	**3275**	**6038**	**4491**
	b_h, Maximum Horizontal Displacement (m)	(m)	0,26	0,79	0,43
	amin, Distance between the midpoints of the two phases - Minimum air clearance (m)		2,47	5,42	2,14
Calculated Forces if Short Circuit Runs along the dropper (for 70°C)	Ft,d, Short Circuit Force of one phase (N)	(N)			
	Ff,d, Drop Force of one phase (N)	(N)			
	Fpi,d, Pinch Force of one phase (N)	(N)			
	Short Circuit Force to be applied (N)	(N)			
	Ftdv Short circuit tensile force of dropper on support (N)	(N)			
	b_h, Maximum Horizontal Displacement (m)	(m)			
	amin, Distance between the midpoints of the two phases - Minimum air clearance (m)	(m)			
	Short Circuit Force to be applied (N)	(N)	**3275**	**6038**	**4491**
	b_h, Maximum Horizontal Displacement (m)	(m)	**0,26**	**0,79**	**0,43**
	amin, Distance between the midpoints of the two phases - Minimum air clearance	(m)	**2,47**	**5,42**	**2,14**
	Direction of resulting force exerted on the conductor		**42.87**	**33.96**	**76.27**

APPENDIX B

Geleiderbelasting grondplaat 150kV en 380 kV (aflopers)

Deze Appendix bevat de resultaten van de belastingen uit de afloper op de grondplaat voor:

- 150 kV Moldau OSP
- 380 kV Moldau OPS
- 150 kV Permanent OSP (mast 97)

APPENDIX B - GELEIDERBELASTING GRONDPLAAT 150/380 KV AFLOPERS)

GRONDPLAAT 150 KV (MOLDAU MAST)

$F_{kortsluiting}$	23966	N	*Zie laatste blad*
P_w	1,1	kN/m2	
Lengte geleider	30,5	m	
$A_{geleider}$	0,032	m	
Cf	1	m	
bundel	2		*2-bundel*
$F_{transversal}$	1074	N	*Transversale belasting*

Dit leidt tot de volgend belastingsituatie:

	Vertical (N)	*Transversal (N)*	*Longitudinal (N)*
LC1	-23966	1074	0

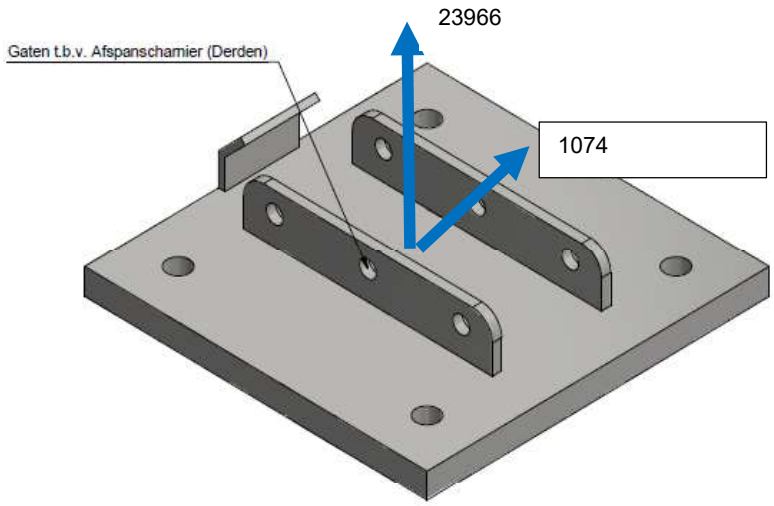

GRONDPLAAT 150 KV (MAST 97 MSD - XXX)

$F_{kortsluiting}$	29594	N	*Zie laatste blad*
P_w	1,1	kN/m2	
Lengte geleider	28,4	m	
$A_{geleider}$	0,02	m	
Cf	1		
bundel	2		*2-bundel*
$F_{transversal}$	625	N	*Transversale belasting*

	Vertical (N)	*Transversal (N)*	*Longitudinal (N)*
LC1	-29594	625	0

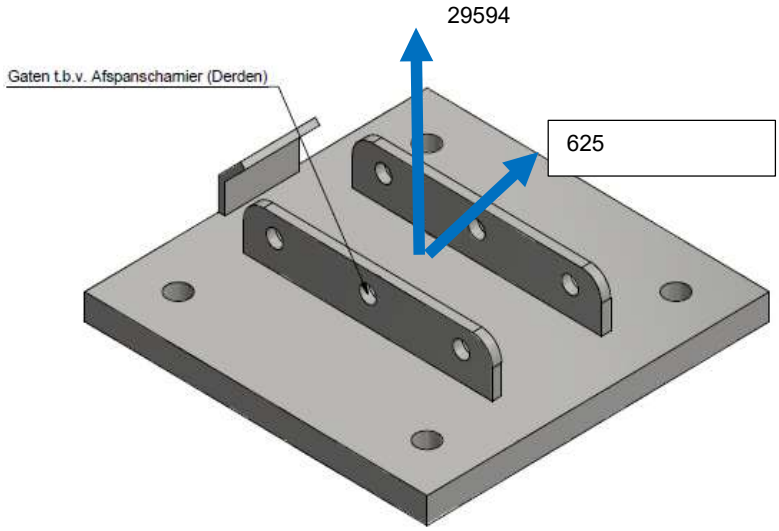

GRONDPLAAT 380 KV (MOLDAU)

$F_{kortsluiting}$	63998	N	*Zie laatste blad*
P_w	1,1	kN/m2	
Lengte geleider	45	m	
$A_{geleider}$	0,032	m	
Cf	1	m	
bundel	4		*4-bundel*
$F_{transversal}$	3168	N	*Transversale belasting*

	Vertical (N)	*Transversal (N)*	*Longitudinal (N)*
LC1	-63998	3168	0

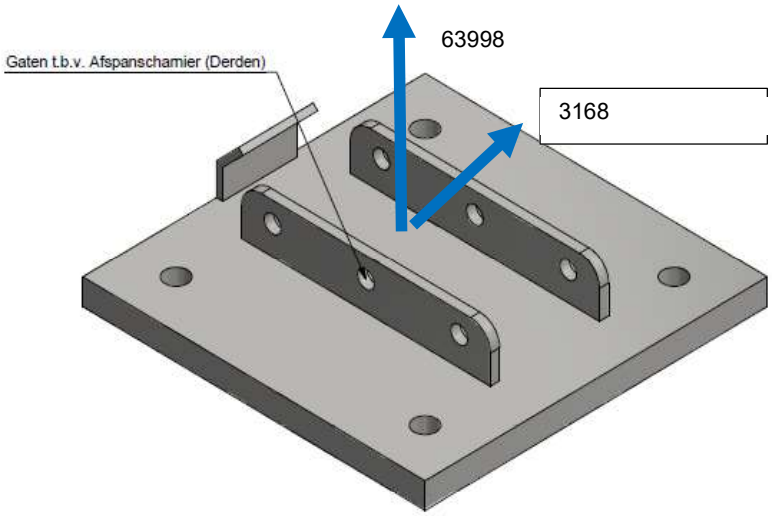

Bepaling van de kortsluitbelastingen in de aflopers.

			150 kV Moldau	380 kV Moldau (dropper)	380 kV Moldau (afgespannen)	Mast 97 MDK-RSD150
			13	14	15	33
	Name of the Span / Location / Scenario					
CT_min	Conductor Bundle Tension of dropper at specified min. temp	(N)	5000	10000	19696	3000
CT_max	Conductor Bundle Tension of dropper at specified max. temp	(N)	5000	10000	19696	3000
CT_10	Conductor Bundle Tension of dropper at 10°C	(N)	5000	10000	19696	3000
SHORT CIRCUIT CURRENT PARAMETERS						
Ik	Short Circuit Current	(A)	30000	50000	50000	30000
Tk1	Duration of the current flow	(s)	1	0,5	0,5	1
SYSTEM PARAMETERS						
A	Factor for calculation of the first current flow	-	1,81	1,81	1,81	1,81
freq	System Frequency	(Hz)	50	50	50	50
k	Factor for calculation of peak short-circuit current	-	1,81	1,81	1,81	1,81
τ - tau	Time Constant of the network	-	0,044	0,044	0,044	0,044
CONDUCTOR PARAMETERS						
Con_Def	Conductor Definition	(-)	AMS620	AMS620	AMS620	ACSR 224/20E
Con_Mat	Conductor Material	(-)	AL	AL	AL	ACSR
cth (m^4/(A^2*s)	Constant for conductor (m^4/(A^2*s)) (Page.31 and comment)	(m^4/(A^2*s))	2,70E-19	2,70E-19	2,70E-19	1,70E-19
d	Diameter of the conductor	(m)	0,0324	0,0324	0,0324	0,0203
m's	Mass per unit length	(kg/m)	1,806	1,806	1,806	0,7745158
As	Overall conductor cross-sectional area	(m^2)	6,21E-04	6,21E-04	6,21E-04	2,44E-04
E	Young's Modulus	(N/m2)	8,66E+10	8,66E+10	8,66E+10	7,44E+10
σ_fin	Lowest value of the cable stress when Young's modulus becomes constant	(N/m2)	5,00E+07	5,00E+07	5,00E+07	5,00E+07
SPAN AND BUNDLE GEOMETRY						
n	Number of Subconductors in Bundle		2	4	4	2
span	Ahead span		5,425	6,6	6,15	4,75
a	Centre line Distance between phase conductors	(m)	3,5	4,3	4,3	2,88
as	Centre line Distance between sub-conductors	(m)	0,2	0,2	0,4	0,4
l	Centre line distance between supports	(m)	30,5	24,7	58,8	28,35
li	Length of Insulator Chain	(m)	5,425	6,6	6,15	4,75
lc	Chord Length of Flexible Main Conductor in Span	(m)	19,7	11,5	46,5	18,9
ls	Centre line distance between connecting pieces or between one connecting piece and the adjacent support. Manually insert if spacers/droppers are not equally spaced	(m)	6,55	3,83	15,50	6,28
ncs	Number of Spacers	(-)	2	2	2	2
mcs	Weight of a Spacer	(kg)	2	2	2	2
m'sc	Resulting mass per unit length of 1 subconductor	(kg)	1,908	1,893	1,828	0,881
S	Resultant spring constant of both supports of one span	(N/m)	6,00E+05	6,00E+05	6,00E+05	6,00E+05
Dropper?	Does the span have a dropper?	(YES/NO)	NO	NO	NO	NO
PARAMETERS RELATED TO DROPPERS						
nc	Number of connections (droppers) to main conductor	(-)				
nc'	Equivalent number of connection to main conductor (Value to be used in calculations)	(-)				
mc	Average weight of 1 connection (Dropper)	(kg)				
ncb	Number of subconductors in 1 dropper	(-)				
PARAMETERS RELATED TO DROPPERS						
Current Path	Does the current run along the dropper for this scenario	(YES/NO)				
Dropper Plane	Is the dropper perpendicular or parallel to the plane of main conductor	(PARALLEL/PERPENDICULAR)				
Dimensions						
lv	Cord Length of Dropper (straight wire length)	(m)	19,7	11,5	46,5	18,9
h	Height of Dropper (vertical value)	(m)	30,5	24,7	58,8	28,35
w	Width of Dropper (horizontal value)	(m)	5,425	6,6	6,15	4,75
lvf	Length of the cable (actual cable length per conductor)	(m)	19,7	11,5	46,5	18,9
CALCULATION RESULTS						
	Check if force should be calculated as a dropper or main conductor		Calculate as dropper	Calculate as dropper	Calculate as dropper	Calculate as dropper
	Check validity of chapter 6.3		Invalid	Valid	Invalid	Invalid
Short Circuit Force using Minimum Temperature	Ft,d, Short Circuit Force of one phase (N) as main conductor	(N)	7650	13093	36784	9576
	Ft,d, Short Circuit Force of one phase (N) as dropper	(N)	6102	3884	68156	7794,4
	Fpi,d, Pinch Force of one phase (N) as main conductor	(N)	23966	63998	80108	**29594**
	Fpi,d, Pinch Force of one phase (N) as dropper	(N)	0	0	0	0,00
	b_{h}, Maximum Horizontal Displacement (m)	(m)				
	amin, Distance between the midpoints of the two phases - Minimum air clearance (m)	(m)				
Short Circuit Force using Maximum Temperature	Ft,d, Short Circuit Force of one phase (N) as main conductor	(N)	7650	13093	36784	9575,67
	Ft,d, Short Circuit Force of one phase (N) as dropper	(N)	6102	3884	68156	7794,41
	Fpi,d, Pinch Force of one phase (N) as main conductor	(N)	23966	63998	80108	29594,10
	Fpi,d, Pinch Force of one phase (N) as dropper	(N)	0	0	0	**0,00**
	b_{h}, Maximum Horizontal Displacement (m)	(m)				
	amin, Distance between the midpoints of the two phases - Minimum air clearance (m)	(m)				
Short Circuit Force using 0°C	Ft,d, Short Circuit Force of one phase (N) as main conductor	(N)	7650	13093	36784	9576
	Ft,d, Short Circuit Force of one phase (N) as dropper	(N)	6102	3884	68156	7794
	Fpi,d, Pinch Force of one phase (N) as main conductor	(N)	23966	63998	80108	29594
	Fpi,d, Pinch Force of one phase (N) as dropper	(N)	0	0	0	**0**
	b_{h}, Maximum Horizontal Displacement (m)	(m)				
	amin, Distance between the midpoints of the two phases - Minimum air clearance (m)	(m)				
	Short Circuit Force to be applied (N)	(N)	**23966**	**63998**	**80108**	**29594**
	b_{h}, Maximum Horizontal Displacement (m)	(m)				
	amin, Distance between the midpoints of the two phases - Minimum air clearance (m)	(m)				
	Direction of resulting force exerted on the conductor					

APPENDIX C
Berekeningsrapporten

Deze appendix bevat de berekeningsrapportages voor:

- OSA 150 kV en 380 kV
- Uitvoer PLS-TOWER 2,5 m vakwerkkolom KES 150 kV
- Uitvoer PLS-TOWER 2,5 m vakwerkkolom KES 380 kV
- Uitvoer PLS-TOWER 2,5 m vakwerkkolom KES 7,5 m
- Uitvoer PLS-TOWER 2,5 m vakwerkkolom KES 15 m
- Ankerverbindingen

Project: ZW-Oost OSP's

Constructeur: DNV GL - Energy

AxisVM X6 R1I · Geregistreerd aan DNV GL - Energy
Constructie OSA v2.axs

Rapport

Onderdeel	*Pagina*
Vooraanzicht	3
Materialen	4
Profielen	4
Knopen	7
Knoopopleggingen	8
PB: Knoopbelastingen	8
PB, Vooraanzicht	9
Wind haaks: Knoopbelastingen	10
Wind haaks, Vooraanzicht	10
Fkortsluit: Knoopbelastingen	11
Fkortsluit, Vooraanzicht	11
trekkracht: Knoopbelastingen	12
trekkracht	12
Gebruiker gedefinieerde belastingcombinaties uit belastinggevallen	13
[I], Lineair, Omhullende (Alle UGT), My, Lijnen (gevuld), Vooraanzicht	13
[I], Lineair, Omhullende (Alle UGT), Nx, Lijnen (gevuld), Vooraanzicht	14
[I], Lineair, Omhullende (Alle UGT), Vz, Lijnen (gevuld), Vooraanzicht	15
[I], Lineair, Omhullende Max (Alle BGT), eX, Lijnen, Vooraanzicht	16
[I], Lineair, Co #3 (BGT Karakteristiek), eX, Lijnen, Vooraanzicht	17
Interne krachten knoopoplegging [Lineair, Omhullende (Alle UGT)]	18
[I], Lineair, Omhullende (Alle UGT), Rz (knoopopl.), Lijnen 150 kV	21
[I], Lineair, Omhullende (Alle UGT), Rz (knoopopl.), Lijnen 380 kV	22
[I], > S 355, Lineair, Omhullende (Belastingcombinaties), S;x;minmax, Lijnen (gevuld), Vooraanzicht	23
[I], Lineair, Omhullende Max (Alle UGT), SVM T, Kleuren 2D	24
[I], Lineair, Omhullende Max (Alle UGT), SVM T, Kleuren 2D 380 kV	25
[StI], > S 355, Lineair, Omhullende (Belastingcombinaties), Unity-check, Lijnen (gevuld), Vooraanzicht	26

Project: ZW-Oost OSP's

Constructeur: DNV GL - Energy

Model: **Constructie OSA v2.axs**

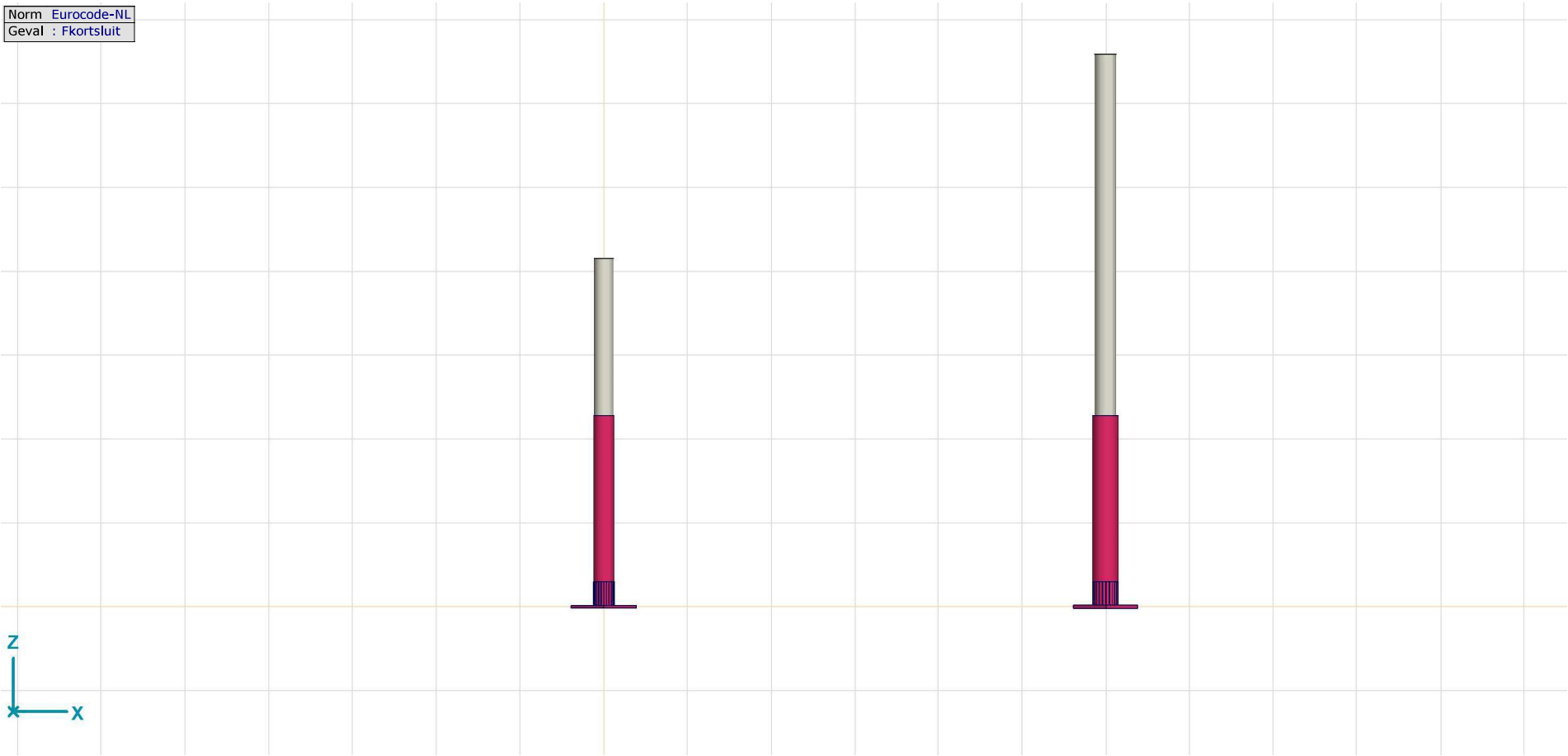

Vooraanzicht

Materialen

	Naam	Type	Nationale norm	Materiaalnorm	Model	E_x [N/mm²]	E_y [N/mm²]	ν	α_T [1/°C]	ρ [kg/m³]	Materiaal kleur	Contour kleur	Structuur	P_1
1	S 355	Staal	Eurocode-NL	10025-2	Lineair	210000	210000	0,30	1,2E-5	7850			Steel	f_y[N/mm²] = 355,00
2	Polymer	Ander	Eurocode-NL		Lineair	100000	100000	0,20	0	100000			–	

	Naam	P_2	P_3	P_4	P_5	P_6	P_7	P_8	P_9	P_{10}	P_{11}	P_{12}	P_{13}	P_{14}
1	S 355	f_u[N/mm²] = 510,00	f_y^*[N/mm²] = 335,00	f_u^*[N/mm²] = 470,00										
2	Polymer													

Naam: Materiaalnaam; **Type:** Type materiaal; **Model:** Materiaal model; **E_x:** Elasticiteitsmodulus in lokale x richting; **E_y:** Elasticiteitsmodulus in lokale y richting; **ν:** Poisson's verhouding; **α_T:** Warmteuitzettingscoëfficiënt; **ρ:** Dichtheid; **Materiaal kleur:** Materiaalkleur; **Contour kleur:** Contourkleur; **P_1, P_2, P_3, P_4, P_5, P_6, P_7, P_8, P_9, P_{10}, P_{11}, P_{12}, P_{13}, P_{14}:** Ontwerpparameter;

Profielen

	Naam	Tekening	Productie	Vorm	h [mm]	b [mm]	tw [mm]	tf [mm]	r_1 [mm]	r_2 [mm]	r_3 [mm]	Ax [mm²]	Ay [mm²]	Az [mm²]
1	272x272		Ander	Holle cirkelvormige doorsneden	272,0	272,0	50,0	0	0	0	0	34864,60	18886,03	18886,03
2	ROR 168,30* 10,0		Gewalst	Buis	168,3	168,3	10,0	10,0	0	0	0	4966,83	2499,94	2499,94

	Naam	Ix [mm⁴]	Iy [mm⁴]	Iz [mm⁴]	Iyz [mm⁴]	I_1 [mm⁴]	I_2 [mm⁴]	α [°]	Iω [mm⁶]	$W_{1,el,t}$ [mm³]	$W_{1,el,b}$ [mm³]	$W_{2,el,t}$ [mm³]	$W_{2,el,b}$ [mm³]	$W_{1,pl}$ [mm³]	$W_{2,pl}$ [mm³]
1	272x272	4,5E+08	2,3E+08	2,3E+08	0	2,3E+08	2,3E+08	0	0	1659064,0	1659064,0	1659064,0	1659064,0	2505120,0	2505104,0
2	ROR 168,30* 10,0	3,1E+07	1,6E+07	1,6E+07	0	1,6E+07	1,6E+07	0	0	185385,4	185385,4	185385,4	185385,4	250444,8	250444,8

	Naam	i_y [mm]	i_z [mm]	Hy [mm]	Hz [mm]	y_G [mm]	z_G [mm]	y_s [mm]	z_s [mm]	β_y [mm]	β_z [mm]	β_w []	S.p.
1	272x272	80,4	80,4	272,0	272,0	136,0	136,0	0	0	0	0	0	5
2	ROR 168,30* 10,0	56,0	56,0	168,3	168,3	84,2	84,2	0	0	0	0	0	5

Profielen

	Naam	Tekening	Productie	Vorm	h [mm]	b [mm]	tw [mm]	tf [mm]	r_1 [mm]	r_2 [mm]	r_3 [mm]	Ax [mm²]	Ay [mm²]	Az [mm²]
3	2 L 150	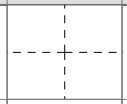	Gewalst	2L	150,0	100,0	12,0	12,0	12,0	0	0	5773,85	0	0
4	232x232		Ander	Holle cirkelvormige doorsneden	232,0	232,0	50,0	0	0	0	0	28582,69	16047,82	16047,82
5	ROR 244,50* 6,3		Gewalst	Buis	244,5	244,5	6,3	6,3	0	0	0	4713,51	2359,29	2359,51
6	ROR 244,50* 10,0		Gewalst	Buis	244,5	244,5	10,0	10,0	0	0	0	7365,54	3693,56	3693,95

	Naam	Ix [mm⁴]	Iy [mm⁴]	Iz [mm⁴]	Iyz [mm⁴]	I_1 [mm⁴]	I_2 [mm⁴]	α [°]	Iω [mm⁶]	$W_{1,el,t}$ [mm³]	$W_{1,el,b}$ [mm³]	$W_{2,el,t}$ [mm³]	$W_{2,el,b}$ [mm³]	$W_{1,pl}$ [mm³]	$W_{2,pl}$ [mm³]
3	2 L 150	289938,9	1,3E+07	1,8E+08	0	1,8E+08	1,3E+07	90,00	2,1E+11	721273,0	721273,0	268497,0	130713,7	1006857,0	235256,6
4	232x232	2,5E+08	1,3E+08	1,3E+08	0	1,3E+08	1,3E+08	0	0	1097007,0	1097007,0	1097007,0	1097007,0	1697360,0	1697349,0
5	ROR 244,50* 6,3	6,7E+07	3,3E+07	3,3E+07	0	3,3E+07	3,3E+07	0	0	273592,4	273592,4	273592,4	273592,4	357431,7	357434,0
6	ROR 244,50* 10,0	1E+08	5,1E+07	5,1E+07	0	5,1E+07	5,1E+07	0	1	414812,9	414812,9	414812,9	414812,9	550068,2	550071,8

	Naam	i_y [mm]	i_z [mm]	Hy [mm]	Hz [mm]	y_G [mm]	z_G [mm]	y_s [mm]	z_s [mm]	β_y [mm]	β_z [mm]	β_w []	S.p.
3	2 L 150	47,8	176,7	500,0	150,0	250,0	100,9	0	−109,3	317,3	0	0	7
4	232x232	66,7	66,7	232,0	232,0	116,0	116,0	0	0	0	0	0	5
5	ROR 244,50* 6,3	84,2	84,2	244,5	244,5	122,2	122,2	0	0	0	0	39,8	9
6	ROR 244,50* 10,0	83,0	83,0	244,5	244,5	122,3	122,3	0	0	0	0	−21,2	9

Profielen

	Naam	Tekening	Productie	Vorm	h [mm]	b [mm]	tw [mm]	tf [mm]	r_1 [mm]	r_2 [mm]	r_3 [mm]	Ax [mm²]	Ay [mm²]	Az [mm²]
7	Buis 323,9x8,0		Gewalst	Buis	323,9	323,9	8,0	8,0	0	0	0	7937,82	3972,82	3973,18

	Naam	Ix [mm⁴]	Iy [mm⁴]	Iz [mm⁴]	Iyz [mm⁴]	I_1 [mm⁴]	I_2 [mm⁴]	α [°]	Iω [mm⁶]	$W_{1,el,t}$ [mm³]	$W_{1,el,b}$ [mm³]	$W_{2,el,t}$ [mm³]	$W_{2,el,b}$ [mm³]	$W_{1,pl}$ [mm³]	$W_{2,pl}$ [mm³]
7	Buis 323,9x8,0	2E+08	9,9E+07	9,9E+07	0	9,9E+07	9,9E+07	0	0	611673,7	611673,7	611673,7	611673,7	798269,9	798275,2

	Naam	i_y [mm]	i_z [mm]	Hy [mm]	Hz [mm]	y_G [mm]	z_G [mm]	y_s [mm]	z_s [mm]	β_y [mm]	β_z [mm]	β_w []	S.p.
7	Buis 323,9x8,0	111,7	111,7	323,9	323,9	162,0	162,0	0	0	0	0	0	5

Naam: Doorsnede naam; **Productie:** Productieproces; **Vorm:** Profiel; **h:** Doorsnede hoogte; **b:** Doorsnede breedte; **tw:** Lijfdikte; **tf:** Flensdikte; **r_1, r_2, r_3:** Afrondingswaarde; **Ax:** Doorsnede-oppervlak; **Ay, Az:** Afschuivingsoppervlak; **Ix:** Torsietraagheidsmoment; **Iy, Iz:** Buigtraagheidsmoment; **Iyz:** Centrifugaal traagheidsmoment; **I_1, I_2:** Hoofdbuigtraagheidsmoment; **α:** Hoofdrichtingen; **Iω:** Krommingsconstante; **$W_{1,el,t}$, $W_{1,el,b}$, $W_{2,el,t}$, $W_{2,el,b}$:** Elastisch weerstandsmoment; **$W_{1,pl}$, $W_{2,pl}$:** Plastisch weerstandsmoment; **i_y, i_z:** Traagheidsstraal; **Hy:** Afmeting in lokale Y-richting; **Hz:** Afmeting in lokale Z-richting; **y_G:** Y-coördinaat van het zwaartepunt; **z_G:** Z-coördinaat van het zwaartepunt; **y_s:** Y-coördinaat van het afschuivingsmiddelpunt (torsie); **z_s:** Z-coördinaat van het afschuivingsmiddelpunt (torsie); **β_y, β_z, β_w:** Wagner's coëfficiënt; **S.p.:** Spanningspunten;

Knopen

	X [m]	Y [m]	Z [m]
1	0	0	0
2	0	0	2,280
3	0	0	4,152
4	0	0	0,300
5	0	−0,389	0
6	0	0,389	0
7	0,389	0	0
8	−0,389	0	0
9	0	−0,283	0
10	0	0,283	0
11	0,283	0	0
12	−0,283	0	0
13	0	0,120	0
14	0	−0,120	0
15	−0,031	−0,116	0
16	−0,060	−0,104	0
17	−0,085	−0,085	0
18	−0,104	−0,060	0
19	−0,116	−0,031	0
20	−0,120	0	0
21	−0,116	0,031	0
22	−0,104	0,060	0
23	−0,085	0,085	0
24	−0,060	0,104	0
25	−0,031	0,116	0
26	0,031	0,116	0
27	0,060	0,104	0
28	0,085	0,085	0
29	0,104	0,060	0
30	0,116	0,031	0
31	0,120	0	0
32	0,116	−0,031	0
33	0,104	−0,060	0
34	0,085	−0,085	0
35	0,060	−0,104	0
36	0,031	−0,116	0
37	0	−0,120	0,300
38	−0,031	−0,116	0,300
39	−0,060	−0,104	0,300
40	−0,085	−0,085	0,300
41	−0,104	−0,060	0,300
42	−0,116	−0,031	0,300
43	−0,120	0	0,300
44	−0,116	0,031	0,300
45	−0,104	0,060	0,300
46	−0,085	0,085	0,300
47	−0,060	0,104	0,300
48	−0,031	0,116	0,300
49	0	0,120	0,300
50	0,031	0,116	0,300
51	0,060	0,104	0,300
52	0,085	0,085	0,300
53	0,104	0,060	0,300
54	0,116	0,031	0,300
55	0,120	0	0,300
56	0,116	−0,031	0,300
57	0,104	−0,060	0,300
58	0,085	−0,085	0,300
59	0,060	−0,104	0,300
60	0,031	−0,116	0,300
913	6,000	0	2,280
914	6,000	0	6,588
915	6,000	0	0,300
916	6,000	0	0
917	6,000	−0,156	0,300
918	6,040	−0,151	0,300
919	6,110	−0,110	0,300
920	6,078	−0,135	0,300
921	6,135	−0,078	0,300
922	6,151	−0,040	0,300
923	6,156	0	0,300
924	6,135	0,078	0,300
925	6,110	0,110	0,300
926	6,040	0,151	0,300
927	6,078	0,135	0,300
928	6,000	0,156	0,300
929	5,960	0,151	0,300
930	5,922	0,135	0,300
931	5,865	0,078	0,300
932	5,849	0,040	0,300
933	5,849	−0,040	0,300
934	5,844	0	0,300
935	5,865	−0,078	0,300
936	5,890	−0,110	0,300
937	5,922	−0,135	0,300
938	5,960	−0,151	0
939	5,922	−0,135	0
940	5,960	−0,151	0,300
941	6,000	−0,156	0
942	6,040	−0,151	0
943	6,000	0,156	0
944	6,040	0,151	0
945	5,960	0,151	0
946	5,865	−0,078	0
947	5,849	−0,040	0
948	5,890	−0,110	0
949	5,844	0	0
950	5,849	0,040	0
951	5,865	0,078	0
952	5,890	0,110	0
953	5,890	0,110	0,300
954	5,922	0,135	0
955	6,078	0,135	0
956	6,078	−0,135	0
957	6,110	−0,110	0
958	6,135	−0,078	0
959	6,151	−0,040	0
960	6,156	0	0
961	6,151	0,040	0
962	6,135	0,078	0
963	6,110	0,110	0
964	6,151	0,040	0,300
965	6,000	−0,389	0
966	6,389	0	0
967	6,000	0,389	0
968	5,611	0	0
969	6,000	−0,283	0
970	6,283	0	0
971	5,717	0	0
972	6,000	0,283	0
973	6,194	0,194	0
974	6,141	0,141	0

Knoopopleggingen

	Knoop	X [m]	Y [m]	Z [m]	Type	$Naam_x$	K_x [kN/m]	K_{xV} [kN/m]	$Naam_y$	K_y [kN/m]	K_{yV} [kN/m]	$Naam_z$	K_z [kN/m]	K_{zV} [kN/m]	$Naam_{xx}$
1	9	0	−0,283	0	Glob.	Lineair 1E+6 kN/m	1E+6	1E+6	Lineair 1E+6 kN/m	1E+6	1E+6	Lineair 1E+6 kN/m	1E+6	1E+6	—
2	10	0	0,283	0	Glob.	Lineair 1E+6 kN/m	1E+6	1E+6	Lineair 1E+6 kN/m	1E+6	1E+6	Lineair 1E+6 kN/m	1E+6	1E+6	—
3	11	0,283	0	0	Glob.	Lineair 1E+6 kN/m	1E+6	1E+6	Lineair 1E+6 kN/m	1E+6	1E+6	Lineair 1E+6 kN/m	1E+6	1E+6	—
4	12	−0,283	0	0	Glob.	Lineair 1E+6 kN/m	1E+6	1E+6	Lineair 1E+6 kN/m	1E+6	1E+6	Lineair 1E+6 kN/m	1E+6	1E+6	—
5	969	6,000	−0,283	0	Glob.	Lineair 1E+6 kN/m	1E+6	1E+6	Lineair 1E+6 kN/m	1E+6	1E+6	Lineair 1E+6 kN/m	1E+6	1E+6	—
6	972	6,000	0,283	0	Glob.	Lineair 1E+6 kN/m	1E+6	1E+6	Lineair 1E+6 kN/m	1E+6	1E+6	Lineair 1E+6 kN/m	1E+6	1E+6	—
7	970	6,283	0	0	Glob.	Lineair 1E+6 kN/m	1E+6	1E+6	Lineair 1E+6 kN/m	1E+6	1E+6	Lineair 1E+6 kN/m	1E+6	1E+6	—
8	971	5,717	0	0	Glob.	Lineair 1E+6 kN/m	1E+6	1E+6	Lineair 1E+6 kN/m	1E+6	1E+6	Lineair 1E+6 kN/m	1E+6	1E+6	—

	Knoop	K_{xx} [kNm/rad]	K_{xxV} [kNm/rad]	$Naam_{yy}$	K_{yy} [kNm/rad]	K_{yyV} [kNm/rad]	$Naam_{zz}$	K_{zz} [kNm/rad]	K_{zzV} [kNm/rad]
1	9	–	–	—	–	–	—	–	–
2	10	–	–	—	–	–	—	–	–
3	11	–	–	—	–	–	—	–	–
4	12	–	–	—	–	–	—	–	–
5	969	–	–	—	–	–	—	–	–
6	972	–	–	—	–	–	—	–	–
7	970	–	–	—	–	–	—	–	–
8	971	–	–	—	–	–	—	–	–

Knoop: Ondersteunde knoop; **Type:** Opleggingstype; **K_x, K_y, K_z, K_{xx}, K_{yy}, K_{zz}:** Initiële stijfheid;

PB: Knoopbelastingen

	Richting	Fx [kN]	Fy [kN]	Fz [kN]	Mx [kNm]	My [kNm]	Mz [kNm]
3	Globaal	0	0	−0,87	0	0	0
914	Globaal	0	0	−2,64	0	0	0

Fx, Fy, Fz: Belastingkracht component; **Mx, My, Mz:** Belastingsmoment component;

Project: ZW-Oost OSP's

Constructeur: DNV GL - Energy

Model: **Constructie OSA v2.axs**

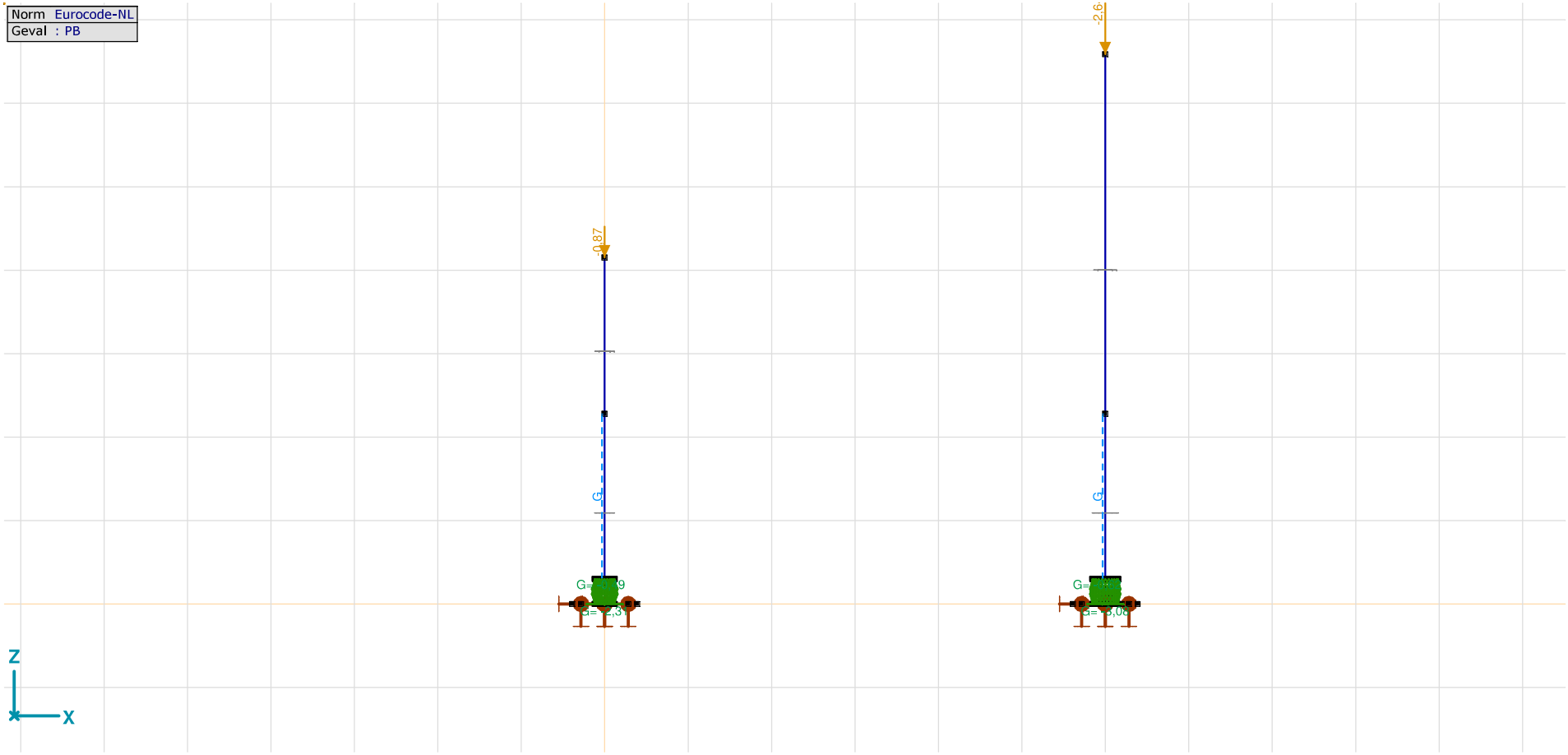

PB, Vooraanzicht

Wind haaks: Knoopbelastingen

	Richting	*Fx [kN]*	*Fy [kN]*	*Fz [kN]*	*Mx [kNm]*	*My [kNm]*	*Mz [kNm]*
3	Globaal	0,15	0	0	0	0	0
914	Globaal	0,60	0	0	0	0	0

Fx, Fy, Fz: Belastingkracht component; **Mx, My, Mz:** Belastingsmoment component;

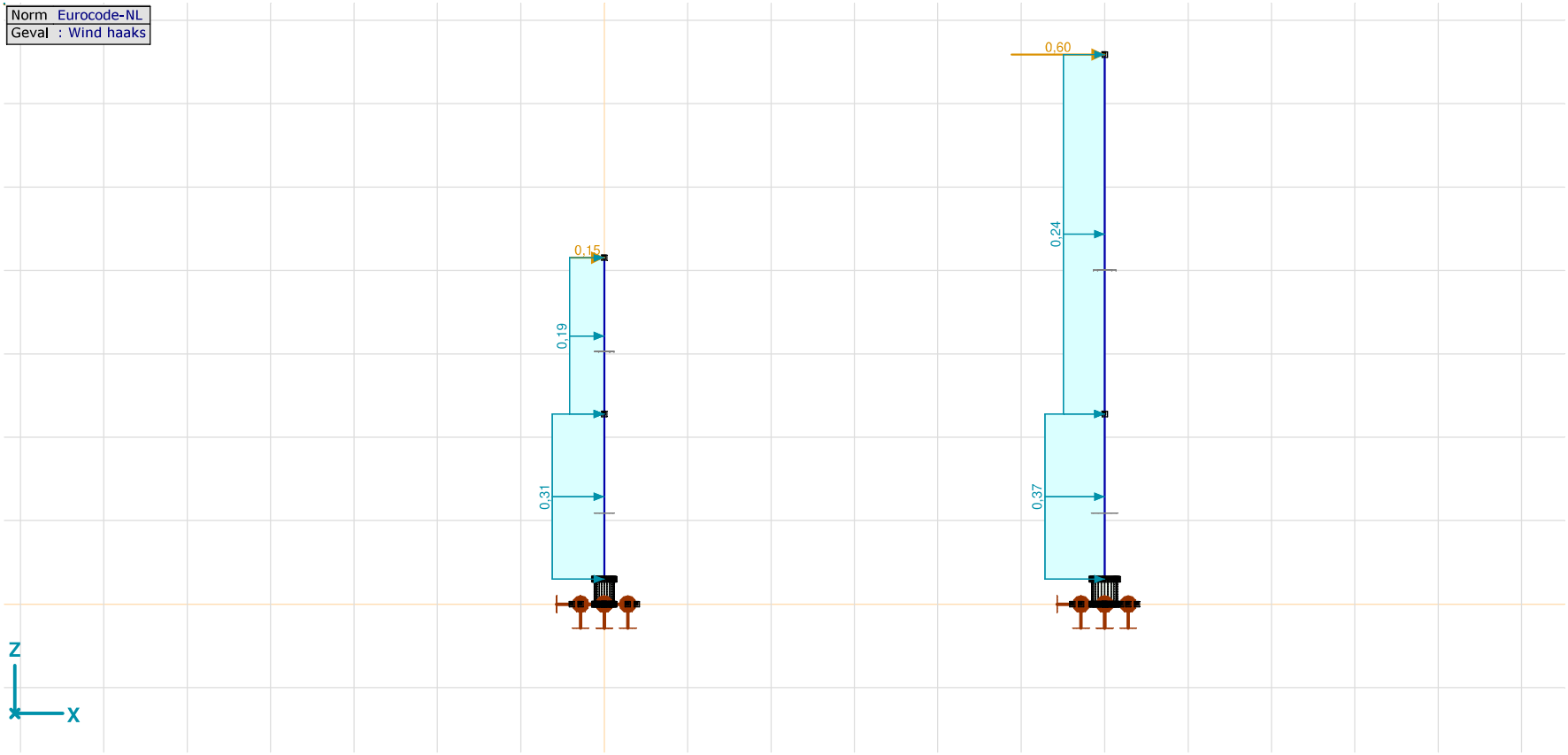

Wind haaks, Vooraanzicht

Fkortsluit: Knoopbelastingen

	Richting	*Fx [kN]*	*Fy [kN]*	*Fz [kN]*	*Mx [kNm]*	*My [kNm]*	*Mz [kNm]*
3	Globaal	4,50	0	0	0	0	0
914	Globaal	6,04	0	0	0	0	0

Fx, Fy, Fz: Belastingkracht component; **Mx, My, Mz:** Belastingsmoment component;

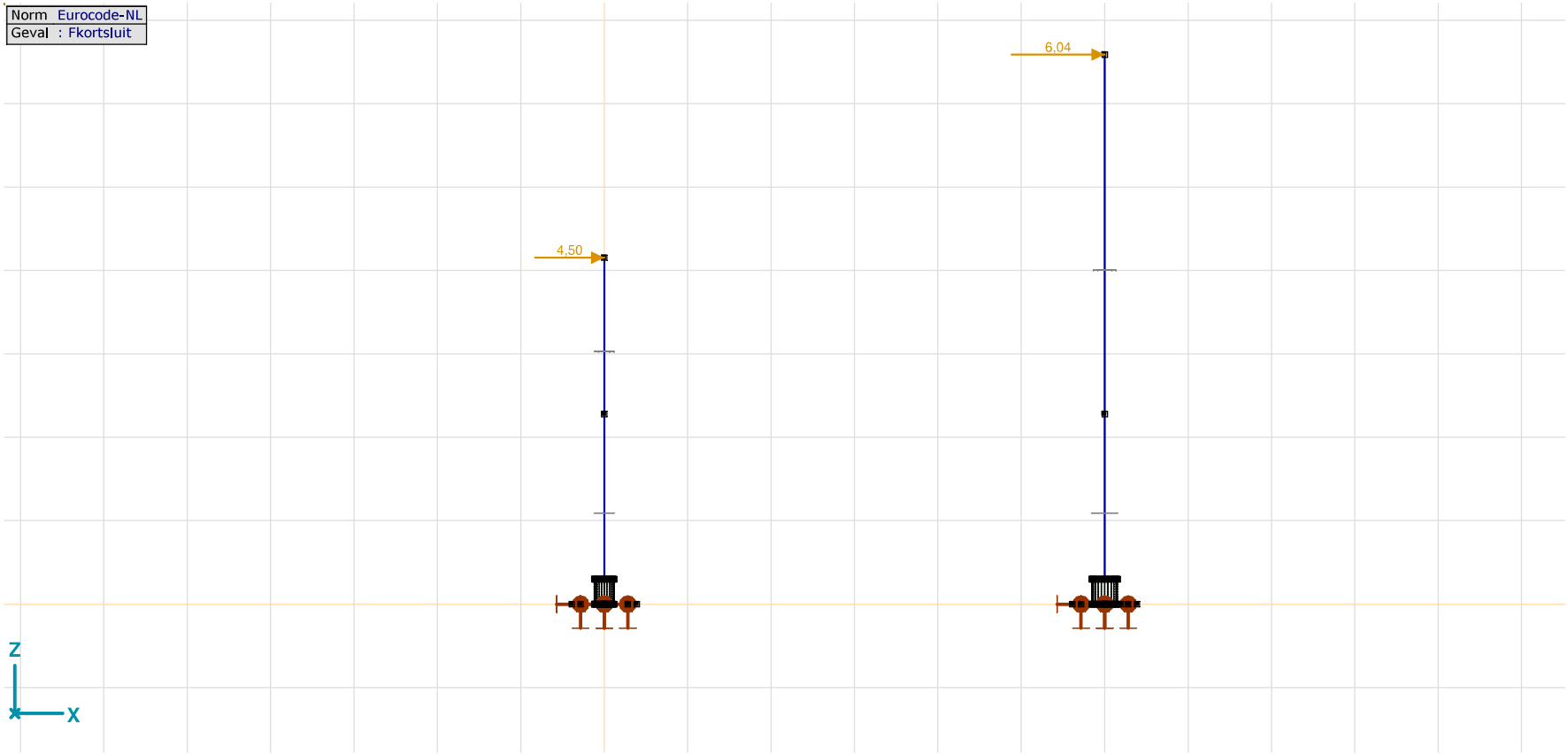

Fkortsluit, Vooraanzicht

trekkracht: Knoopbelastingen

	Richting	*Fx [kN]*	*Fy [kN]*	*Fz [kN]*	*Mx [kNm]*	*My [kNm]*	*Mz [kNm]*
3	Globaal	0	0,55	0	0	0	0
914	Globaal	0	1,27	0	0	0	0

Fx, Fy, Fz: Belastingkracht component; **Mx, My, Mz:** Belastingsmoment component;

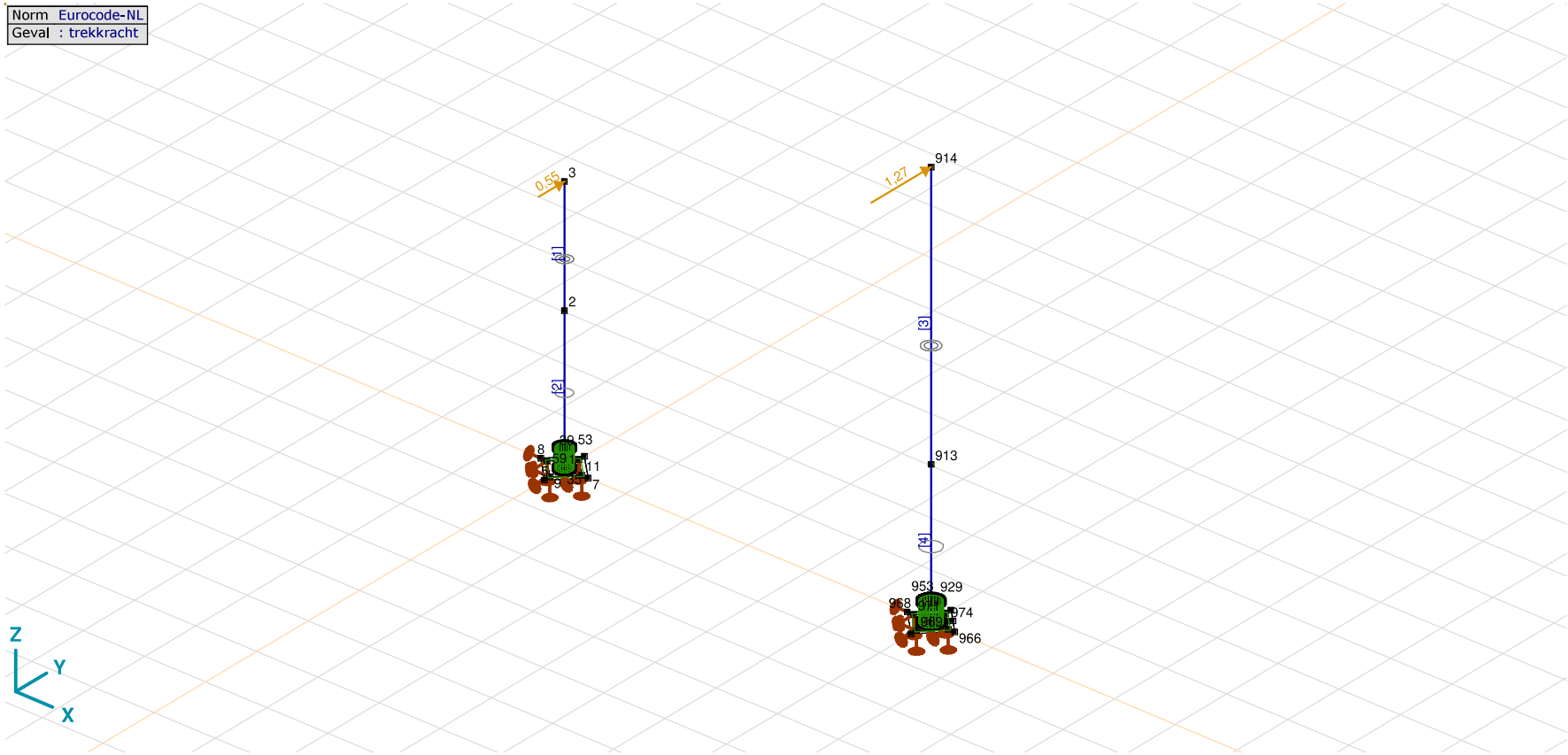

trekkracht

Gebruiker gedefinieerde belastingcombinaties uit belastinggevallen

	Naam	*Type*	*PB (PERM1)*	*Wind haaks (VER1)*	*Fkortsluit (VER1)*	*trekkracht (Trek)*	*Commentaar*
1	Co #1	UGT	1,80	1,50	0	1,50	
2	Co #2	UGT	1,80	0,30	1,50	1,50	
3	Co #3	BGT Karakteristiek	1,50	1,00	0	1,00	
4	Co #4	BGT Karakteristiek	1,50	0,20	1,00	1,00	
5	Co #5	BGT Karakteristiek	1,50	0	0	1,00	

Naam: Naam belastingcombinatie; **Type:** Type belastingcombinatie; **PB (PERM1), Wind haaks (VER1), Fkortsluit (VER1), trekkracht (Trek):** Factor;

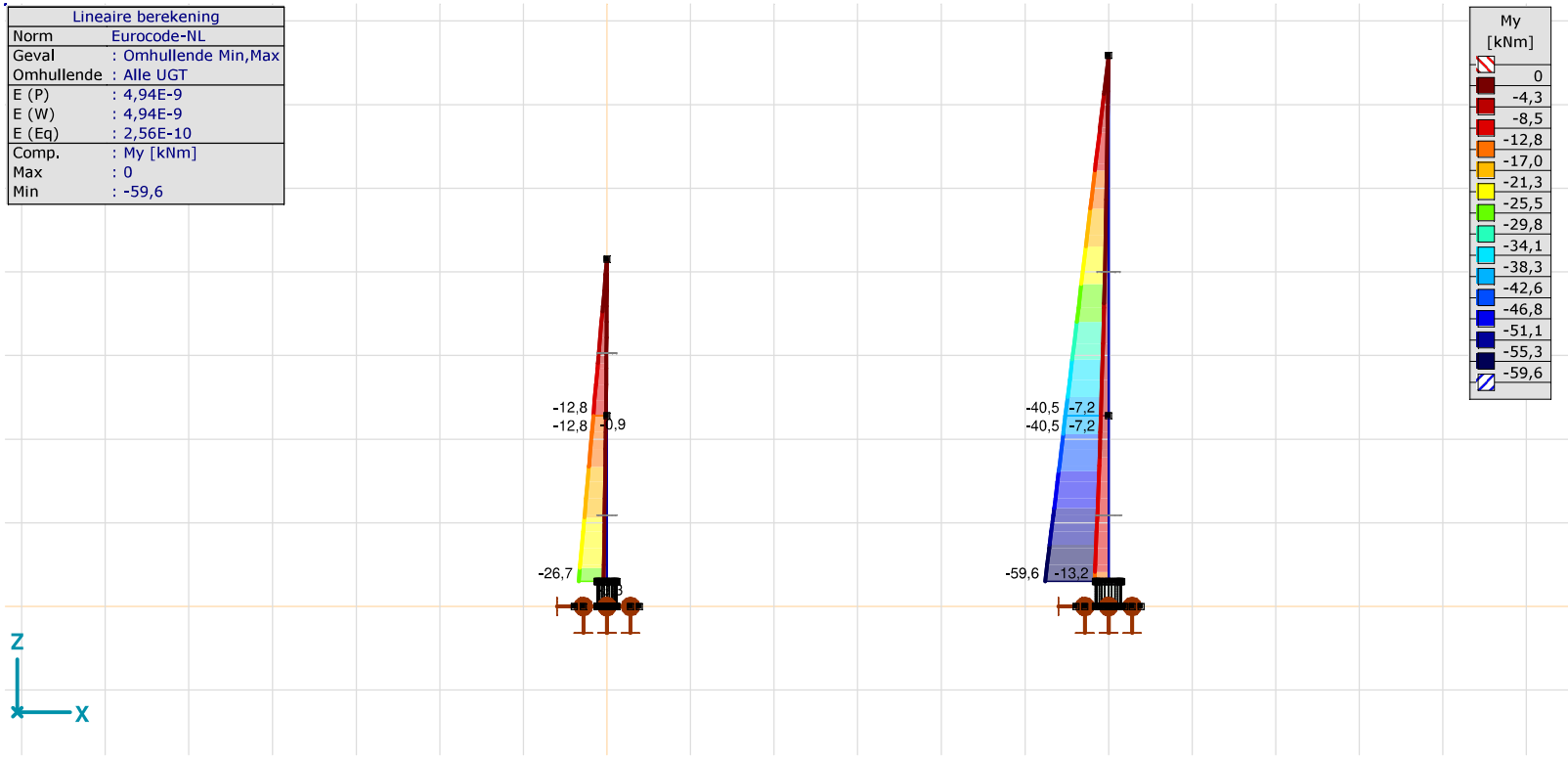

[I], Lineair, Omhullende (Alle UGT), My, Lijnen (gevuld), Vooraanzicht

Project: ZW-Oost OSP's

Constructeur: DNV GL - Energy

Model: **Constructie OSA v2.axs**

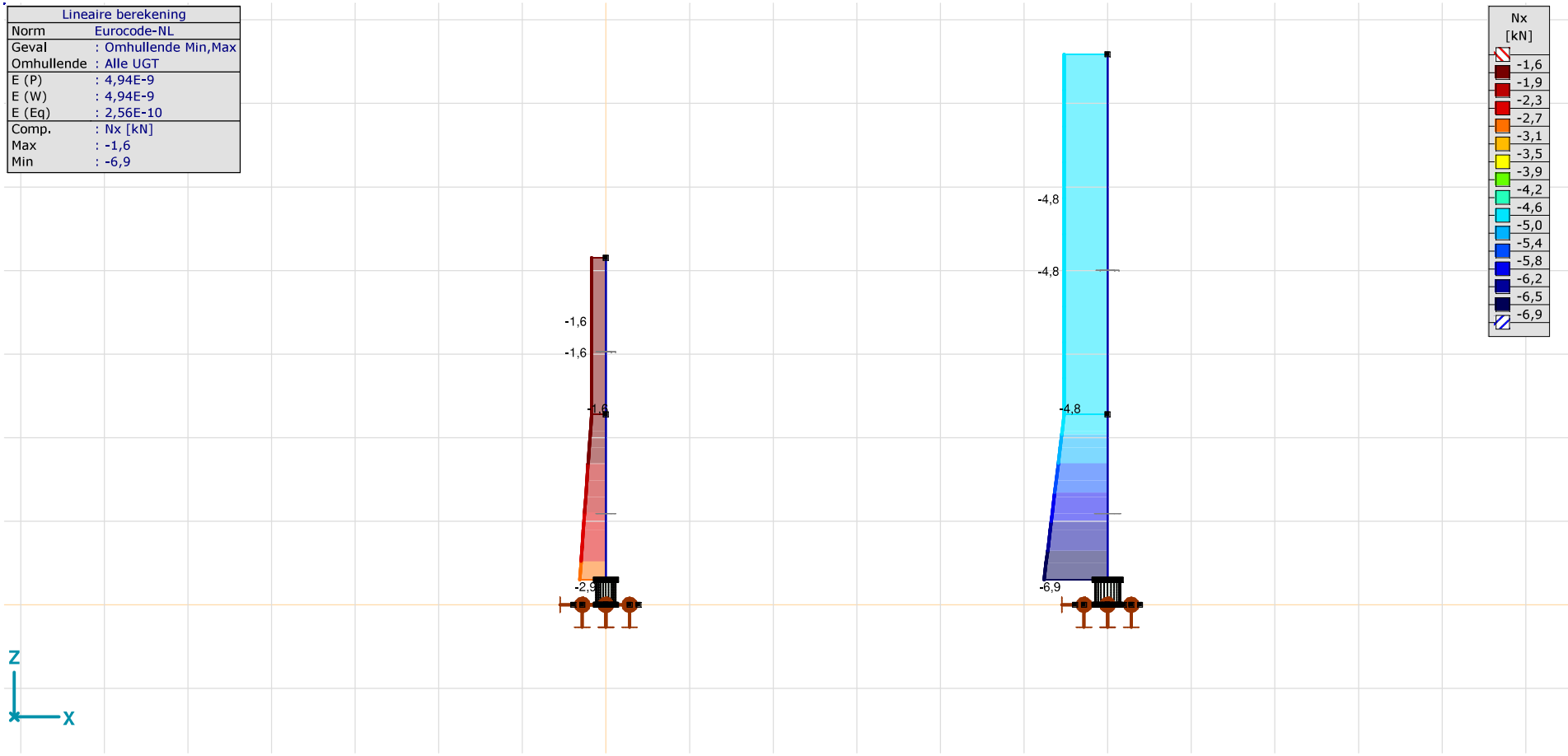

[I], Lineair, Omhullende (Alle UGT), Nx, Lijnen (gevuld), Vooraanzicht

Project: ZW-Oost OSP's

Constructeur: DNV GL - Energy

Model: **Constructie OSA v2.axs**

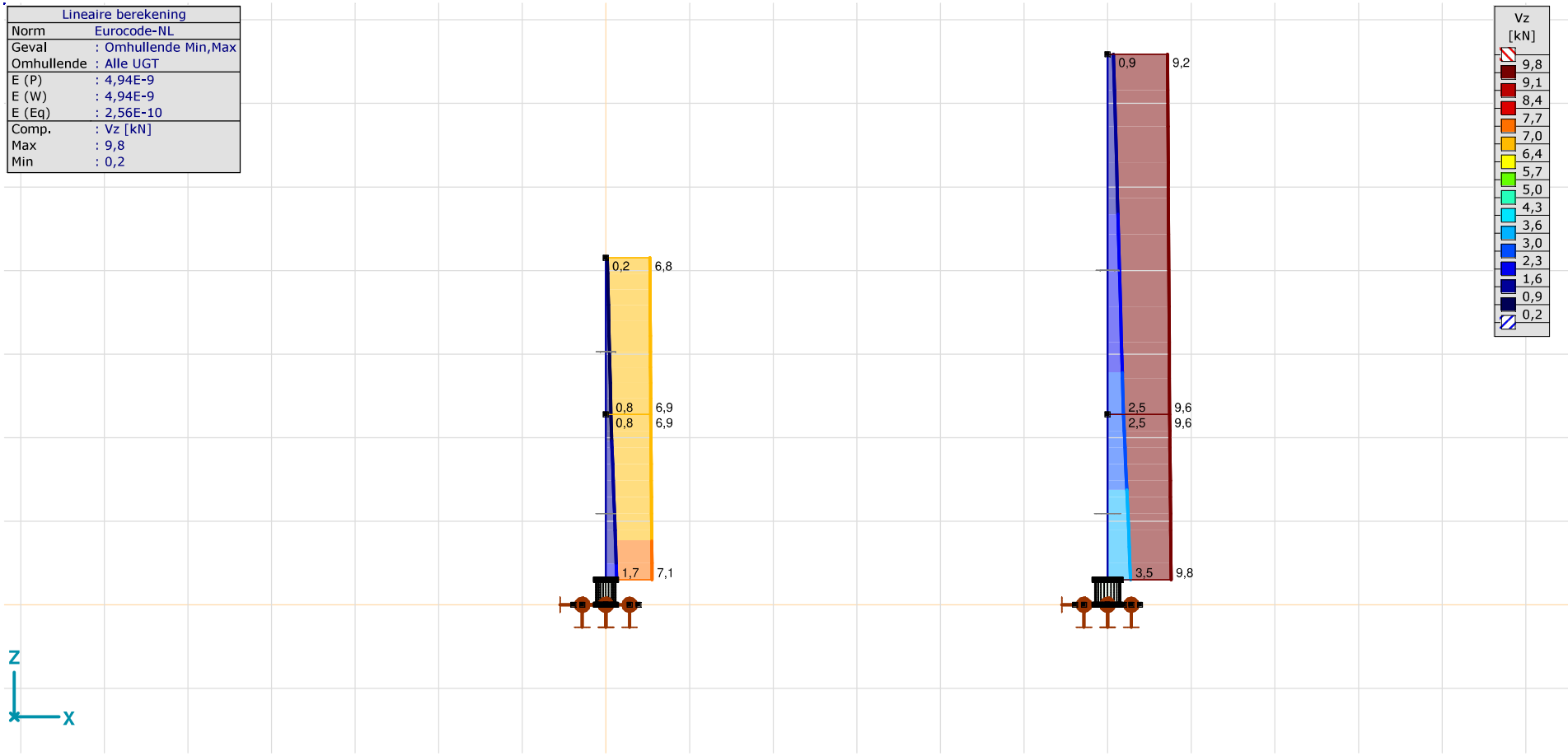

[I], Lineair, Omhullende (Alle UGT), Vz, Lijnen (gevuld), Vooraanzicht

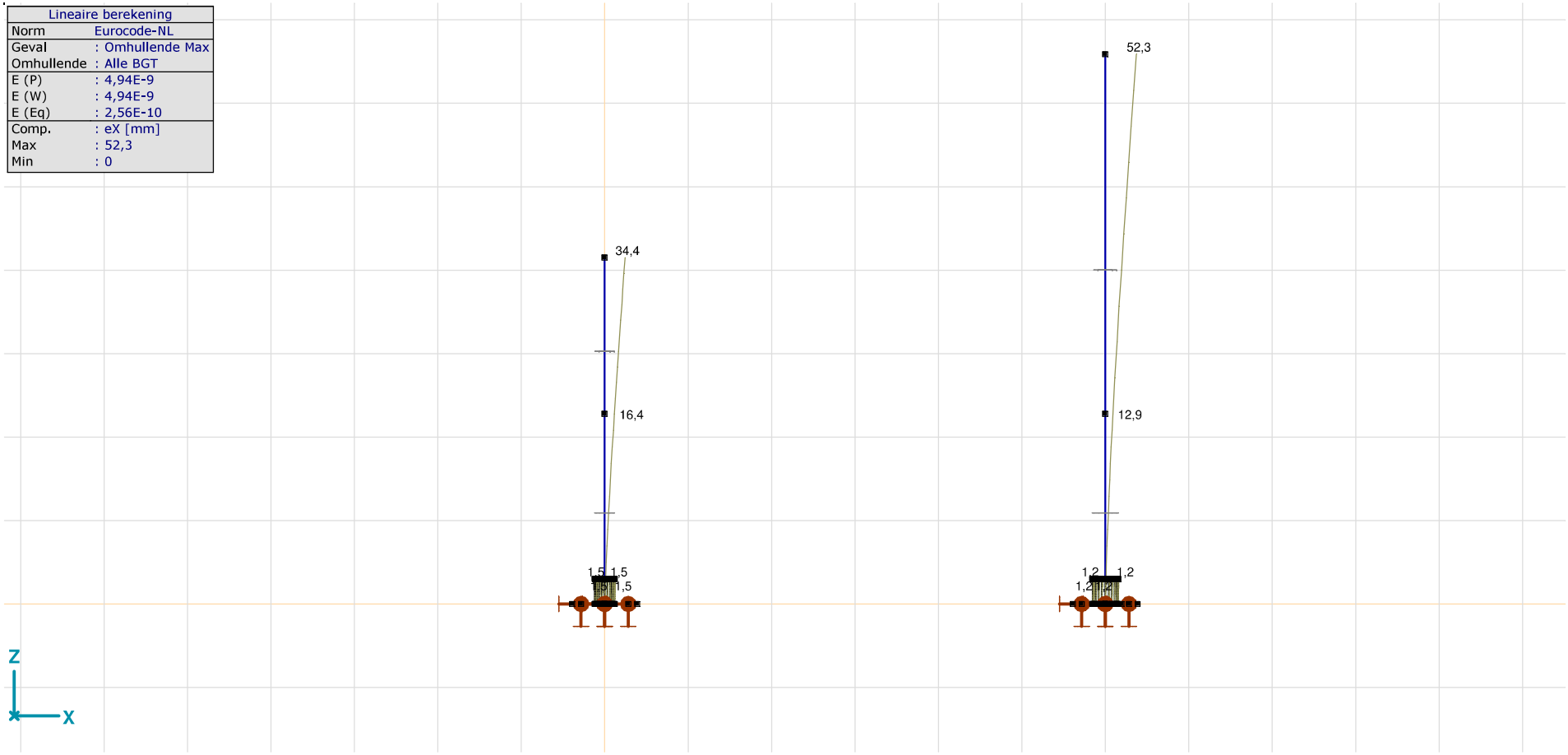

[I], Lineair, Omhullende Max (Alle BGT), eX, Lijnen, Vooraanzicht

Project: ZW-Oost OSP's

Constructeur: DNV GL - Energy

Model: **Constructie OSA v2.axs**

5-11-2021 Pag. 17

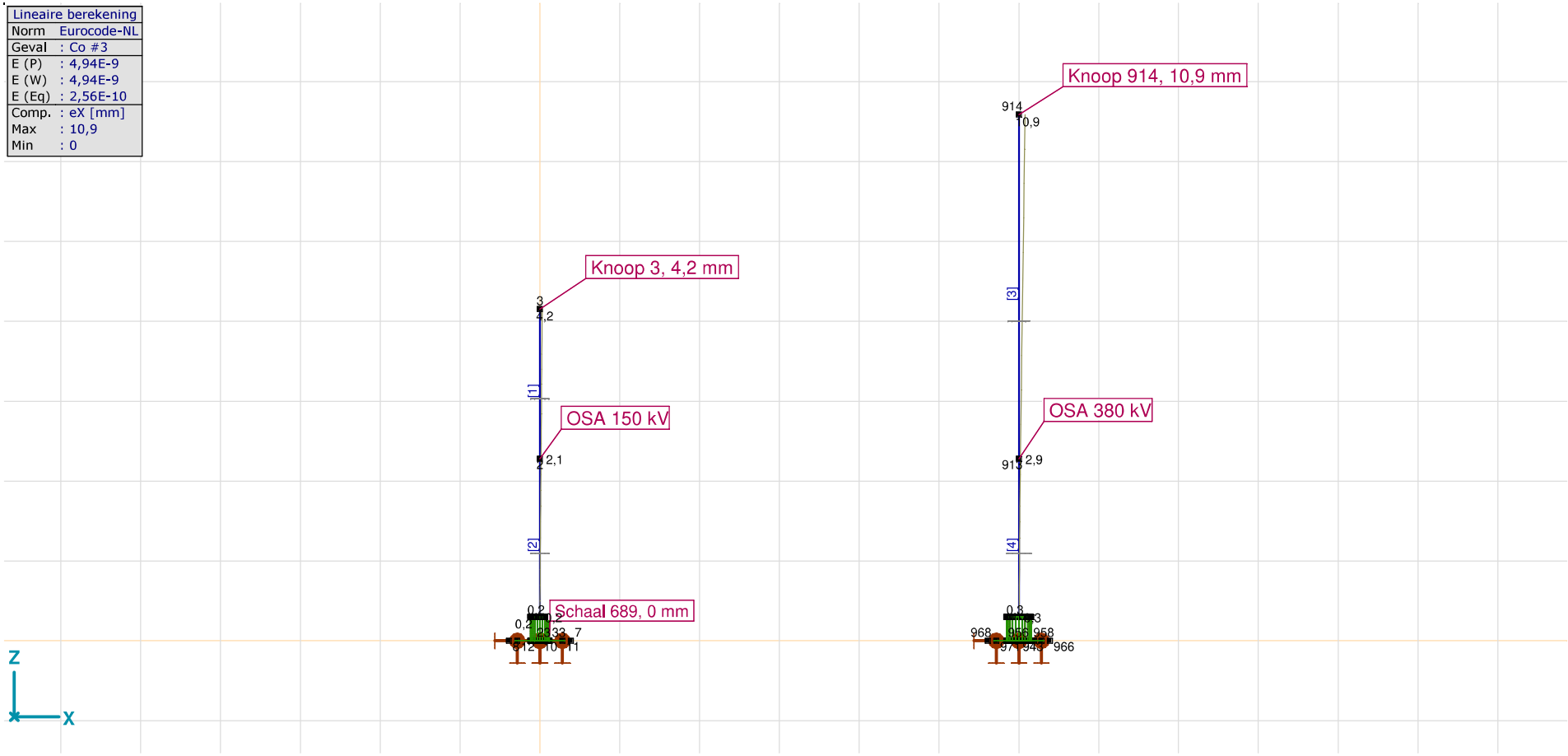

[I], Lineair, Co #3 (BGT Karakteristiek), eX, Lijnen, Vooraanzicht

Interne krachten knoopoplegging [Lineair, Omhullende (Alle UGT)]

	Knoop	*X [m]*	*Y [m]*	*Z [m]*	*Type*	*C*	*min. max.*	*Geval*	*Rx [kN]*	*Ry [kN]*	*Rz [kN]*	*Rr [kN]*	*αR*
1	9	0	−0,283	0	Glob.	Rx	min	Co #1	**0,3**	0,3	5,0	5,0	0,080
							max	Co #2	**0,7**	0,3	5,0	5,1	0,155
						Ry	min	Co #1	0,3	**0,3**	5,0	5,0	0,080
							max	Co #2	0,7	**0,3**	5,0	5,1	0,155
						Rz	min	Co #1	0,3	0,3	**5,0**	5,0	0,080
							max	Co #2	0,7	0,3	**5,0**	5,1	0,155
						αR	min	Co #1	0,3	0,3	5,0	5,0	0,080
							max	Co #2	0,7	0,3	5,0	5,1	0,155
2	10	0	0,283	0	Glob.	Rx	min	Co #1	**0,3**	0,4	−7,1	7,1	−0,065
							max	Co #2	**0,7**	0,4	−7,1	7,1	−0,115
						Ry	min	Co #1	0,3	**0,4**	−7,1	7,1	−0,065
							max	Co #2	0,7	**0,4**	−7,1	7,1	−0,115
						Rz	min	Co #1	0,3	0,4	**−7,1**	7,1	−0,065
							max	Co #2	0,7	0,4	**−7,1**	7,1	−0,115
						αR	min	Co #2	0,7	0,4	−7,1	7,1	−0,115
							max	Co #1	0,3	0,4	−7,1	7,1	−0,065
3	11	0,283	0	0	Glob.	Rx	min	Co #1	**0,6**	0,1	−7,8	7,8	−0,078
							max	Co #2	**2,9**	0,1	−51,9	52,0	−0,055
						Ry	min	Co #1	0,6	**0,1**	−7,8	7,8	−0,078
							max	Co #2	2,9	**0,1**	−51,9	52,0	−0,055
						Rz	min	Co #2	2,9	0,1	**−51,9**	52,0	−0,055
							max	Co #1	0,6	0,1	**−7,8**	7,8	−0,078
						αR	min	Co #1	0,6	0,1	−7,8	7,8	−0,078
							max	Co #2	2,9	0,1	−51,9	52,0	−0,055
4	12	−0,283	0	0	Glob.	Rx	min	Co #1	**0,5**	0,1	5,7	5,8	0,093
							max	Co #2	**2,8**	0,1	49,9	49,9	0,056
						Ry	min	Co #2	2,8	**0,1**	49,9	49,9	0,056
							max	Co #1	0,5	**0,1**	5,7	5,8	0,093
						Rz	min	Co #1	0,5	0,1	**5,7**	5,8	0,093
							max	Co #2	2,8	0,1	**49,9**	49,9	0,056
						αR	min	Co #2	2,8	0,1	49,9	49,9	0,056
							max	Co #1	0,5	0,1	5,7	5,8	0,093
5	969	6,000	−0,283	0	Glob.	Rx	min	Co #2	**0,3**	0,8	20,0	20,1	0,044

Interne krachten knoopoplegging [Lineair, Omhullende (Alle UGT)]

	Knoop	*X [m]*	*Y [m]*	*Z [m]*	*Type*	*C*	*min. max.*	*Geval*	*Rx [kN]*	*Ry [kN]*	*Rz [kN]*	*Rr [kN]*	*αR*
							max	Co #1	**0,4**	0,8	20,0	20,1	0,046
						Ry	min	Co #1	0,4	**0,8**	20,0	20,1	0,046
							max	Co #2	0,3	**0,8**	20,0	20,1	0,044
						Rz	min	Co #2	0,3	0,8	**20,0**	20,1	0,044
							max	Co #1	0,4	0,8	**20,0**	20,1	0,046
						αR	min	Co #2	0,3	0,8	20,0	20,1	0,044
							max	Co #1	0,4	0,8	20,0	20,1	0,046
6	972	6,000	0,283	0	Glob.	Rx	min	Co #2	**0,3**	1,0	−24,3	24,4	−0,042
							max	Co #1	**0,4**	1,0	−24,3	24,4	−0,043
						Ry	min	Co #1	0,4	**1,0**	−24,3	24,4	−0,043
							max	Co #2	0,3	**1,0**	−24,3	24,4	−0,042
						Rz	min	Co #2	0,3	1,0	**−24,3**	24,4	−0,042
							max	Co #1	0,4	1,0	**−24,3**	24,4	−0,043
						αR	min	Co #1	0,4	1,0	−24,3	24,4	−0,043
							max	Co #2	0,3	1,0	−24,3	24,4	−0,042
7	970	6,283	0	0	Glob.	Rx	min	Co #1	**1,4**	0,1	−27,3	27,3	−0,053
							max	Co #2	**4,6**	0	−112,7	112,8	−0,041
						Ry	min	Co #2	4,6	**0**	−112,7	112,8	−0,041
							max	Co #1	1,4	**0,1**	−27,3	27,3	−0,053
						Rz	min	Co #2	4,6	0	**−112,7**	112,8	−0,041
							max	Co #1	1,4	0,1	**−27,3**	27,3	−0,053
						αR	min	Co #1	1,4	0,1	−27,3	27,3	−0,053
							max	Co #2	4,6	0	−112,7	112,8	−0,041
8	971	5,717	0	0	Glob.	Rx	min	Co #1	**1,3**	0,1	23,0	23,0	0,056
							max	Co #2	**4,5**	0	108,4	108,5	0,041
						Ry	min	Co #2	4,5	**0**	108,4	108,5	0,041
							max	Co #1	1,3	**0,1**	23,0	23,0	0,056
						Rz	min	Co #1	1,3	0,1	**23,0**	23,0	0,056
							max	Co #2	4,5	0	**108,4**	108,5	0,041
						αR	min	Co #2	4,5	0	108,4	108,5	0,041
							max	Co #1	1,3	0,1	23,0	23,0	0,056
Ext.													
1	9	0	−0,283	0	Glob.	Rx	min	Co #1	**0,3**	0,3	5,0	5,0	0,080
7	970	6,283	0	0	Glob.		max	Co #2	**4,6**	0	−112,7	112,8	−0,041

Interne krachten knoopoplegging [Lineair, Omhullende (Alle UGT)]

	Knoop	*X [m]*	*Y [m]*	*Z [m]*	*Type*	*C*	*min. max.*	*Geval*	*Rx [kN]*	*Ry [kN]*	*Rz [kN]*	*Rr [kN]*	*αR*
7	970	6,283	0	0	Glob.	Ry	min	Co #2	4,6	**0**	−112,7	112,8	−0,041
6	972	6,000	0,283	0	Glob.		max	Co #2	0,3	**1,0**	−24,3	24,4	−0,042
7	970	6,283	0	0	Glob.	Rz	min	Co #2	4,6	0	**−112,7**	112,8	−0,041
8	971	5,717	0	0	Glob.		max	Co #2	4,5	0	**108,4**	108,5	0,041
2	10	0	0,283	0	Glob.	αR	min	Co #2	0,7	0,4	−7,1	7,1	−0,115
1	9	0	−0,283	0	Glob.		max	Co #2	0,7	0,3	5,0	5,1	0,155

Knoop: Ondersteunde knoop; **Type:** Opleggingstype; **C:** Extreme component; **min. max.:** Extreme type; **Geval:** Belastinggeval van de extreme; **Rx:** X-component opleggingsreactiekracht; **Ry:** Y-component opleggingsreactiekracht; **Rz:** Z-component opleggingsreactiekracht; **Rr:** Resulterende opleggingsreactiekracht; **αR:** Verhouding verticale oplegkracht / horizontale oplegkracht;

Project: ZW-Oost OSP's

Constructeur: DNV GL - Energy

Model: **Constructie OSA v2.axs**

Lineaire berekening	
Norm	Eurocode-NL
Geval	: Omhullende Min,Max
Omhullende	: Alle UGT
E (P)	: 4,94E-9
E (W)	: 4,94E-9
E (Eq)	: 2,56E-10
Comp.	: Rz [kN]
Max	: 108,4
Min	: -112,7

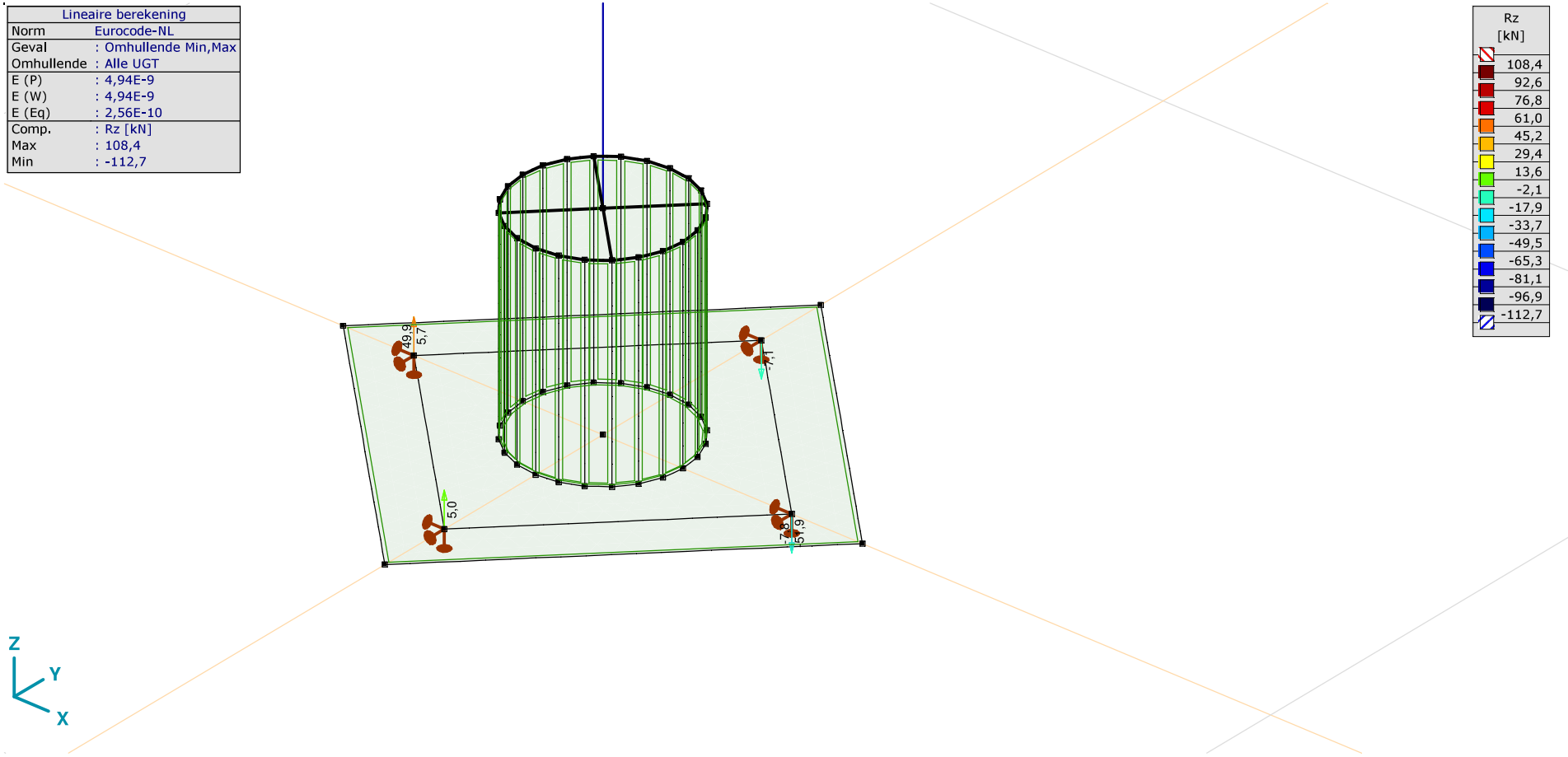

[I], Lineair, Omhullende (Alle UGT), Rz (knoopopl.), Lijnen 150 kV

Project: ZW-Oost OSP's

Constructeur: DNV GL - Energy

Model: **Constructie OSA v2.axs**

Lineaire berekening	
Norm	Eurocode-NL
Geval	: Omhullende Min,Max
Omhullende	: Alle UGT
E (P)	: 4,94E-9
E (W)	: 4,94E-9
E (Eq)	: 2,56E-10
Comp.	: Rz [kN]
Max	: 108,4
Min	: -112,7

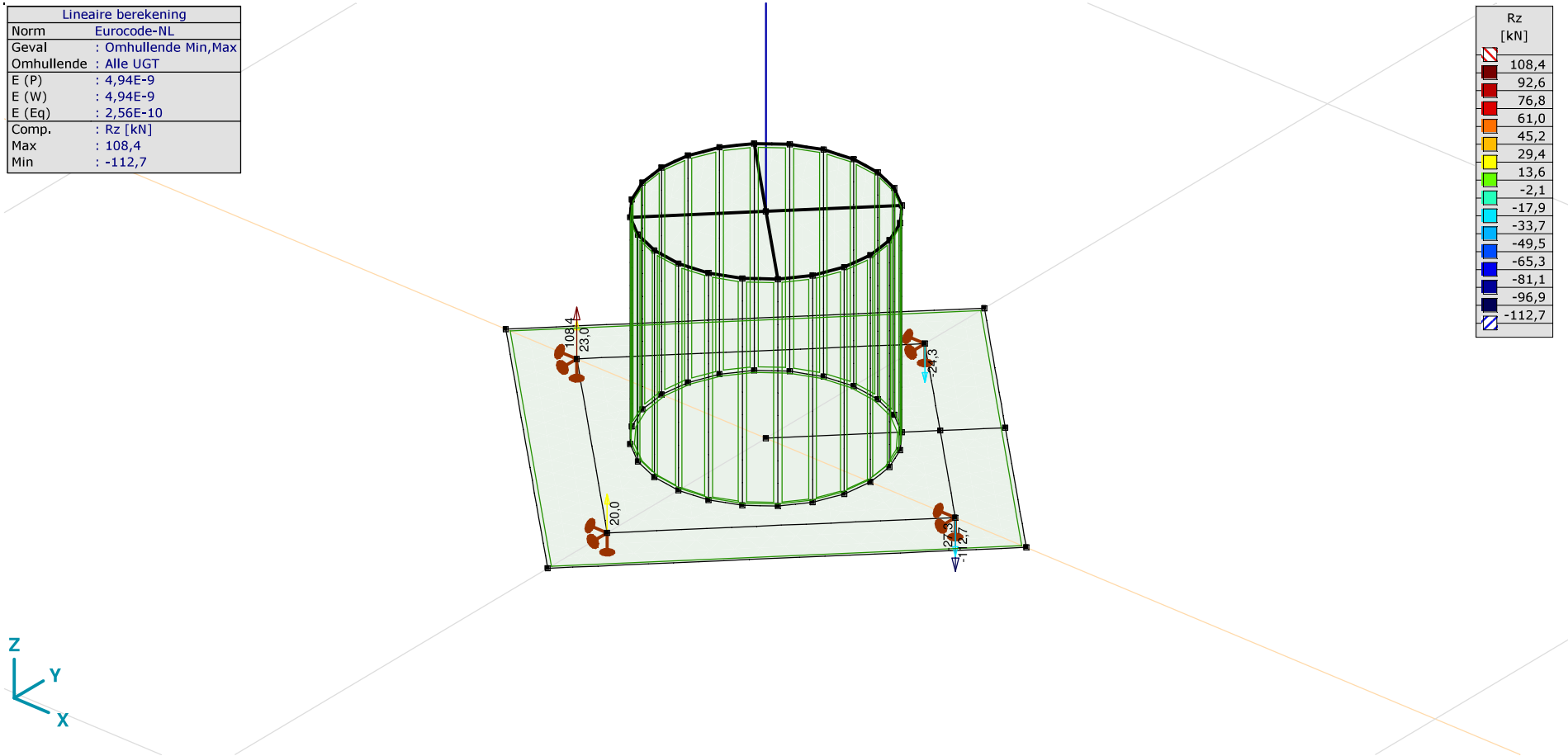

[I], Lineair, Omhullende (Alle UGT), Rz (knoopopl.), Lijnen 380 kV

Project: ZW-Oost OSP's

Constructeur: DNV GL - Energy

Model: **Constructie OSA v2.axs**

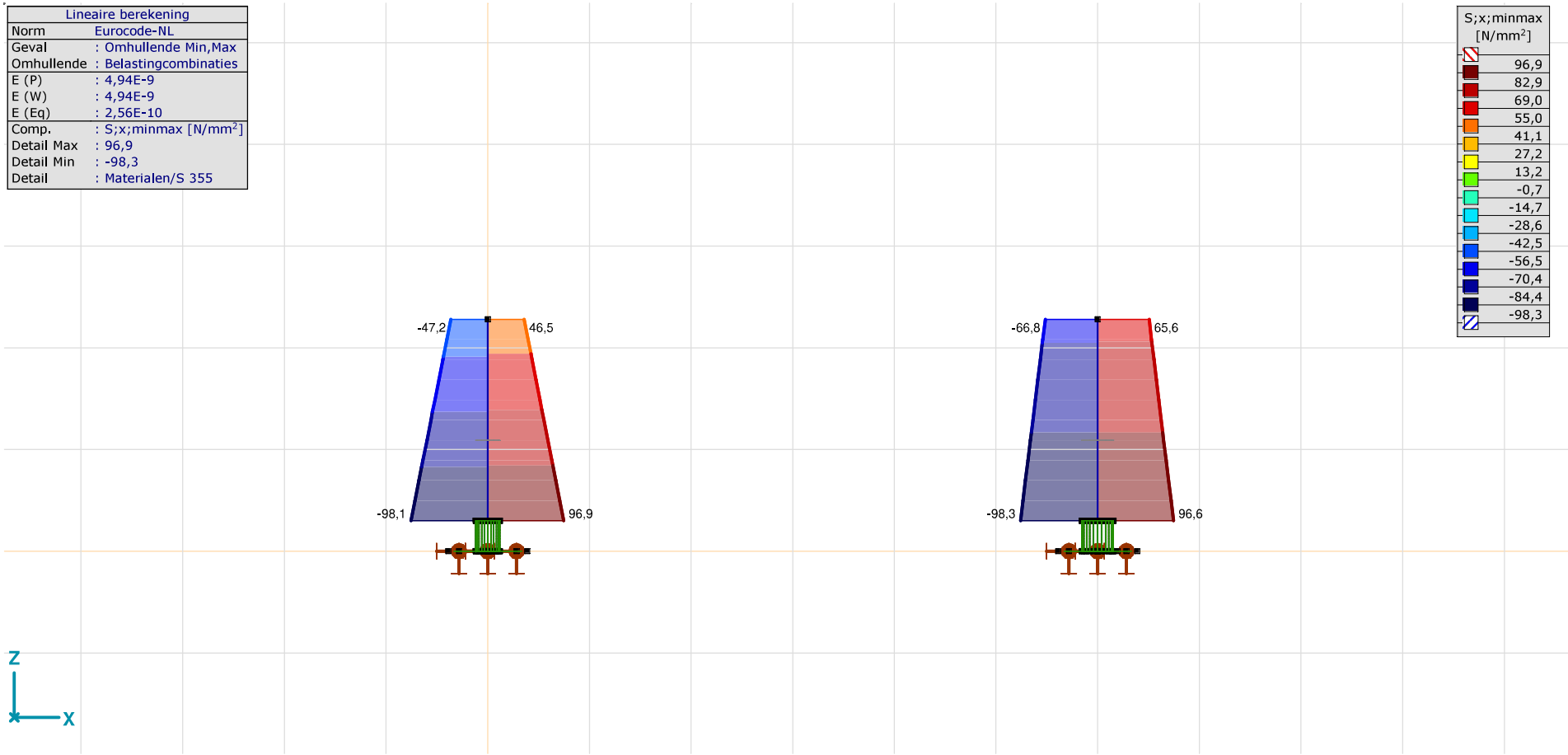

[I], > S 355, Lineair, Omhullende (Belastingcombinaties), S;x;minmax, Lijnen (gevuld), Vooraanzicht

Project: ZW-Oost OSP's

Constructeur: DNV GL - Energy

Model: **Constructie OSA v2.axs**

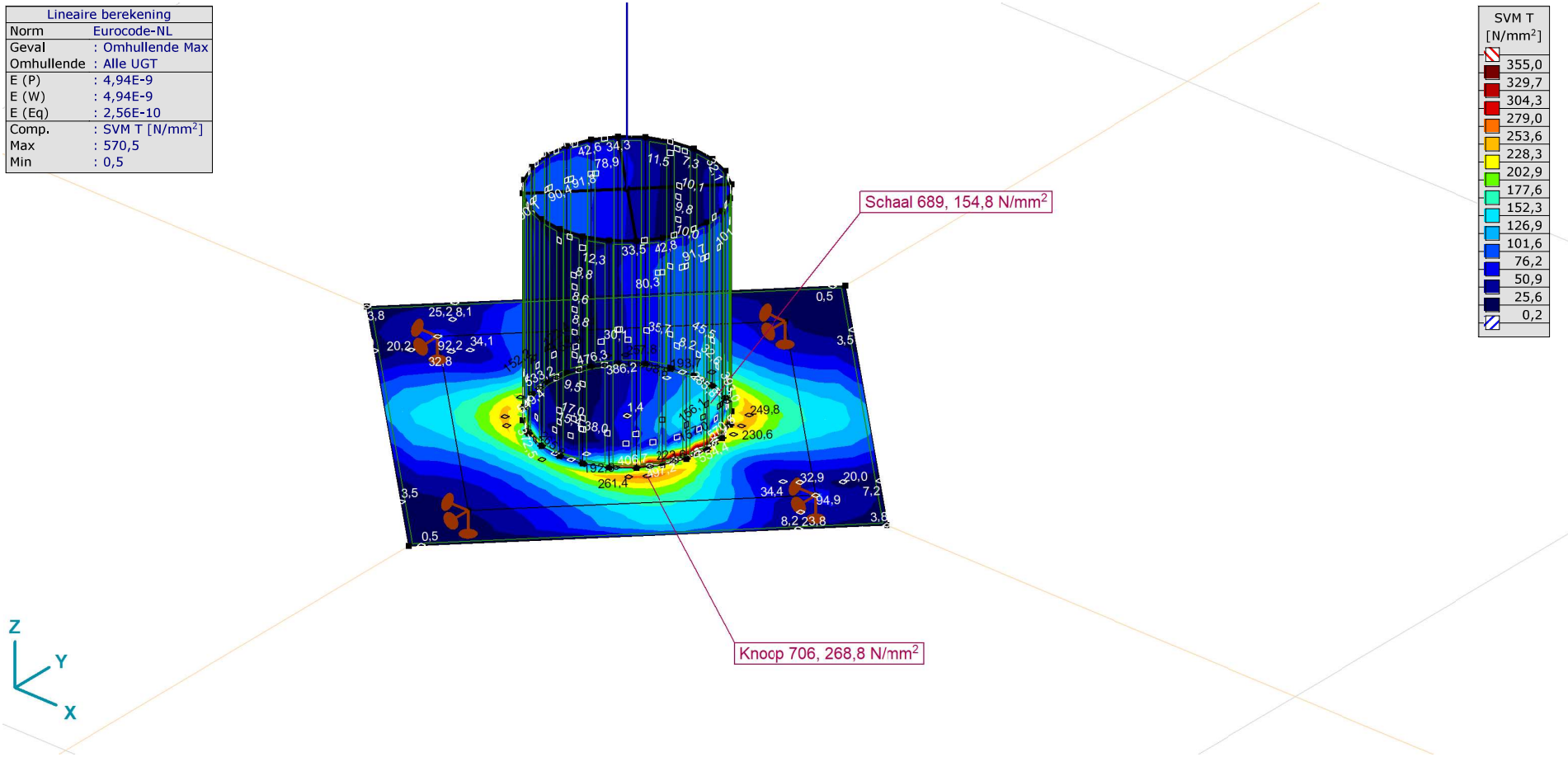

[I], Lineair, Omhullende Max (Alle UGT), SVM T, Kleuren 2D

Project: ZW-Oost OSP's

Constructeur: DNV GL - Energy

Model: **Constructie OSA v2.axs**

Lineaire berekening	
Norm	Eurocode-NL
Geval	: Omhullende Max
Omhullende	: Alle UGT
E (P)	: 4,94E-9
E (W)	: 4,94E-9
E (Eq)	: 2,56E-10
Comp.	: SVM T [N/mm²]
Max	: 570,5
Min	: 0,5

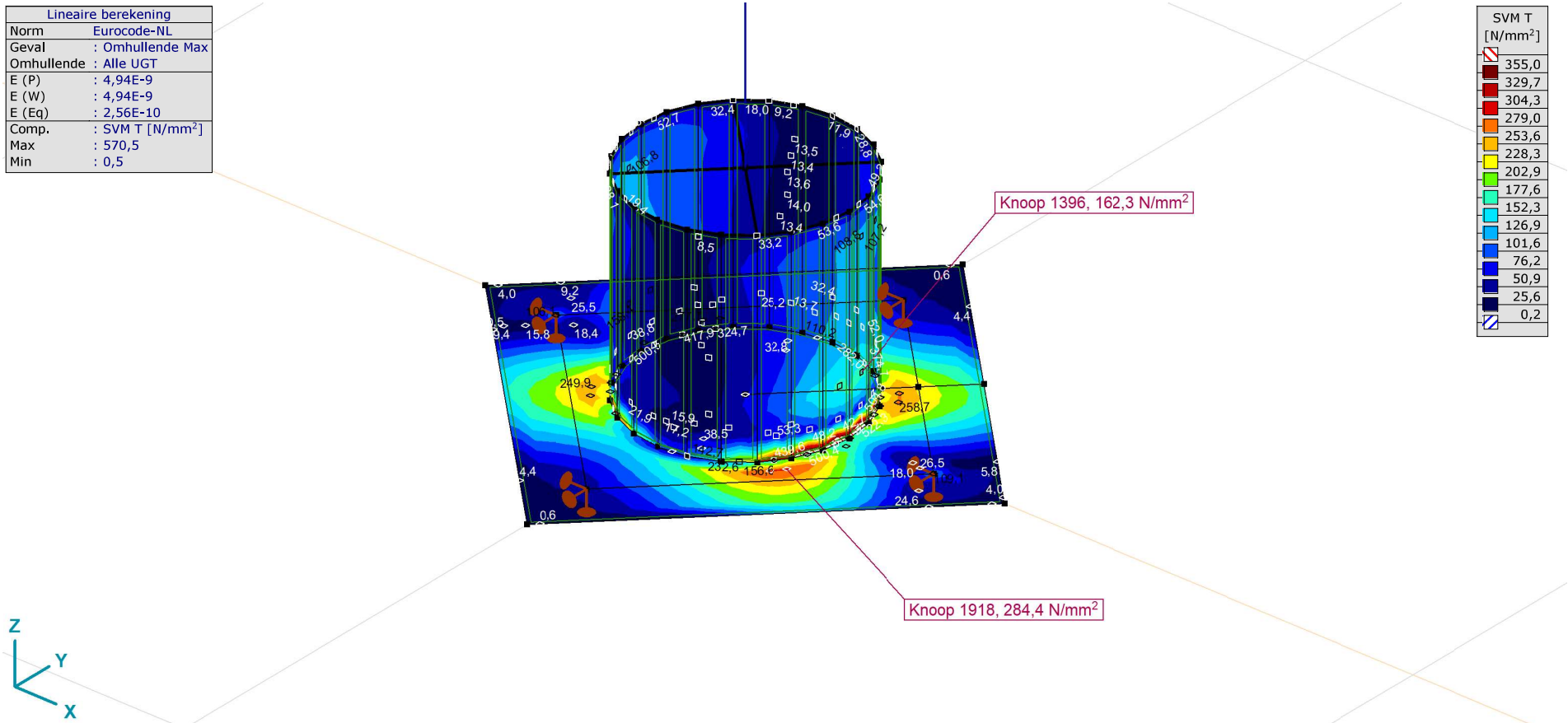

[I], Lineair, Omhullende Max (Alle UGT), SVM T, Kleuren 2D 380 kV

Project: ZW-Oost OSP's

Constructeur: DNV GL - Energy

Model: **Constructie OSA v2.axs**

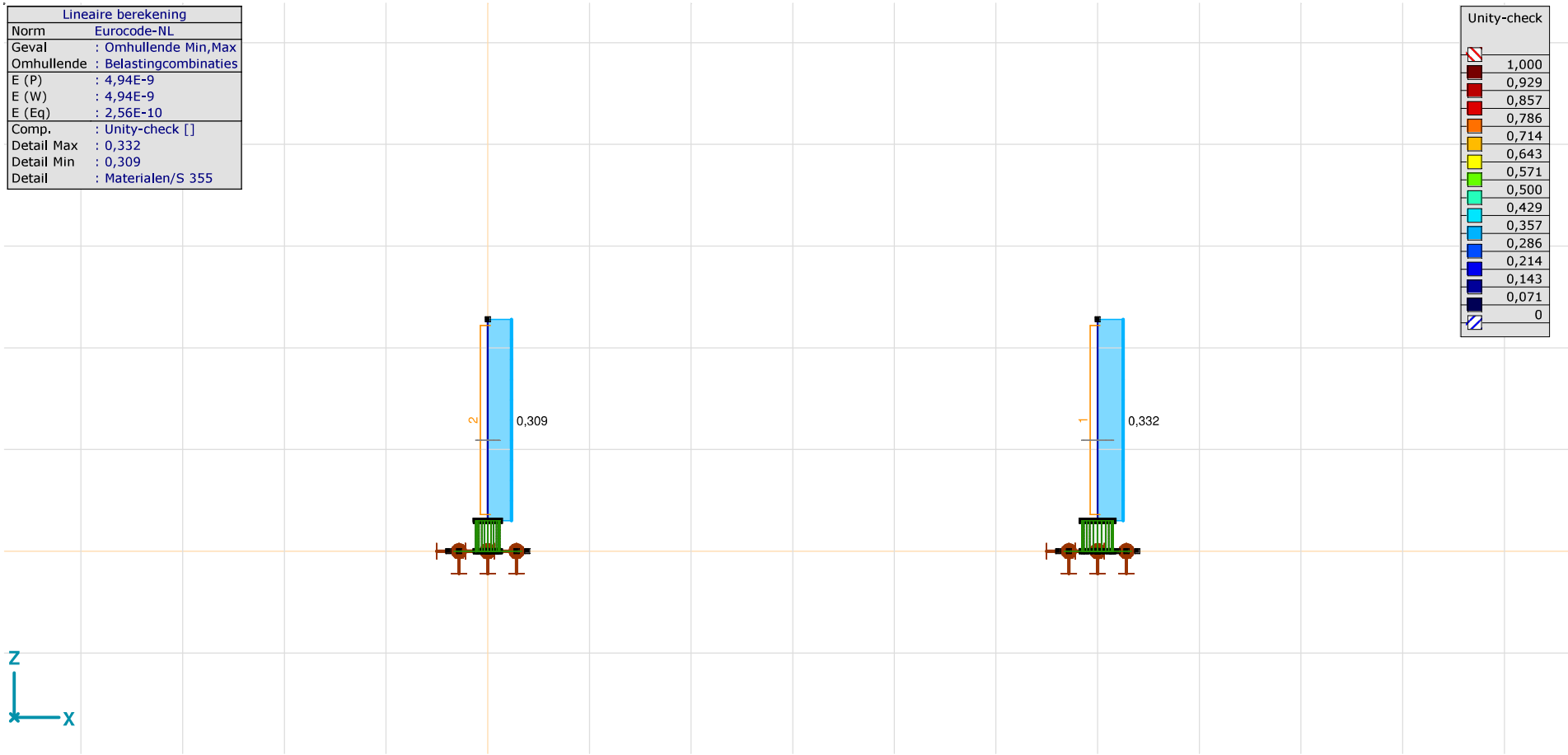

[Stl], > S 355, Lineair, Omhullende (Belastingcombinaties), Unity-check, Lijnen (gevuld), Vooraanzicht

Project: ZW-Oost

Constructeur: DNV GL - Energy

AxisVM X6 R1I · Geregistreerd aan DNV GL - Energy
Constructie OSA v2 met totaal|reactie.axs

Rapport2

Onderdeel	*Pagina*
[l], Lineair, Omhullende (Alle UGT), Rx (knoopopl.), Lijnen	3
[l], Lineair, Omhullende (Alle UGT), Ry (knoopopl.), Lijnen	4
[l], Lineair, Omhullende (Alle UGT), Rz (knoopopl.), Lijnen	5
[l], Lineair, Omhullende (Alle UGT), Rxx (knoopopl.), Lijnen	6
[l], Lineair, Omhullende (Alle UGT), Ryy (knoopopl.), Lijnen	7
Interne krachten knoopoplegging [Lineair, Omhullende (Alle UGT), OSA 150 kV]	8
Interne krachten knoopoplegging [Lineair, Omhullende (Alle UGT), OSA 380]	9

Project: ZW-Oost

Constructeur: DNV GL - Energy

Model: **Constructie OSA v2 met totaalreactie.axs** 5-11-2021 Pag. 3

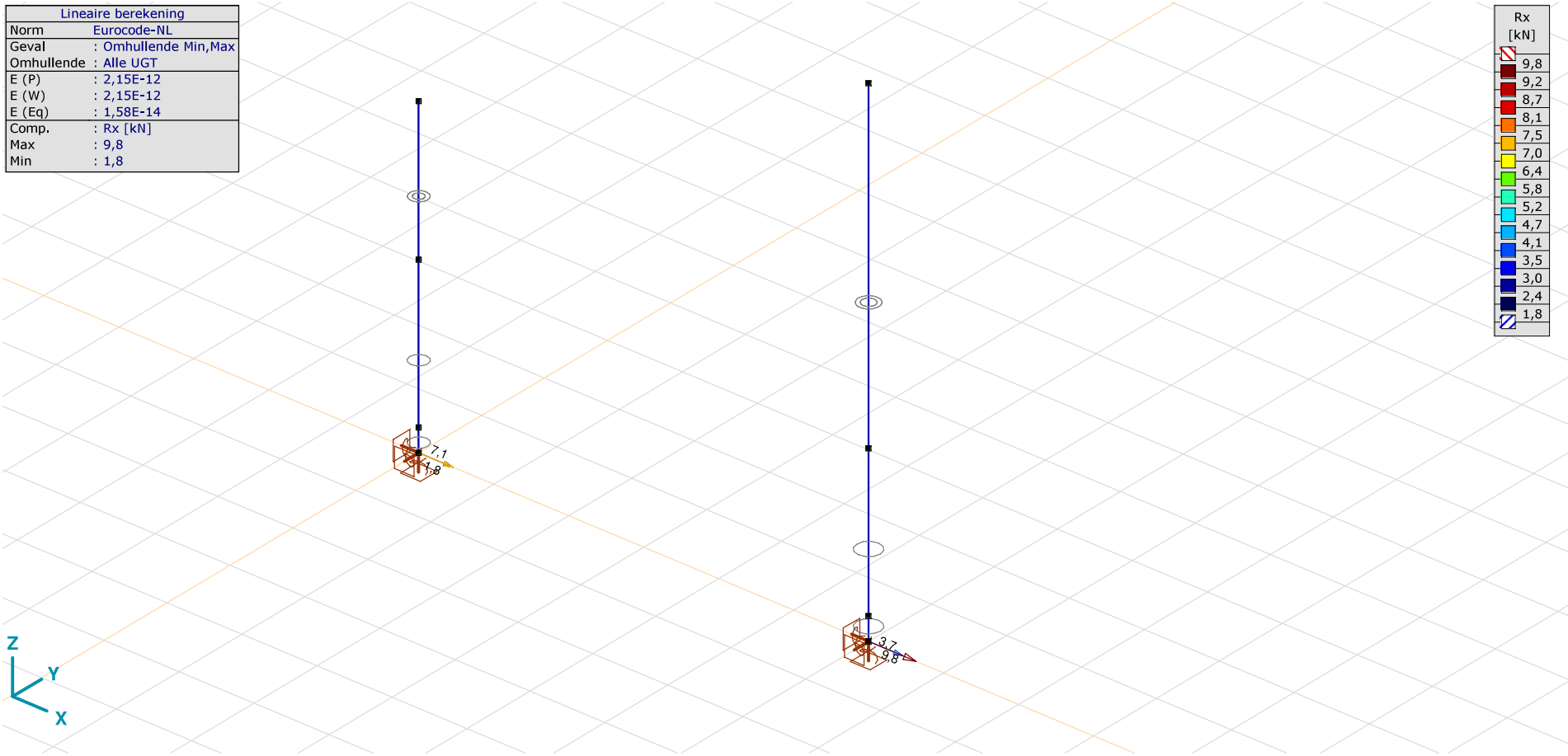

[I], Lineair, Omhullende (Alle UGT), Rx (knoopopl.), Lijnen

Project: ZW-Oost

Constructeur: DNV GL - Energy

Model: **Constructie OSA v2 met totaalreactie.axs** 5-11-2021 Pag. 4

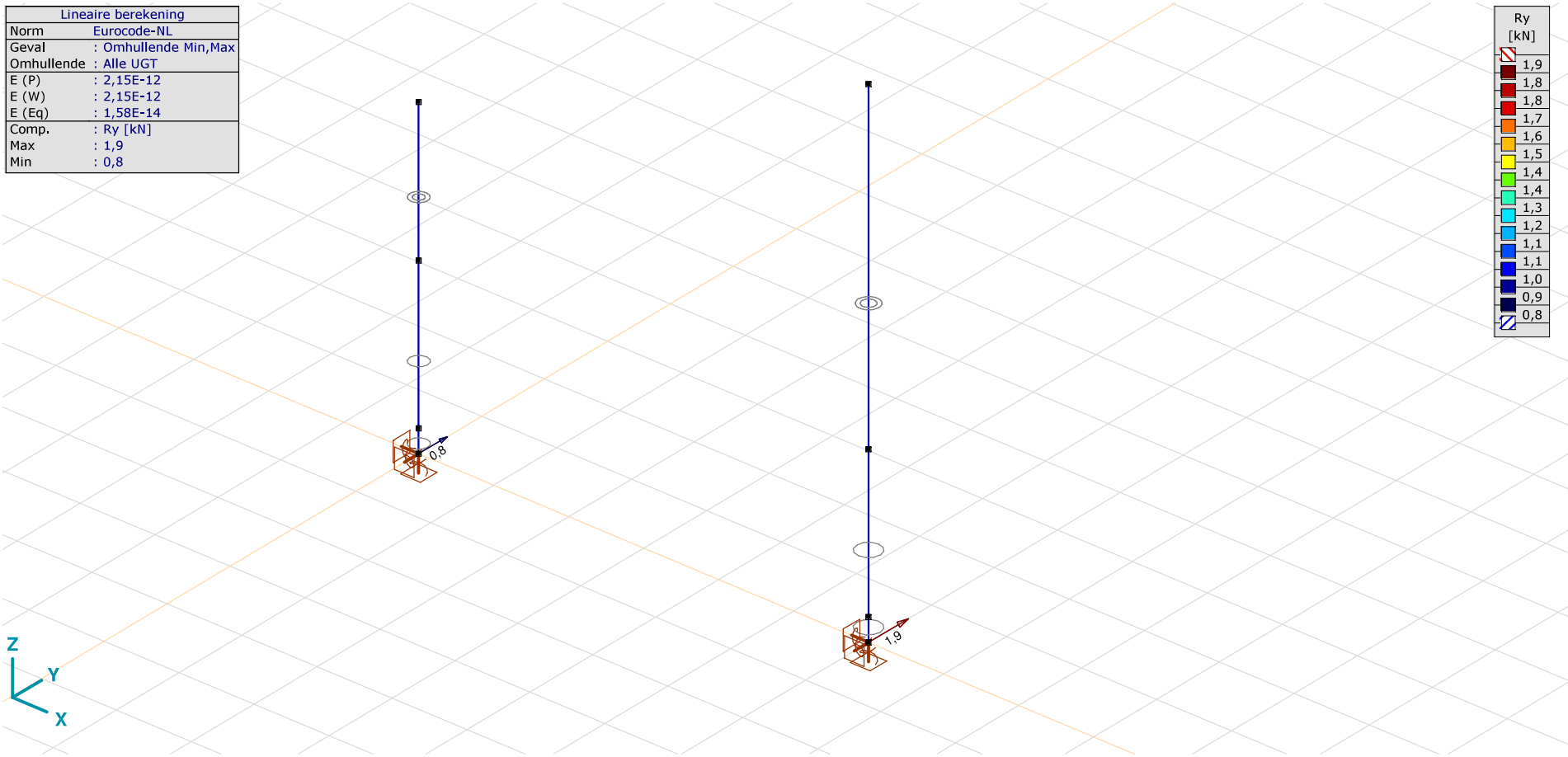

[I], Lineair, Omhullende (Alle UGT), Ry (knoopopl.), Lijnen

Project: ZW-Oost

Constructeur: DNV GL - Energy

Model: **Constructie OSA v2 met totaalreactie.axs** 5-11-2021 Pag. 5

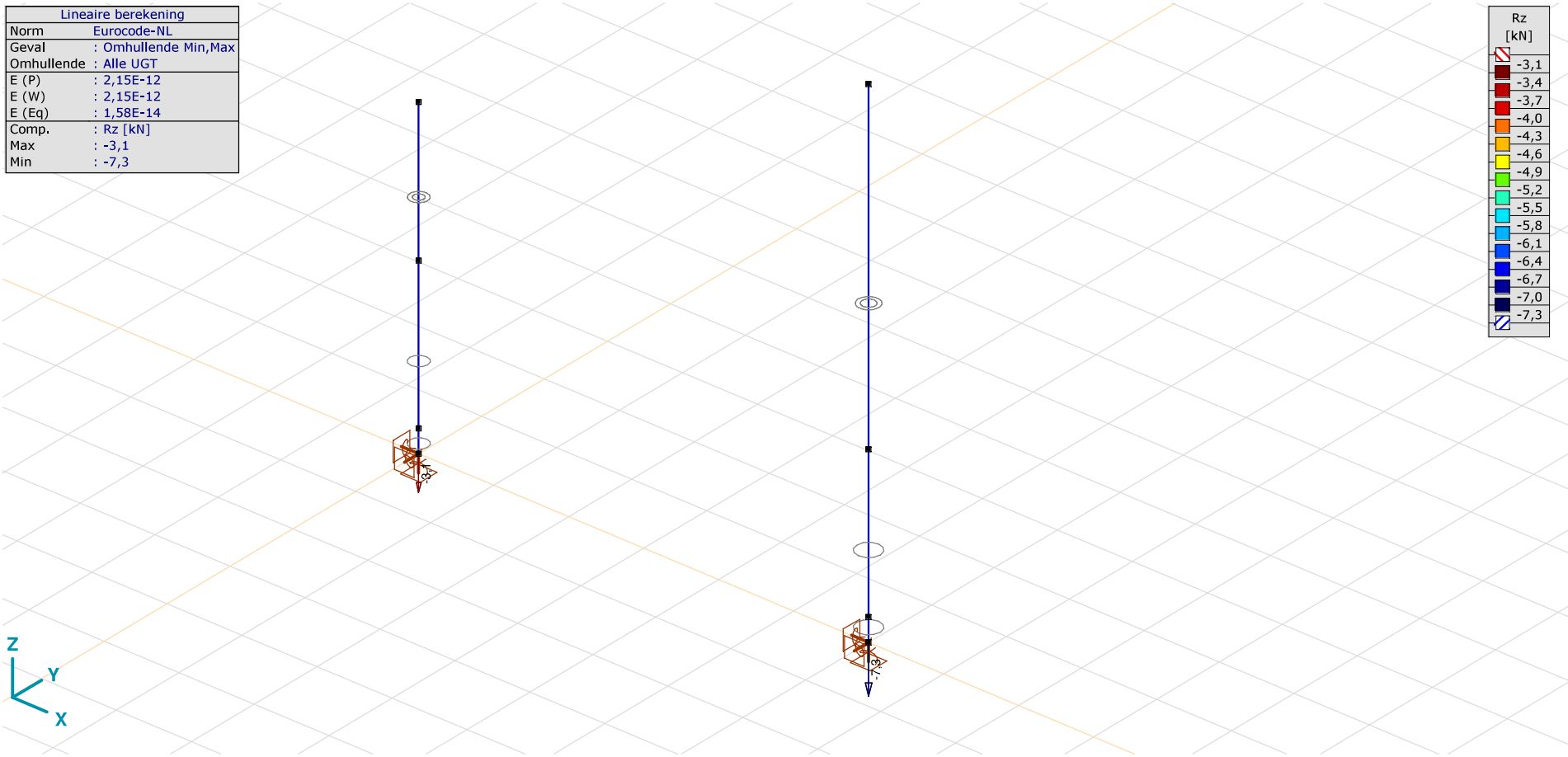

[I], Lineair, Omhullende (Alle UGT), Rz (knoopopl.), Lijnen

Project: ZW-Oost

Constructeur: DNV GL - Energy

Model: **Constructie OSA v2 met totaalreactie.axs** 5-11-2021 Pag. 6

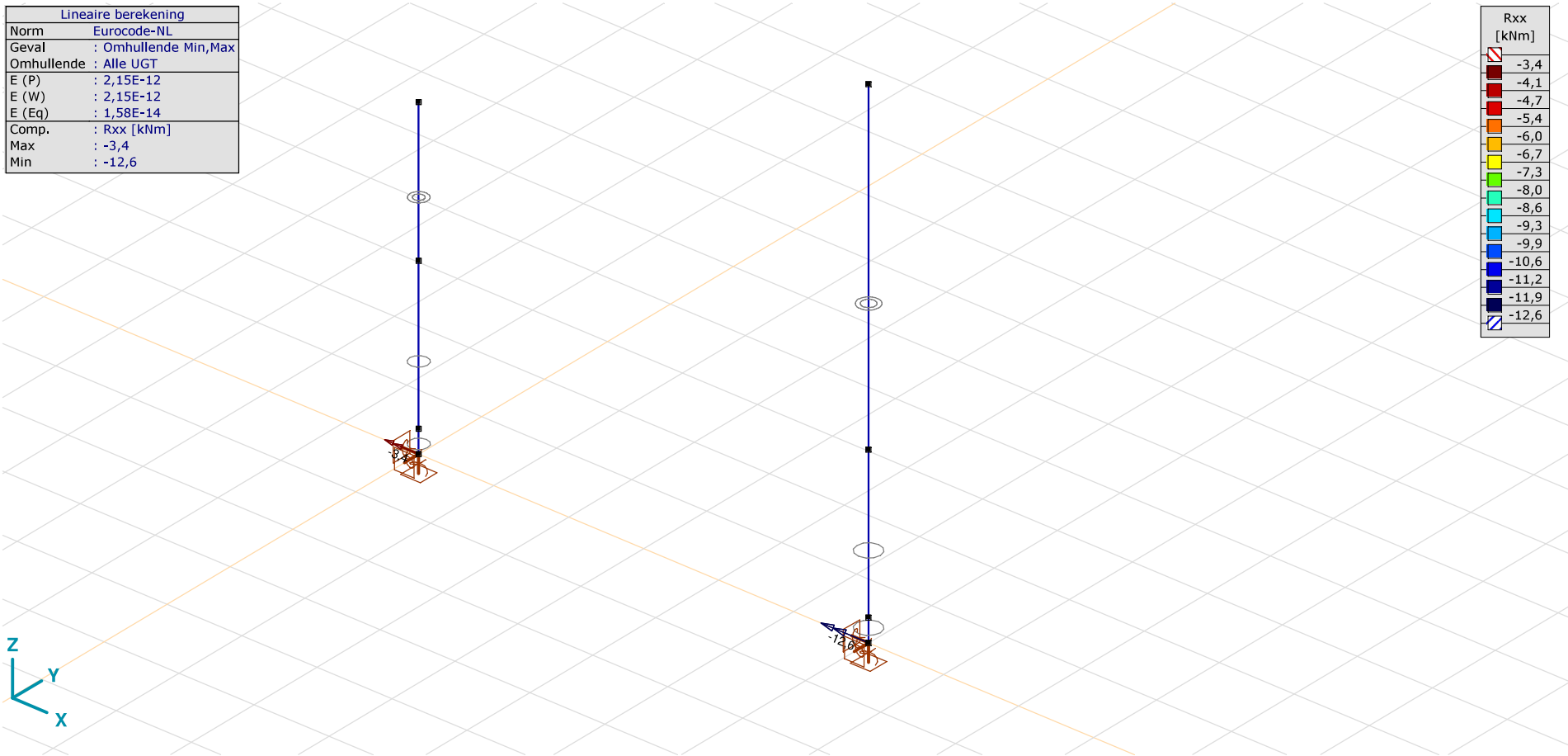

[I], Lineair, Omhullende (Alle UGT), Rxx (knoopopl.), Lijnen

Project: ZW-Oost

Constructeur: DNV GL - Energy

Model: **Constructie OSA v2 met totaalreactie.axs** 5-11-2021 Pag. 7

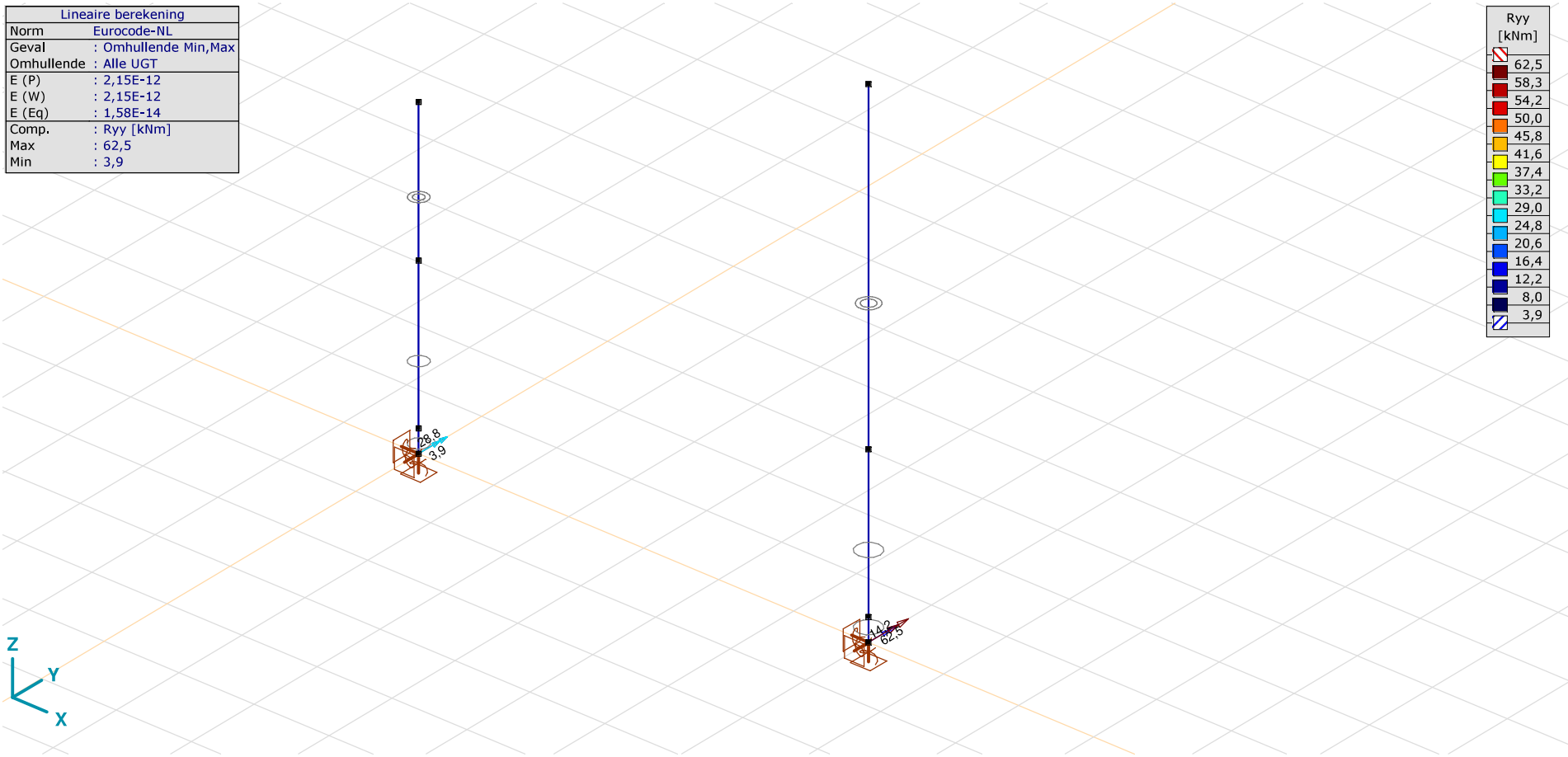

[I], Lineair, Omhullende (Alle UGT), Ryy (knoopopl.), Lijnen

Interne krachten knoopoplegging [Lineair, Omhullende (Alle UGT), OSA 150 kV]

	Knoop	*X [m]*	*Y [m]*	*Z [m]*	*Type*	*C*	*min. max.*	*Geval*	*Rx [kN]*	*Ry [kN]*	*Rz [kN]*	*Rr [kN]*	*Rxx [kNm]*	*Ryy [kNm]*	*Rzz [kNm]*	*Rrr [kNm]*	*αR*
1	1	0	0	0	Glob.	Rx	min	Co #1	**1,8**	0,8	−3,1	3,7	−3,4	3,9	0	5,2	−0,654
							max	Co #2	**7,1**	0,8	−3,1	7,8	−3,4	28,8	0	29,0	−2,344
						Ry	min	Co #1	1,8	**0,8**	−3,1	3,7	−3,4	3,9	0	5,2	−0,654
							max	Co #1	1,8	**0,8**	−3,1	3,7	−3,4	3,9	0	5,2	−0,654
						Rz	min	Co #1	1,8	0,8	**−3,1**	3,7	−3,4	3,9	0	5,2	−0,654
							max	Co #1	1,8	0,8	**−3,1**	3,7	−3,4	3,9	0	5,2	−0,654
						Rxx	min	Co #1	1,8	0,8	−3,1	3,7	**−3,4**	3,9	0	5,2	−0,654
							max	Co #1	1,8	0,8	−3,1	3,7	**−3,4**	3,9	0	5,2	−0,654
						Ryy	min	Co #1	1,8	0,8	−3,1	3,7	−3,4	**3,9**	0	5,2	−0,654
							max	Co #2	7,1	0,8	−3,1	7,8	−3,4	**28,8**	0	29,0	−2,344
						Rzz	min	Co #1	1,8	0,8	−3,1	3,7	−3,4	3,9	**0**	5,2	−0,654
							max	Co #1	1,8	0,8	−3,1	3,7	−3,4	3,9	**0**	5,2	−0,654
						αR	min	Co #2	7,1	0,8	−3,1	7,8	−3,4	28,8	0	29,0	−2,344
							max	Co #1	1,8	0,8	−3,1	3,7	−3,4	3,9	0	5,2	−0,654
Ext.																	
1	1	0	0	0	Glob.	Rx	min	Co #1	**1,8**	0,8	−3,1	3,7	−3,4	3,9	0	5,2	−0,654
1	1	0	0	0	Glob.		max	Co #2	**7,1**	0,8	−3,1	7,8	−3,4	28,8	0	29,0	−2,344
1	1	0	0	0	Glob.	Ry	min	Co #1	1,8	**0,8**	−3,1	3,7	−3,4	3,9	0	5,2	−0,654
1	1	0	0	0	Glob.		max	Co #1	1,8	**0,8**	−3,1	3,7	−3,4	3,9	0	5,2	−0,654
1	1	0	0	0	Glob.	Rz	min	Co #1	1,8	0,8	**−3,1**	3,7	−3,4	3,9	0	5,2	−0,654
1	1	0	0	0	Glob.		max	Co #1	1,8	0,8	**−3,1**	3,7	−3,4	3,9	0	5,2	−0,654
1	1	0	0	0	Glob.	Rxx	min	Co #1	1,8	0,8	−3,1	3,7	**−3,4**	3,9	0	5,2	−0,654
1	1	0	0	0	Glob.		max	Co #1	1,8	0,8	−3,1	3,7	**−3,4**	3,9	0	5,2	−0,654
1	1	0	0	0	Glob.	Ryy	min	Co #1	1,8	0,8	−3,1	3,7	−3,4	**3,9**	0	5,2	−0,654
1	1	0	0	0	Glob.		max	Co #2	7,1	0,8	−3,1	7,8	−3,4	**28,8**	0	29,0	−2,344
1	1	0	0	0	Glob.	Rzz	min	Co #1	1,8	0,8	−3,1	3,7	−3,4	3,9	**0**	5,2	−0,654
1	1	0	0	0	Glob.		max	Co #1	1,8	0,8	−3,1	3,7	−3,4	3,9	**0**	5,2	−0,654
1	1	0	0	0	Glob.	αR	min	Co #2	7,1	0,8	−3,1	7,8	−3,4	28,8	0	29,0	−2,344
1	1	0	0	0	Glob.		max	Co #1	1,8	0,8	−3,1	3,7	−3,4	3,9	0	5,2	−0,654

Knoop: Ondersteunde knoop; **Type:** Opleggingstype; **C:** Extreme component; **min. max.:** Extreme type; **Geval:** Belastinggeval van de extreme; **Rx:** X-component opleggingsreactiekracht; **Ry:** Y-component opleggingsreactiekracht; **Rz:** Z-component opleggingsreactiekracht; **Rr:** Resulterende opleggingsreactiekracht; **Rxx:** X-component opleggingsreactiemoment; **Ryy:** Y-component opleggingsreactiemoment; **Rzz:** Z-component opleggingsreactiemoment; **Rrr:** Resulterend opleggingsreactiemoment; **αR:** Verhouding verticale oplegkracht / horizontale oplegkracht;

Interne krachten knoopoplegging [Lineair, Omhullende (Alle UGT), OSA 380]

	Knoop	*X [m]*	*Y [m]*	*Z [m]*	*Type*	*C*	*min. max.*	*Geval*	*Rx [kN]*	*Ry [kN]*	*Rz [kN]*	*Rr [kN]*	*Rxx [kNm]*	*Ryy [kNm]*	*Rzz [kNm]*	*Rrr [kNm]*	*αR*
2	8	6,000	0	0	Glob.	Rx	min	Co #1	**3,7**	1,9	−7,3	8,4	−12,6	14,2	0	19,0	−0,575
							max	Co #2	**9,8**	1,9	−7,3	12,3	−12,6	62,5	0	63,8	−1,375
						Ry	min	Co #1	3,7	**1,9**	−7,3	8,4	−12,6	14,2	0	19,0	−0,575
							max	Co #1	3,7	**1,9**	−7,3	8,4	−12,6	14,2	0	19,0	−0,575
						Rz	min	Co #1	3,7	1,9	**−7,3**	8,4	−12,6	14,2	0	19,0	−0,575
							max	Co #1	3,7	1,9	**−7,3**	8,4	−12,6	14,2	0	19,0	−0,575
						Rxx	min	Co #1	3,7	1,9	−7,3	8,4	**−12,6**	14,2	0	19,0	−0,575
							max	Co #1	3,7	1,9	−7,3	8,4	**−12,6**	14,2	0	19,0	−0,575
						Ryy	min	Co #1	3,7	1,9	−7,3	8,4	−12,6	**14,2**	0	19,0	−0,575
							max	Co #2	9,8	1,9	−7,3	12,3	−12,6	**62,5**	0	63,8	−1,375
						Rzz	min	Co #1	3,7	1,9	−7,3	8,4	−12,6	14,2	**0**	19,0	−0,575
							max	Co #1	3,7	1,9	−7,3	8,4	−12,6	14,2	**0**	19,0	−0,575
						αR	min	Co #2	9,8	1,9	−7,3	12,3	−12,6	62,5	0	63,8	−1,375
							max	Co #1	3,7	1,9	−7,3	8,4	−12,6	14,2	0	19,0	−0,575
Ext.																	
2	8	6,000	0	0	Glob.	Rx	min	Co #1	**3,7**	1,9	−7,3	8,4	−12,6	14,2	0	19,0	−0,575
2	8	6,000	0	0	Glob.		max	Co #2	**9,8**	1,9	−7,3	12,3	−12,6	62,5	0	63,8	−1,375
2	8	6,000	0	0	Glob.	Ry	min	Co #1	3,7	**1,9**	−7,3	8,4	−12,6	14,2	0	19,0	−0,575
2	8	6,000	0	0	Glob.		max	Co #1	3,7	**1,9**	−7,3	8,4	−12,6	14,2	0	19,0	−0,575
2	8	6,000	0	0	Glob.	Rz	min	Co #1	3,7	1,9	**−7,3**	8,4	−12,6	14,2	0	19,0	−0,575
2	8	6,000	0	0	Glob.		max	Co #1	3,7	1,9	**−7,3**	8,4	−12,6	14,2	0	19,0	−0,575
2	8	6,000	0	0	Glob.	Rxx	min	Co #1	3,7	1,9	−7,3	8,4	**−12,6**	14,2	0	19,0	−0,575
2	8	6,000	0	0	Glob.		max	Co #1	3,7	1,9	−7,3	8,4	**−12,6**	14,2	0	19,0	−0,575
2	8	6,000	0	0	Glob.	Ryy	min	Co #1	3,7	1,9	−7,3	8,4	−12,6	**14,2**	0	19,0	−0,575
2	8	6,000	0	0	Glob.		max	Co #2	9,8	1,9	−7,3	12,3	−12,6	**62,5**	0	63,8	−1,375
2	8	6,000	0	0	Glob.	Rzz	min	Co #1	3,7	1,9	−7,3	8,4	−12,6	14,2	**0**	19,0	−0,575
2	8	6,000	0	0	Glob.		max	Co #1	3,7	1,9	−7,3	8,4	−12,6	14,2	**0**	19,0	−0,575
2	8	6,000	0	0	Glob.	αR	min	Co #2	9,8	1,9	−7,3	12,3	−12,6	62,5	0	63,8	−1,375
2	8	6,000	0	0	Glob.		max	Co #1	3,7	1,9	−7,3	8,4	−12,6	14,2	0	19,0	−0,575

Knoop: Ondersteunde knoop; **Type:** Opleggingstype; **C:** Extreme component; **min. max.:** Extreme type; **Geval:** Belastinggeval van de extreme; **Rx:** X-component opleggingsreactiekracht; **Ry:** Y-component opleggingsreactiekracht; **Rz:** Z-component opleggingsreactiekracht; **Rr:** Resulterende opleggingsreactiekracht; **Rxx:** X-component opleggingsreactiemoment; **Ryy:** Y-component opleggingsreactiemoment; **Rzz:** Z-component opleggingsreactiemoment; **Rrr:** Resulterend opleggingsreactiemoment; **αR:** Verhouding verticale oplegkracht / horizontale oplegkracht;

DNV

Assessment of angle groups

Date 4-11-2021
Author TBR
Version 1,0

RLL-TLB
Vakwerkkolom 2,5 m KES 150 kV

Group Label	Description	Type	Profile	Steel Quali	Bolts	#sh.pl	e1	e2	p1	RLX	RLY	RLZ	Slenderness	Compression	Load Case (Compres	Buckling	Shear (Comp)	aring (Comp)	U.C. (Comp)	Tension	Load Case (Tension)	Net Section	ear (Tens)	aring (Tens)	U.C. (Tens)
100A	leg	EA	80x80x8	S355		1				1.00	1.00	1.00	46	**-31.6**	ULS 8_45	378.0	0.0	0.0	0.08	**29.2**	ULS 8_45	436.7	0.0	0.0	0.07
100B	leg	EA	80x80x8	S355		1				1.20	2.40	1.20	71	**-27.8**	ULS 8_90	307.3	0.0	0.0	0.09	**23.7**	ULS 8_45	436.7	0.0	0.0	0.05
100C	leg	EA	80x80x8	S355		1				1.00	1.00	1.00	22	**-19.1**	ULS 8_45	426.5	0.0	0.0	0.04	**13.6**	ULS 8_45	436.7	0.0	0.0	0.03
203	diagonal front bracing	EA	50x50x5	S355	1M16-8.8t	1	30	25		1.00	1.00	1.00	100	**-4.6**	ULS 8_90	60.5	60.3	58.8	0.08	**5.3**	ULS 8_90	62.7	60.3	0.0	0.09
202	diagonal front bracing	EA	50x50x5	S355	1M16-8.8t	1	30	25		1.00	1.00	1.00	100	**-4.4**	ULS 8_90	60.5	60.3	58.8	0.08	**3.4**	ULS 8_90	62.7	60.3	0.0	0.06
201	diagonal front bracing	EA	50x50x5	S355	1M16-8.8t	1	30	25		1.00	1.00	1.00	100	**-4.0**	ULS 8_90	60.5	60.3	58.8	0.07	**4.5**	ULS 8_90	62.7	60.3	0.0	0.08
301	diagonal side bracing	EA	50x50x5	S355	1M16-8.8t	1	30	25		1.00	1.00	1.00	100	**-3.6**	ULS 8_0	75.6	60.3	58.8	0.06	**0.4**	ULS 1a_90	62.7	60.3	0.0	0.01
302	diagonal side bracing	EA	50x50x5	S355	1M16-8.8t	1	30	25		1.00	1.00	1.00	100	**-4.7**	ULS 8_0	60.5	60.3	58.8	0.08	**4.5**	ULS 8_0	62.7	60.3	0.0	0.08
303	diagonal side bracing	EA	50x50x5	S355	1M16-8.8t	1	30	25		1.00	1.00	1.00	100	**-4.8**	ULS 8_0	60.5	60.3	58.8	0.08	**3.6**	ULS 8_0	62.7	60.3	0.0	0.06
1	upper plate	EA	90x90x13	S355		1				1.00	2.00	1.00	34	**-6.1**	ULS 8_45	601.0	0.0	0.0	0.01	**3.9**	ULS 8_45	775.3	0.0	0.0	0.01
400	horizontal side bracing	UNP	UNP180	S355	2M16-8.8t	1	30	35	55	1.00	1.00	1.00	32	**-0.3**	ULS 8_45	449.1	120.6	188.2	0.00	**1.8**	ULS 8_0	411.4	188.2	177.0	0.01
600	horizontal side bracing	UNP	UNP180	S355	2M16-8.8t	1	30	35	55	1.00	1.00	1.00	32	**-3.2**	ULS 8_45	449.1	120.6	188.2	0.03	**4.9**	ULS 8_90	485.9	120.6	180.1	0.04

DNV

Assessment of angle groups

Date 4-11-2021
Author TBR
Version 1,0

RLL-TLB
Vakwerkkolom 2,5 m KES 380 kV

Group Label	Description	Type	Profile	Steel Quali	Bolts	#sh.pl	e1	e2	p1	RLX	RLY	RLZ	Slenderness	Compression	Load Case (Compres	Buckling	Shear (Comp)	aring (Comp)	U.C. (Comp)	Tension	Load Case (Tension)	Net Section	ear (Tens)	aring (Tens)	U.C. (Tens)
100A	leg	EA	80x80x8	S355		1				1.00	1.00	1.00	46	**-65.5**	ULS 8_45	378.0	0.0	0.0	0.17	**59.5**	ULS 8_45	436.7	0.0	0.0	0.14
100B	leg	EA	80x80x8	S355		1				1.20	2.40	1.20	71	**-60.2**	ULS 8_45	307.3	0.0	0.0	0.20	**51.7**	ULS 8_45	436.7	0.0	0.0	0.12
100C	leg	EA	80x80x8	S355		1				1.00	1.00	1.00	22	**-47.6**	ULS 8_45	426.5	0.0	0.0	0.11	**36.9**	ULS 8_45	436.7	0.0	0.0	0.08
203	diagonal front bracing	EA	50x50x5	S355	1M16-8.8t	1	30	25		1.00	1.00	1.00	100	**-7.2**	ULS 8_90	60.5	60.3	58.8	0.12	**7.9**	ULS 8_90	62.7	60.3	0.0	0.13
202	diagonal front bracing	EA	50x50x5	S355	1M16-8.8t	1	30	25		1.00	1.00	1.00	100	**-6.5**	ULS 8_90	60.5	60.3	58.8	0.11	**6.2**	ULS 1a_90	62.7	60.3	0.0	0.11
201	diagonal front bracing	EA	50x50x5	S355	1M16-8.8t	1	30	25		1.00	1.00	1.00	100	**-6.5**	ULS 1a_90	60.5	60.3	58.8	0.11	**6.7**	ULS 8_90	62.7	60.3	0.0	0.11
301	diagonal side bracing	EA	50x50x5	S355	1M16-8.8t	1	30	25		1.00	1.00	1.00	100	**-5.8**	ULS 1a_0	75.6	60.3	58.8	0.10	**1.1**	ULS 1a_90	62.7	60.3	0.0	0.02
302	diagonal side bracing	EA	50x50x5	S355	1M16-8.8t	1	30	25		1.00	1.00	1.00	100	**-7.1**	ULS 8_0	60.5	60.3	58.8	0.12	**6.6**	ULS 8_0	62.7	60.3	0.0	0.11
303	diagonal side bracing	EA	50x50x5	S355	1M16-8.8t	1	30	25		1.00	1.00	1.00	100	**-7.0**	ULS 8_0	60.5	60.3	58.8	0.12	**5.3**	ULS 8_0	62.7	60.3	0.0	0.09
1	upper plate	EA	90x90x13	S355		1				1.00	2.00	1.00	34	**-12.6**	ULS 8_45	601.0	0.0	0.0	0.02	**7.9**	ULS 8_45	775.3	0.0	0.0	0.01
400	horizontal side bracing	UNP	UNP180	S355	2M16-8.8t	1	55	35	100	1.00	1.00	1.00	32	**-0.5**	ULS 8_45	449.1	120.6	188.2	0.00	**2.7**	ULS 8_0	663.9	188.2	235.2	0.01
600	horizontal side bracing	UNP	UNP180	S355	2M16-8.8t	1	55	35	100	1.00	1.00	1.00	32	**-6.2**	ULS 8_45	449.1	120.6	188.2	0.05	**9.7**	ULS 8_45	728.8	120.6	188.2	0.08

DNV

Assessment of angle groups

Date 4-11-2021
Author TBR
Version 1,0

RLL-TLB
Vakwerkkolom 7,5 m

Group Label	Description	Type	Profile	Steel Quali	Bolts	#sh.pl	e1	e2	p1	RLX	RLY	RLZ	Slenderness	Compression	Load Case (Compres	Buckling	Shear (Comp)	aring (Comp)	U.C. (Comp)	Tension	Load Case (Tension)	Net Section	ear (Tens)	aring (Tens)	U.C. (Tens)
100E	leg	EA	100x100x10	S355	1M20-8.8t	1	45	30		11.25	11.25	1.20	59	**-16.1**	ULS 8	481.7	94.1	147.0	0.17	**0.0**		681.6	0.0	0.0	0.00
100A	leg	EA	100x100x10	S355		1				2.40	2.40	1.20	118	**-141.2**	ULS 8	238.3	0.0	0.0	0.59	**165.0**	ULS 8	681.6	0.0	0.0	0.24
100B	leg	EA	100x100x10	S355		1				2.40	2.40	1.20	118	**-89.7**	ULS 8	238.3	0.0	0.0	0.38	**106.3**	ULS 8	681.6	0.0	0.0	0.16
100C	leg	EA	100x100x10	S355						11.25	11.25	1.20	59	**-1.0**	SLS 1a_0	481.7	0.0	0.0	0.00	**30.6**	ULS 8	681.6	0.0	0.0	0.04
201	diagonal front bracing	EA	60x60x6	S355	1M16-8.8t	1	35	30		1.00	1.00	1.00	178	**-7.6**	ULS 8	41.9	60.3	70.6	0.18	**7.3**	ULS 1a_0,9_0,9_75	98.8	60.3	0.0	0.12
202	diagonal front bracing	EA	60x60x6	S355	1M16-8.8t	1	35	30		1.00	1.00	1.00	178	**-6.3**	ULS 1a_0,9_0,9_75	41.9	60.3	70.6	0.15	**7.5**	ULS 8	98.8	60.3	0.0	0.12
203	diagonal front bracing	EA	60x60x6	S355	1M16-8.8t	1	35	30		1.00	1.00	1.00	178	**-7.4**	ULS 8	41.9	60.3	70.6	0.18	**5.2**	ULS 1a_0,9_0,9_75	98.8	60.3	0.0	0.09
204	diagonal front bracing	EA	60x60x6	S355	1M16-8.8t	1	35	30		1.00	1.00	1.00	178	**-4.1**	ULS 1a_0,9_0,9_75	41.9	60.3	70.6	0.10	**7.1**	ULS 8	98.8	60.3	0.0	0.12
205	diagonal front bracing	EA	60x60x6	S355	1M16-8.8t	1	35	30		1.00	1.00	1.00	168	**-7.8**	ULS 8	45.4	60.3	70.6	0.17	**2.5**	ULS 1a_0,9_0,9_75	98.8	60.3	0.0	0.04
301	diagonal side bracing	EA	80x80x8	S355	1M24-8.8t	1	50	40		1.00	1.00	1.00	133	**-44.5**	ULS 8	110.9	135.6	141.1	0.40	**39.3**	ULS 8	169.3	135.6	0.0	0.29
302	diagonal side bracing	EA	80x80x8	S355	1M24-8.8t	1	50	40		1.00	1.00	1.00	133	**-39.9**	ULS 8	110.9	135.6	141.1	0.36	**44.9**	ULS 8	169.3	135.6	0.0	0.33
303	diagonal side bracing	EA	80x80x8	S355	1M24-8.8t	1	50	40		1.00	1.00	1.00	133	**-45.2**	ULS 8	110.9	135.6	141.1	0.41	**40.0**	ULS 8	169.3	135.6	0.0	0.30
304	diagonal side bracing	EA	80x80x8	S355	1M24-8.8t	1	50	40		1.00	1.00	1.00	133	**-39.6**	ULS 8	110.9	135.6	141.1	0.36	**44.9**	ULS 8	169.3	135.6	0.0	0.33
305	diagonal side bracing	EA	80x80x8	S355	1M24-8.8t	1	50	40		1.00	1.00	1.00	133	**-43.7**	ULS 8	110.9	135.6	141.1	0.39	**39.2**	ULS 8	169.3	135.6	0.0	0.29
400	horizontal front top	EA	80x80x8	S355	1M20-8.8t	1	45	30		2.00	2.00	2.00	92	**-23.7**	ULS 8	209.9	94.1	117.6	0.25	**29.1**	ULS 8	119.2	94.1	0.0	0.31
401	horizontal side top	EA	80x80x8	S355	1M20-8.8t	1	45	40		2.00	2.00	2.00	92	**-2.1**	ULS 8	167.9	94.1	117.6	0.02	**0.0**		181.9	94.1	0.0	0.00
402	vertical bracing	EA	100x100x10	S355	1M20-8.8t	1	45	40		1.00	1.00	1.00	8	**0.0**	ULS 1a_75	448.6	94.1	147.0	0.00	**0.0**	ULS 8	227.4	94.1	0.0	0.00
403	horizontal side top	EA	80x80x8	S355		1				1.00	1.00	1.00	46	**-0.1**	ULS 8	323.6	0.0	0.0	0.00	**1.1**	ULS 1a_105	436.7	0.0	0.0	0.00
410	horizontal side top	EA	120x120x12	S355	1M20-8.8t	1	45	30		2.00	2.00	2.00	61	**-35.8**	ULS 8	574.7	94.1	176.4	0.38	**38.6**	ULS 8	366.9	94.1	0.0	0.41
420	plan bracing	EA	60x60x6	S355	2M16-8.8t	1	35	30	55	1.00	1.00	1.00	87	**-18.3**	ULS 8	99.5	120.6	141.1	0.18	**18.9**	ULS 8	106.5	120.6	135.4	0.18
421	plan bracing	EA	80x80x8	S355	2M20-8.8t	1	45	40	70	1.00	2.00	1.00	59	**-0.2**	SLS 1a_0	276.7	188.2	235.2	0.00	**17.1**	ULS 8	199.1	188.2	234.0	0.09
422	plan bracing	EA	80x80x8	S355	2M20-8.8t					1.00	2.00	1.00	59	**0.0**		276.7	188.2	235.2	0.00	**7.8**	ULS 8	199.1	188.2	234.0	0.04
601	Horizontal at foundation	EA	80x80x8	S355	1M24-8.8t	1	45	40		1.00	1.00	1.00	92	**0.0**		167.9	135.6	141.1	0.00	**0.0**	ULS 1a_0	169.3	135.6	0.0	0.00

DNV

Assessment of angle groups

Date 4-11-2021
Author TBR
Version 1,0

RLL-TLB
Vakwerkkolom 15 m

Group Label	Description	Type	Profile	Steel Quali	Bolts	#sh.pl	e1	e2	p1	RLX	RLY	RLZ	Slenderness	Compression	Load Case (Compres	Buckling	Shear (Comp)	aring (Comp)	U.C. (Comp)	Tension	Load Case (Tension)	Net Section	ear (Tens)	aring (Tens)	U.C. (Tens)
101A	leg	EA	120x120x12	S355		1				2.40	2.40	1.20	99	**-247.8**	ULS 1a_135	467.2	0.0	0.0	0.53	**259.0**	ULS 1a_0_9_135	976.3	0.0	0.0	0.27
101B	leg	EA	120x120x12	S355		1				1.00	1.00	1.00	64	**-224.9**	ULS 1a_135	735.8	0.0	0.0	0.31	**242.5**	ULS 1a_0_9_135	976.3	0.0	0.0	0.25
101C	leg	EA	120x120x12	S355	6M24-8.8t	1	55	45	80	1.20	11.25	1.20	49	**-74.6**	ULS 3_135	826.4	813.3	1270.1	0.09	**81.7**	ULS 3_0_9_135	750.1	813.3	0.0	0.11
102A	leg	EA	90x90x9	S355	6M20-8.8t	1	55	45	80	1.20	1.20	1.20	102	**-44.3**	ULS 1a_135	246.8	564.5	793.8	0.18	**42.9**	ULS 1a_0_9_135	403.3	564.5	0.0	0.11
102B	leg	EA	90x90x9	S355		1				2.40	2.40	1.20	132	**-34.1**	ULS 3_135	155.2	0.0	0.0	0.22	**37.3**	ULS 3_0_9_135	546.3	0.0	0.0	0.07
102C	leg	EA	90x90x9	S355	2M22-8.8t	1	45	30		1.20	11.25	1.20	66	**-6.6**	ULS 3_135	403.6	232.7	291.1	0.03	**7.7**	ULS 3_0_9_135	403.3	188.2	0.0	0.04
201	diagonal front bracing	EA	60x60x6	S355	1M16-8.8t	1	35	30		1.00	1.00	1.00	178	**-14.5**	ULS 1a_75	41.9	60.3	70.6	0.35	**18.6**	ULS 1a_0_9_105	98.8	60.3	0.0	0.31
202	diagonal front bracing	EA	60x60x6	S355	1M16-8.8t	1	35	30		1.00	1.00	1.00	178	**-18.8**	ULS 1a_105	41.9	60.3	70.6	0.45	**14.6**	ULS 1a_105	98.8	60.3	0.0	0.24
203	diagonal front bracing	EA	60x60x6	S355	1M16-8.8t	1	35	30		1.00	1.00	1.00	178	**-13.7**	ULS 1a_0_9_105	41.9	60.3	70.6	0.33	**18.1**	ULS 1a_105	98.8	60.3	0.0	0.30
204	diagonal front bracing	EA	60x60x6	S355	1M16-8.8t	1	35	30		1.00	1.00	1.00	178	**-17.1**	ULS 1a_0_9_105	41.9	60.3	70.6	0.41	**12.3**	ULS 1a_105	98.8	60.3	0.0	0.20
205	diagonal front bracing	EA	60x60x6	S355	1M16-8.8t	1	35	30		1.00	1.00	1.00	178	**-10.9**	ULS 1a_75	41.9	60.3	70.6	0.26	**14.4**	ULS 1a_90	98.8	60.3	0.0	0.24
206	diagonal front bracing	EA	60x60x6	S355	1M16-8.8t	1	35	30		1.00	1.00	1.00	178	**-4.7**	ULS 1a_75	41.9	60.3	70.6	0.11	**5.2**	ULS 1a_0_9_75	98.8	60.3	0.0	0.09
207	diagonal front bracing	EA	60x60x6	S355	1M16-8.8t	1	35	30		1.00	1.00	1.00	178	**-4.4**	ULS 1a_75	41.9	60.3	70.6	0.11	**4.2**	ULS 1a_0_9_75	98.8	60.3	0.0	0.07
208	diagonal front bracing	EA	60x60x6	S355	1M16-8.8t	1	35	30		1.00	1.00	1.00	178	**-3.2**	ULS 1a_75	41.9	60.3	70.6	0.08	**3.5**	ULS 1a_75	98.8	60.3	0.0	0.06
209	diagonal front bracing	EA	60x60x6	S355	1M16-8.8t	1	35	30		1.00	1.00	1.00	178	**-2.5**	ULS 1a_0_9_75	41.9	60.3	70.6	0.06	**2.1**	ULS 1a_75	98.8	60.3	0.0	0.03
210	diagonal front bracing	EA	60x60x6	S355	1M16-8.8t	1	35	30		1.00	1.00	1.00	178	**-1.3**	ULS 1a_0_9_75	41.9	60.3	70.6	0.03	**1.5**	ULS 3_135	98.8	60.3	0.0	0.03
301	diagonal side bracing	EA	80x80x8	S355	1M24-8.8t	1	45	40		1.00	1.00	1.00	133	**-59.0**	ULS 1a_135	110.9	135.6	141.1	0.53	**62.7**	ULS 1a_0_9_135	169.3	135.6	0.0	0.46
302	diagonal side bracing	EA	80x80x8	S355	1M24-8.8t	1	45	40		1.00	1.00	1.00	133	**-63.0**	ULS 1a_135	110.9	135.6	141.1	0.57	**58.8**	ULS 1a_135	169.3	135.6	0.0	0.43
303	diagonal side bracing	EA	80x80x8	S355	1M24-8.8t	1	45	40		1.00	1.00	1.00	133	**-58.7**	ULS 1a_135	110.9	135.6	141.1	0.53	**62.3**	ULS 1a_135	169.3	135.6	0.0	0.46
304	diagonal side bracing	EA	80x80x8	S355	1M24-8.8t	1	45	40		1.00	1.00	1.00	133	**-60.9**	ULS 1a_135	110.9	135.6	141.1	0.55	**57.3**	ULS 1a_135	169.3	135.6	0.0	0.42
305	diagonal side bracing	EA	80x80x8	S355	1M24-8.8t	1	45	40		1.00	1.00	1.00	133	**-55.1**	ULS 1a_135	110.9	135.6	141.1	0.50	**58.8**	ULS 1a_135	169.3	135.6	0.0	0.43
306	diagonal side bracing	EA	60x60x6	S355	1M16-8.8t	1	35	30		1.00	1.00	1.00	178	**-12.6**	ULS 3_135	41.9	60.3	70.6	0.30	**14.0**	ULS 3_0_9_135	98.8	60.3	0.0	0.23
307	diagonal side bracing	EA	60x60x6	S355	1M16-8.8t	1	35	30		1.00	1.00	1.00	178	**-14.0**	ULS 3_135	41.9	60.3	70.6	0.33	**12.5**	ULS 3_135	98.8	60.3	0.0	0.21
308	diagonal side bracing	EA	60x60x6	S355	1M16-8.8t	1	35	30		1.00	1.00	1.00	178	**-12.4**	ULS 3_135	41.9	60.3	70.6	0.30	**13.8**	ULS 3_135	98.8	60.3	0.0	0.23
309	diagonal side bracing	EA	60x60x6	S355	1M16-8.8t	1	35	30		1.00	1.00	1.00	178	**-13.4**	ULS 3_0_9_135	41.9	60.3	70.6	0.32	**12.1**	ULS 3_135	98.8	60.3	0.0	0.20
310	diagonal side bracing	EA	60x60x6	S355	1M16-8.8t	1	35	30		1.00	1.00	1.00	178	**-11.5**	ULS 3_0_9_135	41.9	60.3	70.6	0.28	**13.0**	ULS 3_135	98.8	60.3	0.0	0.22
613	horizontal side bracing (Insu. 14.84)	EA	80x80x8	S355	1M20-8.8t	1	45	40		2.00	2.00	2.00	92	**-8.1**	ULS 3_135	188.9	94.1	117.6	0.09	**7.2**	ULS 3_0_9_135	181.9	94.1	0.0	0.08
603	horizontal front bracing (Insu. 14.84)	EA	80x80x8	S355	2M20-8.8t	1	45	40	70	1.00	2.00	1.00	59	**0.0**		249.1	188.2	235.2	0.00	**5.4**	ULS 3_135	199.1	188.2	234.0	0.03
601	Horizontal at foundation	EA	80x80x8	S355	1M24-8.8t	1	45	40		1.00	1.00	1.00	92	**0.0**		167.9	135.6	141.1	0.00	**0.0**	ULS 1a_0	169.3	135.6	0.0	0.00
630		EA	100x100x10	S355	1M20-8.8t	1	55	50		2.00	2.00	2.00	8	**-5.9**	ULS 3_0_9_135	556.1	94.1	147.0	0.06	**6.3**	ULS 3_0_9_135	305.8	94.1	0.0	0.07
611	horizontal side bracing (Insu. 14.84)	EA	100x100x10	S355	1M20-8.8t	1	45	40		2.00	2.00	2.00	74	**-10.3**	ULS 3_0_9_135	356.1	94.1	147.0	0.11	**9.6**	ULS 3_0_9_135	227.4	94.1	0.0	0.10
620	plan bracing top	EA	50x50x5	S355	1M16-8.8t	1	35	25		1.00	1.00	1.00	105	**-5.2**	ULS 3_135	71.8	60.3	58.8	0.09	**5.3**	ULS 3_0_9_135	62.7	60.3	0.0	0.09
420	plan bracing middle	EA	60x60x6	S355	1M20-8.8t	1	45	30		1.00	1.00	1.00	87	**-17.9**	ULS 1a_135	124.4	94.1	88.2	0.20	**17.7**	8 (Shortcircuit loading)	106.5	120.6	135.4	0.17
401	horizontal side bracing (Insu. 7.34)	EA	120x120x12	S355	1M20-8.8t	1	45	40		2.00	2.00	2.00	14	**-45.7**	ULS 1a_135	784.5	94.1	176.4	0.49	**38.7**	8 (Shortcircuit loading)	366.9	94.1	0.0	0.41
403	horizontal side bracing (Insu. 7.34)	EA	120x120x12	S355	1M20-8.8t	1	45	40		2.00	2.00	2.00	61	**-1.9**	ULS 8 (Shortcircuit loa	574.7	94.1	176.4	0.02	**1.7**	ULS 1a_0_9_0_9_75	272.8	94.1	0.0	0.02
402	horizontal front bracing (Insu. 7.34)	EA	80x80x8	S355	1M20-8.8t	1	45	40		2.00	2.00	2.00	92	**-28.0**	ULS 1a_135	188.9	94.1	117.6	0.30	**27.4**	8 (Shortcircuit loading)	194.4	60.3	0.0	0.45
413	horizontal front bracing (Insu. 7.34)	EA	120x120x12	S355	1M20-8.8t	1	45	40		2.00	2.00	2.00	61	**-0.6**	ULS 1a_0_9_0_9_105	574.7	94.1	176.4	0.01	**1.3**	ULS 1a_105	272.8	94.1	0.0	0.01
430		EA	100x100x10	S355	1M20-8.8t	1	55	50		2.00	2.00	2.00	8	**-24.9**	ULS 8 (Shortcircuit loa	556.1	94.1	147.0	0.26	**26.2**	8 (Shortcircuit loading)	305.8	94.1	0.0	0.28
411	horizontal side bracing (Insu. 7.34)	EA	120x120x12	S355	1M20-8.8t	1	55	50		2.00	2.00	2.00	61	**-35.6**	ULS 8 (Shortcircuit loa	574.7	94.1	176.4	0.38	**0.0**		366.9	94.1	0.0	0.00
621	plan bracing top	EA	80x80x8	S355	2M20-8.8t	1	45	40	70	1.00	2.00	1.00	59	**-0.4**	ULS 6b_0	249.1	188.2	235.2	0.00	**4.3**	ULS 3_0_9_135	199.1	188.2	234.0	0.02
421	plan bracing middle	EA	80x80x8	S355	2M20-8.8t	1	45	40	70	1.00	2.00	1.00	59	**0.0**		249.1	188.2	235.2	0.00	**16.7**	8 (Shortcircuit loading)	199.1	188.2	234.0	0.09
450	attachment plate	EA	200x200x16	S355	2M20-8.8t	1	55	55	55	1.00	1.00	1.00	4	**-0.3**	ULS 8 (Shortcircuit loa	1465.8	188.2	470.4	0.00	**0.0**		2056.1	188.2	0.0	0.00
650	attachment plate	EA	200x200x16	S355	2M20-8.8t	1	55	55	55	1.00	1.00	1.00	4	**-0.1**	ULS 3_135	1465.8	188.2	470.4	0.00	**0.0**		2056.1	188.2	0.0	0.00

Bladnr:
Datum: 04-11-21
Versie: 2.2

Onderdeel:	**Ankers 150 kV componenten**	***Toetsingen***	
		Ankerbout op trek	0,46 ***OK***
		Ankerbout op afschuiving	0,05 ***OK***
		Ankerplaat	0,26 ***OK***

Invoer

Ankerdiameter		**M24**	
Ankerkwaliteit		**8.8**	
Draad		Gerold	
Ankerlengte	l =	500	mm
Anker boven beton	a =	150	mm

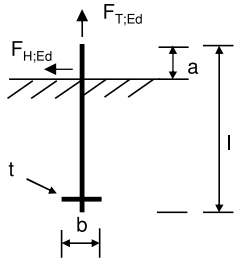

Belasting op ankergroep

T: de uitwendige trekkracht op de anker groep.

Trekbelasting	T =	**52**	kN
Schuifkracht	$F_{H,Ed}$ =	**3**	kN
Aantal (n) ankers voor trek		1	
Aantal ankers voor afschuiving		1	
$F_{T;Ed} = T / n$ =		52,0	kN
$F_{v;Ed} = F_{H,Ed} / n$ =		3,0	kN

Ankergegevens

d_b =	24	mm
$A_{b;s}$ =	353	mm^2
f_{yb} =	640	N/mm^2
f_{ub} =	800	N/mm^2
γ_{Mb}	1,25	-
$\alpha_{red;2}$	1,00	-
$\alpha_b = 0,44 - 0,0003 f_{yb}$ =	0,25	-

Capaciteit per anker

$F_{T;Rd} = 0,9\alpha_{red;2} f_{ub} A_s / \gamma_{M2}$ =	**203,3**	kN
$F_{v;Rd} = \alpha_b f_{ub} A_s / \gamma_{Mb}$ =	**56,0**	kN

Capaciteit ankerplaat

Betonkwaliteit	**C30/37**	
f_{ck} =	30	N/mm^2

Idieële belasting

$N_{di} = \sqrt{(F_{T,Ed}^2 + 3F_{v,Ed}^2)}$ = 52 kN

Ankerplaat

Afmeting ankerplaat	a =	**80**	mm
Dikte	t_{pl} =	**15**	mm
Overhoekse maat	d_m =	40	mm

Capaciteit ankerplaat:

$A_h = \pi/4 ((d_m+2t)^2 - d^2)$ =	3396	mm^2
Beton	Gescheurd	
$\psi_{ucr,N}$ =	1,0	-
$N_{Rd,p} = 5A_h f_{ck} \psi_{ucr,N} / \gamma_{Mc}$ =	340	kN

Voetplaat

$F_{t,Rd}$: de trekkracht in de ankers waarbij de voetplaat vloeit.

Staalsoort		**S355**	
Dikte	t =	30	mm
Breedte	b_{ef} =	100	mm
Hefboomsarm	m =	70	mm
$M_{pl,Rd} = 1/4 b_{ef} t_p^2 f_{yd}$ =		7,99	kNm
$F_{t,Rd} = M_{pl,Rd} / m$ =		114,1	kN

Toets plasticiteit

$$\frac{1,25F_{T,Rd}}{N_{Rd,p}} = \frac{1,25 \times 203,3}{339,6} = 0,60$$

$$\frac{F_{T,Ed}}{N_{Rd,p}} = \frac{52,0}{339,6} = 0,15$$

of:

$$\frac{1,7N_{di}}{N_{Rd,p}} = \frac{88,8}{339,6} = 0,26 \quad \textit{OK}$$

Sterkte voetplaat

$$\frac{F_{T,Ed}}{F_{t;Rd}} = \frac{52,0}{114,1} = 0,46 \quad \textit{OK}$$

Toets trek op anker

$$\frac{F_{T,Ed}}{F_{T;Rd}} = \frac{52,0}{203,3} = 0,26 \quad \textit{OK}$$

Toets trek op voetplaat

$$\frac{T}{n \times F_{t;Rd}} = \frac{52,0}{114,1} = 0,46 \quad \textit{OK}$$

Toets afschuiving anker

$$\frac{F_{v,Ed}}{F_{v;Rd}} = \frac{3,0}{56,0} = 0,05 \quad \textit{OK}$$

Bladnr:
Datum: 04-11-21
Versie: 2.2

Onderdeel:	**Ankers 15 m vakwerk**	***Toetsingen***		
		Ankerbout op trek	0,30	***OK***
		Ankerbout op afschuiving	0,06	***OK***
		Ankerplaat	0,31	***OK***

Invoer

Ankerdiameter		**M30**	
Ankerkwaliteit		**8.8**	
Draad		Gerold	
Ankerlengte	l =	1000	mm
Anker boven beton	a =	150	mm

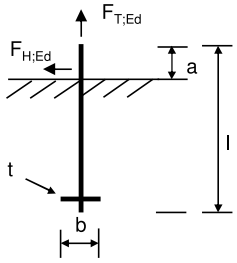

Belasting op ankergroep

T: de uitwendige trekkracht op de anker groep.

Trekbelasting	T =	**290**	kN
Schuifkracht	$F_{H,Ed}$ =	**45**	kN
Aantal (n) ankers voor trek		4	
Aantal ankers voor afschuiving		8	
$F_{T;Ed} = T / n$ =		72,5	kN
$F_{v;Ed} = F_{H,Ed} / n$ =		5,6	kN

Ankergegevens

d_b =	30	mm
$A_{b;s}$ =	561	mm^2
f_{yb} =	640	N/mm^2
f_{ub} =	800	N/mm^2
γ_{Mb}	1,25	-
$\alpha_{red;2}$	1,00	-
$\alpha_b = 0,44 - 0,0003 f_{yb}$ =	0,25	-

Capaciteit per anker

$F_{T;Rd} = 0,9\alpha_{red;2} f_{ub} A_s / \gamma_{M2}$ =	**323,1**	kN
$F_{v;Rd} = \alpha_b f_{ub} A_s / \gamma_{Mb}$ =	**89,0**	kN

Capaciteit ankerplaat

Betonkwaliteit	**C30/37**	
f_{ck} =	30	N/mm^2

Idieële belasting

$N_{di} = \sqrt{(F_{T,Ed}^2 + 3F_{v,Ed}^2)}$ = 73 kN

Ankerplaat

Afmeting ankerplaat	a =	**80**	mm
Dikte	t_{pl} =	**15**	mm
Overhoekse maat	d_m =	48	mm

Capaciteit ankerplaat:

$A_h = \pi/4 ((d_m+2t)^2 - d^2)$ =	4072	mm^2
Beton	Gescheurd	
$\psi_{ucr,N}$ =	1,0	-
$N_{Rd,p} = 5A_h f_{ck} \psi_{ucr,N} / \gamma_{Mc}$ =	407	kN

Voetplaat

$F_{t,Rd}$: de trekkracht in de ankers waarbij de voetplaat vloeit.

Staalsoort		**S355**	
Dikte	t =	40	mm
Breedte	b_{ef} =	120	mm
Hefboomsarm	m =	70	mm
$M_{pl,Rd} = 1/4 b_{ef} t_p^2 f_{yd}$ =		17,04	kNm
$F_{t,Rd} = M_{pl,Rd} / m$ =		243,4	kN

Toets plasticiteit

$$\frac{1,25F_{T,Rd}}{N_{Rd,p}} = \frac{1,25 \times 323,1}{407,2} = 0,79$$

$$\frac{F_{T,Ed}}{N_{Rd,p}} = \frac{72,5}{407,2} = 0,18$$

of:

$$\frac{1,7N_{di}}{N_{Rd,p}} = \frac{124,4}{407,2} = 0,31 \quad \textit{OK}$$

Sterkte voetplaat

$$\frac{F_{T,Ed}}{F_{t;Rd}} = \frac{72,5}{243,4} = 0,30 \quad \textit{OK}$$

Toets trek op anker

$$\frac{F_{T,Ed}}{F_{T;Rd}} = \frac{72,5}{323,1} = 0,22 \quad \textit{OK}$$

Toets trek op voetplaat

$$\frac{T}{n \times F_{t;Rd}} = \frac{290,0}{973,7} = 0,30 \quad \textit{OK}$$

Toets afschuiving anker

$$\frac{F_{v,Ed}}{F_{v;Rd}} = \frac{5,6}{89,0} = 0,06 \quad \textit{OK}$$

Onderdeel:	Ankers KES 380 kV	*Conclusie:*	Ankers voldoen

Belastingen

Schuifkracht	$F_{v,Ed}$ =	4,4 kN
Axiaalkracht	N_{Ed} =	70 kN

Invoer detail

Ankerdiameter	**M30**
Ankerkwaliteit	**8.8**
Voetplaatdikte	30 mm

Ankergegevens

d_b =	30 mm
$A_{b;s}$ =	561 mm^2
f_{yb} =	640 N/mm^2
f_{ub} =	800 N/mm^2
$\alpha_{red;2}$	1,00 -
γ_{Mb}	1,25 -
$\alpha_b = 0{,}44 - 0{,}0003 f_{yb}$ =	0,25 -

Capaciteit per anker

$F_{T;Rd} = 0{,}9\alpha_{red;2} f_{ub} A_s / \gamma_{M2}$ =	**274,7** kN
$F_{v;Rd} = \alpha_b f_{ub} A_s / \gamma_{Mb}$ =	**146,5** kN

Excentriciteit volgens ETAG-001

Halve dikte plaat	15
Voeghoogte	100
Halve dikte anker	15
Excentriciteit	122,5 mm

Berekening

$M = V_{Ed} \times e/2$ =	0,27 kNm
d_{eq} =	27 mm
$W_y = 1/10\ d^3$ =	1,909 x 10^3 mm^3

Spanningen

Buigspanning	M / W =	141 N/mm^2
Axiale spanning	N / A =	125 N/mm^2
		266 N/mm^2

Toelaatbaar:

$f_{Rd} = 0{,}9\alpha_{red} f_{ub} / \gamma_{Mb}$ = 576 N/mm^2

Toetsing

U.C. = $\frac{265{,}9}{576{,}0}$ = 0,46 ***OK***

Onderdeel:	Ankers OSA 380 kV	*Conclusie:*	Ankers voldoen

Belastingen

Schuifkracht	$F_{v,Ed}$ =	4,4 kN
Axiaalkracht	N_{Ed} =	113 kN

Invoer detail

Ankerdiameter	**M30**
Ankerkwaliteit	**8.8**
Voetplaatdikte	40 mm

Ankergegevens

d_b =	30 mm
$A_{b;s}$ =	561 mm^2
f_{yb} =	640 N/mm^2
f_{ub} =	800 N/mm^2
$\alpha_{red;2}$	1,00 -
γ_{Mb}	1,25 -
$\alpha_b = 0,44 - 0,0003 f_{yb}$ =	0,25 -

Capaciteit per anker

$F_{T;Rd} = 0,9\alpha_{red;2} f_{ub} A_s / \gamma_{M2}$ =	**274,7** kN
$F_{v;Rd} = \alpha_b f_{ub} A_s / \gamma_{Mb}$ =	**146,5** kN

Excentriciteit volgens ETAG-001

Halve dikte plaat	20
Voeghoogte	100
Halve dikte anker	15
Excentriciteit	125 mm

Berekening

$M = V_{Ed} \times e/2$ =	0,28 kNm
d_{eq} =	27 mm
$W_y = 1/10\ d^3$ =	1,909 x 10^3 mm^3

Spanningen

Buigspanning	M / W =	144 N/mm^2
Axiale spanning	N / A =	201 N/mm^2
		345 N/mm^2

Toelaatbaar:

$f_{Rd} = 0,9\alpha_{red} f_{ub} / \gamma_{Mb}$ = 576 N/mm^2

Toetsing

$$\text{U.C.} = \frac{345,5}{576,0} = 0,60$$ ***OK***

Onderdeel:	Ankers KES 150 kV	*Conclusie:*	Ankers voldoen

Belastingen

Schuifkracht	$F_{v,Ed}$ =	2,8 kN
Axiaalkracht	N_{Ed} =	35 kN

Invoer detail

Ankerdiameter	M24
Ankerkwaliteit	8.8
Voetplaatdikte	30 mm

Ankergegevens

d_b =	24 mm
$A_{b;s}$ =	353 mm^2
f_{yb} =	640 N/mm^2
f_{ub} =	800 N/mm^2
$\alpha_{red;2}$	1,00 -
γ_{Mb}	1,25 -
$\alpha_b = 0,44 - 0,0003 f_{yb}$ =	0,25 -

Capaciteit per anker

$F_{T;Rd} = 0,9\alpha_{red;2} f_{ub} A_s / \gamma_{M2}$ =	**172,8** kN
$F_{v;Rd} = \alpha_b f_{ub} A_s / \gamma_{Mb}$ =	**92,2** kN

Excentriciteit volgens ETAG-001

Halve dikte plaat	15
Voeghoogte	60
Halve dikte anker	12
Excentriciteit	79,5 mm

Berekening

$M = V_{Ed} \times e/2$ =	0,11 kNm
d_{eq} =	21 mm
$W_y = 1/10\ d^3$ =	0,953 x 10^3 mm^3

Spanningen

Buigspanning	M / W =	117 N/mm^2
Axiale spanning	N / A =	99 N/mm^2
		216 N/mm^2

Toelaatbaar:

$f_{Rd} = 0,9\alpha_{red} f_{ub} / \gamma_{Mb}$ = 576 N/mm^2

Toetsing

$$\text{U.C.} = \frac{216,0}{576,0} = 0,37$$ ***OK***

Onderdeel:	Ankers OSA 150 kV	*Conclusie:*	Ankers voldoen

Belastingen

Schuifkracht	$F_{v,Ed}$ =	2,3 kN
Axiaalkracht	N_{Ed} =	52 kN

Invoer detail

Ankerdiameter	M24
Ankerkwaliteit	8.8
Voetplaatdikte	30 mm

Ankergegevens

d_b =	24 mm
$A_{b;s}$ =	353 mm^2
f_{yb} =	640 N/mm^2
f_{ub} =	800 N/mm^2
$\alpha_{red;2}$	1,00 -
γ_{Mb}	1,25 -
$\alpha_b = 0,44 - 0,0003 f_{yb}$ =	0,25 -

Capaciteit per anker

$F_{T;Rd} = 0,9\alpha_{red;2} f_{ub} A_s / \gamma_{M2}$ =	**172,8** kN
$F_{v;Rd} = \alpha_b f_{ub} A_s / \gamma_{Mb}$ =	**92,2** kN

Excentriciteit volgens ETAG-001

Halve dikte plaat	15
Voeghoogte	60
Halve dikte anker	12
Excentriciteit	79,5 mm

Berekening

$M = V_{Ed} \times e/2$ =	0,09 kNm
d_{eq} =	21 mm
$W_y = 1/10\ d^3$ =	0,953 x 10^3 mm^3

Spanningen

Buigspanning	M / W =	96 N/mm^2
Axiale spanning	N / A =	147 N/mm^2
		243 N/mm^2

Toelaatbaar:

$f_{Rd} = 0,9\alpha_{red} f_{ub} / \gamma_{Mb}$ = 576 N/mm^2

Toetsing

$$\text{U.C.} = \frac{243,3}{576,0} = 0,42$$ ***OK***

Onderdeel:	Grondplaat 380 kV	*Conclusie:*	Ankers voldoen

Belastingen

Schuifkracht	$F_{v,Ed}$ =	2,8 kN
Axiaalkracht	N_{Ed} =	16 kN

Invoer detail

Ankerdiameter	M30
Ankerkwaliteit	8.8
Voetplaatdikte	40 mm

Ankergegevens

d_b =	30 mm
$A_{b;s}$ =	561 mm^2
f_{yb} =	640 N/mm^2
f_{ub} =	800 N/mm^2
$\alpha_{red;2}$	1,00 -
γ_{Mb}	1,25 -
$\alpha_b = 0,44 - 0,0003 f_{yb}$ =	0,25 -

Capaciteit per anker

$F_{T;Rd} = 0,9\alpha_{red;2} f_{ub} A_s / \gamma_{M2}$ =	**274,7** kN
$F_{v;Rd} = \alpha_b f_{ub} A_s / \gamma_{Mb}$ =	**146,5** kN

Excentriciteit volgens ETAG-001

Halve dikte plaat	20
Voeghoogte	100
Halve dikte anker	15
Excentriciteit	125 mm

Berekening

$M = V_{Ed} \times e/2$ =	0,18 kNm
d_{eq} =	27 mm
$W_y = 1/10\ d^3$ =	1,909 x 10^3 mm^3

Spanningen

Buigspanning	M / W =	92 N/mm^2
Axiale spanning	N / A =	29 N/mm^2
		120 N/mm^2

Toelaatbaar:

$f_{Rd} = 0,9\alpha_{red} f_{ub} / \gamma_{Mb}$ = 576 N/mm^2

Toetsing

$$\text{U.C.} = \frac{120,2}{576,0} = 0,21$$ ***OK***

Onderdeel:	Grondplaat 150 kV	*Conclusie:*	Ankers voldoen

Belastingen

Schuifkracht	$F_{v,Ed}$ =	2 kN
Axiaalkracht	N_{Ed} =	13 kN

Invoer detail

Ankerdiameter	**M24**
Ankerkwaliteit	**8.8**
Voetplaatdikte	30 mm

Ankergegevens

d_b =	24 mm
$A_{b;s}$ =	353 mm^2
f_{yb} =	640 N/mm^2
f_{ub} =	800 N/mm^2
$\alpha_{red;2}$	1,00 -
γ_{Mb}	1,25 -
$\alpha_b = 0,44 - 0,0003 f_{yb}$ =	0,25 -

Capaciteit per anker

$F_{T;Rd} = 0,9\alpha_{red;2} f_{ub} A_s / \gamma_{M2}$ =	**172,8** kN
$F_{v;Rd} = \alpha_b f_{ub} A_s / \gamma_{Mb}$ =	**92,2** kN

Excentriciteit volgens ETAG-001

Halve dikte plaat	15
Voeghoogte	100
Halve dikte anker	12
Excentriciteit	119,5 mm

Berekening

$M = V_{Ed} \times e/2$ =	0,12 kNm
d_{eq} =	21 mm
$W_y = 1/10\ d^3$ =	0,953 x 10^3 mm^3

Spanningen

Buigspanning	M / W =	125 N/mm^2
Axiale spanning	N / A =	37 N/mm^2
		162 N/mm^2

Toelaatbaar:

$f_{Rd} = 0,9\alpha_{red} f_{ub} / \gamma_{Mb}$ = 576 N/mm^2

Toetsing

$$\text{U.C.} = \frac{162,2}{576,0} = 0,28$$ ***OK***

Onderdeel:	Vakwerkkolom 7,5 m	*Conclusie:*	Ankers voldoen

Belastingen

Schuifkracht	$F_{v,Ed}$ =	3,9 kN
Axiaalkracht	N_{Ed} =	41,8 kN

Invoer detail

Ankerdiameter	**M30**
Ankerkwaliteit	**8.8**
Voetplaatdikte	40 mm

Ankergegevens

d_b =	30 mm
$A_{b;s}$ =	561 mm^2
f_{yb} =	640 N/mm^2
f_{ub} =	800 N/mm^2
$\alpha_{red;2}$	1,00 -
γ_{Mb}	1,25 -
$\alpha_b = 0,44 - 0,0003 f_{yb}$ =	0,25 -

Capaciteit per anker

$F_{T;Rd} = 0,9\alpha_{red;2} f_{ub} A_s / \gamma_{M2}$ =	**274,7** kN
$F_{v;Rd} = \alpha_b f_{ub} A_s / \gamma_{Mb}$ =	**146,5** kN

Excentriciteit volgens ETAG-001

Halve dikte plaat	20
Voeghoogte	100
Halve dikte anker	15
Excentriciteit	125 mm

Berekening

$M = V_{Ed} \times e/2$ =	0,24 kNm
d_{eq} =	27 mm
$W_y = 1/10\ d^3$ =	1,909 x 10^3 mm^3

Spanningen

Buigspanning	M / W =	127 N/mm^2
Axiale spanning	N / A =	74 N/mm^2
		201 N/mm^2

Toelaatbaar:

$f_{Rd} = 0,9\alpha_{red} f_{ub} / \gamma_{Mb}$ = 576 N/mm^2

Toetsing

$$\text{U.C.} = \frac{201,3}{576,0} = 0,35$$ ***OK***

Onderdeel:	Vakwerkkolom 15 m	*Conclusie:*	Ankers voldoen

Belastingen

Schuifkracht	$F_{v,Ed}$ =	5,6 kN
Axiaalkracht	N_{Ed} =	76 kN

Invoer detail

Ankerdiameter	M30
Ankerkwaliteit	8.8
Voetplaatdikte	40 mm

Ankergegevens

d_b =	30 mm
$A_{b;s}$ =	561 mm^2
f_{yb} =	640 N/mm^2
f_{ub} =	800 N/mm^2
$\alpha_{red;2}$	1,00 -
γ_{Mb}	1,25 -
$\alpha_b = 0,44 - 0,0003 f_{yb}$ =	0,25 -

Capaciteit per anker

$F_{T;Rd} = 0,9\alpha_{red;2} f_{ub} A_s / \gamma_{M2}$ =	**274,7** kN
$F_{v;Rd} = \alpha_b f_{ub} A_s / \gamma_{Mb}$ =	**146,5** kN

Excentriciteit volgens ETAG-001

Halve dikte plaat	20
Voeghoogte	100
Halve dikte anker	15
Excentriciteit	125 mm

Berekening

$M = V_{Ed} \times e/2$ =	0,35 kNm
d_{eq} =	27 mm
$W_y = 1/10\ d^3$ =	1,909 x 10^3 mm^3

Spanningen

Buigspanning	M / W =	184 N/mm^2
Axiale spanning	N / A =	135 N/mm^2
		320 N/mm^2

Toelaatbaar:

$f_{Rd} = 0,9\alpha_{red} f_{ub} / \gamma_{Mb}$ = 576 N/mm^2

Toetsing

$$\text{U.C.} = \frac{319,6}{576,0} = 0,55$$ ***OK***

APPENDIX D
Berekeningsrapportage grondplaat

Deze appendix bevat de berekeningsrapportage voor de grondplaat voor:

- 150 kV Moldau OSP
- 380 kV Moldau OPS
- 150 kV Permanent OSP (mast 97)

APPENDIX D – BEREKENINGSRAPPORTAGE GROUNDPLATE

1 INTRODUCTION

This document provides verification of the ground plate for the OSP (“opstijgpunten”) for the new to build Moldau structures 150kV and 380kV and for the groundplate in the permanent line. The scope of this document is to verify the strength of the groundplate and provide reaction forces that later can be used for the foundation design.

The plate connection is used to connect the supporting column to the ground, and it should resist the uplift load. There are two welded plate to the base plate which should be checked if the stress distribution is below the weld strength. The component was modelled in Finite Element (FE) ABAQUS software and the loads were provided according to the separate calculations. The ground plate geometry is same for both 150kV and 380kV voltage levels.

The following sections discuss the component geometry, methodology and material considerations. At the end, the results from the FEM simulation are presented and concluded.

Revision 1

The baseplate for 150kV is adjusted to 30mm. Therefore the calculations for 150kV and 380kV are separated in revision 1 of this appendix. For calculation of 380kV groundplate see chapter 2 and chapter 0. For calculation of 150kV see chapter 4.

2 380KV - MODELING

2.1 Geometry

The geometry and dimensions of the ground plate and the FE model are presented in Figure 1. As the welded area between the plates and the base was interesting, the bolts were neglected in the FE analysis. The thickness of the based plate is 40mm and the thickness of the welded plates is 15mm.

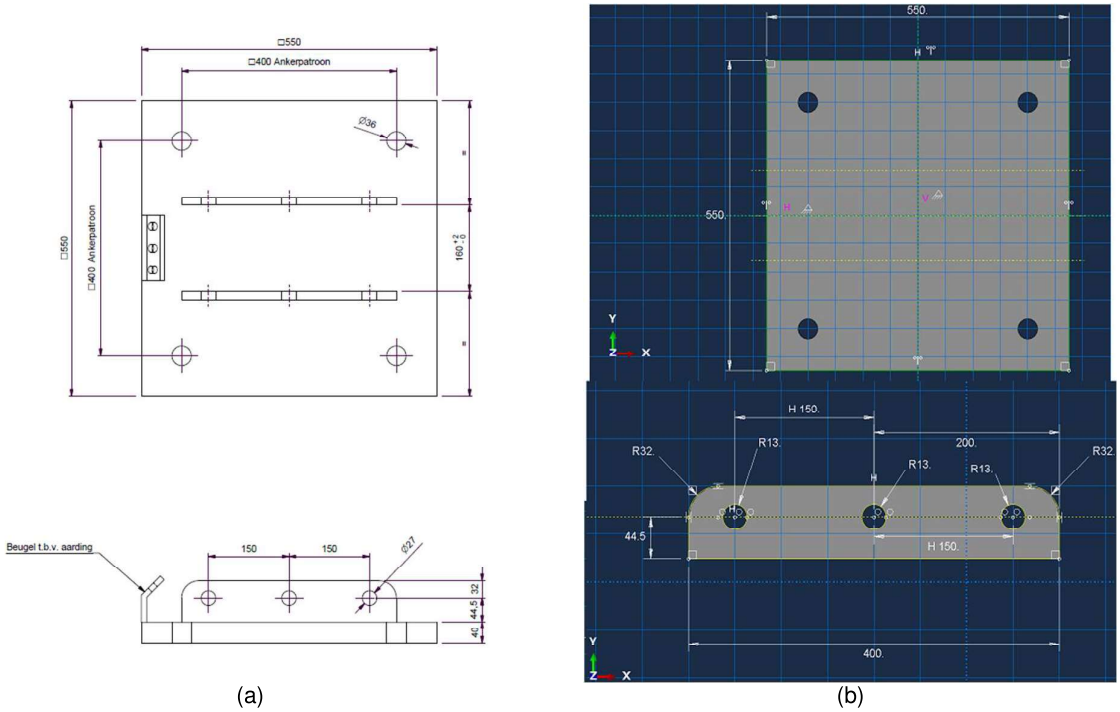

(a) (b)

Figure 1: the geometry and dimensions of the ground plate.

2.2 Loads, Constraints and Boundary Conditions

To analyse the ground plate, a vertical and a transversal load was calculated as are shown in Table 1. The loads are applied to a reference point in between the bolted connection. The reference point is kinematically coupled with the bolt holes to accurately simulate the load transfer to component. Moreover, the support boundary condition was considered as fixed at the bolted connections between the ground and the base plate. Figure 2 shows the load coupling and the boundary condition of the model. The vertical load is in z direction, the transversal load is in y direction and the longitudinal load is in x direction. Accordingly, RF1 is the reaction force in x-direction (longitudinal), RF2 is the reaction force in the y-direction (transversal) and the RF3 is the reaction force in z-direction (vertical direction).

Table 1: the ground plate load

Load type	$F_{kortsluiting}$ (N)	$F_{transversal}$(N)
380 kV Modal	-63998	3168

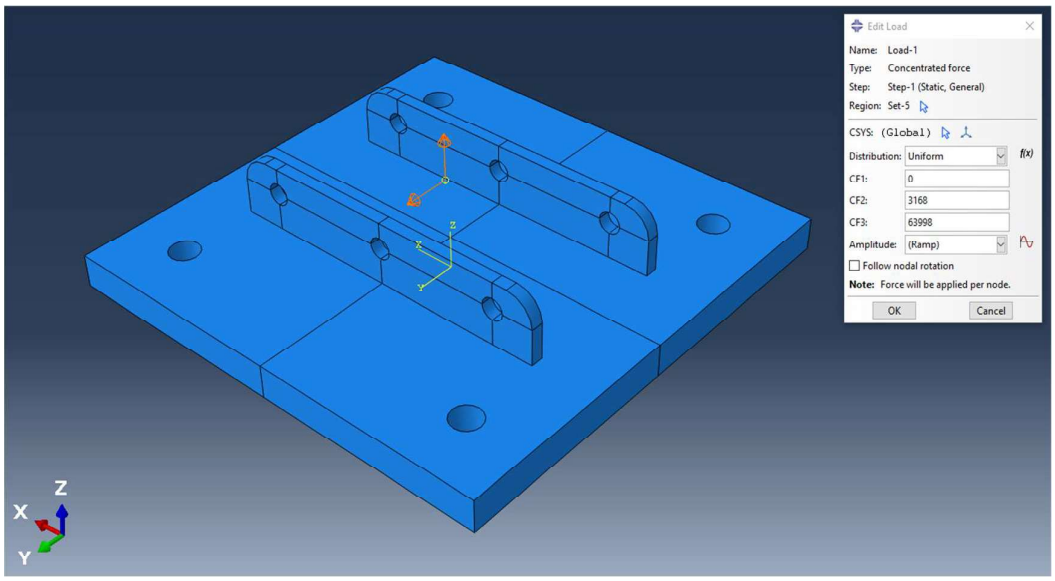

(a)

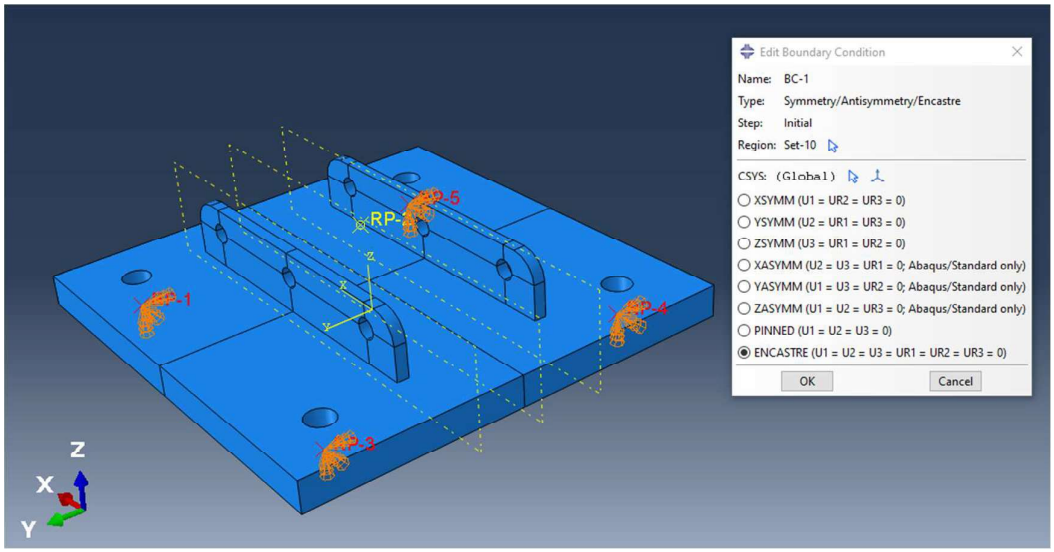

(b)

Figure 2: the representation of the 150kV load and the boundary condition in the FE model.

2.3 Material

The material is considered as steel and modelled linearly in the software. The modulus of elasticity of 210GPa and passion ratio of 0.3 was considered.

2.4 Mesh Definition

The mesh size is 5mm and the meshing is illustrated in Figure 3.

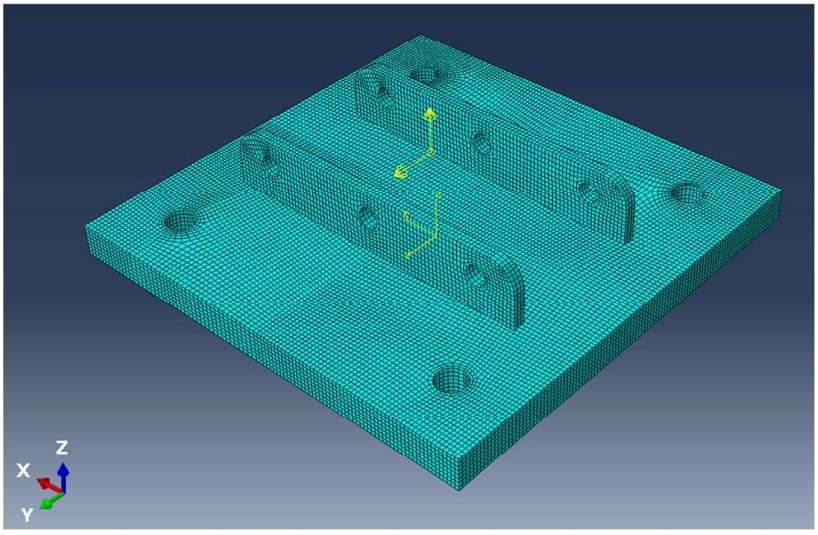

Figure 3: Mesh configuration of the ground plate.

3 380KV - RESULTS

The ground plate is simulated under the defined load case for the mentioned voltage levels. Figure 4 shows the Von Mises and tensile stress distribution in the ground plate for 380kV.

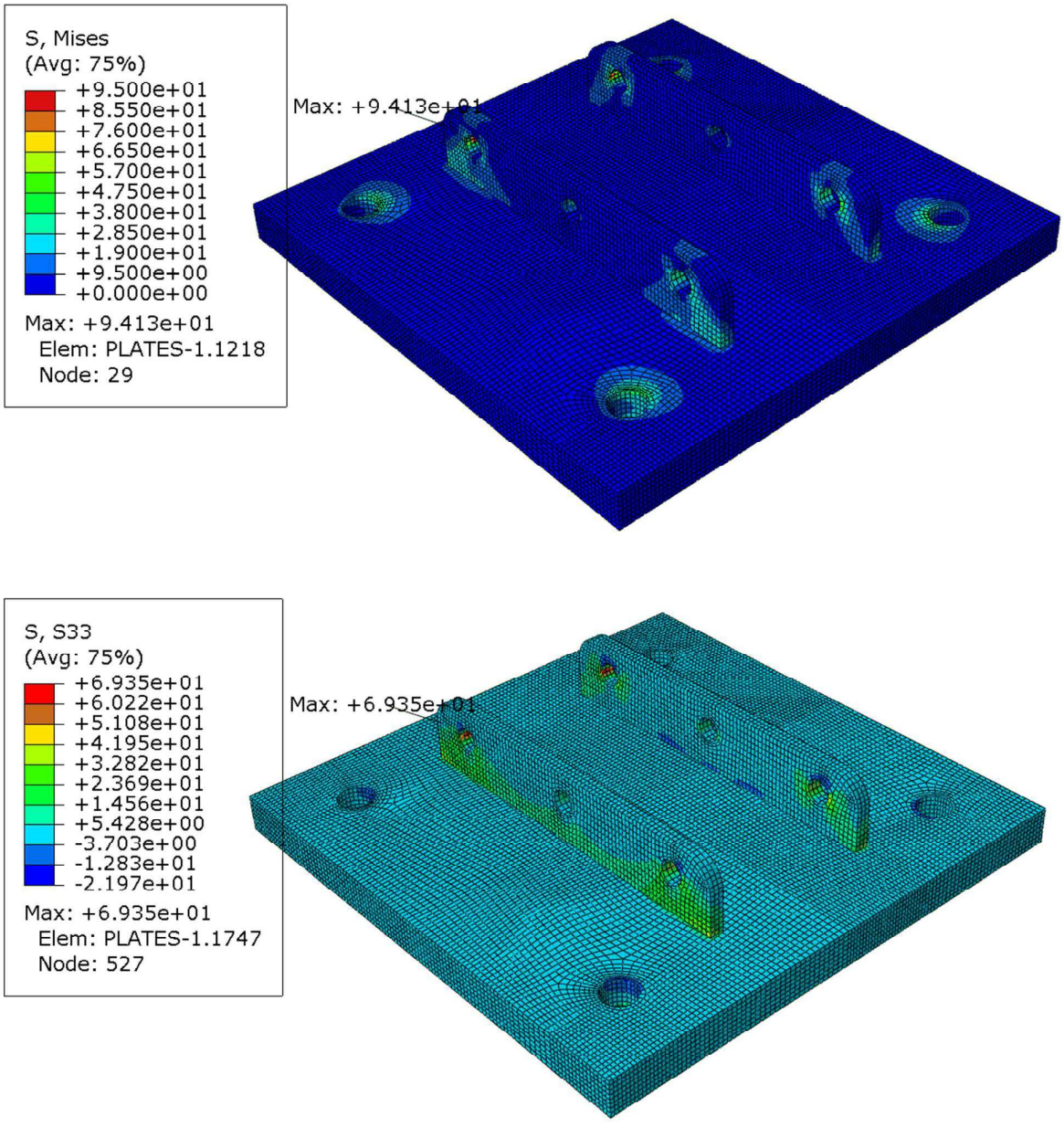

Figure 4: (a) the von misses stress distribution and (b) tensile stress distribution in the380kV ground plate.

A stress concentration equals to 94MPa occurs around the bolt holes. Moreover, the stress is around 39 MPa at the weld line which notes that the weld detail class should be sufficiently high to resist possible cyclic stresses. The Figure 4(b) shows the tensile stress in the component which is quite similar to the von mises values.

Furthermore, Figure 5 shows the vertical and transversal displacements in the component which are very low. The maximum vertical displacement value is around 3.3e-2 mm and the transversal displacement is around 5.5e-3 mm.

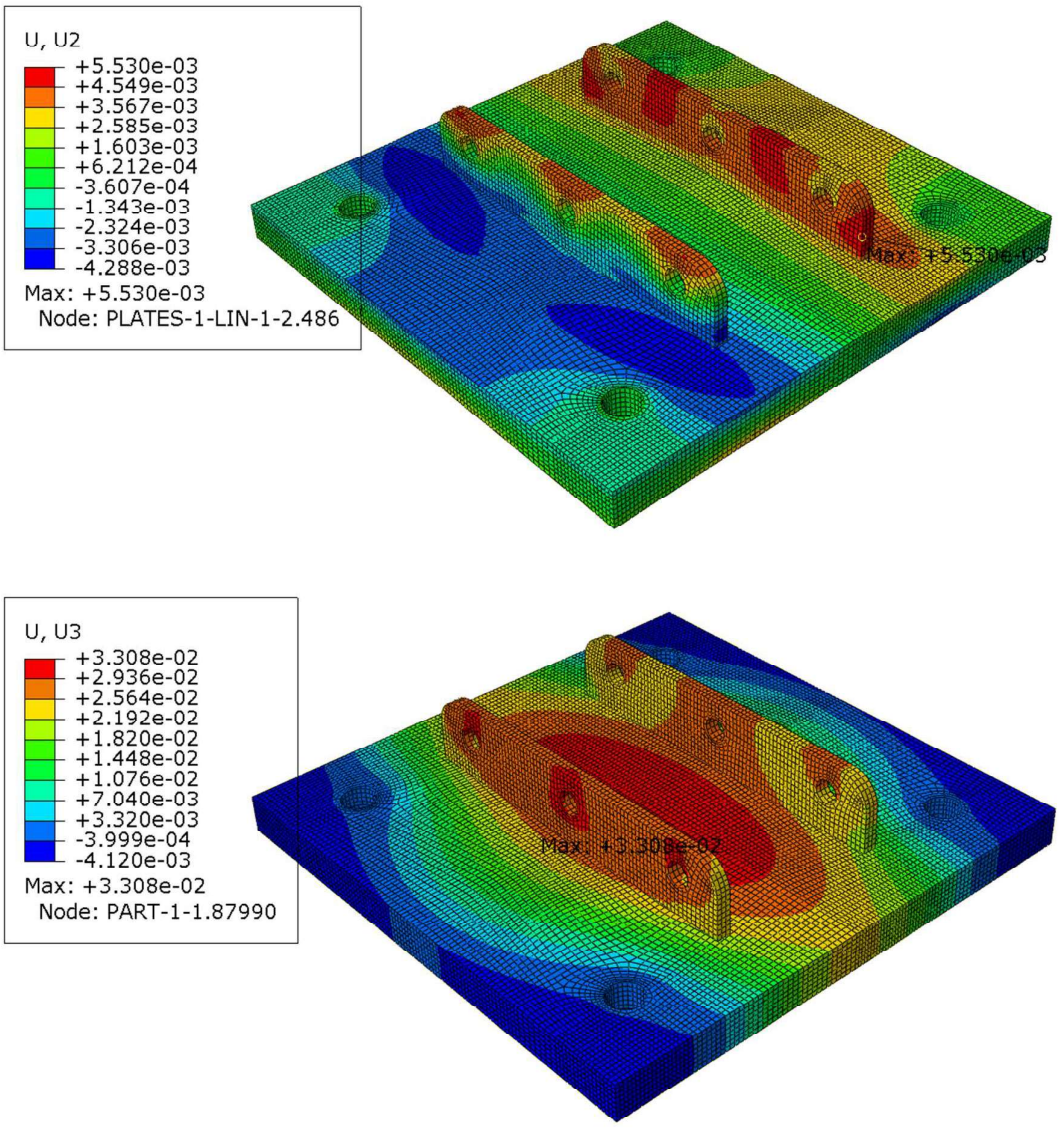

Figure 5: the displacement in the 380kV ground plate.

The reaction forces of the base plate connection have been calculated and illustrated in Figure 6 for each bolt connection and the maximum value for each force component is mentioned in Table 2. Furthermore, a central point is considered, and the reaction forces and moments are calculated for both voltage levels.

Table 2: maximum reaction force values at bolt connection.

	380kV ground plate
RF1 (kN)	1989
RF2 (kN)	2037
RF3 (kN)	16010

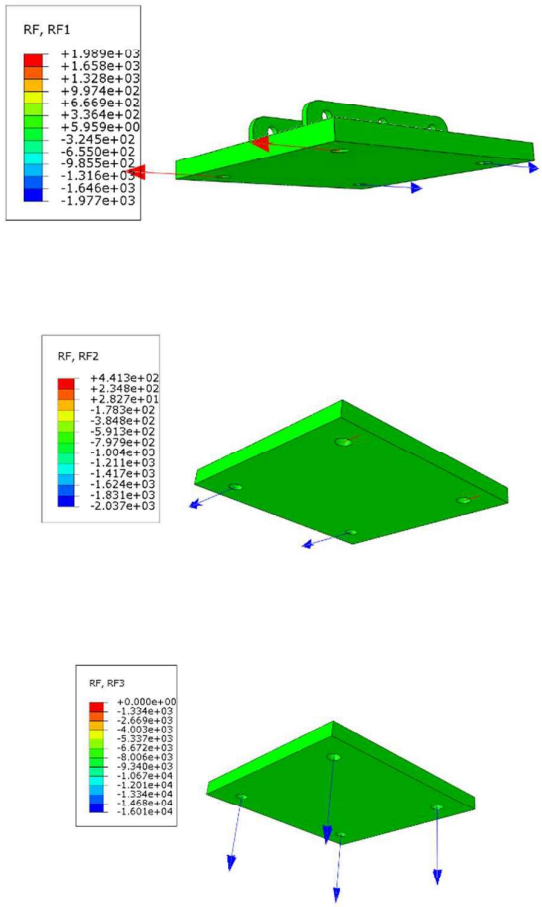

Figure 6: the reaction forces of 380 kV ground plates

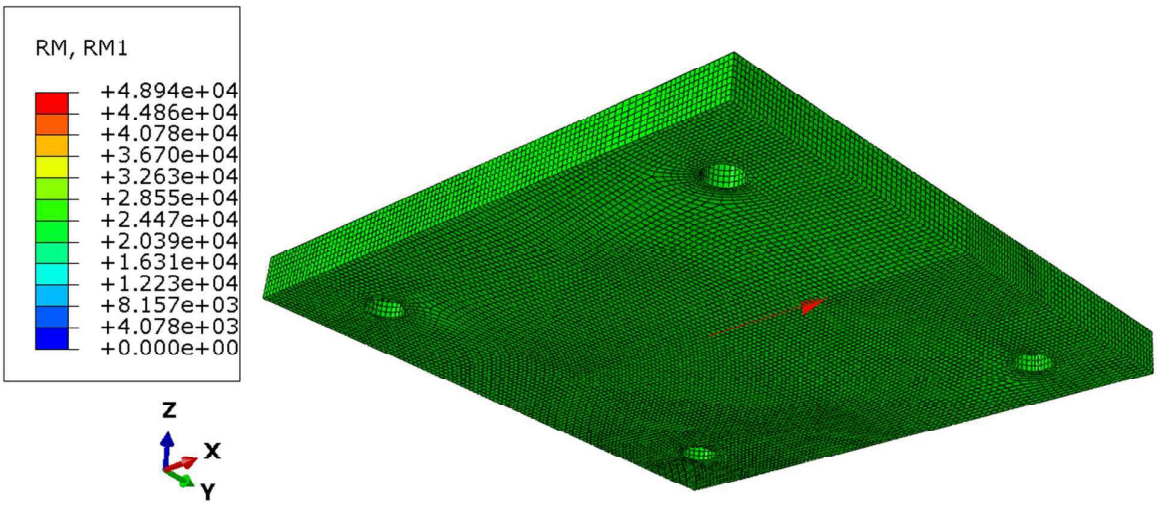

(a)

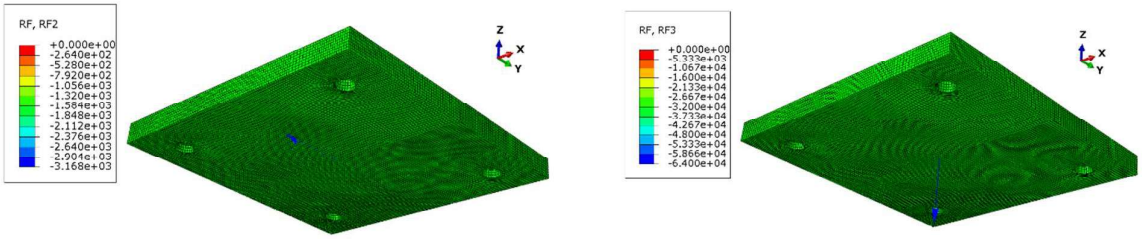

(b) (c)

Figure 7: the reaction forces and moments at the central point of 380kV ground plate.

4 150KV – MODELING AND RESULTS

AxisVM is used to calculate the groundplate for 150kV instead of ABAQUS. Dimensions of the groundplate are the same as for 380kV, only the thickness of the baseplate is adjusted to 30mm.

Full in- and output of the model is included after chapter 5.

4.1 Loads

Acting forces are shown in Figure 8. Two loadcases will be checked:

1. Fz,max – Tower 11 is normative (max. 29,5 kN, see Figure 8 on the left);
2. Fy,max – 150kV-moldau OSP is normative (max. 8,0 kN, see Figure 8 on the right).

Kortsluitkrachten
(Zie separate berekening)

Geleider		$w_{z,G}$ Kortsluitkra [N/m]	[kN]	F_x [kN]	F_y [kN]	F_z [kN]
10	150ct1f1	15,6	2,9	-1,9	15,2	
11	150ct1f2	15,6	2,8	-0,3	15,3	
12	150ct1f3	29,6	1,8	-2,2	29,5	
20	150ct2f1	15,6	3,0	-0,3	15,3	
21	150ct2f2	15,6	2,7	1,8	15,2	
22	150ct2f3	29,6	1,8	2,2	29,5	
1	bl1					
3	bl2					

Kortsluitkrachten
(Zie separate berekening)

Geleider		Kortsluitkracht [kN]	F_x [kN]	F_y [kN]	F_z [kN]
0	380ct1f1	0,0			
0	380ct1f2	0,0			
0	380ct1f3	0,0			
0	380ct2f1	0,0			
0	380ct2f2	0,0			
0	380ct2f3	0,0			
20	150ct3f1	24,0	0,0	-8,0	22,6
21	150ct3f2	24,3	3,1	-5,3	23,5
22	150ct3f3	24,3	-2,1	-5,3	23,6
30	150ct4f1	24,0	0,0	8,0	22,6
31	150ct4f2	24,3	3,1	5,3	23,5
32	150ct4f3	24,3	-2,1	5,3	23,6
1	bl1				
3	bl2				

Figure 8: Loads for 150kV baseplate

Loads in direction X and Z will be applied on two bolt holes. Loads in direction Y will be applied on one bolt hole. The most unfavourable holes are picked.

4.2 Results

The maximum stresses for the ground plate are shown in Figure 9 and Figure 11. The maximum stress in the welded plate is 111 MPa and in the baseplate 42 MPa. The maximum stress at location of the weld is around 90 MPa, see Figure 10.

Furthermore, Figure 12 shows the vertical displacements in the component which are very low. The maximum vertical displacement value is around 0,2mm.

Figure 13 shows the maximum vertical reaction forces. The maximum vertical force equals to 13,3 kN. The horizontal load will be distributed equally over the four anchors.

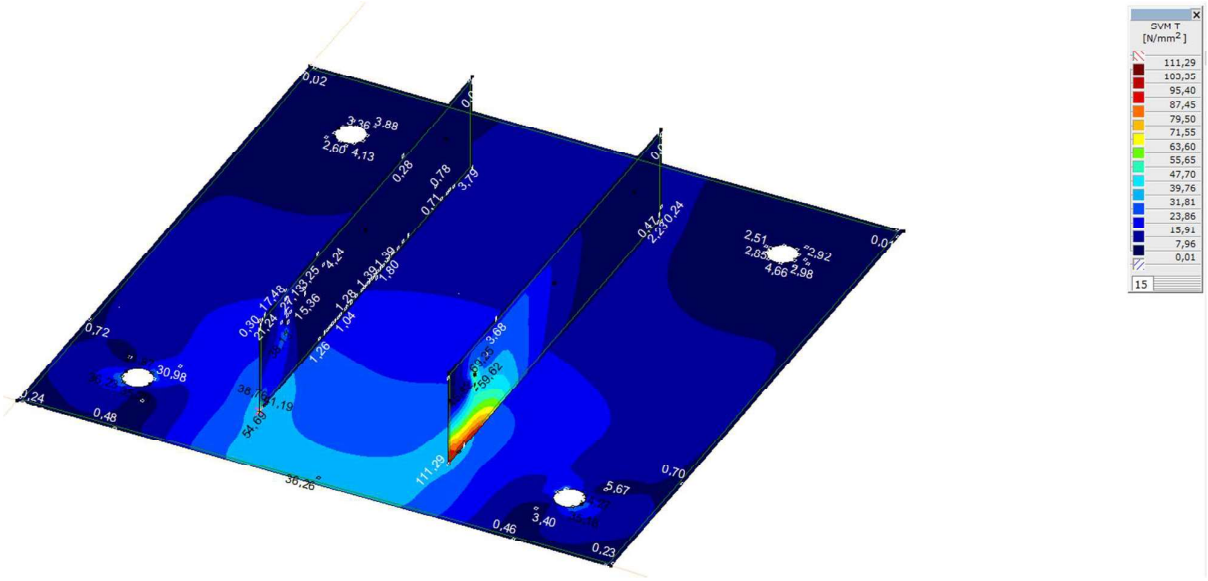

Figure 9: maximum stress welded plate

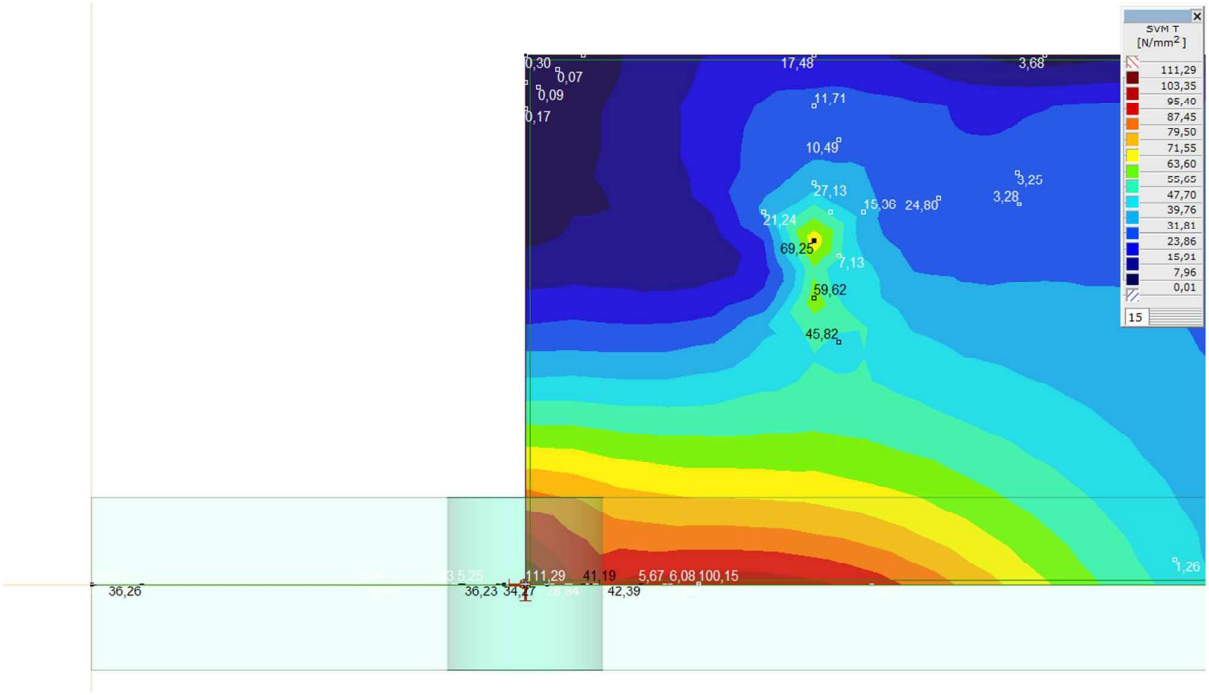

Figure 10: maximum stress at location of the weld (approx. 90 MPa)

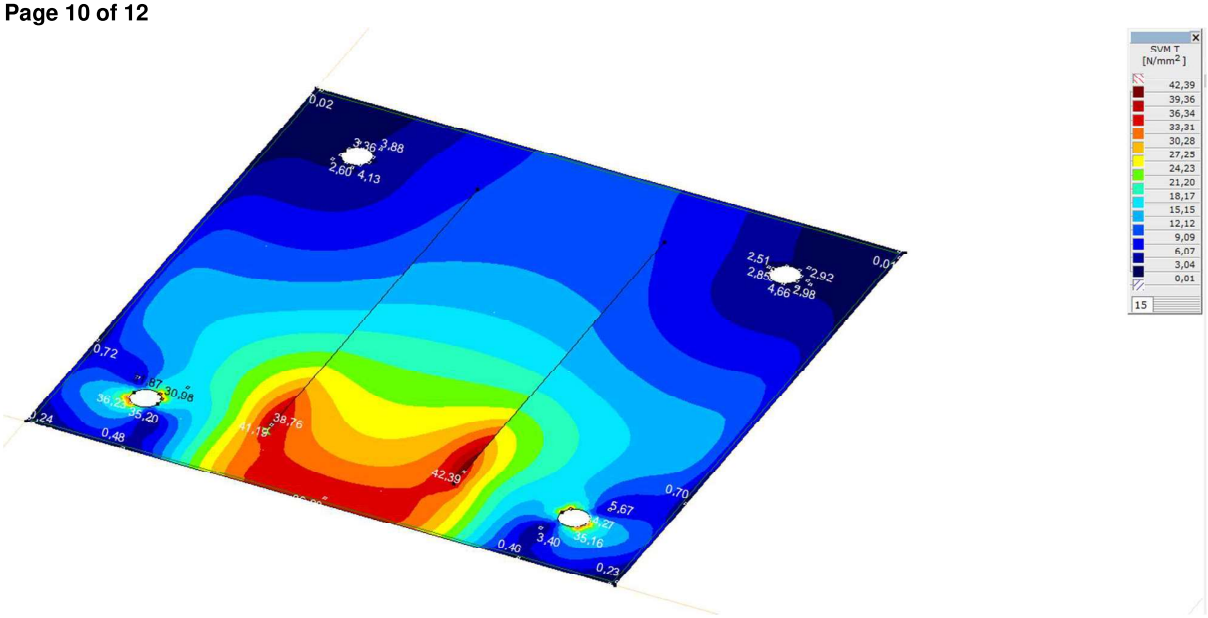

Figure 11: Maximum stress baseplate

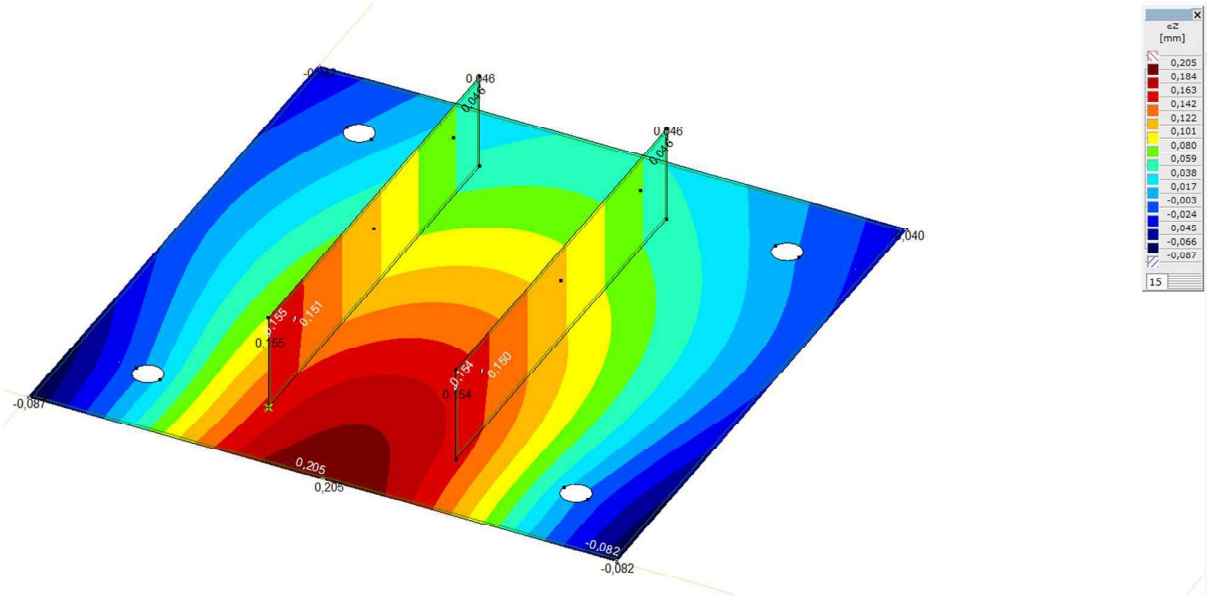

Figure 12: Displacements

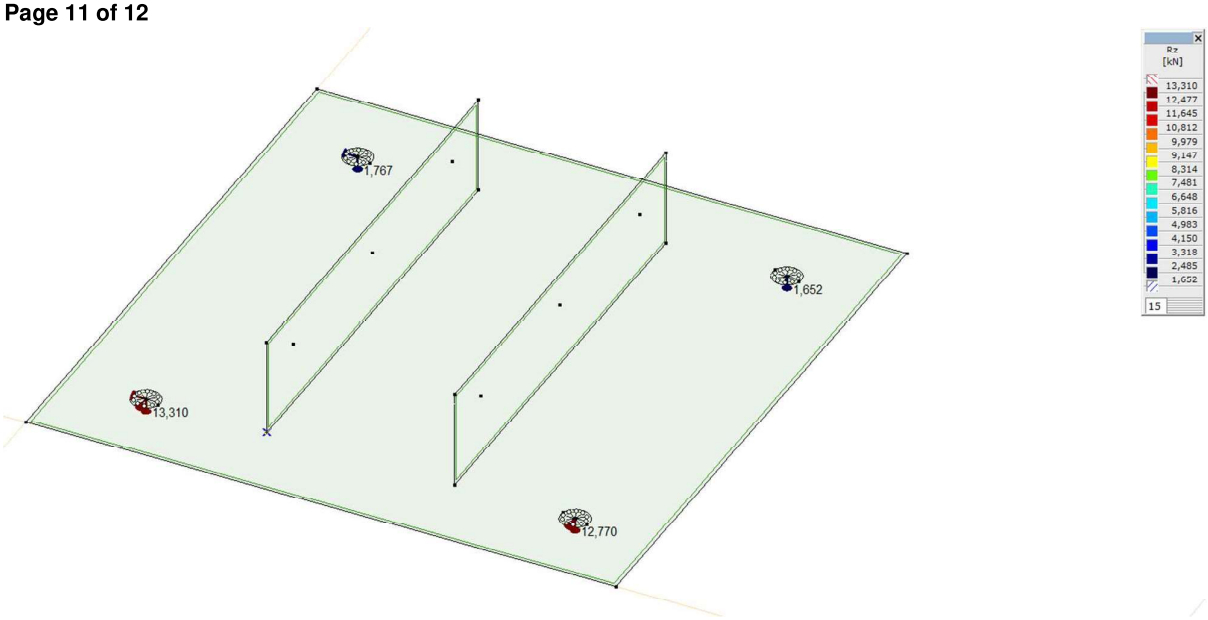

Figure 13: Vertical reaction forces

5 CONCLUSION

This document presented the results from the simulation of the ground plate of the OSA supporting structure with different 150kV and 380kV voltage levels. The ground plate of 380kV component is simulated in the ABAQUS software and the ground plate of 150kV in AxisVM. The most critical load case was the combination of the short circuit load and the wind load on the structure.

The results from the simulation show that:

- The ground plate will resist the mentioned load cases if normal construction steel S355 is used.
- Considering S355 material, there will be no plastic region in the component and the maximum unity check is 0.31 for 150kV and 0.26 for 380kV.
- The weld connection between the plates and the base has the maximum stress level of 90 MPa in 150kV and 38MPa in 380kV application.
- The tensile reaction forces for each bolt location shows that the bolt M24 or M30 will provide enough resistance.

Project:

Constructeur: DNV GL - Energy

AxisVM X6 R1o-hf1 · Geregistreerd aan DNV GL - Energy

Baseplate OSP 150kV.axs

Rapport

Rapport, Inhoudsopgave

Onderdeel	*Pagina*
3D-render	3
Materialen	4
Knopen	5
Knopen	6
Domeinen en opleggingen	6
Detail modellering boutgaten	7
Domeinen	8
Randscharnieren	8
Knoopopleggingen	9
Fz max: Knoopbelastingen	10
Fz max	10

Onderdeel	*Pagina*
Fy max: Knoopbelastingen	11
Fy max	11
[I], > ~1, Lineair, Omhullende Max (Belastinggevallen), SVM T, Kleuren 2D	12
[I], > ~1, Lineair, Omhullende Max (Belastinggevallen), SVM B, Kleuren 2D	13
[I], > ~2, Lineair, Omhullende Max (Belastinggevallen), SVM T, Kleuren 2D	14
[I], > ~2, Lineair, Omhullende Max (Belastinggevallen), SVM B, Kleuren 2D	15
[I], Lineair, Omhullende Max (Belastinggevallen), SVM T, Kleuren 2D, Zijaanzicht	16
[I], Lineair, Fz max, Rz (knoopopl.), Kleuren 2D	17
[I], Lineair, Fy max, Rz (knoopopl.), Kleuren 2D	18
[I], > ~3, Lineair, Omhullende Max (Belastinggevallen), eZ, Kleuren 2D	19

Project:
Constructeur: DNV GL - Energy
Model: **Baseplate OSP 150kV.axs**

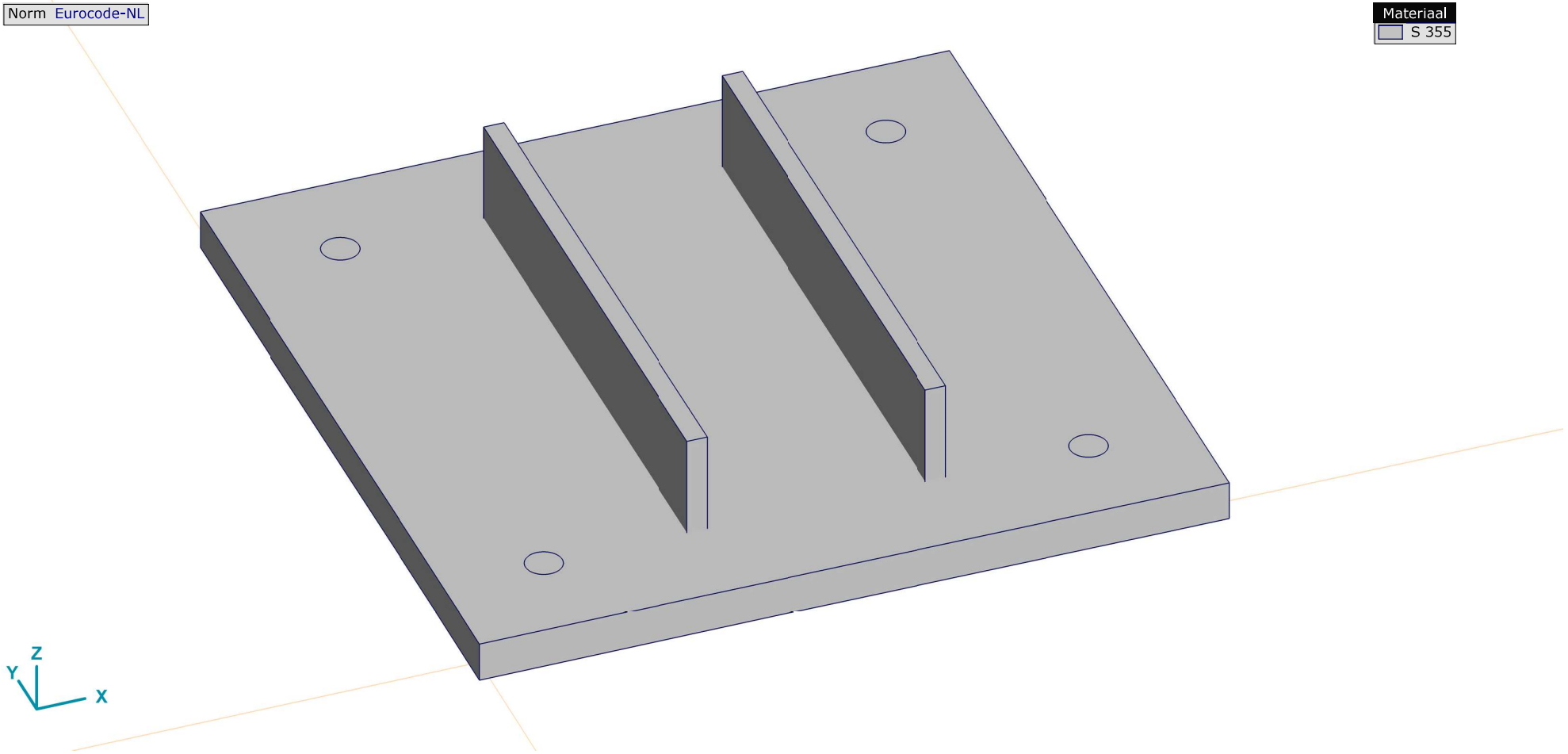

3D-render

Materialen

	Naam	*Type*	*Nationale norm*	*Materiaalnorm*	*Model*	*E_x [N/mm²]*	*E_y [N/mm²]*	*v*	*α_T [1/°C]*	*ρ [kg/m³]*	*Materiaal kleur*	*Contour kleur*	*Structuur*	*P_1*
1	S 355	Staal	Eurocode-NL	10025-2	Lineair	210000	210000	0,30	1,2E-5	7850			Steel	f_y[N/mm²] = 355,00

	Naam	*P_2*	*P_3*	*P_4*	*P_5*	*P_6*	*P_7*	*P_8*	*P_9*	*P_{10}*	*P_{11}*	*P_{12}*	*P_{13}*	*P_{14}*
1	S 355	f_u[N/mm²] = 510,00	f_y^*[N/mm²] = 335,00	f_u^*[N/mm²] = 470,00										

Naam: Materiaalnaam; **Type:** Type materiaal; **Model:** Materiaal model; **E_x:** Elasticiteitsmodulus in lokale x richting; **E_y:** Elasticiteitsmodulus in lokale y richting; **v:** Poisson's verhouding; **α_T:** Warmteuitzettingscoëfficiënt; **ρ:** Dichtheid; **Materiaal kleur:** Materiaalkleur; **Contour kleur:** Contourkleur; **P_1, P_2, P_3, P_4, P_5, P_6, P_7, P_8, P_9, P_{10}, P_{11}, P_{12}, P_{13}, P_{14}:** Ontwerpparameter;

Project:
Constructeur: DNV GL - Energy
Model: **Baseplate OSP 150kV.axs**

Norm Eurocode-NL

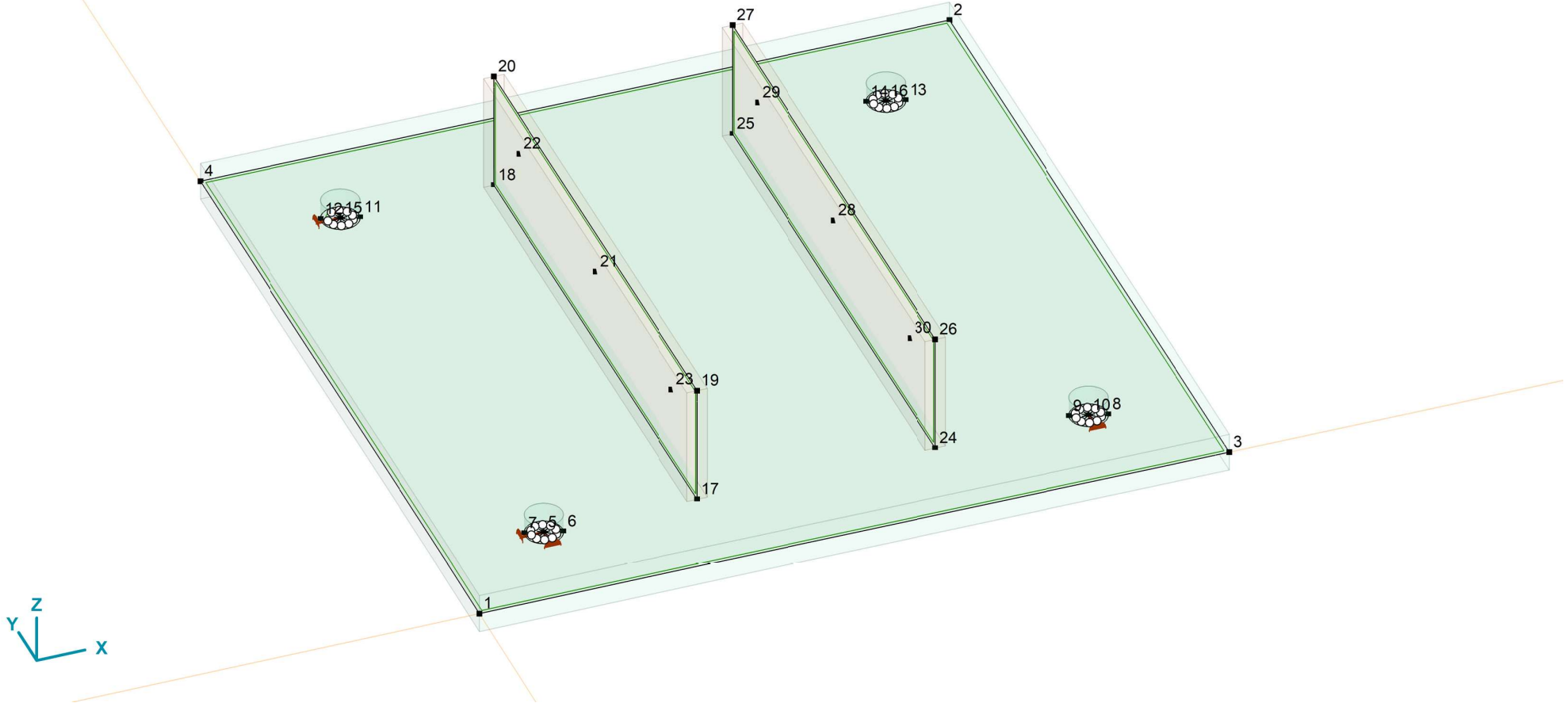

Knopen

Knopen

	X [m]	Y [m]	Z [m]		X [m]	Y [m]	Z [m]		X [m]	Y [m]	Z [m]		X [m]	Y [m]	Z [m]		X [m]	Y [m]	Z [m]
1	0	0	0	7	0,062	0,079	0	13	0,488	0,471	0	19	0,188	0,075	0,092	25	0,363	0,475	0
2	0,550	0,550	0	8	0,488	0,071	0	14	0,462	0,479	0	20	0,188	0,475	0,092	26	0,363	0,075	0,092
3	0,550	0	0	9	0,462	0,079	0	15	0,075	0,475	0	21	0,188	0,275	0,060	27	0,363	0,475	0,092
4	0	0,550	0	10	0,475	0,075	0	16	0,475	0,475	0	22	0,188	0,425	0,060	28	0,363	0,275	0,060
5	0,075	0,075	0	11	0,088	0,471	0	17	0,188	0,075	0	23	0,188	0,125	0,060	29	0,363	0,425	0,060
6	0,088	0,071	0	12	0,062	0,479	0	18	0,188	0,475	0	24	0,363	0,075	0	30	0,363	0,125	0,060

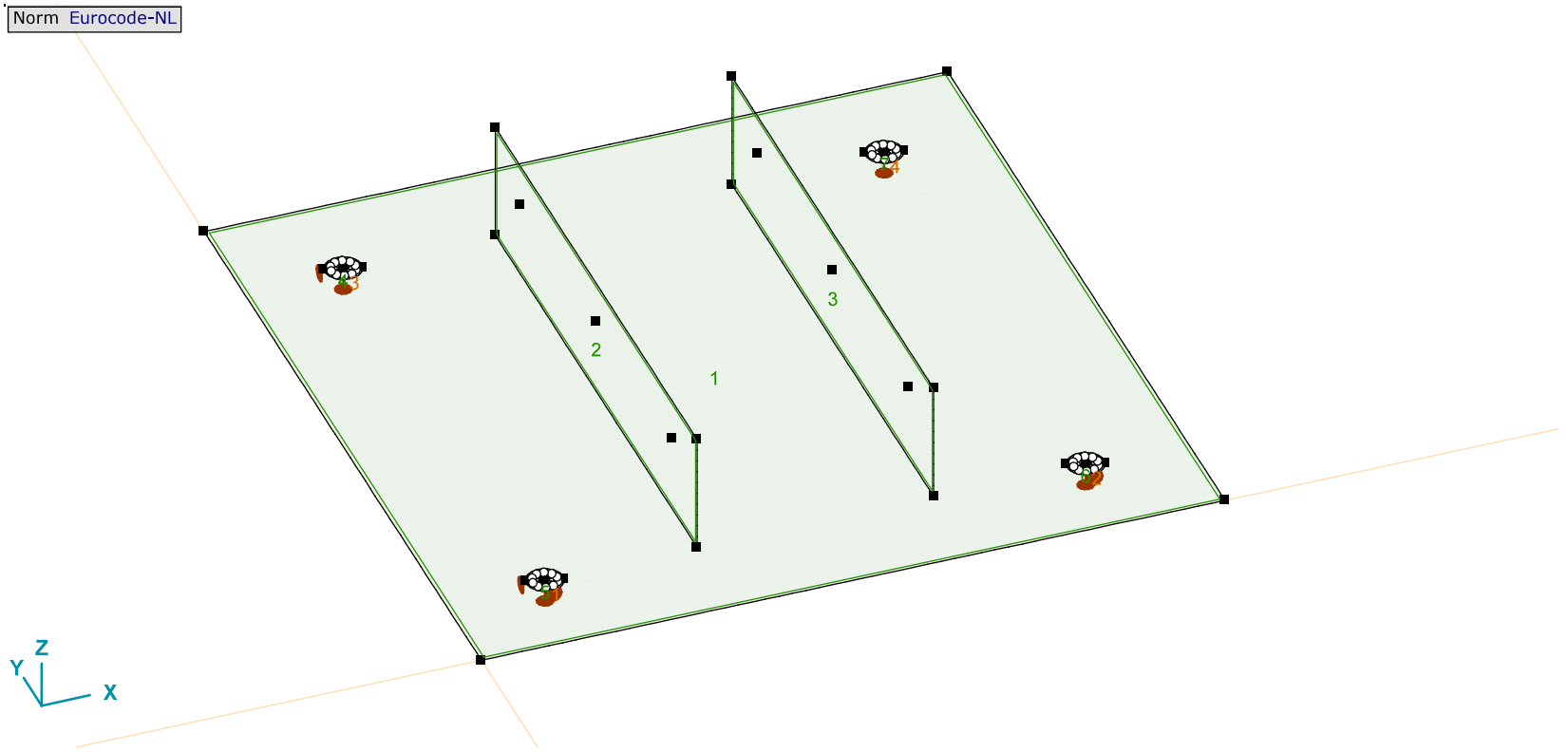

Domeinen en opleggingen

Project:
Constructeur: DNV GL - Energy
Model: **Baseplate OSP 150kV.axs**

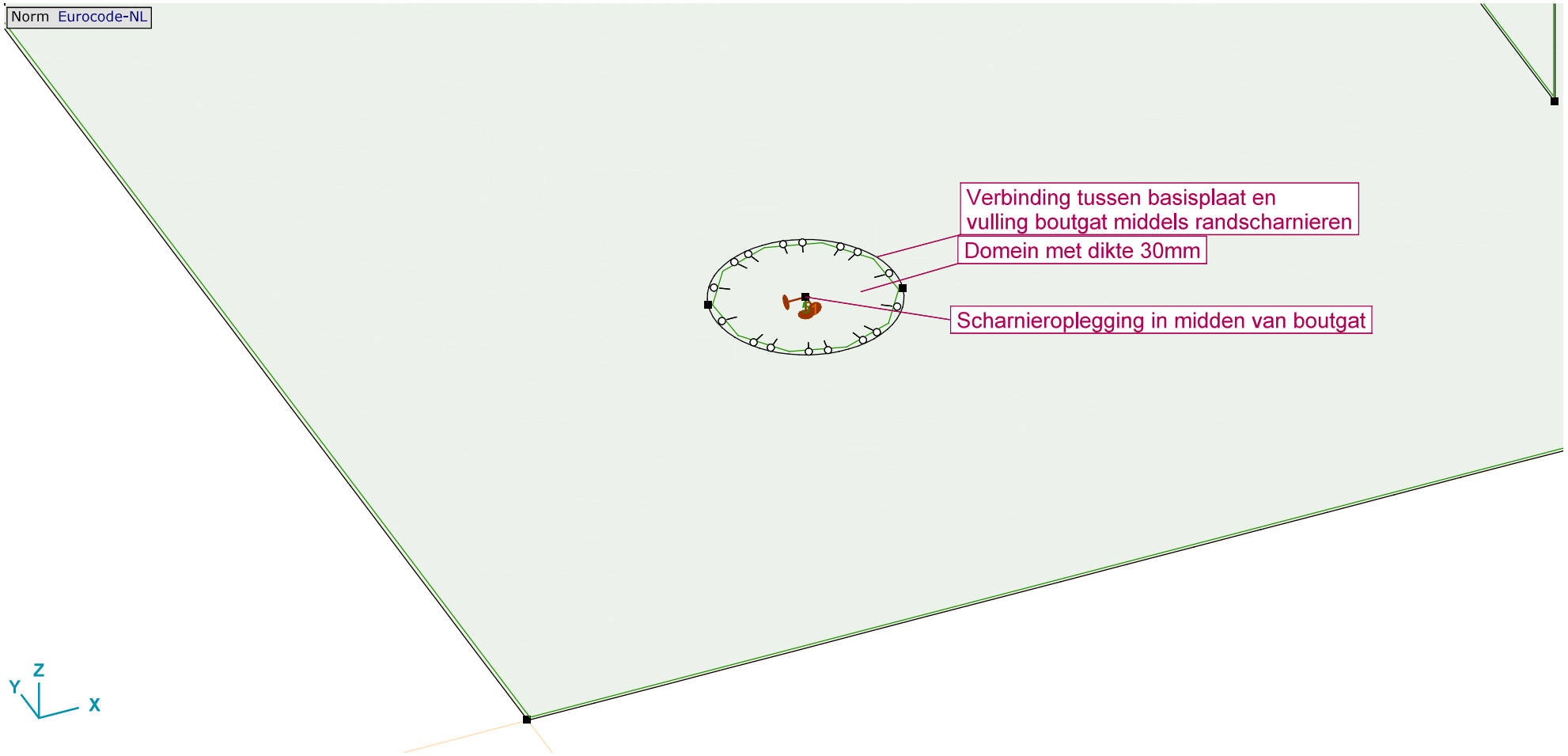

Detail modellering boutgaten

Domeinen

	Element type	*Materiaal*	*Ref_x*	*Ref_z*	*Dikte [mm]*	*k,buiging []*	*k,torsie []*	*k,afschuiving []*	*Oppervlakte [m^2]*	*Gat*	*Mesh*
1	Schaal	S 355	Auto	Auto	30				0,300	–	✓
2	Schaal	S 355	Auto	Auto	15				0,037	–	✓
3	Schaal	S 355	Auto	Auto	15				0,037	–	✓
4	Schaal	S 355	Auto	Auto	30				0,001	–	✓
5	Schaal	S 355	Auto	Auto	30				0,001	–	✓
6	Schaal	S 355	Auto	Auto	30				0,001	–	✓
7	Schaal	S 355	Auto	Auto	30				0,001	–	✓

Element type: Plaatelement type; **Ref_x:** Referentie voor lokale X-richting; **Ref_z:** Referentie voor lokale Z-richting; **k,buiging:** Buigsterkte coefficient; **k,torsie:** Torsiesterkte coefficient; **k,afschuiving:** Dwarskrachtsterkte coefficient; **Oppervlakte:** Domein oppervlak; **Gat:** Aantal gaten in domein; **Mesh:** Gegenereerde mesh;

Randscharnieren

	Startpunt	*Eindpunt*	*K(x) [kN/m/m]*	*K(y) [kN/m/m]*	*K(z) [kN/m/m]*	*K(xx) [kNm/rad/m]*	*K(yy) [kNm/rad/m]*	*K(zz) [kNm/rad/m]*
1	11	51	1E+8	1E+8	1E+8	0	0	0
2	11	47	1E+8	1E+8	1E+8	0	0	0
3	6	35	1E+8	1E+8	1E+8	0	0	0
4	6	31	1E+8	1E+8	1E+8	0	0	0
5	8	59	1E+8	1E+8	1E+8	0	0	0
6	8	55	1E+8	1E+8	1E+8	0	0	0
7	13	43	1E+8	1E+8	1E+8	0	0	0
8	13	39	1E+8	1E+8	1E+8	0	0	0
9	31	32	1E+8	1E+8	1E+8	0	0	0
10	32	33	1E+8	1E+8	1E+8	0	0	0
11	33	34	1E+8	1E+8	1E+8	0	0	0
12	7	34	1E+8	1E+8	1E+8	0	0	0
13	35	36	1E+8	1E+8	1E+8	0	0	0
14	36	37	1E+8	1E+8	1E+8	0	0	0
15	37	38	1E+8	1E+8	1E+8	0	0	0
16	7	38	1E+8	1E+8	1E+8	0	0	0
17	39	40	1E+8	1E+8	1E+8	0	0	0
18	40	41	1E+8	1E+8	1E+8	0	0	0
19	41	42	1E+8	1E+8	1E+8	0	0	0
20	14	42	1E+8	1E+8	1E+8	0	0	0
21	43	44	1E+8	1E+8	1E+8	0	0	0
22	44	45	1E+8	1E+8	1E+8	0	0	0
23	45	46	1E+8	1E+8	1E+8	0	0	0
24	14	46	1E+8	1E+8	1E+8	0	0	0

Randscharnieren

	Startpunt	*Eindpunt*	*K(x) [kN/m/m]*	*K(y) [kN/m/m]*	*K(z) [kN/m/m]*	*K(xx) [kNm/rad/m]*	*K(yy) [kNm/rad/m]*	*K(zz) [kNm/rad/m]*
25	47	48	1E+8	1E+8	1E+8	0	0	0
26	48	49	1E+8	1E+8	1E+8	0	0	0
27	49	50	1E+8	1E+8	1E+8	0	0	0
28	12	50	1E+8	1E+8	1E+8	0	0	0
29	51	52	1E+8	1E+8	1E+8	0	0	0
30	52	53	1E+8	1E+8	1E+8	0	0	0
31	53	54	1E+8	1E+8	1E+8	0	0	0
32	12	54	1E+8	1E+8	1E+8	0	0	0
33	55	56	1E+8	1E+8	1E+8	0	0	0
34	56	57	1E+8	1E+8	1E+8	0	0	0
35	57	58	1E+8	1E+8	1E+8	0	0	0
36	9	58	1E+8	1E+8	1E+8	0	0	0
37	59	60	1E+8	1E+8	1E+8	0	0	0
38	60	61	1E+8	1E+8	1E+8	0	0	0
39	61	62	1E+8	1E+8	1E+8	0	0	0
40	9	62	1E+8	1E+8	1E+8	0	0	0

K(x): Verplaatsingsstijfheid in X-richting; **K(y):** Verplaatsingsstijfheid in Y-richting; **K(z):** Verplaatsingsstijfheid in Z-richting; **K(xx):** Rotatiestijfheid rond X-as; **K(yy):** Rotatiestijfheid rond Y-as; **K(zz):** Rotatiestijfheid rond Z-as;

Knoopopleggingen

	Knoop	*X [m]*	*Y [m]*	*Z [m]*	*Type*	*Naam$_x$*	*K$_x$ [kN/m]*	*K$_{xV}$ [kN/m]*	*Naam$_y$*	*K$_y$ [kN/m]*	*K$_{yV}$ [kN/m]*	*Naam$_z$*	*K$_z$ [kN/m]*	*K$_{zV}$ [kN/m]*	*Naam$_{xx}$*	*K$_{xx}$ [kNm/rad]*
1	5	0,075	0,075	0	Glob.	Vast - translatie	1E+10	1E+10	Vast - translatie	1E+10	1E+10	Vast - translatie	1E+10	1E+10	—	–
2	10	0,475	0,075	0	Glob.	—	–	–	Vast - translatie	1E+10	1E+10	Vast - translatie	1E+10	1E+10	—	–
3	15	0,075	0,475	0	Glob.	Vast - translatie	1E+10	1E+10	—	–	–	Vast - translatie	1E+10	1E+10	—	–
4	16	0,475	0,475	0	Glob.	—	–	–	—	–	–	Vast - translatie	1E+10	1E+10	—	–

	Knoop	*K$_{xxV}$ [kNm/rad]*	*Naam$_{yy}$*	*K$_{yy}$ [kNm/rad]*	*K$_{yyV}$ [kNm/rad]*	*Naam$_{zz}$*	*K$_{zz}$ [kNm/rad]*	*K$_{zzV}$ [kNm/rad]*
1	5	–	—	–	–	—	–	–
2	10	–	—	–	–	—	–	–
3	15	–	—	–	–	—	–	–
4	16	–	—	–	–	—	–	–

Knoop: Ondersteunde knoop; **Type:** Opleggingstype; **K$_x$, K$_y$, K$_z$, K$_{xx}$, K$_{yy}$, K$_{zz}$:** Initiële stijfheid;

Project:
Constructeur: DNV GL - Energy
Model: **Baseplate OSP 150kV.axs**

Fz max: Knoopbelastingen

	Richting	*Fx [kN]*	*Fy [kN]*	*Fz [kN]*	*Mx [kNm]*	*My [kNm]*	*Mz [kNm]*
23	Globaal	0	0,90	14,75	0	0	0
30	Globaal	2,20	0,90	14,75	0	0	0

Fx, Fy, Fz: Belastingkracht component; **Mx, My, Mz:** Belastingsmoment component;

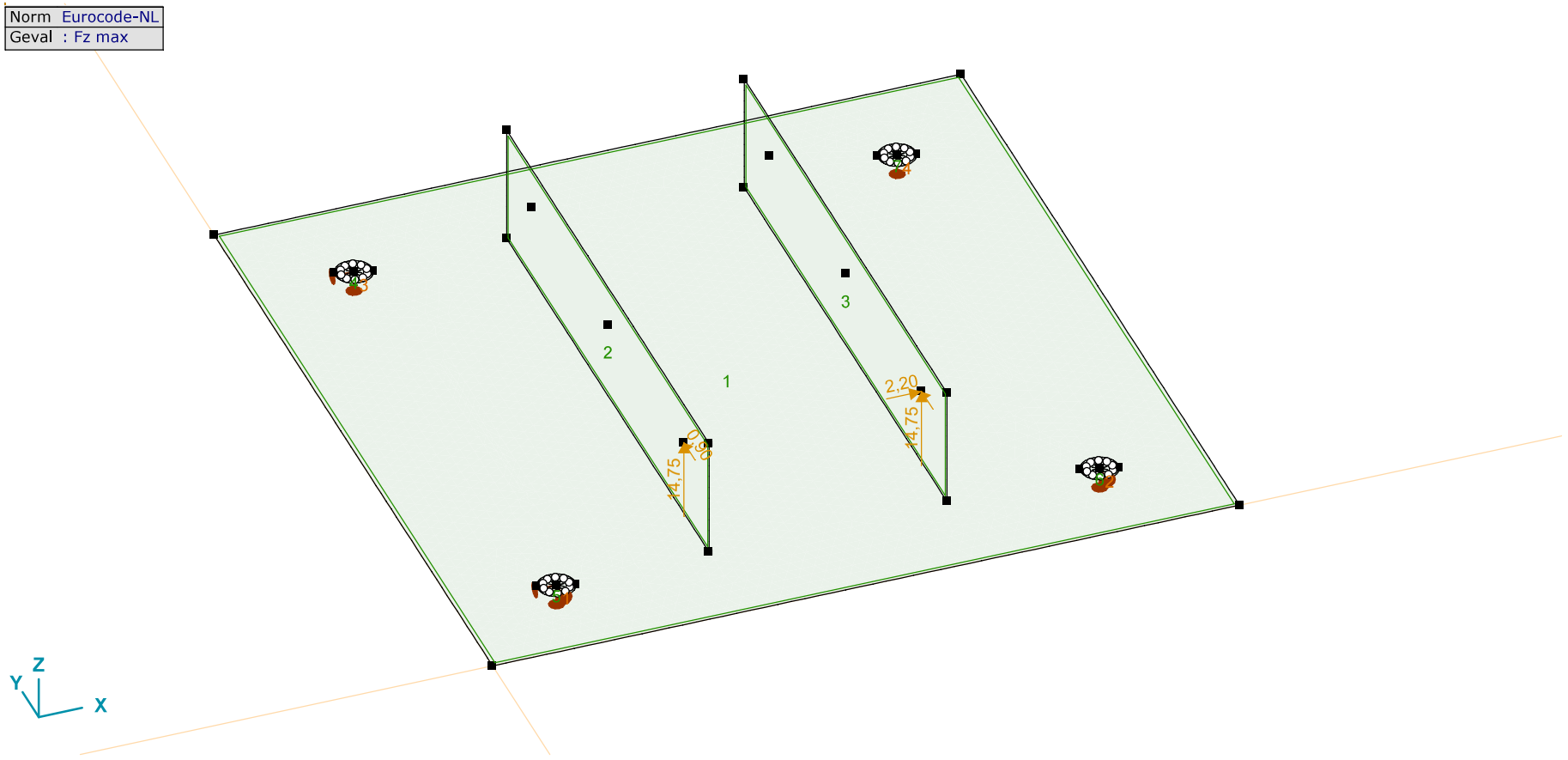

Fz max

Project:
Constructeur: DNV GL - Energy
Model: **Baseplate OSP 150kV.axs**

Fy max: Knoopbelastingen

	Richting	*Fx [kN]*	*Fy [kN]*	*Fz [kN]*	*Mx [kNm]*	*My [kNm]*	*Mz [kNm]*
23	Globaal	0	0	11,30	0	0	0
30	Globaal	8,00	0	11,30	0	0	0

Fx, Fy, Fz: Belastingkracht component; **Mx, My, Mz:** Belastingsmoment component;

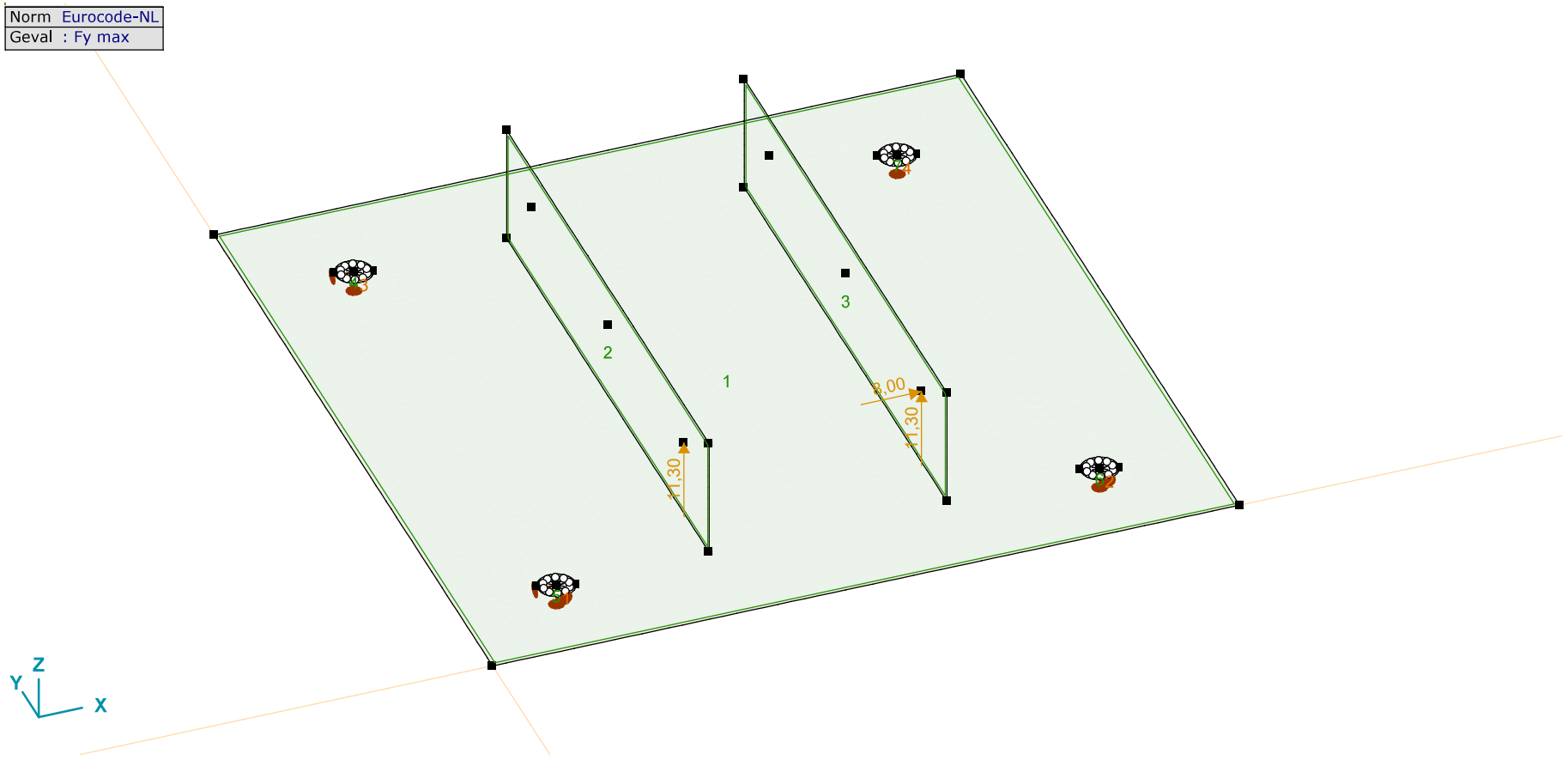

Fy max

Project:
Constructeur: DNV GL - Energy
Model: **Baseplate OSP 150kV.axs**

Lineaire berekening	
Norm	Eurocode-NL
Geval	: Omhullende Max
Omhullende	: Belastinggevallen
E (P)	: 7,01E-9
E (W)	: 7,01E-9
E (Eq)	: 1,44E-10
Comp.	: SVM T [N/mm²]
Detail Max	: 111,29
Detail Min	: 0,01
Detail	: Geselecteerde elementen

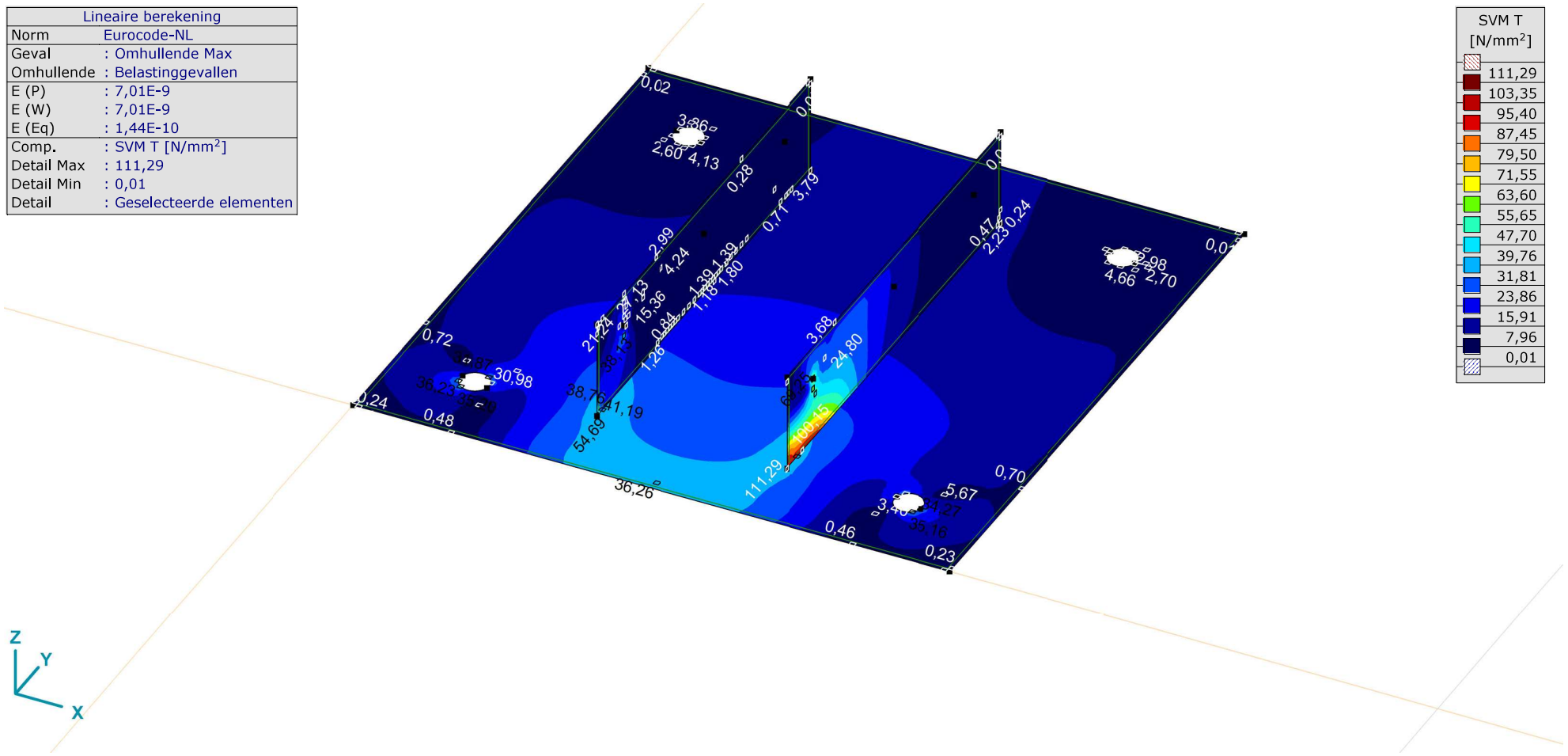

[I], > ~1, Lineair, Omhullende Max (Belastinggevallen), SVM T, Kleuren 2D

Project:
Constructeur: DNV GL - Energy
Model: **Baseplate OSP 150kV.axs**

Lineaire berekening	
Norm	Eurocode-NL
Geval	: Omhullende Max
Omhullende	: Belastinggevallen
E (P)	: 7,01E-9
E (W)	: 7,01E-9
E (Eq)	: 1,44E-10
Comp.	: SVM B [N/mm²]
Detail Max	: 88,35
Detail Min	: 0,01
Detail	: Geselecteerde elementen

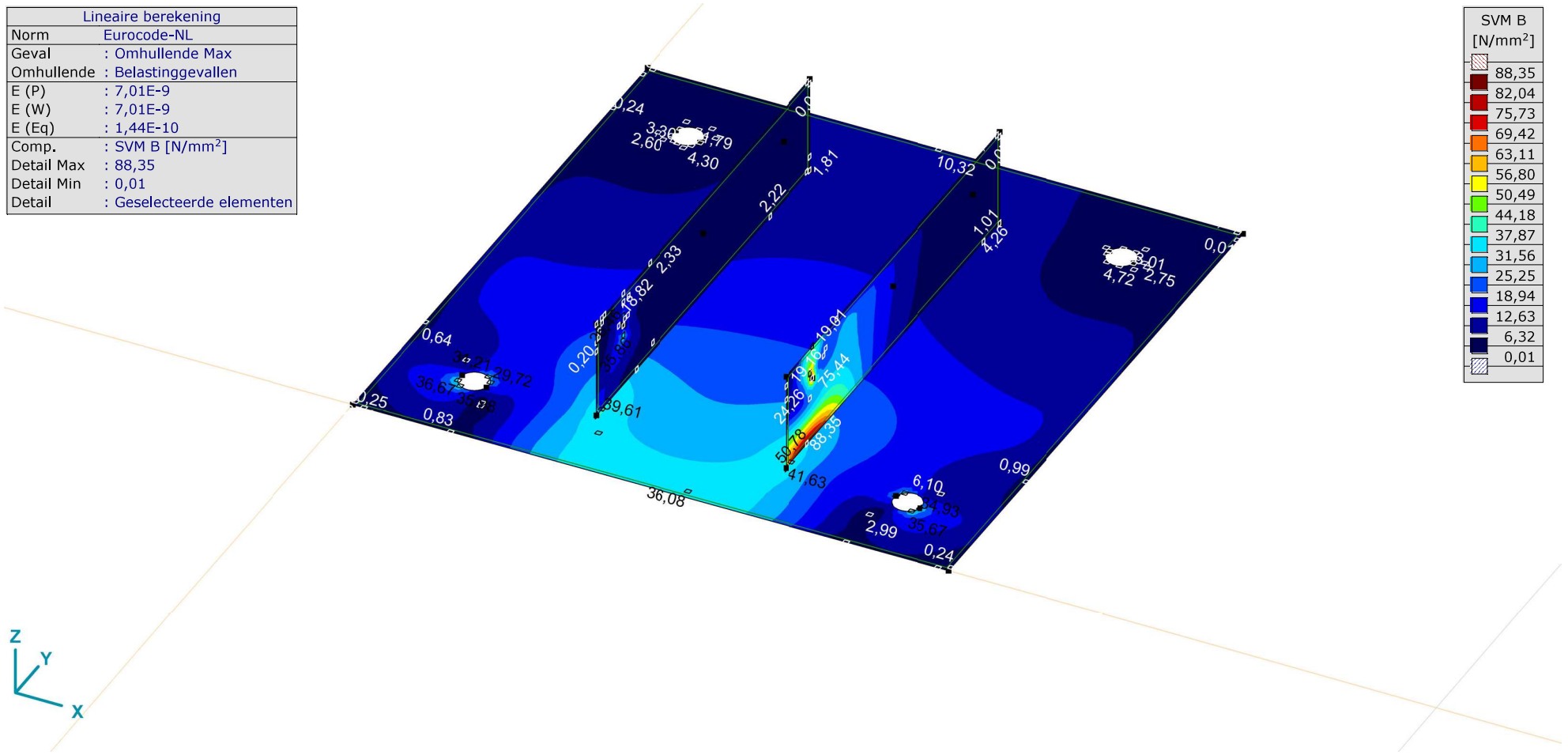

[I], > ~1, Lineair, Omhullende Max (Belastinggevallen), SVM B, Kleuren 2D

Project:
Constructeur: DNV GL - Energy
Model: **Baseplate OSP 150kV.axs**

Lineaire berekening	
Norm	Eurocode-NL
Geval	: Omhullende Max
Omhullende	: Belastinggevallen
E (P)	: 7,01E-9
E (W)	: 7,01E-9
E (Eq)	: 1,44E-10
Comp.	: SVM T [N/mm²]
Detail Max	: 42,39
Detail Min	: 0,01
Detail	: Geselecteerde elementen

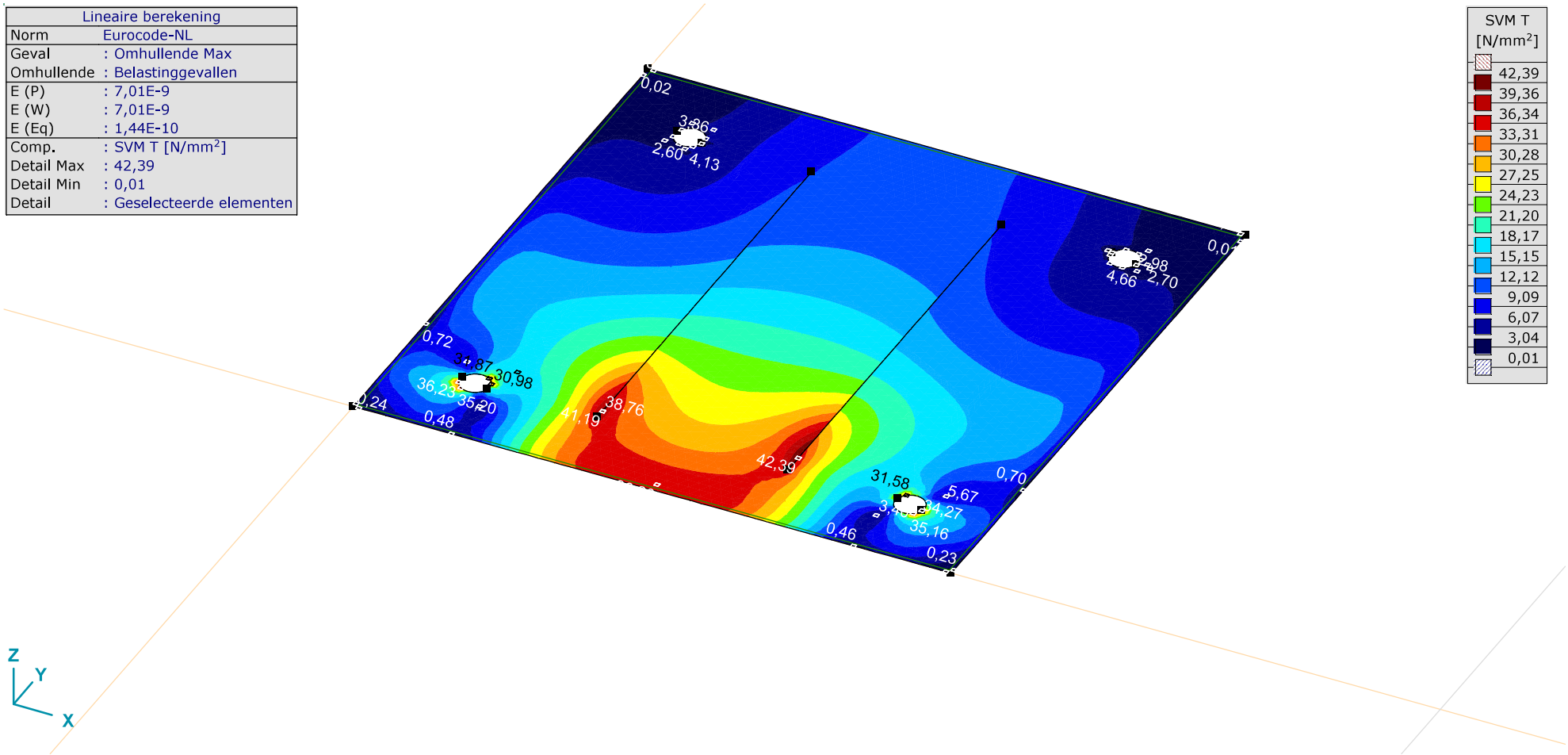

[I], > ~2, Lineair, Omhullende Max (Belastinggevallen), SVM T, Kleuren 2D

Project:
Constructeur: DNV GL - Energy
Model: **Baseplate OSP 150kV.axs**

Lineaire berekening	
Norm	Eurocode-NL
Geval	: Omhullende Max
Omhullende	: Belastinggevallen
E (P)	: 7,01E-9
E (W)	: 7,01E-9
E (Eq)	: 1,44E-10
Comp.	: SVM B [N/mm²]
Detail Max	: 41,63
Detail Min	: 0,01
Detail	: Geselecteerde elementen

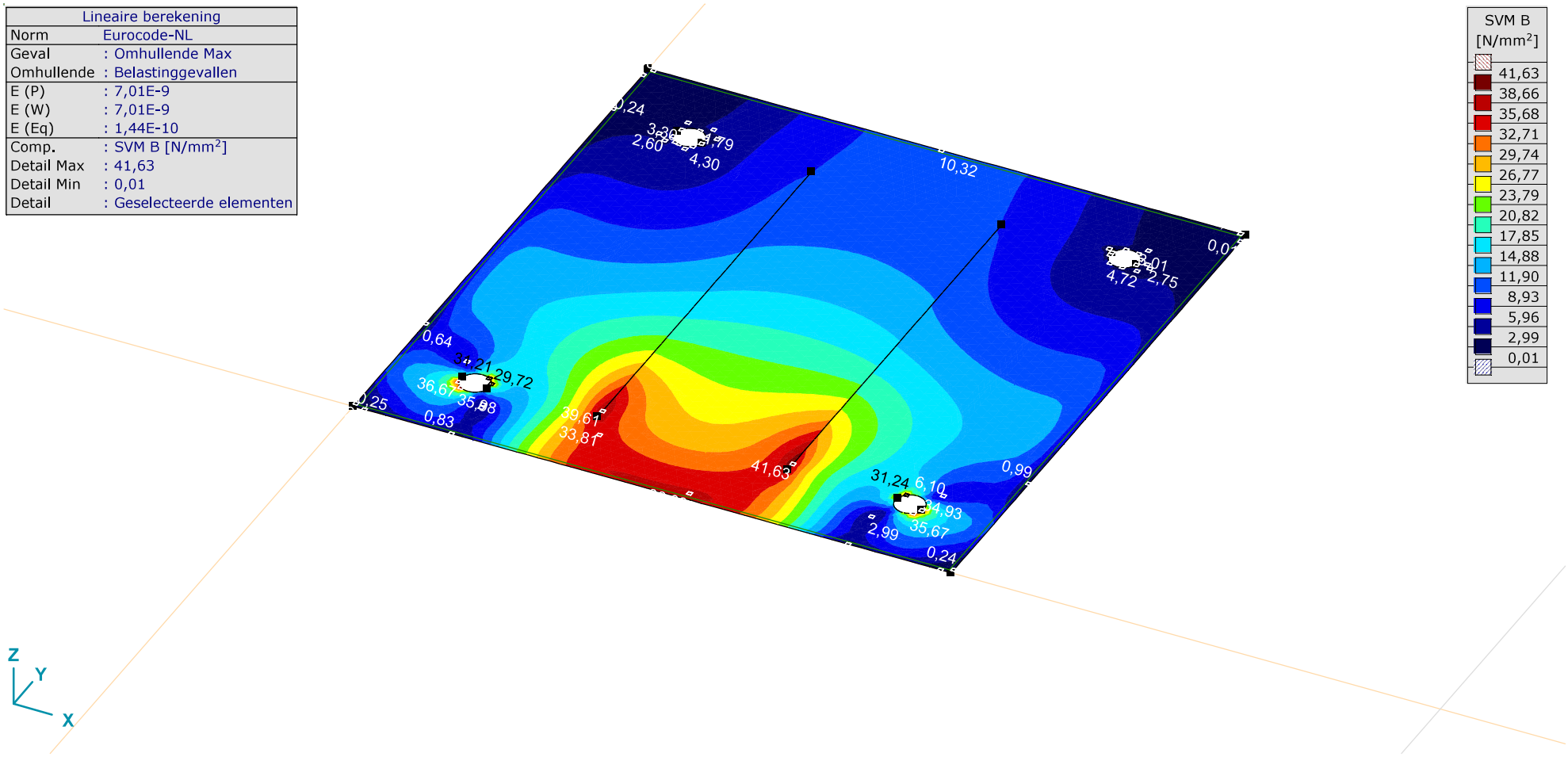

[I], > ~2, Lineair, Omhullende Max (Belastinggevallen), SVM B, Kleuren 2D

Project:
Constructeur: DNV GL - Energy
Model: **Baseplate OSP 150kV.axs**

Lineaire berekening	
Norm	Eurocode-NL
Geval	: Omhullende Max
Omhullende	: Belastinggevallen
E (P)	: 7,01E-9
E (W)	: 7,01E-9
E (Eq)	: 1,44E-10
Comp.	: SVM T [N/mm²]
Max	: 111,29
Min	: 0,01

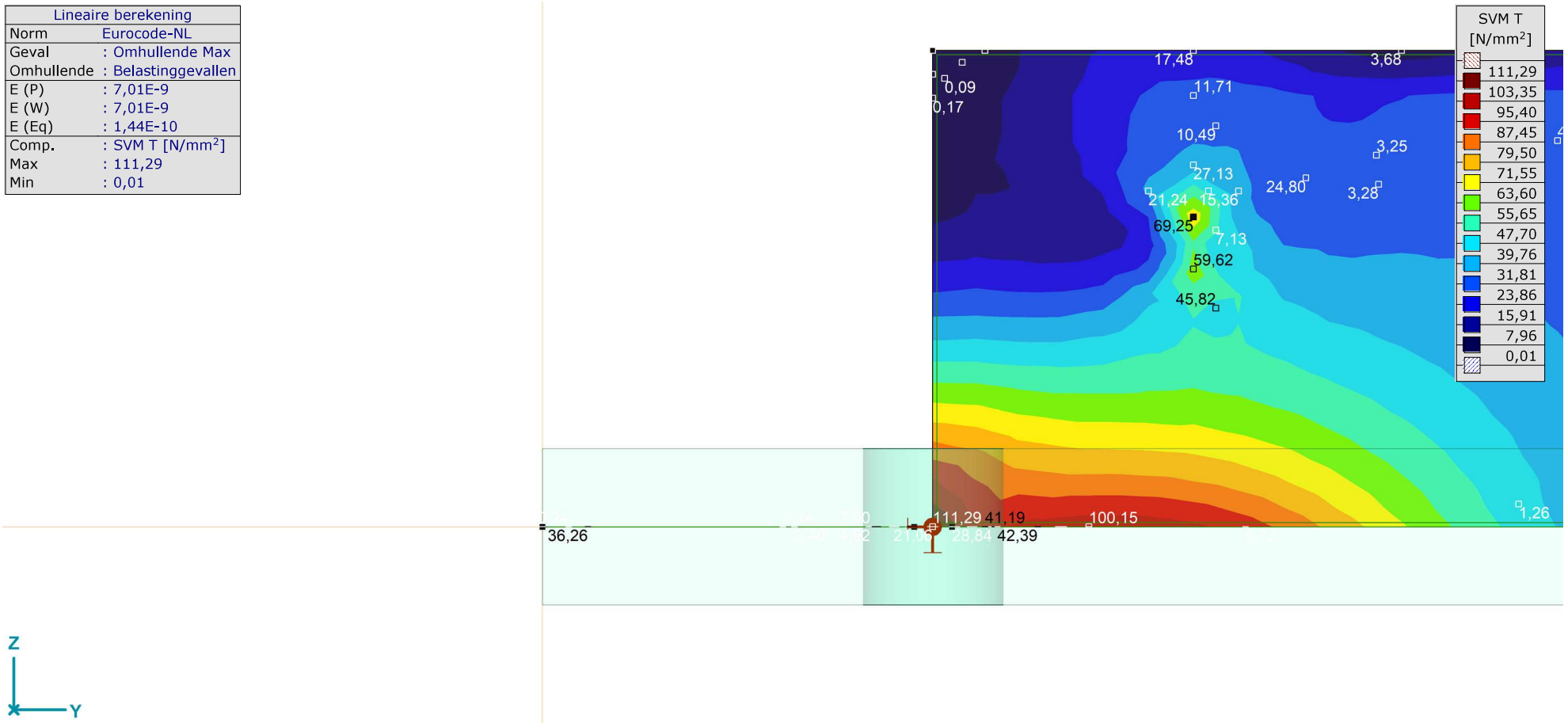

[I], Lineair, Omhullende Max (Belastinggevallen), SVM T, Kleuren 2D, Zijaanzicht

Project:
Constructeur: DNV GL - Energy
Model: **Baseplate OSP 150kV.axs**

Lineaire berekening	
Norm	Eurocode-NL
Geval	: Fz max
E (P)	: 7,01E-9
E (W)	: 7,01E-9
E (Eq)	: 1,44E-10
Comp.	: Rz [kN]
Max	: 13,310
Min	: 1,652

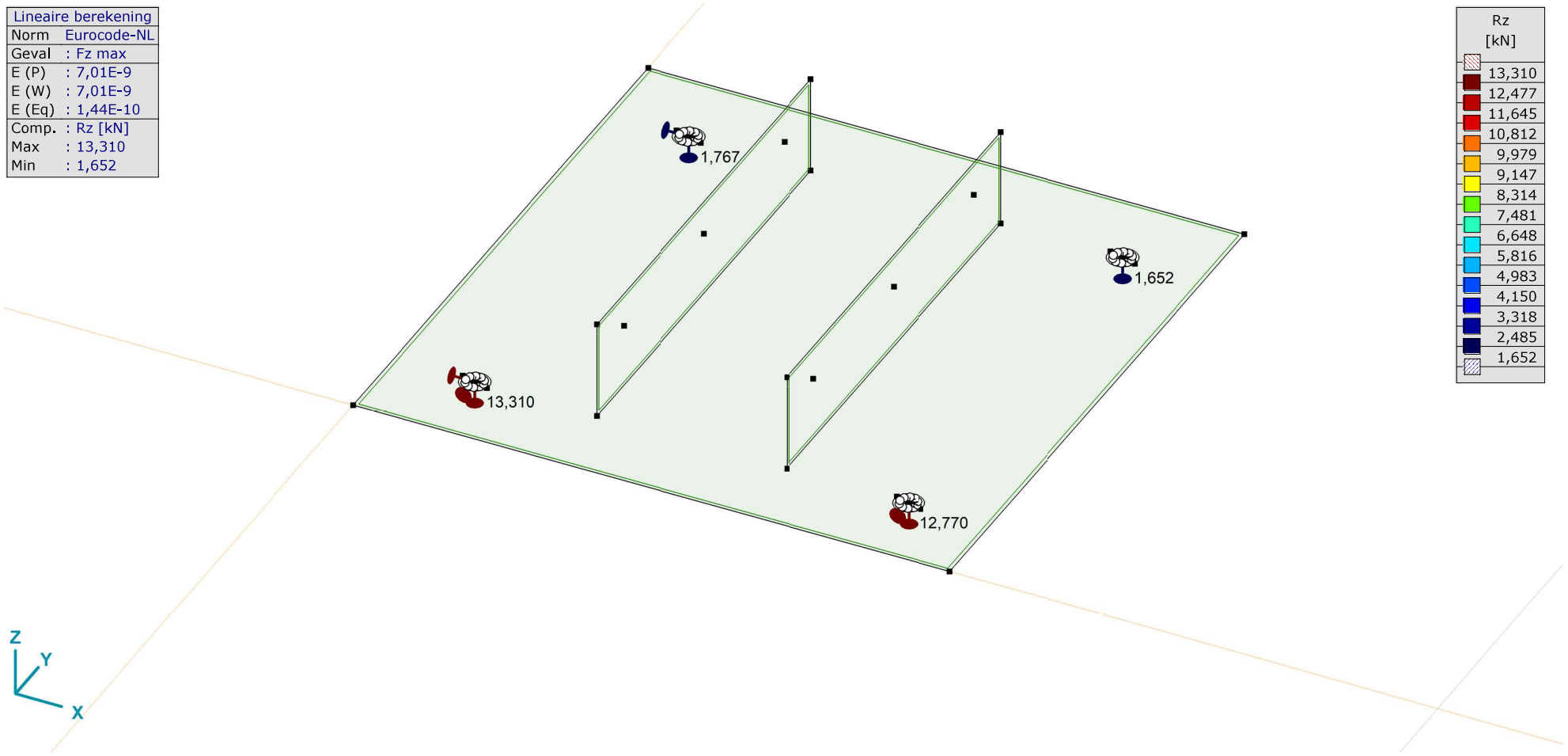

[I], Lineair, Fz max, Rz (knoopopl.), Kleuren 2D

Project:
Constructeur: DNV GL - Energy
Model: **Baseplate OSP 150kV.axs**

Lineaire berekening	
Norm	Eurocode-NL
Geval	: Fy max
E (P)	: 7,01E-9
E (W)	: 7,01E-9
E (Eq)	: 1,44E-10
Comp.	: Rz [kN]
Max	: 10,868
Min	: 1,203

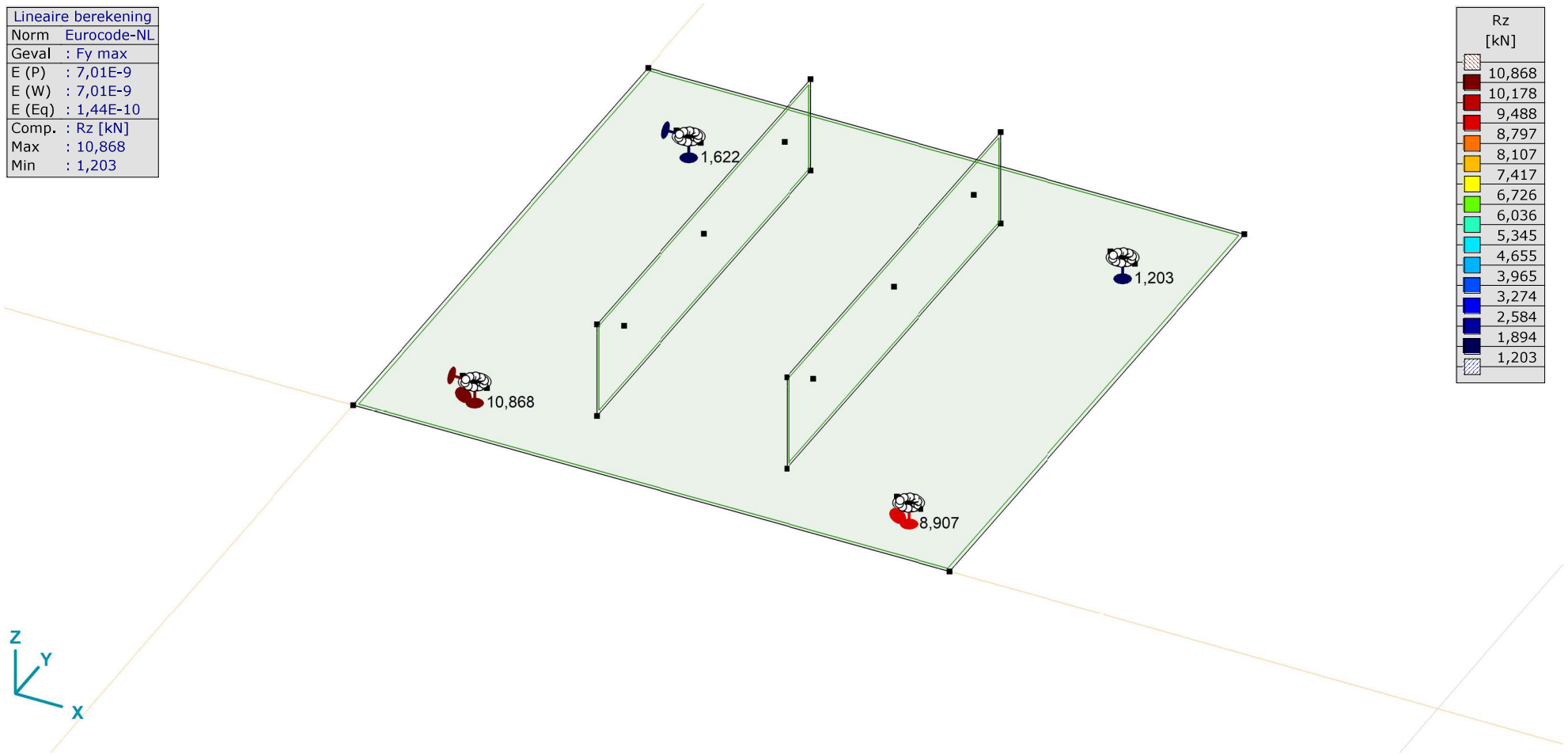

[I], Lineair, Fy max, Rz (knoopopl.), Kleuren 2D

Project:
Constructeur: DNV GL - Energy
Model: **Baseplate OSP 150kV.axs**

Lineaire berekening	
Norm	Eurocode-NL
Geval	: Omhullende Max
Omhullende	: Belastinggevallen
E (P)	: 7,01E-9
E (W)	: 7,01E-9
E (Eq)	: 1,44E-10
Comp.	: eZ [mm]
Detail Max	: 0,205
Detail Min	: -0,087
Detail	: Geselecteerde elementen

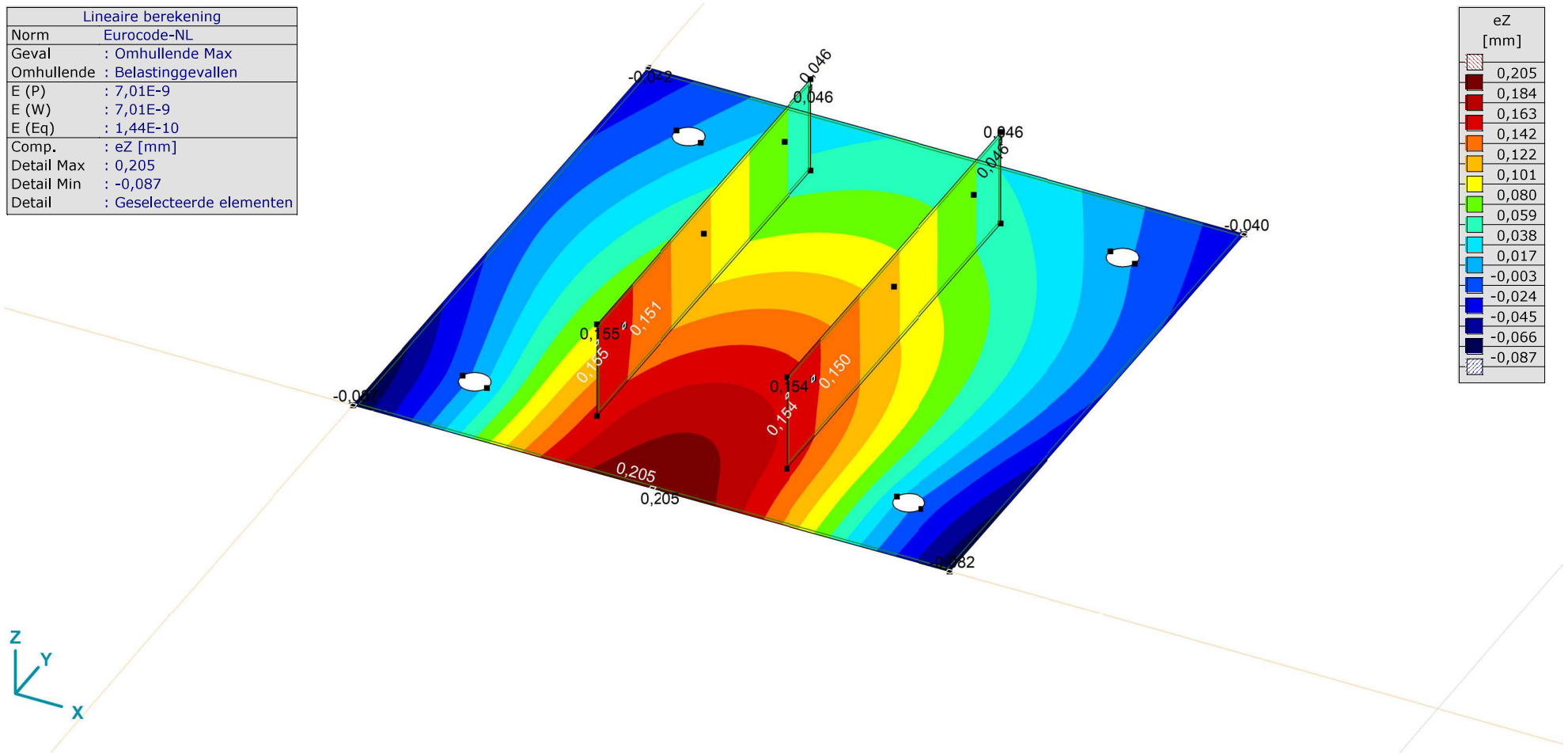

[I], > ~3, Lineair, Omhullende Max (Belastinggevallen), eZ, Kleuren 2D

APPENDIX E
Berekeningsrapport geleider afspanning mast 1025

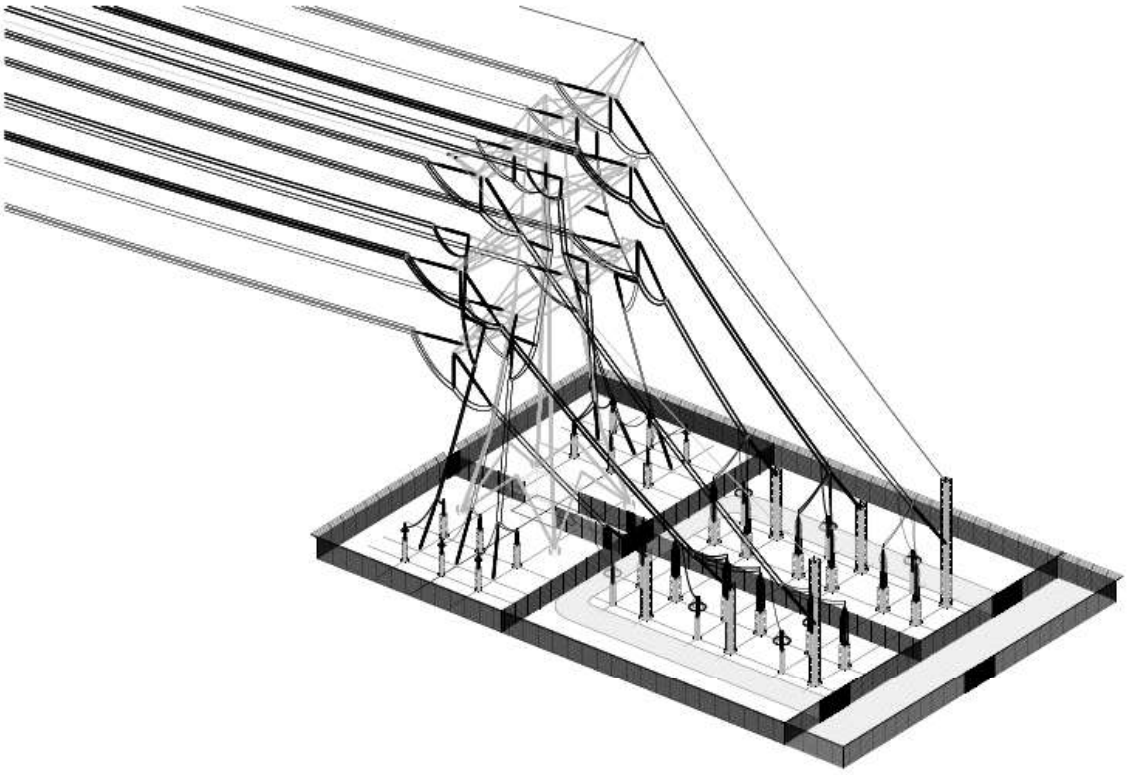

Inhoud

- Uitgangspunten p. 2
- Mastconstructie p. 6
- Tussenresultaten p. 8
- Belastingen initiëel p. 10
- Belastingen na aanpassing p. 15

Gegevens

Norm	NEN-EN50341-2-15:2019
Initieel	
Gevolgklasse	CC2
Betrouwbaarheidsniveau	Nieuwbouw
Referentieperiode	50 jaar
Na aanpassing	
Gevolgklasse	n.v.t.
Betrouwbaarheidsniveau	n.v.t.
Referentieperiode	n.v.t.
Windgebied	III
Windsnelheid	24,5 m/s
Terreincategorie	II
Reductie factor Cdir	1,00
IJsgebied	B
Masttype	Hoekmast
Lijnhoek	180°

ISSUE	DATE	REVISION	CHK'D	APP'D
0.0	2021-06-30			

Client: TenneT Taking power further

DNV

Title:

Verticale geleiders EA-3_co

JOB No.	-	DATE	-
DRAWN	-	CHKD	-
DESIGN	-	APPD	-

Document name:

RLL-TLB_EA-3_co_1025_Report.pdf

Project number:

Project client number:

0.0											

Project: RLL-TLB
Tower: EA-3_co
Number: 1025

Geleiderbelastingen afloper

Auteur: TBR
Versie: v1.9

Algemeen

Benaming	EA-3_co
Masttype	Hoekmast
Aantal circuits	4
Configuratie	2-circuit-donau
Aantal bliksemgeleiders	2

Uitgangspunten

Norm	NEN-EN50341-2-15:2019	
Gevolgklasse initieel	CC2	
Betrouwbaarheidsniveau initieel	Nieuwbouw	
Referentieperiode initieel	50 jaar	
	CC2	
Betrouwbaarheidsniveau na aanpassing	n.v.t.	
	50 jaar	
Windgebied	III	
Windsnelheid (m/s)	24,5	m/s
Terreincategorie	II	
Reductiefactor c_{dir}	1,00	
IJsgebied fasegeleider	B	
IJsgebied bliksemgeleider	A	

Geleiders

Omschrijving	Spanning	Geleider Back	Bundel Ba	IJsgebied	Toeslag gewicht	Toeslag diameter	
Circuit 1	380 kV	AAAC-AL7 620	4	B	2 %	2 %	
Circuit 2	380 kV	AAAC-AL7 620	4	B	2 %	2 %	
Circuit 3	150 kV	AAAC-AL7 620	2	B	2 %	2 %	0
Circuit 4	150 kV	AAAC-AL7 620	2	B	2 %	2 %	0
Bliksemdraad 1		AACSR 241-AL3-39-A20SA	1	A	2 %	2 %	0
Bliksemdraad 2		OPGW AFL-226/38	1	A	2 %	2 %	0

Isolatoren *(1)*

Omschrijving	Ophanging	Gewicht [kN]	Lengte [m]	Windopp. [m^2]
Circuit 1	Afspanketting	3,00	4,50	1,10
Circuit 2	Afspanketting	3,00	4,50	1,10
Circuit 3	Afspanketting	2,00	3,50	0,80
Circuit 4	Afspanketting	2,00	3,50	0,80
Bliksemdraad 1	Afspanketting	0,10	0,20	0,10
Bliksemdraad 2	Afspanketting	0,10	0,20	0,10

1. Eigenschappen gelden voor geheel van de isolatorset

Ophanghoogte en positie in mast

Circuits	Nummer	Aanduiding	Ophanghoogte	Aangrijppunt
Circuit 1	10	380ct1f1	45,0 m	45,0 m
Circuit 1	11	380ct1f2	35,0 m	35,0 m
Circuit 1	12	380ct1f3	25,5 m	25,5 m
Circuit 2	40	380ct2f1	45,0 m	45,0 m
Circuit 2	41	380ct2f2	35,0 m	35,0 m
Circuit 2	42	380ct2f3	25,5 m	25,5 m
Circuit 3	20	150ct3f1	25,5 m	25,5 m
Circuit 3	21	150ct3f2	25,5 m	25,5 m
Circuit 3	22	150ct3f3	25,5 m	25,5 m
Circuit 4	30	150ct4f1	25,5 m	25,5 m
Circuit 4	31	150ct4f2	25,5 m	25,5 m
Circuit 4	32	150ct4f3	25,5 m	25,5 m
Bliksemdraad 1	1	bl1	50,1 m	50,1 m
Bliksemdraad 2	3	bl2	50,1 m	50,1 m

Project: RLL-TLB
Tower: EA-3_co
Number: 1025

Principe hoekmast met aflopers

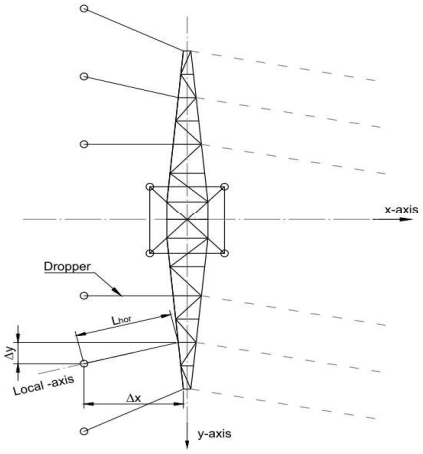

Top view tower

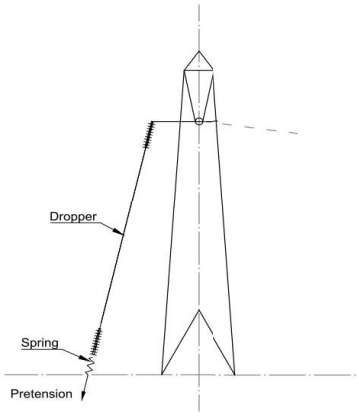

Side view tower

Hoogteafwijking mastbeeld naastgelegen masten en richtingsverandering t.o.v. Lijnrichting

			Hoogteverschil	Richtingsverandering		Lokaal Δx	Lengte overspanning
Circuits	Nummer	Aanduiding	Δh	Δy	Δx	Lhor	L
Circuit 1	10	380ct1f1	38,0 m	2,3	45,5	45,6	59,3 m
Circuit 1	11	380ct1f2	28,0 m	3,3	34,0	34,2	44,2 m
Circuit 1	12	380ct1f3	18,5 m	1,2	22,5	22,5	29,2 m
Circuit 2	40	380ct2f1	38,0 m	-2,3	45,5	45,6	59,3 m
Circuit 2	41	380ct2f2	28,0 m	-3,3	34,0	34,2	44,2 m
Circuit 2	42	380ct2f3	18,5 m	-1,2	22,5	22,5	29,2 m
Circuit 3	20	150ct3f1	25,5 m	-10,1	0,0	10,1	27,4 m
Circuit 3	21	150ct3f2	25,5 m	-6,4	2,5	6,9	26,4 m
Circuit 3	22	150ct3f3	25,5 m	-6,4	-3,7	-7,4	26,5 m
Circuit 4	30	150ct4f1	25,5 m	10,1	0,0	10,1	27,4 m
Circuit 4	31	150ct4f2	25,5 m	6,4	2,5	6,9	26,4 m
Circuit 4	32	150ct4f3	25,5 m	6,4	-3,7	-7,4	26,5 m
Bliksemdraad 1	1	bl1	35,6 m	6,7	45,5	46,0	58,2 m
Bliksemdraad 2	3	bl2	35,6 m	-6,7	45,5	46,0	58,2 m

Voorspanning en veerstijfheid

			Voorspanning	Veerstijfheid	Effectieve rekstijfheid
Circuits	Nummer	Aanduiding	F_{pr}	k	EA_{fict}
Circuit 1	10	380ct1f1	11,8 kN	10000 kN/m	94010 kN/m
Circuit 1	11	380ct1f2	7,3 kN	10000 kN/m	80308 kN/m
Circuit 1	12	380ct1f3	4,4 kN	10000 kN/m	56449 kN/m
Circuit 2	40	380ct2f1	11,8 kN	10000 kN/m	94010 kN/m
Circuit 2	41	380ct2f2	7,3 kN	10000 kN/m	80308 kN/m
Circuit 2	42	380ct2f3	4,4 kN	10000 kN/m	56449 kN/m
Circuit 3	20	150ct3f1	5,0 kN	1000 kN/m	14613 kN/m
Circuit 3	21	150ct3f2	5,0 kN	1000 kN/m	14613 kN/m
Circuit 3	22	150ct3f3	5,0 kN	1000 kN/m	14613 kN/m
Circuit 4	30	150ct4f1	5,0 kN	1000 kN/m	14613 kN/m
Circuit 4	31	150ct4f2	5,0 kN	1000 kN/m	14613 kN/m
Circuit 4	32	150ct4f3	5,0 kN	1000 kN/m	14613 kN/m
Bliksemdraad 1	1	bl1	1,4 kN	5000 kN/m	17730 kN/m
Bliksemdraad 2	3	bl2	1,4 kN	5000 kN/m	17155 kN/m

De effectieve rekstijfheid is bepaald met de invloed van de veerstijfheid
Deze is berekend door de optelling van de reciproke waarden van de veerstijfheid van geleider en veer.

Project: RLL-TLB
Tower: EA-3_co
Number: 1025

Lijn- en mastgegevens

Deze invoer is opgenomen voor beschouwde windrichtingen en komt overeen met invoer geleiderbelastingen voor de mast

Lijnhoek	β	180 °
Rotatie mast t.o.v. bissectrice	θ	0 °
Hoogte onderkant mast t.o.v. maaiveld		0,5 m
Beschouwde windrichtingen	α_1	0 °
Windrichtingen volgens:	α_2	45 °
Geleiderbelastingen	α_3	90 °
	α_4	135 °
	α_5	75 °
	α_6	105 °

Windrichtingen gelden t.o.v. hoofdrichting mastconstructie, niet t.o.v. bissectrice.

Windrichtingen en positieve richtingen belastingen

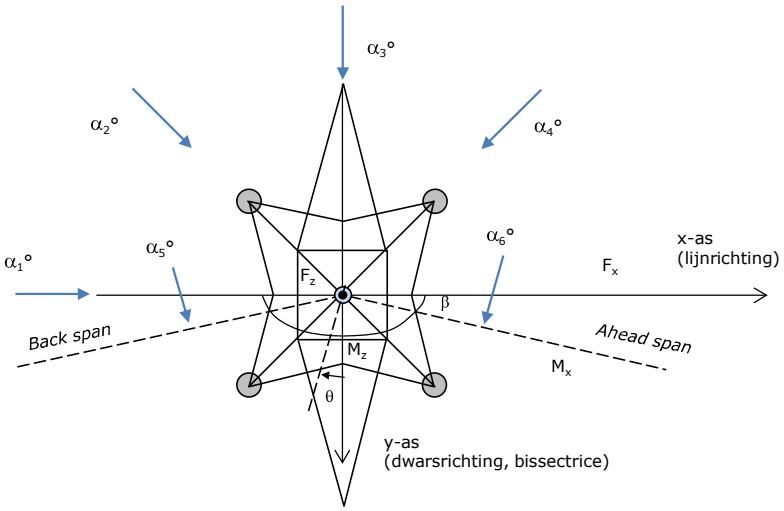

Beschouwd aantal windrichtingen

1a	6
3	6
4	1
6	6
Overig	6

Project: RLL-TLB
Tower: EA-3_co
Number: 1025

Geleiderafval

		SPLS - torsie		SPLS - Enkelzijdige trek		5a - geleiderbreuk	
		Aanw.	Afw.	Aanw.	Afw.	Aanw.	Afw.
Circuit 1	380ct1f1	1	0	1	0	1	0
Circuit 1	380ct1f2	1	0	1	0	1	0
Circuit 1	380ct1f3	1	0	1	0	1	0
Circuit 2	380ct2f1	0	1	1	0	1	0
Circuit 2	380ct2f2	0	1	1	0	1	0
Circuit 2	380ct2f3	0	1	1	0	1	0
Circuit 3	150ct3f1	0	1	1	0	1	0
Circuit 3	150ct3f2	0	1	1	0	1	0
Circuit 3	150ct3f3	0	1	1	0	1	0
Circuit 4	150ct4f1	0	1	1	0	1	0
Circuit 4	150ct4f2	0	1	1	0	1	0
Circuit 4	150ct4f3	0	1	1	0	1	0
Bliksemdraad 1	bl1	1	0	1	0	1	0
Bliksemdraad 2	bl2	0	1	1	0	1	0

Belastingsituaties SPLS

Beschouwde situaties SPLS: 1 t/m 6, alle mogelijke situaties.
Geleiderbelastingen naar volgende mast geen onderdeel van deze berekening.

Principe belastingssituaties:

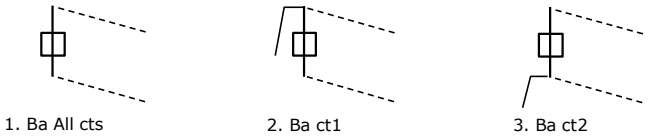

1. Ba All cts 2. Ba ct1 3. Ba ct2

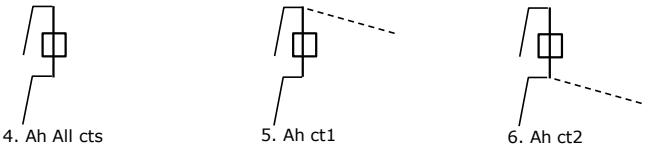

4. Ah All cts 5. Ah ct1 6. Ah ct2

Belastingsituaties 5a. Geleiderbreuk

Beschouwde situaties geleiderbreuk 5a: 1 en 2, alle mogelijke situaties.

Principe belastingssituaties:

1. Ba 2. Ah

Project: RLL-TLB
Tower: EA-3_co
Number: 1025

Belastingsituaties 6. Bouw- en onderhoud

Onder 6a wordt de belasting door aanwezigheid lijnwagen of lijnfiets in combinatie met puntlast op traverse in rekening gebracht. Combinatie 6b bevat geen belastingen in geleider of op traverse. Deze combinatie met 20% wind is geschikt voor controle stijgpunt in combinatie met kortsluitbelastingen.

	Fase	Bliksem
Lijnwagen (nvt.)	0,0 kN	0,0 kN
Puntlast op traverse	1,0 kN	1,0 kN

Belastingsituaties 8. Kortsluiting

Principe belastingssituaties:

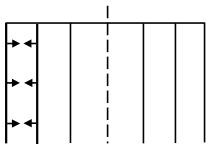

1. 10-11

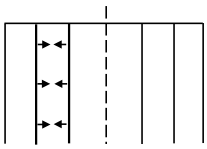

2. 11-12

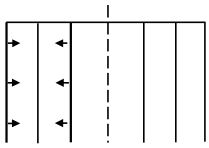

3. 10-12

Kortsluitkrachten

(Zie separate berekening)

Geleider	$w_{z,G}$ [N/m]	Kortsluitkra [kN]	F_x [kN]	F_y [kN]	F_z [kN]
10	380ct1f1	80,1	-61,4	-3,1	-51,3
11	380ct1f2	77,0	-59,3	-5,8	-48,8
12	380ct1f3	44,8	-34,6	-1,8	-28,4
40	380ct2f1	80,1	-61,4	3,1	-51,3
41	380ct2f2	77,0	-59,3	5,8	-48,8
42	380ct2f3	44,8	-34,6	1,8	-28,4
20	150ct3f1	24,0	0,0	8,8	-22,3
21	150ct3f2	24,3	-2,3	5,9	-23,5
22	150ct3f3	24,3	3,4	5,9	-23,3
30	150ct4f1	24,0	0,0	-8,8	-22,3
31	150ct4f2	24,3	-2,3	-5,9	-23,5
32	150ct4f3	24,3	3,4	-5,9	-23,3
1	bl1				
3	bl2				

Belastingcombinaties kortsluiting

Belastingcombinatie
ULS 8 Kortsluiting 10-11
ULS 8 Kortsluiting 10-12
ULS 8 Kortsluiting 11-12
ULS 8 Kortsluiting 40-41
ULS 8 Kortsluiting 40-42
ULS 8 Kortsluiting 41-42
ULS 8 Kortsluiting 20-21
ULS 8 Kortsluiting 20-22
ULS 8 Kortsluiting 21-22
ULS 8 Kortsluiting 30-31
ULS 8 Kortsluiting 30-32
ULS 8 Kortsluiting 31-32

Project: RLL-TLB
Tower: EA-3_co
Number: 1025

Tussenresultaten geleiderbelastingen

Geleiders

Circuit	Geleider	Diameter [mm]	A [mm^2]	G [N/m]	E [N/mm^2]	αT [-]
Circuit 1	AAAC-AL7 620	32,4	621,0	17,71	56000	2,30E-05
Circuit 2	AAAC-AL7 620	32,4	621,0	17,71	56000	2,30E-05
Circuit 3	AAAC-AL7 620	32,4	621,0	17,71	56000	2,30E-05
Circuit 4	AAAC-AL7 620	32,4	621,0	17,71	56000	2,30E-05
Bliksemdraad 1	AACSR 241-AL3-39-A20SA	21,8	281,0	9,38	70165	1,97E-05
Bliksemdraad 2	OPGW AFL-226/38	21,7	264,0	9,13	72000	1,98E-05

Verticale belasting

Circuit	Bundel [-]	Toeslag [%]	$w_{z,G}$ [N/m]	IJsgebied	Formule	$w_{z,ijs}$ [N/m]	$w_{z,ijs,bundel}$ [N/m]
Circuit 1	4	2	72,3	B	4+0,2d	10,5	41,9
Circuit 2	4	2	72,3	B	4+0,2d	10,5	41,9
Circuit 3	2	2	36,1	B	4+0,2d	10,5	21,0
Circuit 4	2	2	36,1	B	4+0,2d	10,5	21,0
Bliksemdraad 1	1	2	9,6	A	15+0,4d	23,7	23,7
Bliksemdraad 2	1	2	9,3	A	15+0,4d	23,7	23,7

Schema voor berekenen horizontale en verticale belasting

Horizontale belasting wordt bepaald voor de wind tegen de geleider en isolatoren boven en onder.

De horizontale component als gevolg van de scheefstand van de afloper wordt per belastingscombinatie apart bepaald

De verticale krachten gelden alleen voor de EDS-conditie zonder externe belastingen en temperatuursverandering

De berekeningen zijn weergegeven op het volgende blad.

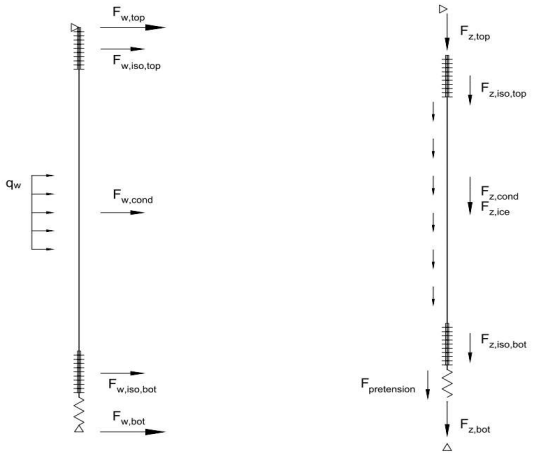

Wind load Vertical load

Project: RLL-TLB
Tower: EA-3_co
Number: 1025

Isolatoren

Geleider	$G_{isolator}$ [kN]	Lengte [m]	Windopp. [m^2]	Vormfactor [-]	Boven Windhoogte [m]	Boven Stuwdruk [kN/m^2]	Boven $F_{h,iso}$ [kN]	Onder Windhoogte [m]	Onder Stuwdruk [kN/m^2]	Onder $F_{h,iso}$ [kN]
380ct1f1	3,00	4,5	1,1	1,2	43,25	1,09	1,44	9,75	0,70	0,92
380ct1f2	3,00	4,5	1,1	1,2	33,25	1,02	1,34	9,75	0,70	0,92
380ct1f3	3,00	4,5	1,1	1,2	23,75	0,92	1,22	9,75	0,70	0,92
380ct2f1	3,00	4,5	1,1	1,2	43,25	1,09	1,44	9,75	0,70	0,92
380ct2f2	3,00	4,5	1,1	1,2	33,25	1,02	1,34	9,75	0,70	0,92
380ct2f3	3,00	4,5	1,1	1,2	23,75	0,92	1,22	9,75	0,70	0,92
150ct3f1	2,00	3,5	0,8	1,2	24,25	0,93	0,89	2,25	0,49	0,47
150ct3f2	2,00	3,5	0,8	1,2	24,25	0,93	0,89	2,25	0,49	0,47
150ct3f3	2,00	3,5	0,8	1,2	24,25	0,93	0,89	2,25	0,49	0,47
150ct4f1	2,00	3,5	0,8	1,2	24,25	0,93	0,89	2,25	0,49	0,47
150ct4f2	2,00	3,5	0,8	1,2	24,25	0,93	0,89	2,25	0,49	0,47
150ct4f3	2,00	3,5	0,8	1,2	24,25	0,93	0,89	2,25	0,49	0,47
bl1	0,10	0,2	0,1	1,2	50,50	1,14	0,14	15,10	0,80	0,10
bl2	0,10	0,2	0,1	1,2	50,50	1,14	0,14	15,10	0,80	0,10

Horizontale belasting

Geleider	hoogte wind [m]	Stuwdruk [kN/m^2]	G_c [-]	C_c [-]	$d_{toeslag}$ [mm]	w_y [N/m]	$D_{ijs,toeslag}$ [mm]	$w_{y,ijs}$ [N/m]	$F_{w,geleider}$ [kN]	$F_{w,boven}$ [kN]	$F_{w,onder}$ [kN]
380ct1f1	26,5	0,95	0,86	1,02	33,05	109,9	51,3	201,3	1,59	3,0	2,5
380ct1f2	21,5	0,90	0,84	1,04	33,05	103,4	51,3	186,0	0,98	2,3	1,9
380ct1f3	16,8	0,83	0,82	1,06	33,05	95,7	51,3	168,4	0,45	1,7	1,4
380ct2f1	26,5	0,95	0,86	1,02	33,05	109,9	51,3	201,3	1,59	3,0	2,5
380ct2f2	21,5	0,90	0,84	1,04	33,05	103,4	51,3	186,0	0,98	2,3	1,9
380ct2f3	16,8	0,83	0,82	1,06	33,05	95,7	51,3	168,4	0,45	1,7	1,4
150ct3f1	13,3	0,77	0,80	1,08	33,05	44,3	51,3	76,3	0,41	1,3	0,9
150ct3f2	13,3	0,77	0,80	1,08	33,05	44,3	51,3	76,3	0,41	1,3	0,9
150ct3f3	13,3	0,77	0,80	1,08	33,05	44,3	51,3	76,3	0,41	1,3	0,9
150ct4f1	13,3	0,77	0,80	1,08	33,05	44,3	51,3	76,3	0,41	1,3	0,9
150ct4f2	13,3	0,77	0,80	1,08	33,05	44,3	51,3	76,3	0,41	1,3	0,9
150ct4f3	13,3	0,77	0,80	1,08	33,05	44,3	51,3	76,3	0,41	1,3	0,9
bl1	32,8	1,01	0,87	1,20	22,24	23,5	63,1	66,8	0,41	0,6	0,5
bl2	32,8	1,01	0,87	1,20	22,13	23,4	63,0	66,8	0,41	0,5	0,5

Verticale belasting

Formules: $F_{z,top} = F_{z,iso,top} + F_{z,cond} + F_{z,iso,bot} + F_{pr}$ $\quad L_{geleider} = \Delta h - 2L_{iso}$

$F_{t,mid} = F_{z,cond}/2 + F_{z,iso,bot} + F_{pr}$ $\quad F_{z,cond} = L_{cond} \times w_z$

$F_{z,bot} = -F_{pr}$

Geleider	$w_{z,G}$ [N/m]	$w_{z,ijs}$ [N/m]	$L_{geleider}$ [m]	$F_{z,iso}$ [kN]	$F_{z,gel}$ [kN]	$F_{z,ijs}$ [kN]	Pretension [kN]	$F_{z,boven}$ [kN]	$F_{t,mid}$ [kN]	$F_{z,onder}$ [kN]
380ct1f1	72,3	41,9	29,0	3,0	2,1	1,2	11,8	19,9	15,9	-11,8
380ct1f2	72,3	41,9	19,0	3,0	1,4	0,8	7,3	14,7	11,0	-7,3
380ct1f3	72,3	41,9	9,5	3,0	0,7	0,4	4,4	11,1	7,7	-4,4
380ct2f1	72,3	41,9	29,0	3,0	2,1	1,2	11,8	19,9	15,9	-11,8
380ct2f2	72,3	41,9	19,0	3,0	1,4	0,8	7,3	14,7	11,0	-7,3
380ct2f3	72,3	41,9	9,5	3,0	0,7	0,4	4,4	11,1	7,7	-4,4
150ct3f1	36,1	21,0	18,5	2,0	0,7	0,4	5,0	9,7	7,3	-5,0
150ct3f2	36,1	21,0	18,5	2,0	0,7	0,4	5,0	9,7	7,3	-5,0
150ct3f3	36,1	21,0	18,5	2,0	0,7	0,4	5,0	9,7	7,3	-5,0
150ct4f1	36,1	21,0	18,5	2,0	0,7	0,4	5,0	9,7	7,3	-5,0
150ct4f2	36,1	21,0	18,5	2,0	0,7	0,4	5,0	9,7	7,3	-5,0
150ct4f3	36,1	21,0	18,5	2,0	0,7	0,4	5,0	9,7	7,3	-5,0
bl1	9,6	23,7	35,2	0,1	0,3	0,8	1,4	1,9	1,7	-1,4
bl2	9,3	23,7	35,2	0,1	0,3	0,8	1,4	1,9	1,7	-1,4

Project: RLL-TLB
Masttype: EA-3_co
Mast: 1025

Geleiderbelastingen Auteur: TBR
Versie: v1.9

Uitgangspunten

Betrouwbaarheidsniveau	Nieuwbouw CC2
Referentieperiode	50 jaar

ULS	(bezwijksterkte)	**NEN-EN50341-2-15:2019**						
Belastingsgeval	omschrijving	Temp	γ_G	γ_G		γ_Q		γ_a
		°C	$G_{k,mast}$	$G_{k,geleider}$	Q_{pk}	Q_{wk}	Q_{ik}	A_k
ULS 1a	Wind	10°	1,20	1,20	0,00	1,50	0,00	0,0
ULS 1a_0,9	Wind 0,9Gk alleen mast	10°	0,90	1,20	0,00	1,50	0,00	0,0
ULS 1a_0,9_0,9	Wind 0,9Gk ook geleider	10°	0,90	0,90	0,00	1,50	0,00	0,0
ULS 3	Wind+ijs	-5°	1,20	1,20	0,00	0,45	1,50	0,0
ULS 3_0,9	Wind+ijs 0,9	-5°	0,90	1,20	0,00	0,45	1,50	0,0
ULS 4	Koude+wind	-20°	1,20	1,20	0,00	0,30	0,00	0,0
ULS 4_0,9	Koude+wind 0,9	-20°	0,90	1,20	0,00	0,30	0,00	0,0
ULS 5a	Torsiebelastingen	10°	1,00	1,00	1,00	0,00	0,00	1,0
ULS 5b	Longitudinale belastingen	10°	1,00	1,00	0,00	0,00	0,00	1,0
ULS 6	Bouw en onderhoud	5°	1,20	1,20	1,50	0,30	0,00	0,0
ULS 6_0,9	Bouw en onderhoud	5°	1,20	1,20	0,00	0,30	0,00	0,0
ULS 7	Permanent	10°	1,35	1,35	0,00	0,00	0,00	0,0
ULS 8	Special	10°	1,00	1,00	0,00	0,00	0,00	1,0
SPLS	(Bezwijksterkte, enkel voor hoekmasten: afwezigheid geleiders)			γ_G	γ_Q			
				G_k	Q_{pk}	Q_{wk}	Q_{ik}	A_k
SPLS 1a	Wind	10°	1,20	1,20	0,0	0,78	0,00	0,0
SPLS 1a_0,9	Wind 0,9	10°	0,90	1,20	0,0	0,78	0,00	0,0
SPLS 1a_0,9_0,9	Wind 0,9	10°	0,90	0,90	0,0	0,78	0,00	0,0
SPLS 3	Wind+ijs	-5°	1,20	1,20	0,0	0,36	0,34	0,0
SPLS 3_0,9	Wind+ijs 0,9	-5°	0,90	1,20	0,0	0,36	0,34	0,0
SPLS 4	Koude+wind	-20°	1,20	1,20	0,0	0,24	0,00	0,0
SPLS 4_0,9	Koude+wind 0,9	-20°	0,90	1,20	0,0	0,24	0,00	0,0
SPLS 6	Bouw en onderhoud	5°	1,20	1,20	1,2	0,24	0,0	0,0
SPLS 6_0,9	Bouw en onderhoud	5°	1,20	1,20	0,0	0,24	0,0	0,0
SLS	(controle van de vervormingen, vermoeiing, EDS)							
				G_k	Q_{pk}	Q_{wk}	Q_{ik}	A_k
SLS 1a	Wind	10°	1,00	1,00	0,0	1,00	0,0	0,0
SLS 3	Wind+ijs	-5°	1,00	1,00	0,0	0,30	1,00	0,0
SLS 4	Wind	-20°	1,00	1,00	0,0	0,20	0,0	0,0
SLS 6	Bouw en onderhoud	5°	1,00	1,00	0,0	0,20	0,0	0,0
SLS 7	PB (EDS, geen wind)	10°	1,00	1,00	0,0	0,00	0,0	0,0

Aantal windrichtingen	6
Aantal belastingcombinaties ULS	71
Aantal belastingcombinaties SPLS	222
Aantal belastingcombinaties SLS	15
Aantal knooplasten	10472

Schematisation

De trekkracht in de afloper wordt bepaald met de toestandsvergelijking voor een gekromde kabel.
In de rekstijfheid van de kabel is de invloed van de veer verdisconteerd.

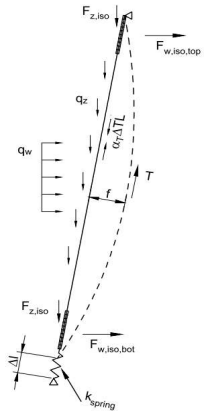

Project: RLL-TLB
Masttype: EA-3_co
Mast: 1025

Tabellen met geleiderbelastingen

In de onderstaande drie tabellen is weergegeven:
- De trekkracht per belastingcombinatie en de bijbehorende zeeg en veerverlenging
- De geleiderbelastingen in het lokale assenstelsel voor het onderste bevestigingspunt
- De maximale waarden voor de reacties onder en boven in het globale assenstelsel

Trekkracht, zeeg en veerverlenging

Geleider	Combinatie	Zeeg [m]	Veer-verlenging [m	Totale veer-verlenging [m]	Trek-kracht initieel [kN]	Trek-kracht [kN]
380ct1f1	SLS 1a	2,39	0,002	0,003	15,9	34,7
	SLS 3	2,28	0,002	0,003	16,5	32,0
	SLS 4	2,13	0,000	0,002	15,9	17,8
	SLS 6	2,30	0,000	0,002	15,9	16,5
	SLS 7	2,33	0,000	0,002	15,9	15,9
	ULS 1a	2,42	0,003	0,005	20,0	46,5
	ULS 3	2,31	0,003	0,004	21,1	41,8
	ULS 4	2,14	0,000	0,002	20,0	20,6
	ULS 6b	2,32	0,001	0,002	20,0	23,3
380ct1f2	SLS 1a	2,44	0,001	0,002	11,0	21,4
	SLS 3	2,39	0,001	0,002	11,4	19,3
	SLS 4	2,32	0,000	0,001	11,0	11,5
	SLS 6	2,41	0,000	0,001	11,0	11,1
	SLS 7	2,42	0,000	0,001	11,0	11,0
	ULS 1a	2,46	0,002	0,003	14,1	28,2
	ULS 3	2,40	0,001	0,002	14,8	24,6
	ULS 4	2,32	0,000	0,001	14,1	12,9
	ULS 6b	2,41	0,000	0,001	14,1	14,9
380ct1f3	SLS 1a	2,45	0,001	0,001	7,7	13,0
	SLS 3	2,43	0,000	0,001	7,9	11,4
	SLS 4	2,40	0,000	0,001	7,7	7,9
	SLS 6	2,44	0,000	0,001	7,7	7,8
	SLS 7	2,45	0,000	0,001	7,7	7,7
	ULS 1a	2,46	0,001	0,002	10,1	16,5
	ULS 3	2,43	0,001	0,001	10,4	13,8
	ULS 4	2,40	0,000	0,001	10,1	8,5
	ULS 6b	2,44	0,000	0,001	10,1	9,7
bl1	SLS 1a	2,00	0,001	0,001	1,7	6,1
	SLS 3	1,96	0,001	0,002	2,1	9,0
	SLS 4	1,72	0,000	0,000	1,7	2,1
	SLS 6	1,89	0,000	0,000	1,7	1,9
	SLS 7	1,92	0,000	0,000	1,7	1,7
	ULS 1a	2,04	0,001	0,002	2,1	8,6
	ULS 3	2,02	0,002	0,003	2,8	12,6
	ULS 4	1,73	0,000	0,001	2,1	2,6
	ULS 6b	1,92	0,000	0,001	2,1	3,2

Controle iteratieproces

Geleider	Iteratie
380ct1f	OK
380ct1f	OK
380ct1f	OK
bl1	OK
bl2	OK
380ct2f	OK
380ct2f	OK
380ct2f	OK
150ct3f	OK
150ct3f	OK
150ct3f	OK
150ct4f	OK
150ct4f	OK
150ct4f	OK
Post 1	(leeg)
Post 2	(leeg)
Post 3	(leeg)
Post 4	(leeg)
Post 5	(leeg)
Post 6	(leeg)

Project: RLL-TLB
Masttype: EA-3_co
Mast: 1025

Belastingen in lokale richting geleider

De belastingen op het onderste bevestigingspunt voor het dimensioneren van de ondersteuningsconstructie

De richting van de laterale kracht wordt bepaald door de windrichting en kan in alle richtingen aangrijpen.

De resulterende horizontale kracht kan worden afgeleid uit de vectoriële optelling van de kracht in x-richting en laterale kracht.

Combinatie1	Fx,lok,bot [kN]	Flat,bot [kN]	Fz_bot [kN]
SLS 1a	41,6	2,5	-30,7
SLS 3	38,4	1,2	-27,4
SLS 4	21,4	0,5	-13,8
SLS 6	19,8	0,5	-12,5
SLS 7	19,0	0,0	-11,8
ULS 1a	55,7	3,8	-41,6
ULS 3	50,1	1,7	-36,0
ULS 4	24,7	0,8	-15,7
ULS 6b	27,9	0,8	-18,4
SLS 1a	26,1	1,9	-17,7
SLS 3	23,5	0,8	-15,2
SLS 4	14,1	0,4	-7,9
SLS 6	13,6	0,4	-7,4
SLS 7	13,4	0,0	-7,3
ULS 1a	34,4	2,9	-23,8
ULS 3	30,0	1,2	-19,6
ULS 4	15,7	0,6	-8,5
ULS 6b	18,2	0,6	-10,5
SLS 1a	15,9	1,4	-9,7
SLS 3	13,9	0,5	-7,9
SLS 4	9,6	0,3	-4,6
SLS 6	9,5	0,3	-4,4
SLS 7	9,4	0,0	-4,4
ULS 1a	20,0	2,1	-12,4
ULS 3	16,8	0,8	-9,5
ULS 4	10,3	0,4	-4,5
ULS 6b	11,8	0,4	-5,6
SLS 1a	7,9	0,5	-5,8
SLS 3	11,6	0,4	-8,3
SLS 4	2,7	0,1	-1,8
SLS 6	2,4	0,1	-1,6
SLS 7	2,2	0,0	-1,4
ULS 1a	11,1	0,8	-8,3
ULS 3	16,3	0,6	-11,7
ULS 4	3,4	0,2	-2,3
ULS 6b	4,1	0,2	-2,9

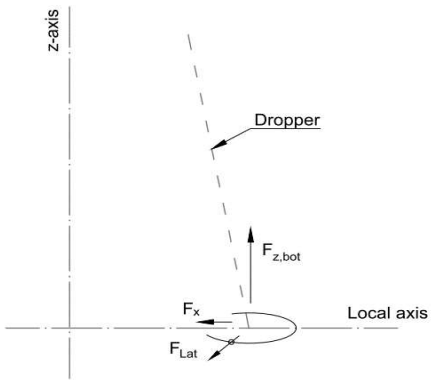

Project: RLL-TLB
Masttype: EA-3_co
Mast: 1025

Maximale waarden in globale assenstelsel

De maximale waarden van de verticale kracht en de resulterende horizontale kracht per belastingcombinatie
Zowel voor het bovenste als het onderste bevestigingspunt

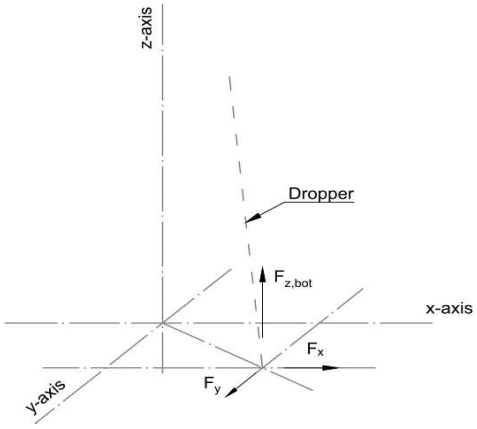

Geleider	Combinatie	Fx_top [kN]	Fy_top [kN	Fz_top [kN]	Fx_bot [kN]	Fy_bot [kN]	Fz_bot [kN]
380ct1f1	SLS 1a	37,5	5,1	38,8	-45,3	-0,5	-30,7
	SLS 3	35,0	3,1	36,7	-41,5	-1,0	-27,4
	SLS 4	19,7	1,7	21,9	-22,9	-0,6	-13,8
	SLS 6	18,2	1,6	20,6	-21,4	-0,5	-12,5
	SLS 7	17,4	0,9	19,9	-20,6	-1,0	-11,8
	ULS 1a	50,0	7,5	51,3	-60,6	-1,1	-41,6
	ULS 3	45,5	4,3	47,6	-54,3	-1,2	-36,0
	ULS 4	22,7	2,2	25,4	-26,5	-0,4	-15,7
	ULS 6b	25,2	2,2	28,1	-30,3	-0,9	-18,4
	ULS 7	21,1	1,1	24,9	-25,3	-1,3	-14,0
380ct1f2	SLS 1a	22,4	4,8	25,1	-29,2	-1,0	-17,7
	SLS 3	20,6	3,0	23,4	-26,2	-1,7	-15,2
	SLS 4	12,5	1,8	15,2	-15,5	-1,0	-7,9
	SLS 6	12,0	1,8	14,8	-15,0	-1,0	-7,4
	SLS 7	11,8	1,1	14,7	-14,9	-1,4	-7,3
	ULS 1a	29,3	6,9	32,6	-38,5	-1,0	-23,8
	ULS 3	26,0	4,0	29,6	-33,4	-2,0	-19,6
	ULS 4	13,8	2,2	17,3	-17,3	-1,0	-8,5
	ULS 6b	15,7	2,3	19,3	-20,3	-1,4	-10,5
	ULS 7	13,6	1,3	17,9	-17,5	-1,7	-8,0
380ct1f3	SLS 1a	12,5	3,0	16,4	-18,8	-0,2	-9,7
	SLS 3	11,3	1,5	15,0	-16,4	-0,5	-7,9
	SLS 4	8,0	0,9	11,2	-11,3	-0,2	-4,6
	SLS 6	7,8	0,9	11,1	-11,1	-0,2	-4,4
	SLS 7	7,7	0,4	11,1	-11,0	-0,6	-4,4
	ULS 1a	15,5	4,3	20,5	-23,8	-0,2	-12,4
	ULS 3	13,4	2,0	18,1	-19,8	-0,5	-9,5
	ULS 4	8,3	1,2	12,5	-12,1	-0,1	-4,5
	ULS 6b	9,3	1,2	13,7	-13,9	-0,5	-5,6
	ULS 7	8,2	0,4	13,1	-12,2	-0,7	-4,0
bl1	SLS 1a	7,3	1,5	6,4	-8,3	-0,8	-5,8
	SLS 3	10,7	1,9	9,7	-12,2	-1,5	-8,3
	SLS 4	2,5	0,5	2,3	-2,8	-0,3	-1,8
	SLS 6	2,3	0,4	2,1	-2,5	-0,3	-1,6
	SLS 7	2,0	0,3	1,9	-2,3	-0,3	-1,4
	ULS 1a	10,2	2,3	8,9	-11,7	-1,1	-8,3

bl1	ULS 3	15,0	2,7	13,5	-17,2	-2,1	-11,7
	ULS 4	3,2	0,6	2,9	-3,5	-0,4	-2,3
	ULS 6b	3,8	0,7	3,5	-4,4	-0,5	-2,9
	ULS 7	2,7	0,4	2,6	-3,1	-0,4	-1,9

APPENDIX F
Kortsluitkrachten aflopers mast 19A, mast 11, mast 97 en mast 01

Number of loops	Number of Different Scenarios Considered		12	Short Circuit Force Calculations											
				Mast 1 GT-BD			Mast 11 RSD-WDT150			Mast 19a RSD-RSB150			Mast 97 MDK-RSD150		
				10	12	11	10	12	11	10	12	11	10	12	11
	Name of the Span / Location / Scenario														
CT_min	Conductor Bundle Tension of dropper at specified min. temp	(N)		6000	6000	6000	3000	3000	3000	3000	3000	3000	3000	3000	3000
CT_max	Conductor Bundle Tension of dropper at specified max. temp	(N)		6000	6000	6000	3000	3000	3000	3000	3000	3000	3000	3000	3000
CT_10	Conductor Bundle Tension of dropper at 10°C	(N)		6000	6000	6000	3000	3000	3000	3000	3000	3000	3000	3000	3000
SHORT CIRCUIT CURRENT PARAMETERS															
I'k	Short Circuit Current	(A)		30000	30000	30000	30000	30000	30000	30000	30000	30000	30000	30000	30000
Tk1	Duration of the current flow	(s)		1	1	1	1	1	1	1	1	1	1	1	1
SYSTEM PARAMETERS															
A	Factor for calculation of the first current flow	-		1,81	1,81	1,81	1,81	1,81	1,81	1,81	1,81	1,81	1,81	1,81	1,81
freq	System Frequency	(Hz)		50	50	50	50	50	50	50	50	50	50	50	50
k	Factor for calculation of peak short-circuit current	-		1,81	1,81	1,81	1,81	1,81	1,81	1,81	1,81	1,81	1,81	1,81	1,81
τ - tau	Time Constant of the network	-		0,044	0,044	0,044	0,044	0,044	0,044	0,044	0,044	0,044	0,044	0,044	0,044
CONDUCTOR PARAMETERS															
Con_Def	Conductor Definition	(-)		ACSR 224/20E	ACSR 224/20E	ACSR 224/20E	ACSR 224/20E	ACSR 224/20E	ACSR 224/20E	Bobolink acsr	Bobolink acsr	Bobolink acsr	ACSR 224/20E	ACSR 224/20E	ACSR 224/20E
Con_Mat	Conductor Material	(-)		ACSR	ACSR	ACSR	ACSR	ACSR	ACSR	ACSR	ACSR	ACSR	ACSR	ACSR	ACSR
cth (m^4/(A^2*s)	Constant for conductor (m^4/(A^2*s)) (Page.31 and comment)	(m^4/(A^2*s))		1,70E-19	1,70E-19	1,70E-19	1,70E-19	1,70E-19	1,70E-19	1,70E-19	1,70E-19	1,70E-19	1,70E-19	1,70E-19	1,70E-19
d	Diameter of the conductor	(m)		0,0203	0,0203	0,0203	0,0203	0,0203	0,0203	0,0362	0,0362	0,0362	0,0203	0,0203	0,0203
m's	Mass per unit length	(kg/m)		0,7745158	0,7745158	0,7745158	0,7745158	0,7745158	0,7745158	2,457696228	2,457696228	2,457696228	0,7745158	0,7745158	0,7745158
As	Overall conductor cross-sectional area	(m^2)		2,44E-04	2,44E-04	2,44E-04	2,44E-04	2,44E-04	2,44E-04	7,76E-04	7,76E-04	7,76E-04	2,44E-04	2,44E-04	2,44E-04
E	Young's Modulus	(N/m2)		7,44E+10	7,44E+10	7,44E+10	7,44E+10	7,44E+10	7,44E+10	7,79E+10	7,79E+10	7,79E+10	7,44E+10	7,44E+10	7,44E+10
σ_fin	Lowest value of the cable stress when Young's modulus becomes constant	(N/m2)		5,00E+07	5,00E+07	5,00E+07	5,00E+07	5,00E+07	5,00E+07	5,00E+07	5,00E+07	5,00E+07	5,00E+07	5,00E+07	5,00E+07
SPAN AND BUNDLE GEOMETRY															
n	Number of Subconductors in Bundle			4	4	4	2	2	2	2	2	2	2	2	2
span	Ahead span			4,65	4,65	4,65	4,5	4,5	4,5	4,65	4,65	4,65	4,75	4,75	4,75
a	Centre line Distance between phase conductors	(m)		5,73	2,906	3,19	4,64	2,665	2,72	3,2	3,2	3,2	4,99	2,88	2,71
as	Centre line Distance between sub-conductors	(m)		0,4	0,4	0,4	0,4	0,4	0,4	0,4	0,4	0,4	0,4	0,4	0,4
l	Centre line distance between supports	(m)		23,65	35,15	23,65	21,71	28,56	21,71	15,7	15,7	15,7	21,55	28,35	21,55
li	Length of Insulator Chain	(m)		4,65	4,65	4,65	4,5	4,5	4,5	4,65	4,65	4,65	4,75	4,75	4,75
lc	Chord Length of Flexible Main Conductor in Span	(m)		14,4	25,9	14,4	12,7	19,6	12,7	6,4	6,4	6,4	12,1	18,9	12,1
ncs	Number of Spacers	(-)		2	3	2	2	2	2	2	2	2	2	2	2
mcs	Weight of a Spacer	(kg)		2	2	2	2	2	2	2	2	2	2	2	2
m'sc	Resulting mass per unit length of 1 subconductor	(kg)		0,844	0,833	0,844	0,932	0,877	0,932	2,770	2,770	2,770	0,940	0,881	0,940
h	Height of Dropper (vertical value)	(m)		23,65	35,15	23,65	21,71	28,56	21,71	15,7	15,7	15,7	21,55	28,35	21,55
w	Width of Dropper (horizontal value)	(m)		4,65	4,65	4,65	4,5	4,5	4,5	4,65	4,65	4,65	4,75	4,75	4,75
lvf	Length of the cable (actual cable length per conductor)	(m)		14,4	25,9	14,4	12,7	19,6	12,7	6,4	6,4	6,4	12,1	18,9	12,1
CALCULATION RESULTS															
	Check if force should be calculated as a dropper or main conductor			Calculate as dropper	Calculate as dropper	Calculate as dropper	Calculate as dropper	Calculate as dropper	Calculate as dropper	Calculate as dropper	Calculate as dropper	Calculate as dropper	Calculate as dropper	Calculate as dropper	Calculate as dropper
	Check validity of chapter 6.3			Valid	Invalid	Valid	Valid	Invalid	Valid	Invalid	Invalid	Invalid	Valid	Invalid	Valid
Short Circuit Force using Minimum Temperature	Ft,d, Short Circuit Force of one phase (N) as main conductor	(N)		7078	12220	9006	5263	10565	7847	3413	3413	3413	4846	9576	7532
	Ft,d, Short Circuit Force of one phase (N) as dropper	(N)		2319	14839	4166	2322	9574	3961	826	826	826	1838	7794,4	3385
	Fpi,d, Pinch Force of one phase (N) as main conductor	(N)		17010	22453	17010	16293	29023	16293	8910	8910	8910	**15568**	**29594**	**15568**
	Fpi,d, Pinch Force of one phase (N) as dropper	(N)		0	0	0	0	0	0	0	0	0	0,00	0,00	0,00
	b_{ii}, Maximum Horizontal Displacement (m)	(m)													
	amin, Distance between the midpoints of the two phases - Minimum air clearance (m)	(m)													
Short Circuit Force using Maximum Temperature	Ft,d, Short Circuit Force of one phase (N) as main conductor	(N)		7078	12220	9006	5263	10565	7847	3413	3413	3413	4845,87	9575,67	7531,67
	Ft,d, Short Circuit Force of one phase (N) as dropper	(N)		2319	14839	4166	2322	9574	3961	826	826	826	1838,34	7794,41	3384,99
	Fpi,d, Pinch Force of one phase (N) as main conductor	(N)		17010	22453	17010	16293	29023	16293	8910	8910	8910	15568,28	29594,10	15568,28
	Fpi,d, Pinch Force of one phase (N) as dropper	(N)		0	0	0	0	0	0	0	0	0	**0,00**	**0,00**	**0,00**
	b_{ii}, Maximum Horizontal Displacement (m)	(m)													
	amin, Distance between the midpoints of the two phases - Minimum air clearance (m)	(m)													
Short Circuit Force, using 10°C	Ft,d, Short Circuit Force of one phase (N) as main conductor	(N)		7078	12220	9006	5263	10565	7847	3413	3413	3413	4846	9576	7532
	Ft,d, Short Circuit Force of one phase (N) as dropper	(N)		2319	14839	4166	2322	9574	3961	826	826	826	1838	7794	3385
	Fpi,d, Pinch Force of one phase (N) as main conductor	(N)		17010	22453	17010	16293	29023	16293	8910	8910	8910	15568	29594	15568
	Fpi,d, Pinch Force of one phase (N) as dropper	(N)		0	0	0	0	0	0	0	0	0	**0**	**0**	**0**
	b_{ii}, Maximum Horizontal Displacement (m)	(m)													
	amin, Distance between the midpoints of the two phases - Minimum air clearance (m)	(m)													
	Short Circuit Force to be applied (N)	(N)		**17010**	**22453**	**17010**	**16293**	**29023**	**16293**	**8910**	**8910**	**8910**	**15568**	**29594**	**15568**

About DNV

DNV is the independent expert in risk management and assurance, operating in more than 100 countries. Through its broad experience and deep expertise DNV advances safety and sustainable performance, sets industry benchmarks, and inspires and invents solutions.

Whether assessing a new ship design, optimizing the performance of a wind farm, analyzing sensor data from a gas pipeline or certifying a food company's supply chain, DNV enables its customers and their stakeholders to make critical decisions with confidence.

Driven by its purpose, to safeguard life, property, and the environment, DNV helps tackle the challenges and global transformations facing its customers and the world today and is a trusted voice for many of the world's most successful and forward-thinking companies.